

INSTITUTUL POLITEHNIC "TRAIAN VUIA"  
FACULTATEA DE MECANICA  
TIMISOARA

Ing. IONEL DOBRE

TEZA DE DOCTORAT

Contribuții la studiul dinamicii și durabilității  
structurilor de rezistență ale vehiculelor soli-  
citate de sarcini aleatoare

BIBLIOTECA CENTRALĂ  
UNIVERSITATEA "POLITEHNICA"  
TIMIȘOARA

Conducător științific

Prof. em. dr. doc. ing. GHEORGHE SILAS

- 1976 -

INSTITUTUL POLITEHNIC TIMISOARA	
BIBLIOTECA	
CENTRALĂ	
Volumele Nr.	323287
Dulap	282 Lit. D



## I N T R O D U C E R E

Cincinalul revoluției tehnico-științifice pune în fața cercetătorilor din toate domeniile, abordarea și rezolvarea unor probleme de largă aplicabilitate, în care nivelul științific și utilitatea să conducă la soluții optime economic și funcțional.

"A dezvălui noi taine ale naturii, ale materiei, a acționa pentru a face ca roadele cunoașterii să se materializeze cât mai curînd în producție, în viața socială, în progresul și bunăstarea poporului, este un scop nobil care trebuie să-i însuflețească pe toți cei ce se consacră cercetării științifice și tehnice, pe toți oamenii muncii".

NICOLAE CEAUSESCU

(din "Expunerea prezentată la Congresul educației politice și al culturii socialiste", Editura Politică, 1976, p.42)

În contextul acestor sarcini de mare răspundere, lucrarea de față rezolvă aspecte noi privind comportarea mecanică a structurilor de rezistență folosite în construcția vehiculelor, pornind de la ideea considerării unor modele de investigație mai complete care să ia în considerare în special caracterul aleator atât al fenomenelor dinamice cât și al proceselor de degradare. Acest mod de analiză este dictat pe de o parte de starea reală a solicitărilor care apar în astfel de structuri impunînd considerarea stohasticității proceselor de excitație sau a spectrelor de tensiuni iar pe de altă parte de condiția realizării unor sisteme ușoare cu o anumită rezistență și rigiditate pentru o fiabilitate mărită. Aceste implicații antagoniste irezolubile în cadrul metodelor clasice care consideră problemele sub aspect global fără variabilitate statistică, obțin soluții elegante și viabile pe modele probabilistice care circumscriu unei sfere mai largi de fenomene reale.

De altfel abordarea unei asemenea problematice cumulină aspecte interdisciplinare considerate distincte este o necesitate firească ținînd de continuitatea fenomenului mecanic, care trebuie să conducă în final la o soluție cu caracteristici date. Convins de această necesitate autorul tezei a căutat să omuleze într-un ansam-

blu unic informațiile pe care le dau cercetările de dinamică în cadrul modelului solidului rigid și studiile de durabilitate pe solidul deformabil, deoarece efectul dominant al vibrațiilor unei structuri este distrugerea acesteia prin oboseală ca rezultat al unui proces de degradare cumulativă.

Elaborarea acestei teze este rezultatul unor circumstanțe favorabile care au permis o îmbinare utilă între preocupările teoretice ale autorului privind aplicarea proceselor stohastice în calcule de vibrații și durabilitate și necesitățile productive a două mari unități industriale : uzina "6 Martie"- Zărnești-Brașov și Intreprinderea de vagoane - Arad, care au solicitat în perioada 1967-1975 catedrei de Rezistența materialelor de la Institutul politehnic "Traian Vuia" Timișoara efectuarea unor încercări și calcule de rezistență ale cadrelor de biciclete și boghiurilor tip Y pentru vagoane de marfă. În felul acesta partea de contribuții teoretice a putut fi completată cu o serie de rezultate experimentale și metode noi de investigație care au validat ipotezele formulate și metodologia propusă.

Lucrarea este alcătuită din două părți cuprinzând șase capitole. În primele patru capitole (117 pagini) se expun considerațiile și contribuțiile teoretice, iar în ultimele două capitole (68 pagini) se prezintă investigațiile experimentale cu aplicațiile și contribuțiile în metodică și interpretare.

Capitolul întâi se ocupă cu problematica proiectării structurilor de rezistență hiperstatice ale unor vehicule, în regim dinamic. Este un capitol de sinteză în care se evidențiază complexitatea problemei, multitudinea aspectelor încumbate de acest domeniu și se formulează linia nouă pe care autorul o propune în rezolvarea acestei tematici.

Capitolul al doilea sintetizează câteva elemente necesare din teoria corelațională a proceselor stohastice și demonstrează valabilitatea ideii avansate în primul capitol conform căreia pentru cercetările de dinamică este necesară și suficientă obținerea funcției de autocorelație a excitației, elementele legate de structură putând fi antecalculate sau determinate pe prototip. Rezultatele obținute au la bază tratarea unui sistem vibrator mecanic ca un filtru de frecvență pentru procesul de excitație. Se consemnează relațiile noi obținute pentru calculul dispersiei răspunsului unui oscilator liniar la o excitație aleatoare staționară și ergodică.

Obiectul capitolului al treilea l-a constituit dezvoltarea, generalizarea și aplicarea concluziilor și metodei de investigație prezentate în cap.2, la sisteme mai complexe, care să modeleze mișcările structurilor de rezistență de la unele vehicule. Pentru aceasta s-a adoptat un model cu trei grade de libertate, considerând o structură pe "2n" reazeme elastice ceea ce permite aplicarea rezultatelor la o clasă mai largă de vehicule rutiere și feroviare. Plecând de la funcția de autocorelație a excitației s-au obținut forme analitice complete pentru funcțiile de transfer ale structurii, caracteristicile de amplitudine și fază ale celor trei tipuri de mișcări fundamentale, viteze și accelerații. Acestea răspund la toate necesitățile de calcul privind aprecierea statistică a răspunsului structurii pentru care se pot determina densitățile spectrale de putere, funcțiile de autocorelație, dispersiile, abaterile medii pătratice pentru amplitudini, viteze și accelerații. S-a deschis în felul acesta un câmp larg de cercetare prin utilizarea formelor aproximative ale funcției de autocorelație redate în cap.2. Mai mult, se arată că în cazul proceselor normale se pot determina legile diferențiale de repartizare ale mărimilor cercetate: deplasări, viteze și accelerații precum și probabilitățile ca aceste mărimi să nu depășească anumite valori limită.

Incepând cu capitolul patru se abordează problemele de durabilitate ca o continuare firească a cercetărilor de dinamică privind evoluția fenomenului fizic din punctul de vedere al solidului deformabil supus acțiunii sarcinilor variabile. Făcând o analiză critică a celor mai reprezentative teorii de degradare s-a reușit să se evidențieze elementele fundamentale care s-au constituit ca rezultate certe ale cercetării și să se demonstreze că majoritatea teoriilor denumite de autor "formale" nu aduc o îmbunătățire consistentă a teoriei clasice a lui Miner. S-a formulat atunci o nouă teorie de degradare ținând cont de lipsa de influență a suprasolicităților de sub curba French și s-a conceput o metodologie secvențială pentru calculul durabilității sau coeficientului de siguranță în cazul în care spectrul stării de tensiune poate fi asimilat cu un proces stohastic staționar și ergodic. Această circumstanță permite determinarea numărului mediu de depășiri al unui anumit nivel de referință dacă se cunoaște funcția de autocorelație ; introducând două noi ipoteze : considerarea rezistențelor la oboseală modificate în accepțiunea clasică și convergența curbilor de durabilitate în punctul reprezentativ al solicitărilor statice, se reușește să

#### IV

se aplică metodologia enunțată la calculul structurilor.

Capitolul cinci deschide seria de aplicații și de verificări experimentale ale noțiunilor teoretice expuse pînă aici. Orice fază de proiectare sau de analiză dinamică se începe prin calculul stării de tensiune considerînd acțiunea statică a forțelor exterioare ; de aceea, utilizînd metoda eforturilor pe scheme cît mai generale care să păstreze caracteristicile esențiale ale structurii ; caracterul spațial, hiperstaticitatea maximă și rigiditatea variabilă, în acest capitol se obțin rezultate deosebit de utile pentru proiectanți și constructori. Se evidențiază secțiunile cele mai solicitate ceea ce reduce investigația experimentală la minimum optim ; se precizează influența rigidizărilor prin traverse frontale a căror neglijare în cazul considerării unor soluții simplificate conduce la erori inacceptabile ; se studiază influența forțelor axiale, asupra stărilor de tensiune, care poate ajunge pînă la 30 % și care de obicei este neglijată. Pentru toate acestea se dau programe de calcul, ceea ce permite studierea în paralel a unui număr oarecare de variante, încă din faza de proiectare.

Ultimul capitol - al șaselea - concentrează rezultatele experimentale și expune metodele noi de investigație folosite în studiul dinamicii și durabilității structurilor cercetate. Se remarcă proiectarea și executarea unor standuri originale, unele recunoscute ca invenții și concordanța satisfăcătoare obținută între rezultatele teoretice și experimentale. S-a evidențiat apariția unor efecte de concentrare în noduri, necesitatea prezentării rezultatelor experimentale sub forma dreptelor de regresie și s-a dat o metodă și un program pentru calcularea funcției de autocorelație din datele experimentale cu ajutorul căreia s-a verificat durabilitatea cadrelor de biciclete pe baza metodicii propusă de autor.

X

X X

Autorul dorește să mulțumească tovarășului prof.em.dr.doc. ing.Gh.Silaș sub a cărui îndrumare și coordonare științifică și-a desăvîrșit pregătirea în perioada de doctorantură, pentru sprijinul generos acordat la întocmirea acestei lucrări.

Aduc cele mai deferente mulțumiri tovarășului prof.dr.ing. Lasăr Boles nțu, cărui îi datorez formarea și orientarea mea profesională și care cu multă bunăvoință și pricepere m-a susținut și îndrumat permanent în întreaga mea activitate științifică ; tovarășu-

lui pref.dr.ing.Iosif Grosanu, pentru ajutorul efectiv acordat la rezolvarea unor probleme de dinamică.

Imi fac o plăcută îndaterire din a mulțumi și pe această cale tovarășului doctor în matematică ing.Florea Dincă, șeful sectorului de vibrații de la Centrul de mecanica solidelor - București, care dintr-un deosebit simțămînt de etică profesională mi-a pus la dispoziție o valoroasă bibliografie în domeniul vibrațiilor aleatoare adunată de Domnia Sa în mulți ani de trudă. Mulțumesc conducerii Institutului de studii și cercetări în transporturi (ISOT) București, în special tov.ing.C.Halchini care mi-a permis utilizarea rezultatelor experimentale obținute la încercarea beghiului Y25-Cs.

Mulțumesc de asemenea, în mod cu totul special, colectivului de colegi de la disciplina de Rezistența materialelor cu ajutorul cărora am rezolvat, în cadrul contractelor de cercetare științifică, o parte din problemele prezentate în această lucrare.

1965





# PARTEA ÎNȚIA

## CAPITOLUL 1

### PROBLEMATICA PROIECTĂRII STRUCTURILOR DE REZISTENȚĂ HIPERSTATICE ALE VEHICULELOR ÎN REGIM DINAMIC

#### 1.1. Formularea problematicei

Structurile de rezistență întâlnite în construcția celor mai diverse vehicule, constituie în esență ansambluri de bare cu noduri rigide și grad mare de nedeterminare interioară, sollicitate de sarcini statice reprezentate în principal de încărcările utile și de sarcini dinamice specifice procesului de funcționare, care în general au un pronunțat caracter aleator. Datorită acestui complex de circumstanțe, proiectarea acestor structuri este un proces laborios, care nu și-a găsit încă o soluționare definitivă și care de obicei se dezvoltă în mod iterativ, prin completarea informațiilor necesare deciziilor de proiectare pe baza studiilor pe modele sau pe sisteme similare existente. Dacă în afara dificultăților provenite din hiperstaticitatea structurilor și imposibilitatea evaluării sarcinilor dinamice se mai ridică și probleme de predicție a durabilității în funcție de spectrul real de excitație și de optimizare a construcției, sarcina proiectantului este dintre cele mai grele. De aceea probleme care se tratează în literatura de specialitate separat, ca preocupări independente, sînt numai în mod formal necorelate, ele trebuind să formeze o metodologie unică de analiză și sinteză a structurilor, în care aspectele de dinamică și durabilitate sînt definitorii pentru soluția finală adoptată.

1.1.1. Considerații privind calculul static. În ansamblul de probleme enumerate, calculul static este cel mai bine definit și studiat și lui îi este dedicată o bogată literatură tehnică. Aceasta deoarece a constituit dintotdeauna o preocupare majoră a inginerului constructor care a dezvoltat discipline specializate pe această tematică. Cu toate că metodele de calcul au devenit clasice, creșterea complexității problemelor și evidențierea unor sollicitări suplimentare, au condus la reconside-

rarea metodologiei în evoluția calculatorie a problemei. Modul nou de abordare bazat în principal pe utilizarea calculului matricial, a fost facilitat de dezvoltarea impetuoasă a calculatoarelor electronice numerice și analogice. De aceea, în acest context și o parte din argumentele care pledau pentru utilizarea metodelor de aproximații succesive (Cross, Dasek, Kani etc.) decî pentru folosirea cu precădere a metodei deplasărilor își pierd din valabilitate, fiindcă rezolvarea sistemului de ecuații canonice ale metodei eforturilor nu mai constituie o problemă. În plus se obțin în acest fel direct eforturile din structură fără a mai trece prin calculul deplasărilor nodurilor. Acestea au fost de altfel motivele esențiale pentru care am preferat în dezvoltarea acestei lucrări metoda eforturilor, care răspunde mai direct la problemele legate de rezistența statică a structurii decî în mod principal cele două metode fundamentale de calcul constituite un proces unic de analiză a structurii, deoarece matricea de flexibilitate  $[f]$  nu este altceva decît inversa matricei reduse de rigiditate  $[K_R]$ .

$$\{ \delta \} = [K_R] \cdot \{ \delta \} \Leftrightarrow \{ \delta \} = [f] \cdot \{ \delta \} \Rightarrow [K_R]^{-1} \equiv [f] \quad (1.1)$$

notațiile fiind cele consacrate în literatura de specialitate [330], [332], [341], [344], [369], [393], [408], [451].

Este însă deosebit de important să se sublinieze că ambele metode efectuează de fapt numai un calcul de verificare, ceea ce presupune fie să este ales (impus) un anumit raport între rigiditățile grinzilor componente ale structurii, fie să se face o predimensionare în condiții simplificite ca structură static determinată. În această situație soluția adoptată are un pronunțat caracter subiectiv, depinzînd de experiența și informația proiectantului, decî evident se va căuta soluția cea mai corespunzătoare din punct de vedere economic și funcțional. Că informație cit mai completă privind ansamblul forțelor exterioare, caracteristicile mecanice ale materialelor utilizate, condițiile de lucru etc. poate conduce la un model aproximativ în care abaterile stării reale de eforturi să nu depășească de [22] ceea ce va asigura o convergență rapidă a procesului de proiectare și reducerea corespunzătoare a cheltuielilor destinate acestei faze.

#### 1.1.2. Analiza sarcinilor dinamice - Analiza dinamică a

unei structuri reprezintă un ansamblu de procedee și metode care au drept scop determinarea stării de deformație și de tensiune a structurii sau a elementelor structurii, sub acțiunea sarcinilor cu caracter dinamic, adică a acelor sarcini care variază rapid în timp și care contribuie la apariția forțelor de inerție.

Considerarea sarcinilor dinamice la proiectarea structurilor de rezistență (în special ale vehiculelor) este unul din aspectele cele mai dificile și mai puțin dezvoltate ale mecanicii construcțiilor [224, cap.42]. Dificultatea este inerentă și se aseamănă cu aceea de la calculul static, deoarece pentru o anumită structură evaluarea acestor sarcini este funcție de caracteristicile sale dinamice, care nu pot fi determinate până când aceasta nu a fost proiectată. În aceste condiții proiectantul este pus în situația de a calcula o structură admițând niște sarcini pe care nu le cunoaște. Deci și din acest punct de vedere abordarea problemei se face prin elaborarea unui anteproiect, care poate să fie cel din faza a doua a calculului static, care de asemenea se va perfecționa în mod progresiv pe baza informațiilor obținute din încercarea unui model și/sau prototip. Ideea proiectării numai pe baze analitice a acestor structuri, este relativ incorectă și de cele mai multe ori neavantajoasă, putând să devină prohibitivă economic, deoarece multe dintre elementele necesare calculului au un mare grad de incertitudine. Dezvoltarea în paralel a calculului și experimentării poate să conducă mult mai repede la o soluție mai corectă, în care experiența și intuiția proiectantului au un rol determinant, deoarece atât proiectarea cât și încercarea la solicitări dinamice nu reprezintă niște studii științifice exacte.

O asemenea evoluție a proiectului care să se efectueze atât din punct de vedere analitic cât și al realizării practice permite să se intervină pe parcurs în foarte multe direcții ca de exemplu la determinarea rigidității optime a elementelor structurale ce interacționează reciproc, în vederea recucerii la minimum a tensiunilor, la analiza frecvențelor proprii sau marii amortizării existente în structură, utilizând astfel date reale și nu ipotetice pentru modificarea calculului inițial.

În general pentru un calcul global aproximativ, sarcina dinamică poate fi determinată prin înmulțirea sarcinii statice cu un coeficient (multiplicator) dinamic, în care caz în elementele

solicitare tensiunile sînt egale cu cele produse de o sarcină statică echivalentă, avînd aceeași mărime cu cea dinamică. În operațiile de dimensionare însă, datorită faptului că tensiunile dinamice variază în timp și este deci posibilă apariția fenomenului de oboseală, se utilizează rezistențe admisibile mai mici.

În toate lucrările studiate de autor (v. bibliografia) această este metodologia general folosită. Considerăm însă că metoda prezintă un dezavantaj esențial prin faptul că lucrează cu un coeficient dinamic unic, calculat ca raportul local a două mărimi caracteristice regimului dinamic și static (tensiuni sau deplasări) fără să țină cont de repartiția acestor mărimi pe structură. Pornind de la această observație, am formulat ideea că încă din faza de proiectare se poate face un studiu al repartiției accelerațiilor pe structură, respectiv al forțelor de inerție corespunzătoare, introducînd astfel în calcul, nu o mărime globală medie ci niște forțe distribuite care apropie calculul de fenomenul real. Această concepție de proiectare constituie un mod nou de abordare a problemei, deoarece ține cont de faptul că fenomenul fizic care pune în evidență existența sarcinilor dinamice este deformația elementelor ce compun structura.

1.1.3. Optimizarea structurilor de rezistență. Problema obținerii unei soluții optime a structurii este o componentă firească a procesului de proiectare, atestată de un impresionant număr de lucrări de cercetare științifică consacrate acestui domeniu astfel încît în stadiul actual nu se mai poate vorbi despre o proiectare rațională fără un studiu de optimizare. RAUTU S., BANUT V. în [393], fac un studiu aprofundat al acestei idei, pe care o semnalăm pentru importanța ei în cadrul problematicei proiectării structurilor de rezistență, deși nu a constituit o preocupare distinctă pentru noi. Totuși cercetările efectuate de autor pe cele câteva variante de boghiuri [40], [42], [50], [51], reprezintă un prim pas în această direcție. Aceasta cu atît mai mult cu cît proiectarea optimă, sub diversele ei aspecte, nu trebuie confundată cu proiectarea obișnuită, pe care nu o exclude ci o completează, constituind o analiză prealabilă care oferă datele necesare referitoare la forma și dimensiunile structurii în ansamblu precum și la forma sau dimensiunile secțiunii transversale a elementelor.

Decarece calculul structurilor hiperstatice constă în verificarea stării de solicitare după obținerea unei prime soluții,

încercarea de optimizare prin uniformizarea repartiției tensiunilor pe ansamblul structurii cu modificarea corespunzătoare a secțiunilor transversale, nu rezolvă problema, fiindcă se ajunge la o stare de eforturi diferită de cea inițială, întrucât eforturile sînt funcții de raportul rigidităților grinzilor componente.

De aceea, din punctul de vedere al calculelor de rezistență, criteriile de optimizare se referă la realizarea structurilor cu un consum minim de material, respectarea condiției de minimum a energiei potențiale pe ansamblul său, utilizarea eficientă a materialului astfel încît unitatea de volum să respecte condiția de maximum a energiei potențiale specifice (condiția de structură de egală rezistență) sau în sfîrșit o condiție de rigiditate maximă, adică de minim a deformațiilor posibile. Mulțimea studiilor teoretice întreprinse în această direcție nu au dat soluție decît pentru un număr mic de cazuri particulare. Ele au enunțat însă o serie de teoreme generale, dintre care cea mai interesantă este aceea care afirmă că o structură de egală rezistență conduce la o structură de greutate minimă. În cazul structurilor supuse la acțiunea unor sarcini aleatoare, un criteriu rațional de optimizare constă în limitarea primei frecvențe a vibrațiilor proprii sau în limitarea săgeților maxime admisibile.

1.1.4. Calculul programat al structurilor. Posibilitățile practic nelimitate oferite de calculatoarele electronice cifrice în privința efectuării calculelor numerice, au impus, în ultimul deceniu, revizuirea metodelor de calcul a structurilor și a formulărilor matematice folosite pentru aceasta. Folosirea metodelor matriciale în soluționarea problemelor de calcul static au permis o scriere concisă și precisă a problemei și efectuarea calculelor în mod sistematic. Odată cu apariția acestor noi perspective, pe plan mondial s-a declanșat o acțiune masivă de realizare a unor programe complete și limbaje specializate, pentru calculul structurilor, ceea ce subliniază importanța acestor probleme. Amintim astfel "Programul de calcul al structurilor articulate spațiale" - STAIR - (Structural Analysis Interpretative Routine) pus la punct între anii 1958...1960 la Massachusetts Institute of Technology și "Programul de calcul al structurilor

prin elemente finite" - ASAF - (Analyse de structures par éléments finis) pus la punct la Universitatea din Liège în cadrul laboratorului de tehnici aeronautice și spațiale [7], [369], [490], [491].

Dificultățile acestor programe ce conțin o serie de restricții care le fac utilizabile numai de specialiști și la care chiar interpretarea rezultatelor este o problemă delicată, au condus la apariția de limbaje orientate ca de exemplu limbajul STRESS (Structural Engineering Systems Solver) care a început să fie programat la sfârșitul anului 1962 la Universitatea din Illinois și la apariția de sisteme integrate care utilizează limbaje specializate și subprograme tip care să permită utilizarea calculatoarelor electronice și inginerilor cu experiență redusă în acest domeniu. Pentru exemplificare cităm sistemele integrate ICAS (Integrated Civil Engineering System) sau SYSPAP (Système Intégré de Fichiers Auto Programmés) al Universității din Liège. Toate aceste realizări care au necesitat investiții considerabile, subliniază importanța economică a problemei, calculul de proiectare având o pondere valorică însemnată.

## 1.2. Problemele generale ale vibrațiilor aleatoare și implicațiile lor

Structurile de rezistență care au făcut obiectul preocupărilor cuprinse în această teză sînt cele care se întîlnesc în construcția vehiculelor rutiere și feroviare caracterizate, din punct de vedere dinamic, prin faptul că mișcările lor vibratorii sînt aleatoare și pot fi modelate satisfăcător printr-un proces stohastic staționar și ergodic.

Deoarece calculul static este o problemă în general pusă la punct și cunoscută, nu ne vom mai ocupa de prezentarea evoluției preocupărilor în acest domeniu. Vom face însă o prezentare mai amănunțită a dezvoltării cercetărilor în domeniul vibrațiilor aleatoare, pentru a evidenția formarea conceptelor fundamentale, stadiul actual al cercetărilor și implicațiile acestora în domenii conexe, deoarece aceste probleme sînt încă în fază de definitivare, sînt mai puțin cunoscute și au constituit modul în care au fost abordate problemele de dinamica structurilor de rezistență în cadrul acestei teze. Evident că metoda de lucru poate fi

aplicată în cele mai largi de structuri care satisfac ipotezele de acceptate.

1.2.1. Istoricul teoriei generale. Se înțelege, în general, prin "vibrație aleatoare", o vibrație care rezultă dintr-o excitație ce nu poate fi reprezentată satisfăcător printr-o funcție simplă oarecare (sinusoidală, treaptă etc.) sau prin combinații de asemenea funcții, dar care poate fi modelată printr-un proces stohastic (S.H.CRANDALL [99], [109], [287]). Deci, dacă vibrația este aleatoare, valoarea sa la un moment dat nu poate fi dedusă din cunoașterea valorilor anterioare, ci se pot face numai predicții asupra valorilor ulterioare pe baza unor interpretări probabilistice a rezultatelor. Astfel ea poate fi definită numai pe baze statistice, indicându-se probabilitatea de apariție a unor amplitudini și frecvențe (HARRIS și CREDE [224], [103]; I.DENCKA [127]; J.D.ROBSON [398], [400], [403]; S.H.CRANDALL [288], [289]; T.K.CAUGHY [78], [80]).

Din punct de vedere matematic aceasta înseamnă că în sistemul de ecuații diferențiale cu ajutorul cărora este descrisă mișcarea sistemului mecanic considerat, numai termenii liberi sînt funcții aleatoare de timp. Astfel formulată problema, se limitează domeniul de cercetare, deoarece în fenomenele reale apariția unor vibrații aleatoare se poate datora și altor elemente care prezintă o asemenea variație ca de exemplu: elasticitățile, disipările de energie, masele, unele elemente geometrice etc. Dar deși există studii care se ocupă și cu aceste situații (S.H. SACAKAKA [177]) se poate afirma că prima accepțiune este dominantă și aceasta este situația pe care o întîlnim în studiul mișcărilor vibratorii ale structurilor de rezistență de la vehicule.

Parafrazîndu-l pe S.H.CRANDALL [99], considerăm că nu este o exagerare în a afirma că "toate vibrațiile sînt aleatoare orice înregistrare de vibrații conține încurcături de un anumit nivel și în general toate sursele de excitație sînt aleatoare, deși în anumite cazuri nivelul de stohasticitate este așa de scăzut încît poate fi neglijat. Din această cauză excitațiile care apar în diverse probleme de vibrații, sînt reprezentate prin funcții periodice și în general prin prima armonică a seriilor Fourier. Această teorie a vibrațiilor tehnice a dat rezultate satisfăcătoare pentru o serie întreagă de sisteme mecanice oscilatorii, ca de exemplu cele de tipul maselor dezechilibrate în

mişoare de rotație.

Există însă foarte multe situații, cum sînt cele întîlnite în dinamica vehiculelor, răspunsul structurilor de avioane la turbulențe atmosferice și al navelor la mări agitate, funcționarea ajutoarelor mari și a rachetelor etc. în care excitațiile nu mai pot fi reprezentate în cadrul analizei clasice prin serii Fourier. Aceasta deoarece apar conceptual elemente noi, din cauza nereproductibilității realizărilor la repetarea măsurării condițiilor de excitație și a inexistenței unei legi deterministe în exprimarea analitică a fenomenelor. În acest caz soluționarea se poate face numai în cadrul teoriei proceselor stohastice, avînd la bază metodele de analiză din teoria probabilităților și statistica matematică. Deși aceste metode au pătruns în multe domenii ale mecanicii, dezvoltarea teoriei vibrațiilor aleatoare a fost însă lentă comparativ cu realizările acestor domenii. Astfel A. EINSTEIN face în 1905 [144] prima analiză matematică a mișcării browniene, considerată ca un caz particular de vibrație aleatoare. Au trecut după aceea mai bine de 25 de ani, pînă cînd în 1931 A. VAN DER POL și G. M. UHLENBUCK (precizare în [99]) extind această teorie la sisteme vibratorii ca firele și grinzile. În această perioadă apar însă două lucrări care aveau să fie esențiale pentru dezvoltarea ulterioară a teoriei vibrațiilor aleatoare și anume: în 1920 S. I. TAYLOR [99], [436] introduce conceptul funcției de corelație iar în 1930 N. W. MOSES [457] introduce noțiunea de densitate spectrală de putere și formulează așa numita analiză armonică generalizată. Acestea sînt conceptele fundamentale ale teoriei proceselor stohastice care constituie sîmburele central al teoriei vibrațiilor aleatoare.

Noțiunea de proces stohastic este folosită ca un model matematic - ipotetic - pentru descrierea surselor de excitație sau a răspunsului sistemului, după cum sinusoida simplă este folosită ca model de vibrații în general. Este evident că amîndouă sînt simplificări ale realității fizice, necesare pentru crearea unui model operațional, însă cu un grad de utilizare diferit.

Astfel, dac  este predominantă o componentă singulară a frecvenței, este utilă folosirea modelului sinusoidelor simple; dac  sînt așa de multe componente încît nu este posibilă sau nu este convenabilă identificarea lor separată, modelul cel mai fo-



lositor este acela al procesului stohastic în care se utilizează mediile în locul datelor individuale, cele mai importante fiind funcțiile de corelație și transformatele lor Fourier (densitățile spectrale de putere). Importanța acestor medii rezidă în faptul că pentru un sistem vibrator cu coeficienți constanți, este posibil să se obțină media corespunzătoare a răspunsului direct din cunoașterea mediei excitației [24], [54], [79], [99], [127], [140], [143], [171], [191], [195], [307], [337].

Prima aplicație a acestor noțiuni la sistemele mecanice, pare să fie aceea a lui C.C.LIN [304] din 1943, care consideră un sistem oscilant cu un singur grad de libertate, acționat de o forță descrisă numai prin funcția ei de corelație.

Incepînd din 1943 se pun bazele unor sistematizări din ce în ce mai clare pentru aplicarea teoriei proceselor stohastice în probleme de vibrații. Sînt remarcabile în acest sens lucrările lui S.G.RIC [397] din 1945 în care sînt redată o serie de rezultate importante privind statistica zgomotului în sisteme liniare și neliniare. Aceste lucrări, dintre cele mai citate în literatură, au avut o aplicație largă în studiul avariilor de oboseală produse de vibrațiile aleatoare. După publicarea acestor lucrări, încep să apară un număr considerabil de studii consacrate acestei problematice; în ultimul deceniu, monografiile lui S.H.CRANDALL [287]; J.D.ROBSON [402]; F.DINCA și C.FLODOSIU [127] etc. au izbutit să sistematizeze cunoștințele existente în teoria vibrațiilor aleatoare liniare.

Procesele stohastice sînt deasemenea descrise în termenii distribuției de probabilitate asociate lor, metodă de lucru care este cea mai completă dar care incumbă reale dificultăți matematice și mai ales experimentale. Există totuși procese particulare dintre care cel mai important este procesul gaussian, care prezintă caracteristica specială că răspunsul unui sistem liniar cu coeficienți constanți la o excitație de acest tip este de asemenea un proces gaussian (M.S.BARTLETT [18]; V.B.DAVENPORT [117]; A.A.SVETENICOV [433]). De mare utilitate în privința aspectului operațional, sînt și procesele Markov [112], [113], [143], care au particularitatea că proprietățile probabile ale procesului în intervalul de timp care urmează, sînt complet determinate de valorile din momentul anterior, deci pentru calcularea densităților de probabilitate de orice ordin este suficientă cunoașterea densității de

probabilitate bidimensionale. Aceste procese au început să fie utilizate cu rezultate satisfăcătoare în studiile de degradări cumulative bazate pe teoriile de evoluție a fisurii din mecanica rupei [168], [273], [314], [324], [376], [464], [467], [468].

1.2.2. Surse de excitații aleatoare. În toate procesele dinamice ale sistemelor mecanice apar aspecte probabilistice care sînt datorate, în general, variației aleatoare a surselor de excitație. Se amintesc în continuare cîteva dintre sursele cu cel mai pronunțat caracter aleator, deoarece metodele generale de modelare și tratare matematică a acestor procese sînt comune și dezvoltarea lor a fost influențată, pe rînd de necesitățile tuturor acestor domenii.

Un exemplu grafic de proces stohastic este dat de suprafața unei mări deschise. În 1952 LONQUET-HIGGINS [311] a arătat că într-un interval scurt valorile oceanului pot fi reprezentate printr-o bandă îngustă staționară de proces gaussian, iar distribuția înălțimii valurilor este foarte aproape de distribuția Rayleigh. O teorie a mișcării navelor pe mări deschise a fost propusă de ST. DENIS și PIERSON [123] în 1953 și a fost extinsă de M.H. JASPER [256] și verificată experimental parțial de D.E. CARTWRIGHT [76]. În domeniul vibrațiilor structurilor de nave menționăm lucrările lui M.H. JASPER, M.L. LONQUET-HIGGINS [311] etc.

Un alt exemplu de sursă de excitație aleatoare este dat de turbulența atmosferică, cu efecte similare asupra mișcărilor avioanelor și a solicitărilor structurii de rezistență a acestora ca în cazul influenței mișcării mărilor asupra navelor. În 1952 LIEPMANN [301], [302] dă prima analiză completă a problemei de lovire, neglijînd distribuția spațială a turbulenței. Aceasta a fost extinsă tot de H.W. LIEPMANN [301] și apoi de F.W. DINDERICH [126] spre a îngloba efectul distribuției bidimensionale. În probleme legate de aviație mai sînt notabile lucrările lui T.L. COLMAN [99]; E.I. RICHARDS, H. PRESS și J.C. HOMBOLDT [223] etc.

Ajutajele largi ale turbinelor cu gaze și motoarelor de rachetă generează puteri acustice de un nivel foarte înalt și cu un grad ridicat de stohasticitate. În problemele legate de zgomotul care însoțește funcționarea acestor mașini, sînt de remarcă lucrările ținute în cadrul a trei simpozioane despre zgomotul avioanelor publicate în J. Acoust. Soc. Amer. și J. Roy. Aero. Sci. în 1953 și 1954.

Mișcările scoarței pământului și în general problemele de seismicitate sînt exemple clasice de procese stohastice ne-staționare, cu implicații directe în calculele de rezistență ale structurilor de clădiri, hale industriale, poduri etc. În această direcție sînt de amintit lucrările lui V.V. BOLOTIN [53], [76], [478], G.W. HOUSNER [241], [242] și recent, în literatura română excelentul manual al lui M. IERIM [476], [477].

Căile de rulare, drumurile rutiere, căile ferate, reprezintă de asemenea surse de excitații aleatoare datorită profilului lor întîmplător. Vibrațiile generate de mișcarea vehiculelor pe cale influențează atît asupra condițiilor de confort cît și asupra durabilității structurilor de rezistență. Cercetări s-au făcut în ambele direcții : S.T. ARIARTNAM [8], I.G. PARILOVSKI [362], I.M. PLVZNER [368], A.A. TIHOV [421], J.D. ROBSON [399], [402], [403], A.A. SILALV [421] etc.

1.2.3. Răspunsul sistemelor oscilante la excitații aleatoare. Răspunsul unui sistem oscilant cu parametri constanți la o excitație aleatoare dată, poate fi determinat sau în domeniul timpului, folosind sistemul impuls-răspuns și integrala de convoluție, sau în domeniul frecvențelor, folosind sistemul frecvență-răspuns și transformata Fourier a excitației [99], [108], [191], [254], [269], [337], [300], [375], [385], [397], [405], [406], [421], [432], [444], [475], [477], [478], [500], [501]. În cazul special important cînd excitația este un proces aleatoriu staționar, cu densitatea spectrală de putere cunoscută, se poate determina în mod simplu densitatea spectrală a răspunsului cunoscînd funcția de transfer a sistemului [388], [475], [479]; rezultatul este independent de proprietățile distribuției care caracterizează procesul de excitație. S.H. CRANDALL [104], [109], [287]; F. DINCA [129], arată că este posibil să se obțină informații în ceea ce privește distribuția de probabilitate a răspunsului într-un caz general. J.D. ROBSON în [399], [402] studiază răspunsul structurilor de vehicule în diverse condiții de excitație, S.H. CRANDALL și colaboratorii [101], [102], [288], [289] studiază de asemenea probleme de vibrații la vehicule, nave, avioane, rachete etc.

În privința răspunsului sistemelor neliniare, cercetările s-au dezvoltat în două direcții în funcție de proprietățile și caracteristicile acestui răspuns, care poate să fie o funcție

instantanee de excitație sau poate să depindă de toată desfășurarea în trecut a excitației. În primul caz au fost studiate probleme în legătură cu zgomotul din detectori și rețesori în sistemele de transmisie electronice de către S.O.RICE [397], KAÇ și BILGIR [260] ș.a. Din a doua categorie fac parte sistemele oscilatorii care au forțe de restabilire și amortizare neliniare. În privința vibrațiilor aleatoare neliniare ale sistemelor mecanice abia în jurul anului 1960 se face un început prin K.CHUNG și L.F.KAZDA [499], S.T.ARIANNAN [8], R.L. LION [307], [308], căutându-se ca dificultățile matematice deosebite ale problemei să fie depășite prin folosirea ecuației Fokker-Planck [129], [475], [479]. Tot în jurul aceleiași an au apărut lucrările lui CAUGHEY [77], [81], [267], KOLOWSKI [287] și LION [308] privind aplicarea metodei liniarizării statistice.

Referitor la mediile continue problemele care se formulează sînt legate de distribuția în spațiu și timp a excitației. O tratare generală a propagării funcțiilor de corelație este dată de LION [307] și de POWELL [99] folosind o aproximație în mod normal. A.C.BRENSEN [147], W.F.THOMSON și M.V.BARTON [439], J.C.SAMUELS [99] analizează probleme de vibrații aleatorii la grinzi și învelișuri. Deși teoria în acest caz se limitează la domeniul sistemelor cu coeficienți constanți excitate prin procese gaussiene staționare, ea are o deosebit de mare aplicabilitate.

1.2.4. Fisurări și ruperi datorită vibrațiilor aleatoare. Dacă elementele unei construcții sînt supuse acțiunii vibrațiilor aleatoare, atunci în ele apar eforturi și tensiuni care de asemenea au un caracter aleator și care pot provoca fisurări și ruperi prin oboseală [12], [14], [19], [25], [32], [34], [56]-[66], [82], [121], [148], [153], [166], [172], [183], [212...220], [244], [284...286], [306], [313], [331], [364], [373], [411], [437], [458], [465]. Această problemă deosebit de importantă pentru tehnică, s-a constituit în ultimul timp ca și domeniu de cercetare independent și este dificil de a-l menționa pe scurt chiar și numai bibliografic. Referiri mai ample se vor face în capitolul 4 din această lucrare.

În orice caz literatura prezintă un număr impresionant

de studii privind oboseala metalelor și a structurilor la solicitări deterministe. La solicitări aleatoare există un număr de teorii de degradare cumulativă : A.M.FRIEDMANN [160], [161], COHEN și DOLAN [95], [138], [139], D.CIOCILOV [87], [89], SHERING [417], [419], CHENG [355], [356], IVANOVA [249], [350] etc. mai mult sau mai puțin raționale, care caută să dea o predicție de durabilitate pe baza unor date nealeatorii. Cea mai bine cunoscută dintre acestea, ipoteza degradărilor cumulative liniare, a fost sugerată în mod independent de PALMGREN și LINER [339], [340], [359]. Folosind acest criteriu și estimațiile statistice ale lui S.O.Rice, MILES [339] a fost capabil să prezică durata de viață la oboseală a unui element de construcție care rezonă și care a fost supus la vibrații aleatoare.

În acest domeniu mai trebuie subliniat că dacă nivelul de stohasticitate este ridicat, vibrația aleatoare determină condiții de funcționare foarte severe atât pentru elementele structurii cât și pentru echipamentul sensibil de măsură, control și comandă.

1.2.5. Probleme de proiectare și încercare. Deoarece în acest domeniu literatura este foarte săracă, se vor reda sumar constatările din studiul extensiv al lui S.H.GRANDALL [99]. Proiectarea construcțiilor sau a echipamentelor care să funcționeze în condiții de vibrații aleatoare este o problemă complexă și dificilă. Câteva principii generale au fost enunțate de MAINS [320] iar teoriile existente prevăd numai niște linii grosolane de orientare pentru proiectant. Totuși întreaga literatura este de acord asupra necesității unui program extensiv de încercări, singura cale eficientă pentru a ajuta efortul de proiectare în viitor. Introducerea recentă în anumite norme de materiale și produse a încercărilor și verificărilor la vibrații aleatoare a provocat, ceea ce literatura anglo-saxonă numește "o revoluție în stil minor". Însă înregistrarea și interpretarea datelor privind vibrațiile aleatoare este o operație complexă și costisitoare, de aceea trebuie găsită o cale economic-avantajoasă între calculul, proiectarea și încercarea structurilor supuse la solicitări aleatoare. O tratare a acestor probleme a fost făcută de LACKMAN și TUKELI [33] iar aspectele pecuniare legate de înregistrarea și prelucrarea datelor vibrațiilor aleatoare au

foarte accentuate de MORROW [342].

### 1.3. Cercetări similare în țara noastră

Problemele de calcul static al structurilor cu nedeterminare interioară au făcut obiectul unor excelente monografii și manuale cu referire exclusivă la activitatea inginerului constructor dintre care cităm : AL. JILORGHIU [492], [493], RADU AGENT [491], IOAN I. MINTIANU [344], S. LAUTU și V. BANUT [393], [490].

Metodele generale aplicate în ingineria mecanică pentru calculul de rezistență al unor structuri de vehicule, au făcut obiectul unui număr relativ mic de lucrări : I. DEUTSCH [125], M. BUGA [61], [62], L. BOLEANTU și colab. [38], [42], [50].

Problemele de calcul dinamic sînt în general mult mai puțin reprezentate datorită dificultăților de ordin matematic și experimental. Ele fac obiectul unor capitole în tratatele de rezistența materialelor și teoria elasticității sau al cursurilor de dinamica construcțiilor, care nu depășesc însă aspectele clasice ale teoriei generale a vibrațiilor.

În acest domeniu al vibrațiilor deterministe sînt de subliniat rezultatele remarcabile ale școlii din Timișoara : Gh. SILAG [494], [495], [496], I. GROSANU [497], L. BRINDEU [498] și colaboratorii, ale școlii din București : Gh. BUZDUGAN, I. HAMBURGER [503], [504], ș.a., ale școlii din Brașov : I. DEUTSCH, V. OLARIU, Gh. SIMA [125].

Problemele cercetării vibrațiilor aleatoare s-au dezvoltat începînd din anul 1966 la Centrul de mecanica solidelor, în legătură cu optimizarea suspensiilor de automobile în cadrul colectivului F. LINCA [128], [129], C. TEODOCIU și R. SIRETEANU, colectiv care elaborează și prima carte de vibrații aleatoare în limba română [127]. Începînd din anul 1970 în cadrul facultăților de construcții s-a introdus un curs de **A n a l i z a d i n a m i c ă a s t r u c t u r i l o r ș i i n g i n e r i e s e i s m i c ă**, reprezentat prin excelentul manual al lui MIHAIL IFRIM [476]. Privind bazele matematice ale proceselor stohastice, pe lângă cunoscutele monografii de teoria probabilităților de o deosebită valoare științifică ale lui O. ONICESCU [357], [358], Gh. MIHOC [334], [335], [336], M. IOSIPESCU [246], [247], amintesc lucrările din domeniul teoriei comunicației și automatizării ale lui AL. SPATARU [499] și L. SEBASTIAN [500] foarte utile pentru formularea

analogiilor electrice ale sistemelor mecanice.

Aplicațiile în probleme de oboseală se încep încă din 1938 la catedra de Rezistența materialelor a Institutului politehnic din Timișoara și mai târziu la C.S.I.O. din Timișoara sub conducerea lui ST.NABAGAN sau la București sub conducerea lui GH.BUZDUGAN. Sînt de remarcate în acest domeniu lucrările lui L. BOLLANTU [39], [41], M.RATIU [390], [391], [392], [502], I.HAJLU [28] [29], B.HOROVITZ [30], D.IOVITIU, A.BERNATH, V.SAFTA [27], [28], [31], T.IERLESCU [232], [233], D.CIOCLOV [87], [88], [91]; L.BOLLANTU și I.DOBRE brevetează o metodă de încercare a structurilor de rezistență ale vehiculelor la vibrații aleatoare și durabilitate [37]; I.DOBRE propune pentru brevetare un nou echipament și o nouă metodă pentru același scop [483].

## CAPITOLUL 2

### CONTRIBUȚII PRIVIND CARACTERIZAREA STATISTICĂ

#### 1. PROCESULOR STOCHASTICE DE EXCITATIE SI/SAU DE RASPUNS ALA SISTEMELOR VIBRATORII MECANICE<sup>x)</sup>

##### 2.1. Teoria corelațională a proceselor stohastice

2.1.1. Notiunea de proces stohastic. Sub aspect cu totul general, se înțelege prin proces stohastic, un proces care se desfășoară indefinit în timp și care este guvernat de legi probabilitice. Din punct de vedere matematic un asemenea proces este o funcție de două variabile

$$X(k,t) = \{^k X(t)\}, \quad k \in N, t \in R \quad (2.1)$$

unde  $k$  ia valori în spațiul eșantioanelor, iar variabila  $t$  (care poate fi de fapt orice parametru continuu) ia valori pe axa reală a timpului, cu proprietatea că pentru orice valoare fixă a parametrului :  $t = t_1 \Rightarrow X(k,t_1) = ^k X(t_1)$ , funcția devine o variabilă aleatoare definită pe mulțimea numerelor  $k$  [24],[117],[499]. Funcția  $^k X(t)$  se numește o realizare particulară a procesului sau o funcție eșantion, iar totalitatea acestor realizări  $\{^k X(t)\}$  se numește ansamblu, proces stohastic sau funcție aleatoare (se vor folosi după necesități toate aceste denumiri relativ sinonime din punctul nostru de vedere).

Pentru studiul și cercetarea sistemelor dinamice elastice, liniare, neliniare sau parametrice, s-au dezvoltat două teorii de bază : teoria corelațională și teoria stohastică, legate de teoria proceselor Markov și ecuația Fokker-Planck-Kolmogorov. Teoria corelațională se utilizează de obicei la cercetarea sistemelor lini-

---

<sup>x)</sup> [482] IONIL DOBRIE : Metode statistice în studiul vibrațiilor. Referat pentru doctorat, 1972, 130 pag. Biblioteca catedrei de Mecanică și rezistența materialelor



are cu parametri constanți și variabili și a celor neliniare cuprinsă în linia de bază a lucrării, iar teoria stohastică este foarte potrivită pentru cercetarea sistemelor parametrice liniare și neliniare. În lucrare, pentru a nu pierde aspectul ingineresc al problemelor cercetate și datorită cadrului specific al tematicii se utilizează în exclusivitate teoria corelațională.

**2.1.2. Caracterizarea proceselor stohastice.** Caracterizarea statistică a unui proces stohastic se poate face în două moduri diferite : fie într-o formă relativ completă cu ajutorul distribuțiilor de probabilitate multidimensionale, fie în cadrul teoriei corelaționale cu ajutorul primelor două momente, metodă care se adoptă în continuare.

**2.1.2.1. Să considerăm că analizăm procesul stohastic**

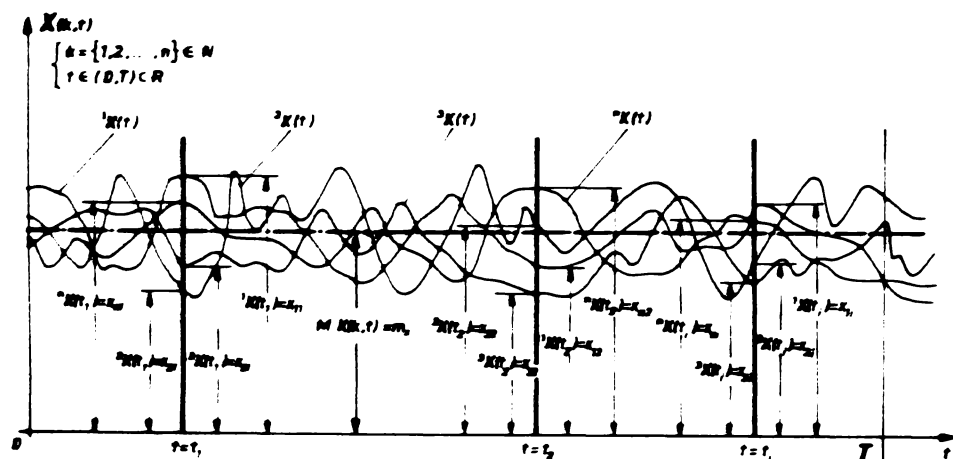


Fig. 2.1

Exemple de realizări ale unui proces stohastic

$X(t)$  reprezentat de profilul unei căi de rulare, care la o anumită scară, dependentă de viteza de parcurgere a căii este o funcție aleatoare de timp (considerat ca un parametru continuu nealeator). A presupunem că

pentru cercetarea căii s-au efectuat  $n$  experiențe independente și s-au obținut  $n$  funcții eșantion (v. fig. 2.1).

$$\{^1X(t), ^2X(t), \dots, ^nX(t)\} \quad (2.2)$$

În funcție de numărul de realizări care vor fi luate în considerare (problema de selecție) proprietățile procesului vor putea fi caracterizate cu un grad sau altul de aproximare.

Dacă interesează valoarea procesului stohastic numai în momentul  $t_1$ , atunci este suficient să cunoaștem legea diferențială de repartizare a variabilei aleatoare  $X_1 = X(t_1)$  care se notează cu  $f(x_1, t_1)$ . În multe probleme cunoașterea acestei legi de repartizare  $f(x_1, t_1)$  este suficientă, însă, în general, ea nu poate fi o caracteristică completă a procesului stohastic deoarece

nu da nici un fel de indicații despre dependența reciprocă a ordonatelor. De aceea pentru obținerea unor caracteristici mai detaliate se aleg două valori ale argumentului  $t_1$  și  $t_2$  și se formează variabilele aleatoare  $X_1$  și  $X_2$  care pot fi caracterizate complet prin densitatea de probabilitate bidimensională corespunzătoare  $f(x_1, x_2; t_1, t_2)$ . Această analiză poate fi continuată și se poate considera că un proces stohastic este complet determinat dacă sînt date toate legile diferențiale de repartizare  $n$ -dimensionale pentru orice valori  $t_1, t_2, \dots, t_n$  din domeniul de variație al argumentului  $t$ .

Sub aspectul posibilităților de folosire practică, caracterizarea unui proces stohastic prin densitatea multidimensională de probabilitate este inoperantă, fiind utilizabilă numai pentru anumite clase particulare de procese cum sînt cele de tip Markov [24], [53], [92], [113], [117], [140], [193], [267], [421], Gauss-Laplace [18], [132], [296], [337], [433] sau cu valori independente [16], [248], [406], pentru care este necesară și suficientă cunoașterea distribuțiilor mono și/sau bidimensionale.

2.1.2.2. În aceste condiții, în majoritatea cazurilor aplicative, calculul se limitează la determinarea parametrilor numerici ai legilor de distribuție corespunzătoare, dintre care cea mai mare eficacitate o au momentele de diferite ordine determinate prin egalitatea

$$i_1 i_2 \dots i_n = M \{ [X(t_1)]^{i_1} \cdot [X(t_2)]^{i_2} \dots [X(t_n)]^{i_n} \} \quad (2.3)$$

$n = 1, 2, 3, \dots$

unde

$M$  - operatorul liniar de mediere

$i_1 + i_2 + \dots + i_n$  - ordinul momentului

Din mulțimea acestor momente se rețin ca definitorii cele de primul și al doilea ordin. Avem astfel

$$M_1 = M\{X(t_1)\} \quad \text{sau} \quad \overline{X(t_1)} = \int_{-\infty}^{\infty} x_1 \cdot f(x_1; t_1) dx_1 \quad (2.4)$$

reprezentînd o medie statistică pe mulțimea realizărilor sau o medie pe ansamblul  $\{X^k(t_1)\}$  coordonatelor procesului stohastic numită adeseori așteptare matematică sau speranță matematică. În general aceasta depinde de valoarea aleasă a lui  $t_1$  și se notează atunci această dependență funcțională evidentă de  $t$  fără să se mai pună indici.

$$\overline{X(t)} = M\{X(t)\} = \int_{-\infty}^{\infty} x \cdot f(x;t) \cdot dx = m_x(t) \quad (2.5)$$

Ceea ce este deosebit de important de subliniat este faptul că funcția  $\overline{X(t)}$  nu mai are un caracter aleator și este complet determinată de densitatea de probabilitate de ordinul întâi.

Momentele inițiale de ordinul al doilea se pot referi fie la valoarea procesului la un moment dat  $t = t_1$

$$M_2(t_1) = M\{[X(t_1)]^2\} \quad (2.6)$$

fie la valorile din două momente distincte  $t = t_1$  ;  $t = t_2$  când se obține ceea ce se va numi momentul de ordinul doi corelat, intercorelat, reunit sau mixt (смешенне)<sup>x)</sup>

$$M_{1,2}(t_1, t_2) = M\{X(t_1) \cdot X(t_2)\} \quad (2.7)$$

În calcule se utilizează momentele centrate de ordinul al doilea care sînt :

I. Dispersia variabilei aleatoare  $X(t_1)$  care scrisă sub formă generală este

$$D[X(t)] = M\{[X(t) - m_x(t)]^2\} = \int_{-\infty}^{\infty} [x - m_x(t)]^2 \cdot f(x;t) dx \quad (2.8)$$

II. Funcția de autocorelație (numită și funcție de autovariație [479], [499])

$$\begin{aligned} K_x(t_1, t_2) &= M\{[X(t_1) - m_x(t_1)][X(t_2) - m_x(t_2)]\} = M\{X^0(t_1) \cdot X^0(t_2)\} = \\ &= \int_{-\infty}^{\infty} \int_{-\infty}^{\infty} [x_1 - m_{x1}(t)] [x_2 - m_{x2}(t)] f(x_1, x_2; t_1, t_2) dx_1 dx_2 \quad (2.9) \end{aligned}$$

În multe lucrări această funcție se numește funcție de corelație [117], [191], [193], [224], [409], [499] după opinia mea în mod impropriu. Voi păstra denumirea de funcție de corelație, situației în care intervine analiza corelației reciproce sau intercorelației dintre două procese stohastice diferite,  $X(t)$  și  $Y(t)$ , ca de exemplu dintre spațiu și viteze, spațiu și accelerații etc.

În acest caz funcția de corelație a celor două procese, pentru două momente arbitrare de eșantionare  $t_1$  și  $t_2$ , este o funcție de două variabile reale definită astfel

<sup>x)</sup> Nu există un limbaj unanim acceptat în literatură.

$$\begin{aligned} K_{XY}(t_1, t_2) &= M\{[X(t_1) - m_X(t_1)][Y(t_2) - m_Y(t_2)]\} = \\ &= M\{Y^0(t_1) \cdot Y^0(t_2)\} \end{aligned} \quad (2.10)$$

Utilizarea acestor caracteristici încadrează problema analizei proceselor stohastice în așa numita teorie corelațională.

### 2.1. Criterii de staționaritate

O caracteristică esențială a proceselor stohastice care determină posibilitatea de aplicare a diferitelor metode de calcul, este dependența sau independența proprietăților procesului de alegerea originii parametrului  $t$ , în funcție de care acestea pot fi nestaționare sau staționare. Pentru procesele staționare, toate legile diferențiale de repartizare multidimensionale depind numai de distribuția reciprocă a momentelor  $t_1, t_2, t_3, \dots, t_n$  și nu depind de valoarea acestor mărimi, adică proprietățile lor stohastice sînt invariabile la o schimbare arbitrară a originii timpului. În această accepțiune se înțelege prin proces stohastic staționar în sens restrîns (strict) un proces a cărui densitate de probabilitate  $n$ -dimensională, corespunzătoare oricărei diviziuni  $d = (t_1, t_2, \dots, t_n)$  este invariantă la o translație a parametrului  $t$ , adică  $\forall n \in \mathbb{N} \Rightarrow$

$$\begin{aligned} f(x_1, x_2, \dots, x_n; t_1, t_2, \dots, t_n) &= \\ &= f(x_1', x_2', \dots, x_n'; t_1 + t_0, t_2 + t_0, \dots, t_n + t_0) \end{aligned} \quad (2.11)$$

unde

$x_i'$  sînt valorile curente pe dreptele de definiție ale variabilelor aleatoare  $X(t_i + t_0)$

$t_0$  - un număr real oarecare.

Pentru  $t_0 = -t_1$  se obține

$$\begin{aligned} f(x_1, x_2, \dots, x_n; t_1, t_2, \dots, t_n) &= \\ &= f(x_1', x_2', \dots, x_n'; 0, t_2 - t_1, \dots, t_n - t_1) \end{aligned} \quad (2.12)$$

În cazurile particulare  $n = 1$  și  $n = 2$ , relațiile precedente devin

$$\begin{cases} f(x_1; t_1) = f(x_1'; 0) = f(x_1') \\ f(x_1, x_2; t_1, t_2) = f(x_1', x_2'; 0, t_2 - t_1) = f(x_1', x_2'; \tau = t_2 - t_1) \end{cases} \quad (2.13)$$

Rezultă că pentru procesele stohastice staționare, densitatea de probabilitate unidimensională nu depinde de timp, iar cea bidimensională nu depinde de  $t_1$  și  $t_2$  separat, ci numai de diferența  $\tau = t_2 - t_1$ . Înlocuind aceste rezultate, în relațiile de definiție ale caracteristicilor statistice ale procesului, se obțin

$$\overline{K(t)} = m_X(t) = \int_{-\infty}^{\infty} x \cdot f(x) \cdot dx = \text{const.} \quad (2.14)$$

$$D[K(t)] = \sigma_X^2(t) = \int_{-\infty}^{\infty} (x - m_X)^2 \cdot f(x) dx = \text{const.}^{*)} \quad (2.15)$$

$$\begin{aligned} K_X(t_1, t_2) &= \int_{-\infty}^{\infty} \int_{-\infty}^{\infty} (x_1 - m_{X_1})(x_2 - m_{X_2}) \cdot f(x_1, x_2; t_2 - t_1) dx_1 dx_2 = \\ &= K_X(t_2 - t_1) = K_X(\tau) \end{aligned} \quad (2.16)$$

Se poate demonstra [406], [421], [433] că relațiile de mai sus sînt condițiile necesare pentru staționaritatea proceselor stohastice, dar nu sînt și suficiente pentru că deși aceste relații pot fi satisfăcute, condiția de definiție (2.11) poate să nu aibă loc începînd de la un n oarecare și prin urmare procesul va fi nestaționar. În schimb deoarece ne limităm numai la domeniul teoriei corelaționale a proceselor stohastice, se acceptă relațiile precedente (2.14), (2.15), (2.16) ca bază pentru caracterizarea staționarității. O asemenea determinare a staționarității a fost propusă pentru prima oară de A.Ia. HINCEN [406], [433], care a definit astfel procesele stohastice staționare în sens larg. Procesele staționare în sens strict sînt staționare și în sens larg dar reciproca nu este totdeauna adevărată. Excepție fac procesele gaussiene care sînt descrise complet de momentele de ordinul unu și doi, deci sînt staționare atît în sens larg cît și în sens restrîns. Subliniem faptul că procesele astfel definite sînt niște idealizări matematice, deoarece nici un semnal de excitație nu începe la  $t = -\infty$  și nu durează pînă la  $t = +\infty$ . Deși în realitate procesul durează un timp finit  $T$ , se acceptă să

\*) Se păstrează pentru dispersia variabilei aleatoare  $K(t)$ , notația  $\sigma_X^2$ , deși există posibilitatea unei confuzii cu notația tensiunii normale, datorită răspîndirii mari a acestei notații. Se va avea grijă să se evite asemenea confuzii atunci cînd se vor suprapune notațiile.

să fie generalizate, la întreaga axă reală, rezultatele bazate pe teoria staționară.

### 2.3. Ipoteza ergodică și media pe ansamblu

Pentru rezolvarea problemelor de vibrații aleatoare, în mod inevitabil trebuie folosite metodele probabilistice. Înă sub aspect experimental, nu se pot obține toate realizările posibile ale procesului  $X(t)$ , ci în general, se dispune numai de câte o realizare particulară  $^k X(t)$ . În aceste condiții nu se poate face o analiză statistică în spațiul eșantioanelor ci numai un calcul al valorilor medii temporale. Sub aspect aplicativ este deci necesară stabilirea legăturii care există între valorile apriori deduse teoretic pe baze probabilistice și valorile aposteriori rezultate în urma analizei făcute în domeniul timpului a unei funcții eșantion.

În această ordine de idei, mulțimea realizărilor  $\{^k X(t)\}$  pentru care valorile medii statistice sînt egale cu valorile medii temporale, se numește **ergodică**, iar condiția pe care trebuie să o îndeplinească o funcție eșantion  $^k X(t)$  ca să aparțină acestei mulțimi se numește **ipoteză ergodică**.

Pentru ergodicitate, condiția ca procesul să fie staționar este necesară dar nu și suficientă (un contra exemplu în AL. SPATARU [499] p.153). Este important de semnalat că problema stabilirii condițiilor suficiente nu a obținut încă o soluționare generală, dar că foarte frecvent sistemele fizice și sursele de excitație în dinamica vehiculelor pot fi presupuse drept ergodice, "cu puține șanse de a comite prin această eroare" (LANING și BATTEN, p.114 [501]). F.DINCA [127] (p.339), demonstrează o teoremă de ergodicitate, pe care se vor baza câteva din concluziile ulterioare ale lucrării. Astfel se arată că dacă  $X^0(t)$  este un proces stohastic definit pe  $[0, T]$ , condiția necesară și suficientă ca

$$\lim_{T \rightarrow \infty} \frac{1}{T} \int_0^T X^0(t) dt = 0 \quad (2.17)$$

este ca

$$\lim_{T \rightarrow \infty} \frac{1}{T^2} \int_0^T \int_0^T K_X(t_1, t_2) dt_1 dt_2 = 0 \quad (2.18)$$

Pentru procesele staționare, în condițiile acestei teoreme, rezultă

$$\text{l.i.m.}_{T \rightarrow \infty} \frac{1}{T} \int_0^T X(t) dt = m_X \quad (2.19)$$

deci se poate determina speranța matematică a procesului  $X(t)$  pe o singură funcție eșantion, în cazul în care condiția (2.18) este satisfăcută ; o condiție suficientă pentru realizarea lui (2.18) este ca funcția de autocorelație să tindă la zero când  $T \rightarrow \infty$ .

Altfel spus, pentru procesele stohastice reale și staționare, pentru ca (2.19) să aibă loc este necesar și suficient ca

$$\lim_{T \rightarrow \infty} \frac{1}{T} \int_0^T (1 - \frac{\tau}{T}) \cdot K_X(\tau) d\tau = 0 \quad (2.20)$$

Egalitățile dintre mediile statistice și mediile temporale trebuiesc însă înțelese în sensul convergenței în probabilitate [127],[140],[357].

#### 2.4. Analiza în domeniul frecvențelor

Stabilitatea proceselor stohastice staționare permite înlocuirea cercetării caracteristicilor probabilistice din domeniul timpului cu o cercetare efectuată în domeniul frecvențelor. Rezultatele sînt complet echivalente însă această ultimă metodă conduce - în anumite cazuri - la o simplificare considerabilă a calculelor și obținerea unor rezultate mai elocvente.

Posibilitatea descompunerii spectrale a unui proces stohastic staționar este susținută matematic de o teoremă a lui A. Ia. HINCIN din 1934 [433] și dovedită complet de KOLMOGOROV în 1940 [406]. Toate acestea au la bază faptul că funcția de autocorelație este pozitiv definită. Pornind de aici se definește **d e n s i t a t e a s p e c t r a l ă d e p u t e r e**  $S_X(\omega)$  și se arată că fixarea densității spectrale este echivalentă cu stabilirea funcției de autocorelație și reciproc. Rezultă deci relațiile echivalente

$$S_X(\omega) = \mathcal{F}(K_X(\tau)) \iff K_X(\tau) = \mathcal{F}^{-1}(S_X(\omega)) \quad (2.21)$$

cunoscute sub numele de **t e o r e m a H i n c i n - K o l m o g o r o v** a proceselor stohastice [499, p.160], unde  $\mathcal{F}$  este simbolul transformatei Fourier.

Detaliat

$$K_X(\omega) = \int_{-\infty}^{\infty} K_X(\tau) \cdot e^{-j\omega\tau} d\tau \quad K_X(\tau) = \frac{1}{2\pi} \int_{-\infty}^{\infty} S_X(\omega) \cdot e^{j\omega\tau} d\omega \quad (2.22)$$

La determinarea densității spectrale de putere se va urma această cale teoretică, pornind de la funcția de autocorelație.

## 2.5. Caracteristicile dinamice generale ale unui sistem mecanic vibrator

2.5.1. Reprezentarea generalizată a sistemelor mecanice vibratorii. În studiul sistemelor mecanice oscilante, în dorința obținerii unei forme generale și unitare de prezentare, pătrunde tot mai mult limbajul utilizat în automatică și în teoria transmisiunii informațiilor după care un oscilator liniar poate fi considerat ca un sistem deschis de reglare automată, care are una sau mai multe intrări și o ieșire. Astfel, în cazul modelării vibrațiilor structurii de rezistență a unui vehicul, excitația sistemului este reprezentată de procesul stohastic care descrie profilul de rulare, aplicat la intrarea în sistem, considerată în punctele de contact ale pneurilor cu drumul; răspunsul structurii, care poate fi obținut în domeniul timpului sau în domeniul frecvențelor, se masoară la ieșirea sistemului, reprezentată de un punct arbitrar al masei suspendate. Astfel imaginat, sistemul este reprezentat simbolic în fig.2.2, unde  $\mathcal{A}$  constituie un operator

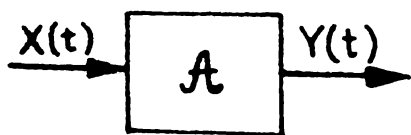


Fig.2.2

Schema structurală a unui sistem oscilant liniar

operator diferențial liniar cu proprietatea

$$Y(t) = \mathcal{A} \cdot X(t) \Leftrightarrow X(t) = \mathcal{A}^{-1} Y(t) \quad (2.23)$$

De obicei, ecuația diferențială a mișcării pune în evidență operatorul  $\mathcal{A}^{-1}$ .

Deoarece obținerea și utilizarea operatorului diferențial  $\mathcal{A}^{-1}$  este legată de dificultăți uneori insurmontabile, rezolvarea anumitor probleme din dinamica sistemelor mecanice supuse la perturbații aleatoare, se face caracterizând sistemul prin răspunsul pe care-l dă la anumite tipuri de excitații deterministe.

2.5.2. Funcția pondere. Se înțelege prin funcție



pondere a sistemului,  $h(t, \tau)$ , reacția sistemului - în prealabil neexcitat - la un impuls unitar momentan, adică, semnalul care apare la ieșire în momentul  $t$ , dacă la intrare se aplică un impuls unitar la momentul  $\tau$  (fig.2.3).

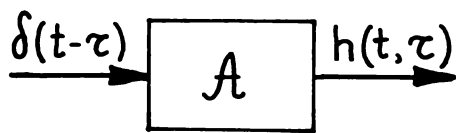


Fig.2.3

$$h(t, \tau) = A \cdot \delta(t - \tau) \quad (2.24)$$

$$A^{-1} \cdot h(t, \tau) = \delta(t - \tau) \quad (2.25)$$

$$h(t, \tau) \equiv 0, \quad \forall t < \tau \quad (2.26)$$

Deci, cunoscând ecuația diferențială a mișcării, funcția pondere poate fi obținută rezolvind o anumită problemă Cauchy.

Funcția pondere, numită și funcție de transfer pentru impulsuri, caracterizează sistemul în planul variabilei reale  $t$ , depinzând numai de proprietățile dinamice ale lui și nu de caracterul acțiunii. Utilizând integrala lui Duhamel și funcția  $h(t, \tau)$  se poate exprima reacția sistemului la acțiunea exterioară  $X(t)$

$$Y(t) = \int_{-\infty}^{\infty} h(t, \tau) \cdot X(\tau) d\tau \quad (2.27)$$

Pentru sistemele staționare funcția pondere devine funcție de o singură variabilă și deci

$$h(t - \tau) = A \cdot \delta(t - \tau) \implies Y(t) = \int_{-\infty}^{\infty} h(t - \tau) \cdot X(\tau) d\tau \quad (2.28)$$

**2.5.3. Funcția de transfer.** Pentru un sistem mecanic vibrator, liniar și staționar funcția de transfer reprezintă raportul dintre transformata Laplace a răspunsului în punctul  $i$ , datorită unei excitații aplicate în punctul  $k$  și transformata Laplace a excitației din punctul  $k$ , adică

$$A_{ik}(s) = \frac{\mathcal{L}[Y_{ik}(t)]}{\mathcal{L}[X_k(t)]} = \frac{Y_{ik}(s)}{X_k(s)} \quad (2.29)$$

sau pentru sisteme, cu un singur grad de libertate

$$\beta(s) = \frac{\mathcal{L}[Y(t)]}{\mathcal{L}[X(t)]} = \frac{Y(s)}{X(s)} \quad (2.30)$$

unde

$$s = u + j\omega, \quad u > 0, \quad j = \sqrt{-1}$$

Rezultă

$$Y(s) = \beta(s) \cdot X(s) \quad (2.31)$$

2.5.4. Caracteristica de frecvență. - Dacă în relația (2.31) se înlocuiește  $s$  cu  $j\omega$  se obține așa numita **caracteristică de frecvență a sistemului** sau **coeficientului complex de transfer**

$$Y(j\omega) = \Phi(j\omega) \cdot X(j\omega) \quad (2.32)$$

Această relație reprezintă deci legătura dintre excitația și răspunsul sistemului în domeniul imaginar al pulsației, obținută prin folosirea transformatei Fourier.

Caracteristica de frecvență ca și funcția pondere, depind numai de proprietățile dinamice ale sistemului ; aceste două funcții caracterizează în mod integral sistemul dinamic.

Răspunsul sistemului în domeniul timpului se obține cu ajutorul teoremei lui Borel [476]

$$Y(t) = \frac{1}{2\pi} \int_{-\infty}^{\infty} Y(j\omega) \cdot e^{j\omega t} d\omega = \frac{1}{2\pi} \int_{-\infty}^{\infty} \Phi(j\omega) \cdot X(j\omega) \cdot e^{j\omega t} d\omega \quad (2.33)$$

## 2.6. Contribuții la caracterizarea numerică a funcției de autocorelație

2.6.1. Program FORTRAN pentru calcularea funcției de autocorelație. Metodele folosite pentru studiul funcțiilor de autocorelație de selecție, nu diferă în mod principial de metodele de prelucrare din statistica matematică, având însă un anumit specific legat în primul rând de existența înregistrărilor continue ale realizărilor procesului stohastic analizat. Pentru o analiză pe calculatorul numeric trebuie totuși discretizată axa timpului, metodă care va fi folosită în continuare.

Să presupunem date cele  $n$  funcții eșantion ale procesului stohastic  $\{X^k(t)\}$ ,  $k = 1, 2, \dots, n$ , reprezentate în fig. 2.1, înregistrate în timpul  $T$ . Se împarte intervalul de timp  $T$  în  $m$  intervale egale și se notează valoarea  $t$  la capătul fiecărui interval cu  $t_1$  ( $i = 1, 2, \dots, m$ ).

PENTRU  $t = t_1$  se formează variabila aleatoare  $X(t_1)$ , pentru care avem valorile rezultate din cele  $n$  realizări

$${}^1X(t_1) = x_{11} ; {}^2X(t_1) = x_{21} ; \dots ; {}^nX(t_1) = x_{n1}$$

Pentru această variabilă aleatoare se poate determina de exemplu,

valoarea de selecție a așteptării matematice

$$\tilde{x}(t_1) = \frac{1}{n}(x_{11} + x_{21} + x_{31} + \dots + x_{n1}) = \frac{1}{n} \sum_{k=1}^n x_{k1}$$

În mod analog pentru  $t = t_1$  se formează variabila aleatoare  $X(t_1)$  cu valorile

$${}^1X(t_1) = x_{11} ; {}^2X(t_1) = x_{21} ; \dots ; {}^nX(t_1) = x_{n1}$$

și se determină valoarea așteptării matematice de selecție

$$\tilde{x}(t_1) = \frac{1}{n}(x_{11} + x_{21} + x_{31} + \dots + x_{n1}) = \frac{1}{n} \sum_{k=1}^n x_{ki}$$

Toate aceste relații pot fi reunite sub o formulă generală

$$x(t_i) = \frac{1}{n} \sum_{k=1}^n x_{ki} \quad , \quad i = 1, 2, \dots, m \quad (2.34)$$

Pentru două momente arbitrare  $t_j, t_l$ , în mod analog se determină și valoarea de selecție pentru funcția de autocorelație

$$K_x(t_j, t_l) = \frac{1}{n-1} \sum_{k=1}^n [x_{kj} - x(t_j)][x_{kl} - x(t_l)] \quad (2.35)$$

( $j, l = 1, 2, \dots, m$ )

În cadrul teoriei corelaționale, cunoașterea așteptării matematice (2.34) și a funcției de autocorelație (2.35) rezolvă toate problemele care se găsesc în aplicații. Ele obțin însă o formă mai maniabilă și mai adecvată scopurilor noastre dacă procesul este staționar și ergodic. În aceste cazuri, la prelucrarea materialului experimental trebuie ca în loc de luarea mediei ordonatelor procesului în același moment pentru diferite realizări să calculăm media ordonatelor pentru una și aceeași realizare în diferite momente de timp. Pentru ca o asemenea înlocuire să fie acceptată este evident necesar ca legătura între ordonatele procesului stohastic analizat pentru diferite momente de timp să scadă destul de repede, pentru că numai în acest caz o singură realizare în timp se poate aproximativ trata ca și o mulțime de câteva realizări independente, dispărînd diferența dintre cele două metode de calculare a mediei. În acest caz dacă se notează  $x(t_i) = x_i$  se obțin formulele de calcul

$$\tilde{m}_x = \frac{1}{m} \sum_{i=1}^m x(t_i) = \frac{1}{m} \sum_{i=1}^m x_i \quad (2.36)$$

$$\tilde{K}_x(\tau) = \frac{1}{n-1} \sum_{i=1}^{n-1} [x(t_i) - \bar{x}] [x(t_i + \tau) - \bar{x}] \quad (2.37)$$

unde s-a presupus că în intervalul de timp  $\tau$  sînt incluse  $l$  intervale din diviziunea axei timpului.

#### 2.6.1.1. Intocmirea programului și rezultate numerice.

S-a precizat în cap.1 că în problemele de dinamică a vehiculelor - în general - și de analiză a vibrațiilor și durabilității structurilor de rezistență - în particular - forțele exterioare care acționează asupra sistemului oscilant sînt generate în principal de neuniformitățile și denivelările căilor de rulare (drumurilor). Pentru aprecierea calitativă și cantitativă a unui asemenea proces oscilatoriu, este necesar să cunoaștem pe lîngă caracteristicile sistemului dinamic și spectrul excitațiilor, care depinde de profilul drumului și de viteza de mișcare. La o viteză de deplasare fixată  $v$ , datele complete pentru construirea spectrului de excitație sînt furnizate de profilul drumului. Deoarece acesta are evident un aspect întîmplător, atunci și mărimea, direcția și durata acțiunii impulsurilor forțelor care apar din cauza interacțiunii mașinii cu drumul vor fi evenimente întîmplătoare, adică funcția de perturbație este un proces stohastic staționar.

De obicei, ca să se treacă de la funcția aleatoare  $K(s)$  care descrie profilul drumului în raport cu o origine arbitrară, la funcția de perturbație este suficient să se împartă coordonata orizontală  $s$ , cu viteza  $v$ . În acest caz axa absciselor  $s$  [cm], va fi și axa timpului  $t$  [s] iar procesul stohastic de perturbație  $K(t)$  va fi o funcție de timp. Dacă abscisa  $s$  se împarte la viteza unitară  $v = 1$  m/s, atunci valorile numerice ale microprofilului căii de rulare vor coincide cu valorile numerice ale procesului stohastic de perturbație.

Pentru scopurile pe care mi le-am propus în această parte a lucrării, de analizare a funcțiilor de autocorelație ale căilor de rulare, am reprezentat în fig.2.4, 2.5, 2.6 și 2.7 patru microprofiluri de drumuri prelucrate după date din literatură [124],[362],[421],[475], pe care vor face în paralel analizele statistice. Am preluat aceste rezultate deoarece problema obținerii microprofilelor, de altfel puțin tratată în literatură, nu a intrat în preocupările mele directe.

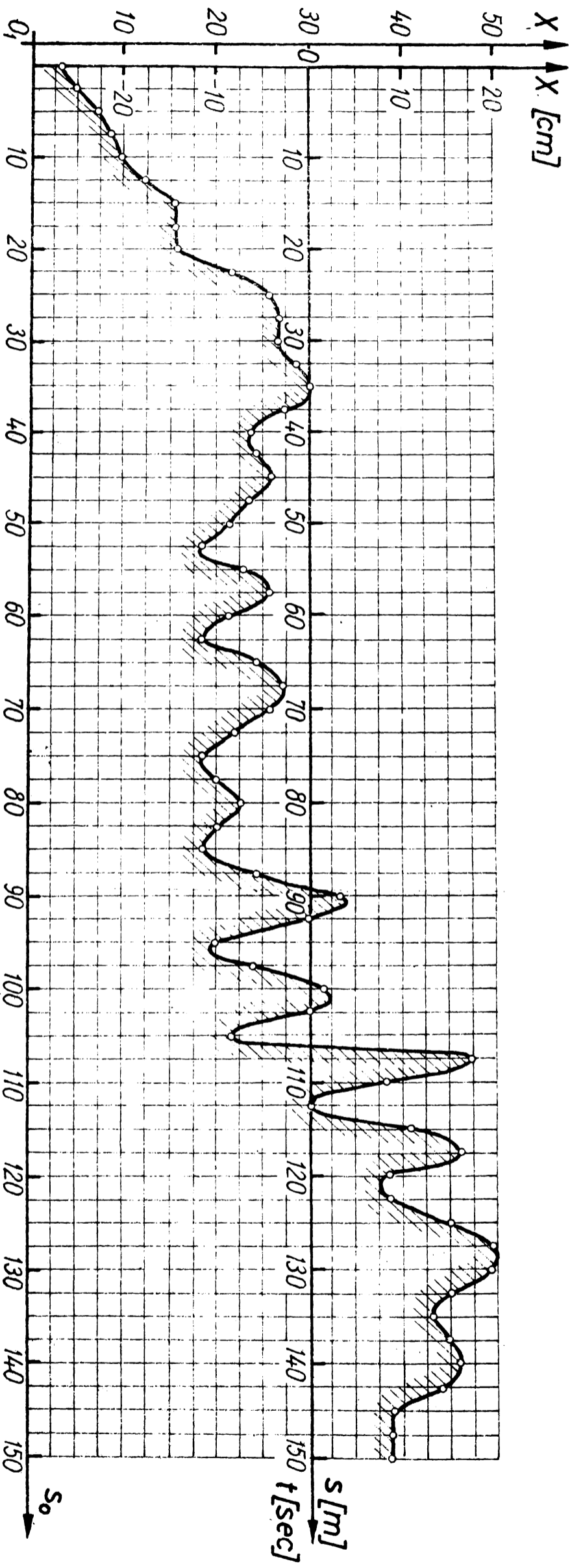
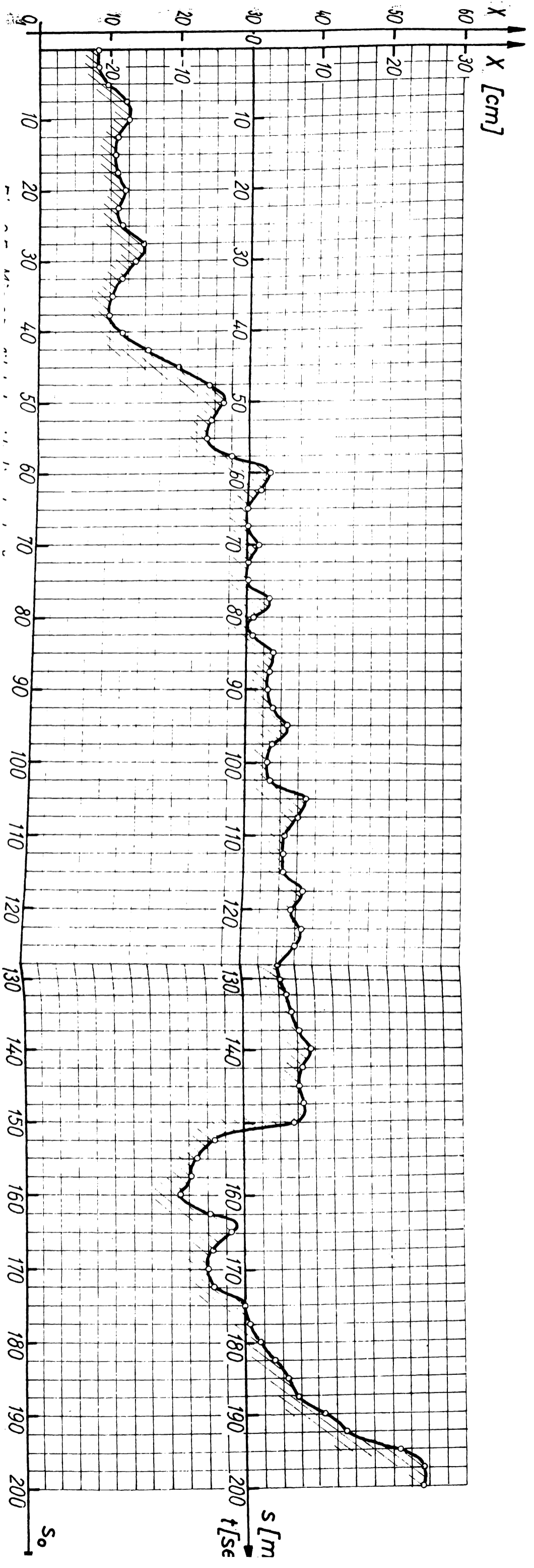


Fig. 2.4. Microprofilul longitudinal al căii de rulare Nr.1 ( $n=301$ )



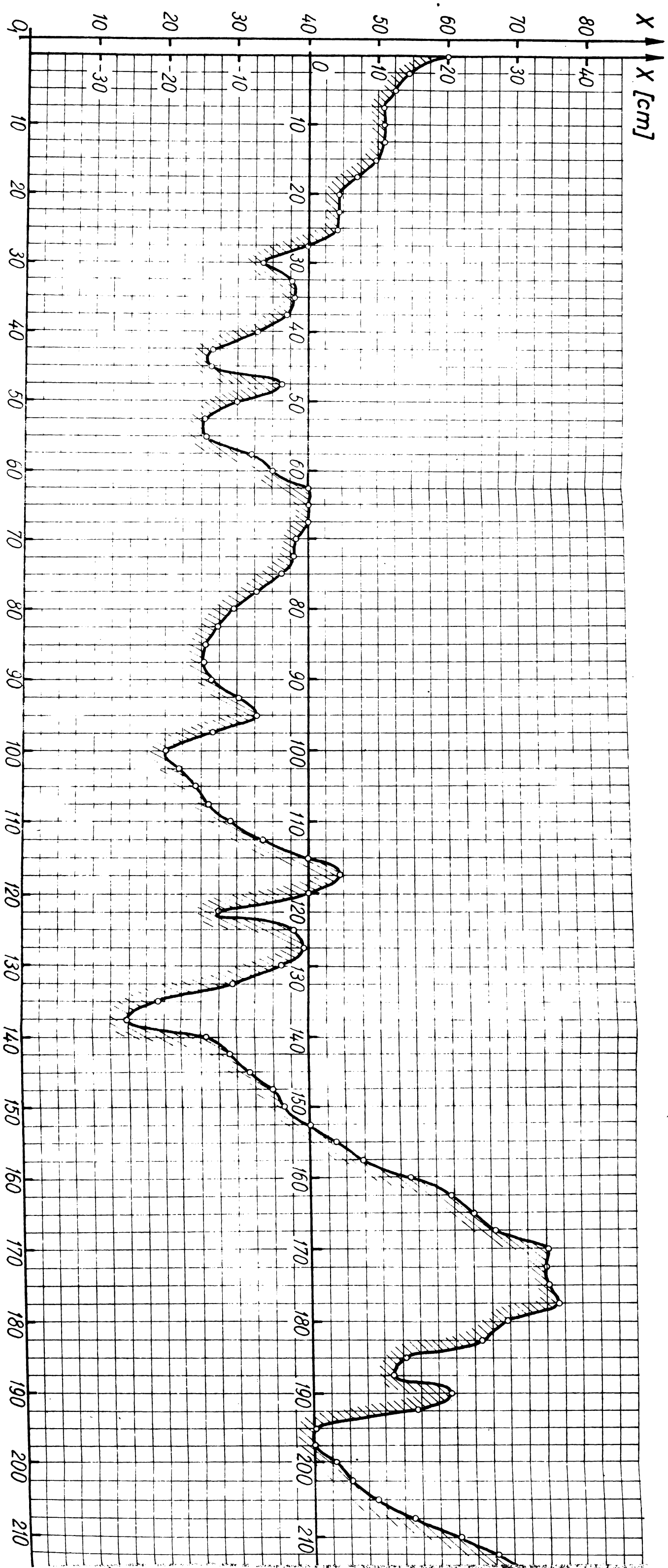
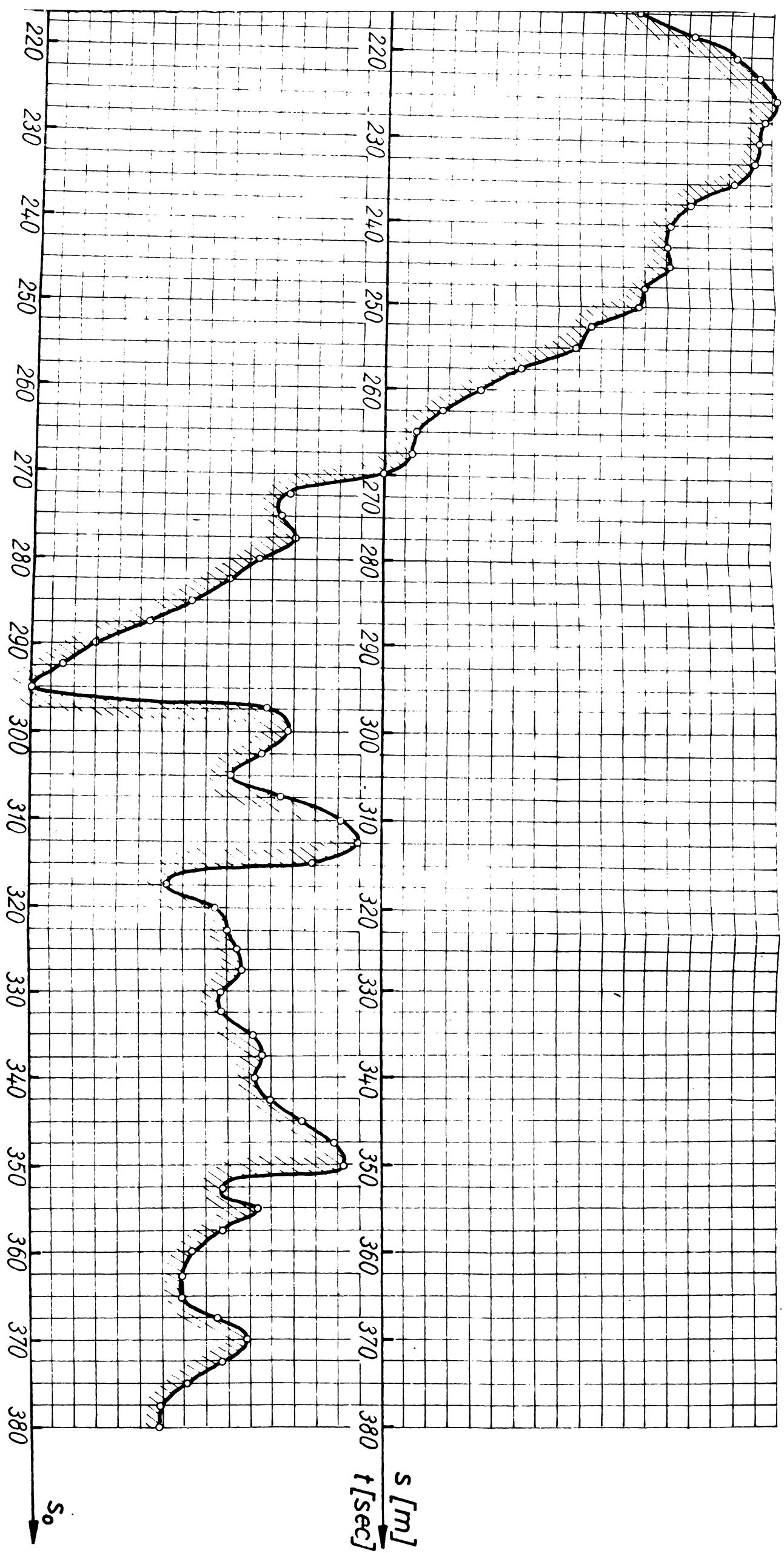


Fig. 2.6 Microprofilul longitudinal al căii de rulare Nr. III ( $n = 761$ )





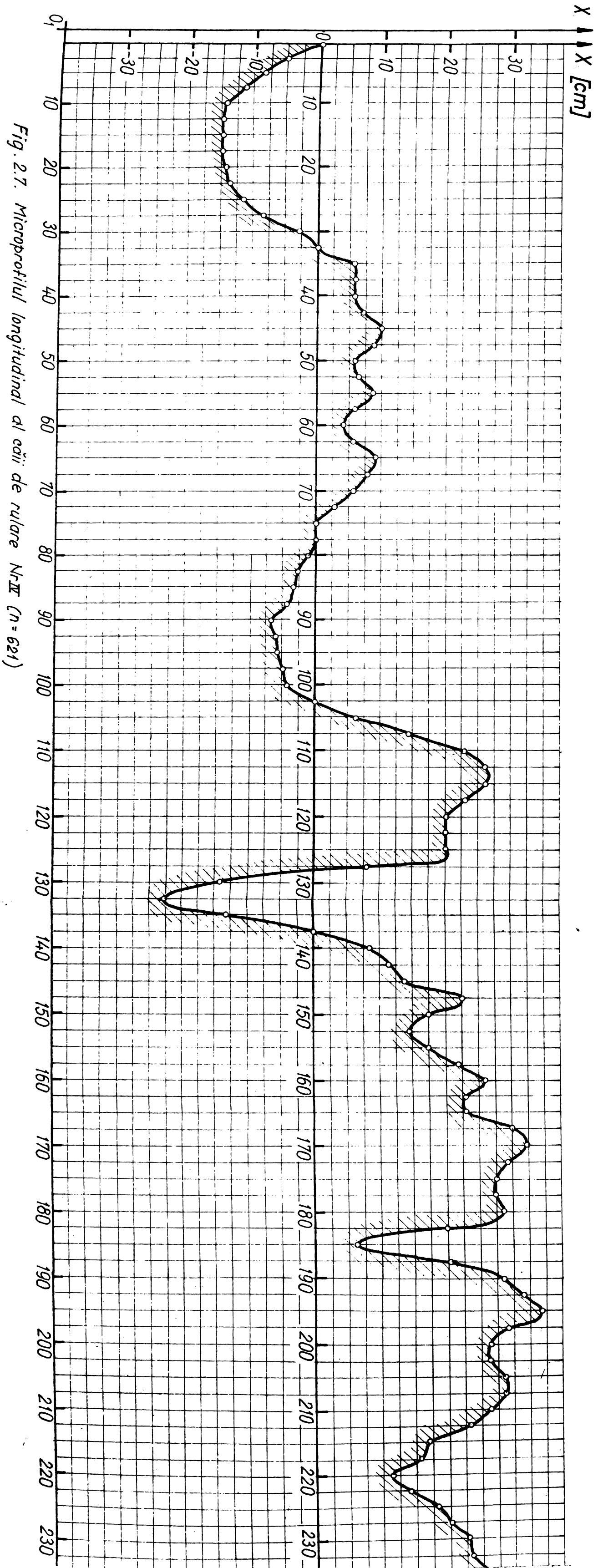
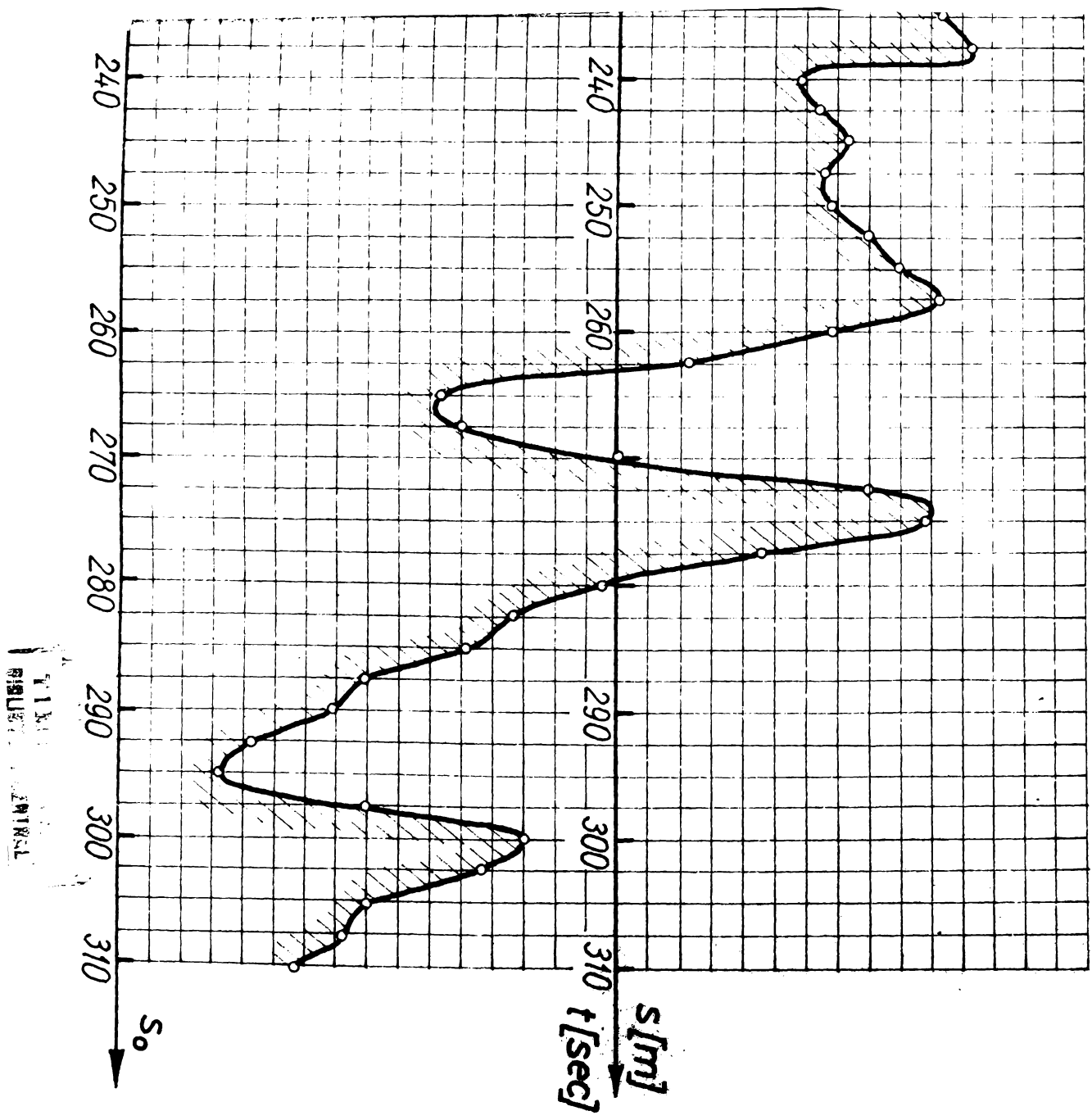
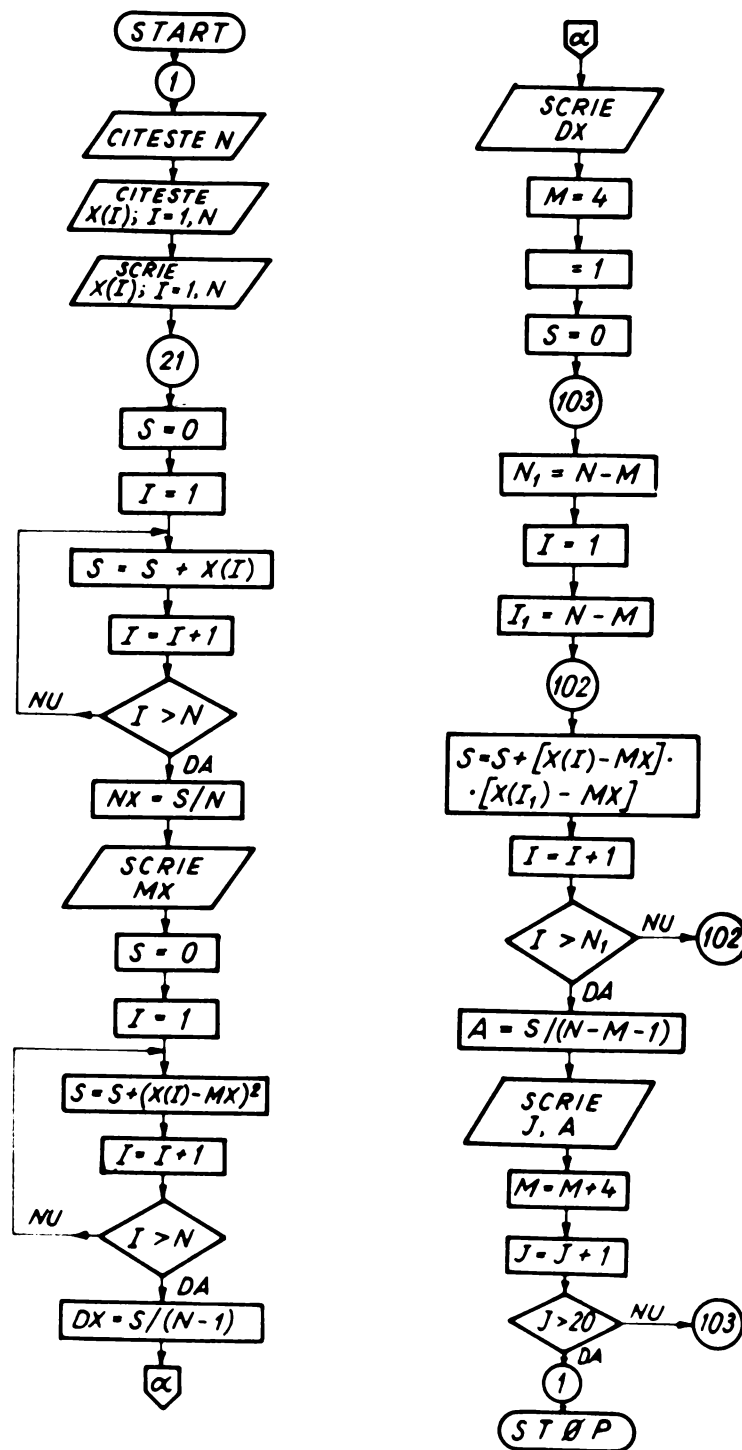


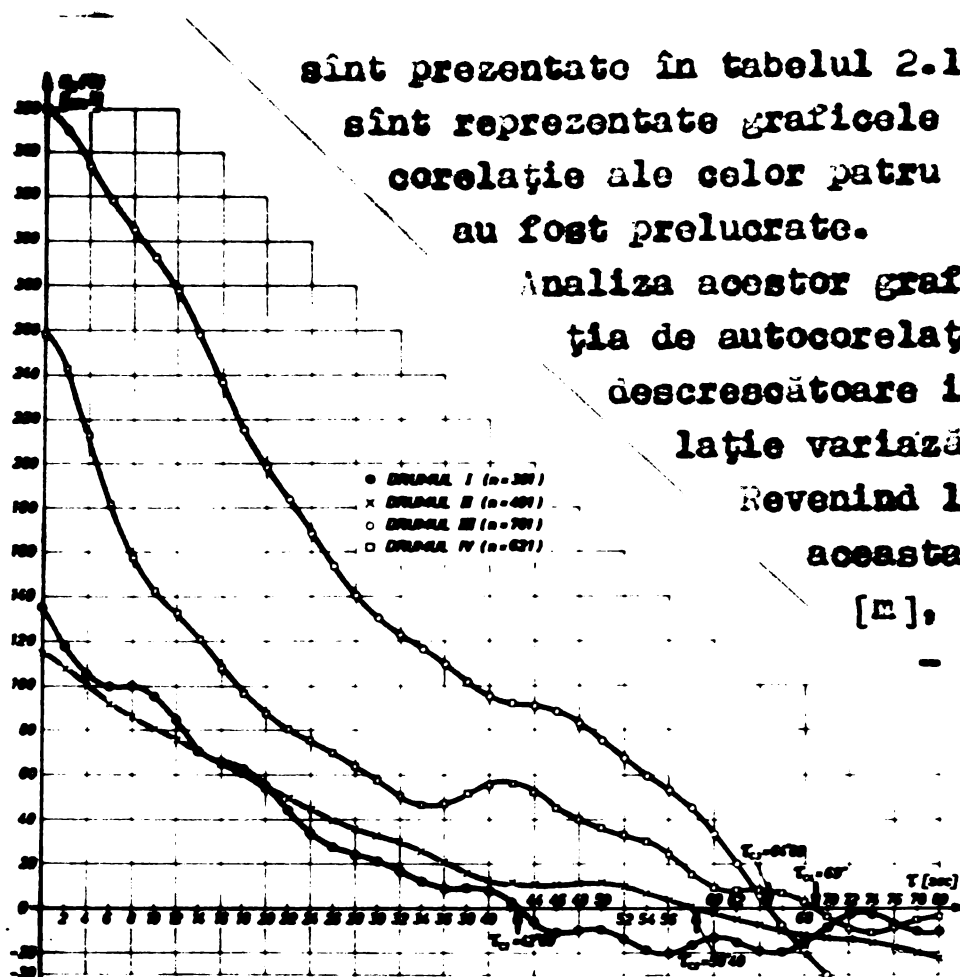
Fig. 2.7. Microprofilul longitudinal al căii de rulare Nr. II ( $n = 621$ )



pentru a avea posibilitatea prelucrării datelor experimentale, s-a considerat ca mărime aleatoare numai abaterea profilului drumului pe înălțime, față de o suprafață orizontală convențională dusă astfel încât să nu avem valori negative pentru neuniformități.

Datele inițiale de calcul, obținute în acest mod cu ajutorul metodei intersecțiilor, sînt prezentate în anexa 1. Am prezentat de asemenea schema logică și programul în limbaj FORTRAN, întocmite pentru calculul valorii funcției de autocorelație pe baza formulelor (2.36) și (2.37). Rezultatele finale





sînt prezentate în tabelul 2.1. În fig.2.8 sînt reprezentate graficele funcțiilor de autocorelație ale celor patru înregistrări care au fost prelucrate.

Analiza acestor grafice arată că funcția de autocorelație este monotonă descrescătoare iar timpul de corelație variază de la (42...70)[s].

Revenind la unități de spațiu aceasta înseamnă (42...70)

[m], ceea ce permite

- fizic - realizarea unor condiții de

experimentare acceptabile, în cadrul unor ipoteze care vor fi prezentate în cap.6.

Fig.2.8

Funcțiile empirice de autocorelație  $K_x(\tau)$ , pentru cele patru căi de rulare analizate

Tabelul 2.1. Rezultatele numerice obținute la prelucrarea statistică a microprofilului căilor de rulare, pentru determinarea funcției de autocorelație

$\tau$ [sec]	Profilul de drum cercetat		I n = 301	II n = 401	III n = 761	IV n = 621
	Valori statistice calculate					
	$\sigma_x$	cm	27,5821	28,3245	39,8701	47,5347
	$\sigma_x^2$	cm <sup>2</sup>	134,7286	114,3580	359,0146	257,9678
2"	$K_1$	cm <sup>2</sup>	117,4307	107,8496	349,5776	242,3231
4"	$K_2$		105,0013	99,4820	333,6638	212,5264
6"	$K_3$		99,7900	91,6471	318,3437	181,3124
8"	$K_4$		100,0216	85,7222	305,1123	157,4355
10"	$K_5$		94,7977	80,3009	292,9483	142,4579
12"	$K_6$		84,4054	75,1204	277,6387	132,5053
14"	$K_7$		70,4806	70,3244	250,6216	121,1236
16"	$K_8$		65,7764	65,3672	230,5833	108,0172
18"	$K_9$		62,5555	60,0785	215,1934	96,2160

Tabelul 2.1 (continuare)

$\tau$ [sec]	Profilul de drum cercetat Valori statistice calculate	I	II	III	IV
		n = 301	n' = 401	n = 761	n = 621
20"	K <sub>10</sub>	54,9337	54,6243	198,6472	87,3640
22"	K <sub>11</sub>	44,0124	49,2450	184,2264	80,5084
24"	K <sub>12</sub>	33,8923	44,0528	168,6544	75,1336
26"	K <sub>13</sub>	27,4882	39,2402	153,5702	70,0739
28"	K <sub>14</sub>	24,1014	35,5033	140,4695	64,1507
30"	K <sub>15</sub>	21,0797	32,6805	130,6962	57,2648
32"	K <sub>16</sub>	16,7992	29,6673	123,2044	50,5028
34"	K <sub>17</sub>	12,1791	25,5803	116,5259	46,4420
36"	K <sub>18</sub>	8,9651	20,4555	109,8532	46,9294
38"	K <sub>19</sub>	9,2984	15,4986	101,8221	51,4379
40"	K <sub>20</sub>	7,4634	12,7488	95,2064	55,5963
42"	K <sub>21</sub>	2,3146	11,1286	91,9349	56,0403
44"	K <sub>22</sub>	-6,3037	10,2123	90,3182	51,8668
46"	K <sub>23</sub>	-11,1145	10,3674	87,9330	45,1803
48"	K <sub>24</sub>	-10,0205	11,1896	82,6957	39,6616
50"	K <sub>25</sub>	-9,7711	11,6278	75,2765	36,0948
52"	K <sub>26</sub>	-13,4531	9,3294	67,2568	32,7163
54"	K <sub>27</sub>	-18,9451	6,5075	59,2421	29,8485
56"	K <sub>28</sub>	-20,5839	3,4863	52,5340	23,9719
58"	K <sub>29</sub>	-16,1679	0,4242	44,5324	14,8737
60"	K <sub>30</sub>	-13,2586	-2,6355	32,8367	9,3815
62"	K <sub>31</sub>	-15,7458	-5,1986	19,5559	8,4272
64"	K <sub>32</sub>	-19,3285	-7,7075	5,1200	8,2900
66"	K <sub>33</sub>	-19,4448	-10,1947	-7,9304	6,9760
68"	K <sub>34</sub>	-15,6497	-11,8910	-19,2249	3,0172
70"	K <sub>35</sub>	-8,4639	-12,9696	-30,0222	-3,6296
72"	K <sub>36</sub>	-2,5020	-13,8948	-40,6679	-9,8689
74"	K <sub>37</sub>	-2,5507	-15,5955	-52,0385	-10,8465
76"	K <sub>38</sub>	-7,0857	-17,7386	-61,7924	-8,4917
78"	K <sub>39</sub>	-10,8777	-20,1116	-63,9527	-4,9473
80"	K <sub>40</sub>	-10,2792	-22,6647	-76,1450	-3,5227

INSTITUTUL POLITEHNIC  
TIMISOARA  
STEA...  
...LA

Programul în limbaj FORTRAN întocmit pentru calculul valorilor funcției de autocorelație pe baza formulelor (2.36) și (2.37).

```

1      REAL MX
2      DIMENSION X(1000)
3      READ(105,13,END=30)N
4      13 FORMAT(I5)
5      READ(105,1)(X(I),I=1,N)
6      1 FORMAT(13F6.2)
7      DO 21 I=1,N
8      WRITE(108,7)I,X(I)
9      7 FORMAT(1H,13,10X,F5.2)
10     21 CONTINUE
11     S=0.0
12     DO 100 I=1,N
13     100 S=S+X(I)
14     MX=S/N
15     WRITE(108,2)MX
16     2 FORMAT(1H,'MX= ',F10.4)
17     S=0.0
18     DO 101 I=1,N
19     101 S=S+(X(I)-MX)**2
20     DX=S/(N-1)
21     WRITE(108,3)DX
22     3 FORMAT(1H,'DX= ',F10.4)
23     M=4
24     DO 103 J=1,40
25     S=0.0
26     N1=N-M
27     DO 102 I=1,N1
28     I1=I+M
29     102 S=S+(X(I)-MX)*(X(I1)-MX)
30     A=S/(N-M-1)
31     WRITE(108,4)J,A
32     4 FORMAT(1H,'K(1,12)= ',F10.4)
33     103 M=M+4
34     GO TO 8
35     30 STOP
36     .   END

```

**2.6.2. Aproximarea analitică a funcțiilor de autocorelație întâlnite în dinamica vehiculelor și calculul densității spectrale**<sup>2)</sup>. Funcțiile de autocorelație ale proceselor stohastice de excitație, reprezentate în fig.2.8 sînt funcții nealeatoare și ele pot fi approximate cu diverse relații funcționale, deosebit de uti-

x) [481] TITIL DUBRA : Aproximarea funcțiilor de autocorelație întâlnite în dinamica vehiculelor. Lucrare prezentată la sesiunea științifică jubiliară a Institutului politehnic "Traian Vuia" din Timișoara, 16...19 iunie 1974

le în aplicații, în special prin faptul că se pot obține densitățile spectrale printr-o transformată Fourier (v. rel. 2.22). În literatură [24], [99], [127], [475], [479] se prezintă în mod sumar această problemă, pe care o voi dezvolta în continuare, cu contribuții privind obținerea unor forme numerice complete, pornind de la observația că dacă se cunoaște expresia analitică a funcției de autocorelație, se pot rezolva toate problemele de vibrații și durabilitate care se pot formula în cadrul teoriei corelaționale.

### 2.6.2.1. Funcții de autocorelație tipice triunghiulare.

Cea mai simplă metodă de aproximare analitică a funcției de autocorelație experimentală este făcută cu ajutorul unei funcții poligonale <sup>x)</sup>. Pentru aceasta se folosesc funcții tipice triunghiulare, care pentru  $\tau > 0$  sînt de forma

$$K_{oi}(\tau) = \begin{cases} \Lambda_{oi} \left(1 - \frac{\tau}{T_{oi}}\right) & 0 \leq \tau \leq T_{oi} \\ 0 & \tau > T_{oi} \end{cases} \quad (2.38)$$

parametri funcțiilor fiind  $\Lambda_{oi}$  și  $T_{oi}$ . Atunci

$$K_x(\tau) = \sum_{i=1}^n K_{oi}(\tau) \quad (2.39)$$

Calculul densității spectrale este imediat

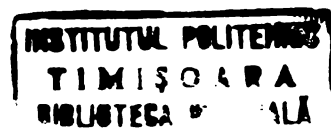
$$S_{oi}(\omega) = 2 \int_0^{T_{oi}} K_{oi}(\tau) \cdot \cos \omega \tau \cdot d\tau = \Lambda_{oi} \cdot T_{oi} \left( \frac{\sin \frac{\omega \cdot T_{oi}}{2}}{\frac{\omega \cdot T_{oi}}{2}} \right)^2 \quad (2.40)$$

2.6.2.2. Combinatii de funcții cosinusoidale. Ținînd cont de paritatea funcției  $K_x(\tau)$ , într-un interval corespunzător  $[-T_0, T_0]$ , ales astfel încît  $K_x(\tau) \approx 0$  la  $|\tau| > T_0$ , aceasta se poate reprezenta aproximativ cu o sumă finită de funcții cosinusoidale de forma

$$\tilde{K}_x(\tau) = \sum_{k=0}^n A_k \cos k \frac{\pi}{T_0} \tau \quad (2.41)$$

Determinarea coeficienților  $A_k$  se face folosind o aproximare în sensul lui Cebîșev din condiția de minim a integralei

<sup>x)</sup> Suportul matematic al acestor aproximații este dat de teoremele de aproximare uniformă a funcțiilor continue ale lui Weierstrass și Stone (v. M. Nicolescu ș.a.: Analiză matematică, vol. I, Ia. did. și pedagogică, 1966, pag. 713)



$$J = \int_0^{T_0} \left[ K_X(\tau) - \sum_{k=0}^n A_k \cdot \cos k \frac{\pi}{T_0} \tau \right]^2 \cdot d\tau = \min. \quad (2.42)$$

Înluind derivatele, se obțin - după metoda Fourier - coeficienții polinomului trigonometric de aproximare

$$A_0 = \frac{1}{T_0} \int_0^{T_0} K_X(\tau) d\tau \quad ; \quad A_k = \frac{2}{T_0} \int_0^{T_0} K_X(\tau) \cdot \cos \left( \frac{k\pi}{T_0} \tau \right) d\tau \quad (2.43)$$

și deci

$$\tilde{K}_X(\tau) = \begin{cases} K_X(\tau) = \sum_{k=0}^n A_k \cdot \cos \frac{k\pi}{T_0} \tau & , \quad |\tau| \leq T_0 \\ 0 & , \quad |\tau| > T_0 \end{cases} \quad (2.44)$$

rezultă atunci densitatea spectrală de putere

$$\begin{aligned} S_X(\omega) &= 2 \int_0^{T_0} \tilde{K}_X(\tau) \cos \omega \tau d\tau = 2 \int_0^{T_0} \left( \sum_{k=0}^n A_k \cdot \cos \frac{k\pi}{T_0} \tau \right) \cos \omega \tau d\tau = \\ &= 2 \cdot T_0 \sum_{k=0}^n (-1)^k \cdot A_k \cdot \frac{(\omega T_0) \cdot \sin \omega T_0}{(\omega T_0)^2 - (k\pi)^2} \end{aligned} \quad (2.45)$$

Valorile coeficienților  $A_k$  pot fi determinate aproximativ cu formula trapezelor [112], [191], [386].

**2.6.2.3. Aproximarea prin combinații liniare de funcții exponențiale.** Utilizarea unui asemenea mod de aproximare a funcției de autocorelație prin intermediul unei sume algebrice de funcții exponențiale prezintă o mare utilitate practică deoarece conduce la densități spectrale în forma de funcții raționale de  $\omega$ , foarte conode în cercetarea vibrațiilor aleatoare ale sistemelor elastice.

relația de aproximare are forma evidentă

$$\tilde{K}_X(\tau) = \sum_{k=1}^n a_k \cdot e^{-\alpha_k |\tau|} \quad (2.46)$$

Se analizează modul de construire al unei asemenea sume de funcții, pentru cazul în care  $\alpha_k$  se alege de forma  $\alpha_k = k \cdot \alpha$  ( $k = 1, 2, \dots, n$ ). Din șirul de funcții exponențiale  $e^{-k\alpha |\tau|}$  ( $k = 1, 2, \dots, n$ ) se construiește un sistem linear de  $n$  funcții ortonormate  $\{\varphi_k(\tau)\}_{k=1, 2, \dots, n}$  de forma

$$\varphi_k(\tau) = \sum_{i=1}^k a_{ki} e^{-i\alpha |\tau|} \quad , \quad \begin{matrix} (k=1, 2, \dots, n) \\ k \geq i \end{matrix} \quad (2.47)$$



Coeficienții  $a_{ki}$  ( $k \geq i$ ) se aleg din condiția de ortogonalitate (0) și de normare (n) a sistemului de funcții  $\{\varphi_k(\tau)\}_{k=1,2,\dots,n}$

$$\varphi_1(\tau) \xrightarrow{(n)} \int_0^\infty \varphi_1^2(\tau) d\tau = 1 \Rightarrow \int_0^\infty a_{11}^2 e^{-2\alpha\tau} d\tau = 1 \quad (2.48)$$

$$a_{11}^2 \int_0^\infty e^{-2\alpha\tau} d\tau = a_{11}^2 \cdot \frac{e^{-2\alpha\tau}}{(-2\alpha)} \Big|_0^\infty = \frac{a_{11}^2}{(-2\alpha)} (0-1) = \frac{a_{11}^2}{2\alpha} \Rightarrow a_{11} = \sqrt{2\alpha} \quad (2.49)$$

$$\left. \begin{aligned} \varphi_1(\tau), \varphi_2(\tau) &\xrightarrow{(0)} \int_0^\infty \varphi_1(\tau) \cdot \varphi_2(\tau) d\tau = 0 \Rightarrow \\ &\Rightarrow \int_0^\infty a_{11} e^{-\alpha\tau} [a_{21} e^{-\alpha\tau} + a_{22} e^{-2\alpha\tau}] d\tau = 0 \end{aligned} \right\} (2.50)$$

$$\varphi_2(\tau) \xrightarrow{(n)} \int_0^\infty \varphi_2^2(\tau) d\tau = 1 \Rightarrow \int_0^\infty [a_{21} e^{-\alpha\tau} + a_{22} e^{-2\alpha\tau}]^2 d\tau = 1$$

efectuând integralele obținem sistemul de ecuații algebrice

$$\begin{cases} 3 \cdot a_{21} + 2 \cdot a_{22} = 0 \\ 6 \cdot a_{21}^2 + 8 \cdot a_{21} a_{22} + 3 \cdot a_{22}^2 = 12\alpha \end{cases} \text{ cu soluțiile } \begin{cases} a_{22} = 6\sqrt{\alpha} \\ a_{21} = -4\sqrt{\alpha} \end{cases} \quad (2.51)$$

Procedeeul se continuă în mod similar și pentru ceilalți coeficienți. Funcția de autocorelație se poate reprezenta ca o combinație liniară de funcțiile  $\{\varphi_k(\tau)\}_{k=1,2,\dots,n}$

$$\tilde{K}_x(\tau) = \sum_{k=1}^n B_k \varphi_k(\tau) \quad (2.52)$$

Coeficienții  $B_k$  se pot deasemenea determina dintr-o condiție de aproximare în medie pătratică

$$J = \int_0^\infty \left[ K_x(\tau) - \sum_{k=1}^n B_k \varphi_k(\tau) \right]^2 d\tau = \min \quad (2.53)$$

Condiția de minim  $\frac{\partial J}{\partial B_k} = 0$ , ( $k=1,2,\dots,n$ ) devine

$$\int_0^\infty 2 \left[ K_x(\tau) - \sum_{i=1}^n B_i \varphi_i(\tau) \right] \cdot \varphi_k(\tau) d\tau = 0, \quad k=1,2,\dots,n \quad (2.54)$$

sau

$$\sum_{i=1}^n B_i \int_0^\infty \varphi_i(\tau) \cdot \varphi_k(\tau) d\tau = \int_0^\infty K_x(\tau) \cdot \varphi_k(\tau) d\tau, \quad k=1,2,\dots,n \quad (2.55)$$

dar

$$\int_0^{\infty} \varphi_i(\tau) \cdot \varphi_k(\tau) d\tau = \begin{cases} 0 & i \neq k \\ 1 & i = k \end{cases} \quad \begin{matrix} (0) \\ (n) \end{matrix}$$

Deci

$$B_k = \int_0^{\infty} K_x(\tau) \cdot \varphi_k(\tau) d\tau, \quad k=1, 2, \dots, n \quad (2.56)$$

dar

$$\varphi_k(\tau) = \sum_{\substack{i=1, k=1 \\ k \geq 1}}^n a_{ki} \cdot e^{-i\alpha|\tau|} \quad (2.57)$$

și deci

$$\tilde{K}_x(\tau) = \sum_{k=1}^n B_k \sum_{\substack{i=1 \\ k \geq 1}}^n a_{ki} \cdot e^{-i\alpha|\tau|} = \sum_{k=1}^n A_k \cdot e^{-k\alpha|\tau|} \quad (2.58)$$

Din relația (2.58) se poate obține imediat densitatea spectral de putere

$$\begin{aligned} S_x(\omega) &= \int_{-\infty}^{\infty} \tilde{K}_x(\tau) \cdot e^{-j\omega\tau} d\tau = \int_{-\infty}^{\infty} \sum_{k=1}^n A_k e^{-k\alpha|\tau|} \cdot e^{-j\omega\tau} d\tau = \\ &= \sum_{k=1}^n A_k \int_{-\infty}^{\infty} e^{-k\alpha|\tau|} \cdot e^{-j\omega\tau} d\tau \quad |\tau| = \begin{cases} \tau, & \tau \geq 0 \\ -\tau, & \tau < 0 \end{cases} \\ S_x(\omega) &= \sum_{k=1}^n A_k \left[ \int_0^{\infty} e^{-(k\alpha + j\omega)\tau} d\tau + \int_{-\infty}^0 e^{(k\alpha - j\omega)\tau} d\tau \right] = \\ &= \sum_{k=1}^n A_k \left[ \frac{1}{k\alpha + j\omega} + \frac{1}{k\alpha - j\omega} \right] = \sum_{k=1}^n A_k \frac{2k\alpha}{(k\alpha)^2 + \omega^2} \quad (2.59) \end{aligned}$$

**2.6.2.4. Funcții de autocorelație de forma oscilației armonice amortizate.** Acest mod de aproximare este sugerat de faptul că din multe analize experimentale funcția de autocorelație rezultă de forma graficului care descrie variația amplitudinii în timp la o mișcare armonică amortizată. Se acceptă deci

$$\tilde{K}_x(\tau) = B_x \cdot e^{-\alpha|\tau|} \cdot \cos \beta\tau \quad (2.60)$$

Într-o densitate spectrală de putere se obține

$$S_x(\omega) = \int_{-\infty}^{\infty} \tilde{K}_x(\tau) \cdot e^{-j\omega\tau} d\tau = \int_{-\infty}^{\infty} B_x \cdot e^{-\alpha|\tau|} \cdot \cos \beta\tau \cdot e^{-j\omega\tau} d\tau$$

dar

$$\cos \beta \tau = \frac{1}{2}(e^{j\beta\tau} + e^{-j\beta\tau}), \quad (\text{Euler}), \quad j = \sqrt{-1}$$

$$|\tau| = \begin{cases} \tau, & \tau \geq 0 \\ -\tau, & \tau < 0 \end{cases}$$

$$\begin{aligned} S_x(\omega) &= \frac{D_x}{2} \left[ \int_{-\infty}^{\infty} e^{-\alpha|\tau|} \cdot e^{j\omega\tau} \cdot e^{j\beta\tau} \cdot d\tau + \int_{-\infty}^{\infty} e^{-\alpha|\tau|} \cdot e^{-j\omega\tau} \cdot e^{-j\beta\tau} \cdot d\tau \right] = \\ &= \frac{D_x}{2} \left[ \frac{1}{\alpha + j(\omega - \beta)} + \frac{1}{\alpha - j(\omega - \beta)} + \frac{1}{\alpha - j(\omega + \beta)} + \frac{1}{\alpha + j(\omega + \beta)} \right] = \\ &= 2\alpha \cdot D_x \cdot \frac{\omega^2 + \alpha^2 + \beta^2}{(\omega^2 - \alpha^2 - \beta^2)^2 + 4\alpha^2\omega^2} \end{aligned} \quad (2.61)$$

2.6.2.5. Procese stocastice diferentiale. Se încearcă o reprezentare generalizată cu funcții armonice amortizate de forma

$$\tilde{K}_x(\tau) = D_x \cdot e^{-\alpha|\tau|} (\cos \beta\tau + \frac{\alpha}{\beta} \sin \beta|\tau|) \quad (2.62)$$

Problema esențială este obținerea densității spectrale de putere. Calculul este analog cu cel precedent și se bazează pe relațiile de înlocuire precedente pentru  $|\tau|$  și  $\cos \beta\tau$  și în plus pe

$$\sin \beta|\tau| = \frac{1}{2j}(e^{j\beta|\tau|} - e^{-j\beta|\tau|})$$

$$\begin{aligned} S_x(\omega) &= \int_{-\infty}^{\infty} \tilde{K}_x(\tau) e^{-j\omega\tau} d\tau = \\ &= D_x \left\{ \underbrace{\int_{-\infty}^{\infty} e^{-j\omega\tau} \cdot e^{-\alpha|\tau|} \cdot \cos \beta\tau \cdot d\tau}_{I_1 \equiv 2.6.2.4} + \underbrace{\int_{-\infty}^{\infty} e^{-j\omega\tau} \cdot e^{-\alpha|\tau|} \cdot \frac{\alpha}{\beta} \sin \beta|\tau| d\tau}_{I_2} \right\} \end{aligned}$$

$$I_2 = \frac{\alpha}{\beta} \int_{-\infty}^{\infty} e^{-j\omega\tau} \cdot e^{-\alpha|\tau|} \cdot \frac{1}{2j}(e^{j\beta|\tau|} - e^{-j\beta|\tau|}) d\tau = 2\alpha \cdot \frac{\alpha^2 + \beta^2 - \omega^2}{(\omega^2 - \alpha^2 - \beta^2)^2 + 4\alpha^2\omega^2}$$

Rezultă

$$S_x(\omega) = 4\alpha \cdot D_x \cdot \frac{\alpha^2 + \beta^2}{(\omega^2 - \alpha^2 - \beta^2)^2 + 4\alpha^2\omega^2} \quad (2.63)$$

2.6.2.6. Aproximarea cu exponentiale pătratic. Funcția de aproximare are forma

$$\tilde{K}_x(\tau) = D_x \cdot e^{-\alpha^2\tau^2} \cdot \cos \beta\tau \quad (2.64)$$

În mod similar cu în cazurile precedente

$$\begin{aligned}
 x(\omega) &= \int_{-\infty}^{\infty} \tilde{x}(\tau) \cdot e^{-j\omega\tau} \cdot d\tau = \int_{-\infty}^{\infty} D_x \cdot e^{-\alpha^2\tau^2} \cdot e^{-j\omega\tau} \cdot \frac{1}{2} (e^{j\beta\tau} + e^{-j\beta\tau}) d\tau = \\
 &= \frac{D_x}{2} \left[ \int_{-\infty}^{\infty} e^{-\alpha^2\tau^2 - j\omega\tau + j\beta\tau} \cdot d\tau + \int_{-\infty}^{\infty} e^{-\alpha^2\tau^2 - j\omega\tau - j\beta\tau} \cdot d\tau \right]
 \end{aligned}$$

Integralele din paranteze sînt integrale tip Poisson, pentru care extragem din culegerea : У. М. Рыжик ; У. С. Трагштейн - Падлин интегралов, цуми, рядов и произведений. Тостехтеориздат, 1951, pag. 103/3.123 (4)

$$\int_{-\infty}^{\infty} e^{-px^2 - qx} \cdot dx = e^{\frac{q^2}{4p}} \cdot \sqrt{\frac{\pi}{p}} \quad , \quad p > 0$$

In cazul dat avem

$$\int_{-\infty}^{\infty} e^{-\alpha^2\tau^2 - j(\omega - \beta)\tau} \cdot d\tau = e^{\frac{[j(\omega - \beta)]^2}{4\alpha^2}} \cdot \sqrt{\frac{\pi}{\alpha^2}} = \frac{\sqrt{\pi}}{\alpha} \cdot e^{-\frac{(\omega - \beta)^2}{4\alpha^2}}$$

$$\int_{-\infty}^{\infty} e^{-\alpha^2\tau^2 - j(\omega + \beta)\tau} \cdot d\tau = \frac{\sqrt{\pi}}{\alpha} \cdot e^{-\frac{(\omega + \beta)^2}{4\alpha^2}}$$

Deci

$$x(\omega) = \frac{\sqrt{\pi} \cdot D_x}{2\alpha} \left( e^{-\frac{(\omega + \beta)^2}{4\alpha^2}} + e^{-\frac{(\omega - \beta)^2}{4\alpha^2}} \right) \quad (2.65)$$

**2.6.2.7. Concluzii.** S-a demonstrat, într-o formă unitară, că oricare ar fi forma analitică de aproximare a funcțiilor de autocorelație, în contextul condițiilor prezentate în paragraful 2.6.1. se poate determina densitatea spectrală de putere. Aceasta conduce la posibilitatea de a cunoaște spectrul de frecvențe al excitației și de a face o analiză a comportării dinamice a sistemului în domeniul frecvențelor.

## 2.7. Contribuții la analiza sistemelor oscilante cu un grad de libertate supuse perturbațiilor stohastice

**2.7.1. Ipoteze. Ecuația diferențială a mișcării.** Pentru ilustrarea aplicabilității formulelor stabilite în paragrafele precedente și evidențierea altor noțiuni necesare în studiul vibrațiilor caroseriei autovehiculelor, se vor analiza în continuare elementele esențiale ale mișcării unui oscilator cu un grad de libertate, excitat de un proces stohastic staționar și ergodic. În altfel, într-o primă aproximație acesta este și cel mai simplu model pentru mișcările aleatoare pe verticală ale caroseriei unui autovehicul, care se deplasează pe un drum pentru care

presupunem dată o realizare  $kX(s) \equiv X(s)$  - la altă scară  $X(t)$  - (v. 3.1).

Acest model reprezentat în fig.2.9 este similar cu cazurile clasice analizate în tratatele de vibrații (v. [495], GH. SILAN pag.39) la care sursa de forțe perturbatoare o constituie deplasarea punctului de suspensie a elementului elastic, dată de funcția  $X(t)$ .

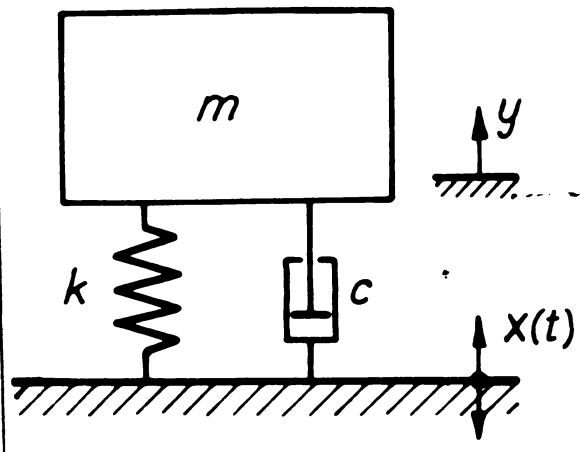


Fig.2.9

Urând un raționament analog cu cel din lucrarea amintită [495], se poate obține ecuația diferențială a mișcării masei  $m$  în coordonate relative (în raport cu poziția de echilibru static) sub forma

Modelul mecanic al unui sistem oscilant cu un grad de libertate

$$\ddot{y} + 2\zeta\omega_n\dot{y} + \omega_n^2 y = f(t) \quad (2.66)$$

unde

$$\omega_n = \sqrt{\frac{k}{m}} \quad - \text{pulsatia proprie sau naturală a sistemului}$$

$$c_{cr} = 2m\omega_n \quad - \text{coeficientul critic de amortizare}$$

$$\zeta = \frac{c}{c_{cr}} \quad - \text{coeficientul de aperiodicitate (amortizarea relativă)}$$

$f(t)$  - procesul de excitație dat.

Pe acest model simplificat se pot studia multe din problemele fundamentale întâlnite în dinamica vehiculelor de cale și se pot obține în special caracteristicile statistice ale răspunsului pentru diverse aproximații ale excitației.

Este util să se precizeze că s-a considerat valabilă ipoteza Kelvin-Voigt, după care forțele de amortizare sînt proporționale cu viteza de mișcare a punctelor sistemului.

**2.7.2. Calculul funcției pondere sau reacției la impuls a sistemului** (v. 2.5.2). Problema revine la a rezolva ecuația diferențială

$$\ddot{y} + 2\zeta\omega_n\dot{y} + \omega_n^2 y = \delta(t-\tau) \quad (2.67)$$

cu condițiile inițiale

$$y(\tau) = 0 \quad ; \quad \dot{y}(\tau) = 0 \quad (2.68)$$

Se face schimbarea de variabilă :  $t-\tau = u$  ( $t = \tau \Rightarrow u = 0$ )

și se notează cu apostrof derivatele în raport cu noua variabilă (u). Se obține

$$y'' + 2\zeta\omega_n y' + \omega_n^2 y = \delta(u) \quad (2.69)$$

$$y(0) = 0 \quad ; \quad y'(0) = 0 \quad (2.70)$$

Folosim transformata Laplace [112], [127], [140], [191], [287], [433] și trecem de la variabila reală u la variabila complexă s înmulțind ecuația (2.69) cu  $e^{-su}$  și integrând între 0 și  $\infty$ .

Se obține ecuația algebrică

$$s^2 \bar{y}(s) + 2\zeta\omega_n s \bar{y}(s) + \omega_n^2 \bar{y}(s) = 1 \quad (2.71)$$

de unde, expresia analitică a imaginii Laplace este imediată

$$\bar{y}(s) = \frac{1}{s^2 + 2\zeta\omega_n s + \omega_n^2} \quad (2.72)$$

Soluția pentru răspunsul sistemului, în variabila u, se obține luând originalul lui  $\bar{y}(s)$

$$y(u) = \frac{1}{2\pi j} \int_{c-j\infty}^{c+j\infty} \frac{e^{su}}{s^2 + 2\zeta\omega_n s + \omega_n^2} ds \quad (2.73)$$

Rezolvarea integralei se face cu ajutorul teoremei reziduurilor [11], [112], [479] - deoarece în tabelele cercetate de autor, nu se găsește această formă -. Se știe că dacă  $f(t)$  este o funcție uniformă, cu un număr finit de puncte singulare izolate  $\alpha_1, \alpha_2, \dots, \alpha_p$  atunci

$$\int_c f(z) dz = 2\pi j \sum_{n=1}^p \operatorname{Res}_{z=\alpha_n} f(z)$$

iar dacă  $z_0$  este un pol de ordinul p atunci

$$\operatorname{Res}_{z \rightarrow z_0} f(z) = \frac{1}{(p-1)!} \lim_{z \rightarrow z_0} \left[ (z-z_0)^p \cdot f(z) \right]^{(p-1)}$$

Polii funcției se găsesc printre zerourile numitorului

$$\begin{aligned} s^2 + 2\zeta\omega_n s + \omega_n^2 = 0 &\implies s_{1,2} = -\zeta\omega_n \pm \sqrt{\zeta^2\omega_n^2 - \omega_n^2} = \\ &= -\zeta\omega_n \pm j\omega_n \sqrt{1 - \zeta^2} \end{aligned}$$

$$\operatorname{Rez} f(s) = \lim_{s \rightarrow s_1} \left[ (s-s_1) \frac{e^{su}}{(s-s_1)(s-s_2)} \right] = \frac{e^{s_1 u}}{s_1 - s_2}$$

$$\operatorname{Rez} f(s) = \lim_{s \rightarrow s_2} \left[ (s-s_2) \frac{e^{su}}{(s-s_1)(s-s_2)} \right] = \frac{e^{s_2 u}}{s_2 - s_1}$$

Deci

$$\begin{aligned} y(u) &= \frac{2\pi j}{2\pi j} \left[ \frac{e^{s_1 u}}{s_1 - s_2} + \frac{e^{s_2 u}}{s_2 - s_1} \right] = \frac{e^{s_1 u} - e^{s_2 u}}{s_1 - s_2} = \\ &= \frac{1}{\omega_n \sqrt{1-\zeta^2}} \exp(-\zeta \omega_n u) \cdot \sin \omega_n u \sqrt{1-\zeta^2} \end{aligned}$$

Dar,  $u = t - \tau$ , deci în final (pentru  $\zeta < 1$ )

$$y(t-\tau) = \begin{cases} \frac{e^{-\zeta \omega_n (t-\tau)}}{\omega_n \sqrt{1-\zeta^2}} \sin \left[ \omega_n \sqrt{1-\zeta^2} (t-\tau) \right], & t > \tau \\ 0, & t < \tau \end{cases} \quad (2.74)$$

Dacă  $\zeta > 1$  se obține

$$y(t-\tau) = \begin{cases} \frac{1}{\omega_n \sqrt{\zeta^2 - 1}} \exp[-\zeta \omega_n (t-\tau)] \operatorname{sh} \left[ \omega_n \sqrt{\zeta^2 - 1} (t-\tau) \right], & t > \tau \\ 0, & t < \tau \end{cases} \quad (2.75)$$

**2.7.3. Coeficientul complex de transfer (caracteristica de frecvență a sistemului).** Presupunem în (2.66) că  $f(t) = e^{j\omega t}$  și căutăm pe  $y(t) = \rho(j\omega) e^{j\omega t}$  (conform definiției). Avem evident

$$\dot{y}(t) = \rho(j\omega) \cdot j\omega \cdot e^{j\omega t}; \quad \ddot{y}(t) = -\omega^2 \rho(j\omega) e^{j\omega t}$$

și deci

$$-\omega^2 \rho(j\omega) e^{j\omega t} + 2\zeta \omega_n j\omega \rho(j\omega) e^{j\omega t} + \omega_n^2 \rho(j\omega) e^{j\omega t} = e^{j\omega t}$$

$$\rho(j\omega) = \frac{1}{\omega_n^2 - \omega^2 + j2\zeta \omega_n \omega} \quad (2.76)$$

și

$$\begin{aligned} |\rho(j\omega)|^2 &= \rho(j\omega) \cdot \overline{\rho(j\omega)} = \frac{1}{\omega_n^2 - \omega^2 + j2\zeta \omega_n \omega} \cdot \frac{1}{\omega_n^2 - \omega^2 - j2\zeta \omega_n \omega} = \\ &= \frac{1}{(\omega_n^2 - \omega^2)^2 + 4\zeta^2 \omega_n^2 \omega^2} \end{aligned} \quad (2.77)$$

**2.7.4. Calculul caracteristicilor probabilistice ale răspunsului sistemului** <sup>x)</sup>.

**2.7.4.1. Determinarea așteptării matematice a răspunsului.** Știm că dacă se cunoaște funcția pondere a sistemului, atunci legătura între semnalul de ieșire și cel de intrare se poate reprezenta sub forma

$$Y(t) = \int_{-\infty}^{\infty} y(t-\tau) \cdot X(\tau) d\tau \quad (2.78)$$

În (2.78) se face schimbarea de variabilă  $u = t - \tau$ ; avem evident  $y(u) = y(-u)$  și deci

$$Y(t) = \int_{-\infty}^{\infty} X(t-u) \cdot y(u) du \quad (2.79)$$

Aplicăm operatorul de mediere și în ipoteza că  $X(t)$  este un proces stohastic staționar în sens larg, adică  $E[X(t-u)] = m_X = \text{const.}$  se obține

$$E[Y(t)] = \int_{-\infty}^{\infty} E[X(t-u)] \cdot y(u) du \Rightarrow m_Y = \delta(0) \cdot m_X \quad (2.80)$$

**2.7.4.2. Determinarea funcției de autocorelație a răspunsului.** Pentru a afla variabila centrată, se scade din (2.79), (2.80) și se obține

$$Y^0(t) = \int_{-\infty}^{\infty} [X(t-u_1) - m_X] \cdot y(u_1) du_1 = \int_{-\infty}^{\infty} X^0(t-u_1) \cdot y(u_1) du_1$$

$$K_Y(\tau) = E[Y^0(t) \cdot \overline{Y^0(t+\tau)}] = \iint_{-\infty}^{\infty} E[X^0(t-u_1) \overline{X^0(t-u_1+u_1-u_2+\tau)}] y(u_1) \overline{y(u_2)} du_1 du_2$$

dar

$$E[X^0(t-u_1) \overline{X^0(t-u_1+\tau+u_1-u_2)}] = K_X(\tau+u_1-u_2)$$

și deci

$$K_Y(\tau) = \iint_{-\infty}^{\infty} y(u_1) \cdot \overline{y(u_2)} \cdot K_X(\tau+u_1-u_2) du_1 du_2 \quad (2.81)$$

**2.7.4.3. Determinarea densității spectrale a răspunsului.**

$$S_Y(\omega) \stackrel{z)}{=} \int_{-\infty}^{\infty} K_Y(\tau) e^{-j\omega\tau} d\tau = \int_{-\infty}^{\infty} \left[ \iint_{-\infty}^{\infty} y(u_1) \cdot \overline{y(u_2)} \cdot K_X(\tau+u_1-u_2) du_1 du_2 \right] e^{-j\omega\tau} d\tau = \underbrace{\left[ \int_{-\infty}^{\infty} y(u_1) e^{j\omega u_1} du_1 \right]}_{Z(j\omega)} \underbrace{\left[ \int_{-\infty}^{\infty} \overline{y(u_2)} e^{-j\omega u_2} du_2 \right]}_{\overline{Z(j\omega)}} \underbrace{\left[ \int_{-\infty}^{\infty} K_X(\tau+u_1-u_2) e^{-j\omega(\tau+u_1-u_2)} d\tau \right]}_{S_X(\omega)}$$

x) [488] I. MITELBOSSER: Caracteristici statistice ale răspunsului sistemelor oscilante la excitații aleatoare. Lucrările Conferinței "Vibrații în construcția de mașini" Timișoara 31.8.1975, vol. II, p.147...156



$$S_y(\omega) = \beta(j\omega) \cdot \overline{\beta(j\omega)} \cdot S_x(\omega) = |\beta(j\omega)|^2 \cdot S_x(\omega) \quad (2.82)$$

Din ultimele trei relații (2.80), (2.81), (2.82) se desprinde concluzia deosebit de importantă pentru cercetările prezentate în cadrul tezei că, pentru a determina caracteristicile probabilistice ale răspunsului sînt necesare numai funcția de autocorelație sau densitatea spectrală a procesului stohastic de perturbație și caracteristica de frecvență a sistemului.

2.7.4.4. Calculul dispersiei răspunsului <sup>x1)</sup>. Aplicarea relațiilor precedente nu ridică dificultăți principiale, atîta timp cît pentru sistemul studiat am găsit și funcția pondere și caracteristica de frecvență și cunoaștem elementele procesului stohastic de excitație ( $n_x, K_x(\tau), S_x(\omega)$ ). Însă, în calculele statistice utilizate în dinamica vehiculelor, interesează în mod special abaterile medii pătratice ale funcției necunoscute (ale răspunsului) și ale derivatelor ei, care prezintă în general dificultăți de ordin matematic. Ne propunem să analizăm dispersia procesului stohastic de răspuns al sistemului. Prin definiție

$$\langle y^2(t) \rangle = \sigma_y^2 = \frac{1}{2\pi} \int_{-\infty}^{\infty} S_y(\omega) d\omega = \frac{1}{2\pi} \int_{-\infty}^{\infty} |\beta(j\omega)|^2 S_x(\omega) d\omega \quad x2) \quad (2.83)$$

Se analizează cazurile prezentate în 2.6.2 în care s-au indicat diverse forme de aproximare pentru funcția de autocorelație a excitației.

2.7.4.4.1. Cazul funcțiilor de autocorelație tipice triunghiulare. Se folosesc formulele (2.38), (2.39), (2.40) și (2.77)

$$\sigma_y^2 = \frac{1}{2\pi} \int_{-\infty}^{\infty} \frac{1}{(\omega_n^2 - \omega^2)^2 + 4\zeta^2 \omega_n^2 \omega^2} \sum_{i=1}^n A_{oi} \cdot T_{oi} \left( \frac{\sin \frac{\omega \cdot T_{oi}}{2}}{\frac{\omega \cdot T_{oi}}{2}} \right)^2 \cdot d\omega \quad (2.84)$$

Fiind vorba de o sumă finită, se poate scoate semnul  $\sum$  de sub integrală și se obține

x1) [487] IONEL DOBRI: Contributions to the study of the variance of the linear oscillator response when excited by an ergodic and stationary random process. *Buletinul științific și tehnic al I.P.T., seria mat.-fiz.-teoretică și aplicată*, Tom 20(34), Fascicula 1 - 1975, p.27...28

x2) S-a indicat cu paranteze ascuțite  $\langle \rangle$  luarea mediei în timp, conform unei uzanțe din literatura străină [117], [132], [475]. Dar pentru procese staționare și ergodice, media în timp este egală cu media pe mulțime  $\mathbb{E}[\ ]$ , deci cele două simboluri sînt identice și vor fi utilizate uneori împreună pentru a accentua acest lucru.

$$\sigma_y^2 = \frac{1}{2\pi} \sum_{i=1}^n A_{oi} \cdot T_{oi} \cdot \frac{4}{T_{oi}^2} \int_{-\infty}^{\infty} \frac{\sin^2 \frac{\omega \cdot T_{oi}}{2}}{\omega^2 [(\omega_n^2 - \omega^2)^2 + 4\zeta^2 \omega_n^2 \omega^2]} d\omega \quad (2.85)$$

Se notează

$$I_1(1) = \int_{-\infty}^{\infty} \frac{\sin^2 \frac{\omega \cdot T_{oi}}{2}}{\omega^2 [(\omega_n^2 - \omega^2)^2 + 4\zeta^2 \omega_n^2 \omega^2]} d\omega =$$

$$= \int_{-\infty}^{\infty} \frac{\sin^2 \frac{\omega \cdot T_{oi}}{2}}{\omega^2 [\omega^4 - 2\omega_n^2(1-2\zeta^2)\omega^2 + \omega_n^4]} d\omega \quad (2.86)$$

Se obține

$$\sigma_y^2 = \frac{2}{\pi} \sum_{i=1}^n \frac{A_{oi}}{T_{oi}} \cdot I_1(1) \quad (2.87)$$

entru rezolvarea integralei  $I_1(1)$  (2.87) se va utiliza tot metoda reziduurilor. Pentru aceasta se consideră funcția de variabilă complexă ajutătoare

$$f(z) = \frac{1 - e^{jT_{oi}z}}{z^2 [z^4 - 2\omega_n^2(1-2\zeta^2)z^2 + \omega_n^4]} \quad (2.88)$$

Alegerea formei (2.88) pentru funcția  $f(z)$  a fost făcută pornind de la ideea că în final la numărător trebuie să apară un  $\sin^2 x$  pentru a ajunge la (2.86). Este evident atunci că dacă se înlocuiește  $e^{jx}$  în funcție de  $\cos x$  și  $\sin x$  (după Euler), va apărea la numărător diferența  $1 - \cos x$  care este un  $2 \sin^2 \frac{x}{2}$ .

Pentru utilizarea corectă a metodei reziduurilor este esențial să căutăm poli funcției de integrat, să le precizăm poziția în planul complex și să alegem un contur adecvat de integrare.

Fie

$$z^4 - 2\omega_n^2(1-2\zeta^2)z^2 + \omega_n^4 = 0$$

Se notează  $z^2 = t$  și se obține

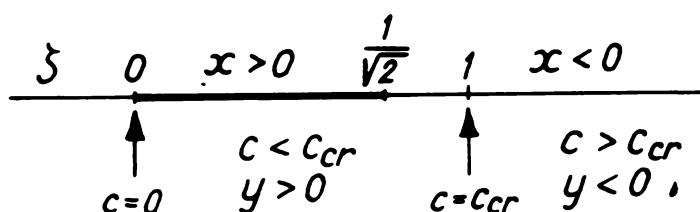
$$t^2 - 2\omega_n^2(1-2\zeta^2)t + \omega_n^4 = 0$$

$$t_{1,2} = \omega_n^2(1-2\zeta^2) \pm \sqrt{\omega_n^4(1-2\zeta^2) - \omega_n^4} = \omega_n^2 [(1-2\zeta^2) \pm j2\zeta \sqrt{1-\zeta^2}]$$

Se analizăm numărul complex

$$\bar{u} = (1 - 2\zeta^2) \pm j2\zeta \sqrt{1 - \zeta^2} = x + jy$$

unde  $\zeta = c/c_{cr}$ . Se pot întâmpla următoarele situații



Deoarece, în această parte a lucrării interesează problema numai în principiu, ca formulare și mod de rezolvare, nu voi ocupa numai de cazul  $0 \leq \xi < \frac{1}{\sqrt{2}}$ , celelalte cazuri tratându-se în mod similar.

Rezultă

$$\begin{cases} |z| = \sqrt{(1-2\xi^2)^2 + (2\xi\sqrt{1-\xi^2})^2} = 1 \\ \operatorname{tg} \varphi = \frac{2\xi\sqrt{1-\xi^2}}{1-2\xi^2} \Rightarrow \varphi = \operatorname{arc} \operatorname{tg} \frac{2\xi\sqrt{1-\xi^2}}{1-2\xi^2} \end{cases}$$

Dacă  $\xi \rightarrow \frac{1}{\sqrt{2}}$ ,  $\operatorname{tg} \varphi \rightarrow \infty \Rightarrow \varphi \rightarrow 90^\circ$  deci  $\varphi < 90^\circ$ . Avem deci

$$z^2 = \omega_n^2 [(1-2\xi^2) + j2\xi\sqrt{1-\xi^2}] = \omega_n^2 (\cos \varphi + j \sin \varphi) \Rightarrow z_1; z_3$$

$$z^2 = \omega_n^2 [(1-2\xi^2) - j2\xi\sqrt{1-\xi^2}] = \omega_n^2 [\cos(-\varphi) + j \sin(-\varphi)] \Rightarrow z_2; z_4$$

Se obțin polii

$$z_1 = \omega_n \left( \cos \frac{\varphi}{2} + j \sin \frac{\varphi}{2} \right)$$

$$z_3 = \omega_n \left[ \cos \left( \frac{\varphi}{2} + \pi \right) + j \sin \left( \frac{\varphi}{2} + \pi \right) \right] = \omega_n \left( -\cos \frac{\varphi}{2} - j \sin \frac{\varphi}{2} \right)$$

$$z_2 = \omega_n \left[ \cos \left( -\frac{\varphi}{2} \right) + j \sin \left( -\frac{\varphi}{2} \right) \right] = \omega_n \left( \cos \frac{\varphi}{2} - j \sin \frac{\varphi}{2} \right)$$

$$z_4 = \omega_n \left[ \cos \left( -\frac{\varphi}{2} + \pi \right) + j \sin \left( -\frac{\varphi}{2} + \pi \right) \right] = \omega_n \left( -\cos \frac{\varphi}{2} + j \sin \frac{\varphi}{2} \right)$$

(2.89)

O primă problemă care se pune este de a stabili dacă  $z^2$ , de la numitorul lui  $f(z)$  (2.88), este un pol simplu sau un pol dublu. Pentru aceasta, dacă se dezvoltă în serie numărătorul lui  $f(z)$

$$\begin{aligned}
 f(z) &= \frac{1 - e^{jT_0 z}}{z^2} = \frac{1 - \left( 1 + \frac{jT_0 z}{1!} + \frac{(jT_0 z)^2}{2!} + \dots \right)}{z^2} = \\
 &= \frac{z \left( -\frac{jT_0}{1!} + \frac{T_0^2}{2!} - \dots \right)}{z^2}
 \end{aligned}$$

se ajunge la concluzia ca de fapt avem un pol simplu. Inseamnă că atunci există și  $z_5 = 0$  - un pol simplu la distanță finită.

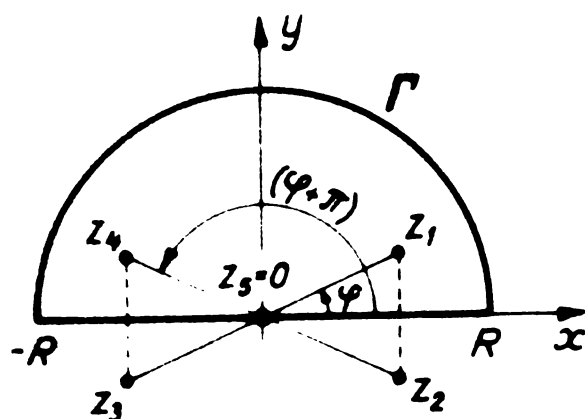


fig.2.10

Plasarea polilor în planul complex pentru calculul integralei  $I_1(i)$

În fig.2.10 s-au reprezentat polii în planul complex și s-a ales conturul de integrare de forma unui semicerc. Polii  $z_1$  și  $z_4$  se găsesc în interiorul conturului, iar polul  $z_5$  pe contur. Se alege suficient de mare încât de la început toate punctele singulare ale lui  $f(z)$  din semiplanul  $\text{Im}z > 0$  să se afle în interiorul conturului.

Dacă se aplică teorema semireziduurilor <sup>x)</sup>, se obține

$$\int_{-R}^R \frac{(1 - e^{j\omega_0 x}) dx}{x^2 [x^4 - 2\omega_n^2(1 - 2\zeta^2)x^2 + \omega_n^4]} + \int_{\Gamma} \frac{(1 - e^{j\omega_0 z}) dz}{z^2 [z^4 - 2\omega_n^2(1 - 2\zeta^2)z^2 + \omega_n^4]} =$$

$$= 2\pi j [\text{Rez}(f; z_1) + \text{Rez}(f; z_4)] + \pi j \cdot \text{Rez}(f; z_5) \quad (2.90)$$

Înainte de a trece la calculul reziduurilor, voi demonstra că cea de-a doua integrală din (2.90) este nulă când se trece la limită.

Consider funcția

$$U(z) = \frac{1}{z^2 [z^4 - 2\omega_n^2(1 - 2\zeta^2)z^2 + \omega_n^4]} \quad (2.91)$$

Luând punctul  $z$  pe conturul  $\Gamma$  de forma  $z = Re^{j\theta}$ , se obține un șir de majorări, ținând cont de proprietățile modulului și de faptul că  $|e^{j\theta}| = 1$

x) Teorema semireziduurilor. Fie  $\Gamma$  un contur și  $f(z)$  o funcție, ale cărei singularități sînt poli sau puncte singulare esențiale izolate. Dacă  $a_1, a_2, \dots, a_m$  sînt punctele singulare din interiorul conturului și dacă pe contur se găsesc numai poli de ordinul unu  $z_1, z_2, \dots, z_n$ , în care  $\Gamma$  admite tangentă unică, atunci

$$\oint_{\Gamma} f(z) dz = 2\pi j \sum_{k=1}^m \text{Rez}(f; a_k) + \pi j \sum_{k=1}^n \text{Rez}(f; z_k)$$

(v. V. Rudner : Probleme de matematici speciale, ed. did. și ped. București, 1970, pag. 218)

$$|G(z)| = \left| \frac{1}{z^2 [z^4 - 2\omega_n^2(1-2\zeta^2)z^2 + \omega_n^4]} \right| = \frac{1}{|R^2 e^{2j\theta} [R^4 e^{4j\theta} - 2\omega_n^2(1-2\zeta^2)R^2 e^{2j\theta} + \omega_n^4]|} \leq$$

$$\leq \frac{1}{||R^4 e^{4j\theta}| - |2\omega_n^2(1-2\zeta^2)R^2 e^{2j\theta} - \omega_n^4|| |R^2 e^{2j\theta}|} =$$

$$= \frac{1}{|R^4 - \omega_n^2| 2(1-2\zeta^2)R^2 e^{2j\theta} - \omega_n^2| |R^2|} \leq \frac{1}{|R^4 - 2\omega_n^2(1-2\zeta^2)R^2 - \omega_n^4| R^2} \xrightarrow{R \rightarrow \infty} 0$$

Deci funcția  $G(z)$  tinde către zero, uniform, cu privire la argumentul lui  $z$ , când  $R \rightarrow \infty$ .

Atunci, conform lemei lui Jordan, rezultă că <sup>x)</sup>

$$\lim_{R \rightarrow \infty} \int_{\Gamma} f(z) dz = 0$$

Odată rezolvate aceste probleme de principiu, se poate trece la calculul reziduurilor.

$$\text{Rez}(f; z_1) = \lim_{z \rightarrow z_1} [(z-z_1)f(z)] = \lim_{z \rightarrow z_1} \frac{1 - e^{jT_0 i z}}{z^2 (z-z_2)(z-z_3)(z-z_4)} =$$

$$= \frac{1 - e^{jT_0 i \omega_n (\cos \frac{\varphi}{2} + j \sin \frac{\varphi}{2})}}{8j\omega_n^5 \cdot \sin \frac{\varphi}{2} \cos \frac{\varphi}{2} (\cos \frac{\varphi}{2} + j \sin \frac{\varphi}{2})^3} = \frac{A_1 - jB_1}{8j\omega_n^5 \cdot ab(a+jb)^3} \quad (2.92)$$

unde s-a notat

$$a = \cos \frac{\varphi}{2} \quad ; \quad b = \sin \frac{\varphi}{2} \quad (2.93)$$

$$A_1 = 1 - e^{-T_0 i \omega_n b} \cdot \cos(T_0 i \omega_n a) \quad ; \quad B_1 = e^{-T_0 i \omega_n b} \cdot \sin(T_0 i \omega_n a)$$

$$\text{Rez}(f; z_4) = \lim_{z \rightarrow z_4} \frac{1 - e^{jT_0 i z}}{z^2 (z-z_1)(z-z_2)(z-z_3)} =$$

$$= \frac{1 - e^{jT_0 i \omega_n (-\cos \frac{\varphi}{2} + j \sin \frac{\varphi}{2})}}{8j\omega_n^5 \cdot \sin \frac{\varphi}{2} \cdot \cos \frac{\varphi}{2} (\cos \frac{\varphi}{2} - j \sin \frac{\varphi}{2})^3} = \frac{A_1 + jB_1}{8j\omega_n^5 \cdot ab(a-jb)^3} \quad (2.94)$$

Fie

<sup>x)</sup> Lema lui Jordan. Dacă  $G(z)$  este o funcție olomorfa în seniercul  $\Gamma$  situat în semiplanul  $J_m(z) \geq 0$ , ce tinde uniform către zero când  $|z| \rightarrow \infty$ , avem

$$\lim_{R \rightarrow \infty} \int_{\Gamma} e^{j\lambda z} G(z) dz = 0 \quad (\lambda \geq 0)$$

$$\begin{aligned} \sum_1 = \operatorname{Res}(f; z_1) + \operatorname{Res}(f; z_4) &= \frac{1}{8j\omega_n^2 \cdot ab} \left[ \frac{A_1 - jB_1}{(a + jb)^3} + \frac{A_1 + jB_1}{(a - jb)^3} \right] = \\ &= \frac{1}{4j\omega_n^2 \cdot ab} \cdot \frac{A_1 C + B_1 D}{(a^2 + b^2)^3} \end{aligned} \quad (2.95)$$

unde

$$C = a(a^2 - 3b^2) \quad ; \quad D = b(b^2 - 3a^2) \quad (2.96)$$

$$\begin{aligned} \operatorname{Res}(f; z_5) &= \lim_{z \rightarrow z_5} [z \cdot f(z)] = \lim_{z \rightarrow z_5} \frac{1 - e^{jT_0 z}}{z \cdot \prod_{k=1}^4 (z - z_k)} = \\ &= \lim_{z \rightarrow 0} \frac{(1 - \cos T_0 z) - j \sin T_0 z}{z \cdot \prod_{k=1}^4 (z - z_k)} = \lim_{z \rightarrow 0} \left[ \frac{2 \sin^2 \frac{T_0 z}{2}}{z \cdot \prod_{k=1}^4 (z - z_k)} - j \frac{\sin T_0 z}{z \cdot \prod_{k=1}^4 (z - z_k)} \right] = \\ &= \frac{1}{\prod_{k=1}^4 (-z_k)} \left[ \underbrace{\lim_{z \rightarrow 0} \frac{2 \cdot \sin^2 \frac{T_0 z}{2}}{z}}_{\rightarrow 0} - j \cdot T_0 \cdot \underbrace{\lim_{z \rightarrow 0} \frac{\sin T_0 z}{T_0 z}}_{\rightarrow 1} \right] = -j \frac{T_0}{\prod_{k=1}^4 (-z_k)} = \\ &= -j \frac{T_0}{\omega_n^4 (a^2 + b^2)^2} \end{aligned} \quad (2.97)$$

Precedând la limită în expresia (2.90) se obține

$$\int_{-\infty}^{\infty} \frac{1 - e^{jT_0 x}}{x^2 [x^4 - 2\omega_n^2(1 - 2\zeta^2)x^2 + \omega_n^4]} dx = 2\pi j \sum_1 + \pi j \cdot \operatorname{Res}(f; z_5)$$

sau

$$\begin{aligned} \int_{-\infty}^{\infty} \frac{2 \cdot \sin^2 \frac{T_0 x}{2}}{x^2 [x^4 - 2\omega_n^2(1 - 2\zeta^2)x^2 + \omega_n^4]} dx - j \int_{-\infty}^{\infty} \frac{\sin T_0 x}{x^2 [x^4 - 2\omega_n^2(1 - 2\zeta^2)x^2 + \omega_n^4]} dx = \\ = 2\pi j \frac{A_1 C + B_1 D}{4j\omega_n^2 \cdot ab(a^2 + b^2)^3} + \pi j \left[ -j \frac{T_0}{\omega_n^4 (a^2 + b^2)^2} \right] \end{aligned}$$

Prevenind la variabila  $\omega$  se obține

$$I_1(1) = \frac{\pi}{2\omega_n^4 (a^2 + b^2)^2} \left[ T_0 + \frac{A_1 C + B_1 D}{2\omega_n \cdot ab(a^2 + b^2)} \right]$$

In final

$$\sigma_y^2 = \frac{1}{\omega_n^4 (a^2 + b^2)^2} \sum_{i=1}^N \frac{A_i \omega_i}{T_{oi}} \left[ T_{oi} + \frac{A_i C + B_i D}{2\omega_n \cdot ab (a^2 + b^2)} \right] \quad (2.98)$$

2.7.4.4.2. Cazul funcțiilor de autocorelație sub formă de combinații de funcții cosinusoidale. Se folosesc formulele (2.41), (2.45) și (2.77)

$$\sigma_y^2 = \frac{1}{2\pi} \int_{-\infty}^{\infty} \frac{1}{(\omega_n^2 - \omega^2)^2 + 4\zeta^2 \omega_n^2 \omega^2} \cdot 2T_o \sum_{k=0}^N (-1)^k A_k \frac{(\omega T_o) \sin \omega T_o}{(\omega T_o)^2 - (k\pi)^2} d\omega \quad (2.99)$$

dacă se notează

$$I_2(k) = \int_{-\infty}^{\infty} \frac{\omega \sin \omega T_o}{[\omega^4 - 2\omega_n^2(1-2\zeta^2)\omega^2 + \omega_n^4][\omega^2 - (\frac{k\pi}{T_o})^2]} d\omega \quad (2.100)$$

se poate scrie

$$\sigma_y^2 = \frac{1}{\pi} \sum_{k=0}^N (-1)^k A_k I_2(k) \quad (2.101)$$

Calculul se conduce în mod asemănător cu cazul precedent, considerînd funcția de variabilă complexă

$$f_k(z) = \frac{z \cdot e^{jT_o z}}{[z^4 - 2\omega_n^2(1-2\zeta^2)z^2 + \omega_n^4][z^2 - (\frac{k\pi}{T_o})^2]}, \quad k \neq 0 \quad (2.102)$$

care pe lângă poli (2.89) mai are doi poli simpli pe conturul de integrare (v. fig. 2.11)

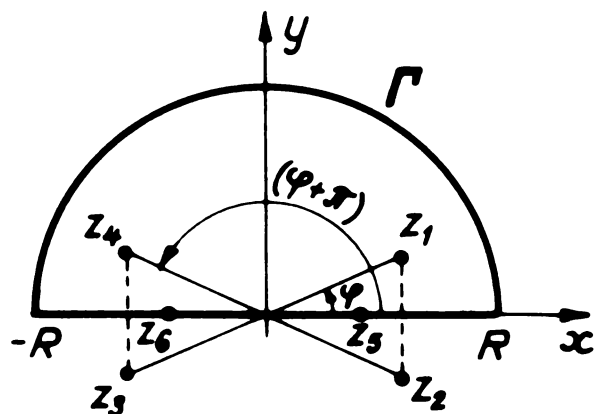


Fig. 2.11

Plasarea polilor în planul complex pentru calculul integralei  $I_2(k)$  (v. 2.100)

$$z_5 = \frac{k\pi}{T_o} \quad \text{și} \quad z_6 = -\frac{k\pi}{T_o}$$

Obținem succesiv

$$\text{Rez}(f_k; z_1) = \frac{z_1 \cdot e^{jT_o z}}{\prod_{p=2}^4 (z_1 - z_p)(z_1 - z_5)(z_1 - z_6)}$$

dar

$$\prod_{p=2}^4 (z_1 - z_p) = 8j\omega_n^3 \cdot ab(a + jb)$$

$$\text{unde } a = \cos \frac{\varphi}{2} ; \quad b = \sin \frac{\varphi}{2}$$

$$(z_1 - z_5)(z_1 - z_6) = [\omega_n^2(a^2 - b^2) - (\frac{k\pi}{T_o})^2] + j2\omega_n^2 \cdot ab$$

$$\text{Rez}(f_k; z_1) = \frac{e^{-bT_o\omega_n} \cdot e^{jaT_o\omega_n}}{8j\omega_n^3 \cdot ab \{ [\omega_n^2(a^2 - b^2) - (\frac{k\pi}{T_o})^2] + j2\omega_n^2 \cdot ab \}} = \frac{1 + j\tilde{B}}{4j\tilde{A}(\tilde{A}_k + j\tilde{B})}$$

$$\left. \begin{aligned} \text{de} \\ z_1 = \omega_n^2(a^2 - b^2) - \left(\frac{k\pi}{T_0}\right)^2 ; \quad \tilde{B} = 2\omega_n^2 \cdot ab \\ = e^{-bT_0\omega_n} \cdot \cos(a \cdot T_0\omega_n) ; \quad F = e^{-bT_0\omega_n} \cdot \sin(a \cdot T_0\omega_n) \end{aligned} \right\} \quad (2.103)$$

Analog, se obține

$$\text{Res}(f_k; z_4) = \frac{z_4 e^{jT_0 z}}{\left[ \prod_{p=1}^3 (z_4 - z_p) \right] (z_4 - z_5)(z_4 - z_6)} = \frac{\tilde{B} - jF}{4j\tilde{B}(\tilde{A}_k - j\tilde{B})}$$

$$\sum_1 = \text{Res}(f_k; z_1) + \text{Res}(f_k; z_4) = \frac{\tilde{A}_k \cdot F - \tilde{B} \cdot F}{2\tilde{B}(\tilde{A}_k^2 + \tilde{B}^2)} \quad (2.104)$$

$$\text{Res}(f_k; z_5) = \frac{z_5 e^{jT_0 z}}{\left[ \prod_{p=1}^4 (z_5 - z_p) \right] (z_5 - z_6)} = \frac{\cos k\pi + j \sin k\pi}{2(\tilde{A}_k^2 + \tilde{B}^2)}$$

de

$$\prod_1 (z_5 - z_p) = \left[ \left(\frac{k\pi}{T_0}\right)^2 - \omega_n^2(a + jb)^2 \right] \left[ \left(\frac{k\pi}{T_0}\right)^2 - \omega_n^2(a - jb)^2 \right] = \tilde{A}_k^2 + \tilde{B}^2$$

Analog

$$\text{Res}(f_k; z_6) = \frac{\cos k\pi - j \sin k\pi}{2(\tilde{A}_k^2 + \tilde{B}^2)}$$

$$\sum_2 = \text{Res}(f_k; z_5) + \text{Res}(f_k; z_6) = \frac{\cos k\pi}{\tilde{A}_k^2 + \tilde{B}^2} \quad (2.105)$$

Aplicând teorema semireziduurilor și trecînd la limită, obține

$$\begin{aligned} & \int_{-\infty}^{\infty} \frac{x \cos(T_0 x)}{[x^4 - 2\omega_n^2(1-2\zeta^2)x^2 + \omega_n^4][x^2 - (\frac{k\pi}{T_0})^2]} dx + \\ & + \int_{-\infty}^{\infty} \frac{x \sin(T_0 x)}{[x^4 - 2\omega_n^2(1-2\zeta^2)x^2 + \omega_n^4][x^2 - (\frac{k\pi}{T_0})^2]} dx + \\ & + \lim_{r \rightarrow \infty} \int_r^r \frac{z e^{jT_0 z}}{[z^4 - 2\omega_n^2(1-2\zeta^2)z^2 + \omega_n^4][z^2 - (\frac{k\pi}{T_0})^2]} dz = \\ & = 2\pi j \frac{\tilde{A}_k F - \tilde{B} F}{2\tilde{B}(\tilde{A}_k^2 + \tilde{B}^2)} + \pi j \frac{\cos k\pi}{\tilde{A}_k^2 + \tilde{B}^2} \end{aligned}$$

rezult. în final



$$I_2(k) = \frac{\pi}{\tilde{B}(\tilde{A}_k^2 + \tilde{B}^2)} \cdot (\tilde{A}_k \cdot F - \tilde{B} \cdot L + \tilde{B} \cdot \cos k) \quad (2.106)$$

$$\sigma_y^2 = \frac{1}{\tilde{B}} \sum_{k=0}^n (-1)^k \Lambda_k \cdot \frac{\tilde{A}_k \cdot F - \tilde{B} \cdot L + \tilde{B} \cdot \cos k\pi}{\tilde{A}_k^2 + \tilde{B}^2} \quad (2.107)$$

2.7.4.4.3. Cazul aproximării funcțiilor de autocorelație ale excitației prin combinații liniare de funcții exponențiale.  
Se folosesc formulele (2.46), (2.59) și (2.77)

$$\sigma_y^2 = \frac{1}{2\pi} \int_{-\infty}^{\infty} \left[ \frac{1}{(\omega_n^2 - \omega^2)^2 + 4\zeta^2 \omega_n^2 \omega^2} \sum_{k=1}^n \Lambda_k \cdot \frac{2k\alpha}{(k\alpha)^2 + \omega^2} \right] d\omega \quad (2.108)$$

Dacă se notează

$$I_3(k) = \int_{-\infty}^{\infty} \frac{d\omega}{[(\omega_n^2 - \omega^2)^2 + 4\zeta^2 \omega_n^2 \omega^2][(k\alpha)^2 + \omega^2]} \quad (2.109)$$

rezultă

$$\sigma_y^2 = \frac{\alpha}{\pi} \sum_{k=1}^n \Lambda_k \cdot I_3(k) \quad (2.110)$$

Se procedează analog ca în cazurile precedente, considerînd funcția de variabilă complexă z

$$f_k(z) = \frac{1}{[z^4 - 2\omega_n^2(1-2\zeta^2)z^2 + \omega_n^4][z^2 + (k\alpha)^2]} \quad (2.111)$$

care pe lângă poli (2.89) mai are doi poli simpli pe axa imaginară (v.fig.2.12)

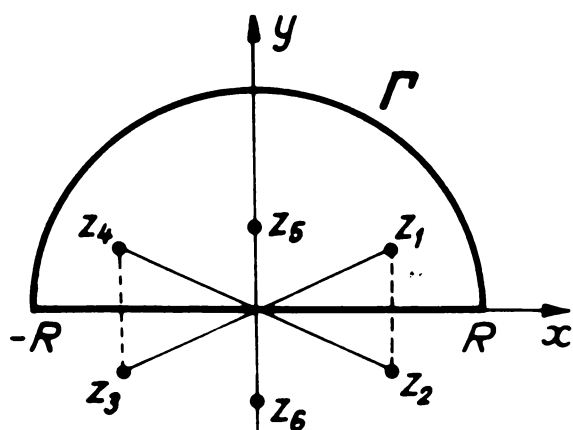


Fig.2.12

Plasarea polilor în planul complex, pentru calculul integralei  $I_3(k)$  (v.2.109)

$$z_5 = j \cdot \omega_n \alpha \quad ; \quad z_6 = -j \cdot \omega_n \alpha \quad (2.112)$$

$$\begin{aligned} \text{Rez}(f_k; z_1) &= \frac{1}{\prod_{p=1}^4 (z_1 - z_p) \cdot \prod_{p=5}^6 (z_1 - z_p)} = \\ &= \frac{1}{8j\omega_n^3 \cdot ab(a + jb)(-k - j\omega_n)} \end{aligned}$$

unde s-a notat

$$\begin{aligned} a &= \omega_n^2 \cdot \cos \varphi + (k\alpha)^2 \\ b &= \omega_n^2 \cdot \sin \varphi \end{aligned} \quad (2.113)$$

$$\text{oz}(f_k; z_4) = \frac{1}{\prod_{p=1}^3 (z_4 - z_p) \cdot \prod_{p=5}^6 (z_4 - z_p)} = \frac{1}{8j\omega_n^3 \cdot ab(a - jb)(M_k - jN_k)}$$

$$\Sigma_1(k) = \text{oz}(f_k; z_1) + \text{oz}(f_k; z_4) = \frac{1}{4j\omega_n^3 \cdot ab} \cdot \frac{aM_k - bN_k}{(a^2 + b^2)(M_k^2 + N_k^2)} \quad (2.114)$$

$$\text{oz}(f_k; z_5) = \frac{1}{\left[ \prod_{p=1}^4 (z_5 - z_p) \right] (z_5 - z_6)} = \frac{1}{2j \cdot k \alpha \cdot C_k}$$

unde

$$\prod_{p=1}^4 (z_5 - z_p) = \alpha^4 \omega_n^4 + 2 \alpha^2 \omega_n^2 \cdot \cos \varphi + \omega_n^4$$

se obține în final

$$\sigma_y^2 = \sum_{k=1}^n k \cdot \left[ \frac{aM_k - bN_k}{2\omega_n^3 \cdot ab(a^2 + b^2)(M_k^2 + N_k^2)} + \frac{1}{\alpha k C_k} \right] \quad (2.115)$$

**2.7.4.4.4. Cazul aproximării printr-o funcție cosinusoidală amortizată.** Pe baza relațiilor (2.60), (2.61) și (2.77) se obține

$$\sigma_y^2 = \frac{1}{2\pi} \int_{-\infty}^{\infty} \frac{1}{(\omega_n^2 - \omega^2)^2 + 4j\omega_n^2 \omega^2} 2\alpha D_x \frac{\omega^2 + \alpha^2 + \beta^2}{(\omega^2 - \alpha^2 - \beta^2)^2 + 4\alpha^2 \omega^2} d\omega \quad (2.116)$$

cu funcția de variabilă complexă

$$f(z) = \frac{z^2 + \alpha^2 + \beta^2}{[z^4 - \omega_n^2(1 - 2j^2)z^2 + \omega_n^4][z^4 + 2(\alpha^2 - \beta^2)z^2 + (\alpha^2 + \beta^2)^2]} \quad (2.117)$$

se găsește polii (2.39) și în plus

$$\begin{aligned} z_5 &= \beta + j\alpha & z_7 &= -\beta - j\alpha \\ z_6 &= \beta - j\alpha & z_8 &= -\beta + j\alpha \end{aligned} \quad \text{cu } \alpha, \beta > 0 \quad (2.118)$$

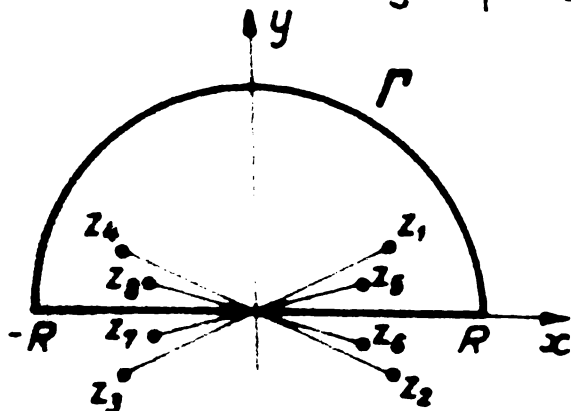


Fig. 2.13

Plasarea în planul complex a polilor funcției (2.117)

Fixarea în planul complex este evidentă și din fig. 2.13 se vede că trebuie calculate reziduurile pentru polii  $z_1; z_4; z_5$  și  $z_8$ .

Se obțin reziduurile

$$\text{Res}(f; z_1) = \frac{z_1^2 + \alpha^2 + \beta^2}{\prod_{k=2}^4 (z_1 - z_k) \cdot \prod_{k=5}^8 (z_1 - z_k)} =$$

$$= \frac{[\omega_n^2(a^2 - b^2) + \alpha^2 + \beta^2] + j2\omega_n^2 \cdot ab}{8j\omega_n^3 \cdot ab(a + jb)(R + jS)}$$

unde

$$\left. \begin{aligned} R &= \omega_n^4 \cdot \cos 2\varphi + 2(\alpha^2 - \beta^2)\omega_n^2 \cdot \cos \varphi + (\alpha^2 + \beta^2)^2 \\ S &= \omega_n^4 \cdot \sin 2\varphi + 2(\alpha^2 - \beta^2)\omega_n^2 \cdot \sin \varphi \end{aligned} \right\} (2.119)$$

$$\operatorname{Rez}(f; z_4) = \frac{z_4^2 + \alpha^2 + \beta^2}{\prod_{k=1}^3 (z_4 - z_k) \cdot \prod_{k=5}^8 (z_4 - z_k)} = \frac{[\omega_n^2(a^2 - b^2) + \alpha^2 + \beta^2] - j2\omega_n^2 \cdot ab}{8j\omega_n^3 \cdot ab(a - jb)(R - jS)}$$

După transformări

$$\sum_1 = \operatorname{Rez}(f; z_1) + \operatorname{Rez}(f; z_4) = \frac{[\omega_n^2(a^2 - b^2) + \alpha^2 + \beta^2](aR - bS) + 2\omega_n^2 ab(aS + bR)}{4j\omega_n^3 \cdot ab(a^2 + b^2)(R^2 + S^2)}$$

$$\operatorname{Rez}(f; z_5) = \frac{z_5^2 + \alpha^2 + \beta^2}{\prod_{k=1}^4 (z_5 - z_k) \cdot \prod_{k=6}^8 (z_5 - z_k)} = - \frac{j}{4\alpha(P + jQ)}$$

unde

$$\left. \begin{aligned} P &= \alpha^4 - \beta^4 - 6\alpha^2\beta^2 + \omega_n^4 + 2\omega_n^2(\alpha^2 - \beta^2)\cos \varphi \\ &= 4\alpha\beta(\beta^2 - \alpha^2 - \omega_n^2 \cdot \cos \varphi) \end{aligned} \right\} (2.120)$$

$$\operatorname{Rez}(f; z_8) = \frac{z_8^2 + \alpha^2 + \beta^2}{\prod_{k=1}^4 (z_8 - z_k) \cdot \prod_{k=5}^7 (z_8 - z_k)} = - \frac{j}{4\alpha(P - jQ)}$$

$$\sum_2 = \operatorname{Rez}(f; z_5) + \operatorname{Rez}(f; z_8) = - \frac{j \cdot P}{2\alpha(P^2 + Q^2)}$$

Dacă se mai notează

$$\left. \begin{aligned} L &= \omega_n^2(a^2 - b^2) + \alpha^2 + \beta^2 \\ \tilde{r} &= 2\omega_n^2 \cdot ab \end{aligned} \right\} (2.121)$$

se obține

$$\sigma_y^2 = \frac{\alpha \cdot D_x [L(aR - bS) - \tilde{r}(aS + bR)]}{\omega_n F(a^2 + b^2)(R^2 + S^2)} + \frac{P \cdot D_x}{2P^2 + 2} (2.122)$$

**2.7.4.4.5. Cazul unei aproximații valabile pentru procesele stohastice diferentiabile.** Pornind de la aproximata (2.62) se

obține densitatea spectrală (2.63) și pe baza lui (2.77) rezultă

$$\sigma_y^2 = \frac{1}{2\pi} \int_{-\infty}^{\infty} \frac{1}{(\omega_n^2 - \omega^2)^2 + 4\zeta^2 \omega_n^2 \omega^2} \cdot 4\alpha^2 \cdot x \cdot \frac{\alpha^2 + \beta^2}{(\omega^2 - \alpha^2 - \beta^2) \cdot 4\alpha^2 \omega^2} d\omega \quad (2.123)$$

rezolvarea integralei (2.123) conduce la

$$\operatorname{Res}(f; z_1) = \frac{1}{8j\omega_n^3 \cdot ab(a-jb)(r+j)} ; \operatorname{Res}(f; z_4) = \frac{1}{8j\omega_n^3 \cdot ab(a-jb)(r-jS)}$$

$$\sum_1 = \operatorname{Res}(f; z_1) + \operatorname{Res}(f; z_4) = \frac{1}{j} \cdot \frac{1}{4\omega_n^3 \cdot ab} \cdot \frac{a \cdot r - b \cdot S}{(a^2 + b^2)(r^2 + S^2)}$$

$$\operatorname{Res}(f; z_2) = -\frac{1}{\alpha\beta(\alpha-j\beta)(r+j)} ; \operatorname{Res}(f; z_3) = \frac{1}{8\alpha\beta(\alpha+j\beta)(r-j)}$$

$$\sum_2 = \operatorname{Res}(f; z_2) + \operatorname{Res}(f; z_3) = \frac{j}{4\alpha\beta} \cdot \frac{\beta \cdot r^2 + \alpha \cdot S}{(\alpha^2 + \beta^2)(r^2 + S^2)}$$

În final, aplicând teorema reziduurilor, rezultă

$$\sigma_y^2 = \alpha(\alpha^2 + \beta^2) \cdot x \cdot \left[ \frac{a \cdot r - b \cdot S}{\omega_n^3 \cdot ab(a^2 + b^2)(r^2 + S^2)} - \frac{\beta \cdot r^2 + \alpha \cdot S}{\alpha\beta(\alpha^2 + \beta^2)(r^2 + S^2)} \right] \quad (2.124)$$

2.7.4.4.6. Cazul aproximării cu exponentiale pătratice.  
Se pornește de la formulele (2.64), (2.65) și (2.77). Se obține

$$\sigma_y^2 = \frac{1}{2\pi} \int_{-\infty}^{\infty} \frac{1}{(\omega_n^2 - \omega^2)^2 + 4\zeta^2 \omega_n^2 \omega^2} \cdot \frac{x \cdot \sqrt{\pi}}{2\alpha} \left( e^{-\frac{(\omega+\beta)^2}{4\alpha^2}} + e^{-\frac{(\omega-\beta)^2}{4\alpha^2}} \right) d\omega \quad (2.125)$$

Acum se desparte expresia (2.125) într-o sumă de două integrale, pe care le notăm  $I_{6(1)}$  și  $I_{6(2)}$ , ale căror expresii sînt evidente, se va putea scrie

$$\sigma_y^2 = \frac{x}{4\sqrt{\pi}\alpha} (I_{6(1)} + I_{6(2)}) \quad (2.126)$$

Calculul lui  $I_{6(1)}$  se face pornind de la funcția de variabil complex

$$f_1(z) = \frac{\exp\left(-\frac{(z+\beta)^2}{4\alpha^2}\right)}{4 \prod_{k=1}^n (z-z_k)} \quad (2.127)$$

care are poli  $z_k$  dați de (2.89)

$$ez(f; z_1) = \frac{\exp\left(-\frac{(z_1 + \beta)^2}{4\alpha^2}\right)}{\prod_{k=2}^4 (z_1 - z_k)} = \frac{e^G (\cos \bar{H} + j \sin \bar{H})}{8j\omega_n^3 \cdot ab(a + jb)}$$

unde

$$\left. \begin{aligned} G &= -\frac{\omega_n^2 \cdot \cos \varphi + 2\beta\omega_n \cdot \cos \frac{\varphi}{2} + \beta^2}{4\alpha^2} \\ H &= -\frac{\omega_n^2 \cdot \sin \varphi + 2\beta\omega_n \cdot \sin \frac{\varphi}{2}}{4\alpha^2} \end{aligned} \right\} \quad (2.128)$$

$$ez(f; z_4) = \frac{\exp\left(-\frac{(z_4 + \beta)^2}{4\alpha^2}\right)}{\prod_{k=1}^3 (z_4 - z_k)} = \frac{e^{\bar{G}} (\cos \bar{H} - j \sin \bar{H})}{8j\omega_n^3 \cdot ab(a - jb)}$$

unde

$$\left. \begin{aligned} \bar{G} &= -\frac{\omega_n^2 \cdot \cos \varphi - 2\beta\omega_n \cdot \cos \frac{\varphi}{2} + \beta^2}{4\alpha^2} \\ \bar{H} &= -\frac{\omega_n^2 \cdot \sin \varphi - 2\beta\omega_n \cdot \sin \frac{\varphi}{2}}{4\alpha^2} \end{aligned} \right\} \quad (2.129)$$

Rezultă

$$I_{G(1)} = \frac{\pi}{4\omega_n^3 \cdot ab} \left[ \frac{e^G (\cos \bar{H} + j \sin \bar{H})}{a + jb} + \frac{e^{\bar{G}} (\cos \bar{H} - j \sin \bar{H})}{a - jb} \right]$$

In mod analog se obține

$$I_{G(2)} = \frac{\pi}{4\omega_n^3 \cdot ab} \left[ \frac{e^G (\cos \bar{H} - j \sin \bar{H})}{a - jb} + \frac{e^{\bar{G}} (\cos \bar{H} + j \sin \bar{H})}{a + jb} \right]$$

In final

$$\sigma_y^2 = \frac{\sqrt{\pi} \cdot D_x}{8\alpha\omega_n^3 \cdot ab} \cdot \frac{e^G (a \cos \bar{H} + b \sin \bar{H}) + e^{\bar{G}} (a \cos \bar{H} + b \sin \bar{H})}{a^2 + b^2} \quad (2.130)$$

### 2.8. Observatii si concluzii

Rezultatele obținute în cadrul acestui capitol pleacă de la ideea de bază că orice oscilator mecanic poate fi privit ca un filtru de frecvență pentru procesul de excitație. În această accepțiune, dacă procesul stohastic de excitație satisface criteriile de staționaritate și ergodicitate, se pot obține forme analitice pentru caracterizarea răspunsului, în domeniul frecvenței, atîta

timp cât cercetarea se menține în cadrul teoriei corelaționale.

În contextul acestor ipoteze și delimitări, contribuțiile mai importante sînt :

1. Prezentarea unui program în limbaj FORTRAN pentru prelucrarea unei funcții opantion a procesului stohastic de excitație - respectiv a microprofilului unei cai de rulare - pentru obținerea valorilor numerice ale funcției de autocorelație a procesului, cu validarea statistică a metodologiei de lucru.

2. Demonstrarea posibilității (în mod practic) de a obține forme analitice pentru densitatea spectrală de putere, plecînd de la diverse expresii de aproximare ale funcției de autocorelație, proces care poate obține și soluții numerice, utilizînd programul amintit.

3. Calcularea dispersiei răspunsului unui oscilator liniar la o excitație aleatoare, prezentat în paragraful 2.7.4.4. care se consideră în întregime original, atît prin modul de tratare, în complex, al problemei cit și prin rezultatele finale obținute ; relațiile (2.9), (2.107), (2.115), (2.122), (2.124), (2.130) sînt noi, ele nu au mai fost întilnite de autor în literatura cercetată<sup>4)</sup>.

Înnoșterea acestor elemente acreditează ideea avansată în primul capitol ca, pentru studiile de dinamică este necesară și suficientă obținerea funcției de autocorelație a excitației, elementele logice de structură putînd fi antecalculato sau determinate pe model.

4) [506] IAN L. LOBE : Few elements concerning the response of oscillatory systems subjected to random excitations in the correlation theory. In curs de publicare la Buletinul I.P.T.

## CAPITOLUL 3

### CONTRIBUTII LA STUDIUL SI ANALIZA VIBRATIILOR CAROSERIILOR DE VEHICULE, EXCITATE DE PROCESE STOCHASTICE STATIONARE SI ERGODICE

#### 3.1. Modele mecanice pentru studiul vibrațiilor la vehicule

Prima problemă care trebuie rezolvată în studiul vibrațiilor vehiculelor de orice tip, este reprezentarea acestora printr-un model mecanic echivalent, alcătuit din mase rigide legate între ele prin arcuri și amortizoare fără masă. Stabilirea modelului mecanic, care poate fi făcută cu un grad de complexitate oricât de mare, depinde de precizia cerută rezultatelor și de volumul de muncă ce poate fi investit pentru analiză. Un număr mare de combinații de mase și arcuri, care poate intra în alcătuirea unui model, face dificilă deducerea unor concluzii generale privind comportarea vehiculului real, pe baza răspunsului modelului la o anumită excitație. Concluzii generale se pot obține numai pe baza unor modele ce cuprind un număr redus de mase, de obicei nu mai mult decât două [224, vol.III], [475], [476]. Aceasta simplificare conduce însă uneori la obținerea unor rezultate mai puțin complete și mai puțin exacte decât este de dorit, totuși utilizarea unor modele simplificate furnizează multe informații atât generale cât și cantitative.

În faza inițială de proiectare a unei structuri de vehicul, utilitatea modelului ales crește odată cu creșterea simplității sale. Aceasta afirmație este firească, deoarece un model care caută să simuleze în detaliu un vehicul nu poate fi conceput pînă ce nu s-a proiectat o primă variantă a acestuia. Iar, pe de altă parte, un model mai puțin complex, poate da o reprezentare a comportării părții importante a structurii, într-un sens mai general și poate servi la aprecierea acesteia deasemenea în termeni mai generali.

În literatura de specialitate, ca de exemplu în : HANSEN și CHALLI [13], [150], [164], [224, vol.II, p.305, fig.29.11; 29.13;

vol. III, p.192, fig.42.4; p.322, fig.45.1, 45.2, 45.3, 45.4; p.343, fig.45.25], P. LINCA [127], [128], A. ADACHI [2], ANDRONOV [7], AUB [21], CHANDALL [102], [289], DEBBARDICKER [124], HARRIS [147], MODAKI [239], LOM [312], PARSILOVSKI [362], RYVINA [368], ROSSON [400], SILBY [421] etc. se găsesc propuse foarte multe variante de modele mecanice pentru studiul oscilațiilor vehiculelor de orice tip. Astfel, în fig.3.1 am re-

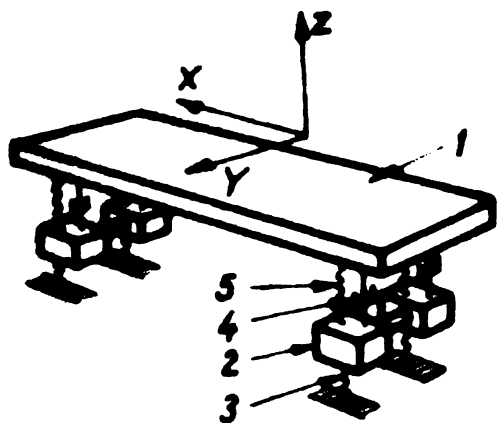


Fig. 3.1

Model dinamic idealizat al unui autovehicul (după HARRIS [224])

prezentat după HARRIS [224] un model dinamic idealizat al unui autovehicul care ia în considerare atât masele suspendate (1) reprezentate de cadru și caroserie considerate de obicei ca structuri rigide, cât și masele nesuspendate (2) reprezentate de roți, osii și mecanismele legate de acestea. Pneurile sînt reprezentate printr-o serie de arcuri (3) avînd o rigiditate echivalentă, amortizoarele prin schema obișnuită (4), suspensia (5) prin ar-

curi cu caracteristica liniară.

Atît masele suspendate cît și cele nesuspendate pot avea mișcări de translație în direcțiile axelor X, Y, Z precum și mișcări de rotație în jurul acestor axe. De aceea pentru a descrie complet mișcarea sistemului sînt necesare 18 coordonate, adică un asemenea model are 18 grade de libertate.

Dacă se neglijează însă oscilațiile paralele cu planul orizontal și se consideră ca atît corpul cît și punțile autovehiculului sînt rigide, se obține un sistem oscilant cu 7 grade de libertate ale mișcării corpului autovehiculului și 4 grade de libertate ale mișcării independente a punților (P. LINCA [127], pag.18).

Modelul poate fi simplificat în continuare, deoarece prin construcția lor, unele sisteme de suspensie utilizate curent la autovehicule, împiedică o parte din aceste mișcări, ca de exemplu:

- mișcarea relativă a maselor suspendate și a celor nesuspendate în direcția axelor X și Y ;
- mișcarea de rotație a masei suspendate în jurul axelor X și Y ;
- mișcările de rotație ale maselor nesuspendate în jurul axelor Y și Z.



Prin urmare, mișcările principale ale vehiculului datorate profilului neregulat al căilor de rulare, vor fi :

1. Mișcarea de translație a caroseriei în direcția axei Z, când mișcarea osiilor pe aceeași direcție este aproape nulă, denumită oscilație verticală;

2. Mișcarea de rotație a caroseriei în jurul axei Y, când mișcarea osiilor vehiculului pe direcția Z poate fi considerată nulă, denumită în mod curent tangaj, sau oscilație unghiulară longitudinală;

3. Mișcarea osiilor în direcția coordonatei Z, în timp ce caroseria rămâne aproximativ în poziție orizontală;

4. Mișcarea de rotație a osiilor în jurul axei X în timp ce caroseria rămâne aproximativ în poziție orizontală.

F.DINCA [127] reduce mai departe modelul analizat la acela al unui oscilator cu un grad de libertate, adoptând câteva ipoteze simplificatoare care sînt interesante și utile.

Mai amintim deasemenea modelul dinamic echivalent, cu două grade de libertate, pentru tancul mediu M-47 prezentat în vol. III din HARRIS și CREDE [224] pag.331, fig.45.10, care mi-a sugerat ideea necesității considerării șasiului cu 2n puncte de suspensie, adoptată în continuare.

Deoarece ne-am propus să studiem numai mișcările oscilațiilor ale structurii de rezistență a unui vehicul cu scopuri bine precizate în cap.1, fără să ne intereseze comportarea întregului

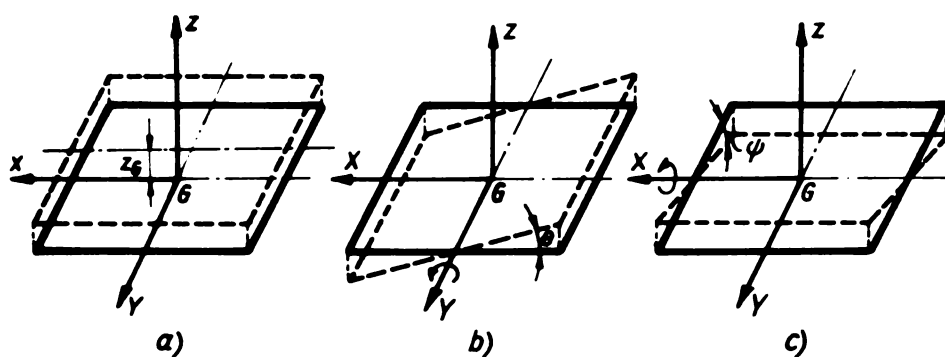


Fig.3.2

Model de calcul pentru șasiul structurilor de rezistență ale vehiculelor, cu indicarea mișcărilor principale

ansamblu investiga-  
ta de obicei pe mode-  
lele acestor de comple-  
xo, la modelul pe  
care-l adoptăm se  
consideră că masa ne-  
suspendată este mică  
în raport cu cea sus-  
pendată, astfel încît  
efectul acesteia poa-  
te fi neglijat fără  
a introduce prin a-

ceasta erori prea mari. De aceea, constanta elastică a arcului ce suportă caroseria este cea echivalentă legării în serie a arcului de suspensie și a pneului.

În aceste condiții care au un suport fizic real voi accepta, ca model de calcul dinamic pentru șasiul structurilor de rezistență ale vehiculelor, un sistem plan cu 3 grade de libertate, reprezentat schematic în figura 3.2.

Ișcarile pe care le poate executa sistemul, provocate de denivelările caili de rulare, vor fi :

- oscilații verticale (fig.3.2,a), parametrul mișcării fiind coordonata  $z_0 = z_0(t)$  ;

- oscilațiile unghiulare longitudinale (fig.3.2,b) parametrul mișcării fiind unghiul de rotație în jurul axei transversale Y, notat cu  $\theta = \theta(t)$  ;

- oscilații unghiulare transversale (fig.3.2,c), parametrul mișcării fiind unghiul de rotație în jurul axei longitudinale X, notat cu  $\psi = \psi(t)$ .

Pentru o prezentare generală a problemei, se consideră că șasiul este fixat pe 2n reazeme elastice simbolizate prin resorturi cu constantele elastice  $K_1$  (respectiv  $K_j$ ) și pistoane cu coeficienții de amortizare  $c_1$  (respectiv  $c_j$ ). Asemenea situații de fixare pe reazeme multiple se întâlnesc destul de frecvent în construcția cadrelor de boghiuri pentru vagoane pe mai multe osii, în construcția tancurilor, mașinilor mari de transport etc. La o asemenea situație se pot deasemenea reduce, pentru un calcul aproximativ, o serie de probleme de plăci, învelitori, membrane etc. cu sisteme de rigidizare. O schemă de ansamblu este prezentată în figura 3.3.

Pe baza construcțiilor reale de mașini se mai acceptă următoarele ipoteze :

- suspensia se consideră simetrică față de axa longitudinală X, pentru a evita o înclinare într-o parte a mașinii ;

- toate resorturile și amortizoarele au caracteristici liniare și sînt bilaterale ;

- roțile au legătură bilaterală cu drumul, adică nu se desprind de drum în timpul procesului de oscilație.

### 3.2. Ecuațiile diferențiale ale micilor oscilații, pentru modelul cu trei grade de libertate <sup>x)</sup>

Pentru modelul de cadru ales, cu trei grade de libertate,

<sup>x)</sup> [489] IONEL DOBRI : Asupra mișcărilor oscilatorii ale unui șasiu de vehicul rodus la un model cu trei grade de libertate, Lucrările conferinței "Vibrații în construcția de mașini" Timișoara, 31 X.- 1 XI.1975, vol.II, p.157...166

fixat pe arcuri și amortizoare în  $2n$  puncte simetrice față de axa longitudinală, în conformitate cu fig.3.3 se va nota :

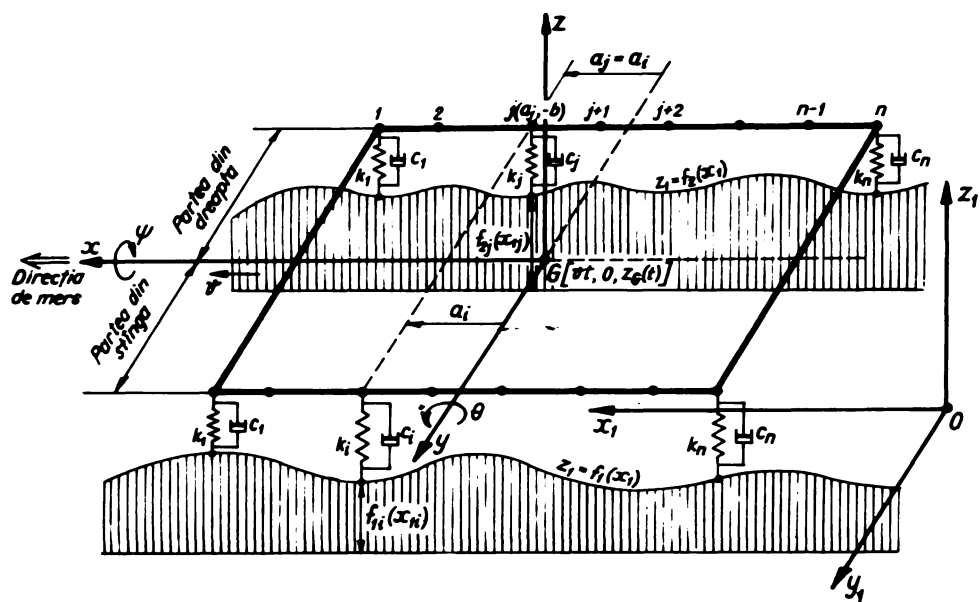


Fig.3.3

Reprezentarea schematică a cadrului de rezistență al unui vehicul, cu  $2n$  puncte de suspensie

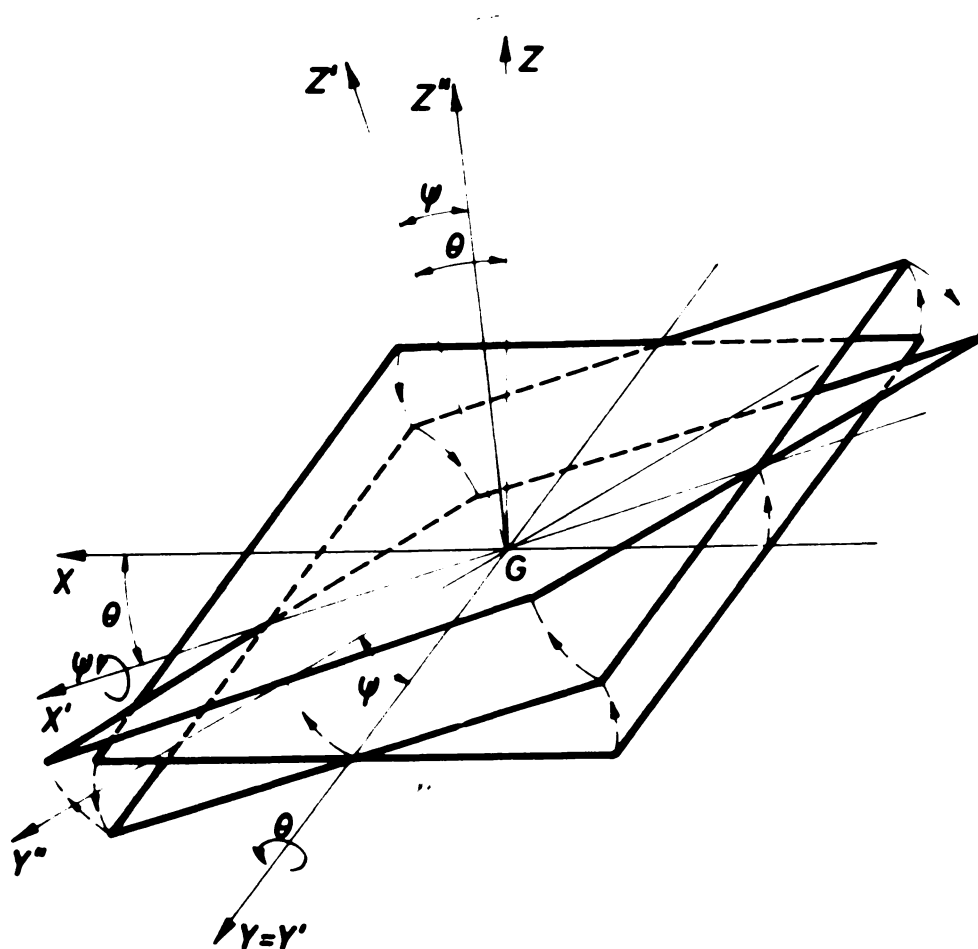


Fig.3.4

explicativa, pentru stabilirea ecuațiilor de mișcare ale modelului cu trei grade de libertate

$Ox_1y_1z_1$  - sistemul de axe fix, care are planul  $x_1Oy_1$  orizontal, astfel încât toate denivelările cii de rulare să fie pozitive ;

$Oxyz$  - sistemul de axe mobil, legat de corp, în raport cu care s-au cotoat punctele de fixare ale suspensiei.

În poziția de echilibru static, se consideră ca planul cadrului ( $z=0$ ) este paralel cu planul  $x_1Oy_1$ .

$z_1=f_1(x_1); z_2=f_2(x_2)$  - profilele drumurilor sub roțile din stânga și respectiv dreapta, raportate la sistemul fix de axe. Acestea sînt considerate drept funcții aleatoare, iar în fig.3.3 s-a reprezentat o realizare a acestor funcții.

Pe baza condițiilor de simetrie impuse, se poate scrie

$$K_i = K_j \quad ; \quad a_i = a_j \quad \text{pentru } i, j = 1, 2, \dots, n \quad (3.1)$$

$$o_i = o_j \quad ; \quad x_{ij} = x_{ji}$$

Se mai notează cu GXYZ un sistem de axe fixe (sau aflat în mișcare de translație uniformă cu viteza  $v = \text{const.}$ ), care corespunde poziției de echilibru static a structurii (fig. 3.4).

Se consideră ca planul cadrului suferă o rotație în jurul axei OY de unghi  $\theta$  pozitiv. Unghiul  $\theta$  se consideră pozitiv dacă vectorul momentului de rotație este orientat în sensul pozitiv al axei Y. În urma acestei rotații sistemul de axe va ocupa poziția G'Y'Z' (v. fig. 3.4) astfel încât între coordonatele unui punct din cele două sisteme de axe se poate scrie relația de transformare

$$\begin{vmatrix} X \\ Y \\ Z \end{vmatrix} = \begin{vmatrix} \cos \theta & 0 & \sin \theta \\ 0 & 1 & 0 \\ -\sin \theta & 0 & \cos \theta \end{vmatrix} \cdot \begin{vmatrix} X' \\ Y' \\ Z' \end{vmatrix} = \begin{vmatrix} X' \cos \theta + Z' \sin \theta \\ Y' \\ -X' \sin \theta + Z' \cos \theta \end{vmatrix} \quad (3.2)$$

În mod asemănător dacă sistemul primește o rotație pozitivă de unghi  $\psi$  în jurul axei GX', se obține poziția finală - din rotații - a sistemului de axe, respectiv a cadrului, legătura între coordonatele punctelor fiind evidentă

$$\begin{vmatrix} X' \\ Y' \\ Z' \end{vmatrix} = \begin{vmatrix} 1 & 0 & 0 \\ 0 & \cos \psi & -\sin \psi \\ 0 & \sin \psi & \cos \psi \end{vmatrix} \cdot \begin{vmatrix} x \\ y \\ z \end{vmatrix} = \begin{vmatrix} x \\ y \cos \psi - z \sin \psi \\ y \sin \psi + z \cos \psi \end{vmatrix} \quad (3.3)$$

Dacă acceptăm ipoteza micilor oscilații se poate înlocui

$$\begin{aligned} \cos \theta &\approx 1 \quad ; \quad \sin \theta \approx \theta \\ \cos \psi &\approx 1 \quad ; \quad \sin \psi \approx \psi \end{aligned} \quad (3.4)$$

obținându-se în final

$$\begin{aligned} \begin{vmatrix} X \\ Y \\ Z \end{vmatrix} &= \begin{vmatrix} 1 & 0 & \theta \\ 0 & 1 & 0 \\ -\theta & 0 & 1 \end{vmatrix} \cdot \begin{vmatrix} 1 & 0 & 0 \\ 0 & 1 & -\psi \\ 0 & \psi & 1 \end{vmatrix} \cdot \begin{vmatrix} x \\ y \\ z \end{vmatrix} = \begin{vmatrix} 1 & \theta & 0 \\ 0 & 1 & -\psi \\ -\theta & \psi & 1 \end{vmatrix} \cdot \begin{vmatrix} x \\ y \\ z \end{vmatrix} = \\ &= \begin{vmatrix} x + y\psi + z\theta \\ y - z\psi \\ -x\theta + y\psi + z \end{vmatrix} \quad (3.5) \end{aligned}$$

Articlarizând relația matricială (3.5) pentru două puncte arbitrare ce pe latura din stânga și din dreapta, simetrice în raport cu axa longitudinală Gx, se obține

$$\begin{vmatrix} X \\ Y \\ Z \end{vmatrix} \begin{vmatrix} i(a_1, b, 0) \end{vmatrix} = \begin{vmatrix} a_i + b\dot{\psi} \\ b \\ -a_i\dot{\theta} + b\dot{\psi} \end{vmatrix} \approx \begin{vmatrix} a_i \\ b \\ -a_i\dot{\theta} + b\dot{\psi} \end{vmatrix} \quad (3.6)$$

$$\begin{vmatrix} X \\ Y \\ Z \end{vmatrix} \begin{vmatrix} j(a_j, -b, 0) \end{vmatrix} = \begin{vmatrix} a_j - b\dot{\psi} \\ -b \\ -a_j\dot{\theta} - b\dot{\psi} \end{vmatrix} \approx \begin{vmatrix} a_j \\ -b \\ -a_j\dot{\theta} - b\dot{\psi} \end{vmatrix} \quad (3.7)$$

Pentru aplicarea ecuațiilor lui Lagrange interesează coordonatele punctelor  $i, j$  în sistemul fix  $Ox_1y_1z_1$ , care vor fi

$$\left. \begin{aligned} x_{1i} &= vt + a_i & x_{1j} &= vt + a_j \\ y_{1i} &= b & y_{1j} &= -b \\ z_{1i} &= z_G - a_i\dot{\theta} + b\dot{\psi} & z_{1j} &= z_G - a_j\dot{\theta} - b\dot{\psi} \end{aligned} \right\} \quad (3.8)$$

Acestea sînt de fapt coordonatele punctelor de legătură ale suspensiilor cu cadrul. Mai trebuie să calculăm deformațiile arcurilor, coordonatele punctelor inferioare, acelea care sînt în contact cu calea de rulare. Se vor nota cu o bară inferioară

$$\left. \begin{aligned} \underline{x}_{1i} &= vt + a_i & \underline{x}_{1j} &= vt + a_j \\ \underline{y}_{1i} &= b & \underline{y}_{1j} &= -b \\ \underline{z}_{1i} &= f_{1i}(vt + a_i) & \underline{z}_{1j} &= f_{2j}(vt + a_j) \end{aligned} \right\} \quad (3.9)$$

Energia potențială a sistemului va fi

$$E_p = \frac{1}{2} \sum_{i=1}^n K_i (z_{1i} - \underline{z}_{1i})^2 + \frac{1}{2} \sum_{j=1}^n K_j (z_{1j} - \underline{z}_{1j})^2 = \frac{1}{2} \sum_{i=1}^n K_i [z_G - a_i\dot{\theta} + b\dot{\psi} - f_{1i}(vt + a_i)]^2 + \frac{1}{2} \sum_{j=1}^n K_j [z_G - a_j\dot{\theta} - b\dot{\psi} - f_{2j}(vt + a_j)]^2$$

Energia cinetică

$$E_c = \frac{1}{2} m \dot{z}_G^2 + \frac{1}{2} J_y \dot{\theta}^2 + \frac{1}{2} J_x \dot{\psi}^2 + \frac{1}{2} n \cdot v^2$$

unde

$J_x, J_y$  - momentele de inerție (masice) ale sistemului în raport cu axele  $x$  și  $y$ .

Funcția de disipare a energiei (Rayleigh)

$$D = \frac{1}{2} \sum_{i=1}^n c_i (\dot{z}_G - a_i\dot{\theta} + b\dot{\psi} - \dot{f}_{1i})^2 + \frac{1}{2} \sum_{j=1}^n c_j (\dot{z}_G - a_j\dot{\theta} - b\dot{\psi} - \dot{f}_{2j})^2$$

aplicând ecuațiile lui Lagrange [494], [495]

$$\frac{d}{dt} \left( \frac{\partial \mathcal{L}}{\partial \dot{q}_k} \right) - \frac{\partial \mathcal{L}}{\partial q_k} + \frac{\partial D}{\partial q_k} = 0 \quad k=1,2,3 \quad (3.10)$$

unde  $\mathcal{L} = \mathcal{L}(q, \dot{q}, t)$ , se obține

$$\text{pentru } k = 1 \Rightarrow q_1 = z_G ; \dot{q}_1 = \dot{z}_G$$

$$\begin{aligned} m \cdot \dot{z}_G + \sum_{i=1}^n K_i z_G - \sum_{j=1}^n K_j z_G - \sum_{i=1}^n K_i a_i \dot{\theta} - \sum_{j=1}^n K_j a_j \dot{\theta} + \sum_{i=1}^n K_i b \dot{\psi} - \\ - \sum_{j=1}^n K_j b \dot{\psi} - \sum_{i=1}^n K_i f_{11} - \sum_{j=1}^n K_j f_{2j} + \sum_{i=1}^n c_i \dot{z}_G + \sum_{j=1}^n c_j \dot{z}_G - \\ - \sum_{i=1}^n c_i a_i \dot{\theta} - \sum_{j=1}^n c_j a_j \dot{\theta} + \sum_{i=1}^n c_i b \dot{\psi} - \sum_{j=1}^n c_j b \dot{\psi} - \sum_{i=1}^n c_i f_{11} - \\ - \sum_{j=1}^n c_j f_{2j} = 0 \end{aligned}$$

acum se înlocuiește

$$f_{2j} = f_{11} + \Delta f_1 \quad (3.11)$$

și se ține cont de (3.1), relația precedentă devine

$$\begin{aligned} m \cdot \dot{z}_G + (2 \sum_{i=1}^n c_i) \dot{z}_G + (2 \sum_{i=1}^n K_i) z_G - (2 \sum_{i=1}^n c_i a_i) \dot{\theta} - (2 \sum_{i=1}^n K_i a_i) \dot{\theta} = \\ = 2 \sum_{i=1}^n (K_i f_{11} + c_i f_{11}) + \sum_{i=1}^n (K_i \Delta f_1 + c_i \Delta f_1) \quad (3.12) \end{aligned}$$

în mod analog, pentru  $k = 2 \Rightarrow q_2 = \theta ; \dot{q}_2 = \dot{\theta}$  și pentru  $k = 3 \Rightarrow q_3 = \psi ; \dot{q}_3 = \dot{\psi}$  se obțin relațiile

$$\begin{aligned} J_y \ddot{\theta} + (2 \sum_{i=1}^n c_i a_i^2) \dot{\theta} + (2 \sum_{i=1}^n K_i a_i^2) \theta - (2 \sum_{i=1}^n c_i a_i) \dot{z}_G - \\ - (2 \sum_{i=1}^n c_i a_i) z_G = -2 \sum_{i=1}^n (K_i a_i f_{11} + c_i a_i f_{11}) - \sum_{i=1}^n (K_i a_i \Delta f_1 + \\ + c_i a_i \Delta f_1) \quad (3.13) \end{aligned}$$

$$J_x \ddot{\psi} + (2b^2 \sum_{i=1}^n c_i) \dot{\psi} + (2b^2 \sum_{i=1}^n K_i) \psi = -b \sum_{i=1}^n K_i \Delta f_1 - b \sum_{i=1}^n c_i \Delta f_1 \quad (3.14)$$

se notează

$$\left. \begin{aligned}
 a_{11} &= 1 & b_{11} &= \frac{2}{m} \sum_{i=1}^n c_i & c_{11} &= \frac{2}{m} \sum_{i=1}^n K_i & b_{12} &= -\frac{2}{m} \sum_{i=1}^n c_i a_i \\
 a_{22} &= 1 & b_{22} &= \frac{2}{J_y} \sum_{i=1}^n c_i a_i^2 & c_{22} &= \frac{2}{J_y} \sum_{i=1}^n K_i a_i^2 & b_{21} &= -\frac{2}{J_y} \sum_{i=1}^n c_i a_i \\
 a_{33} &= 1 & b_{33} &= \frac{2}{J_x} \cdot b^2 \sum_{i=1}^n c_i & c_{33} &= \frac{2 \cdot b^2}{J_x} \sum_{i=1}^n K_i & c_{12} &= -\frac{2}{m} \sum_{i=1}^n K_i a_i \\
 & & & & & & c_{21} &= -\frac{2}{J_y} \sum_{i=1}^n K_i a_i
 \end{aligned} \right\} (3.15)$$

Ecuațiile diferențiale ale oscilațiilor cadrului obțin forma definitivă

$$\left. \begin{aligned}
 a_{11} \ddot{z}_1 + b_{11} \dot{z}_1 + c_{11} z_1 + b_{12} \dot{z}_2 + c_{12} z_2 &= \\
 &= \frac{2}{m} \sum_{i=1}^n (K_i f_{1i} + c_i \dot{f}_{1i}) + \frac{1}{m} \sum_{i=1}^n (K_i \Delta f_i + c_i \Delta \dot{f}_i) \\
 a_{22} \ddot{\theta} + b_{22} \dot{\theta} + c_{22} \theta + b_{21} \dot{z}_1 + c_{21} z_1 &= \\
 &= -\frac{2}{J_y} \sum_{i=1}^n a_i (K_i f_{1i} + c_i \dot{f}_{1i}) - \frac{1}{J_y} \sum_{i=1}^n a_i (K_i \Delta f_i + c_i \Delta \dot{f}_i) \\
 a_{33} \ddot{\psi} + b_{33} \dot{\psi} + c_{33} \psi &= -\frac{b}{J_x} \sum_{i=1}^n (K_i \Delta f_i + c_i \Delta \dot{f}_i)
 \end{aligned} \right\} (3.16)$$

Observații :

1) În relațiile (3.16), funcția  $f_{1i}$  reprezintă profilul drumului sub roțile din stânga, iar  $\Delta f_i$  variația profilului drumului sub roțile din dreapta față de profilul de sub roțile din stânga (v. rel. 3.11). Deci, în partea dreaptă a celor trei ecuații diferențiale (3.16) apar două funcții perturbatoare de timp

$$f_{1i} = f_1(t - \tau_i) \quad \text{și} \quad \Delta f_i = f_2(t - \tau_i) \quad (3.17)$$

unde întârzierea  $\tau_i$  are una și aceeași valoare pentru ambele funcții

$$\tau_i = \frac{a_i - a_1}{v} \quad (3.18)$$

Deci

- $a_1$  - distanța de la centrul de greutate al mașinii pînă la axa primei roți [m]
- $a_i$  - distanța de la centrul de greutate al mașinii pînă la axa roții "i" [m]
- $v$  - viteza mașinii în [m/s]

II) Din analiza sistemului (3.16) se vede că oscilațiile verticale și unghiulare-longitudinale sînt cuplate și nu depind de oscilațiile unghiulare-transversale. Coeficienții de cuplaj  $b_{12}$  și  $c_{12}$  reprezintă legătura între viteze și legătura elastică sînt cu atît mai mari cu cît caroseria este mai nesimetrică și invers, la caroserii simetrice sînt egali cu zero. La majoritatea vehiculelor însă, caroseriile nu sînt simetrice deoarece în spate arcurile sînt mai rigide decît în față și distanțele de la centrul de greutate al mașinii pînă la axele roților nu sînt egale.

În cea de-a doua ecuație (3.16) coeficienții de cuplaj sînt  $b_{21}$  (cuplajul vitezelor) și  $c_{21}$  (cuplajul elastic). Se vede că între coeficienții de cuplaj există relațiile

$$m \cdot b_{12} = J_y \cdot b_{21} \quad ; \quad m \cdot c_{12} = J_y \cdot c_{21} \quad (3.19)$$

III) Din ultima ecuație (3.16) se vede că oscilațiile unghiulare transversale nu sînt cuplate nici cu cele verticale, nici cu cele unghiulare-longitudinale. În plus, dacă profilul drumului sub roțile din stînga și dreapta este același, aceste oscilații nu vor mai apărea, deoarece funcția perturbatoare este nulă  $\Delta F_1 = 0$ .

1.) Dacă suspensia este simetrică și față de axa transversală  $y$ , atunci coeficienții de cuplaj sînt nuli :  $b_{21} = b_{12} = c_{21} = c_{12} = 0$ , și toate cele trei tipuri de oscilații sînt independente.

2.) Din experiența existentă în construcția de vehicule, acestea efectuează, în general, oscilații verticale liniare și unghiulare-longitudinale, cuplate. Le apar și dispar concomitent cu toate că intensitatea lor nu este aceeași : la frecvențe mai joase au intensitate mai mare oscilațiile unghiulare longitudinale, iar la frecvențe mai mari cele verticale. În afară de acestea mai au loc și oscilații unghiulare-transversale care apar și se amortizează independent de existența celor două tipuri de oscilații.



### 3.3. Funcții de transfer

Deoarece ecuațiile diferențiale ale oscilațiilor verticale și unghiulare longitudinale nu sînt cuplate cu cele unghiulare transversale, funcțiile de transfer pentru cele două tipuri de mișcări se pot calcula separat.

**3.3.1. Funcțiile de transfer pentru oscilațiile verticale și unghiulare longitudinale.** Se pornește de la sistemul de ecuații diferențiale (3.16) și se trece în operațional folosind transformata Laplace, înlocuind variabila reală  $t$  cu variabila complexă  $s$ , considerînd condițiile inițiale nule.

Integralele care apar în membrul drept, se transformă astfel

$$\begin{aligned} \int_0^{\infty} (K_1 \dot{f}_{11} + c_1 \ddot{f}_{11}) e^{-st} dt &= K_1 \int_0^{\infty} \dot{f}_{11} e^{-st} dt + c_1 \int_0^{\infty} \ddot{f}_{11} e^{-st} dt = \\ &= K_1 \int_0^{\infty} F_1(t-\tau_1) e^{-st} dt + c_1 \int_0^{\infty} \dot{F}_1(t-\tau_1) e^{-st} dt \end{aligned}$$

Dacă se scrie :  $t-\tau_1 = u \Rightarrow t = u + \tau_1, dt = du$ , și deci

$$\left. \begin{aligned} \int_0^{\infty} F_1(t-\tau_1) e^{-st} dt &= \int_0^{\infty} F_1(u) e^{-su} \cdot e^{-s\tau_1} du = e^{-s\tau_1} \int_0^{\infty} F_1(u) e^{-su} du = \\ &= e^{-s\tau_1} \cdot F_1(s) \\ \int_0^{\infty} \dot{F}_1(t-\tau_1) e^{-st} dt &= \int_0^{\infty} \dot{F}_1(u) e^{-su} \cdot e^{-s\tau_1} du = e^{-s\tau_1} \int_0^{\infty} \dot{F}_1(u) e^{-su} du = \\ &= e^{-s\tau_1} \cdot s F_1(s) \end{aligned} \right\} (3.20)$$

unde cu  $s$ -a notat derivata în raport cu noua variabilă  $u$ .

Restul integralelor se calculează în mod asemănător, astfel încît sistemul (3.20) obține forma algebrică

$$\left. \begin{aligned} (a_{11}s^2 + b_{11}s + c_{11})z_G(s) + (b_{12}s + c_{12})\theta(s) &= \\ = \frac{2}{\pi} F_1(s) \sum_{i=1}^n (K_1 + s \cdot c_1) e^{-s\tau_i} + \frac{1}{\pi} F_2(s) \sum_{i=1}^n (K_1 + s \cdot c_1) e^{-s\tau_i} \\ (a_{22}s^2 + b_{22}s + c_{22})\theta(s) + (b_{21}s + c_{21})z_G(s) &= \\ = -\frac{2}{j_y} F_1(s) \sum_{i=1}^n a_1 (K_1 + s \cdot c_1) e^{-s\tau_i} - \frac{1}{j_y} F_2(s) \sum_{i=1}^n a_1 (K_1 + s \cdot c_1) e^{-s\tau_i} \end{aligned} \right\} (3.21)$$

Dacă se notează

$$\left. \begin{aligned}
 d_{11}(s) &= a_{11}s^2 + b_{11}s + c_{11}; & d_{21}(s) &= b_{21}s + c_{21} \\
 d_{12}(s) &= b_{12}s + c_{12} & ; & d_{22}(s) = a_{22}s^2 + b_{22}s + c_{22} \\
 g_{11}(s) &= 2 \sum_{i=1}^n (K_1 + s \cdot c_{1i}) e^{-s\tau_i} & ; & g_{21}(s) = -2 \sum_{i=1}^n a_{1i} (K_1 + s \cdot c_{1i}) e^{-s\tau_i} \\
 g_{12}(s) &= \sum_{i=1}^n (K_1 + s \cdot c_{1i}) e^{-s\tau_i} & ; & g_{22}(s) = - \sum_{i=1}^n a_{1i} (K_1 + s \cdot c_{1i}) e^{-s\tau_i}
 \end{aligned} \right\} (3.22)$$

atunci ecuațiile (3.21) obțin forma

$$\left. \begin{aligned}
 d_{11}(s) \cdot z_0(s) + d_{12}(s) \cdot \theta(s) &= \frac{1}{m} F_1(s) \cdot g_{11}(s) + \frac{1}{m} F_2(s) \cdot g_{12}(s) \\
 d_{21}(s) \cdot z_0(s) + d_{22}(s) \cdot \theta(s) &= \frac{1}{J_y} F_1(s) \cdot g_{21}(s) + \frac{1}{J_y} F_2(s) \cdot g_{22}(s)
 \end{aligned} \right\} (3.23)$$

Analiza sistemului (3.23) se face prin suprapunere de efecte aplicând pe rînd cele două funcții perturbatoare.

**5.3.1.1. Cazul  $F_2(s) = 0$ .** Aceasta presupune că profilele arcuata și stînga sînt identice. Sistemul devine

$$\left. \begin{aligned}
 d_{11}(s) \cdot z_0(s) + d_{12}(s) \cdot \theta(s) &= \frac{1}{m} F_1(s) \cdot g_{11}(s) \\
 d_{21}(s) \cdot z_0(s) + d_{22}(s) \cdot \theta(s) &= \frac{1}{J_y} F_1(s) \cdot g_{21}(s)
 \end{aligned} \right\} (3.24)$$

Pentru a aplica definiția dată funcției de transfer (2.5.3. rel.2.30) se împarte sistemul precedent cu transformata Laplace a excitației -  $F_1(s)$  - și se obține

$$\left. \begin{aligned}
 d_{11}(s) \cdot \frac{z_0(s)}{F_1(s)} + d_{12}(s) \cdot \frac{\theta(s)}{F_1(s)} &= \frac{1}{m} g_{11}(s) \\
 d_{21}(s) \cdot \frac{z_0(s)}{F_1(s)} + d_{22}(s) \cdot \frac{\theta(s)}{F_1(s)} &= \frac{1}{J_y} g_{21}(s)
 \end{aligned} \right\} (3.25)$$

dar prin definiție

$$\left. \begin{aligned}
 \frac{z_0(s)}{F_1(s)} &= \chi_z(s) \quad - \text{funcția de transfer pentru oscilațiile verticale} \\
 \frac{\theta(s)}{F_1(s)} &= \chi_\theta(s) \quad - \text{funcția de transfer pentru oscilațiile unghiulare longitudinale}
 \end{aligned} \right\} (3.26)$$

Deci

$$\left. \begin{aligned} d_{11}(s) \cdot \varphi_z(s) + d_{12}(s) \cdot \varphi_\theta(s) &= \frac{1}{m} \cdot Q_{11}(s) \\ d_{21}(s) \cdot \varphi_z(s) + d_{22}(s) \cdot \varphi_\theta(s) &= \frac{1}{J_y} \cdot Q_{21}(s) \end{aligned} \right\} \quad (3.27)$$

Rezultă

$$\begin{aligned} \varphi_z(s) &= \frac{\begin{vmatrix} \frac{1}{m} \cdot Q_{11}(s) & d_{12}(s) \\ \frac{1}{J_y} \cdot Q_{21}(s) & d_{22}(s) \end{vmatrix}}{\begin{vmatrix} d_{11}(s) & d_{12}(s) \\ d_{21}(s) & d_{22}(s) \end{vmatrix}} = \frac{J_y \cdot d_{22}(s) \cdot Q_{11}(s) - m \cdot d_{12}(s) \cdot Q_{21}(s)}{m \cdot J_y [d_{11}(s) d_{22}(s) - d_{12}(s) d_{21}(s)]} = \\ &= \frac{b_{12} \cdot d_{22}(s) \cdot Q_{11}(s) - b_{21} \cdot d_{12}(s) \cdot Q_{21}(s)}{b_{12} \cdot m [d_{11}(s) \cdot d_{22}(s) - d_{12}(s) \cdot d_{21}(s)]} \end{aligned} \quad (3.28)$$

unde

$$\frac{m}{J_y} = \frac{b_{12}}{b_{21}} \quad (3.29)$$

$$\begin{aligned} \varphi_\theta(s) &= \frac{\begin{vmatrix} d_{11}(s) & \frac{1}{m} \cdot Q_{11}(s) \\ d_{21}(s) & \frac{1}{J_y} \cdot Q_{21}(s) \end{vmatrix}}{\begin{vmatrix} d_{11}(s) & d_{12}(s) \\ d_{21}(s) & d_{22}(s) \end{vmatrix}} = \frac{m \cdot d_{11}(s) \cdot Q_{21}(s) - J_y \cdot d_{21}(s) \cdot Q_{11}(s)}{m \cdot J_y [d_{11}(s) d_{22}(s) - d_{12}(s) d_{21}(s)]} = \\ &= \frac{b_{21} d_{11}(s) \cdot Q_{21}(s) - b_{12} d_{21}(s) \cdot Q_{11}(s)}{b_{21} J_y [d_{11}(s) d_{22}(s) - d_{12}(s) d_{21}(s)]} \end{aligned} \quad (3.30)$$

Forma completă a celor două funcții de transfer, ținând cont de notațiile (3.22), va fi

$$\varphi_z(s) = \frac{2b_{12}(a_{22}s^2 + b_{22}s + c_{22}) \sum_{i=1}^n (K_i + sc_i) e^{-s\tau_i} + b_{21}(b_{12}s + c_{12}) \sum_{i=1}^n a_i (K_i + sc_i) e^{-s\tau_i}}{b_{12} \cdot m [(a_{11}s^2 + b_{11}s + c_{11})(a_{22}s^2 + b_{22}s + c_{22}) - (b_{12}s + c_{12})(b_{21}s + c_{21})]} \quad (3.31)$$

$$\varphi_\theta(s) = \frac{-2b_{21}(a_{11}s^2 + b_{11}s + c_{11}) \sum_{i=1}^n a_i (K_i + sc_i) e^{-s\tau_i} - 2b_{12}(b_{21}s + c_{21}) \sum_{i=1}^n (K_i + sc_i) e^{-s\tau_i}}{b_{21} J_y [(a_{11}s^2 + b_{11}s + c_{11})(a_{22}s^2 + b_{22}s + c_{22}) - (b_{12}s + c_{12})(b_{21}s + c_{21})]} \quad (3.32)$$

3.3.1.2. Cazul  $F_1(s) = 0$ . Sistemul (3.23) devine

$$\left. \begin{aligned} d_{11}(s) \cdot z_G(s) + d_{12}(s) \cdot \theta(s) &= \frac{1}{m} \cdot F_2(s) \cdot Q_{12}(s) \\ d_{21}(s) \cdot z_G(s) + d_{22}(s) \cdot \theta(s) &= \frac{1}{J_y} \cdot F_2(s) \cdot Q_{22}(s) \end{aligned} \right\} \quad (3.33)$$

Iar, în conformitate cu notațiile (3.22), pe baza site-

triei structurii, rezultă

$$\left. \begin{aligned} G_{11}(s) &= 2 \cdot G_{12}(s) \\ G_{21}(s) &= 2 \cdot G_{22}(s) \end{aligned} \right\} \quad (3.34)$$

și deci (3.33) devine

$$\left. \begin{aligned} a_{11}(s) \cdot z_3(s) + d_{12}(s) \cdot \theta(s) &= \frac{1}{2} \cdot \frac{1}{x} \cdot F_2(s) \cdot G_{11}(s) \\ d_{21}(s) \cdot z_6(s) + d_{22}(s) \cdot \theta(s) &= \frac{1}{2} \cdot \frac{1}{y} \cdot F_2(s) \cdot G_{21}(s) \end{aligned} \right\} \quad (3.35)$$

Analiza comparativă a sistemelor de ecuații (3.24) și (3.35) evidențiază un fapt deosebit de interesant. Cele două sisteme diferă formal numai prin factorul  $\frac{1}{2}$  care apare în membrul drept în cazul (3.35). Aceasta înseamnă că se poate considera că de fiecare parte a cadrului este aplicat un proces perturbator  $F_2(s)/2$ , ceea ce revine la a afirma că mișcările oscilatorii analizate sînt complet determinate de profilul mediu dintre calea de rulare din dreapta și stînga. Aceasta confirmă ipoteza că pentru sistemele dinamice staționare funcțiile de transfer relative la cele două perturbații, trebuie să fie aceleași. În aceste condiții se pot utiliza numai relațiile (3.31) și (3.32).

**3.3.2. Funcția de transfer pentru oscilațiile unghiulare transversale.** - procedeul este similar și se obține pornind de la (3.16)

$$\begin{aligned} a_{33}s^2\psi(s) + b_{33}s\psi(s) + c_{33}\psi(s) &= -\frac{b}{J_x} F_2(s) \sum_{i=1}^n (K_1 + c_1 s) e^{-s\tau_i} \\ K_\psi(s) = \frac{\psi(s)}{F_2(s)} &= -\frac{b \cdot G_{11}(s)}{2 \cdot J_x \cdot d_{33}(s)} = -\frac{b \cdot \sum_{i=1}^n (K_1 + s \cdot c_1) e^{-s\tau_i}}{J_x [a_{33}s^2 + b_{33}s + c_{33}]} \end{aligned} \quad (3.36)$$

Avînd funcțiile de transfer ale structurii se poate face un studiu în domeniul timpului, iar cu relațiile (2.82), folosind transformarea inversă Fourier, în domeniul frecvențelor. Este mai comodă și utilă determinarea și analiza caracteristicilor de frecvență, de aceea mă voi ocupa în continuare de această problemă.

### 3.4. Caracteristici de amplitudine și fază

Caracteristicile de frecvență ale sistemului sau coeficienții complecși de transfer, se obțin înlocuind în (3.31), (3.32), (3.36) pe  $s$  cu  $j\omega$  (v. 2.5.4, relațiile (2.32), (2.33)).

3.4.1. Cazul oscilațiilor verticale și unghiulare longitudinale.

$$F_2(j\omega) = \frac{2b_{12}(c_{22}-\omega^2+jb_{22}\omega) \sum_{i=1}^n (k_i+jc_i\omega)e^{-j\omega\tau_i} + b_{21}(c_{12}+jb_{12}\omega) \sum_{i=1}^n a_i(k_i+jc_i\omega)e^{-j\omega\tau_i}}{b_{12} \cdot m [(c_{11}-\omega^2+jb_{11}\omega)(c_{22}-\omega^2+jb_{22}\omega) - (c_{12}+jb_{12}\omega)(c_{21}+jb_{21}\omega)]} \quad (3.37)$$

Relația se transformă pentru a pune în evidență partea reală și imaginară, înlocuind  $e^{-j\omega\tau_i} = \cos\omega\tau_i - j \sin\omega\tau_i$ . Dacă se notează cu  $N_1$  numărătorul relației (3.37), acesta devine

$$\begin{aligned} N_1 &= (2b_{12}c_{22} - 2b_{12}\omega^2 + j2b_{12}b_{22}\omega) \sum_{i=1}^n (k_i + jc_i\omega)(\cos\omega\tau_i - j \sin\omega\tau_i) \\ &+ (b_{21}c_{12} + jb_{12}b_{21}\omega) \sum_{i=1}^n a_i(k_i - jc_i\omega)(\cos\omega\tau_i - j \sin\omega\tau_i) = \\ &= A_3\omega^3 + A_2\omega^2 + A_1\omega + A_0 + j(B_3\omega^3 + B_2\omega^2 + B_1\omega + B_0) \end{aligned} \quad (3.38)$$

unde s-au introdus notațiile

$$\left. \begin{aligned} A_3 &= -2b_{12} \cdot \sum_{i=1}^n c_i \sin\omega\tau_i \\ A_2 &= -2b_{12} \cdot \sum_{i=1}^n k_i \cos\omega\tau_i - 2b_{12}b_{22} \cdot \sum_{i=1}^n c_i \cos\omega\tau_i - \\ &\quad - b_{12}b_{21} \cdot \sum_{i=1}^n a_i c_i \cos\omega\tau_i \\ A_1 &= 2b_{12}c_{22} \cdot \sum_{i=1}^n c_i \sin\omega\tau_i + 2b_{12}b_{22} \cdot \sum_{i=1}^n k_i \sin\omega\tau_i + \\ &\quad + b_{21}c_{12} \cdot \sum_{i=1}^n a_i c_i \sin\omega\tau_i + b_{12}b_{21} \cdot \sum_{i=1}^n a_i k_i \sin\omega\tau_i \\ A_0 &= 2b_{12}c_{22} \cdot \sum_{i=1}^n k_i \cos\omega\tau_i + b_{21}c_{12} \cdot \sum_{i=1}^n a_i k_i \cos\omega\tau_i \\ B_3 &= -2b_{12} \cdot \sum_{i=1}^n c_i \cos\omega\tau_i \\ B_2 &= 2b_{12} \cdot \sum_{i=1}^n k_i \sin\omega\tau_i + 2b_{12}b_{22} \cdot \sum_{i=1}^n c_i \sin\omega\tau_i + \\ &\quad + b_{12}b_{21} \cdot \sum_{i=1}^n a_i c_i \sin\omega\tau_i \end{aligned} \right\} \quad (3.39)$$

$$\begin{aligned}
 B_1 &= 2b_{12}c_{22} \sum_{i=1}^n c_i \cos \omega \tau_i + 2b_{12}b_{22} \sum_{i=1}^n k_i \cos \omega \tau_i + \\
 &+ b_{21}c_{12} \sum_{i=1}^n a_i c_i \cos \omega \tau_i + b_{12}b_{21} \sum_{i=1}^n a_i k_i \cos \omega \tau_i \\
 B_0 &= -2b_{12}c_{22} \sum_{i=1}^n k_i \sin \omega \tau_i - b_{21}c_{12} \sum_{i=1}^n a_i k_i \sin \omega \tau_i
 \end{aligned}$$

Numitorul expresiei (3.37), pe care-l vom nota cu  $M_1$ , obține o formă similară

$$M_1 = m \cdot (C_4 \omega^4 + C_2 \omega^2 + C_0) + j(D_3 \omega^3 + D_1 \omega) \quad (3.40)$$

unde s-a notat

$$\left. \begin{aligned}
 C_4 &= b_{12} \\
 C_2 &= b_{12}(b_{12}b_{21} - b_{11}b_{22} - c_{11}c_{22}) \\
 C_0 &= b_{12}(c_{11}c_{22} - c_{12}c_{21}) \\
 D_3 &= -b_{12}(b_{11} + b_{22}) \\
 D_1 &= b_{12}(b_{11}c_{22} + b_{22}c_{11} - b_{12}c_{21} - b_{21}c_{12})
 \end{aligned} \right\} \quad (3.41)$$

Rezultă

$$F_2(j\omega) = \frac{N_1}{M_1} = \frac{(A_3 \omega^3 + A_2 \omega^2 + A_1 \omega + A_0) + j(B_3 \omega^3 + B_2 \omega^2 + B_1 \omega + B_0)}{m \cdot [(C_4 \omega^4 + C_2 \omega^2 + C_0) + j(D_3 \omega^3 + D_1 \omega)]} \quad (3.37)$$

Pentru obținerea unor forme mai simetrice se notează

$$\left. \begin{aligned}
 A(\omega) &= A_3 \omega^3 + A_2 \omega^2 + A_1 \omega + A_0 \\
 B(\omega) &= B_3 \omega^3 + B_2 \omega^2 + B_1 \omega + B_0 \\
 C(\omega) &= C_4 \omega^4 + C_2 \omega^2 + C_0 \\
 D(\omega) &= D_3 \omega^3 + D_1 \omega
 \end{aligned} \right\} \quad (3.42)$$

Rezultă

$$\begin{aligned}
 F_2(j\omega) &= \frac{A(\omega) + jB(\omega)}{m \cdot [C(\omega) + jD(\omega)]} = \frac{A(\omega)C(\omega) + B(\omega)D(\omega)}{m \cdot [C^2(\omega) + D^2(\omega)]} + \\
 &+ j \frac{B(\omega)C(\omega) - A(\omega)D(\omega)}{m \cdot [C^2(\omega) + D^2(\omega)]} \\
 &\quad \text{Re } F_2(j\omega) \qquad \text{Im } F_2(j\omega)
 \end{aligned} \quad (3.43)$$

Pentru cercetarea statistică a răspunsului structurii la perturbații aleatoare, interesează modulul coeficientului complex de transfer care se poate obține astfel

$$|\rho_z(j\omega)| = \sqrt{\rho_z(j\omega) \cdot \rho_z^*(j\omega)} =$$

$$= \sqrt{\left\{ \frac{A(\omega)C(\omega) + B(\omega)D(\omega)}{m \cdot [C^2(\omega) + D^2(\omega)]} + j \frac{B(\omega)C(\omega) - A(\omega)D(\omega)}{m \cdot [C^2(\omega) + D^2(\omega)]} \right\} \left\{ \frac{A(\omega)C(\omega) + B(\omega)D(\omega)}{m \cdot [C^2(\omega) + D^2(\omega)]} - j \frac{B(\omega)C(\omega) - A(\omega)D(\omega)}{m \cdot [C^2(\omega) + D^2(\omega)]} \right\}}$$

După transformări, se obține

$$|\rho_z(j\omega)| = \frac{1}{m} \sqrt{\frac{A^2(\omega) + B^2(\omega)}{C^2(\omega) + D^2(\omega)}} \quad (3.44)$$

Din forma complexă a caracteristicii de frecvență se poate determina și legea de variație a diferenței de fază dintre perturbație și mișcarea pe verticală a structurii

$$\varphi_z(\omega) = \arctg \frac{\text{Im} \rho_z(\omega)}{\text{Re} \rho_z(\omega)} = \arctg \frac{B(\omega)C(\omega) - A(\omega)D(\omega)}{A(\omega)C(\omega) + B(\omega)D(\omega)} \quad (3.45)$$

Un studiu complet analog se poate face pentru determinarea caracteristicii de frecvență a oscilațiilor unghiulare longitudinale.

$$\rho_\theta(j) = \frac{-2b_{21}[(c_{11}-\omega^2)+j\omega b_{11}] \sum_{i=1}^n a_i(k_i+j\omega c_i) e^{-j\omega\tau_i} - 2b_{12}(c_{21}+j\omega b_{21}) \sum_{i=1}^n (k_i+j\omega c_i) e^{-j\omega\tau_i}}{b_{21} J_y \{ [(c_{11}-\omega^2)+j\omega b_{11}][c_{22}-\omega^2+j\omega b_{22}] - (c_{12}+j\omega b_{12})(c_{21}+j\omega b_{21}) \}} =$$

$$= \frac{F_3\omega^3 + F_2\omega^2 + F_1\omega + F_0 + j \cdot (F_3\omega^3 + F_2\omega^2 + F_1\omega + F_0)}{J_y [(G_4\omega^4 + G_2\omega^2 + G_0) + j \cdot (H_3\omega^3 + H_1\omega)]} \quad (3.46)$$

unde

$$F_3 = 2b_{21} \cdot \sum_{i=1}^n a_1 c_1 \sin \omega \tau_1$$

$$F_2 = 2b_{21} \cdot \sum_{i=1}^n a_1 k_1 \cos \omega \tau_1 + 2b_{11} b_{21} \cdot \sum_{i=1}^n a_1 c_1 \cos \omega \tau_1 +$$

$$+ 2b_{12} b_{21} \cdot \sum_{i=1}^n c_1 \cos \omega \tau_1$$

$$F_1 = -2b_{21} c_{11} \cdot \sum_{i=1}^n a_1 c_1 \sin \omega \tau_1 - 2b_{11} b_{21} \cdot \sum_{i=1}^n a_1 k_1 \sin \omega \tau_1 -$$

$$- 2b_{12} c_{21} \cdot \sum_{i=1}^n c_1 \sin \omega \tau_1 - 2b_{12} b_{21} \cdot \sum_{i=1}^n k_1 \sin \omega \tau_1 \quad (3.47)$$

$$\begin{aligned}
 E_0 &= -2b_{21}c_{11} \cdot \sum_{k=1}^n a_1 k_1 \cos \omega \tau_1 - 2b_{12}c_{21} \cdot \sum_{k=1}^n k_1 \cos \omega \tau_1 \\
 E_3 &= 2b_{21} \cdot \sum_{k=1}^n a_1 c_1 \cos \omega \tau_1 \\
 E_2 &= -2b_{21} \cdot \sum_{k=1}^n a_1 k_1 \sin \omega \tau_1 - 2b_{11}b_{21} \cdot \sum_{k=1}^n a_1 c_1 \sin \omega \tau_1 - \\
 &\quad - 2b_{12}b_{21} \cdot \sum_{k=1}^n c_1 \sin \omega \tau_1 \\
 E_1 &= -2b_{21}c_{11} \cdot \sum_{k=1}^n a_1 c_1 \cos \omega \tau_1 - 2b_{11}b_{21} \cdot \sum_{k=1}^n a_1 k_1 \cos \omega \tau_1 - \\
 &\quad - 2b_{12}c_{21} \cdot \sum_{k=1}^n c_1 \cos \omega \tau_1 - 2b_{12}b_{21} \cdot \sum_{k=1}^n k_1 \cos \omega \tau_1 \\
 E_0 &= 2b_{21}c_{11} \cdot \sum_{k=1}^n a_1 k_1 \sin \omega \tau_1 + 2b_{12}c_{21} \cdot \sum_{k=1}^n k_1 \sin \omega \tau_1 \\
 G_4 &= b_{21} \\
 G_2 &= b_{21}(b_{12}b_{21} - b_{11}b_{22} - c_{11} - c_{22}) \\
 G_0 &= b_{21}(c_{11}c_{22} - c_{12}c_{21}) \\
 G_3 &= -b_{21}(b_{11} + b_{22}) \\
 H_1 &= b_{21}(b_{11}c_{22} + b_{22}c_{11} - b_{12}c_{21} - b_{21}c_{12})
 \end{aligned} \tag{3.47}$$

Cu notațiile evidente

$$\begin{aligned}
 L(\omega) &= L_3 \omega^3 + L_2 \omega^2 + L_1 \omega + L_0 \\
 F(\omega) &= F_3 \omega^3 + F_2 \omega^2 + F_1 \omega + F_0 \\
 G(\omega) &= G_4 \omega^4 + G_2 \omega^2 + G_0 \\
 H(\omega) &= H_3 \omega^3 + H_1 \omega
 \end{aligned} \tag{3.48}$$

se obține

$$\begin{aligned}
 |P_\Theta(j\omega)| &= \frac{1}{y} \sqrt{\frac{F^2(\omega) + r^2(\omega)}{G^2(\omega) + H^2(\omega)}} \\
 \varphi_\Theta(\omega) &= \arctg \frac{F(\omega)G(\omega) - L(\omega)H(\omega)}{L(\omega)G(\omega) + F(\omega)H(\omega)}
 \end{aligned} \tag{3.49}$$



**3.4.2. Cazul oscilațiilor unghiulare transversale.**

$$\varphi_{\psi}(j\omega) = - \frac{b \cdot \sum_{i=1}^n (k_i + j\omega c_i) e^{-j\omega\tau_i}}{J_x (c_{33} - \omega^2 + j b_{33} \omega)} = \frac{(L_1 \omega + L_0) + j(N_1 \omega + N_0)}{J_x [(M_2 \omega^2 + M_0) + j \cdot P_1 \omega]} \quad (3.50)$$

unde

$$\left. \begin{aligned} L_1 &= -b \cdot \sum_{i=1}^n c_i \sin \omega \tau_i & M_2 &= -1 \\ L_0 &= -b \cdot \sum_{i=1}^n k_i \cos \omega \tau_i & M_0 &= c_{33} \\ N_1 &= -b \cdot \sum_{i=1}^n c_i \cos \omega \tau_i & P_1 &= b_{33} \\ N_0 &= b \cdot \sum_{i=1}^n k_i \sin \omega \tau_i \end{aligned} \right\} \quad (3.51)$$

Notăm, similar ca în cazurile anterioare

$$\left. \begin{aligned} L(\omega) &= L_1 \omega + L_0 & M(\omega) &= M_2 \omega^2 + M_0 \\ N(\omega) &= N_1 \omega + N_0 & P(\omega) &= P_1 \omega \end{aligned} \right\} \quad (3.52)$$

Rezultă

$$\left. \begin{aligned} \varphi_{\psi}(j\omega) &= \frac{L(\omega) + j \cdot N(\omega)}{J_x [M(\omega) + j \cdot P(\omega)]} \Rightarrow |\varphi_{\psi}(j\omega)| = \frac{1}{J_x} \sqrt{\frac{L^2(\omega) + N^2(\omega)}{M^2(\omega) + P^2(\omega)}} \\ \varphi_{\psi}(\omega) &= \arctg \frac{N(\omega)M(\omega) - L(\omega)P(\omega)}{L(\omega)M(\omega) + N(\omega)P(\omega)} \end{aligned} \right\} \quad (3.53)$$

**3.5. Considerații privind viteza și accelerația sistemului**

Viteza și accelerația procesului oscilatoriu al mașinii - în general - și al cadrului de rezistență în particular, sînt elemente fundamentale în caracterizarea comportării dinamice a unui vehicul. Ele influențează direct asupra condițiilor de confort și sînt valori necesare în calculul de proiectare al amortizoarelor hidraulice sau la verificarea rezistenței la oboseală a structurii. De exemplu, la mișcarea pe drumuri de calitate inferioară, cu denivelări mari, din cauza accelerațiilor mari, conducătorul vehiculului trebuie să reducă viteza și prin aceasta micșorează posibilitățile dinamice ale mașinii. De aceea trebuie găsite corelații optime între parametrii suspensiei, viteza de mișcare și

marimea accelerației. Studiul acestor corelații se face deasemenea cu ajutorul caracteristicilor de frecvență pentru viteze și accelerații, a căror determinare constituie subiectul acestui paragraf.

### 3.5.1. Caracteristica de frecvență a vitezei proceselor de oscilație.

3.5.1.1. Oscilații verticale. La condiții inițiale nule, imaginea Laplace a vitezei oscilațiilor verticale este legată de amplitudinea acestor oscilații prin relația cunoscută din calculul operațional

$$\dot{z}_v(s) = s \cdot z_z(s) \quad \text{unde} \quad \dot{z}_G(s) = \frac{d}{dt} [z_G(s)] \quad (3.54)$$

Legătura între funcțiile de transfer se obține împărțind (3.54) cu transformata Laplace a funcției de perturbație. Deci

$$p_z(s) = s \cdot \tilde{z}_z(s) \quad (3.55)$$

ecuația (3.55) determină funcția de transfer a vitezei pornind de la funcția de transfer a amplitudinii oscilațiilor verticale (3.31).

Dacă se trece la caracteristica de frecvență se obține

$$p_z(j\omega) = j\omega \cdot \tilde{z}_z(j\omega) \quad (3.56)$$

dar

$$j = \cos \frac{\pi}{2} + j \sin \frac{\pi}{2} \quad ; \quad \tilde{z}_z(j\omega) = |\tilde{z}_z(j\omega)| (\cos \varphi_z + j \sin \varphi_z)$$

deci

$$p_z(j\omega) = \omega \cdot |\tilde{z}_z(j\omega)| e^{j(\varphi_z + \frac{\pi}{2})} \quad (3.57)$$

Se vede deci că modulul caracteristicii de frecvență a vitezei este egal cu produsul dintre frecvență (prin  $\omega$ ) și caracteristica de amplitudine-frecvență a deplasării, iar faza vitezei este decalată în avans cu  $\frac{\pi}{2}$ . Formulele de calcul se pot obține pornind de la (3.31); ele au însă o formă deosebit de complicată și deoarece nu ne servesc direct scopului propus, nu se vor mai prezenta în cadrul acestei lucrări.

3.5.1.2. Oscilații unghiulare longitudinale și transversale. În mod cu totul analog se obține

$$\left. \begin{aligned} \dot{\theta}(s) &= s \cdot \theta(s) & ; & \quad \dot{\psi}(s) = s \cdot \psi(s) \\ p_\theta(s) &= s \cdot \tilde{\theta}(s) & ; & \quad p_\psi(s) = s \cdot \tilde{\psi}(s) \end{aligned} \right\} \quad (3.58)$$

$$\rho_{\theta}(j\omega) = \omega \cdot |\rho_{\theta}(j\omega)| e^{j(\varphi_{\theta} + \frac{\pi}{2})}; \rho_{\psi}(j\omega) = \omega \cdot |\rho_{\psi}(j\omega)| e^{j(\varphi_{\psi} + \frac{\pi}{2})} \quad (3.58)$$

Concluziile sînt similare.

### 3.5.2. Caracteristica de frecvență a accelerației proceselor de oscilație.

3.5.2.1. Oscilații verticale. Calculul este asemănător cu cel din cazul vitezelor și se bazează pe proprietățile transformatorilor Laplace ale derivatelor, care pentru condiții inițiale nule conduc imediat la

$$\ddot{z}_G(s) = s^2 \cdot z_G(s) \quad (3.59)$$

Funcția de transfer a accelerațiilor, considerată ca raportul a două transformate Laplace este

$$\rho_z(s) = s^2 \cdot \rho_z(s) \quad (3.60)$$

Caracteristica de frecvență a accelerației mișcărilor verticale, se obține din (3.60) și (3.37) sub forma

$$\rho_z(j\omega) = \frac{-\omega^2 [(A_3 \omega^3 + A_2 \omega^2 + A_1 \omega + A_0) + j(B_3 \omega^3 + B_2 \omega^2 + B_1 \omega + B_0)]}{m \cdot [(C_4 \omega^4 + C_2 \omega^2 + C_0) + j(D_3 \omega^3 + D_1 \omega)]} \quad (3.61)$$

Cu notațiile (3.42) și (3.43) relația precedentă devine

$$\rho_z(j\omega) = \frac{-\omega^2 [A(\omega) + j \cdot B(\omega)]}{m \cdot [C(\omega) + j \cdot D(\omega)]} = (-\omega^2) [\text{Re} \cdot \rho_z(j\omega) + j \cdot \text{Im} \cdot \rho_z(j\omega)] \quad (3.62)$$

Deoarece pentru cercetările statistice privind accelerația structurii de rezistență, trebuie să fie determinat modulul caracteristicii de frecvență, acesta obține forma

$$\begin{aligned} |\rho_z(j\omega)| &= \sqrt{\rho_z(j\omega) \cdot \rho_z^*(j\omega)} = \omega^2 \sqrt{[\text{Re} \cdot \rho_z(j\omega)]^2 + [\text{Im} \cdot \rho_z(j\omega)]^2} \\ &= \frac{\omega^2}{m} \sqrt{\frac{A^2(\omega) + B^2(\omega)}{C^2(\omega) + D^2(\omega)}} \end{aligned} \quad (3.63)$$

Este deosebit de important să precizăm că deși în expresia (3.61) a caracteristicii de frecvență, care este o funcție rațională de  $\omega$ , gradul numărătorului este mai mare decât gradul numitorului, funcția este totuși convergentă. Acest lucru a fost confirmat de numeroasele rezultate experimentale prezentate în literatură [362], [421], [475], [476], [479], [500] și îl atribuim existenței exponențialei  $e^{-j\omega\tau_i}$  descrescătoare cu  $\omega$ .

**3.5.2.2. Oscilații unghiulare longitudinale și transversale.**

Se obțin expresii întru totul similare ca formă

$$|\beta_z(j\omega)| = \frac{\omega^2}{j_y} \sqrt{\frac{Z^2(\omega) + F^2(\omega)}{S^2(\omega) - H^2(\omega)}} ; \quad \beta_{\psi}(j\omega) = \frac{\omega^2}{j_x} \sqrt{\frac{L^2(\omega) + N^2(\omega)}{H^2(\omega) - P^2(\omega)}} \quad (3.64)$$

**3.5.3. Observații.** Ca și pentru viteze, caracteristica de frecvență a accelerațiilor este legată de modulul caracteristicii de frecvență a deplasărilor prin relații similare cu (3.57) și (3.58)

$$\left. \begin{aligned} \beta_z(j\omega) &= \omega^2 |\beta_z(j\omega)| e^{j(\varphi_z + \pi)} \\ \beta_{\psi}(j\omega) &= \omega^2 |\beta_{\psi}(j\omega)| e^{j(\varphi_{\psi} + \pi)} \\ \beta_{\psi}(j\omega) &= \omega^2 |\beta_{\psi}(j\omega)| e^{j(\varphi_{\psi} + \pi)} \end{aligned} \right\} \quad (3.65)$$

**3.6. Densități spectrale de putere și caracteristici statistice**

În accepțiunea formulată în cap.2, structura de rezistență a unui vehicul, suspendată pe sisteme elastice cu amortizare, poate fi privită ca un sistem liniar deschis de reglare automată, aflat sub acțiunea unei perturbații aleatoare staționare  $F_1(t)$ . Procesul stohastic de perturbație se poate reprezenta cu ajutorul integralei Fourier sub forma unui spectru cu un număr infinit de armonice cu frecvențe infinit de apropiate. Acest model operațional, ne-a permis să deducem spectrul energetic al amplitudinilor oscilațiilor forțate (2.7) cu ajutorul densității spectrale a perturbațiilor și caracteristicii de frecvență a sistemului (v.rel.2.82)

$$\left. \begin{aligned} S_z(\omega) &= |\beta_z(j\omega)|^2 \cdot S_x(\omega) \\ S_{\psi}(\omega) &= |\beta_{\psi}(j\omega)|^2 \cdot S_x(\omega) \\ S_{\psi}(\omega) &= |\beta_{\psi}(j\omega)|^2 \cdot S_x(\omega) \end{aligned} \right\} \quad (3.66)$$

Înlocuind în relațiile (3.66) expresiile (3.44), (3.49) și (3.53) ale caracteristicilor de frecvență și una din relațiile (2.40), (2.45), (2.59), (2.61), (2.63), (2.65) obținute în Cap.2 pentru densitatea spectrală de putere a excitației se pot face studii amănunțite privind spectrul energetic al răspunsului structurii în funcție de diverși parametri ai sistemului sau ai perturbației.

Pe lângă aceste caracteristici statistice de bază ale răspunsului aleator al structurii, reprezentat de procesele staționare  $z_G(t)$ ,  $\theta(t)$  și  $\psi(t)$ , în domeniul frecvenței, se poate face un studiu similar în domeniul timpului considerând transformatele inverse Fourier

$$\left. \begin{aligned} K_z(\omega) &= \frac{1}{\pi} \int_0^{\infty} S_z(\omega) \cdot \cos \omega \tau \cdot d\omega \\ K_{\theta}(\omega) &= \frac{1}{\pi} \int_0^{\infty} S_{\theta}(\omega) \cdot \cos \omega \tau \cdot d\omega \\ K_{\psi}(\omega) &= \frac{1}{\pi} \int_0^{\infty} S_{\psi}(\omega) \cdot \cos \omega \tau \cdot d\omega \end{aligned} \right\} \quad (3.67)$$

Formele analitice complicate ale acestor funcții nu permit o interpretare suficient de simplă pentru a se putea trage concluzii utile. Ele pot fi discutate numai pe cazuri concrete, când calculul numeric și reprezentarea grafică sugerează proprietățile specifice sistemului și comportarea acestuia în diferite condiții.

Dacă există reprezentări grafice ale relațiilor (3.66) se pot obține cu ușurință anumite caracteristici statistice ale răspunsului. De exemplu dispersiile răspunsului

$$\left. \begin{aligned} D[z(t)] &= K_z(0) = \frac{1}{\pi} \int_0^{\infty} S_z(\omega) d\omega \\ D[\theta(t)] &= K_{\theta}(0) = \frac{1}{\pi} \int_0^{\infty} S_{\theta}(\omega) d\omega \\ D[\psi(t)] &= K_{\psi}(0) = \frac{1}{\pi} \int_0^{\infty} S_{\psi}(\omega) d\omega \end{aligned} \right\} \quad (3.68)$$

și respectiv abaterile medii pătratice :  $\sigma = \sqrt{D}$ . Deoarece integralele din (3.68) reprezintă suprafețele cuprinse între axa absciselor și curbele corespunzătoare ale densităților spectrale, rezultatele se obțin imediat.

Rezultate și mai complete se pot obține folosind proprietatea sistemelor dinamice liniare de a păstra legea de repartiție a excitației. Cercetări statistice anunțate [127], [362], [368], [421] au arătat că neuniformitățile căilor de rulare se distribuie după o lege normală, deci aceeași lege o regăsim și în răspunsul sistemului. Deoarece s-a lucrat cu procese stohastice contracte, funcția diferențială de distribuție a amplitudinilor mișcărilor oscilatorii ale structurii se obține sub forma

$$\left. \begin{aligned} f(z) &= \frac{1}{\sqrt{2\pi} \cdot \sigma_z} \exp(-z^2/2\sigma_z^2) \\ f(\theta) &= \frac{1}{\sqrt{2\pi} \cdot \sigma_\theta} \exp(-\theta^2/2\sigma_\theta^2) \\ f(\psi) &= \frac{1}{\sqrt{2\pi} \cdot \sigma_\psi} \exp(-\psi^2/2\sigma_\psi^2) \end{aligned} \right\} (3.69)$$

Este evident ca toate aceste analize trebuiesc făcute la viteze constante (de obicei egală cu unitatea) sau pentru diverse viteze, în mod comparativ.

Cercetari întru totul similare se pot face în legătură cu spectrul energetic și caracteristicile stohastice ale accelerațiilor diverselor mișcări oscilatorii ale structurii pornind de la caracteristicile de frecvență (3.63) și (3.64)

$$\left. \begin{aligned} \dot{x}(\omega) &= |h_x(j\omega)|^2 \cdot S_x(\omega) ; \sigma_{\dot{x}}^2 = \frac{1}{\pi} \int_0^\infty S_{\dot{x}}(\omega) d\omega \\ \ddot{\theta}(\omega) &= |h_\theta(j\omega)|^2 \cdot S_x(\omega) ; \sigma_{\ddot{\theta}}^2 = \frac{1}{\pi} \int_0^\infty S_{\ddot{\theta}}(\omega) d\omega \\ \ddot{\psi}(\omega) &= |h_\psi(j\omega)|^2 \cdot S_x(\omega) ; \sigma_{\ddot{\psi}}^2 = \frac{1}{\pi} \int_0^\infty S_{\ddot{\psi}}(\omega) d\omega \end{aligned} \right\} (3.70)$$

În studiul accelerațiilor structurii de rezistență, nu este suficientă numai cunoașterea abaterilor medii pătratice, ci trebuie să determinăm și probabilitatea apariției accelerațiilor mari care depășesc anumite valori limită impuse de condițiile tehnice de bună funcționare. Necesitatea introducerii unui asemenea parametru pentru o caracterizare statistică mai completă a marilor studiate, a fost demonstrată și exemplificată în lucrările [135], [506]<sup>4)</sup> în care am arătat că abaterea medie pătratică și coeficientul de variație sînt insuficiente pentru analiza unei variabile aleatoare, atunci cînd sînt impuse anumite valori limită. În aceste condiții, folosind inegalitatea lui Gauss, pe baza distribuțiilor normale ale accelerațiilor, determinarea probabi-

<sup>4)</sup> [135] I. DOBRIE ; I. SABIN ; I. BOSDANILSCU : Analiza statistică a marilor surtorilor de rugozitate. Revista transporturilor Nr.7, Iulie 1969, p.275...277

[506] L. COLANTU ; I. DOBRIE ; AL. DELIBANU : Etude des paramètres statistiques des caractéristiques mécaniques aux charges d'acier pour béton au profile variable. Studii și cercetări de metalurgie, Id.Acad., 1969

lității ca funcțiile  $\bar{z}_G(t)$ ,  $\bar{\theta}(t)$ ,  $\bar{\psi}(t)$  să depășească o anumită valoare limită se poate scrie sub forma

$$P[\bar{z}_G(t) \geq K\sigma_z] = \frac{1}{K\sqrt{2\pi}} \exp(-K^2/2) \text{ etc.} \quad (3.71)$$

### 3.7. Observații și concluzii

Obiectul capitolului 1-a constituit dezvoltarea, generalizarea și aplicarea metodei de investigație și concluziilor din Cap.2 la sisteme mai complexe, care să modeleze mișcările structurilor de rezistență de la vehicule. În acest sens se consideră că s-au sugerat noi idei de dezvoltare și s-au obținut câteva rezultate originale, care se pot rezuma astfel :

1. Prin adoptarea unui model cu trei grade de libertate, s-au studiat într-un context destul de general, principalele mișcări oscilatorii ale structurii de rezistență a unui vehicul. Mai mult, generalizarea acestui model, prin considerarea a "2n" puncte de suspensie, permite aplicarea rezultatelor la o clasă mai largă de structuri de vehicule rutiere și feroviare. Modelul este suficient de acoperitor pentru necesitățile de proiectare, putând fi completat atunci când se dispune de rezultate numerice obținute la încercarea unui model și/sau prototip.

2. Deoarece funcția perturbatoare este o funcție aleatoare, nu se pot formula probleme de analiză a mișcărilor în sine, ci numai de determinare a caracteristicilor statistice ale răspunsului structurii la aceste perturbații. Considerând procesul de excitație staționar și ergodic, dat prin funcția sa de autocorelație, respectiv prin densitatea sa spectrală, s-a arătat cum se poate face un studiu al mișcărilor structurii, în domeniul timpului sau al frecvenței, dacă se cunoaște caracteristica de frecvență a sistemului. Această problemă a fost analizată atât pentru deplasările generalizate ale structurii, cât și pentru viteze și accelerații.

3. În contextul rezolvării acestor probleme, s-au obținut forme analitice complete pentru funcțiile de transfer ale structurii (3.31), (3.32), (3.36) și pentru caracteristicile de amplitudine și fază ale celor trei tipuri de mișcări fundamentale (3.44), (3.45), (3.49), (3.53), pentru viteze (3.57), (3.58) și pentru accelerații (3.63), (3.64). Acestea răspund la toate necesitățile de calcul privind aprecierea statistică a răspunsului

structurii, pentru care se pot determina densitățile spectrale de putere, funcțiile de autocorelație, dispersiile, abaterile medii pătratice, atât pentru amplitudini cât și pentru viteze și accelerații.

4. Este notabil faptul că relațiile obținute - sub forma generală - deschid un câmp larg de cercetare în acest domeniu, prin utilizarea formelor aproximative redată în Cap.2, așa cum s-a sugerat în text. Un aspect analitic se obține relații destul de complicate, care nu au fost redată (dar se pot întui) deoarece nu intrau în preocupările directe ale tezei, dar calculul numeric concret poate evidenția aspecte interesante.

5. Se arată deasemenea că, în cazul particular în care caracteristicile proceselor de excitație asculta de o distribuție normală, se pot determina legile diferențiale de repartizare ale marginilor cercetate : deplasări, viteze și accelerații, precum și probabilitatea ca aceste mărimi să nu depășească anumite valori limită.



## CAPITOLUL 4

### CONTRIBUTII PRIVIND CALCULUL DE DURABILITATE SI FENOMENUL DE CUMULARE A DEGRADARILOR LA SOLICITARI ALEATOARE

#### 4.1. Stadiul actual al problemei

Analiza prezentată în capitolele precedente, privind dinamica structurilor de rezistență în condiții de excitație aleatorie, se continuă în mod firesc cu cercetarea fenomenului de distrugere prin oboseală, acesta fiind de fapt efectul dominant în procesul de durabilitate al construcțiilor supuse vibrațiilor de orice tip.

Problema oboselei metalelor a devenit stringentă pentru practica inginerescă, aproximativ la mijlocul secolului trecut, datorită ruperilor constatate la vehiculele de cale ferată, iar depășirea dificultăților s-a făcut prin redimensionarea în raport cu rezistența la oboseală (WÖHLER) practic pentru o durabilitate nelimitată [31], [68], [69], [72], [75], [91], [159], [206], [218].

Predicția durabilității prin calcul, a devenit o problemă de importanță majoră, în jurul anului 1920 (PALMGREN) odată cu dezvoltarea producției de rulmenți, deși prima teorie cuprinzătoare a cumularii degradărilor a fost dată de M. MINER în 1945 [75], [88], [89], [160], [339], [340], [347], [376], [377] [417], [420], [462]. Au trecut numai 31 de ani și explozia informațională de date experimentale și teorii științifice, mai mult sau mai puțin corecte și viabile, au creat un vast tablou al fenomenului cuprinzând o multitudine de aspecte cu implicații teoretice și practice, acesta fiind răspunsul la impetuoasa dezvoltare tehnică din construcția de mașini, metalurgie, transporturi, aviație, construcții navale și aerospațiale etc.

Problema fundamentală care se formulează în acest domeniu, în stadiul actual de dezvoltare a cercetărilor, este predicția durabilității unui ansamblu funcțional, aflat într-o anumită stare de solicitare și condiții de mediu date, confecționat din materiale la care se cunosc anumite caracteristici mecanice, și-

nind cont sau nu de istoria evoluției sale. Această problemă foarte generală, este mult prea cuprinsătoare pentru a putea fi soluționată cu ușurință. De aceea sfera de investigație a fost redusă la caracterizarea comportării în timp numai a unei componente mecanice a ansamblului pentru care să poată fi folosite caracteristicile de material clasice a căror determinare convențională este simplă și uzuală (implicit rezistența la oboseală  $\sigma_{-1}$ ). Chiar redusă la acest nivel, problema nu a obținut o soluționare completă și univocă, nu numai datorită complexității intime a fenomenului și variabilității mari a factorilor de influență [4],[5],[15],[19],[22],[27],[28],[32],[34],[56],[60],[66],[68],[88],[91],[95],[148],[161],[162],[168],[196],[206],[249],[272],[280],[292],[309],[322],[348],[376],[379],[412],[441],[456],[469].

În orice caz efortul de cercetare a lămurit câteva aspecte de fond, care se constituie puncte de plecare în studierea fenomenului considerat.

1. În primul rând s-a postulat faptul că sub acțiunea unor sarcini variabile în timp sau cu acțiune prelungită, materialele suferă o degradare care se produce continuu până la rupere, vorbind în acest sens despre o **d e g r a d a r e c u m u l a t i v**; degradarea astfel descrisă variază de la 0 la începutul solicitării până la o valoare limită egală cu unitatea sau cu  $100\%$ , în momentul ruperii

$$0 \leq D \leq 1 \quad (4.1)$$

2. Problema imediată a fost aceea de a introduce o **măsură a de gradării** care să caracterizeze în mod univoc fenomenul de evoluție în timp a stării de degradare și să-l coreleze cu parametrii stării de solicitare, condițiile ambiante și caracteristicile de material. Imposibilitatea obținerii unei concluziuni practice cuprinsătoare a condus la apariția unui număr mare de parametri care să caracterizeze degradarea. Marea majoritate a cercetătorilor acceptă că degradarea unui material supus unor solicitări repetate este dată de **r a p o r t u l c i e l u r i l o r**  $n/N$  ( $n$  = numărul ciclurilor de solicitare efectivă la un anumit nivel de tensiune;  $N$  = numărul ciclurilor limită reprezentând durabilitatea la nivelul respectiv de tensiune): MINER [339],[340], PALLIGREN [359], POPL [376],[380], SORENSEN [426], SORENSEN [416],[417],[418],[420], UJIK [445], YOUNG [469]; se mai

acceptă ca măsură a degradării energia de histeresis plastic: BUCH [58],[59], FREUDENTHAL [159],[160], GOUGH [200],[201], IVANOVA [249],[251], KOÇANDA [281], MATOLCSY [322], YOKOBORI [465],[466], variația limitei de rezistență la oboseală: CIOCLOV [87],[91], CORTEN și DOLAN [95], GROVER [208], KOGAIN [272],[273], ODING și IVANOVA [355],[356], SERRESEN [420] etc., variația lunginii fisurii în raport cu numărul de cicluri de solicitare: SHANLEY (v.[498]), FORST [160], IVANOVA [250], PETERSON [367], PISARENKO [370],[371], YOKOBORI [467],[468], variația rezistenței la rupere a materialului în funcție de numărul de cicluri și de amplitudinea solicitării: GATTS (v.[498]), CRISTENSEN [85], DOLAN [138],[139], GASSNER [183],[184],[185],[187], HAZANOV [230], LEVE [300], SCHUETTE [412].

3. A fost necesară stabilirea unei legi de însumare a degradărilor pe baza căreia să se poată face predicția de durabilitate, folosind evident o anumită măsură a degradării. După un prim criteriu de cumulare liniară formulat în diverse etape de PALMGREN [359], MENLER [339],[340], LANGER, SMITH, MOORE și KORNERS (v.[498]), care conduce în general la o supraevaluare a durabilităților, s-au formulat foarte multe alte legi de cumulare neliniare (exponențiale, pătratice etc.) ca de exemplu cele prezentate în MADAYAG [314], SINIS [422] în [470], CIOCLOV [498] etc. fără ca să se ajungă la o dezvoltare teoretică completă și o concludență experimentală satisfăcătoare pentru a oferi avantaje certe față de criteriul liniar. Dificultățile au pornit încă de la cele mai simple experimentări când s-a observat că ordinea de aplicare, chiar în cazul a două blocuri de solicitare, ca și raportul de cicluri între blocuri, face să se schimbe legea de cumulare.

4. A fost unanim acceptată ideea că procesul de degradare prin solicitări repetate are un pronunțat caracter aleator, atât la nivel structural unde defectele sînt distribuite probabilistic cît și la scară macroscopică unde se observă o dispersie pronunțată care nu poate fi atribuită numai variabilității introduse de tehnica experimentală. În acest context s-au creiat o serie de criterii probabiliste, care pun în corespondență degradarea pro-

dusa pe fiecare ciclu cu o anumită probabilitate de rupere :  
FRUENDENTHAL [159],[160],[161], sau asociază procesului de degradare  
cumulativă un anumit model probabilist : procese Markov cu un  
număr finit de stări KOGALV [273],[274], NEIBULL [471], SERENSEN  
și ROMAN [419],[420], funcții aleatoare continue de tip Markov:  
YOKOBORI [463],[464], sau mersul la întâmplare pe o axă: RASCON  
(v.[470]), FRUENDENTHAL și MIHOZUKA (v.[498]) și [237].

5. Este de asemenea unanim acceptat faptul că procesul de  
oboseală este caracterizat de mecanisme diferite la nivele de în-  
cercare diferite YOKOBORI [463],[465], FRUENDENTHAL [160], FORREST  
[166], KOGALV [347],[349], CIOCILOV [88],[91], BUZDUGAN [75],  
IVANOV [249], ODING [356] etc. Astfel, procesul de degradare  
prin solicitări repetate se produce în trei etape: ecruisarea  
prin deformări plastice repetate, pornita la nivel macroscopic,  
o nucleație a fisurilor și o propagare a fisurilor până în sta-  
diul de rupere. Pornind de la analize structurale, folosind resul-  
tatele microscopiei electronice și elementele teoriei dislocațiilor,  
s-au creat deasemenea o serie de criterii fizice de degrada-  
re cumulativă : BROOKMAN UTZ, MANNING, VALLURI, LIU și COFFIN  
(v.lucrările [75],[89],[498],[206],[249],[314],[326],[380],[422],  
[470]). Aceste criterii, ca și cele formale, au un grad restrâns  
de generalitate și o slabă concordanță cu experiența deși aduc e-  
lemente noi și interesante și s-ar putea să constituie cel mai  
complet model de abordare a problemei.

6. Este însă demn de subliniat, că degradarea produsă de  
oboseală se găsește într-un anumit tip de corelație cu procesul  
probabilistic de formare a fisurilor de oboseală. Studiul propa-  
gării fisurii și predicția ruperii prin oboseală se poate face la  
diferite nivele și din diferite puncte de vedere în funcție de  
dimensiunile caracteristice ca și de ramura de știință care stă-  
diază problema. Diferitele domenii sînt despărțite între ele prin  
diferite ordine de mărime. De aceea este firesc ca în stadiul ac-  
tual să nu existe nici cel puțin o definiție comună a degradării,  
care să satisfacă atât pe cei care lucrează în domeniul fizicii  
metalelor cât și pe inginerul mecanic sau constructor. Deci și  
din acest punct de vedere se impune ca definirea degradării să  
fie făcută funcție de nivelul de profunzimea analizei și să fie  
legată de anumite etape sau stadii caracteristice ale procesului  
de propagare a fisurii. În această ordine de idei MATOLCSY [323]

vorbește despre o degradare internă sau fizică dacă lungimea fisurii este mai mică decât dimensiunea critică și despre o degradare externă sau tehnică când fisura de oboseală se produce în structura de rezistență, ceea ce reduce secțiunea portantă inițială. Despartirea strictă a acestor domenii cu ordine de mărime diferite, este justificată de faptul că inginerul mecanic este interesat în general de rezistența și capacitatea portantă a unei construcții și nu poate utiliza o măsură a degradării bazată pe o anumită stare de dislocație, în special dacă nu există posibilitatea definirii unei stări în care degradarea poate fi considerată zero. De altfel diferitele tratamente tehnologice la care este supus un material (tăiere, tratamente termice, sudură, formare la rece etc.) produc modificări ale densității dislocațiilor global sau în anumite părți ale materialului, ceea ce se manifestă și prin variația durabilității, fără ca din punct de vedere ingineresc aceste stări să poată fi considerate degradate.

În această accepțiune se vor trata în continuare problemele cuprinse în acest capitol.

#### 4.2. Principalele teorii de degradare a metalelor în procesul de solicitare variabilă

În scopul stabilirii condițiilor de abordare a problematicei formulate în acest capitol, se prezintă o sumară a n a l i z ă c r i t i c ă a principalelor teorii de cumulare a degradărilor, fără a se insista asupra detaliilor care se găsesc amplu prezentate în lucrările lui D.CIOCLOV [89],[91],[498], M.MATOLCSY [322],[326], GH.BUZDUGAN [72],[75], A.F.MADAYAG [314],[315], S.V.SERINSEW [418],[419],[420], V.KOGAEV [272],[273],[274] J.GROVER [206],[208], S.IVANOV [249], J.POP [376],[377],[380], G.SINIS [422],[423] ș.a.

4.2.1. Teorii formale. Majoritatea teoriilor pornesc de la alegerea, mai mult sau mai puțin justificată, a unei anumite măsuri a degradării și a unei legi de însumare liniară sau nu, fără să existe un suport fizic care să motiveze alegerea făcută. De exemplu, nu se poate dovedi că variația limitei de rezistență la oboseală este o măsură corectă a stadiului de degradare a unui metal (pus sau nu în operă), din care să se poată deduce durabilitatea remanentă, deși în anumite condiții există o corespondență cu unele date experimentale, care în general este rezultatul adap-

tarii teoriei la experiență și nu a unei verificări experimentale a teoriei. Din acest motiv autorul consideră aceste teorii, ca niște teorii formale, nu lipsite bineînțeles de aplicabilitate.

Pentru studii teoretice și experimentale, aceste teorii folosesc procese sinusoidale cu mai multe nivele compuse din secvențe de sinusoidale în aranjamente grupate, ca o reprezentare echivalentă pentru diferite tipuri de configurații complexe chiar dacă corespondența este destul de vagă : GARDNER [183], [185], [189], [190]<sup>x)</sup>.

În acest context, teoria cu cea mai largă răspândire, MINER [339], [340], folosește ca un criteriu fundamental de degradare, raportul ciclurilor, postulând faptul că fiecare grupă de sinusoidale dintr-o secvență, contribuie cu o anumită cantitate la procesul de degradare, dată de :

$$D_{ij} = \frac{n_{ij}}{N_i} \quad \begin{matrix} (i = 1, 2, \dots, s) \\ (j = 1, 2, \dots, g) \end{matrix} \quad (4.2)$$

Pentru a pătrunde structura teoriei lui Miner, necesară înțelegerii tuturor teoriilor formale, se va considera un proces sinusoidal cu două nivele  $(\sigma_1, n_1, N_1)$ ;  $(\sigma_2, n_2, N_2)$  cu  $\sigma_1 > \sigma_2$  care într-o reprezentare  $D = f(n)$  conduce la dreptele de degradare din fig.4.1.

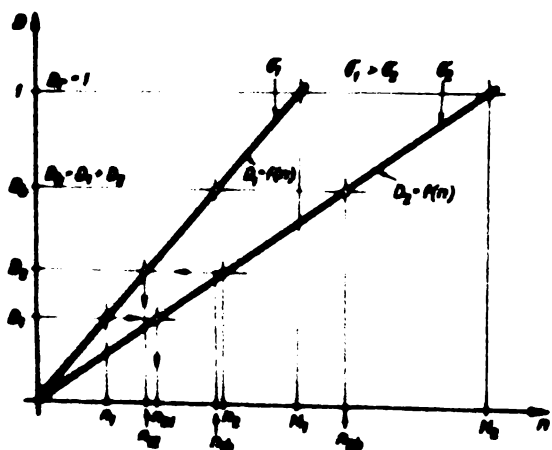


Fig.4.1

Variația degradării  $D = f(n)$  pentru un proces sinusoidal cu două nivele, în cadrul teoriei Miner

re din fig.4.1.

Dacă  $D_1 = n_1/N_1$  și  $D_2 = n_2/N_2$  sînt degradările pe ciclu produse în cele două stări de tensiune, se poate determina numărul de cicluri ( $n_{21}$ ) aplicat în starea de tensiune  $\sigma_2$  care produce aceeași degradare  $D_1$  (respectiv  $n_{12} \rightarrow D_2$ ).

$$D_1 = \frac{n_1}{N_1} = \frac{n_{21}}{N_2} \Rightarrow n_{21} = \frac{N_2}{N_1} n_1$$

$$n_{12} = \frac{N_1}{N_2} n_2 \quad (4.3)$$

x) [480] DOBRIANU L.; DOBRI I.: Analiza statistică a spectrelor de solicitări ale mașinilor de ridicat și transportat. Lucrare prezentată la sesiunea științifică a I.P.T. din 26...28 octombrie 1974

Blocul de solicitare considerat, se reduce la o solicitare echivalentă ( $\sigma_2, n_{2b}$ ) care să producă aceeași degradare

$$n_{2b} = n_{21} + n_2 = \frac{N_2}{N_1} n_1 + n_2 = N_2 \left( \frac{n_1}{N_1} + \frac{n_2}{N_2} \right) \quad (4.4)$$

Dacă se consideră că numărul de blocuri repetitive pînă la rupere este  $n_{br}$ , deoarece numărul de cicluri care produce ruperea în starea de tensiune  $\sigma_2$  este  $N_2$ , se obține succesiv

$$N_2 = n_{br} \cdot n_{2b} \Rightarrow n_{br} = \frac{N_2}{n_{2b}} \Rightarrow n_{br} \left( \frac{n_1}{N_1} + \frac{n_2}{N_2} \right) = 1$$

Notînd  $n_{br} \cdot n_1 = n_{1r}$ ;  $n_{br} \cdot n_2 = n_{2r}$  rezultă

$$\frac{n_{1r}}{N_1} + \frac{n_{2r}}{N_2} = 1 \Rightarrow \sum_{i=1}^2 \frac{n_{ir}}{N_i} = 1 \quad (4.5)$$

Presupunînd că diferitelor stări de tensiune  $\sigma_i$  le corespunde aceeași curbă ( $\sigma-N$ ), notînd cu  $\alpha_i = n_{ir}/N_r$  (unde  $N_r =$

$= \sum_{i=1}^s n_{ir}$ ) se obține

$$\frac{N_i}{N_0} = \left( \frac{\sigma_0}{\sigma_i} \right)^m \Rightarrow N_i = N_0 \left( \frac{\sigma_0}{\sigma_i} \right)^m \Rightarrow \sum_{i=1}^s \frac{n_{ir}}{N_0} \left( \frac{\sigma_i}{\sigma_0} \right)^m = 1 \quad (4.6)$$

de unde

$$N_r = \frac{1}{\sum_{i=1}^s \frac{\alpha_i}{N_0} \left( \frac{\sigma_i}{\sigma_0} \right)^m} \quad (4.7)$$

Aici  $\sigma_0, N_0$  sînt caracteristici de referință, iar  $m$  panta porțiunii centrale a curbei Wöhler.

Este de remarcat că astfel formulată, teoria lui Miner este o metodă bazată pe cicluri echivalente, deoarece numărul de cicluri dintr-o secvență din starea de tensiune  $\sigma_i$  se transformă într-un număr echivalent de cicluri în starea de tensiune de referință  $\sigma_0$ , astfel că grupele originale și cele transformate să cauzeze aceeași degradare.

Dar, criteriul de rupere al lui Miner, poate fi definit și pe baza așa numitei metode a tensiunilor echivalente, care pornește de la considerentul că există o stare de tensiune ce produce ruperea în același număr total de cicluri ca și cel necesitat de procesul complex. Aceste metode pot conduce în cazul altor criterii la rezultate total diferite.

Cercetările ulterioare experimentale au infirmat acest criteriu liniar încercându-se legi de cumulare neliniare de forma  $D = \left(\frac{D}{N}\right)^x$  cu  $x > 0$  [87], [88], [159], [160], [206], [300], [323], [498]. Întrebarea firească este dacă, definind în acest mod degradarea, se ajunge sau nu la o modificare utilă a teoriei lui Miner. Răspunsul este negativ.

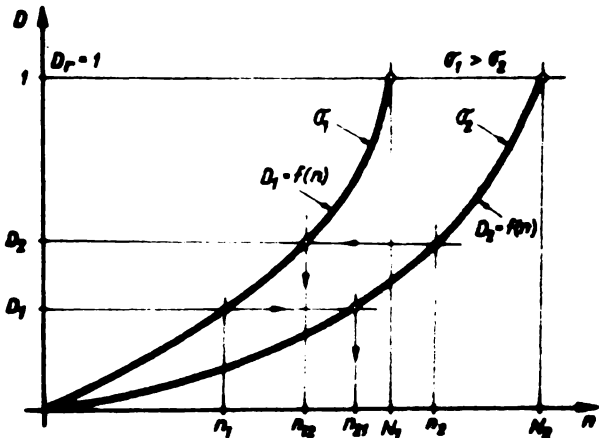


Fig.4.2

Variația neliniară a degradării pentru un proces sinusoidal cu două nivele în ipoteza accelerării degradării cu creșterea numărului de cicluri

De exemplu, acreditând ipoteza că degradarea este accelerată odată cu creșterea numărului de cicluri curbele de degradare au forma din fig.4.2 pentru care

$$\frac{dD}{dn} = \frac{x}{N} \left(\frac{D}{N}\right)^{x-1} > 0, \quad (4.8)$$

ceea ce impune  $x > 1$ .

Aplicând metoda ciclurilor echivalente rezultă imediat

$$\left. \begin{aligned} D_1 &= \left(\frac{n_1}{N_1}\right)^x = \left(\frac{n_{21}}{N_2}\right)^x \\ n_{21} &= \frac{N_2}{N_1} n_1 \end{aligned} \right\} (4.9)$$

Se obține un rezultat aparent surprinzător : metoda ciclurilor echivalente aplicată la o formă neliniară a curbei de degradare, conduce la criteriul de rupere Miner, independent de valoarea exponentului  $x$ . Rezultatul obținut se poate generaliza pentru reprezentarea criteriului de degradare sub orice formă funcțională.

$$D = f\left(\frac{D}{N}\right) \Rightarrow \left\{ \begin{aligned} (\sigma_1, n_1, N_1) &\Rightarrow D_1 = f\left(\frac{n_1}{N_1}\right) \\ (\sigma_2, n_{21}, N_2) &\Rightarrow D_1 = f\left(\frac{n_{21}}{N_2}\right) \end{aligned} \right. \Rightarrow n_{21} = \frac{N_2}{N_1} n_1 \quad (4.10)$$

De altfel acest rezultat nu este accidental, deoarece după considerațiile lui KARCHER (v. [300], [314]) aceste teorii sînt independente de tensiune și lipsite de interacțiune.

Dacă se aplică metoda tensiunilor echivalente, se obține succesiv

$$D_x = \left(\frac{n_{1k}}{N_1}\right)^x + \left(\frac{n_{2k}}{N_2}\right)^x = \sum_{k=1}^2 \left(\frac{n_{1k}}{N_1}\right)^x \quad (4.11)$$



și

$$N_F = \left[ \left( \frac{\alpha_1}{N_1} \right)^x + \left( \frac{\alpha_2}{N_2} \right)^x \right]^{-\frac{1}{x}} \quad (4.12)$$

Dar

$$\left( \frac{\alpha_1}{N_1} \right)^x + \left( \frac{\alpha_2}{N_2} \right)^x < \left( \frac{\alpha_1}{N_1} + \frac{\alpha_2}{N_2} \right)^x \Rightarrow \left[ \left( \frac{\alpha_1}{N_1} \right)^x + \left( \frac{\alpha_2}{N_2} \right)^x \right]^{\frac{1}{x}} < \left[ \left( \frac{\alpha_1}{N_1} + \frac{\alpha_2}{N_2} \right)^x \right]^{\frac{1}{x}} = \frac{\alpha_1}{N_1} + \frac{\alpha_2}{N_2}$$

Rezultă atunci că

$$\frac{1}{\left[ \left( \frac{\alpha_1}{N_1} \right)^x + \left( \frac{\alpha_2}{N_2} \right)^x \right]^{\frac{1}{x}}} > \frac{1}{\frac{\alpha_1}{N_1} + \frac{\alpha_2}{N_2}} \quad (4.13)$$

Se obține în felul acesta o durabilitate mai mare decât cea dată de criteriul lui Miner.

În final concluzia este deosebită: în cadrul ipotezelor formulate, nici o lege de cumulare a degradărilor, liniară sau neliniară, bazată pe metoda ciclurilor echivalente sau a tensiunilor echivalente, nu conduce la o modificare satisfăcătoare a teoriei lui Miner.

Deși concluziile nu sînt încurajatoare, se vor mai prezenta cîteva criterii formale în intenția de a sesiza evoluția ideilor folosite pentru a ieși din acest impas.

4.2.1.1. Teoria lui GROVER [206], [208], [300]. Pornește de la ideea că procesul de rupere are două faze, deci, din durabilitatea totală  $N_F$ , un număr de cicluri  $N_F'$  este necesar pentru a produce nucleul de fisurare, iar restul se consumă pentru propagarea acestei fisuri pînă la rupere. Grover utilizează separat teoria lui Miner pentru cele două faze ale procesului și obține

$$N_F' = \frac{1}{\sum_{i=1}^s \frac{\alpha_i}{a_i N_i}} \quad ; \quad N_F'' = \frac{1}{\sum_{i=1}^s \frac{\alpha_i}{(1-a_i) N_i}} \quad (4.14)$$

Teoria lui Grover deși lipsită de interacțiune este dependentă de tensiune, deci necesită cunoașterea curbelor de degradare de formă  $n = f(\sigma, \sigma)$ . Deoarece nu există mijloace pentru determinarea exactă a numărului de cicluri necesar amorțirii unei fisuri critice, teoria nu a găsit aplicabilitate.

4.2.1.2. Teoria MARCO-STANLEY. Acceptă o lege de degradare neliniară de forma

$$n = \left( \frac{\sigma}{N} \right)^{x_v} \quad (4.15)$$

cu  $x_v > 1$ , variabil dependent de starea de tensiune și pornește de

la ideea fundamentală că viteza de evoluție a degradării depinde de starea de tensiune, deci curba de degradare nu mai poate fi unică. Deși lipsită de o aplicabilitate cantitativă, se va expune în continuare - în mod succint - utilizarea metodei ciclurilor echivalente pentru specificarea degradării dată de (4.15) în ideea ilustrării unei metodologii secvențiale foarte eficientă pe acest criteriu și care a obținut o largă circulație în literatura de specialitate [85], [87], [91], [139], [159], [300], [376], [469].

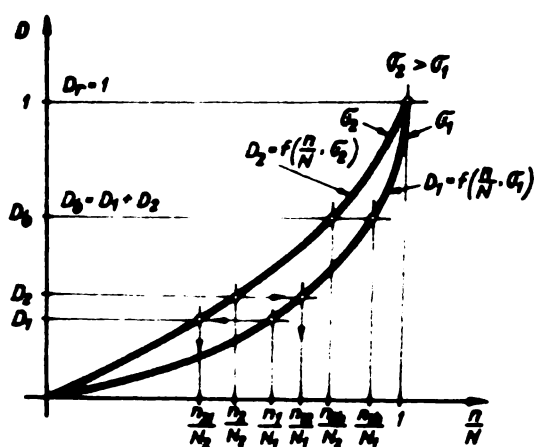


Fig. 4.3

Ilustrarea metodei secvențiale în teoria Marco-Starkey [314]

Prima secvență (fig. 4.3). Se presupune că se aplică prima secvență formată din  $n_1$  cicluri cu tensiunea maximă  $\sigma_1$  și  $n_2$  cicluri cu tensiunea maximă  $\sigma_2$ . Degradarea  $D_1$  produsă de cele  $n_1$  cicluri va fi

$$D_1 = \left(\frac{n_1}{N_1}\right)^{x_1} \quad (4.16)$$

Numărul de cicluri ( $n_{21}$ ) aplicat în starea de tensiune  $\sigma_2$  care produce aceeași degradare va fi

$$D_1 = \left(\frac{n_1}{N_1}\right)^{x_1} = \left(\frac{n_{21}}{N_2}\right)^{x_2} \Rightarrow n_{21} = N_2 \left(\frac{n_1}{N_1}\right)^{\frac{x_1}{x_2}} \quad (4.17)$$

Aplicând metoda ciclurilor echivalente se găsește degradarea produsă de primul bloc

$$D_b = \left(\frac{n_{2e}}{N_2}\right)^{x_2} = \left[ \left(\frac{n_1}{N_1}\right)^{\frac{x_1}{x_2}} + \frac{n_2}{N_2} \right]^{x_2} \quad (4.18)$$

A doua secvență. Blocul următor începe cu aplicarea stării de tensiune ( $\sigma_1, n_1$ ) peste epruveta degradată, deci numărul echivalent de cicluri ( $n_{1e}'$ ) care produce aceeași stare finală de degradare ( $D_b'$ ) este

$$n_{1e}' = n_{1e} \quad n_1 \quad (4.19)$$

și deci

$$D_b' = \left(\frac{n_{1e}'}{N_1}\right)^{x_1} = \left\{ \left[ \left(\frac{n_1}{N_1}\right)^{\frac{x_1}{x_2}} + \frac{n_2}{N_2} \right]^{\frac{x_1}{x_2}} + \frac{n_1}{N_1} \right\}^{x_1} \quad (4.20)$$

Deoarece urmează starea de tensiune ( $\sigma_2, n_2$ ), se determină inițial numărul de cicluri echivalent ( $n_{2e}'$ ) care produce aceeași degradare  $D_b'$

$$D_b' = \left(\frac{n_{2e}'}{N_2}\right)^{x_2} = \left(\frac{n_{1e}'}{N_1}\right)^{x_1} \Rightarrow n_{2e}' = N_2 \left\{ \left[ \left(\frac{n_1}{N_1}\right)^{\frac{x_1}{x_2}} + \frac{n_2}{N_2} \right]^{\frac{x_2}{x_1}} + \frac{n_1}{N_1} \right\}^{\frac{x_1}{x_2}} \quad (4.21)$$

Numărul de cicluri echivalent, corespunzător stării de tensiune  $\sigma_2$ , care cauzează aceeași degradare finală cumulată ( $D_b'$ ) ca și aceea produsă de aplicarea celor două blocuri, va fi

$$n_{2e}'' = n_{2e}' + n_2 = N_2 \left( \left\{ \left[ \left(\frac{n_1}{N_1}\right)^{\frac{x_1}{x_2}} + \frac{n_2}{N_2} \right]^{\frac{x_2}{x_1}} + \frac{n_1}{N_1} \right\}^{\frac{x_1}{x_2}} + \frac{n_2}{N_2} \right) \quad (4.22)$$

și deci

$$D_b'' = \left(\frac{n_{2e}''}{N_2}\right)^{x_2} \quad (4.23)$$

Calcululele se pot continua sub această formă secvențială pînă se ajunge la o degradare egală cu 1. Autorii teoriei arată că o asemenea specificare a degradării de tipul (4.15) dependentă de tensiune dar lipsită de interacțiune, conduce pe baza metodei ciclurilor echivalente la predicții mai conservative ale durabilității decît teoria lui Miner.

4.2.1.3. Teoria lui SHANLEY [159],[201],[206],[300],[314],[326],[380],[470],[498]. Schimbă forma funcției de degradare, care nu mai depinde de raportul ciclurilor ci depinde direct de numărul de cicluri și pune în corespondență mulțimea stărilor distincte de tensiune cu o aceeași curbă ( $\sigma-n$ ); explicit

$$D = a \sigma^{km} \cdot n \quad (4.24)$$

unde

$a, k$  - constante ;  $m$  - panta curbei ( $\sigma-n$ )

Determinînd constanta  $a$  din condiții la limită pe baza mărimilor de referință și luînd  $k=1$ , se poate arăta că relația (4.24) conduce la criteriul liniar al lui Miner.

Teoria lui Shanley explicitiază însă metoda tensiunilor echivalente și pentru un proces cu mai multe nivele conduce la o durabilitate centrală de forma

$$N_F = \left[ \sum_{i=1}^S \frac{\alpha_i}{N_i^k} \right]^{-1/k} \quad (4.25)$$

Se arată că pentru  $k \neq 1$ , teoria face predicții mai conservative decît teoria lui Miner.

4.2.1.4. Teoria CORRELI-POLAKI [75],[89],[159]. Pornește de la observația că teoriile prezentate sînt lipsite de interacțiune,

deci legea de degradare trebuie să aibă o formă care să țină cont de influența reciprocă a stărilor de tensiune și acceptată o relație de tipul

$$D = f(\bar{\sigma})n^a \quad (4.26)$$

cu  $a$ -constant (independent de  $\bar{\sigma}$ ).

Aplicând metoda ciclurilor echivalente se ajunge la o concluzie deosebit de interesantă care ne reîntoarce la teoria lui Miner cu specificarea unei noi măsuri pentru degradare. Considerând o secvență de tensiune cu două nivele, dacă se notează  $f(\bar{\sigma}_1) = f_1$  se obține succesiv

$$\begin{aligned} (\bar{\sigma}_1, n_1, N_1, D_1) &\rightarrow D_1 = f_1 \cdot n_1^a \\ (\bar{\sigma}_2, n_{21}, N_2, D_1) &\rightarrow D_1 = f_1 \cdot n_1^a = f_2 \cdot n_{21}^a; n_{21} = \left(\frac{f_1}{f_2}\right)^{\frac{1}{a}} \cdot n_1 \end{aligned} \quad (4.27)$$

Numărul de cicluri echivalent în starea de tensiune  $\bar{\sigma}_2$  care cauzează o degradare identică cu cea produsă de întregul bloc  $(\bar{\sigma}_1, n_1; \bar{\sigma}_2, n_2)$  este

$$n_{2e} = n_{21} + n_2 = \left(\frac{f_1}{f_2}\right)^{\frac{1}{a}} n_1 + n_2 \quad (4.28)$$

De aici, ținând cont că numărul de blocuri repetitive pînă la rupere este  $n_{br}$ , se obține

$$N_r = \left[ \left(\frac{f_1}{f_2}\right)^{\frac{1}{a}} \cdot \frac{\alpha_1}{N_2} + \frac{\alpha_2}{N_2} \right]^{-1} \quad (4.29)$$

Rezultatul se poate generaliza pentru un proces cu  $s$  nivele; folosind relația empirică

$$\left(\frac{f_i}{f_s}\right)^{\frac{1}{a}} = \left(\frac{\bar{\sigma}_i}{\bar{\sigma}_s}\right)^a \quad (4.30)$$

se obține

$$N_r = \left[ \sum_{i=1}^s \left(\frac{\bar{\sigma}_i}{\bar{\sigma}_s}\right)^d \cdot \frac{\alpha_i}{N_s} \right]^{-1} \quad (4.31)$$

Teoria Corten-Dolan exprimată prin (4.31) poate fi privită ca o teorie care aplică ecuația lui Miner unei curbe  $\bar{\sigma}$ - $N$  modificate, rezultat al considerării interacțiunii stărilor de tensiune. Înși deși - aparent - teoria Corten-Dolan este la fel de simplă ca și teoria lui Miner, aplicațiile ei sînt destul de dificile și ea este pasibilă de multe comentarii. Astfel, dacă în cadrul procesului, stările de tensiune au valori medii diferite sau un grad de asime-

trie diferit, se poate presupune ca fiecarei stări de tensiune  $\sigma_i$  îi corespunde o anumită valoare pentru panta  $1/d$  a curbei ( $\sigma-N$ ). În plus, teoria depinde de starea de tensiune cu intensitatea cea mai mare, aleasă ca stare de referință; dacă se schimbă

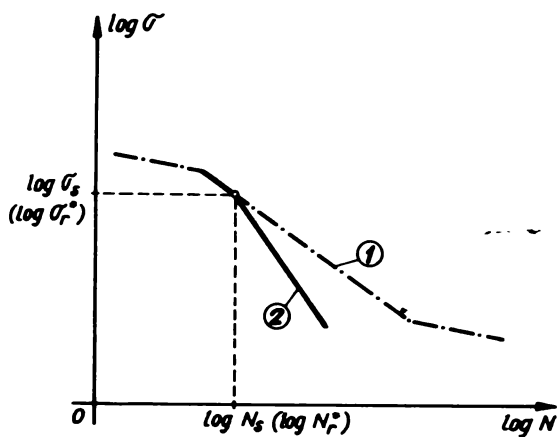


Fig. 4.4

Curba  $\sigma-N$  modificată (2) în teoria Corten-Dolan și Freudenthal-Heller [314]

[208], [322], [416], [422].

aceste elemente de referință se obțin alte rezultate. De aici încep dificultățile. Pentru un proces stohastic, la care tensiunile pot deveni extrem de mari, alegerea unui anumit nivel finit al stării de tensiune de referință cu intensitatea maxima, va fi legată de mari dificultăți.

Este de reținut însă ideia utilizării unei curbe  $\sigma-N$  modificate, care ulterior a fost reluată de foarte mulți cercetători [87], [91], [160],

#### 4.2.1.5. Teoria ~~FREUDENTHAL-HELLER~~ <sup>Corten</sup> [159], [160], [161],

[237]. O primă teorie a autorilor care elimină discuțiile legate de teoria Corten-Dolan, pornește de la o stare de referință independentă de procesul de solicitare ( $\sigma_r^*$ ,  $N_r^*$ ) astfel încât de obicei  $N_r^*$  ( $10^3 - 10^4$ ) cicluri. Lucrează de asemenea pe o curba ( $\sigma-N$ ) modificată considerând că toate stările de tensiune se raportează la aceeași diagramă de durabilitate. Curba ( $\sigma-N$ ) modificată (v.fig. 4.4), utilizată pentru a lua în considerare efectele de interacțiune între diferitele stări de tensiune, trebuie obținută prin efectuarea unor încercări la oboseală care să simuleze condițiile reale de solicitare. Aceasta necesită un program complex de încercări, care determină în final panta curbei ( $\sigma-N$ ) modificate, element ce poate fi corelat cu caracteristica configurației stării de tensiune efective. Forma analitică a acestei corelații nu a fost stabilită cu suficientă precizie pentru a vedea dacă metoda poate fi aplicată cu concludență într-o gamă largă de condiții. Aplicarea acestui program complex de încercări din metoda Freudenthal-Heller, a evidențiat faptul că durata de viață la oboseală a unui material este influențată de procentul nivelelor distincte de tensiuni care apar în spectrul complex de solicitare, element nou în comparație cu rezultatele încercărilor lui Corten-Dolan, cu două nivele de

tensiuni.

4.2.1.6. Teoria lui BERENSEN (v. [88], [326]). Școala sovietică este reprezentată în special prin colectivele conduse de academicienii BERENSEN [416], [417], [418], [419], [420], ODING [355], [356], [289] și UJIK [441]; pe lângă ample cercetări privind studiul general al fenomenului de oboseală, ei au creat și câteva teorii de degradare. Teoria lui BERENSEN, generalizează observațiile experimentale, modificând relația lui Miner sub forma

$$\sum_{i=1}^n \left(\frac{n_i}{N_i}\right)^m = C \quad (4.32)$$

unde  $C \neq 1$ , depinde de procentajul tensiunilor de aceeași valoare din spectru. De altfel această observație se mai întâlnește în literatură; de exemplu LAINE [314] recomandă pentru aplicații conservative, la  $m=1$ ,  $C=0,3$ .

pentru un spectru cu două nivele, rezerva de durabilitate are forma

$$n_2 = N_2 C - \left(\frac{n_1}{N_1}\right)^m \quad (4.33)$$

În unele cercetări Berensen caracterizează degradarea prin micșorarea rezistenței la oboseală, criteriu de altfel întâlnit și în alte lucrări (v. 4.1). Astfel printr-o "preobosire" a unui număr corespunzător de probe identice cu  $(\sigma_1, n_1)$ , considerând această stare degradată ca fază de început a procesului de solicitare variabilă, rezistența la oboseală  $(\sigma_d)$  se va micșora cu cantitatea  $\Delta\sigma_d$ :

$$\frac{\Delta\sigma_d}{\sigma_d} = \frac{n_1}{N_1} \left(\frac{\sigma_1}{\sigma_d} - 1\right) \frac{k}{\frac{\sigma_1}{\sigma_d} - \left(\frac{n_1}{N_1}\right)^2} \quad (4.34)$$

unde  $k$  - constantă de material.

4.2.1.7. Alte teorii. În literatura de specialitate [159], [200], [249], [273], [314], [326], [382], [420], [422], [463], [470], [498], [503] sînt prezentate multe alte teorii, de obicei neliniare, fiecare dintre ele aducînd câte un element de noutate, fără însă să rezolve problema, fiind verificate pentru anumite cazuri particulare.

a) De exemplu MIYARA și YAMADA corectează criteriul lui Miner considerînd că degradarea constantă pe un ciclu, variază în raport cu tensiunea și numărul de cicluri după o funcție monoton descrescătoare  $\varphi(\sigma_1, n)$  astfel încît

$$\int_0^{N_f} \frac{\varphi(\sigma_i, n)}{N_i} dn = 1 \quad (4.35)$$

Pentru această funcție de corecție și pentru curba de durabilitate a materialului se admit relații de forma :

$$\begin{aligned} \varphi(\sigma_i, n) &= \varphi(\sigma_i, n-1)e^{-m\sigma_i} \\ N_i &= e^{-(a\sigma+b)} \end{aligned} \quad (4.36)$$

unde

$$m = a\sigma + b - \ln \sigma_d \quad (4.37)$$

Teoria nu conduce la predicții semnificativ distincte de criteriul lui Miner.

b) În cadrul teoriei lui HENRY, se pornește de la reprezentarea curbei de durabilitate inițiale printr-o hiperbolă de forma

$$(\sigma - \sigma_d)N = A \quad (4.38)$$

deși o asemenea relație nu corespunde comportării reale a materialelor la solicitări repetate și conduce în general la o supraevaluare a durabilităților. Postulînd că parametrii experimentali  $\sigma_d$ ,  $A$ , variază în funcție de starea de presolicitare astfel ca raportul lor să fie constant :

$$\frac{\sigma_{dij}}{\sigma_d} = \frac{A_{ij}}{A} \quad (4.39)$$

(unde  $\sigma_{dij}$  - limita de oboseală remanentă corespunzătoare numărului de cicluri de presolicitare  $n_{ij}$  la nivelul  $\sigma_i$ ) se obține pentru încercări cu două nivele  $(\sigma_1, n_1, N_1)$ ,  $(\sigma_2, n_{2r}, N_2)$  durabilitatea remanentă  $n_{2r}$  corespunzătoare rupei la nivelul tensiunii  $\sigma_2$  :

$$1 - \frac{n_{2r}}{N_2} = \frac{\Delta\sigma_1(1 + \Delta\sigma_2)n_1}{N_1[\Delta\sigma_1 - \Delta\sigma_2 + \Delta\sigma_2(1 - \Delta\sigma_2)n_1]} \quad (4.40)$$

unde

$$\Delta\sigma_i = \frac{\sigma_i - \sigma_d}{\sigma_d} \quad (i = 1, 2)$$

Deși folosește parametrii experimentali care se determină în mod curent la încercările de oboseală, teoria nu a obținut o dezvoltare analitică corespunzătoare datorită complexității ei și se pare și datorită unei concordanțe nesatisfăcătoare cu experiența.

c) Așa cum a fost arătat, teoria lui GATTS acceptă ca măsură a degradării variația rezistenței de rupere a materialului

$$\frac{d\sigma_R}{dn_{1j}} = -k(\sigma_1 - \sigma_{dij})^q \quad (4.41)$$

unde  $k, q$  - constante experimentale  
și constanta raportului :

$$\frac{\sigma_{dij}}{\sigma_d} = \frac{\sigma}{\sigma_R} = \text{const.} \quad (4.42)$$

Teoriei lui Watts i s-au adus critici încă de la început, privind semnificația fizică a funcției de degradare și implicației unor curbe de durabilitate remanentă divergente în domeniul solicitărilor mari, ceea ce nu concordă cu rezultatele experimentale.

d) Corectînd aceste deficiențe MANSON elaborează o teorie care pleacă de la o observație experimentală conform căreia curbele de durabilitate remanentă, într-o reprezentare semilogaritmică, sînt convergente într-un punct unic de coordonate  $(N_u, \sigma_u)$  considerate drept caracteristici de material. Deși elaborează un criteriu secvențial, care presupune efectuarea calculelor în ordinea în care nivelele de solicitare apar în spectru, datorită dificultăților experimentale de determinare a mărimilor  $(\sigma_u, N_u)$  și deoarece nu a fost dezvoltat pentru solicitări continue variabile, teorie nu este utilizată în practica de proiectare.

4.2.1.8. Corecții statistice. Printre teoriile mult mai evaluate sînt cele care iau în considerare variabilitatea statistică a fenomenului, ceea ce reflectă mai complet proprietățile intime ale comportării materialului.

a) Dintre acestea se relevă teoria lui D.CIOCCLOV [87],[91], [498] care prezintă interesante elemente de noutate. Presupunînd existența unei relații de echivalență în mulțimea stărilor de solicitare se realizează o partiție în clase de echivalență funcție de durabilitatea remanentă, ceea ce permite - circumscris acestei ipoteze - o definiție riguroasă a noțiunii de degradare prin oboseală. Stărilor de solicitare care se află în același stadiu de degradare le corespunde o curbă unică a durabilităților remanente. Variația asimptotică s-a considerat drept parametru unic care caracterizează degradarea. În acest caz pe baza unor ipoteze justificate experimental s-a stabilit că variația limitei de oboseală în funcție de starea de presolicitare este de forma :

$$\sigma_{dij}^* = (\sigma_{ir}^*)^{k/\lg C_{ij}} \quad (4.43)$$



unde  $k$  - constantă adimensională caracteristică fiecărui material

$$C_{ij} = n_{ij}/N_{iP} \cdot \sigma_{iP}^* = \sigma_i/\sigma_{dP} \cdot \sigma_{dijP} = \sigma_{dijP}/\sigma_{dP}$$

sînt respectiv amplitudinea tensiunii la nivelul  $i$  de solicitare și limita de oboseală remanentă, în forme adimensionale.

Din condiția echivalenței a două stări de solicitare, căroră într-o încercare ulterioară le corespunde aceeași valoare a limitei de oboseală, s-a stabilit un criteriu secvențial de degradare cumulativă, exprimat prin relația

$$1 - \frac{n_{qP}^k}{N_{qP}^k} = \left\{ [(C_{11P})^{lg \sigma_{2P}^*/lg \sigma_{1P}^*} + C_{22P}]^{lg \sigma_{3P}^*/lg \sigma_{2P}^*} + \dots \right. \\ \left. \dots + C_{(q-1, q-1)P} \right\}^{lg \sigma_{qP}^*/lg \sigma_{(q-1)P}^*} \quad (4.44)$$

Din valoarea degradării la treapta la care se produce ruperea se determină valoarea durabilității remanente  $n_{qP}^k$ . Această relație exprimă o cumulare neliniară a degradării în ordinea în care apar nivelele de tensiune în decursul solicitării. Se relevă că pentru determinarea  $P$  - cuantilelor durabilității remanente este suficientă numai informația cuprinsă în curbele de durabilitate izoprobabile ale materialului nedegradat, determinate prin încercări cu amplitudine constantă, curbe care cuprind implicit influența factorilor geometrici, tehnologiei și de mediu. Criteriului i s-au dat și interpretări pentru solicitări cu variație complexă deterministă și aleatoare.

b) În cazul unor interpretări statistice, aplicarea criteriilor de degradare are la bază - în special - forma analitică adoptată sau determinată a distribuției de probabilitate a tensiunilor în spectrul analizat. De exemplu, dacă se acceptă o distribuție Rayleigh

$$p(\sigma) = \frac{\sigma}{\alpha^2} \exp\left(-\frac{\sigma^2}{2\alpha^2}\right) \quad (4.45)$$

pentru care  $\sigma \geq 0$ , media  $m_\sigma = \alpha \sqrt{\pi/2}$ ; abaterea medie pătratică  $\sqrt{D_\sigma} = \alpha^2 \sqrt{2 - \pi/2}$ ; mediana  $\sigma_{0,5} = \alpha \sqrt{2 \ln 2}$ .

Pentru aplicarea criteriului Miner se face o schimbare de variabilă sub forma

$$dn = N_F \cdot p(\sigma) d\sigma \quad (4.46)$$

unde  $N_F$  - numărul total de cicluri care duce la rupere.

Din ecuația curbei Wöhler scrisă sub forma

$$\sigma^m \cdot N = \sigma_{-1}^m \cdot N_0 \rightarrow N = \sigma_{-1}^m \cdot N_0 \sigma^{-m} \quad (4.47)$$

de unde

$$\int \frac{d\sigma}{\sigma} = 1 \rightarrow \frac{N_0}{\alpha_{-1}^m \cdot N_0 \alpha^2} \int \sigma^{m+1} \cdot e^{-\frac{\sigma^2}{2\alpha^2}} \cdot d\sigma = 1 \quad (4.48)$$

Ultima integrală ne conduce la o funcție  $\Gamma$  dacă se face schimbarea  $\sigma^2/2\alpha^2 = t$ . De aici se poate determina numărul de cicluri pînă la rupere, integrînd de la  $\sigma_d$  la  $\sigma_{max}$ .

**4.2.1.9. Concluzii privind teoriile formale.** Deși s-au depus eforturi susținute pentru a se crea o teorie de degradare suficient de cuprinzătoare, nu există încă indicații relativ certe care să ateste superioritatea uneia sau alteia dintre aceste teorii privind predicția durabilității. Unele dintre ele nu pot să fie aplicate în practica inginerescă datorită complexității, de aceea în domeniul proiectării în raport cu durabilitatea, la estimarea duratei de viață, a fost aplicată doar relația lui Miner, a cărei popularitate se datorește simplității și nu concluziei ei.

Pînă în prezent nu a fost însă elaborată o metodă de predicție pentru procese de solicitare complexe, care să nu necesite încercări experimentale. Recunoscînd această necesitate, s-a sperat că nu va fi nevoie decît de date privitoare la oboseală în condițiile unor spectre de tensiuni pur sinusoidale, pentru a se putea face predicția durabilității în condiții de solicitări aleatoare. Dar experiența practică nu a demonstrat că rezultatele încercărilor la oboseală cu tensiuni sinusoidale sînt o bază satisfăcătoare pentru teoriile de degradare, necesare pentru a face predicția durabilității rezistente în condițiile unor spectre de tensiuni aleatoare, deși toate teoriile enunțate s-au clădit pe încercări la oboseală cu tensiuni cu amplitudine constantă.

De altfel nu există siguranța că, configurațiile complexe de tensiuni pot fi clasificate sub aspectul parametrilor într-un mod simplu, pentru a putea juca un rol în teoria degradărilor cumulative.

Din aceste motive, relațiile prezentate au o evidentă identitate structurală, rezultat direct al modului de abordare al conceptului fundamental; diferențele care apar și care uneori pot fi semnificative sînt datorate numai modelelor metalo-fizice și condițiilor inițiale diferite acceptate de fiecare autor.

**4.2.2. Teorii fizice** [75], [88], [89], [498], [165], [170], [201], [237], [249], [250], [280], [281], [291], [327], [356], [412], [420], [441], [464], [465], [466], [467], [468]. Este evident că eficiența predicțiilor va crește când procesele fizice incubate în fenomenul de degradare al metalelor supuse la tensiuni variabile, vor fi mai bine cunoscute și înțelese. Obiectivul cercetărilor va consta într-o descriere analitică a acestor procese fizice și elaborarea unei teorii a degradărilor cumulative incluzând în număr cât mai mic de parametri - de preferință nici unul - care să necesite o evaluare experimentală laborioasă. Pornind de la aceste observații generale s-au creat o serie de teorii denumite fizice, având la bază lărgirea continuă a cunoștințelor privitoare la mecanismul ruperii prin oboseală cu ajutorul fizicii metalelor, a teoriei dislocațiilor, confirmate de rezultatele microscopiei electronice.

Teoriile care au fost avansate pornesc de la modul în care se caracterizează procesul de distrugere prin oboseală și specificul fazelor distincte acceptate în evoluția acestui proces.

Astfel, formarea microfisurilor de oboseală se studiază cu ajutorul conceptelor din fizica metalelor pe baza mecanicii dezvoltării, mișcării și interacțiunii dislocațiilor (modelul Frank-Read) în timpul procesului de ecrusare prin deformare plastică la nivelul rețelei cristaline. Deși acestei faze i s-au dedicat un număr impresionant de lucrări, rezultatele sînt momentan inutilizabile în practica curentă (v. argumentația din 4.1).

O a doua fază distinctă, constă în nucleația și propagarea fisurilor, care se poate analiza cu ajutorul teoriei deformațiilor elasto-plastice. Explicația fenomenului se încearcă cu ajutorul dinamicii dislocațiilor fără a se obține o formulare analitică și baze noi pentru o analiză cantitativă.

Faza a treia privind procesul de rupere, este din ce în ce mai bine conturată, utilizînd conceptele din mecanica ruperii, care permit o abordare matematică completă, în cadrul unui anumit model, elastic și/sau elasto-plastic etc. Se consideră următorul model simplificat : o tablă subțire fisurată, supusă la o solicitare de tracțiune  $\sigma_{\infty}$ , perpendiculară pe direcția fisurii, care - la o distanță corespunzătoare față de fisură - poate fi considerată ca uniform distribuită. Admițînd o deformare pur elastică, și o placă de lățime infinită, marimea tensiunii în axa fisurii ( $r=x$ ,

$\varphi = 0$ ) va fi :

$$\sigma_y(x,0) = \sigma_\infty \sqrt{\frac{l}{2x}} \quad (4.49)$$

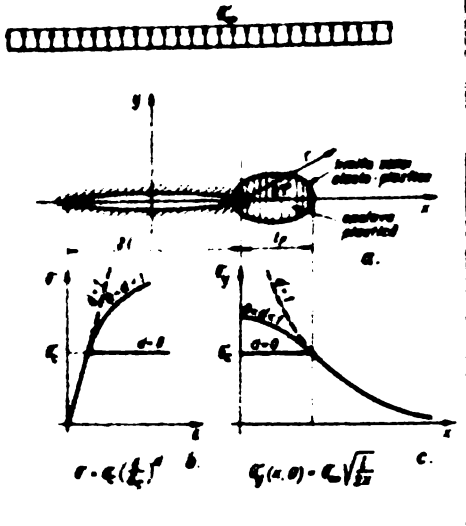


Fig.4.5

Condiții de tensiune și deformare la vârful unei fisuri

Relația (4.49) arată, în cadrul ipotezelor făcute, că oricât ar fi de mică tensiunea  $\sigma_\infty$ , există o valoare  $x$  pentru care tensiunea  $\sigma_y$  depășește limita de curgere efectivă a materialului ( $\sigma_c$ ) și la vârful fisurii se produce o enclavă plastică cu o dimensiune caracteristică  $l_p$ . Pentru forma și mărimea zonei de curgere, se pot obține diverse relații, în funcție de formula aplicată pentru exprimarea diagramei caracteristice a materialului în zona plastică, care se poate scrie sub forma

$$\sigma = \sigma_c \left( \frac{\epsilon}{\epsilon_c} \right)^d \quad \text{pentru } \epsilon > \epsilon_c \quad (4.50)$$

unde  $0 \leq d \leq 1$  este un parametru ce caracterizează plasticitatea materialului ; dacă  $d=1$ , deformarea este pur elastică; dacă  $d=0$ , materialul este ideal-plastic. În fig.4.5 se arată distribuția tensiunilor  $\sigma_y$  pentru aceste trei cazuri.

Sub aspect fizic, zona de curgere este o regiune în care se găsesc surse de dislocare active. La o solicitare dată  $\sigma_\infty$ , tensiunea  $\sigma_y$  apărută la vârful fisurii forțează fiecare din surse la emiteria unor inele de dislocații, necesare pentru formarea unei stări de echilibru, iar această înmulțire și mișcare a dislocațiilor are ca rezultat apariția deformărilor remanente.

Modelul analizat pentru starea de tensiune de la vârful fisurii caracteristic solicitării statice, trebuie completat cu alte aspecte în cazul solicitărilor variabile. Astfel, se admite că procesul de descărcare poate fi provocat prin suprapunerea a două sisteme de încărcare (v.fig.4.6), tensiunea  $\Delta\sigma_\infty$  fiind asociată cu o limită de curgere aparentă  $-2\sigma_c$ . Suprapunerea  $\sigma_\infty - \Delta\sigma_\infty$  are loc în condițiile în care  $\Delta l_p \leq l_p$  și fisura nu se poate închide. În felul acesta se poate determina mărimea zonei plastice și deplasarea vârfului fisurii. Cuațiile pentru propagarea fisurii, descrise în literatura pentru solicitări variabile cu amplitudine constantă, au următoarea formă structurală

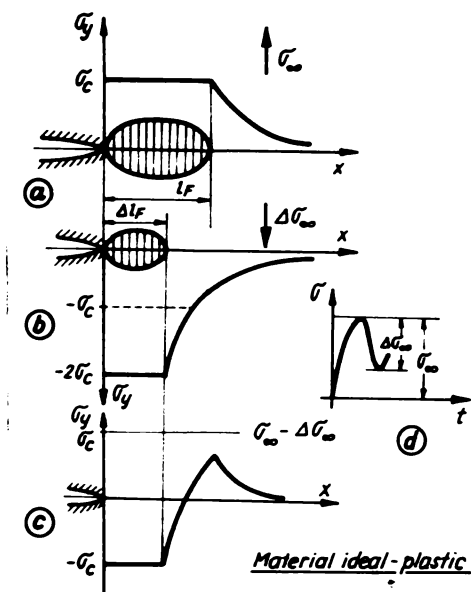


Fig. 4.6

efectul unei solicitări de încărcare-descărcare asupra condițiilor de tensiune din zona de curgere

de degradare sub acțiunea solicitărilor variabile.

4.2.3. Teorii probabiliste [60], [201], [314], [320], [327], [347], [377], [420], [498]. Uneori în literatură, noțiunea de criteriu probabilist se aplică în mod eronat cazurilor de tratare statistică a rezultatelor experimentale, utilizându-se de fapt teorii deterministe pe anumite nivele de probabilitate. De aceea, încercările de formulare probabilistă a procesului de degradare sînt destul de puține și utilizează o serie de ipoteze care nu au acoperire experimentală, cum sînt considerațiile esențiale care se fac asupra probabilității de rupere asociată fiecărui ciclu de solicitare. Astfel FREUDENTHAL [160], [161] asociază fiecărui ciclu de solicitare o probabilitate de rupere constantă considerînd că fenomenul de rupere ascultă de o distribuție tip Poisson; analiza acestor ipoteze conduce în final tot la criteriul Miner. Modificarea acestor ipoteze, ca de exemplu considerarea unor probabilități de rupere funcție de nivelul tensiunilor și înlocuirea distribuției Poisson cu distribuții Gumbel sau Weibull, conduc de fapt la criteriile de degradare neliniare.

De un interes deosebit se bucură modelul propus de KOLMAN [273], care consideră procesul de degradare sub acțiunea solicitărilor variabile ca un proces stohastic staționar de tip Markov cu un număr finit de stări, evoluția sistemului făcîndu-se prin tre-

$$\frac{dl}{dn} = A \sigma_{\infty}^a l^b \quad (4.51)$$

unde valorile obișnuite ale exponenților sînt  $1 \leq a \leq 4$  și  $0 \leq b \leq 3$  [314]. Relația funcțională  $dl/dn = f(l)$  a fost analizată de numeroși cercetători pentru cazul  $\sigma_{\infty} = \text{const.}$  Însă de regula, viteza de propagare a fisurii se măsoară funcție de factorul de concentrare a tensiunilor al lui Irwin [464]

$$K_I = \sigma_{\infty} \sqrt{\pi \cdot l} \quad (4.52)$$

Criteriile fizice sînt în fază de formare și ele se vor dezvolta odată cu progresele din fizica solidului, teoriile cantitative existente nereușind să cuprindă într-o interpretare unică multiplele aspecte caracteristice procesului

corea ireversibil. dintr-o stare de degradare în alta mai pronunțată. Descrierea matematică a evoluției sistemului necesită cunoașterea matricei probabilităților de trecere, a căror stabilire necesită supoziții greu de verificat experimental; de exemplu Kognev admite că probabilitatea de trecere dintr-o stare în alta este proporțională cu un coeficient care depinde de valoarea amplitudinii tensiunii și de ordinul stării de degradare.

Alte modele asociază procesului de degradare teoria mersului la întâmplare pe o axă sau procese Markov de tip continuu (YOKOBORI) care permit stabilirea funcției de distribuție a durabilităților, modele care au primit anumite confirmări experimentale.

S-a încercat de asemenea generalizarea modelelor din mecanica ruperii în cazul solicitărilor aleatoare, deoarece mecanismul de propagare a fisurii nu se modifică, deși efectul variației încărcării cu viteze diferite nu poate fi urmărit în propagarea fisurii. Pentru procese ergodice valoarea medie a lungimii fisurii poate fi definită astfel

$$l = L_k \left( \frac{t}{T_k} \right)^m \quad (4.53)$$

unde  $t$  este o variabilă de natura timpului,  $L_k$  - lungimea critică a fisurii,  $T_k$  - timpul scurs pînă la formarea lungimii critice a fisurii, iar  $m$  - coeficientul de propagare a fisurii. Viteza de propagare a fisurii rezultă imediat

$$\frac{dl}{dt} = \frac{m \cdot L_k}{T_k} \left( \frac{t}{T_k} \right)^{m-1} = \frac{m \cdot L_k}{T_k} \left( \frac{l}{L_k} \right)^{\frac{m-1}{m}} \quad (4.54)$$

Natura propagării fisurii este în mod fundamental definită de parametrul  $m$ . Evident că lungimea instantanee a fisurii este o mărime aleatoare determinată de o anumită distribuție care depinde în realitate de istoricul solicitării. De aceea cercetările în acest domeniu caută să stabilească corelațiile dintre valorile medii ale amplitudinilor tensiunilor, lungimea fisurii și coeficientul de propagare a fisurii, cu domeniile lor de dispersie.

x  
x      x

Deși analiza făcută este deosebit de sumară, se poate totuși conchide că în prezent nu există o teorie de degradare suficient de cuprinzătoare care să reflecte influența numărului mare de parametri care intervin în desfășurarea procesului de degradare a metalelor sub acțiunea solicitărilor cu variație complexă.

#### 4.3. Analiza probabilistică a depășirii nivelelor de referință în cazul spectrelor aleatoare <sup>x)</sup>

Din punctul de vedere al studierii rezistenței la oboseală a pieselor supuse la acțiunea solicitărilor aleatoare este important să se poată stabili pe baza spectrului tensiunilor reale care apar în procesul de exploatare, probabilitatea ca valorile tensiunilor să fie mai mari decât un anumit nivel de referință, numărul mediu al depășirilor acestui nivel pe o anumită perioadă de timp și durata medie a acestor depășiri. Răspunsul la aceste probleme și la altele care decurg imediat din ele, obține diverse forme, în funcție de ipotezele care se fac asupra caracterului procesului stohastic de excitație (respectiv a răspunsului în tensiuni) privind continuitatea și forma densității de repartiție a ordonatelor procesului pentru fiecare moment.

Fie  $\sigma(t)$  spectrul de tensiuni considerat - în cazul cel mai general - ca un proces stohastic continuu pentru care se pot eventual determina densitățile de probabilitate condiționate  $f(\sigma/t)$  și  $f(\sigma, \dot{\sigma}/t)$  în situația în care există suficiente realizări  $\{\sigma(t)\}$  pentru o prelucrare statistică.

Considerând una din realizările procesului, se notează cu  $\sigma^0$  nivelul de referință stabilit, care pentru un calcul de durabilitate nelimitată poate fi rezistența la oboseală a materialului, iar în domeniul durabilității limitate, valoarea corespunzătoare a tensiunii. Se presupune că în punctul A (fig.4.7) are loc o depășire a nivelului  $\sigma^0$ , de "jos în sus". Producerea acestui eveniment revine la calcularea probabilității

$$P\{\sigma(\tau) < \sigma^0 ; \sigma(\tau+d\tau) > \sigma^0\} \quad (4.55)$$

Pe baza continuității procesului, cu neglijarea unor infiniți mici de ordin superior, se poate scrie

$$\sigma(\tau+d\tau) = \sigma(\tau) + \dot{\sigma}(\tau)d\tau \quad \text{cu } \dot{\sigma}(\tau) \in (0, \infty)$$

reprezentând  $\left. \frac{d\sigma}{dt} \right|_{t=\tau}$

În aceste condiții relația (4.55) se transformă succesiv

<sup>x)</sup> [485] DOBRE I.; DOBRE S.: "Wahrscheinlichkeitsanalyse betreffend die Überschreitungen der bezugs-niveaus bei aleatorischen Beanspruchungen". Lucrările "Sesiunii științifice jubiliare" a Școlii superioare tehnice din Brno - R.S.Cehoslovacia - V.I. V.D. - ČKA KONFERENCE, Kateder cásti strojů. 11 - 13 cervna 1975, p.1-4

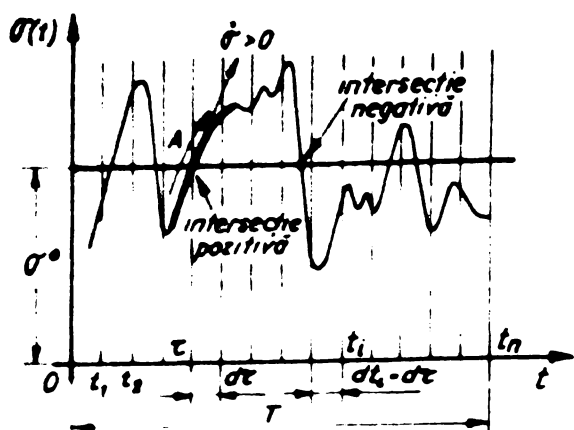


Fig. 4.7

Pe baza calculului numărului mediu de depășiri al nivelului  $\sigma^0$

într-un timp  $t$ , împărțind segmentul  $T$  în  $n$  părți egale de valoare  $d\tau$  și definind sistemul de variabile aleatoare

$$\delta_i = \begin{cases} d\tau_i & \text{dacă } \sigma(t_i) \geq \sigma^0 \\ 0 & \text{dacă } \sigma(t_i) < \sigma^0 \end{cases} \quad i = 1, 2, \dots, n \quad (4.57)$$

Timpul total în care procesul depășește nivelul de referință va fi

$$T(\sigma(t) > \sigma^0) = \sum_{i=1}^n \delta_i \quad (4.58)$$

Iar valoarea medie a acestui timp se află aplicând operatorul liniar al așteptării matematice  $M$  relației (4.58) și trecând de la sume la integrale, făcând pe  $n \rightarrow \infty$  :

$$M[T(\sigma(t) > \sigma^0)] = \sum_{i=1}^n M[\delta_i] = \int_0^T \int_{\sigma^0}^{\infty} f(\sigma/t) d\sigma dt \quad (4.59)$$

Se face un raționament similar pentru a găsi numărul mediu al depășirilor nivelului de referință în timpul  $T$ , introducând variabilele aleatoare ajutoare :

$$n_i = \begin{cases} 1 & \text{dacă } \sigma(t_i) \geq \sigma^0 \\ 0 & \text{dacă } \sigma(t_i) < \sigma^0 \end{cases} \quad i = 1, 2, 3, \dots, n \quad (4.60)$$

Numărul total de depășiri va fi :

$$n(\sigma(t) > \sigma^0) = \sum_{i=1}^n n_i \quad (4.61)$$

Dacă se notează cu  $p(\sigma^0/t_i)$  probabilitatea saltului peste nivelul  $\sigma^0$  în momentul de timp  $t_i$ , a cărei expresie rezultă din (4.56), se obține imediat numărul mediu al depășirilor în timpul  $T$

folosind o teoremă de mediere

$$\begin{aligned} P\{\sigma^0 - \dot{\sigma}(\tau)d\tau < \sigma(\tau) < \sigma^0\} &= \\ &= \int_0^{\sigma^0} \int_{\sigma^0 - \dot{\sigma}d\tau}^{\sigma^0} f(\sigma, \dot{\sigma}/t) d\sigma d\dot{\sigma} = \\ &= d\tau \int_0^{\sigma^0} f(\sigma^0, \dot{\sigma}/t) \dot{\sigma} d\dot{\sigma} \quad (4.56) \end{aligned}$$

Fie  $T$  intervalul de înregistrare a procesului. Pe baza expresiei precedente se poate calcula timpul mediu pentru care  $\sigma(t) > \sigma^0$

Pentru aceasta se discreditează

axa  $t$ , împărțind segmentul  $T$  în  $n$  părți egale de valoare  $d\tau$  și defini-

nd sistemul de variabile aleatoare



$$M[n(\sigma(t) > \sigma^0)] = \sum_{i=1}^n M[n_i] = \sum_{i=1}^n p(\sigma^0/t_i) dt_i =$$

$$= \int_0^T \int_0^\infty \dot{\sigma} f(\sigma^0, \dot{\sigma}/t) d\dot{\sigma} dt \quad (4.62)$$

De aici se poate obține durata medie a unui salt, împărțind relația (4.59) la (4.62).

Utilizarea relațiilor obținute necesită cunoașterea densităților de probabilitate mono și bidimensionale, care de obicei nu sînt date și sînt dificil de obținut. Dacă se pleacă însă de la ipoteza că majoritatea solicitărilor variabile care apar în exploatarea vehiculelor de orice tip sînt niște procese staționare, se pot obține rezultate de mare utilitate practică. Pentru astfel de procese stabilizate în timp, durata medie a depășirilor are o valoare directă și evidentă, iar densitățile de repartiție nu mai sînt funcții de timp. Dacă se notează aceste densități de repartiție prin  $f(\sigma)$  și  $f(\sigma, \dot{\sigma})$ , se observă că integrarea după  $t$  în (4.59) și (4.62) se reduce la înmulțirea cu  $T$  și prin urmare :

$$M[T(\sigma(t) > \sigma^0)] = T \int_{\sigma^0}^\infty f(\sigma) \cdot d\sigma \quad (4.63)$$

$$M[n(\sigma(t) > \sigma^0)] = T \int_0^\infty \dot{\sigma} f(\sigma^0, \dot{\sigma}) d\dot{\sigma} \quad (4.64)$$

Dacă se împarte (4.63) la (4.64) se obține durata medie a unei depășiri.

Rezultatele obținute erau cele așteptate : timpul mediu de aflare a procesului peste nivelul dat (în timpul  $T$ ) ca și numărul mediu al depășirilor în această perioadă de timp sînt proporționale cu timpul analizat  $T$ , iar durata medie a depășirilor nu depinde de acest interval de timp. De aceea pentru procesele staționare are sens să se introducă noțiunea de număr mediu de depășiri în unitatea de timp

$$\bar{n}_{\sigma^0} = \frac{M[n(\sigma(t) > \sigma^0)]}{T} = \int_0^\infty \dot{\sigma} f(\sigma^0, \dot{\sigma}) d\dot{\sigma} \quad (4.65)$$

Cu toate acestea și în cazul proceselor staționare, pentru obținerea unor rezultate definitive numerice este necesar să fie cunoscute legile de distribuție  $f(\sigma)$  și  $f(\sigma, \dot{\sigma})$ . Formule suficient de simple și utile se obțin numai pentru procesele normale (Gauss-Laplace) pentru care legea de distribuție a ordonatelor se exprimă în mod univoc prin așteptarea matematică  $M[\sigma]$  și dispersia procesului  $D_\sigma = K_\sigma(0)$

$$f(\sigma) = \frac{1}{\sqrt{2\pi \cdot D_\sigma}} \exp \left\{ - \frac{(\sigma - M[\sigma])^2}{2 \cdot D_\sigma} \right\} \quad (4.66)$$

Dar, ordonata procesului și viteza de variație pentru același moment  $t$  sînt variabile aleatoare necorelate iar pentru procesele normale sînt și independente, deci densitatea de probabilitate bidimensională se poate scrie :

$$f(\sigma, \dot{\sigma}) = f(\sigma) \cdot f(\dot{\sigma}) \quad (4.67)$$

sau

$$f(\sigma, \dot{\sigma}) = \frac{1}{\sqrt{2\pi \cdot D_\sigma}} \exp \left\{ - \frac{(\sigma - M[\sigma])^2}{2 \cdot D_\sigma} \right\} \cdot \frac{1}{\sqrt{2\pi \cdot D_{\dot{\sigma}}}} \exp \left\{ - \frac{\dot{\sigma}^2}{2 \cdot D_{\dot{\sigma}}} \right\} \quad (4.68)$$

unde

$$D_{\dot{\sigma}} = - \left. \frac{d^2 K_\sigma(\tau)}{d\tau^2} \right|_{\tau=0} \quad (4.69)$$

$M[\dot{\sigma}] = 0$  - în urma caracterului staționar al procesului.

Pe baza relațiilor stabilite, rezultă

- numărul mediu de depășiri în unitatea de timp [din (4.65)]

$$\bar{n}_\sigma = \frac{1}{2\pi} \sqrt{\frac{D_{\dot{\sigma}}}{D_\sigma}} \exp \left\{ - \frac{(\sigma^0 - M[\sigma])^2}{2 \cdot D_\sigma} \right\} \quad (4.70)$$

- durata medie a unei depășiri [din (4.63) și (4.64)]

$$\bar{\tau} = \frac{\int_{\sigma^0}^{\infty} f(\sigma) d\sigma}{\int_0^{\infty} \dot{\sigma} \cdot f(\sigma^0, \dot{\sigma}) d\dot{\sigma}} = \pi \sqrt{\frac{D_{\dot{\sigma}}}{D_\sigma}} \exp \left\{ \frac{(\sigma^0 - M[\sigma])^2}{2 \cdot D_\sigma} \right\} \left[ 1 - \Phi \left( \frac{\sigma^0 - M[\sigma]}{D_\sigma} \right) \right] \quad (4.71)$$

unde

$\Phi(\ )$  - funcția integrală a lui Laplace.

Este util de observat că pentru procesele staționare și normale, rezolvarea problemelor formulate în acest paragraf, necesită numai cunoașterea formei analitice a funcției de autocorelație a variației aleatoare în timp a tensiunilor din secțiunea analizată.

#### 4.4. O nouă teorie de degradare cu considerarea influenței suprasolicităților

4.4.1. Suprasolicități. Curbe French. Existența suprasolicităților nepericuloase este o problemă actualmente controversată în literatură, curba French (1933) fiind atribuită unei interpretări statistice incomplete a rezultatelor experimentale. Totuși, rezultate experimentale mai recente, printre care și cele ale autorului te-

zei, prezentate în cap.6 [486]<sup>x)</sup>, precum și lucrări ale unor personalități științifice : ODING [355],[356], IVANOVA [249],[251], NADASAN [347],[348], BUZDUGAN [72], SERENSEN [417] etc. nu neaga faptul că suprasolicitările de scurtă durată pot să nu influențeze limita de rezistență la oboseală a materialului (de aceea PONOMARIOV le numește **s u p r a s o l i c i t ă r i a d m i s i b i l e**). De altfel, sub aspect fizic, curba limită a suprasolicitărilor nepericuloase poate fi interpretată ca un loc geometric al punctelor din planul diagramei ( $\sigma$ - $N$ ) în care cele două efecte de întărire și destrămare se găsesc în echilibru.

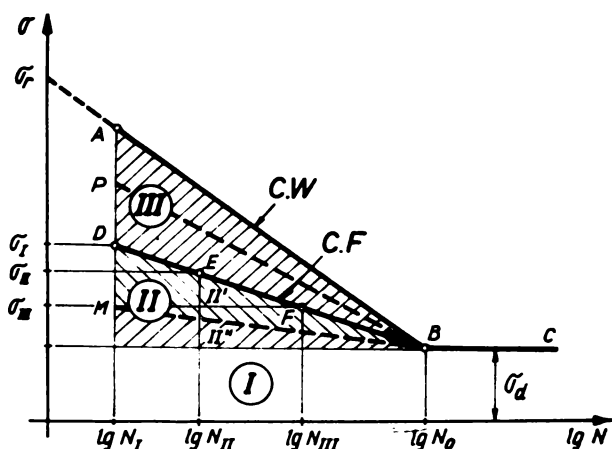


Fig.4.8

Curba Wöhler (C.W.), curba French (C.F.) și zonele determinate în planul ( $\sigma$ - $N$ )

În această zonă de degradare propriu zisă este zona III, curba Wöhler (C.W.) indicând solicitările la care ruperea se produce fără o suprasolicitare inițială, în măsura în care se neglijează variabilitatea statistică.

Mai mult, cercetări mai amănunțite au subdivizat cele două zone, ceea ce confirmă încă odată existența C.F. Astfel în zona II se poate determina linia MB a suprasolicitărilor care au ca efect creșterea maximă a rezistenței la oboseală, numite **s u p r a s o l i c i t ă r i f a v o r a b i l e**. ST. NADASAN [348] pag.102) numește dreapta MB **l i n i a d e f e c t ă r i l o r l a t e n t e** și mai introduce în domeniul III o dreaptă MB pe care o numește **l i n i a d e f e c t ă r i -**

x) [486] LOBRI I.: Untersuchungen über die dauerhaltbarkeit von dünnwandigen geschweißten rohren aus weichstahl. Lucrările "Sesiunii științifice jubiliare" a Școlii superioare tehnice din Brno - R.S.Cehoslovacia, 9-13 iunie 1975, p.1-4

lor permanente. De altfel aceste elemente sînt susținute de cunoscutele experiențe ale lui BAHAREV (redate și de S.D.PONCIARIOV) efectuate cu spectre cu două nivele.

4.4.2. Curbe de oboseală. Rezolvarea unei probleme de predicție a durabilității necesită în mod obligatoriu cunoașterea expresiei analitice a curbei Săler, cu zona de dispersie aferentă în cazul introducerii criteriilor probabilistice, deoarece de pe această diagramă se poate determina fie rezerva de durabilitate, fie valoarea durabilității la un anumit nivel de solicitare.

Pentru obținerea unor forme convenabile aproximărilor analitice, s-au utilizat diverse sisteme de coordonate ca de exemplu  $(N, \sigma)$ ;  $(\lg N, \sigma)$ ;  $(\lg N, \lg \sigma)$ ;  $(\text{arc sin } \sqrt{P}, \sigma)$ ;  $(\text{arc tg } \sqrt{N_0} \sqrt{N}, \lg \sigma)$  etc., cele mai răspândite fiind sistemul semilogaritmice și dublulogaritmice, în care curba Săler se apropie de o dreaptă, ceea ce sugerează existența unei dependențe exponențiale. În aceste condiții, în literatură s-au folosit diverse formule empirice de aproximare a curbei Săler, care au în general cam aceeași structură, ca de exemplu: SÄLER (1870):  $\log N = a - b\sigma$ ; BASQUIN (1910):  $\log N = a - b \log \sigma$ ; STROMAYER (1914):  $\log N = a - b \log(\sigma - \sigma_{-1})$ ; PALMGREN (1924):  $\log(N+B) = a - b \log(\sigma - \sigma_{-1})$ ; WEIBULL (1949):  $\log(N+B) = a - b \log \frac{\sigma - \sigma_{-1}}{\sigma_r - \sigma_{-1}}$  sau  $\sigma = \sigma_{-1} + b(N+B)^{-1/b}$ ; SØRENSEN (1955):  $(N_1 - N_{10})(\sigma_1 - \sigma_{-1})^m = C$ ; MADAYAG (reluarea unor relații mai vechi):  $\frac{1}{N} = (\frac{\sigma_r}{\sigma})^b$ ; SØRENSEN (1955):  $\frac{\sigma - \sigma_d}{\sigma_r - \sigma} = C \cdot N^{-a}$ ; HEYWOOD:  $\frac{\sigma}{\sigma_r} = \frac{1 + K_1(\lg N)^4}{1 + K_2(\lg N)^4}$ ; NISHIHARA și YAMADA:  $\frac{1}{N} = e^{A\sigma + B}$ ; CIOCILOV (1972):  $\lg \left( \frac{\sigma_r - \sigma}{\sigma_r - \sigma_d} \right) = \frac{-C}{(N - N^*)^a}$  unde a, b, A, B, C - constante determinate de pe curba de oboseală care sînt de fapt parametri de ajustare a datelor experimentale;  $N_{10}$  - pragul de sensibilitate;  $N_r$  - numărul de cicluri la rupere asociat cu o tensiune maximă de referință  $\sigma_r$ . De altfel forma analitică adoptată pentru aproximarea curbei de oboseală, influențează foarte puțin calculele ulterioare, iar parametri de material specifici determinați experimental care intervin în relații limitează orice tentativă de generalizare.

4.4.3. Bazele și metodologia noului criteriu<sup>x)</sup>. Pe baza ce-

<sup>x)</sup> [511] 1977 I.: Considerații noi privind degradarea cumulativă a metalelor sub acțiunea solicitărilor variabile. În curs de publicare. Lucrările sesiunii științifice ASIT-Brașov, 1976

lor afirmate, pornind de la recunoașterea existenței și necesității celor două curbe: C.W și C.F pentru caracterizarea comportării materialului la solicitări variabile, autorul a conceput o metodologie de calcul a durabilității remanente a unui element de rezistență supus acțiunii unui spectru de solicitări staționar care ia în considerare faptul că o parte din solicitări, ce depășesc limita de oboseală dar sînt sub C.F, nu influențează durabilitatea acestuia. S-a menținut definiția degradării ca raportul liniar al ciclurilor dar s-a modificat corespunzător numărul de cicluri al solicitării efective relativ la un anumit nivel al stării de tensiune, pentru a cuprinde efectul amintit.

Pentru caracterizarea analitică a datelor experimentale se vor utiliza relații de forma :

$$(C.W) : N(\sigma - \sigma_d)^{m_w} = C_w \quad (4.72)$$

$$(C.F) : N(\sigma - \sigma_d)^{m_f} = C_f \quad (4.73)$$

cu variație asimptotică pentru  $\sigma \rightarrow \sigma_d \Rightarrow N \rightarrow \infty$

unde

$\sigma$  - amplitudinea tensiunii

$\sigma_d$  - rezistența la oboseală corespunzătoare durabilității  $N_0$

$N$  - durabilitatea în cicluri

$m_w, m_f, C_w, C_f$  - parametrii de ajustare determinați din datele experimentale cu

$$m_w = \frac{\lg N_w^{**} - \lg N_w^*}{\lg(\sigma_w^* - \sigma_d) - \lg(\sigma_w^{**} - \sigma_d)} \quad (4.74)$$

$$C_w = N_w^* (\sigma_w^* - \sigma_d)^{m_w} \quad (4.75)$$

și  $(N_w^*, \sigma_w^*), (N_w^{**}, \sigma_w^{**})$  două puncte de reper pe dreapta reprezentativă a curbei Wöhler. Relații similare se obțin și pentru curba French.

Se admite că procesul de variație în timp a tensiunilor măsurat într-o anumită secțiune a elementului de rezistență studiat, este staționar și normal și că, așa cum se întîmplă de obicei în practică, se dispune de o înregistrare a lui, în condiții reale de exploatare. Pentru un astfel de proces, pe baza ipotezei de ergodicitate (v.cap.2) se poate determina o funcție de autocorelație de tipul

$$K_\sigma(\tau) = D_\sigma \cdot e^{-\alpha|\tau|} (\cos \beta\tau + \frac{\alpha}{\beta} \sin \beta|\tau|) \quad (4.76)$$

unde

$$D_\sigma = K_\sigma(0)$$

$\alpha, \beta$  - parametrii cunoscuți (determinați pe baza experiențelor)

$$D_{\dot{\sigma}} = - \frac{d^2 \cdot K_{\sigma}(\tau)}{d\tau^2} \Big|_{\tau=0} = D_{\sigma}(\alpha^2 + \beta^2) \quad (4.77)$$

Procedeeul de calcul este secvențial și poate fi urmărit pe fig.4.9. El cuprinde două tipuri distincte de nivele de tensiuni în funcție de valorile concrete ale supratensiunilor care apar în spectrul analizat.

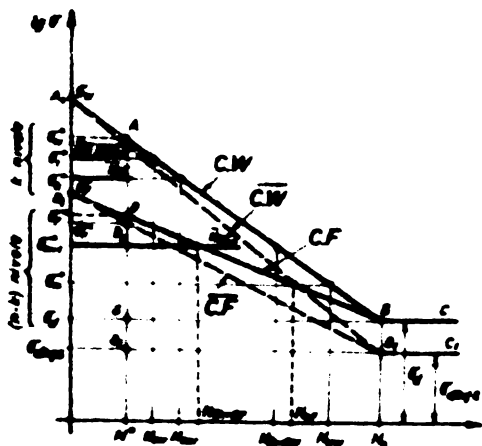


Fig.4.9

simplificarea aplicării noii metodologii pentru calculul durabilității

perantă. De obicei însă, în marea majoritate a spectrelor apariția unor supratensiuni așa de mari, este mai puțin probabilă.

a) Tensiuni cuprinse între valorile corespunzătoare punctelor A și B (v.fig. 4.9),  $\sigma_i^* < \sigma_i^0 < \sigma_i^*$ ,  $i = 1, 2, \dots, k$ , determinând un număr de K nivele. Alegerea treptei de tensiune între nivele, trebuie astfel făcută încât creșterea numărului mediu de cicluri să fie semnificativă, în spectrul analizat trebuind să apară de la nivel la nivel, noi trepte de solicitare, altfel metoda este in-

corespunzător nivelului  $\sigma_1^0$ , numărul mediu de depășiri în unitatea de timp este

$$\bar{n}_{\sigma_1} = \int_0^{\infty} \dot{\sigma} f(\sigma_1^0, \dot{\sigma}) d\dot{\sigma} = \frac{1}{2\pi} \sqrt{\frac{D_{\dot{\sigma}}}{D_{\sigma}}} \exp \left\{ - \frac{(\sigma_1^0 - M[\sigma])^2}{2 \cdot D_{\sigma}} \right\} \quad (4.78)$$

Numărul mediu total de depășiri în timpul  $T_0$  [s], care reprezintă durata echivalentă de funcționare a piesei sau construcției examinate, este

$$N_{\sigma_1} = \bar{n}_{\sigma_1} \cdot T_0 \quad (4.79)$$

În acest caz degradarea pe ciclu echivalent se definește în concordanță cu criteriul Miner

$$\delta_1 = \frac{N_{\sigma_1}}{N_{lw}} \quad (4.80)$$

unde

$$N_{lw} = \frac{C}{(\sigma_1^0 - \sigma_d)^{m_w}} \quad (4.81)$$

corespunzător nivelului următor de tensiune  $\sigma_2^0$ , degradarea se definește astfel încât să se țină cont de influența unui număr de cicluri relative la primul nivel de tensiune a fost luată în considerare în prima secvență, deci

$$\delta_2 = \frac{\bar{N}\sigma_2^o - \bar{N}\sigma_1^o}{N_{2w}} \Rightarrow \delta_i = \frac{\bar{N}\sigma_i^o - \bar{N}\sigma_{i-1}^o}{N_{1w}}, \quad (i=1,2,\dots,k) \quad (4.82)$$

Degradarea totală corespunzătoare secvențelor considerate în acest domeniu de variație a tensiunilor va fi :

$$D_1 = \sum_{i=1}^k \delta_i \quad (4.83)$$

b) Tensiuni cuprinse între valorile corespunzătoare punctelor D și S (v.fig.4.9),  $\sigma_d < \sigma_j^o < \sigma_F^*$ ,  $j=(k+1), \dots, n$  considerate în număr de  $(n-k)$  nivele. În acest domeniu definiția degradării pe ciclu se face în mod fundamental diferit, deoarece nu se va lua în considerare influența stărilor de tensiune din domeniul II

$$\delta_j = \frac{(\bar{N}\sigma_j^o - \bar{N}\sigma_{j-1}^o) - N_{jF}}{N_{jw}}, \quad j=(k+1), \dots, n \quad (4.84)$$

Dacă  $\delta_j$  rezultă negativ, se mărește diferența dintre tensiunile celor două nivele consecutive considerate  $(j-1)$ ,  $j$ . Degradarea produsă de cele  $(n-k)$  nivele din acest domeniu de variație a tensiunilor, va fi

$$D_2 = \sum_{j=k+1}^n \delta_j \quad (4.85)$$

În final, degradarea totală a probei sub acțiunea spectrului considerat va fi :

$$D = D_1 + D_2 \quad (4.86)$$

iar rezerva de durabilitate  $(1-D)$ .

Pornind de la această valoare a durabilității se poate defini un coeficient de siguranță

$$C = \frac{1}{D} \quad (4.87)$$

relativ la durata de viață a probei sub acțiunea spectrului dat.

Mai trebuie să remarcăm că dacă se fac calculele pentru o piesă cu un anumit diametru, un anumit sistem de concentratori, o anumită stare a suprafeței etc. și se poate determina rezistența la oboseala a acestei piese,  $\sigma_{dkf\epsilon}$ , atunci cele două curbe de durabilitate (C.D. și C.F) se modifică ca în fig.4.9 (curbele punctate :  $A_1B_1C_1$  (C.D) și  $D_1B_1C_1$  (C.F) pornind de la ipoteza că elementele amintite nu influențează caracteristicile mecanice statice și generalizând prin simetrie obținerea punctului  $D_1$ .

Pentru a lua în considerare variabilitatea statistică a fenomenului, pe baza unor determinări clasice complete, se pot ridica curbe de izoproabilitate, afectând mărimile care s-au introdus, cu un indice  $P$ , reprezentând nivelul de probabilitate cu care se lucrează.

**4.4.4. Aplicații la calculul de durabilitate al structurilor.** Numărul mare de factori care influențează comportarea la oboseală și durabilitatea unei structuri de rezistență, face ca transpunerea rezultatelor încercărilor de material efectuate pe epruvete standardă și în condiții prescrise, să nu asigure un grad de încredere satisfăcător. În cazul structurilor se schimbă chiar mecanismele intime de cumulare a degradărilor. Pe lângă condițiile de mediu, au influențe determinante, dimensiunile și concentratorii de tensiune, gradul de pluriaxialitate al stărilor de tensiune, gradul de nedeterminare, tensiunile remanente, modul de asamblare și de prelucrare a elementelor componente și multe altele. Pentru stabilirea influenței tuturor acestor parametri, există în literatură efectuate studii sistematice a căror sinteză este redată destul de complet de M. BUZDUGAN [72], [75], D. CIOCLOV [91], [498], ST. NADASAN [347], [348] (citind numai literatura românească). Pe baza corelațiilor care se stabilesc cu caracteristicile de material, se încearcă introducerea, în relațiile de calcul, a unor factori de corecție care să țină cont de particularitățile specifice structurii analizate. Cu toate acestea PRUDENTIAL (v. [75]) afirmă că sînt necesare minimum trei încercări pe structuri în mărime naturală, în condiții reale de funcționare, pentru a se putea face predicția durabilității cu oarecare certitudine. Există însă foarte multe cazuri de produse unice sau foarte scumpe cînd încercările experimentale devin prohibitive economic sau sînt imposibile, ceea ce impune o verificare analitică a siguranței.

În studiul structurilor de rezistență din construcția vehiculelor, pornind de la cerințele industriei aerospațiale, s-au dezvoltat două metode - principial diferite - pentru calculul analitic și/sau determinarea experimentală a siguranței în exploatare. Metoda durabilității garantate, pornește de la asigurarea, cu o probabilitate foarte ridicată, a funcționării fără cedare a structurii pe tot timpul duratei de exploatare; metoda degradării controlabile, admite ca într-o structură să apară cu o probabilitate suficient de scăzută o degradare parțială, ușor detectabilă, care are o viteză



de extindere suficient de mică pentru ca între două inspecții curente să nu afecteze capacitatea portantă a structurii (v. [498]).

Indiferent de metoda, pentru calculul durabilității trebuie să se explicitizeze formele analitice (de obicei empirice) pentru factorii de influență care în general intervin în calcule prin modificarea rezistenței la oboseală :  $\sigma_d \rightarrow \sigma_{dkj\epsilon}$ . În această privință se acceptă metodologia clasică, amplu analizată în tratatele de rezistență materialelor sau în monografiile amintite, care pot fi sintetizate sub forma :

$$\sigma_{dkj\epsilon} = \frac{\sigma_d}{(K_\sigma)_L} \quad (4.88)$$

Urmărind fig.4.9 se găsesc cu ușurință coordonatele punctelor  $A_1$  și  $D_1$  pornind de la ecuațiile (4.72) și (4.73) :

$$N(\sigma - \sigma_d)^{m_w} = C_w \Rightarrow \lg N + m_w \lg(\sigma - \sigma_d) = \lg C_w .$$

Dacă

$$\lg N = 0 \Rightarrow \lg(\sigma - \sigma_d)^{m_w} = \lg C_w \Rightarrow (\sigma - \sigma_d)^{m_w} = C_w .$$

De aici rezultă imediat

$$\sigma_w = \sigma_d + \sqrt[m_w]{C_w} ; \quad \sigma_F = \sigma_d + \sqrt[m_F]{C_F} \quad (4.89)$$

Ecuația curbei Wöhler modificate ( $\overline{CF}$  - dreapta  $A_1B_1$ ) se scrie cu ușurință

$$\frac{\lg \sigma - \lg \sigma_w}{\lg \sigma_{dkj\epsilon} - \lg \sigma_w} = \frac{\lg N}{\lg N_0} \quad (4.90)$$

și poate fi pusă sub forma :

$$\sigma^{a_1} = b_1 \cdot N^{c_1} \quad (4.91)$$

unde

$$a_1 = \lg N_0 ; \quad \lg b_1 = (\lg N_0) \cdot (\lg \sigma_w) ; \quad c_1 = \lg \sigma_{dkj\epsilon} - \lg \sigma_w \quad (4.92)$$

Ordonata punctului  $A_2$  este

$$\overline{\sigma}_w^* = \sqrt[a_1]{b_1 (N^*)^{c_1}} \quad (4.93)$$

Se procedează în mod analog pentru curba French modificată ( $\overline{CF}$ ) obținându-se relații intrutotul similare.

x) [507] BOLANTU L.; DOBRU I.: Die Wahrscheinlichkeitsberechnung des Masstabfaktors in der untersuchung der statischen festigkeitswerte von stählen. Publicată în lucrările "osiunii științifice jubiliare" a Școlii superioare tehnice din Brno - C.S. Cehoslovacia, 9-13 iunie 1975, p.1-12

$$\sigma^{a_2} = b_2 \cdot N^{c_2} \quad (4.94)$$

unde

$$a_2 = \lg N_0 = a_1 ; \lg b_2 = (\lg N_0) \cdot (\lg \sigma_F) ; c_2 = (\lg \sigma_{dk\gamma\epsilon} - \lg \sigma_F) \quad (4.95)$$

deci

$$\bar{\sigma}_F^* = \sqrt{a_2} \cdot b_2 (N^*)^{c_2} \quad (4.96)$$

Avind aceste elemente calculul - în continuare - este întru-totul analog cu cel care a fost prezentat în paragraful anterior.

#### 4.5. Concluzii

Continuind linia formulată în cap.I, în cadrul acestui capitol s-a trecut la un studiu al comportării structurilor de rezistență - în general - din punctul de vedere al mecanicii solidului deformabil. Excepțind situațiile catastrofale de apariție a unor suprasolicitări mari care să conducă la distrugerea intempestivă a structurii, efectul dominant al inducerii unor stări de tensiune variabile, este apariția fenomenului de oboseală. Acest fapt impune ca în studiul unor asemenea structuri chiar în faza de proiectare și mai ales la cercetarea experimentală a prototipurilor să se poată face predicții de durabilitate, necesare în studiul siguranței și fiabilității structurii.

Pentru a se ajunge la obținerea unor elemente concrete și utile pentru scopul propus, în cadrul acestui capitol s-au obținut următoarele rezultate :

- s-a reușit să se caracterizeze, sub aspectul cel mai general, stadiul actual al cercetărilor în domeniul teoriei degradărilor cumulative, desprinzând din mulțimea de informații cuprinsă într-o vastă literatură dedicată acestui fenomen, elementele fundamentale care constituie singurele rezultate certe ale cercetării, obținute pînă în prezent (3.4.1);

- se face o analiză critică pertinentă a celor mai reprezentative teorii de degradare întîlnite în literatură, evidențind faptul că teoriile formale, liniare sau neliniare, nu aduc o îmbunătățire consistentă a teoriei clasice a lui Miner, restul teoriilor fiind greu de aplicat și necesitînd investigații experimentale complexe și dificile (3.4.2);

- pe baza acestor analize complexe, se formulează o nouă teorie de degradare, calculînd degradarea pe ciclu tot ca "raportul liniar" al ciclurilor, scuzînd însă influența acelor suprasoli-

citări din spectru care sînt sub curba French, în condițiile în care se poate defini un ciclu într-un spectru aleator. Pe baza acestor accepțiuni s-a conceput o metodologie secvențială pentru calculul durabilității sau coeficientului de siguranță în cazul unei epruvete în care spectrul stării de tensiune poate fi asimilat cu un proces stohastic staționar și ergodic pentru care se poate stabili expresia analitică a funcției de autocorelație:

- s-a arătat că, dacă se cunoaște funcția de autocorelație a spectrului, în ipoteza de normalitate a procesului (care implică independența funcțiilor de distribuție a probabilităților ale tensiunilor și derivatele lor) se poate determina numărul mediu al depășirilor unui anumit nivel de referință, ceea ce ne permite să transpunem în "cicluri echivalente" spectrul dat, în cadrul ipotezei formulate;

- utilizînd aceste elemente s-a aplicat teoria și metodologia formulată, pentru cazul structurilor ; noua situație incumbă două ipoteze noi : considerarea rezistențelor la oboseală modificate, în accepțiunea clasică și convergența curbelor de durabilitate în punctul reprezentativ al sollicitărilor statice.

În felul acesta calculul a fost condus pînă la forma finală care răspunde dezideratelor formulate în primul capitol.

## PARTEA A DOUA

### CAPITOLUL 5

#### ANALIZA STABILITĂȚII DE TENSIUNE DIN STRUCTURILE DE REZISTENȚĂ ALE BOGHIEI TIP Y25 - Cs și BICICLETEI TIP TOHAN

##### 5.1. Elemente inițiale de calcul

5.1.1. Introducere. În funcție de cererile efective primite din partea întreprinderilor productive și de posibilitățile de măsurare disponibile, aplicațiile și investigațiile experimentale au fost efectuate pe două structuri de vehicule : un cadru de boghiu pentru vagoanele de marfă, tip Y25 - Cs și cadre de biciclete tip Tohan [38], [42]. Măsurătorile experimentale au fost coroborate cu un ansamblu de calcule teoretice relativ complete, posibile datorită utilizării calculatoarelor în rezolvarea sistemelor de ecuații de condiție. În literatura cercetată de autor, privind efectuarea unor asemenea calcule, s-au găsit numai lucrările lui I. DEUTSCH [125] și M. BUGA [61], [62] abordând însă sub alte aspecte această problemă. De aceea se consideră că pe lângă utilitatea și aplicabilitatea imediată a rezultatelor obținute, lucrările efectuate de către un colectiv de cadre didactice de la disciplina de Rezistența materialelor, a cărui îndrumare directă a avut-o autorul tezei, aduc un plus de noutate în metodica și mod de abordare a problemei. Aceasta cu atât mai mult cu cât literatura consacrată materialului rulant [116], [154], [224 vol. III], [245], [330], [451], [472], [474] prezintă metode și recomandări privind evaluarea sarcinilor și calculul de rezistență al boghiurilor, fără a face precizări care să explice rezultatele obținute, deși studiile experimentale [61], [62], [224] au arătat diferențe mari între valorile calculate și efective

---

[38] BOLANIG L.; LOBRU I.: Determinarea eforturilor specifice la patru tipuri de biciclete sub acțiunea sarcinilor statice și dinamice. Protocol, beneficiar : Uzina "6 Martie" - Zărnești Braș v, 1967, 137 pag.

[42] BOLANIG L.; LOBRU I.; NEGRU N.; I. BĂNICIU T.; JUNG L.; DUMITRU I.: Calculul de rezistență al boghiului Y25 - Cs. Protocol, beneficiar : Uzina de vagoane Arad, 1972, 343 pag.

în ceea ce privește distribuția și mărimea tensiunilor.

5.1.2. Date constructive. Boghiul Y25-Cs este compus dintr-un cadru care se sprijină pe cutiile de unsoare prin intermediul unei suspensii formată din arcuri elicoidale și dintr-un dispozitiv de amortizare cu frecare [45]. Cadrul boghiului (v.fig.5.1 și Anexa 2) este format din lonjeroanele mari 1, traversa crapodinei 2, lonjeroanele mici 3 și traversele frontale 4, executate din tablă sau profile laminate, ansamblate prin sudură.

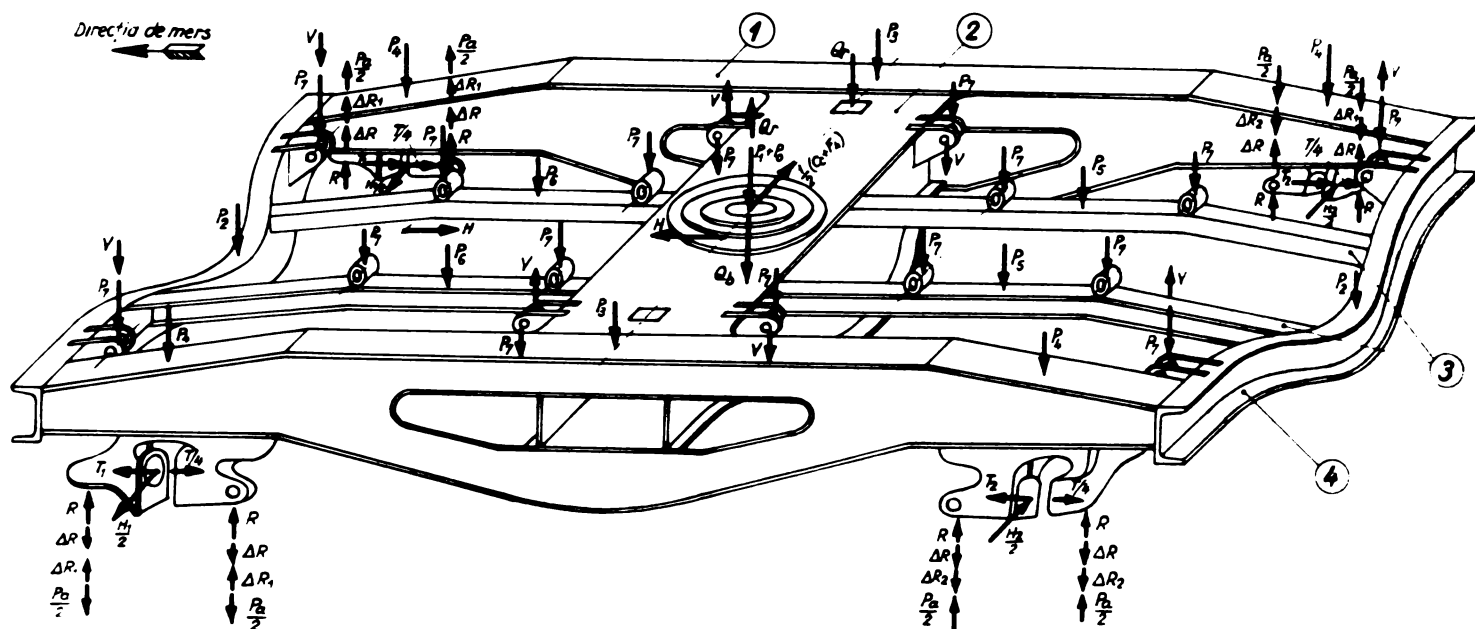


Fig.5.1

Cadrul boghiului Y25-Cs. Elemente constructive-sarcini

Cadrul de bicicletă este - evident - o structură mai simplă, executată din țevă, cu noduri realizate prin sudură sau brazare (v.fig.5.42). Problematika de calcul și proiectare ridică principial aceleași dificultăți ca pentru orice vehicul rutier sau de cale deoarece este tot o construcție hiperstatică, pe reazeme elastice, supusă la o gamă variată de sarcini statice și dinamice, deobicei aleatorii.

5.1.3. Ipoteze de lucru [46].

a. Toate elementele boghiului sînt cuprinse într-un plan orizontal pe care-l vom numi plan neutru și care trece prin centrele de greutate ale majorității secțiunilor transversale. Ipoteza este sugerată de faptul că grinzile strîmbe au rigidități relativ

[45] BOLANTEU L., DOBRE I., MĂGUT N., IANĂICIU T.: Calculul de rezistență al unui cadru de boghiu pentru vagoane de marfă. Calculul încărcărilor. Revista căilor ferate române, Anul III(oo) Nr.1 (768), 1973, p.26-36

mici în comparație cu celelalte, iar excentricitățile față de planul considerat sînt de asemenea relativ mici.

b. Pentru cadrele de biciclete se acceptă un plan de simetrie longitudinală, vertical, care este și planul forțelor.

c. Grinzile componente ale ambelor structuri au fost reduse la axele lor geometrice plane neglijînd curbura cu rază mare de curbura.

Astfel, în final forma reală a boghiului a fost redusă la un cadru plan (fig.5.2,a) cu șase contururi rigide închise rezemat

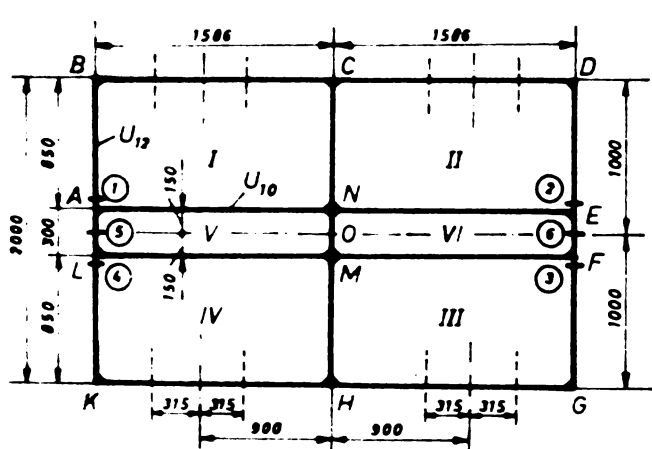


Fig.5.2,a

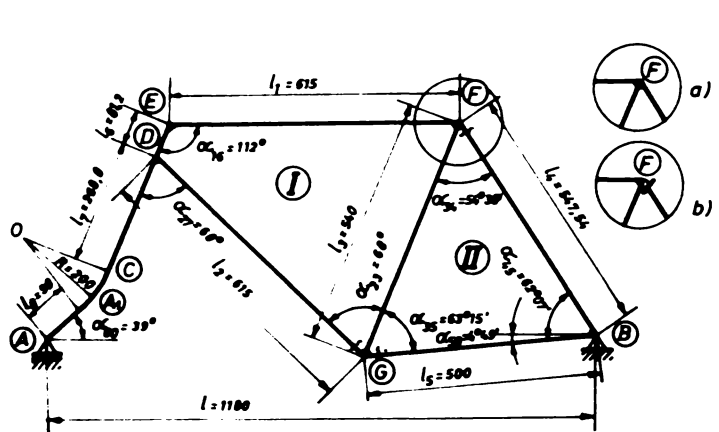


Fig.5.2,b

Scheme finale de calcul

pe opt reazeme simple elastice și încărcat cu forțe și momente concentrate, perpendiculare pe planul boghiului sau cuprinse în planul său ceea ce păstrează caracterul spațial al problemei. Cadrul de bicicletă (fig.5.2,b) a fost redus la o structură plană cu două contururi închise, simplu rezemată, încărcată cu forțe concentrate cuprinse în planul său.

5.2. Calculul forțelor exterioare pentru diverse regimuri de funcționare

Cazul A : boghiul Y25-Ca [43],[45]. În timpul circulației

[46] BOLEANTU L., DOBRE I., IEREMICIU T., DUMITRU I., NEGUT N., JUNG E.: Ipoteze fundamentale la calculul de rezistență al unui cadru de boghiu pentru vagoane de marfă. Caracteristici geometrice. Diagrame de eforturi pentru sistemul de bază. Revista căilor ferate române, Anul III(60), Nr.10 (777), 1973, pg.586-59

[43] BOLEANTU L., DOBRE I., NEGUT N., IEREMICIU T., JUNG E., DUMITRU I.: Studiul stării de tensiune din cadrul unui boghiu Y25-Ca la regim de frînare în aliniament. Lucrările conferinței : "Construcții, tehnologii și procedee tehnologice noi în domeniul materialului rulant tractat", Arad, 10 noiembrie 1972, pag.44-59

vagonului, asupra boghiului acționează un sistem complex de sarcini verticale și orizontale, laterale și longitudinale, cu caracter permanent sau accidentale, cu variație lentă sau bruscă etc. La rândul lor, mărimea și repartizarea sarcinilor transmise elementelor de rezistență ale cadrului boghiului sînt influențate de denivelările căii, de inegalitățile rigidității și săgeților de fabricație ale arcurilor, de abaterile diferite ale suprafețelor de rezemare a arcurilor, de supraînălțarea căii etc. Dar faptul că toate aceste elemente și încărcări nu intervin simultan cu valorile lor maxime, impune o analiză separată pentru stabilirea regimurilor celor mai defavorabile.

5.2.1. Sarcina statică verticală. Principala sarcină statică verticală care solicită cadrul boghiului, notată cu  $P_0$ , provine din greutatea cutiei și încărcăturii utile, care se transmite direct pe cele două boghiuri prin ansamblul pivot-crapodină.

$$P_0 = \frac{G_c}{2} = \frac{G_v - 2 \cdot G_b}{2} \quad (5.1)$$

unde

$G_c$  - greutatea cutiei încărcate

$G_v = 4 \cdot Q$  - greutatea vagonului, considerînd sarcina pe o sie  $Q = 210 \text{ kN}$

$G_b$  - greutatea unui boghiu ( $G_b = 4658 \text{ daN}$ )

Rezultă  $P_0 = 37342 \text{ daN}$ . Se adaugă greutatea proprii  $P_1 \dots P_7$  (fig. 5.3).

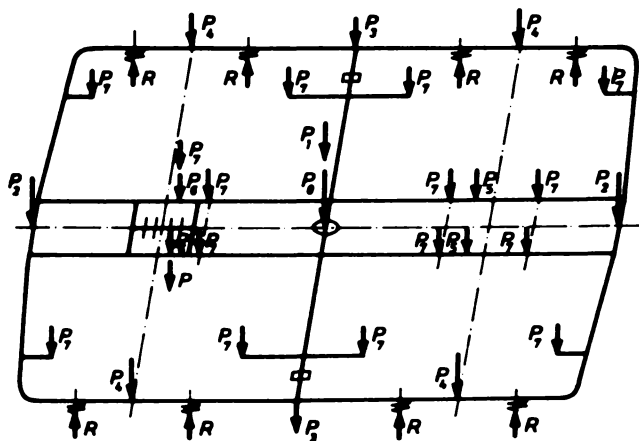


Fig. 5.3

Sarcina statică verticală

5.2.2. Inscrierea dinamică a boghiului în curbă [44].

Asupra boghiului acționează: forța directoare ( $Y_1$ ), forța centrifugă ( $C$ ), forța datorită presiunii vîntului ( $F_v$ ) și forțele de frecare ( $F_f$ ). Ele se determină din condițiile echilibrului boghiului, stabilite pentru cele trei poziții pe care le

poate ocupa acestă la circulația în curbă: poziția în diagonală,

[44] BOLBANTU L., DOBRE I., NEGUT N., IEREMICIU T., JUNG E., DUMITRU I.: Eforturi și tensiuni la inscrierea în curbă, în elementele unui boghiu Y25-Cs. Lucrările conferinței "Construcția, tehnologia și procedee tehnologice noi în domeniul materialului rulant tractat", Arad, 10 noiembrie 1972, pag. 59-72.

poziția intermediară și poziția în coardă.

Calculul acestor forțe s-a efectuat pe baza unor ipoteze prezentate în [443] pentru două cazuri distincte de exploatare :

- circulația în curba cu raza minimă  $R_c = 150$  m la viteza critică,

- circulația la viteza maximă  $v = 120$  km/h, în curba de rază minimă în care se poate circula cu această viteză ( $R_c = 800$  m).

5.2.2.1. Inscrierea în curba de rază  $R_c = 150$  m.

a. Poziția în diagonală. Ecuațiile de echilibru, cu notațiile din fig.5.4 sînt

$$\left. \begin{aligned} \sum V = 0 &\Rightarrow Y_1 - Y_2 - C - F_v - 2 F_f \sum_{i=1}^2 \cos \theta_i = 0 \\ (\sum M)_P = 0 &\Rightarrow Y_1 \cdot x_{\max} - Y_2(x_{\max} - l) - (C + F_v)(x_{\max} - \frac{l}{2}) - 2F_f \sum_{i=1}^2 z_i = 0 \end{aligned} \right\} (5.2)$$

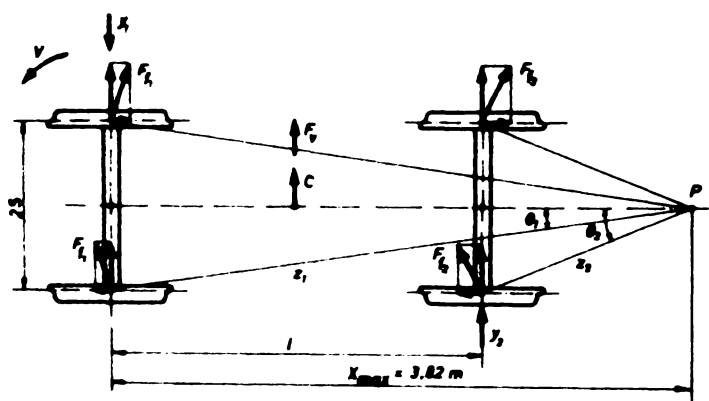


Fig.5.4

Poziția în diagonală a boghiului

$$\left. \begin{aligned} \text{în care} \\ 2 F_f &= \mu Q \\ C &= \frac{1}{2} \frac{G_v}{g} \left( \frac{v^2}{R} - \frac{gh}{2S} \right) \\ F_v &= \frac{1}{2} S_l p_v \end{aligned} \right\} (5.3)$$

$\mu = 0,25$  - coeficientul de frecare dintre roată și șină [443]  
 $h = 0,085$  m - supraînălțarea șinei exterioare în curba dată [473]

$S = 60$  m<sup>2</sup> - suprafața peretelui lateral al celei mai mari cutii  
 $p_v = 50$  daN/m<sup>2</sup> - presiunea vîntului lateral ([330] pag.11 și [451] pag.67)

Pentru trasarea pașaportului dinamic orizontal, interesează distanța polară  $x'_{\max}$  corespunzătoare vitezei  $v = 0$ . Din sistemul (5.2) se obține :

$$Y_2 = - \left[ \frac{C + F_v}{2} - \frac{2 \cdot F_f}{l} \left( \sum_{i=1}^2 z_i - x \sum_{i=1}^2 \cos \theta_i \right) \right] \quad (5.4)$$

Din condiția  $Y_2 = 0$ , rezultă

$$v^2 = \left\{ \frac{gh}{2S} + \frac{2a}{G_v} \left[ \frac{4F_f}{l} \left( \sum_{i=1}^2 z_i - x \sum_{i=1}^2 \cos \theta_i \right) - F_v \right] \right\} R_c \quad (5.5)$$

În fig.5.5 s-a reprezentat graficul funcției (5.5),  $v^2 = f(x)$ ,



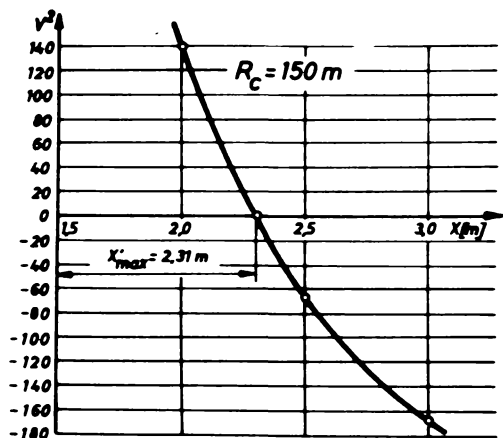


Fig.5.5

Determinarea distanței polare maxime pentru  $R_c = 150$  m (5.5)

din care rezultă  $x'_{max} = 2,31$  m.

b. Poziția în coardă. Ecuațiile de echilibru (fig.5.6)

$$\left. \begin{aligned} \sum V = 0 &\Rightarrow Y_1 + Y_2 - C - F_v - \\ &- 2 F_f \sum_{i=1}^2 \cos \theta_i = 0 \\ (\sum M)_P = 0 &\Rightarrow Y_1 \cdot x_{min} - Y_2 \cdot x_{min} - \\ &- 2 F_f \sum_{i=1}^2 z_i = 0 \end{aligned} \right\} (5.6)$$

Valoarea minimă a vitezei,  $v_c$ , de la care boghiul ocupă poziția în coardă, se determină din condiția  $Y_2 = 0$ ; se obține  $v_c = 22,6$  m/s.

Expresiile analitice ale forțelor directoare devin

$$\left. \begin{aligned} Y_1 &= 14,275 v^2 + 6405 \\ Y_2 &= 14,275 v^2 - 7285 \end{aligned} \right\} (5.7)$$

și împreună cu C sînt reprezentate în fig.5.7.

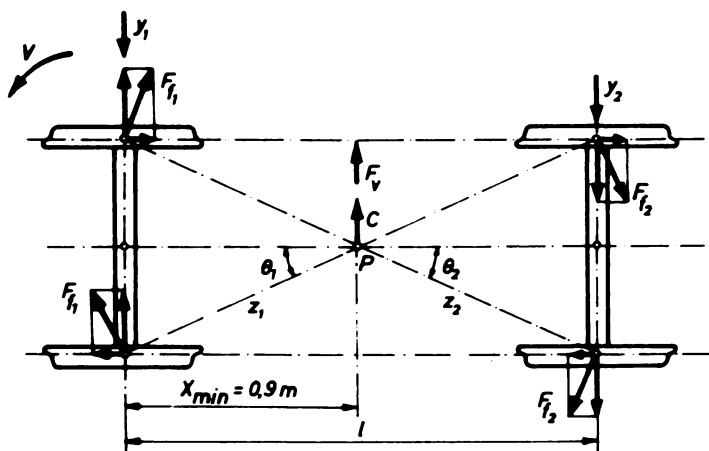


Fig.5.6

Poziția în coardă a boghiului

c. Poziția intermediară. Bo-

ghiu ocupă această poziție pentru valori ale vitezelor cuprinse în intervalul  $v \in (0-81,5) \frac{km}{h}$  în această situație polul ocupă diferite poziții în funcție de viteza de circulație, distanța polară fiind cuprinsă în intervalul  $x \in (2,31-0,9)$  m.

Ecuațiile de echilibru ale sistemului, ( $Y_2 = 0$ ), pe baza notațiilor din fig.5.8 sînt

$$\left. \begin{aligned} \sum V = 0 &\Rightarrow Y_1 - F_v - C - 2F_f \sum_{i=1}^2 \cos \theta_i = 0 \\ (\sum M)_P = 0 &\Rightarrow Y_1 x - (F_v + C)(x - \frac{1}{2}) - \\ &- 2F_f \sum_{i=1}^2 z_i = 0 \end{aligned} \right\} (5.8)$$

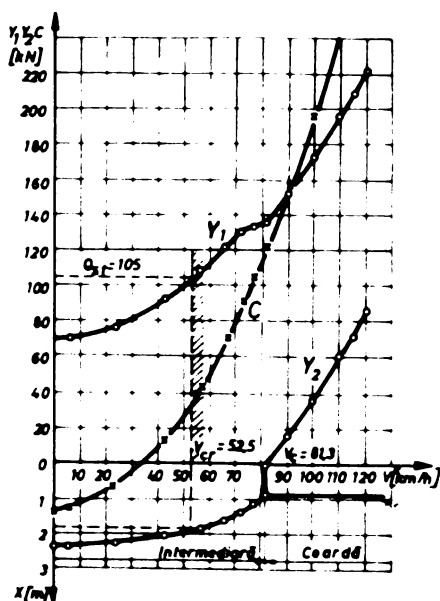


Fig.5.7

Pașaportul dinamic orizontal al boghiului pentru  $R_c = 150$  m

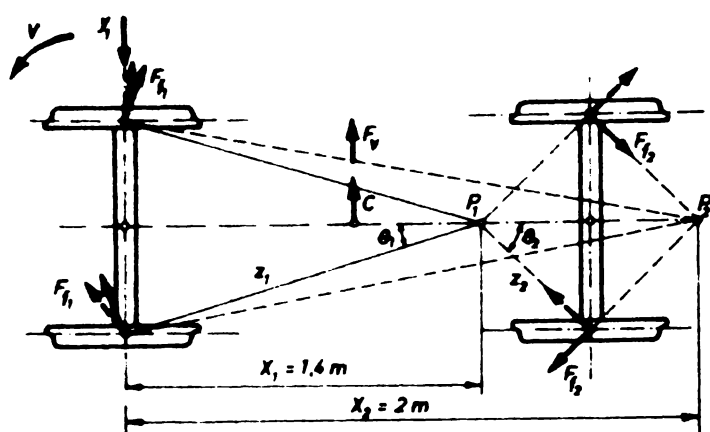


Fig.5.8

Poziția intermediară a boghiului

Curbele de variație ale forțelor  $Y_1$  și  $C$  sînt trasate tot în fig.5.7.

Aprecierea siguranței circulației s-a făcut în baza criteriului lui Nadal. La  $Y_1/Q_{st} = 1$  din fig.5.7 rezultă  $v_{cr} = 52,5 \frac{Km}{h}$ . La  $v > v_{cr}$  apare pericolul deraierii, de aceea la calculul boghiului s-au considerat forțele care apar la  $v = v_{cr}$ .

5.2.2.2. Inscrierea în curbă de rază  $R_o = 800$  m. Calculul este analog și a fost redat în detaliu în [42], [45]. De subliniat că viteza critică la poziția în coardă este de 193 Km/h ; deoarece viteza maximă de circulație este de 120 Km/h, forțele care solicită cadrul boghiului s-au calculat corespunzător acestei viteze.

5.2.3. Calculul suprasarcinilor dinamice la mersul în curbă.

Pentru  $R_o = 150$  m

a) Forța centrifugă a cutiei neechilibrată de supraînălțarea șinei exterioare este

$$C_c = G_c \left( \frac{v_{cr}^2}{gR_c \cdot 3,6^2} - \frac{h}{2S} \right) \quad (5.9)$$

Această forță este aplicată în centrul de greutate al cutiei, situat la  $h_c = (2...2,2)$  m de la planul șinelor. S-a acceptat  $h_c = 2,2$  m.

Analog se calculează forța centrifugă a părții suspendate ( $C_{sb}$ ) care acționează la  $h_{sb} = 0,65$  m.

b) Forța dată de presiunea vîntului  $F_{cv}$ , acționînd la  $h_{cv} = 2,7$  m.

c) Momentul de răsturnare a cutiei, cu notațiile din fig. 5.9 este

$$M_c = C_c(h_c - h_r) + F_{cv}(h_{cv} - h_r) \quad (5.10)$$

Acest moment produce încărcarea glisierii exterioare și descărcarea crapodinei unui boghiu cu forța

$$Q_r = \frac{1}{2} \frac{M_c}{b_o}$$

d) Variația sarcinilor pentru fiecare cutie de unsoare va fi (fig.5.9)

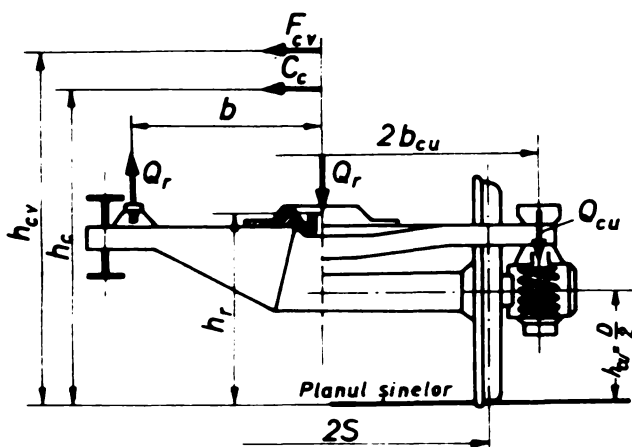


Fig. 5.9

Încărcarea glisierii la mersul în curbă

unde

$$C_n = \frac{G_n}{2} \left( \frac{v_{cr}^2}{gR_c \cdot 3,6^2} - \frac{h}{2S} \right) \quad (5.13)$$

$C_n$  - forța centrifugă a părților nesuspendate.

f) Forțele longitudinale  $F_p \sin \theta_1$ , formează cuplurile  $F_p \sin \theta_1 (2.6)$  care încarcă fălcile de osie dispuse pe diagonală cu forțele longitudinale

$$T_i = \frac{F_p \sin \theta_1 (2.6)}{2 \cdot b_{cu}} \quad (5.14)$$

g) În crapodină se transmite forța  $\frac{1}{2}(C_c + F_{cv})$ , care acționează la distanța  $\delta = h_r - h_n$  față de planul neutru al cadrului, în care  $h_n = 0,70$  m reprezintă distanța de la planul șinelor la planul neutru.

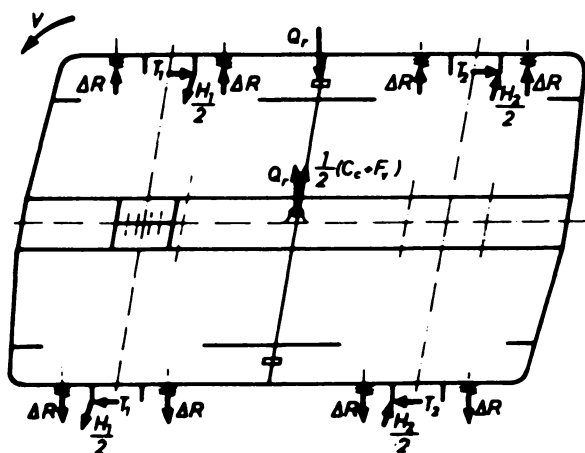


Fig. 5.10

Încărcările produse la mersul în curbă

Toate aceste forțe au fost reprezentate în fig. 5.10 iar valorile numerice centralizate în tabelul 5.1.

Pentru  $R_c = 800$  m - calculul este analog, considerînd  $v_{max} = 120$  Km/h. Din compararea rezultatelor (tab. 5.1) se conchide că cea mai puternică solicitare a cadrului apare la circulația prin curba de rază minimă ( $R_c = 150$  m) cu viteza critică.

#### 5.2.4. Forțele care apar în procesul frînării

5.2.4.1. Forțe provenite de la instalația de frînare. Din schema frinei (fig. 5.11) rezultă că asupra fiecărui sabot - în ipo-

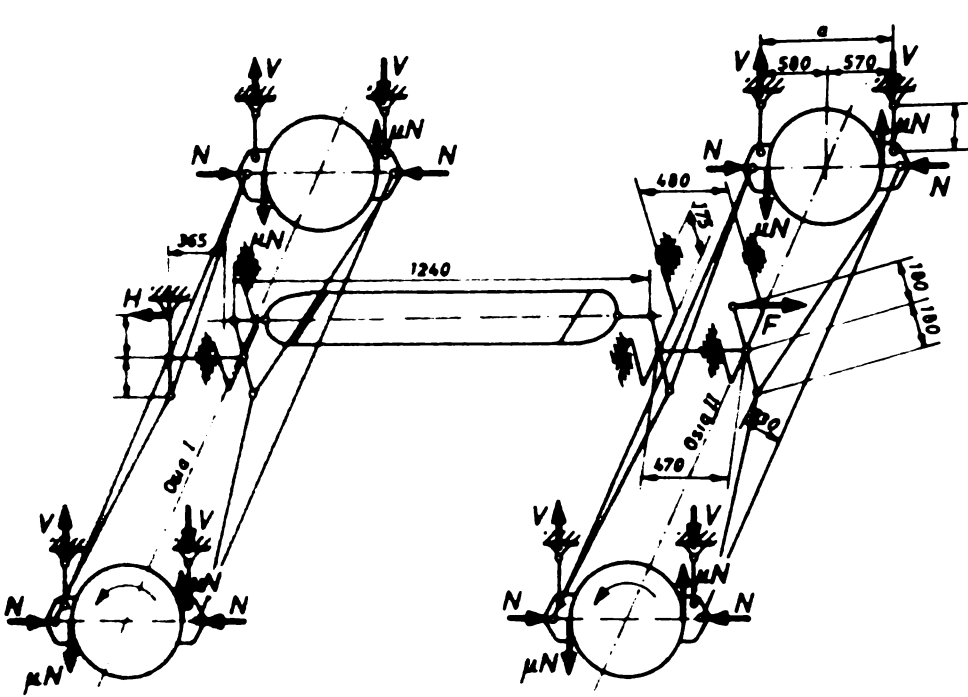


Fig. 5.11

Schema instalației de frinare

teza că randamentul timoneriei frinei  $\eta_{tf} = 1$  - acționează forța normală  $N = F/2$  unde  $F$  este forța din levierul principal al frinei, astfel încât pe cadru acționează  $V = \mu N$ . În punctul fix pe ramă acționează forța orizontală  $H = F$ , echilibrată de reacțiunea din pivotul cutiei. Forțele  $V$  produc cupluri de răsturnare a cadrului  $M' = 4.Vd$ .

nare a cadrului  $M' = 4.Vd$ .

5.2.4.2. Forțe provenite de la inerția maselor în mișcare.

a) Forța de frinare a vagonului, în cazul frînării bilaterale

$$T_v = 4.n.\mu.N \quad (5.15)$$

b) În condiții de simetrie, forțele de inerție ale cutiei ( $T_c$ ) și boghiului ( $T_b$ ) vor fi

$$\left. \begin{aligned} T_c &= T_v \frac{M_c}{M_c + 2.M_b} = T_v \frac{G_c}{G_c + 2.G_b} \\ T_b &= T_v \frac{M'_b}{M_c + 2.M_b} = T_v \frac{G'_b}{G_c + 2.G_b} \end{aligned} \right\} \quad (5.16)$$

în care  $G'_b = G_{sb} + (1 + \gamma)G_n$ , unde  $\gamma = 0,028$  [345] este un coeficient care ține seama de inerția părților în rotație.

c) Forța de inerție a cutiei ( $T_c$ ) provoacă redistribuirea sarcinilor pe cele două boghiuri cu mărimea (fig. 5.12 A/a)

$$T_b = \frac{T_c(h_c - h_r)}{2.b_r} \quad (5.17)$$

a) Forțele  $T_c$  și  $T_b$  produc cuplul (fig. 5.12, A/b)

$$M'' = \frac{T_c}{2}(h_r - \frac{D}{2}) + T_b(h_b - \frac{D}{2}) \quad (5.18)$$

care încarcă osia din față și o descarcă pe cea din spate cu  $R'' = M''/l$ .

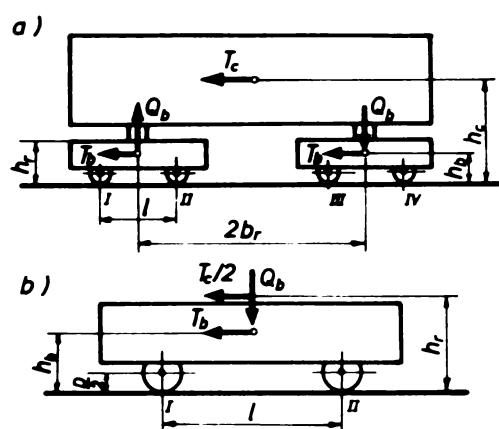


Fig. 5.12, A

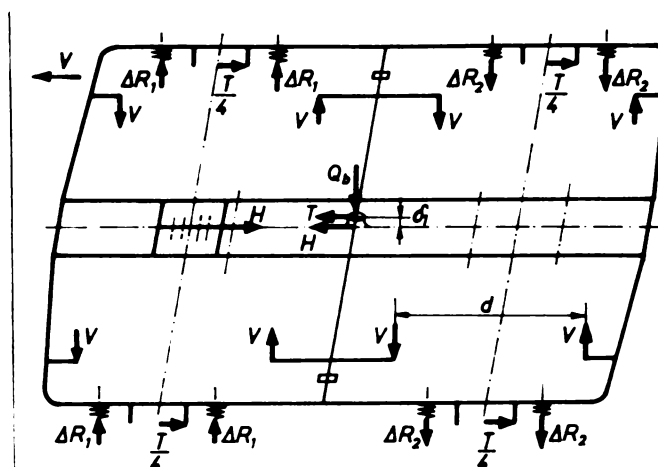


Fig. 5.12, B

Forțele produse de inerția maselor în mișcare în procesul frînării

Forțele care solicită cadrul în timpul procesului de frînare sînt reprezentate în fig. 5.12, B unde  $T = \frac{T_c}{2} + T_b$  iar rezultatele sînt centralizate în tabelul 5.1.

Tabelul 5.1. Forțele care solicită cadrul boghiului. Centralizare.

Nr. crt.	Felul sarcinii	Planul în care acționează	Condiții de calcul			
			Simbolul și valoarea forței			
			Simbol	Valoare [daN]	Simbol	Valoare [daN]
1.	sarcina statică	vertical	$P_0$	37.342	$P_4$	47,6
			$P_1$	437	$P_5$	18
			$P_2$	34	$P_6$	25
			$P_3$	103	$P_7$	31,5
2.	Încărcările produse de forța centrifugă, presiunea vîntului lateral și reacțiunea șinelor la mersul în curbă	vertical	$R_c = 150 \text{ m}$		$R_c = 300 \text{ m}$	
			$v_{cr} = 52,5 \text{ km/h}$		$v_{max} = 120 \text{ km/h}$	
			$Q_r$	8.800	$Q_r$	7.340
			$\Delta R$	1.141	$\Delta R$	949
		orizontal	$\frac{1}{2}(C_c + F_{cv})$	4.800	$\frac{1}{2}(C_c + F_{cv})$	3.920
			$H_1/2$	2.750	$H_1/2$	2.475
			$H_2/2$	242	$H_2/2$	483
			$T_1$	725	$T_1$	700
3.	Forțele care apar în procesul frînării	vertical	$Q_b$	2.760	$R_1$	1.571
			$V$	1.250	$R_2$	881
		orizontal	$F$	10.000	$T$	10.000
			$H$	10.000	$T/4$	2.500
4.	Sarcina antisimetrică	vertical	$R_c = 150 \text{ m}$		In aliniament	
			$P_a/2$	417	$P_a/2$	268

5.2.5. Sarcina antisimetrică. Este produsă de forțe verticale egale în mărime, care pe o diagonală a boghiului acționează în sus și pe cealaltă în jos, deci sînt antisimetrice în raport cu axele boghiului. Aceste forțe sînt produse de elasticitatea diferită a arcurilor în limitele toleranțelor de fabricație, de supraînălțarea șinei la intrarea în curbă, de diferențele cercurilor de rulare, de impreciziile la asamblarea suspensiei, de toleranțele cutiilor de osii etc.

5.2.6. Suprasarcina dinamică verticală. Este produsă de trecerea roților peste neregularitățile căii și de oscilațiile construcției suspendate. Se apreciază în general printr-un coeficient dinamic  $K_d$ , a cărui valoare depinde de viteză, de tipul vagonului și al boghiului, de rigiditatea suspensiei, de microprofilul căilor de rulare etc. Din [474] anexa 28, rezultă valoarea maximă a coeficientului dinamic, determinată experimental pentru acest tip de boghiu :  $K_{d \text{ exp}} = 1,35$ . Într-o primă etapă a analizei efectuate, se va prinde în calcul suprasarcina dinamică verticală înmulțind cu coeficientul dinamic tensiunile provenite de la sarcina statică, urmînd ca după interpretarea rezultatelor experimentale prelucrate în cap.6 să se reformuleze acest punct de vedere, în lumina afirmațiilor din primul capitol.

Cazul B : cadrul de bicicletă tip Tohan [40]. Alegerea forțelor de încărcare a fost corelată cu cercetările experimentale efectuate în 1967 [38] - pentru solicitări statice - și în 1971-1972 pentru solicitări dinamice [39].

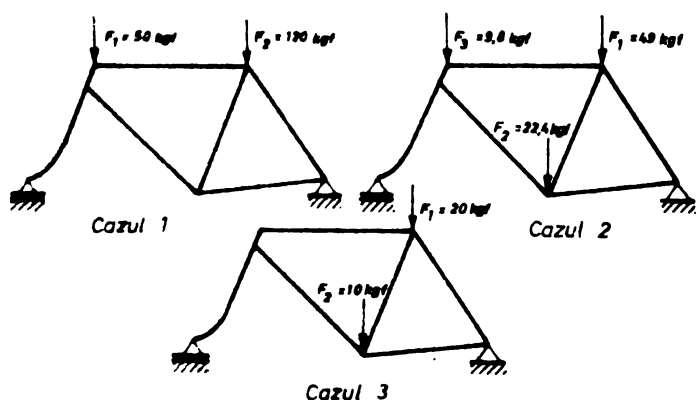


Fig.5.13

Variante de încărcare pentru calculul cadrului de bicicletă

sarcini exterioare totale de 81,2 daN repartizată pe trei noduri și

efectuate în 1967 [38] - pentru solicitări statice - și în 1971-1972 pentru solicitări dinamice [39]. S-au considerat astfel trei cazuri de încărcare. Primul caz, rezultat din cercetarea stării de tensiune la solicitări statice, consideră sarcina maximă de 170 daN repartizată pe două noduri. Celelalte două cazuri sînt preluate din cercetările efectuate la solicitări dinamice și cuprind situația unei

[40] BOLLANTU L., DOBRE I., DUMITRU I.: Calculul de rezistență al cadrelor de bicicletă. Protocol, beneficiar Uzina "6 Martie" Zărnești-Brașov, 1974, 220 pag.

al unei sarcini totale de 30 daN repartizată pe două noduri (fig. 5.13). Deoarece la unele variante constructive, nodul "F" al furcii din spate este realizat printr-o fixare cu șurub, calculul structurii a fost efectuat pe două modele consecutive, cu nodul "F" rigid și articulată, având grade de nedeterminare diferite.

### 5.3. Calculul caracteristicilor geometrice ale secțiunilor transversale

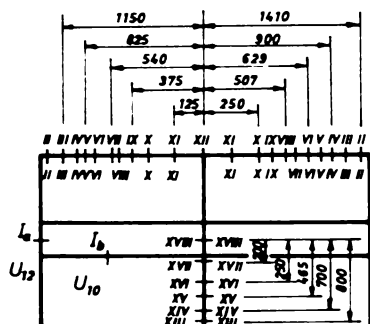


Fig. 5.14

Poziționarea secțiunilor pentru calculul caracteristicilor geometrice

#### Cazul A : boghiul Y25-0s

[46],[49]. Secțiunile transversale prin elementele boghiului (fig. 5.14), necesare pentru determinarea caracteristicilor geometrice utilizate în calculul de rezistență și deformabilitate s-au ales, pe baza unei scheme generale de calcul, astfel încât pe elementele cu secțiune variabilă să se poată stabili o lege de variație a momentelor de inerție cât mai concludentă, pentru aproximații ulterioare corecte. Calculurile s-au făcut după metodologia clasică din rezistența materialelor deoarece sec-

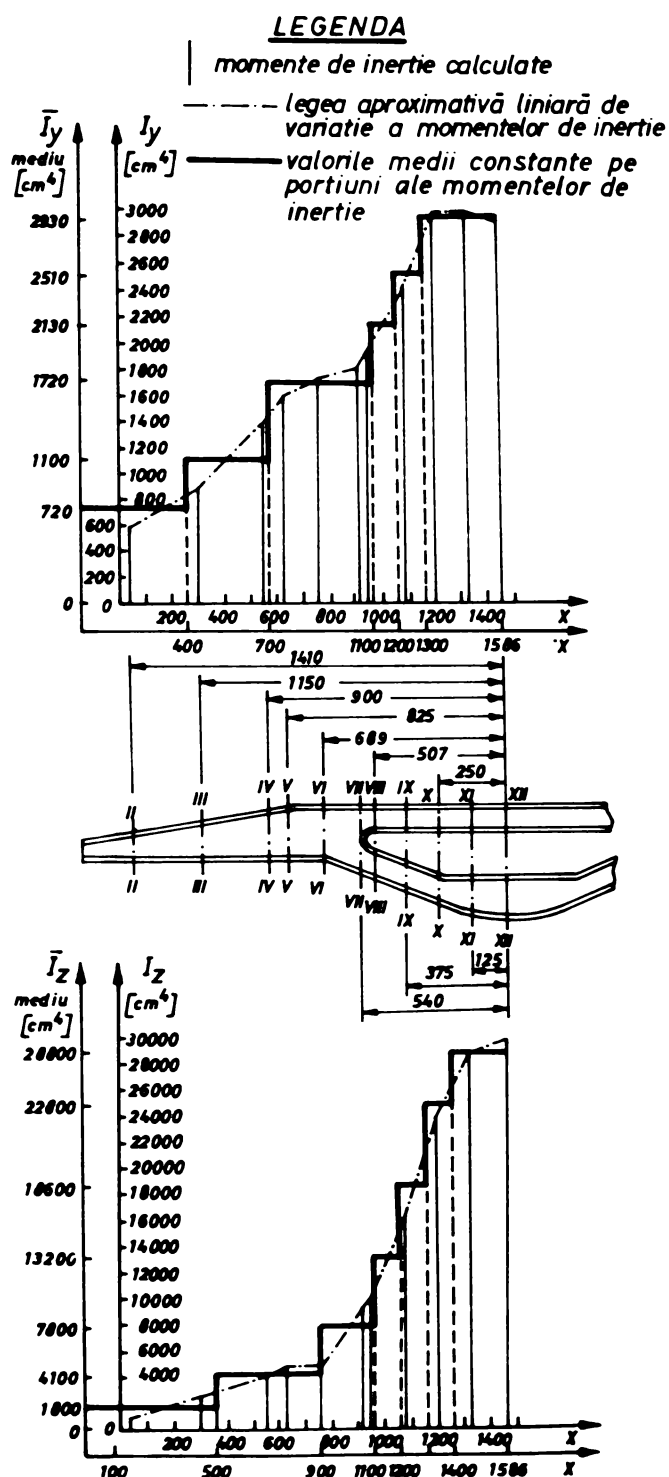


Fig. 5.15

Legile de variație ale momentelor de inerție pentru lonjeroanele mari

[49] BOLBANTU L., DOBRI I., NISCU T., IEREMICIU T., JUREA N., DUMITRU I.: Stări de tensiune într-un cadru de boghiu. Culeștinul științific și tehnic al I.P.T., Seria mecanica, Tom 18(32), fasc.1/1973, pag.7-27

țiunile au forma de I ; pentru secțiunea XVIII-XVIII prin traversa crapodinei care are o formă neregulată și foarte complicată, s-a utilizat o metodă aproximativă grafo-analitică.

Pentru calculul deformațiilor s-a considerat că momentele de inerție au o variație în trepte pentru fiecare zonă luându-se în considerare valoarea medie (o nouă ipoteză). Astfel, pentru lonjeron (fig.5.15) s-au obținut 6 zone distincte de rigiditate la încovoiere pentru  $I_y$  respectiv 7 pentru  $I_z$ .

Rezultatele sînt centralizate în tabelul 5.2.

Pentru fiecare secțiune analizată, s-au calculat și caracteristicile geometrice la torsiune : momentul de inerție la torsiune ( $I_t$ ) și modulul de rezistență la torsiune ( $W_t$ ). Pentru secțiunile simplu conexe (traversele frontale și lonjeronul mic) s-au folosit formulele lui Föppl

$$I_t = \sum_n \frac{b^3 l}{3} ; \quad W_{t \min} = \frac{I_t}{b_{\max}} \quad (5.19)$$

În cazul secțiunilor dublu conexe (traversa crapodinei), în ipoteza pereților subțiri, s-au utilizat formulele lui Bredt

$$I_t = \eta \frac{4\Omega^2}{\int_0^s \frac{ds}{t}} ; \quad W_{t \min} = \eta \cdot 2 \cdot \Omega \cdot t_{\min} \quad (5.20)$$

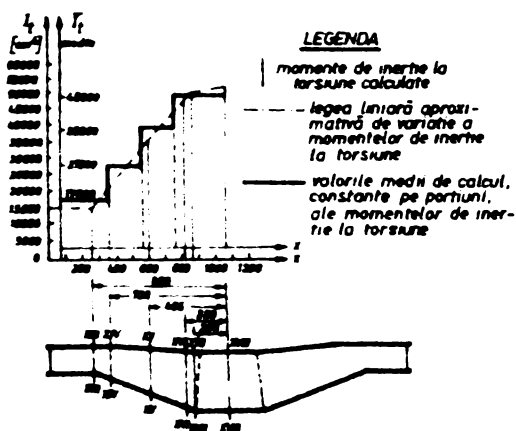


Fig.5.16

Legea de variație a momentelor de inerție la răsucire pentru traversa crapodinei

Rezultatele sînt centralizate tot în tabelul 5.2 (v.fig.5.16).

Cazul B ; cadrul de bicicletă tip Tohan [136]. Secțiunile explorate au fost stabilite în mod analog, din necesitatea de a determina legea de variație a momentelor de inerție pe elementele cu rigiditatea variabilă (fig.5.17).

Aceste elemente sînt cele două furci față și spate, avînd secțiunile transversale de forma unei "coroane eliptice" cu cele două axe variînd continuu în lungul elementelor. Caracteristicile geometrice au fost calculate cu formulele cunoscute :

[136] DOBRE I., BOLLEANTU L.: Stări de tensiune în cadre de biciclete. Comunicările conferinței de sudură și încercări de metale privind probleme ale realizării și controlului sudurilor. Timișoara, 6-8 septembrie 1971, pag.175-192



**Tabloul 5.2. Centralizarea caracteristicilor geometrice la încovoiere și torsiune pentru secțiunile studiate din cadrul boghiului**

Secțiunea	$I_z$ [cm <sup>4</sup> ]	$W_z$ min [cm <sup>3</sup> ]	$W_z$ max [cm <sup>3</sup> ]	$I_y$ [cm <sup>4</sup> ]	$W_y$ min [cm <sup>3</sup> ]	$W_y$ max [cm <sup>3</sup> ]	$I_t$ [cm <sup>4</sup> ]	$W_t$ min [cm <sup>3</sup> ]
I.a - I.a	364	60,7	60,7	43,2	11,1	26,9	4,019	4,608
I.b - I.b	205	41,2	41,2	29,3	8,49	18,9	2,767	3,35
II - II	1058,031	180	185	592,75	84,68		31,029	22,164
III - III	2291,5	2280,4	308,4	884,082	110,5		36,639	26,170
IV - IV	4160,66	412,3	456,7	1370,375	148,1		43	30,71
V - V	4892,48	464,1	511,6	1603,46	164,4		45,068	32,19
VI - VI	5006,42	475,3	523,6	1734,46	173,44		46,339	33,09
VII - VII	8931,39	649,07	747,3	1807,915	180,79		54,769	36,27
VIII - VIII	10036,19	707,7	787,1	1928,784	192,87		55,283	36,61
IX - IX	16065,855	944,4	1048,8	2317,384	231,73		57,648	38,17
X - X	24372,45	1232,1	1336,9	2975,441	297,54		60,109	39,80
XI - XI	28887,58	1369,08	1437,1	2969,707	296,97		60,908	40,60
XII - XII	29992,25	1408,08	1421,4	2902,816	290,28		56,004	40
XIII - XIII	8890,86	974,8	1001,2	30082,564	1203,3	1432,5	14992	1135,6
XIV - XIV	12831,35	1166,48	1189	32813,18	1312,52	1562,5	21044	1390,6
XV - XV	29323,38	1921,5	1954,89	37794,58	1511,78	1799,7	35587	1965,54
XVI - XVI	43686,66	2389,8	2440,5	41195,58	1647,82	1961,7	46573	2368
XVII - XVII	47417,10	2474,7	2516,8	41645,9	1665,8	1983,1	49421	2495,6
XVIII - XVIII	77680,36	2965	4040,6	62891,58	2515,6	2994,8	51576	2551,04

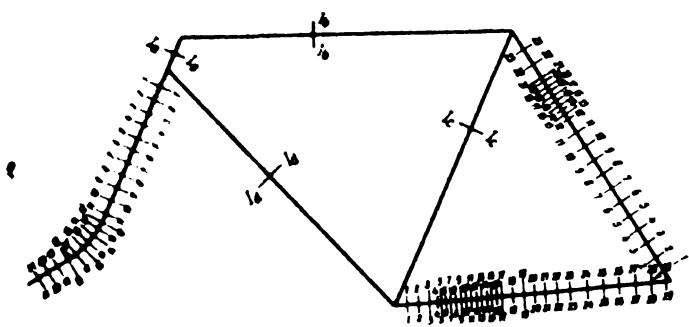


Fig. 5.17

Secțiunile în care s-au calculat momentele de inerție pentru cadrul de bicicletă tip Tohan

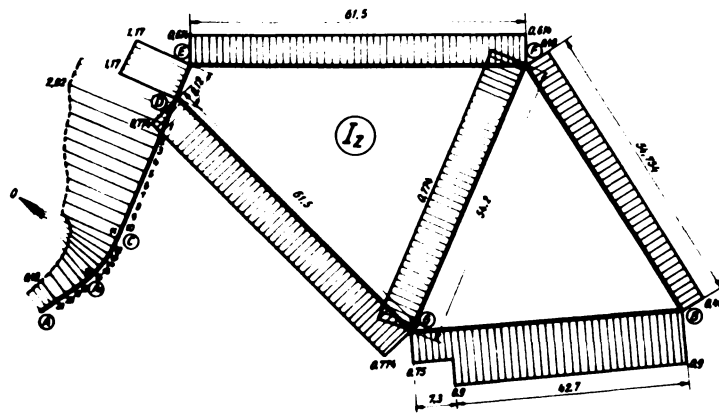


Fig. 5.18

Variația momentelor de inerție pe cadrul de bicicletă tip Tohan

$$\left. \begin{aligned} A &= \pi(ab - a_1b_1) \\ I_z &= \frac{\pi}{4}(a^3b - a_1^3b_1) \\ W_z &= \frac{\pi}{2a}(a^3b - a_1^3b_1) \end{aligned} \right\} \quad (5.21)$$

Zonele caracteristice de rigiditate la încovoiere constantă sînt reprezentate în fig. 5.18.

#### 5.4. Calculul de rezistență

5.4.1. Observații generale. Metodică. În rezolvarea structurilor static nedeterminate s-au cristalizat două metode generale de calcul : metoda eforturilor - care are la bază caracterizarea statică - și metoda deplasărilor - care are la bază caracterizarea geometrică [476], [477], [490], [491], [492], [493].

S-a utilizat metoda eforturilor deoarece, pe de o parte, datorită simetriei constructive se poate alege un sistem de bază astfel încît foarte mulți dintre coeficienții de influență de forma  $\delta_{ij}$  să fie nuli, iar pe de altă parte, existînd posibilitatea rezolvării cu ajutorul calculatoarelor a sistemului ecuațiilor de condiție, calculul iterativ specific metodei deplasărilor nu mai prezintă avantaje evidente.

Conform acestei metode, condiția de compatibilitate a structurii conduce la un sistem de ecuații liniare de forma :

$$[\Delta] \cdot \{X\} + \{\delta_0\} = 0 \quad (5.22)$$

unde  $[\Delta] = [\delta_{ij}]$  - matricea de flexibilitate, formată din coeficienți de flexibilitate  $\delta_{ij}$ ;

$\{X\}$  - matricea coloană a eforturilor necunoscute, de ordinul (n,1)

$\{\delta_0\}$  - matricea coloană a deplasărilor din sistemul de bază.

Calcululele s-au făcut utilizând formulele clasice ale lui Mohr-Maxwell, pentru integrare folosind regula lui Veresceaghin. In acest context deplasările generalizate  $\delta_{ij}$  sînt date de expresii de forma

$$\delta_{ij} = \delta_{ji} = \sum \int_{\ell} \frac{1}{I_z} \frac{m_{zi}(x) \cdot \bar{m}_{zj}(x)}{I_z(x)} dx + \sum \int_{\ell} \frac{1}{I_y} \frac{m_{yi}(x) \cdot \bar{m}_{yj}(x)}{I_y(x)} dx + \sum \int_{\ell} \frac{1}{I(x)} \frac{n_i(x) \cdot \bar{n}_j(x)}{I(x)} dx + \sum \int_{\ell} \frac{1}{I_t} \frac{m_{ti}(x) \cdot \bar{m}_{tj}(x)}{I_t(x)} dx \quad (5.23)$$

Termenii liberi  $\delta_{i0}$  au expresii similare intervenind eforturile  $M_{z0}(x)$ ,  $M_{y0}(x)$ ,  $N_0(x)$ ,  $M_{t0}(x)$  produse în sistemul de bază de forțele exterioare date.

In cazul în care rigiditatea grinzii analizate nu a fost constantă, s-a lucrat cu suprafețe de arii sau momente - încovoitoare sau de torsiune - "reduse". Utilizînd legi de variație după funcții treaptă (5.3), formulele de calcul se scriu, de exemplu,

sub forma

$$\int_{(t)} m_{zi}(x) \cdot \bar{m}_{zj}(x) \frac{dx}{I_z(x)} = \frac{1}{I_z} \int_{(t)} \left[ \frac{M_{zi}(x)}{I_z} \right] \bar{m}_{zj}(x) \cdot dx = \frac{1}{I_z} \sum \Omega \text{ red } i \cdot \bar{m}_{zj} \quad (5.24)$$

La aplicarea relațiilor (5.24) în cazul încovoierii în plan vertical, o combinație de diagrame cu aceeași notație J-J sau S-S va afecta coeficientul de influență cu semnul plus și cu semnul minus în cazul combinațiilor de forma J-S.

Diagramele momentelor de torsiune și ale forțelor axiale au fost reprezentate cu semn.

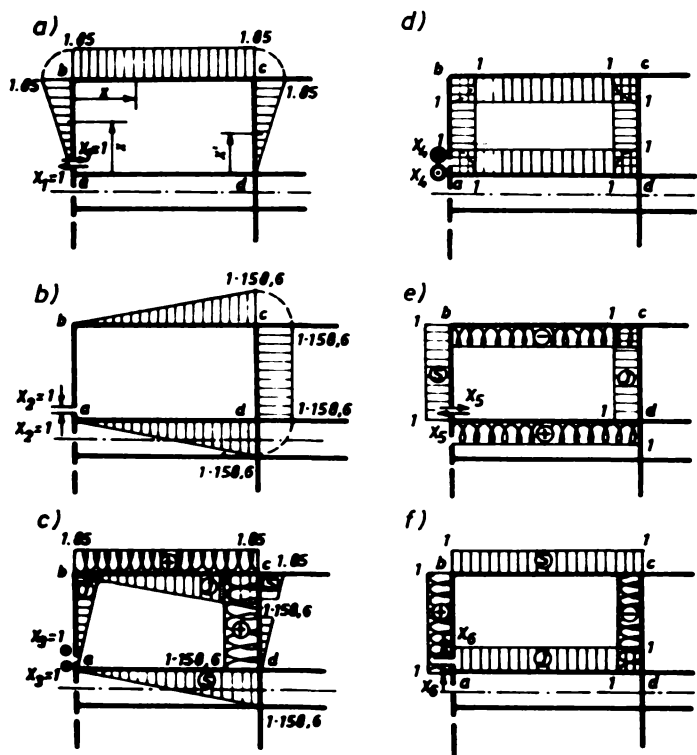


Fig. 5.19

Diagramele de momente rezultate prin încărcarea succesivă cu sarcini unitate pentru conturul I

[47] BOLANITU L., DOBRE I., JUNG N., IANĂNICIU T., NEGUT N., DUMITRU I.: Stabilirea coeficienților de influență și a termenilor liberi din ecuațiile canonice pentru calculul de rezistență al boghiului Y25-Cs. Revista căilor ferate române, Anul III(60), Nr.12(779), 1973, pag.705-713

5.4.2. Cazul 1 : bochiul Y25-Ca [47].

5.4.2.1. Convenții. Fiind necesară trasarea unor diagrame în două planuri și figurarea pe structură a unor forțe generalizate, s-au

adoptat următoarele convenții de reprezentare și notare :

- Vectorii-forță, s-au reprezentat după convenția clasică :  $[\rightarrow ; \otimes ; \odot]$  în funcție de modul în care apar în planul diagramei ;

- Vectorii-moment, pentru a-i distinge de vectorii-forță, sînt reprezentați prin simbolurile  $[\rightarrow ; \otimes ; \odot]_M$  ;

- Momentele de torsiune sînt considerate pozitive dacă vectorii-moment sînt orientați în sensul

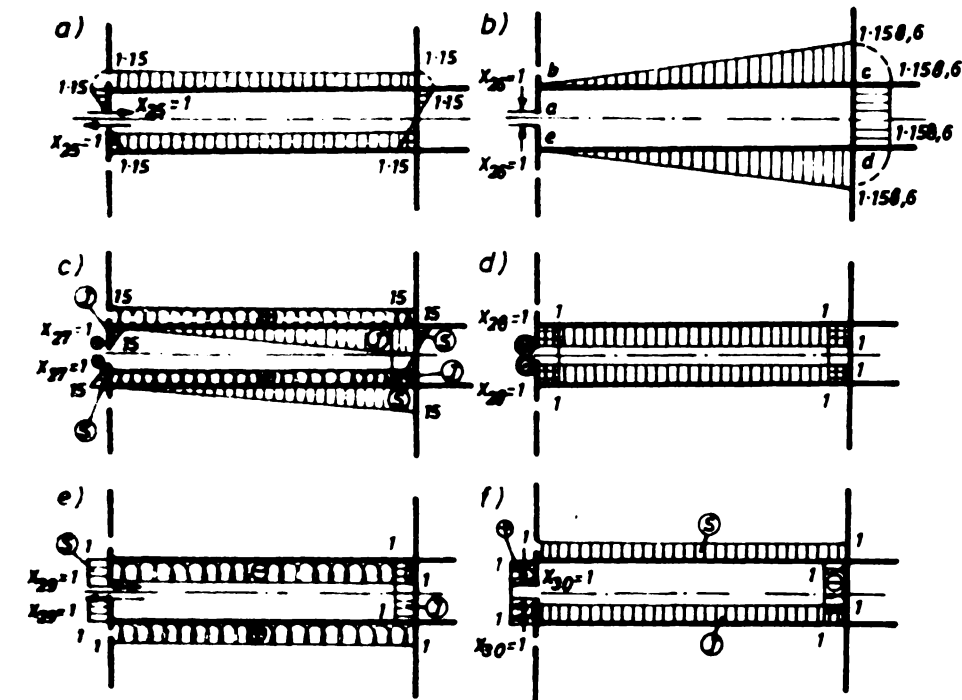


Fig. 5.20

diagramele de momente pentru încărcarea succesivă cu sarcini unitate pentru conturul interior Y.

normalei exterioare la secțiune și negative în caz contrar;

- Alegerea secțiunilor de "tăiere" pentru stabilirea sistemului de bază este în general arbitrară ; dar în ideea anulării unui număr cât mai mare de coeficienți de influență, cadrul a fost tăiat în secțiunile numerotate cu 1, 2, ..., 6 (v.fig.5.2,a) care au aceeași poziție - pe grupe de câte trei - față de axele de simetrie ale bochiului. Momentele de legătură din secțiune reprezintă forțe ( $X_1, X_2, X_3$ ) și momente ( $X_4, X_5, X_6$ ). Semnificația lor se repetă cu o perioadă de 6, pînă la  $X_{36}$ .

5.4.2.2. Forțele produse de sarcinile unitate și de forțele exterioare date. Diagramele de momente produse de o parte din sarcinile unitate sînt reprezentate în fig.5.19 și 5.20 ; pentru restul sarcinilor unitate diagramele sînt similare numai că se produc pe alte contururi ale structurii.

Pentru forțele exterioare date (v. 5.2) diagramele de variație ale eforturilor sînt reprezentate în fig.5.21...fig.5.26.

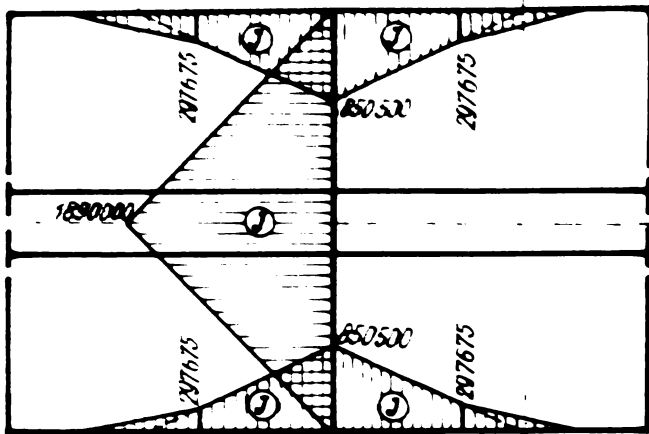


Fig. 5.21

Diagrama de momente produse de sarcina statică (încovoiere în plan vertical)

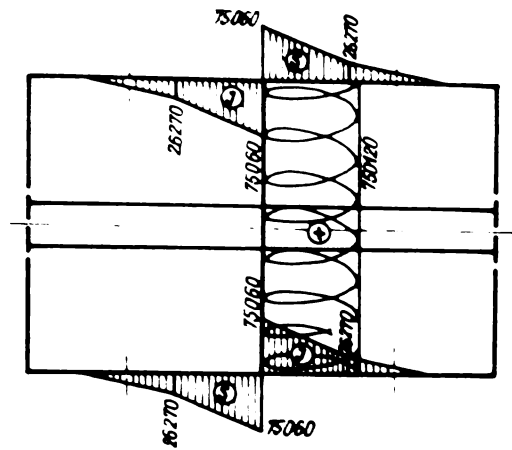


Fig. 5.22

Diagramele de momente pentru sarcina antisimetrică (încovoiere în plan vertical și torsione)

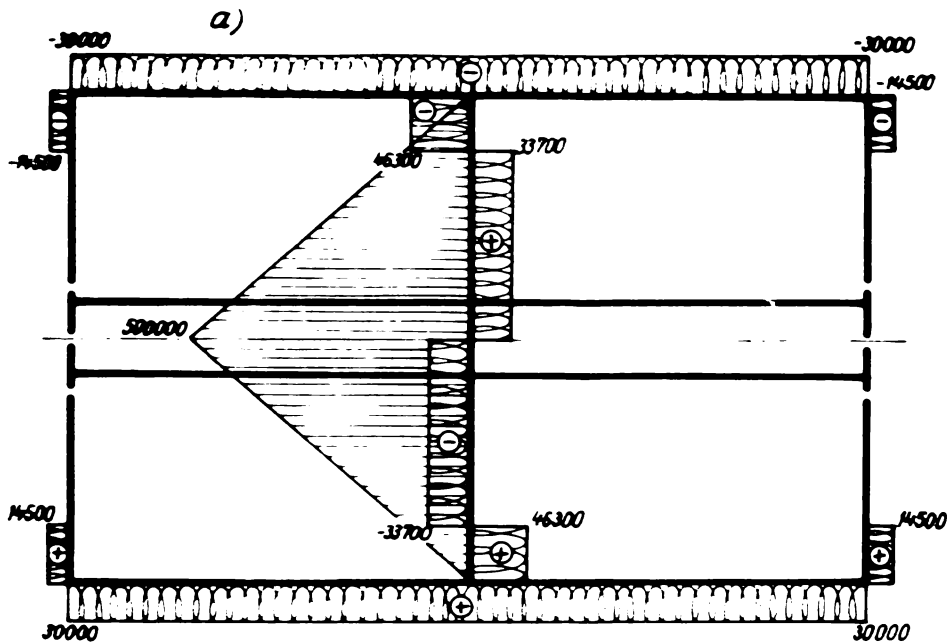
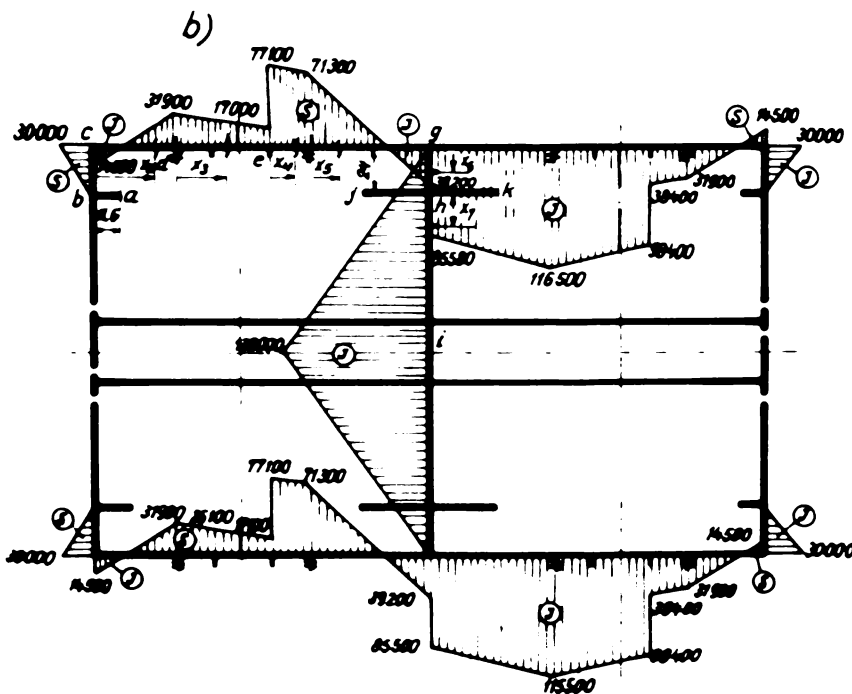


Fig. 5.23

Diagramele de momente pentru sarcinile dinamice care încarcă suplimentar caurul boghiului la intrarea în aliniament

a) încovoiere în plan orizontal și torsione

b) încovoiere în plan vertical



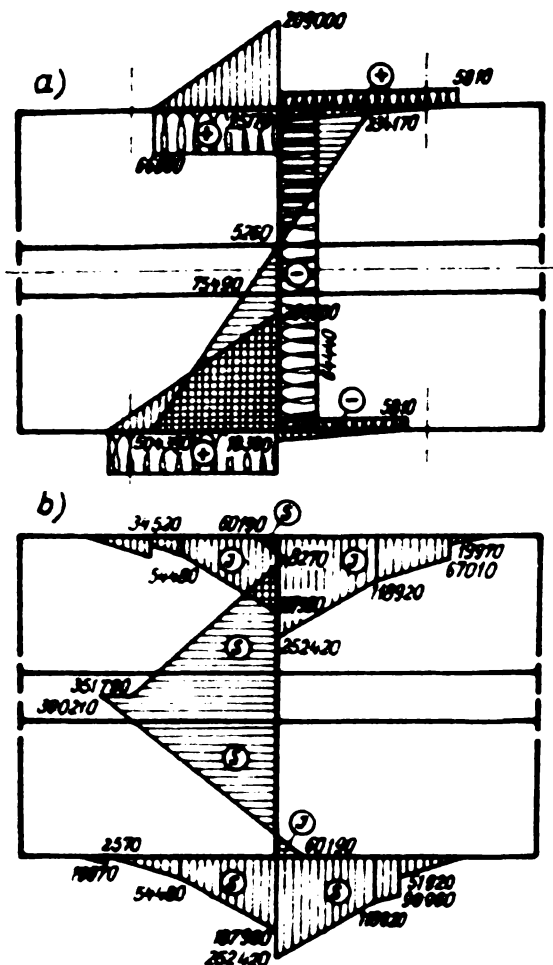


Fig.5.24

Diagramele de momente pentru sarcinile dinamice care încarcă suplimentar cadrul boghiului la mersul în curbă

- a) încovoiere în plan orizontal și torsiune
- b) încovoiere în plan vertical

5.4.2.3. Eforturi finale [48]. Cu ajutorul coeficienților de influență calculați pe baza diagramelor precedente și a deplasărilor pentru încărcările exterioare, s-a construit matricea sistemelor de ecuații de condiție, care reprezintă în esență patru sisteme de ecuații liniare cu 36 necunoscute. Rezolvarea sistemelor a fost efectuată cu ajutorul unui calculator Felix C-256 (în Fortran). În tabelul 5.3 s-au centralizat valorile eforturilor obținute în urma rezolvării sistemelor de ecuații de condiție.

La regimul de frînare în aliniament apare o simetrie a eforturilor numai pentru încovoierea în planul orizontal, forțele care acționează în acest plan fiind repartizate simetric.

În ceea ce privește eforturile pentru încovoierea în planul vertical și torsiunea, pentru regimul de frînare, precum și pentru toate tipurile de încărcare la înscrierea în curbă, acestea diferă între ele având în vedere încărcarea nesimetrică în aceste cazuri. Se justifică astfel tratarea unitară, pe același sistem de bază, a

[48] BOLBANTU L., DOBRE I., DUMITRU I., JUNG E., IEREMICIU T., NEGUT N.: Diagrame finale de eforturi. Calculul tensiunilor. Revista transporturilor și telecomunicațiilor, Nr.5, 1974, p.258-264

Tabelul 5.3. Mărimi static nedeterminate

Mărimea static nedeterminată calculată	Valoarea eforturilor pentru :			
	Sarcina statică	Sarcina antisismică	Frînare	Inscrierea în curbă
X <sub>1</sub> kgf	0,000	0,000	-24,882	-171,305
X <sub>2</sub> kgf	0,000	0,000	123,122	189,044
X <sub>3</sub> kgf	-71,844	-3,368	90,113	-294,930
X <sub>4</sub> kgf.cm	0,000	0,000	-804,649	-5986,499
X <sub>5</sub> kgf.cm	-6317,498	-12,570	-21720,942	143,027
X <sub>6</sub> kgf.cm	-10,896	26,201	4123,511	-1,684
X <sub>7</sub> kgf	0,000	0,000	24,882	55,401
X <sub>8</sub> kgf	0,000	0,000	-123,122	27,207
X <sub>9</sub> kgf	-71,844	3,368	-104,367	26,196
X <sub>10</sub> kgf.cm	0,000	0,000	804,649	2781,659
X <sub>11</sub> kgf.cm	-6317,498	12,570	20484,039	-611,060
X <sub>12</sub> kgf.cm	10,896	-26,201	-4121,977	45,911
X <sub>13</sub> kgf	0,000	0,000	24,882	-18,289
X <sub>14</sub> kgf	0,000	0,000	-123,122	9,079
X <sub>15</sub> kgf	-71,844	-3,368	-104,367	-19,728
X <sub>16</sub> kgf.cm	0,000	0,000	804,649	-573,739
X <sub>17</sub> kgf.cm	-6317,498	-12,570	20484,039	264,879
X <sub>18</sub> kgf.cm	-10,896	26,201	-4121,977	-33,296
X <sub>19</sub> kgf	0,000	0,000	-24,882	462,548
X <sub>20</sub> kgf	0,000	0,000	123,122	297,977
X <sub>21</sub> kgf	-71,844	3,368	90,113	321,018
X <sub>22</sub> kgf.cm	0,000	0,000	-804,649	23511,317
X <sub>23</sub> kgf.cm	-6317,498	12,570	-21720,942	-9020,488
X <sub>24</sub> kgf.cm	-10,896	-26,201	4123,511	33,88
X <sub>25</sub> kgf	0,000	0,000	0,000	680,703
X <sub>26</sub> kgf	0,000	0,000	124,985	226,573
X <sub>27</sub> kgf	0,000	-0,314	0,000	-305,427
X <sub>28</sub> kgf.cm	0,000	0,000	-626,573	6971,049
X <sub>29</sub> kgf.cm	-6318,125	0,000	-21714,470	-4436,858
X <sub>30</sub> kgf.cm	0,000	31,329	0,000	4,601
X <sub>31</sub> kgf	0,000	0,000	0,000	-62,534
X <sub>32</sub> kgf	0,000	0,000	-124,985	15,995
X <sub>33</sub> kgf	0,000	0,314	0,000	27,813
X <sub>34</sub> kgf.cm	0,000	0,000	626,573	877,633
X <sub>35</sub> kgf.cm	-6318,125	0,000	20477,573	-172,526
X <sub>36</sub> kgf.cm	0,000	-31,329	0,000	40,333

tuturilor regiurilor de solicitare analizate.

Diagramele finale de eforturi se obțin operînd direct asupra sistemului de bază folosind principiul suprapunerii efectelor :

$$\left. \begin{aligned} z(x) &= z_{0e}(x) + \sum_I m_{zi}(x) \cdot X_i \\ M_y(x) &= M_{ye}(x) + \sum_I m_{yi}(x) \cdot X_i \\ M_t(x) &= M_{te}(x) + \sum_I m_{ti}(x) \cdot X_i \end{aligned} \right\} (5.25)$$

Rezultatele sînt prezentate în figurile 5.26 ; 5.28 ; 5.29 ; 5.32 ; 5.33 ; 5.34 .

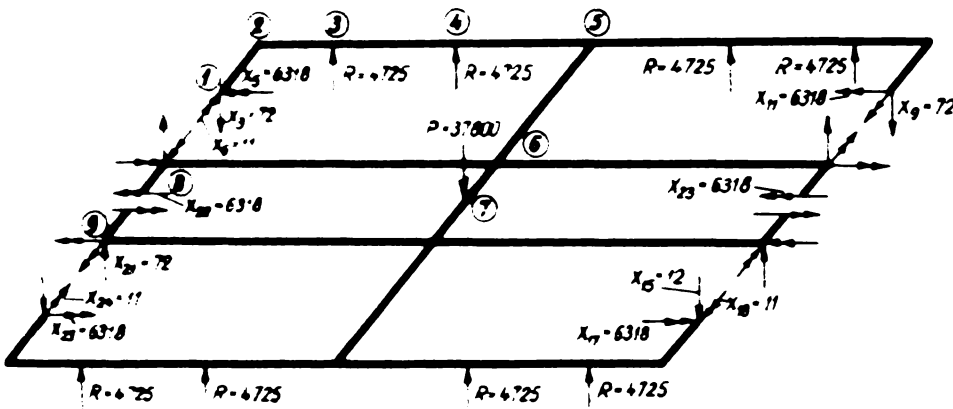


Fig.5.25

Sarcinile provenite din încărcarea statică

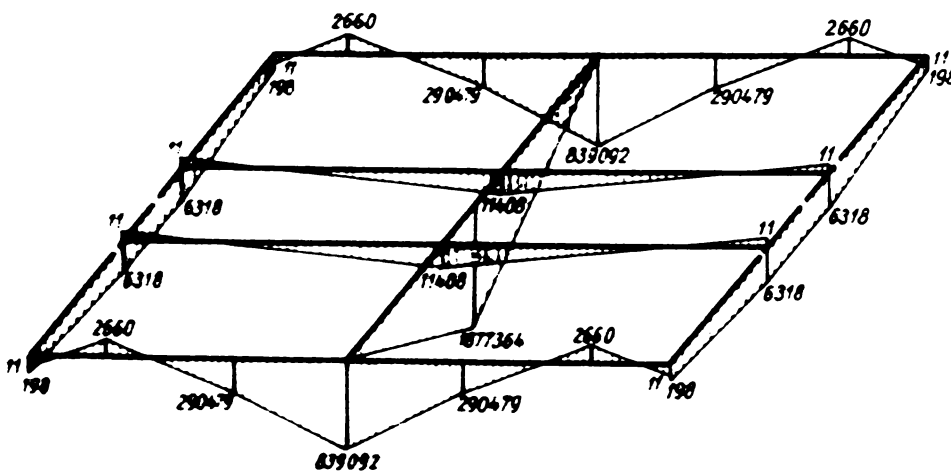


Fig.5.26

Diagrama de variație a momentului încovoietor în planul vertical -  $M_z(x)$  - produs de sarcinile statice

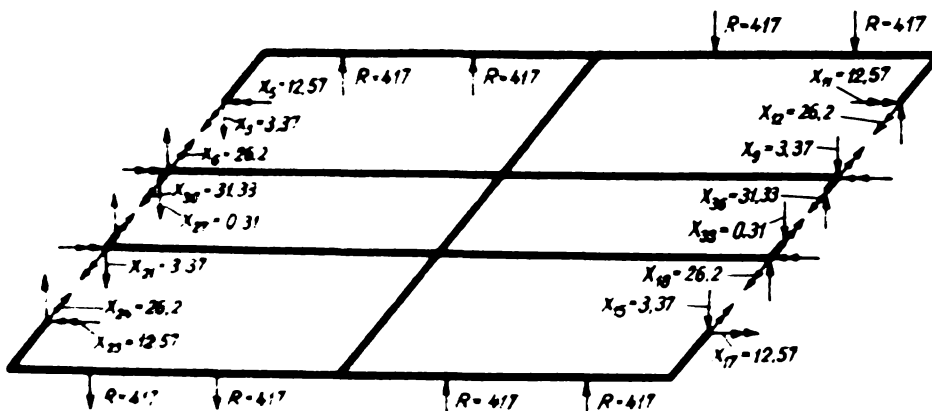


Fig.5.27

Sarcinile exterioare provenite din încărcarea antisimetrică



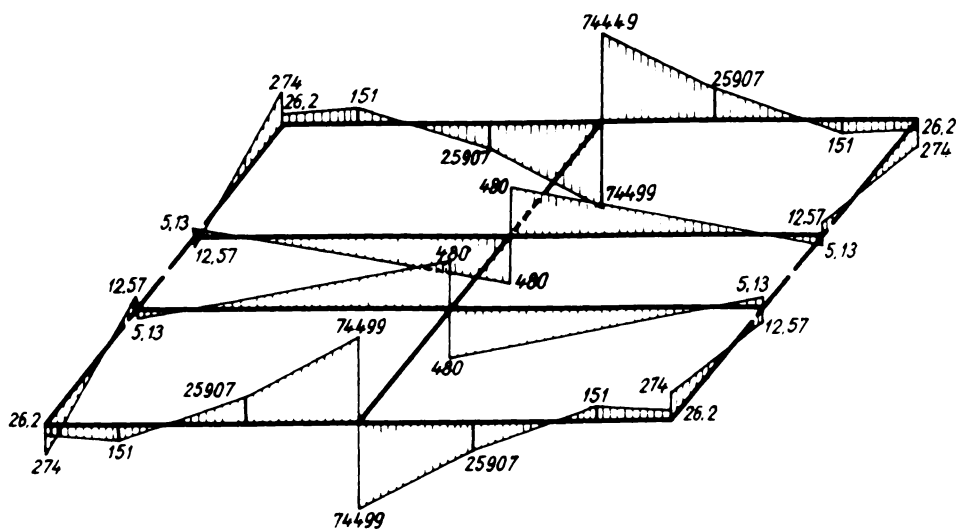


Fig. 5.28

Diagrama de variație a momentelor încovoietoare în planul vertical -  $M_z(x)$  - produse de sarcina antisimetrică

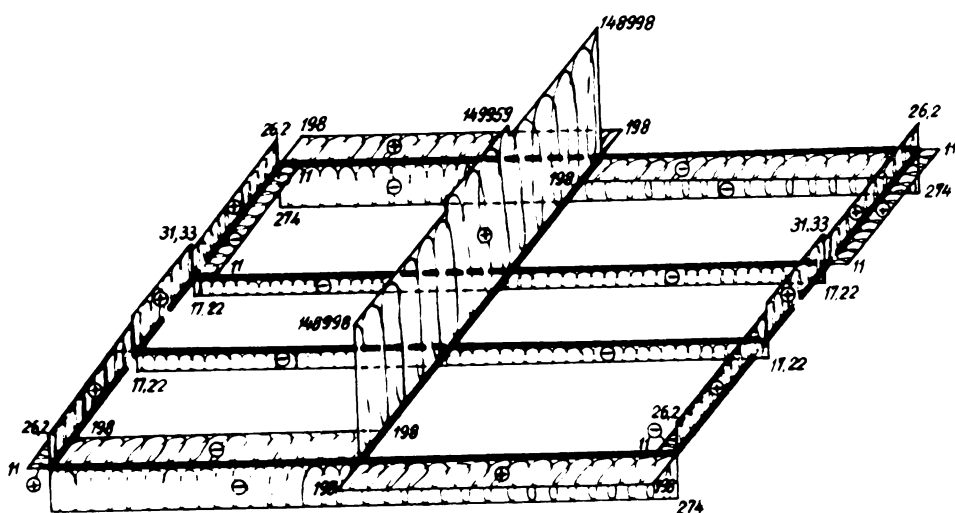


Fig. 5.29

Diagrame de variație ale momentelor de torsiune produse de:  
- sarcina statică (reprezentate în plan orizontal) ;  
- sarcina antisimetrică (reprezentate în plan vertical)

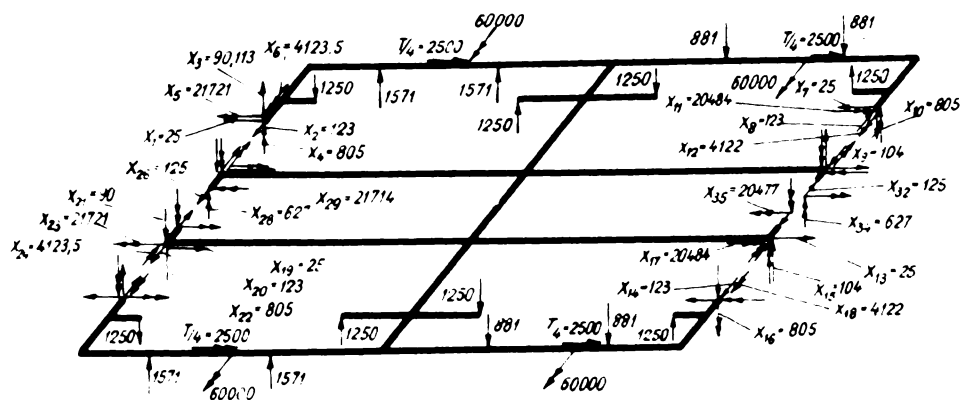


Fig. 5.30

Sarcinile exterioare care apar în regiunea de frînare în aliniament

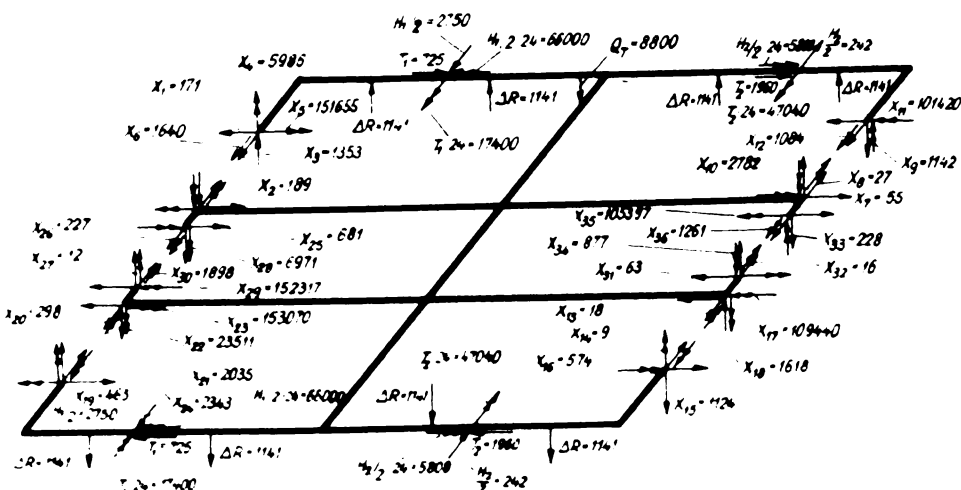


Fig. 5.31

Sarcinile exterioare care apar la înscrierea în curbă ( $R=150m$ )

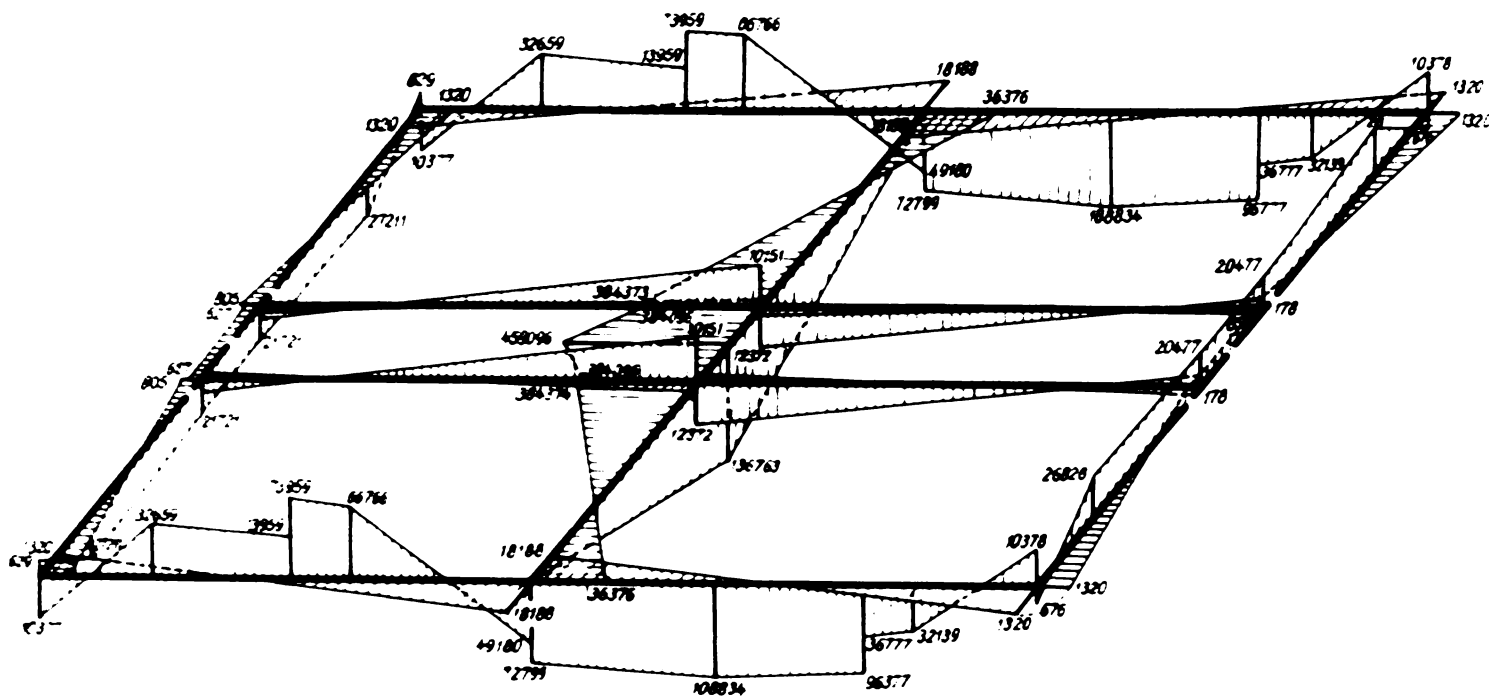


Fig.5.32

Diagramele de variație ale momentelor încovoietoare produse de sarcinile suplimentare care apar în regimul de frînare

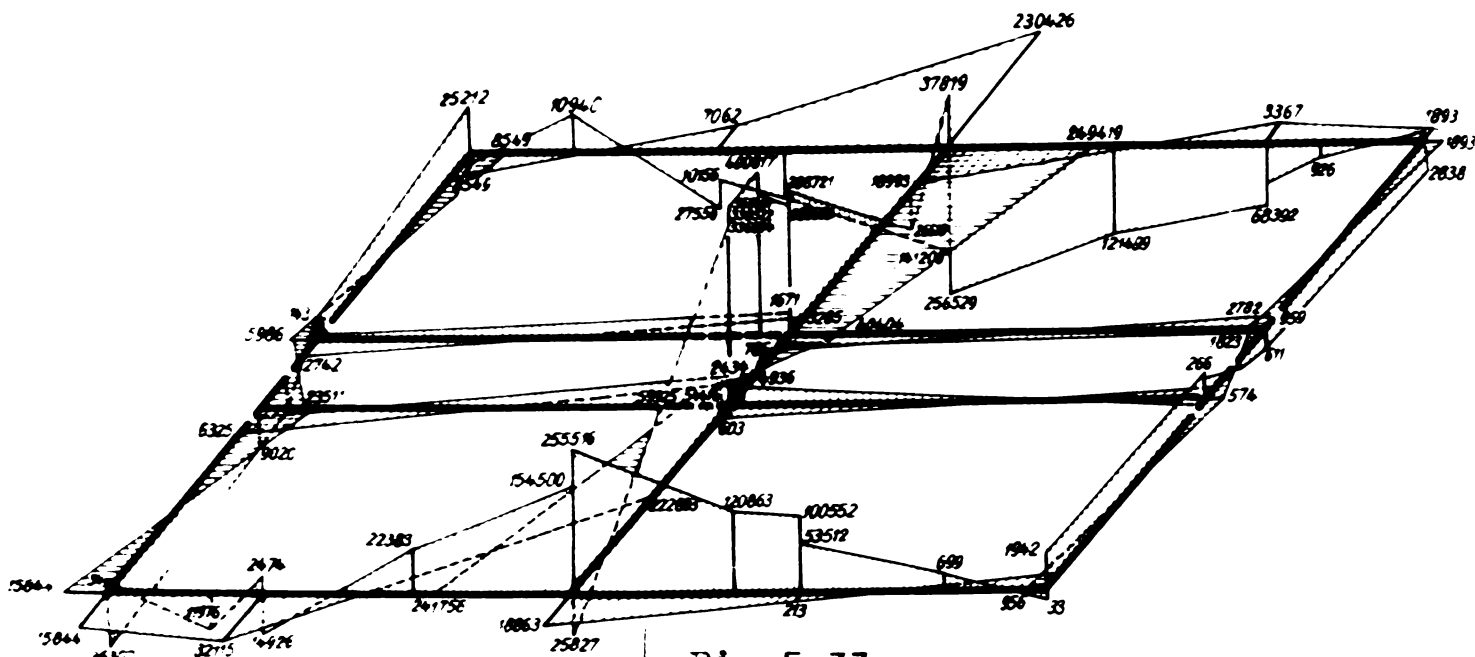


Fig.5.33

Diagramele de variație ale momentelor încovoietoare produse de sarcinile dinamice suplimentare care apar la înscrierea în curbă

Fig.5.34

Diagramele momentelor de torsiune pentru suprasarcinile dinamice :

- frînare (plan orizontal);
- înscrierea în curbă (plan vertical).

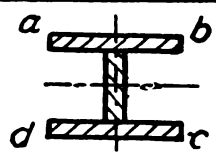
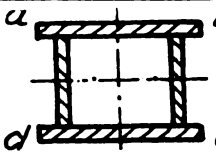
5.4.2.4. Tensiuni [51]. Rezultatele sînt centralizate în tabelele 5.4 ; 5.5 ; 5.6. Detalii în [51],[49] ș.a.

Calculul tensiunilor s-a făcut pentru fiecare solicitare în parte cu formulele clasice de rezistență, determinînd valorile extreme în cele patru colțuri ale fiecărei secțiuni analizate.

În tabelul 5.4, în care s-au prezentat tensiunile ce apar în regimul de mers în aliniament, au fost însumate algebric tensiunile calculate în cele patru puncte ale secțiunii provenite din sarcina statică cu adausul dinamic și din sarcina antisimetrică.

Pentru regimul de frînare în aliniament (tabelul 5.5) s-au însumat tensiunile produse de sarcina statică cu adausul dinamic, de sarcina antisimetrică și de sarcina dinamică suplimentară care apare în timpul procesului de frînare.

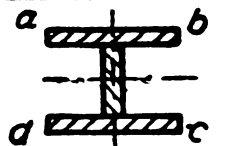
Tabelul 5.4 Tensiuni extreme la regimul de mers în aliniament

		$\sigma = \pm \sigma_x \pm \sigma_y$ [daN/cm <sup>2</sup> ]																$\tau_{max}$ (daN/cm <sup>2</sup> )
		dreapta - față				dreapta - spate				stînga - spate				stînga - față				
		a	d	c	d	a	b	c	d	a	b	c	d	a	b	c	d	
12	I'a-I'a	0	0	0	0	-9	-9	9	9	0	0	0	0	-9	-9	9	9	8
	I"a-I"a	-140	-140	140	140	-140	-140	140	140	-140	-140	140	140	-140	-140	140	140	8
	I''a-I''a	-38	-38	38	38	-44	-44	44	44	-38	-38	38	38	-44	-44	44	44	8
10	I'b-I'b	0,5	0,5	-0,5	-0,5	0,3	0,3	-0,3	-0,3	0,5	0,5	-0,5	-0,5	0,3	0,3	-0,3	-0,3	5
	I''b-I''b	-318	-318	318	318	-294	-294	294	294	-318	-318	318	318	-294	-294	294	294	5
longeron	II-II	10	10	-10	-10	9	9	-9	-9	10	10	-10	-10	9	9	-9	-9	25
	III-III	-142	-142	129	129	-123	-123	113	113	-142	-142	129	129	-123	-123	113	113	21
	IV-IV	-504	-504	454	454	-441	-441	397	397	-504	-504	454	454	-441	-441	397	397	18
	V-V	-557	-557	504	504	-488	-488	441	441	-557	-557	504	504	-488	-488	441	441	17
	VI-VI	-818	-818	744	744	-716	-716	652	652	-818	-818	744	744	-716	-716	652	652	16
	VII-VII	-741	-741	640	640	-650	-650	560	560	-741	-741	640	640	-650	-650	560	560	15
	VIII-VIII	743	-743	664	664	-651	-651	582	582	-743	-743	664	664	-651	-651	582	582	15
	IX-IX	745	-745	669	669	-653	-653	587	587	-745	-745	669	669	-653	-653	587	587	14
	X-X	706	-706	650	650	-618	-618	570	570	-706	-706	650	650	-618	-618	570	570	14
	XI-XI	761	-761	725	725	-667	-667	636	636	-761	-761	725	725	-667	-667	636	636	13
	XII-XII	-859	859	849	849	-753	-753	744	744	-859	-859	849	849	-753	-753	744	744	14
	Traversa crapodinei			dreapta				stînga				131 107 76 63 60 59						
a		b	c	d	a	b	c	d										
XIII-XIII		-505	505	519	519	-505	-505	519	519									
XIV-XIV		652	652	638	638	-652	-652	638	638									
XV-XV		705	705	692	692	-705	-705	692	692									
XVI-XVI		-794	-794	776	776	-794	-794	776	776									
XVII-XVII	-804	-804	820	820	-804	-804	820	820										
XVIII-XVIII	627	627	855	855	-627	-627	855	855										

[51] BOLLANTU L., DOBRE I., NEGUT N., ILREMICIU T., DUMITRU I., JUNG E.: Cercetări privind starea de tensiune din cadrul unui boghiu pentru vagoane de marfă. Lucrare prezentată la sesiunea jubiliară a I.P. "Traian Vuia", Timișoara, iunie 1974 (în curs de publicare la Buletinul I.P.F.)

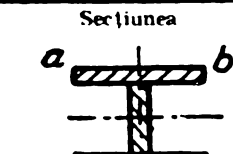
Tabelul 5.5

Tensiuni extreme la regimul de frinare in aliniament

		$\sigma = \pm \sigma_x \pm \sigma_y$ [daN/cm <sup>2</sup> ]																$\tau_{max}$ (daN/cm <sup>2</sup> )
		dreapta - față				dreapta - spate				stinga - spate				stinga - față				
		a	b	c	d	a	b	c	d	a	b	c	d	a	b	c	d	
12	I'a - I'a	-109	59	39	-129	99	-69	-29	139	108	-60	-38	130	-118	50	48	-120	2248
	I'a - I'a	-425	-527	467	570	125	227	-167	-270	125	227	-167	-270	-425	-527	467	570	2248
	I''a - I''a	-549	-460	512	422	463	373	-425	-336	469	379	-432	-342	-556	-466	518	429	2248
10	I'b - I'b	-120	-90	199	78	121	91	-110	-121	122	91	-110	-80	-121	-90	109	79	7
	I'b - I'b	-122	-146	131	155	-679	-655	670	646	-702	-678	693	669	-99	-123	108	132	7
Longeron	II - II	56	76	-54	-74	-35	-55	34	54	-34	-54	33	53	55	75	-53	-73	55
	III - III	7	-76	-18	65	-286	-203	264	181	-304	-221	272	190	25	58	-26	57	47
	IV - IV	-407	-504	362	458	-733	-637	666	570	-796	-700	723	626	-345	-441	305	402	40
	V - V	-472	-570	423	520	-577	-660	690	592	-826	-729	753	655	-403	-501	360	458	38
	VI - VI	-614	-735	554	675	-1004	-883	918	797	-1105	-984	1011	890	-513	-634	530	582	37
	VII - VII	-588	-1287	499	627	-877	-749	766	639	-968	-840	846	718	-497	-625	419	547	34
	VIII - VIII	-608	-732	536	661	-860	-736	777	652	-952	-827	858	734	-516	-640	455	579	33
	IX - IX	-660	-777	587	704	-812	-695	737	619	-905	-787	820	702	-568	-685	504	621	32
	X - X	-655	-756	599	701	-741	-639	687	585	-828	-726	767	666	-567	-669	519	620	31
	XI - XI	-723	-835	685	797	-782	-670	744	636	-876	-764	837	725	-629	-741	596	709	30
	XII - XII	-831	-957	821	946	-867	-742	858	733	-973	-848	963	838	-725	-851	716	841	31
	Traversa crapodinei			dreapta				stinga										
		a	b	c	d	a	b	c	d	a	b	c	d					
XIII - XIII			-482	-582	505	589	-482	-582	505	589					152			
XIV - XIV			-603	-772	601	743	-603	-772	601	743					148			
XV - XV			-692	-894	601	857	-692	-894	601	857					105			
XVI - XVI			-631	-1043	645	990	-631	-1043	645	990					87			
XVII - XVII			-629	-1065	685	1047	-629	-1065	685	1047					82			
XVIII - XVIII		-478	-844	874	1054	-478	-844	874	1054					72				

Tabelul 5.6

Tensiuni extreme la regimul de mers in curbă

		$\sigma = \pm \sigma_x \pm \sigma_y$ [daN/cm <sup>2</sup> ]																$\tau_{max}$ (daN/cm <sup>2</sup> )
		dreapta - față				dreapta - spate				stinga - spate				stinga - față				
		a	b	c	d	a	b	c	d	a	b	c	d	a	b	c	d	
12	I'a - I'a	-354	733	-99	1186	115	-126	-15	227	-54	68	4	-118	820	-1196	20	2036	13
	I'a - I'a	400	-361	-83	678	-403	-47	255	-101	-85	-158	116	118	-2409	586	1164	1831	13
10	I'b - I'b	-322	146	144	-324	328	-147	-147	328	-60	+27	27	-60	744	-335	-333	746	11
	I'b - I'b	42	-519	117	732	-461	327	411	276	-284	-386	323	426	-884	-42	564	-278	11
Longeron	II - II	23	100	24	-99	35	-21	-35	21	2	21	-2	-21	227	-271	-227	271	1665
	III - III	-124	-119	123	118	-127	-183	112	167	-117	-107	107	97	115	-407	-128	394	1460
	IV - IV	-513	-572	458	517	-522	-527	579	584	-416	-411	374	370	-465	-435	420	389	970
	V - V	-565	-637	510	581	-695	-680	632	617	-458	-455	416	413	-606	-355	562	311	925
	VI - VI	-600	-1126	521	1047	-993	-930	905	842	-557	-591	504	538	-1071	-283	1009	221	1230
	VII - VII	-395	-1189	289	1083	-892	-811	778	697	-508	-567	435	494	-1100	-100	1020	20	1120
	VIII - VIII	-378	-1222	296	1140	-891	-807	803	-719	-515	-578	459	522	-1110	-86	1044	-24	1110
	IX - IX	-296	-1336	213	1253	-881	-785	797	701	-525	-607	467	548	-1151	-19	1092	-40	1070
	X - X	-253	-1307	139	1247	-826	-734	766	674	-503	-588	460	545	-1090	-4	1048	-38	1025
	XI - XI	-194	-1498	154	1458	-888	-778	848	739	-542	-648	514	620	-1233	=63	1205	-91	1005
	XII - XII	-165	-1753	154	1742	1001	870	990	859	-613	-743	604	734	-1374	+88	1366	96	1020
	Traversa crapodinei			Dreapta				Stinga										
		a	b	c	d	a	b	c	d	a	b	c	d					
XIII - XIII			-675	-343	663	384	-279	-608	322	598					236			
XIV - XIV			-751	-483	716	492	-431	-699	441	664					192			
XV - XV			-706	-551	682	552	-519	-682	520	657					137			
XVI - XVI			-740	-661	718	651	-626	-718	617	695					113			
XVII - XVII			-730	-666	739	686	-640	-718	660	726					107			
XVIII - XVIII		-535	-542	732	738	-525	-531	712	718					105				

În tabelul 5.6. în care s-au prezentat tensiunile care apar în regimul de mers în curbă, s-au însumat algebric tensiunile care apar la mersul în aliniament cu tensiunile suplimentare la mersul în curbă.

Observații :

a) Din studierea regimului de mers în aliniament se remarcă existența în acest caz a unor tensiuni tangențiale cu valori deosebit de mici și aportul neglijabil al sarcinii antisimetrice la starea de tensiune globală.

Deoarece acesta este regimul cel mai frecvent de exploatare, aspectul tensiunilor dă o predicție favorabilă privind comportarea la durabilitate a structurii.

b) La regimul de frînare în aliniament valorile tensiunilor normale nu depășesc  $1054 \text{ daN/cm}^2$  (traversa crapodinei) în schimb este de subliniat apariția unor valori deosebit de mari pentru tensiunea tangențială ( $2248 \text{ daN/cm}^2$ ) în secțiunea de capăt a traversei frontale formată dintr-un profil U.12.

c) La regimul de mers în curbă apar tensiuni normale  $\sigma_y$  cu valori foarte mari, care ating de exemplu în traversele frontale (U12)  $2120 \text{ daN/cm}^2$ , în lonjeroane  $794 \text{ daN/cm}^2$  iar în traversa crapodinei  $166 \text{ daN/cm}^2$ . Aceste tensiuni sînt produse de o încovoiere în planul orizontal (planul boghiului) și se suprapun tensiunilor  $\sigma_z$  făcînd ca în anumite puncte din secțiune să se obțină valori destul de însemnate : traversele frontale :  $2409 \text{ daN/cm}^2$  ; lonjeroanele laterale :  $-1753 \text{ daN/cm}^2$  ; traversa crapodinei :  $-151 \text{ daN/cm}^2$ . De asemenea în lonjeroanele laterale (secțiunile IV...XII) apar tensiuni tangențiale cu valori foarte mari de la  $925 \text{ daN/cm}^2$  pînă la  $1665 \text{ daN/cm}^2$ .

d) Se consideră că aceste valori mari, care apar totuși destul de izolat, sînt în parte datorate ipotezelor de calcul, aproximațiilor în plus făcute la determinarea forțelor exterioare, și mai ales aproximării rigidității reale variabile, prin valori medii constante pe porțiuni. Acest lucru a fost impus de metodică de calcul și de complexitatea secțiunilor transversale prin lonjeronul lateral. O analiză detaliată a acestei porțiuni din cadrul boghiului arată că față de considerațiile inițiale făcute la adoptarea modelului de calcul, apar elemente constructive care rigidizează lonjeronul precum și o trecere continuă cu rază mare de racordare la traversa crapodinei, avînd același efect. Acest lucru sugerează necesitatea unui stu-

Lu experimental al rigidității la torsiune a grinzilor cu asemenea forme complexe de secțiuni, pentru stabilirea unei legi de variație a acestei rigidități cât mai apropiată de realitate.

e) In orice caz, deși tensiunile calculate sînt valori maxime produse în anumite ipoteze de calcul, ele atrag atenția asupra faptului că în anumite condiții de execuție cînd nu este asigurată rigidizarea completă și corectă a elementelor lonjeroanelor și traverselor frontale, la înscrierea în curbă pot să apară tensiuni normale și tangențiale de valori mari, care să producă amorse de fisurare și de distrugere ulterioară a construcției. Se certifică astfel necesitatea elementelor de rigidizare care au deci nu numai un scop funcțional ci și o contribuție la creșterea capacității de rezistență.

5.4.2.5. Studiul comparativ în tensiuni pentru două modele de calcul [50]. Diferența mare de rigiditate atît la încovoiere - în ambele planuri - cît și la răsucire, dintre lonjeroanele mari și traversa crapodinei pe de o parte și lonjeroanele mici și traversele frontale, pe de altă parte, sugerează ideea că pentru calculul stării de eforturi s-ar putea adopta un model mecanic simplificat de structură static determinată, în formă de H, format numai din lonjeroanele laterale dreapta și stînga și traversa crapodinei, care să aibă avantajul unei rezolvări rapide. Pentru acest model simplificat care nu ține seama de rigidizările introduse de celelalte elemente ale boghiului, trasarea diagramelor de eforturi și calculul tensiunilor este simplu și imediat, deoarece solicitările sînt produse numai de sarcinile exterioare date. Deși soluția prin simplitatea ei este foarte convenabilă, pentru a evidenția erorile pe care la poate introduce acest calcul aproximativ, ce pare justificat la o primă analiză, rezultatele se vor compara cu cele obținute pe modelul de structură hiperstatică.

Forțele exterioare care încarcă acest model sînt prezentate în fig.5.35.

Diagramele de eforturi produse de sarcinile dinamice suplimentare, cu indicarea valorilor în secțiunile caracteristice sînt prezentate în figurile 5.36 ; 5.37 ; 5.38.

Tensiunile rezultante sînt prezentate în tabelele 5.7 ; 5.8 ; și 5.9.

---

[50] BOLLANTU L., DOBRE I., IEREMICIU T., DUMITRU I., NEGUT N., JUNG E.: Studiul comparativ în tensiuni a două modele de calcul al unui cadru de boghiu. In Buletinul științific și tehnic al I.P.T. Seria mecanică, Tom 18(32) fasc.2/1973, p.123-137

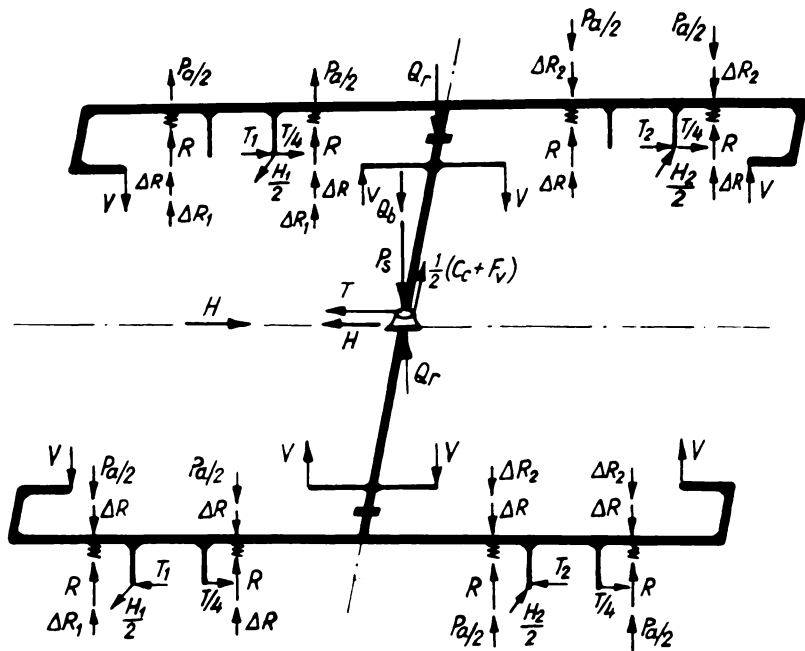


Fig. 5.35

Forțele care solici-  
tă modelul II (static  
determinat) la dife-  
rite regimuri de ex-  
ploatare

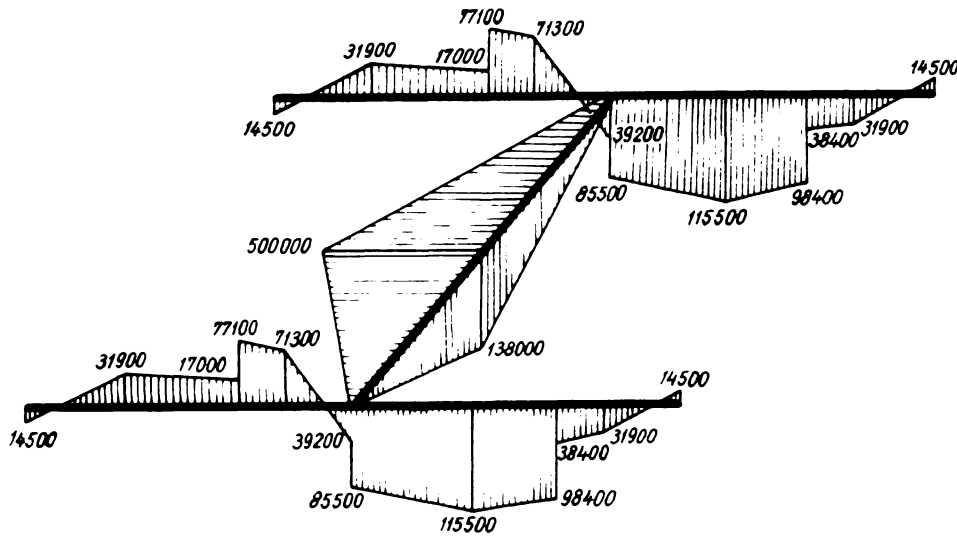


Fig. 5.36

Diagrama de momente  
încovoietoare produ-  
se de sarcinile dina-  
mice care încarcă su-  
plimentar cadrul bo-  
ghiului-pentru mode-  
lul II-la regimul de  
frinare în aliniament

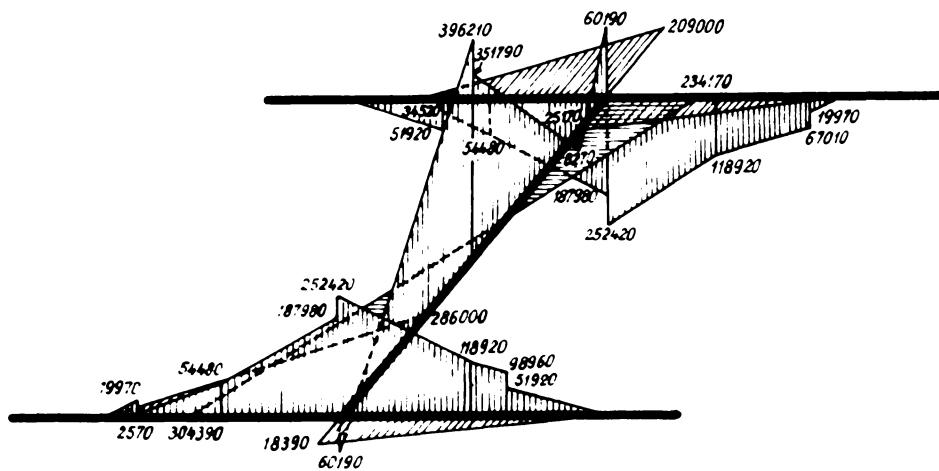


Fig. 5.37

Diagrama momentelor  
încovoietoare produse  
de suprasarcinile di-  
namice la regimul de  
mers în curbă, pentru  
modelul II

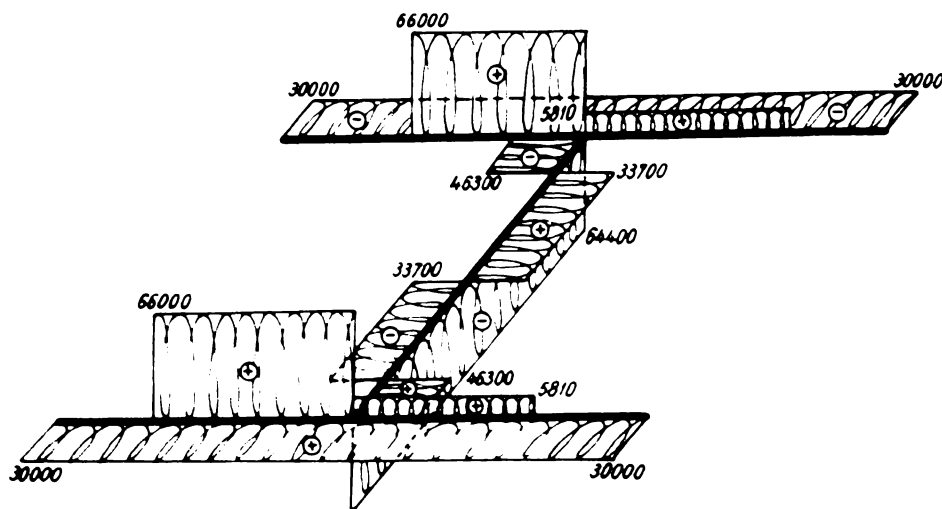
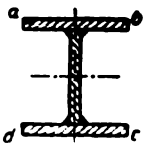
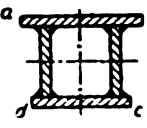


Fig. 5.38

Diagramele momentelor  
de încovoiere produse  
de suprasarcinile di-  
namice pentru modelul  
II (frînare) - plan o-  
rizontal)

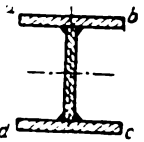
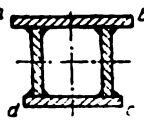
Tabelu 5.7

Tensiuni extreme la regimul de mers in aliniament

Secțiunea		$\sigma = \pm \sigma_x \pm \sigma_y$ [daN/cm <sup>2</sup> ]																$\tau_{max}$ [ $\frac{daN}{cm^2}$ ]
		dreapta - față				dreapta - spate				stînga - spate				stînga - față				
		a	b	c	d	a	b	c	d	a	b	c	d	a	b	c	d	
Longeron	II - II	-	-	-	-	-	-	-	-	-	-	-	-	-	-	-	-	-
	III - III	-153	-153	143	143	-133	-133	125	125	-153	-153	143	143	-133	-133	125	125	-
	IV - IV	-521	-521	469	469	-457	-457	411	411	-521	-521	469	469	-457	-457	469	469	-
	V - V	-570	-570	517	517	-500	-500	453	453	-570	-570	517	517	-500	-500	517	517	-
	VI - VI	-838	-838	762	762	-736	-736	668	668	-838	-838	762	762	-736	-736	762	762	-
	VII - VII	-755	-755	655	655	-663	-663	575	575	-755	-755	655	655	-663	-663	655	655	-
	VIII - VIII	-756	-756	680	680	-664	-664	596	596	-756	-756	680	680	-664	-664	680	680	-
	IX - IX	-756	-756	680	680	-664	-664	596	596	-756	-756	680	680	-664	-664	680	680	-
	X - X	-715	-715	674	674	-627	-627	592	592	-715	-715	674	674	-627	-627	674	674	-
	XI - XI	-769	-769	733	733	-675	-675	643	643	-769	-769	733	733	-675	-675	733	733	-
	XII - XII	-869	-869	861	861	-763	-763	755	755	-869	-869	861	861	-763	-763	861	861	-
	Traversa crapodinei		dreapta				stînga				$\tau_{max}$ [ $\frac{daN}{cm^2}$ ]							
a			b	c	d	a	b	c	d									
Traversa crapodinei	XIII - XIII	-511	-511	524	524	-511	-511	524	524	132								
	XIV - XIV	-656	-656	645	645	-656	-656	645	645	108								
	XV - XV	-710	-710	700	700	-710	-710	700	700	76								
	XVI - XVI	-800	-800	784	784	-800	-800	784	784	63								
	XVII - XVII	-810	-810	826	826	-810	-810	826	826	60								
	XVIII - XVIII	-631	-631	860	860	-631	-631	860	860	59								

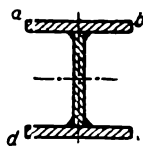
Tabelul 5.8

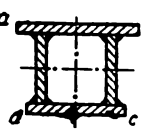
Tensiuni extreme la regimul de frinare in aliniament

Secțiunea		$\sigma = \pm \sigma_x \pm \sigma_y$ [daN/cm <sup>2</sup> ]																$\tau_{max}$ [ $\frac{daN}{cm^2}$ ]
		dreapta - față				dreapta - spate				stînga - spate				stînga - față				
		a	b	c	d	a	b	c	d	a	b	c	d	a	b	c	d	
Longeron	II - II	-	-	-	-	-	-	-	-	-	-	-	-	-	-	-	-	1350
	III - III	-47	-47	46	46	-255	-255	236	236	-275	-275	254	254	-27	-27	29	29	1150
	IV - IV	-463	-463	421	421	-709	-709	638	638	-773	-773	696	696	-404	-404	364	364	278
	V - V	-529	-529	479	479	-729	-729	661	661	-799	-799	725	725	-464	-464	416	416	232
	VI - VI	-684	-684	622	622	-974	-974	885	885	-1076	-1076	979	979	-582	-582	529	529	208
	VII - VII	-658	-658	571	571	-837	-837	726	726	-929	-929	806	806	-565	-565	490	490	828
	VIII - VIII	-676	-676	607	607	-821	-821	737	737	-913	-913	821	821	-583	-583	524	524	818
	IX - IX	-722	-722	649	649	-775	-775	696	696	-867	-867	780	780	-629	-629	565	565	786
	X - X	-708	-708	667	667	-706	-706	665	665	-794	-794	746	746	-620	-620	586	586	753
	XI - XI	-780	-780	744	744	-741	-741	707	707	-836	-836	797	797	-686	-686	654	654	738
	XII - XII	-897	-897	888	888	-823	-823	815	815	-930	-930	921	921	-791	-791	783	783	750
	Traversa crapodinei		dreapta				stînga				$\tau_{max}$ [ $\frac{daN}{cm^2}$ ]							
a			b	c	d	a	b	c	d									
Traversa crapodinei	XIII - XIII	-456	-622	483	622	-456	-622	483	622	173								
	XIV - XIV	-578	-806	584	776	-578	-806	584	776	132								
	XV - XV	-571	-925	589	886	-571	-925	589	886	94								
	XVI - XVI	-615	-1071	629	1025	-615	-1071	629	1025	78								
	XVII - XVII	-614	-1074	669	1073	-614	-1074	669	1073	74								
	XVIII - XVIII	-467	-863	740	1074	-467	-863	740	1074	72								



**Tabelul 5.9** Tensiuni extreme la regimul de mers în curbă pentru cele două modele de calcul

Secțiunea		$\sigma = \pm \sigma_x \pm \sigma_y$ [daN/cm <sup>2</sup> ]																$\tau_{\max}$ [daN/cm <sup>2</sup> ]
		dreapta-față				dreapta-spate				stinga-spate				stinga-față				
		a	b	c	d	a	b	c	d	a	b	c	d	a	b	c	d	
Longeron	II- II	-	-	-	-	-	-	-	-	-	-	-	-	-	-	-	-	-
	III- III	-179	-179	123	167	-160	-160	149	149	-126	-126	119	119	-107	-107	101	101	-
	IV- IV	-608	-608	548	548	-691	-645	624	579	-434	-434	390	390	-672	-152	631	111	2160
	V- V	-666	-666	603	603	-729	-666	663	600	-474	-474	430	430	-801	-83	760	42	2060
	VI- VI	-734	-1150	648	1064	-1030	-920	941	832	-581	-617	525	562	-1284	-20	1226	-78	1990
	VII- VII	-520	-1190	407	1077	-928	-794	815	681	-528	-587	453	512	-1324	198	1249	-273	1870
	VIII- VIII	-497	-1219	411	1133	-924	-790	837	703	-532	-595	474	538	-1324	200	1267	-258	1850
	IX- IX	-407	-1323	319	1235	-910	-771	825	686	-539	-620	480	561	-1345	235	1289	-291	1730
	X- X	-349	-1293	300	1244	-850	-722	804	675	-515	-597	485	568	-1251	209	1224	-236	1650
	XI- XI	-295	-1475	254	1434	-913	-764	875	723	-553	-657	524	628	-1409	291	1382	-318	1625
	XII- XII	-283	-1723	273	1713	-1028	-855	1019	845	-628	-753	621	747	-1614	356	1608	-362	1645

Traversa crapodinei		dreapta				stinga				$\tau_{\max}$ [daN/cm <sup>2</sup> ]
		a	b	c	d	a	b	c	d	
XIII- XIII		-674	-374	663	412	-272	-688	317	667	189
		-675	-343	663	384	-279	-608	322	598	236
XIV- XIV		-726	-492	697	501	-420	-760	438	724	156
		-751	-483	716	492	-431	-699	441	664	192
XV- XV		-690	-570	671	571	-508	-720	517	695	109
		-706	-551	682	552	-519	-682	520	657	137
XVI- XVI		-717	-678	700	667	-620	-745	617	721	86
		-740	-661	718	651	-626	-718	617	695	113
XVII- XVII		-714	-693	727	709	-636	-742	658	748	86
		-730	-666	739	686	-640	-718	650	720	107
XVIII- XVIII		-50	-558	730	753	-519	-547	714	738	84
		-535	-542	732	738	-525	-531	712	718	105

La analiza rezultatelor se va considera modelul static nedeterminat ca un model exact, ales drept criteriu de comparație. În această ordine de idei, pentru a ușura analiza comparativă a tensiunilor care apar la cele două modele, în tabelul 5.9 în care se prezintă rezultatele la mersul în curbă, s-au trecut pentru fiecare secțiune analizată - în prima linie - tensiunile de la modelul H, iar în a doua linie, tensiunile de la modelul static nedeterminat. Se remarcă următoarele :

În secțiunea VII-VII, tensiunea normală maximă apare la regimul de mers în curbă. În lonjeronul "dreapta-față", de exemplu, diferența procentuală este foarte mică :

$$\Delta \sigma \% = \frac{1189 - 1190}{1189} 100 = 0,05 \%$$

În schimb în lonjeronul "stînga-față" la calculul aproximativ tensiunea maximă este relativ ridicată (1324 daN/cm<sup>2</sup>) diferența procentuală fiind sensibil mărită :

$$\Delta \sigma \% = \frac{1100 - 1324}{1100} 100 = -20,4 \%$$

Chiar dacă nu se ține seama de faptul că tensiunile maxime apar în lonjeroane diferite, eroarea de metodă ajunge totuși de peste 10 % :

$$\Delta \sigma \% = \frac{1189 - 1324}{1189} 100 = -11,4 \%$$

Tensiunea tangențială este mai mare cu :

$$\Delta \tau \% = \frac{1773 - 1870}{1733} 100 = -8 \%$$

5.4.3. Cazul B : cadrul bicicletei tip Tohan. Calculul este în întregul similar și se vor prezenta numai câteva rezultate intermediare și tensiunile finale determinate pentru regimurile de încărcare și modelele adoptate în § 5.2 (v.fig.5.13). Detalii în [40] și [133].

Sistemele echivalente pentru cele două modele de calcul în cazul de încărcare  $\sum F = 170$  daN, sînt reprezentate în fig.5.39. Pentru celelalte încărcări ( $\sum F = 81,2$  daN și  $\sum F = 30$  daN, v. fig.5.13) sistemele sînt identice, modificîndu-se numai diagramele relative la sistemul de bază.

---

[133] DOBRE I., LUMITRU I.: Analiza teoretică și experimentală a stării de tensiune dintr-un cadru de bicicletă la solicitări statice. În "Lucrările simpozionului Rezistența îmbinărilor sudate", Iași, 27-29 sept.1973, vol.II, p.20-28

Tabloul 5.10

Analiza stărilor de tensiune în cadrele de biciclete tip Rohan

Cazurile analizate		Tensiuni $\sigma$ [kgf/cm <sup>2</sup> ]																		
		Secțiunea																		
0		I <sup>a</sup> <sub>b</sub>	V <sup>a</sup> <sub>1b</sub>	II <sup>a</sup> <sub>b</sub>	III <sup>a</sup> <sub>b</sub>	X <sup>a</sup> <sub>b</sub>	IX <sup>a</sup> <sub>b</sub>	IV <sup>a</sup> <sub>b</sub>	V <sup>a</sup> <sub>b</sub>	VI <sup>a</sup> <sub>b</sub>	VII <sup>a</sup> <sub>b</sub>	C <sup>a</sup> <sub>2b</sub>	VIII <sup>a</sup> <sub>b</sub>	XI <sup>a</sup> <sub>b</sub>	C <sup>a</sup> <sub>3b</sub>	XII <sup>a</sup> <sub>b</sub>	XIII <sup>a</sup> <sub>b</sub>	C <sup>a</sup> <sub>4b</sub>	C <sup>a</sup> <sub>5b</sub>	
Cazul 1 M = 170 kg B. Structura cu nodul (F) articulată	A. Structura cu noduri rigide A.1. Se consideră numai efectul încovoierii A.2. Influența forței axiale B.1. Se consideră numai efectul încovoierii B.2. Influența forței axiale	1	2	3	4	5	6	7	8	9	10	11	12	13	14	15	16	17	18	
		-620	-1161,4	-1270,7	-901,8	-321,8	322	-1214,2	-267,2	621,8	320,2	-8,9	-336,6	231,9	137,5	51,4	-54,2	-33,5	-13,4	-13,4
		561	1098,6	1209,3	748,2	168,2	-475,8	1365,8	418,8	-470,2	-393,8	-64,7	259,4	-158,1	-63,5	22,6	-115	-137,5	-155,8	-155,8
		-620	-1161,4	-1270,7	-903,6	-387,6	189,4	-1225,3	-244,3	685,7	293,9	4,3	-281,1	299,2	155,8	22,3	6,5	-37,9	-37,9	-75,56
Cazul 2 M = 81 kg B. Structura cu nodul (F) articulată și considerarea acțiunii simultane a momentului încovoietor și a forței axiale	A. Structura cu noduri rigide și considerarea acțiunii simultane a momentului încovoietor și a forței axiale B. Structura cu nodul (F) articulată și considerarea acțiunii simultane a momentului încovoietor și a forței axiale	-620	-1161,4	-1270,7	-679,2	-395,2	296,8	-1229,2	-245,2	677,8	285,4	-37	-359,6	292,6	151,6	20,1	5,8	-37,3	-75,9	
		561	1098,6	1209,3	724,6	240,8	-451,2	1380,8	396,8	-526,2	-352,6	-30,2	292	-219,4	-78,4	-53,1	-176,6	-133,4	-94,9	
		-264	-494,6	-545	-309,2	-120	72,3	-433,5	-75,5	252,5	130,6	13,6	-99,6	92,35	56,1	23,77	-29,5	-25,2	-21,2	
		239,3	465,4	510,9	220,8	31,6	-160,7	530,5	172,5	-155,5	-133,4	-16,61	96,79	-55	-18,7	13,63	-56,3	-61,2	-64,6	
Cazul 3 M = 81 kg B. Structura cu nodul (F) articulată și considerarea acțiunii simultane a momentului încovoietor și a forței axiale	A. Structura cu noduri rigide și considerarea acțiunii simultane a momentului încovoietor și a forței axiale B. Structura cu nodul (F) articulată și considerarea acțiunii simultane a momentului încovoietor și a forței axiale	-264	-494,6	-545	-300,5	-118,8	64,5	-428,6	-64,6	275,4	109,4	1,2	-105,1	123,7	65,4	10,8	-4,1	-24	-39,5	
		239,3	465,4	518,9	211,5	29,8	-153,5	525,4	161,4	-178,6	-109,6	-1,38	104,9	-86,3	-28	26,6	-82,7	-63,6	-47,3	
		-63,6	-156,6	-172,1	-77	-34,7	9,8	-106,2	-13,2	75,8	35,38	5,34	-24,2	28,2	17,6	7,86	-12,5	-13,4	-14,34	
		75,4	147,4	162,9	43	0,7	-43,8	145,8	52,8	-36,6	-36,62	-6,58	23,02	-13,4	-2,8	6,93	-21,5	-20,6	-19,65	
Cazul 4 M = 81 kg B. Structura cu nodul (F) articulată și considerarea acțiunii simultane a momentului încovoietor și a forței axiale	A. Structura cu noduri rigide și considerarea acțiunii simultane a momentului încovoietor și a forței axiale B. Structura cu nodul (F) articulată și considerarea acțiunii simultane a momentului încovoietor și a forței axiale	-63,6	-156,6	-172,1	-81,3	-37	7,4	-116,2	-9,2	84,6	26,02	1,38	-23,18	41,23	22,05	4,34	-3,8	-10,25	-15,95	
		75,4	147,4	162,9	47,1	2,8	-41,6	155,2	48,4	-45,4	-26,38	-1,74	22,82	-26,37	-7,15	10,65	-31	-24,55	-18,65	

Handwritten text, possibly a signature or name, oriented vertically.

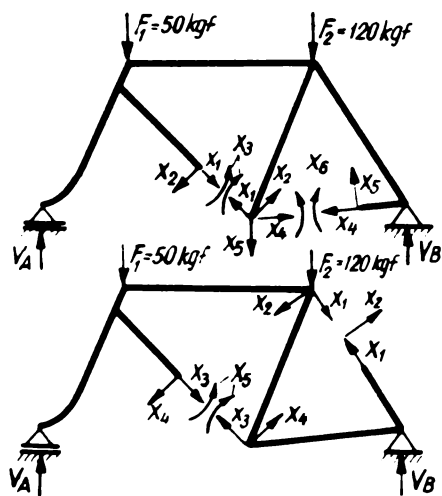


Fig. 5.39

Sisteme echivalente pentru calculul de rezistență al cadrului de boghiu

Se ilustrează - de exemplu - în figurile 5.40 și 5.41 diagramele finale de eforturi pentru cele două modele, în cazul I ( $\sum F = 170 \text{ daN}$ ). Forțele axiale sînt desenate cu semn, momentele încovoietoare pe fibra întinsă.

Secțiunile în care s-au calculat tensiunile sînt cele prezentate în Fig. 5.42 și coincid cu locurile de analiză experimentală, rezultatele comparative fiind prezentate în cap. 6. Tensiunile calculate sînt redată în tabelul 5.10.

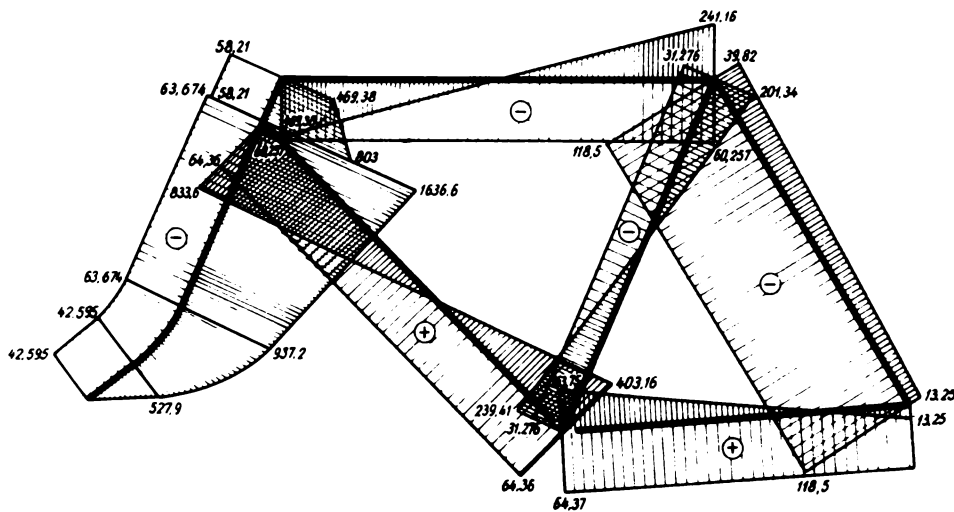


Fig. 5.40

Eforturi (momente încovoietoare și forțe axiale) pentru varianta cu nodul rigid și primul mod de încărcare ( $\sum F = 170 \text{ daN}$ )

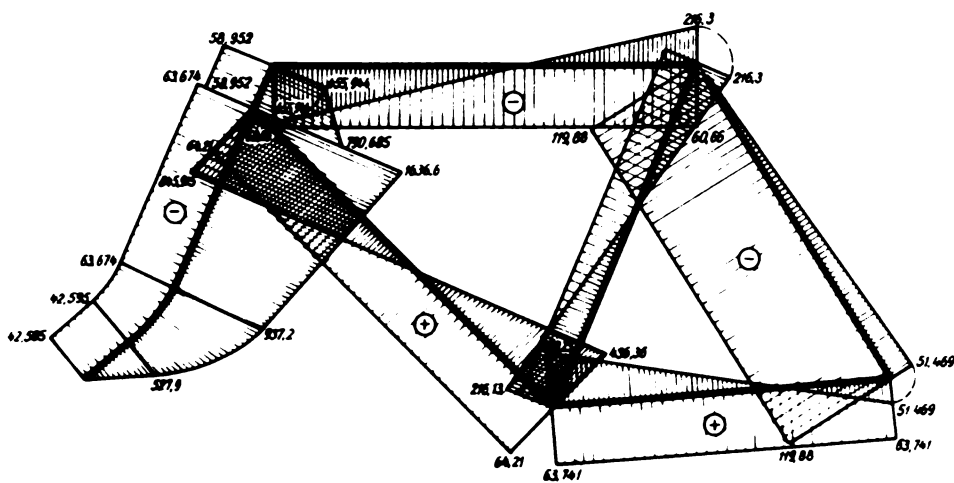


Fig. 5.41

Eforturi (momente încovoietoare și forțe axiale) pentru varianta cu nodul articulată și primul mod de încărcare ( $\sum F = 170 \text{ daN}$ )

Modul de încărcare și forma constructivă a structurii au sugerat ideea apariției unor forțe axiale care au pot fi neglijate în calculul stării de tensiune. Pentru a stabili ordinea de mărime

al influenței forțelor axiale, s-a făcut calculul stării de tensiune fără considerarea acestor forțe, atât la determinarea coeficienților de influență cât și la stabilirea stării finale de eforturi.

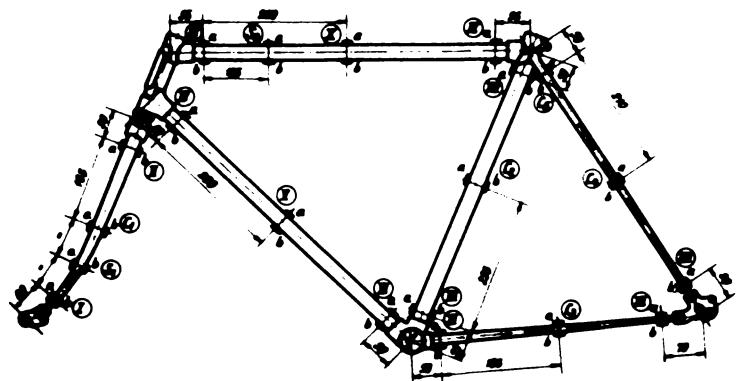
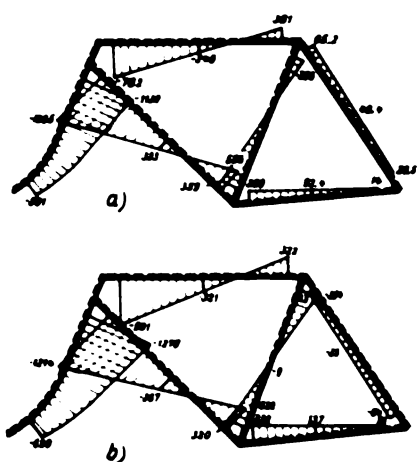


Fig. 5.42

Cadru de bicicletă și indicarea secțiunilor în care s-au determinat tensiunile (teoretic și experimental)

Rezultatele sînt prezentate în fig. 5.43, a pentru cadru cu noduri rigide și încărcarea  $\sum F = 170 \text{ daN}$  unde s-au reprezentat tensiunile numai pentru fibrele superioare, a căror poziție este marcată printr-o linie întreruptă.

În fig. 5.43, b s-au reprezentat tensiunile în aceleași secțiuni și fibre pentru cazul în care s-au luat în considerare, pe tot parcursul calculelor, și forțele axiale.



Se observă apariția unor diferențe relativ însemnate, care au valori pozitive (în sensul creșterii tensiunilor) de la 4,5 % pînă la 13,8 % și valori negative (în sensul micșorării tensiunilor) de la -5,8 % pînă la -32,5 %. Se subliniază astfel necesitatea ca în cazul unor astfel de structuri, să se ia în considerare și efectul forțelor axiale.

Fig. 5.43

Influența forței axiale asupra stării de tensiune ( $\sum F = 170 \text{ daN}$ )

### 5.5. Observații finale și concluzii

În acest capitol s-a abordat problema calculului static al structurilor hiperstatice, cu aplicație directă la structura de rezistență a unui boghiu tip Y25-Cs și a unui cadru de bicicletă tip Tohan. Deși problema generală este îndeobște cunoscută, metodologia de aplicare și rezultatele obținute au evidențiat câteva elemente noi și interesante. Astfel :

1. Utilizarea acestei metode permite analiza stării de tensiune pentru orice variantă constructivă imaginată de proiectant,

fără a mai fi nevoie de efectuarea unui volum mare de încercări experimentale. Este evident că verificările experimentale nu pot fi total evitate, însă printr-un calcul prealabil, cât mai complet, ele pot fi reduse la un număr minim. Se atestă astfel utilitatea efectuării analizei teoretice comparative a stărilor de tensiune pentru diverse variante constructive, facilitată de utilizarea calculatoarelor numerice, care coroborate în final cu rezultatele experimentale, poate conduce la o variantă optimă.

2. Calculul aproximativ al boghiului Y25-Cs, prezentat în ipoteza neglijerii efectului de rigidizare a lonjeroanelor mici și traverselor frontale, reducînd cadrul la o structură static determinată în formă de H, conduce la tensiuni care pot să difere uneori cu mult mai mult de 10 % față de cele determinate în ipoteza structurii static nedeterminate. Această aproximație care se folosește destul de des datorită simplității, este cu mult prea mare pentru ca o asemenea metodologie să poată fi considerată satisfăcătoare. Deși acest calcul în multe secțiuni este acoperitor, el nu este economic.

3. Comparația celor două modele de calcul (pentru boghiul Y25-Cs) evidențiază faptul că rigidizările prin traversele frontale și lonjeroanele mici reduc solicitările în traversa crapodinei cu (8...12) %, efect care nu poate fi neglijat și care ar putea fi folosit în scopul unei uniformizări a stării de tensiune din cadru.

4. Modelul mecanic de structură static nedeterminată, constituit, în cadrul ipotezelor formulate, un calcul satisfăcător pentru stadiul actual al structurilor de rezistență în acest domeniu. Acest model ia în considerare caracteristicile esențiale ale structurii : caracterul spațial, nedeterminarea interioară și în special variația de rigiditate a diferitelor elemente. Influența neglijată a forțelor tăietoare și a răsucirii împiedicate este sub 7 % [62].

5. Pentru structurile de tipul cadrelor de biciclete, cu bare scurte solicitate complex, s-a demonstrat necesitatea considerării forțelor axiale atât în calculul coeficienților de influență, cât și la stabilirea stării finale de eforturi, abaterile putînd să ajungă pînă la 30 %.

6. S-au realizat programe complete de calcul pentru studiul în paralel a unui număr oarecare de variante de încărcare, ceea ce permite proiectantului cunoașterea comparativă simultană a rezultatelor necesare stabilirii variantei optime.

## CAPITOLUL 6

### MĂSURĂTORI ȘI VERIFICĂRI EXPERIMENTALE STATICE ȘI DINAMICE

#### 6.1. Cercetări experimentale la solicitări statice. Comparația tensiunilor.

Măsurătorile și verificările experimentale pentru cele două structuri analizate au fost efectuate în cadrul laboratorului de Rezistența materialelor - pentru cadrele de biciclete - și sînt cuprinse în lucrările [38], [39], [133], [134], [136], [137], [483], [484], [486] și de către Institutul de studii și cercetări în transporturi - pentru boghiul Y 25-Cs - prezentate în protocolul [512], pe baza cărui s-au putut face comparațiile în tensiuni dintre calculul teoretic și rezultatele experimentale. Autorul a mai dispus și de valorile experimentale ale tensiunilor obținute în cadrul probelor executate în 1967 la Utrecht de comisia de experți B12 ai O.R.E. care a încercat și omologat boghiul în cadrul U.I.C. [474].

6.1.1. Caracteristici de material. Cadrul boghiului Y25-Cs este fabricat din OL42-3K, avînd : limita de curgere  $\sigma_c = 25 \text{ daN/mm}^2$  rezistența la rupere  $\sigma_r = 42...50 \text{ daN/mm}^2$  și rezistența la cheseală  $\sigma_{-1} = 21...25 \text{ daN/mm}^2$ .

Cadrelle de biciclete sînt realizate din țevi de oțel OL32 DIN 132/1969 (C = 0,13 % ; Mn = 0,39 % ; Si = 0,02 % ; P = 0,024 %) de diverse dimensiuni, realizate prin sudură. Pentru acestea s-au determinat experimental caracteristicile mecanice la tracțiune. Pentru fiecare epruvetă s-a trasat o diagramă caracteristică (v.fig.6.1) și s-au determinat : modulul de elasticitate longitudinal (E) ; limita de proporționalitate tehnică ( $\sigma_{10}$ ) ; limita de elasticitate tehnică ( $\sigma_{0,01}$ ) ; limita de curgere tehnică ( $\sigma_{0,2}$ ) ; rezistența la rupere ( $\sigma_r$ ) și alungirea la rupere ( $\delta_5$ ). Ince cările s-au efectuat pe o mașină de tracțiune tip Louis Schopper, folosind un extensometru Martens cu pîrghie optică dublă.

[137] DOBRE I.; DUMITRU I.: Analiza solicitărilor statice într-un cadru de bicicletă. Buletinul științific și tehnic I.P.T., Tom 19 (23), fasc.2/1974 - Seria mecanică - p.161-171



Rezultatele sînt centralizate în tabelul 6.1.

Tabelul 6.1

Semnul eprovei	a [mm]	D <sub>0</sub> [mm]	D <sub>0</sub> -a [mm]	S <sub>0</sub> [cm <sup>2</sup> ]	Caracteristici mecanice de rezistență și plasticitate					
					σ <sub>med</sub> · 10 <sup>-6</sup>	σ <sub>10</sub>	σ <sub>0,01</sub>	σ <sub>0,2</sub>	σ <sub>r</sub>	δ <sub>5</sub>
					$\frac{[daN]}{[cm^2]}$	$\frac{[daN]}{[cm^2]}$	$\frac{[daN]}{[cm^2]}$	$\frac{[daN]}{[cm^2]}$	$\frac{[daN]}{[cm^2]}$	[%]
1'	1,085	28,15	27,055	0,923	2,040	2397	3198	3890	4440	21,2
1	1,303	26,03	24,70	1,004	2,015	-	-	2490	3782	25,8
2	1,098	27,59	26,49	0,913	2,035	1490	2115	2190	3517	26,8
3	1,071	27,99	26,92	0,906	2,022	2630	-	3350	3780	-
3'	1,060	28,17	27,11	0,905	2,023	3302	3800	4450	4680	-

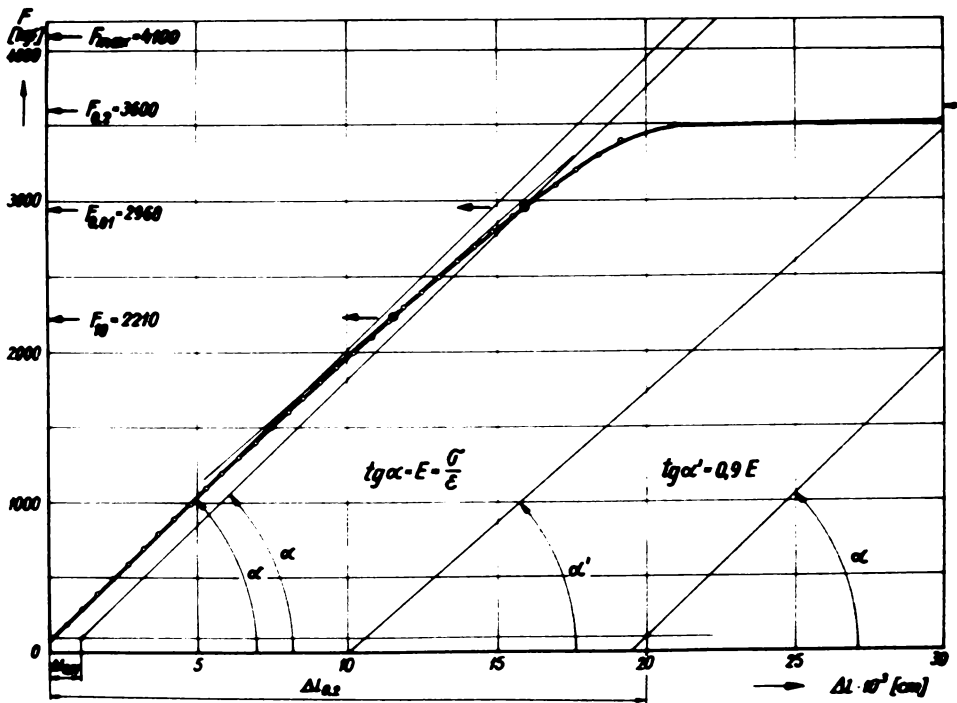


Fig. 6.1

Diagrama caracteristică convențională (F-Δl) pentru o țeavă din oțel OL32, Ø 26 x 1

s-au măsurat deformațiile specifice pentru două situații de încercare statică :

- pentru sarcina de 360 kN aplicată pe crapodina, cu roțile în același plan, cu o roată denivelată cu 10, 20 sau 30 mm și cu roata opusă denivelată cu 10, 20 sau 30 mm,

- pentru sarcina de 520 kN aplicată pe crapodina în aceleași situații de denivelare a roților ca în primul caz.

Rezultatele experimentale au aratat următoarele :

INSTITUTUL POLITEHNIC  
TIMIȘOARA

- încărcarea statică cu 360 kN aplicată pe crapodină a produs tensiuni de tracțiune care nu au depășit  $730 \text{ daN/cm}^2$ , pe traversa crapodinei lângă racord rila talpii inferioare (TR 17) ; tensiunile maxime de compresiune au fost de  $760 \text{ daN/cm}^2$  în aceeași zonă (TR 17) (vezi Anexa 2 - care prezintă schema de amplasare a transductorilor TR) ;

- la încărcarea de 360 kN, pentru o denivelare a roților de 30 mm, tensiunea maximă măsurată a fost de  $1280 \text{ daN/cm}^2$ , tot pe traversa crapodinei (TR 17) ;

- încărcarea statică de 520 kN aplicată pe crapodină a produs în punctele măsurate tensiuni ce nu au depășit  $1170 \text{ daN/cm}^2$  ;

- denivelarea de 30 mm pentru încărcarea de 520 kN produce în traversa crapodinei tensiuni maxime de  $2050 \text{ daN/cm}^2$ . Această situație se consideră deosebit de severă, cu o probabilitate foarte mică de apariție, deci se poate considera ca rezistență admisibilă limita de curgere a materialului.

Pentru comparație, valorile calculate teoretic ale tensiunilor - centralizate în tabelul 5.4 - pentru o încărcare statică a bo-

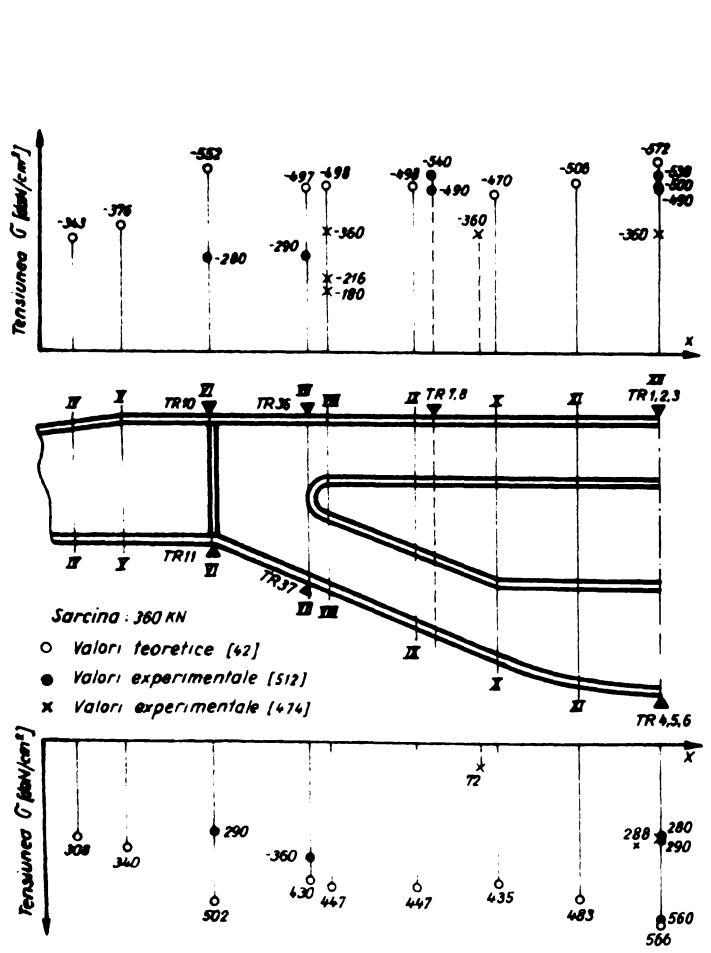


Fig.6.2

Variația tensiunilor - teoretică și experimentală - pe lonjeronul mare, pentru sarcina statică de 360 kN

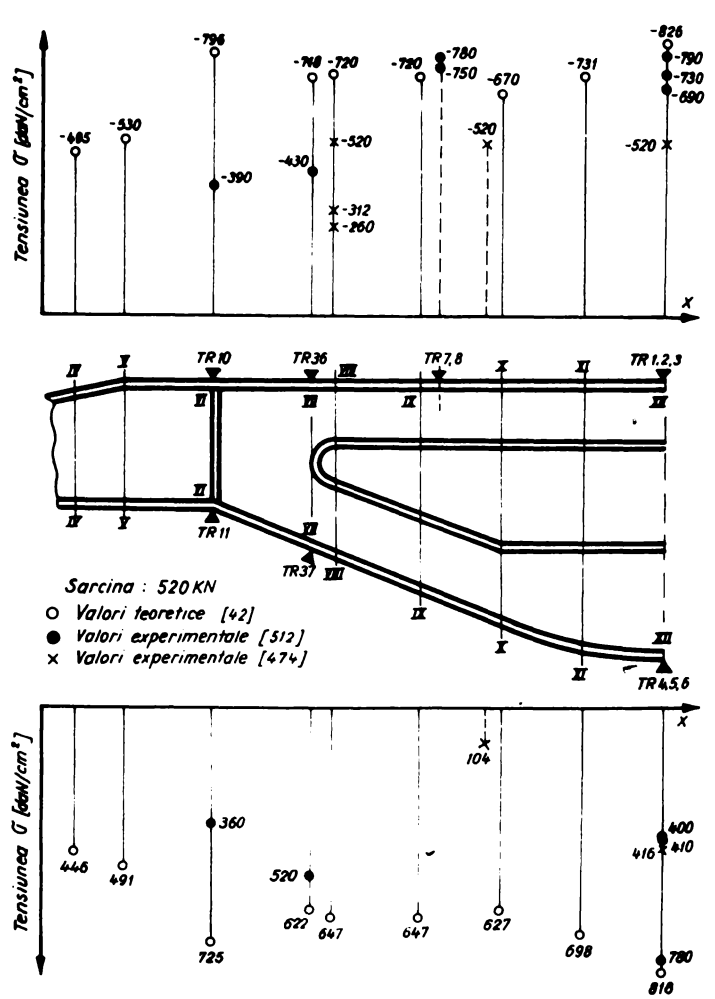


Fig.6.3

Variația tensiunilor - teoretică și experimentală - pe lonjeronul mare, pentru sarcina statică de 520 kN

ghiului cu sarcina de 380 kN, au fost recalulate pentru sarcinile de 360 kN și respectiv 520 kN. Aceste tensiuni sînt reprezentate pentru secțiunile IV...XII ale lonjeroanelor mari în figurile 6.2 și 6.3 prin cerculețe (o). Ele sînt tensiunile rezultante din fibrele extreme, considerate uniform repartizate pe întreaga lățime a tălpilor lonjeroanelor. În aceleași figuri s-au reprezentat și tensiunile determinate experimental pe același cadru de boșiu, de către I.S.C.T. ([512]; ●) și de O.R.L. ([474]; x).

Pentru secțiunea XII-XII s-au reprezentat, tot pentru comparație, în figurile 6.4 și 6.5 modul în care variază tensiunea în fibrele extreme din talpa lonjeronului, atît teoretic cît și experimental.

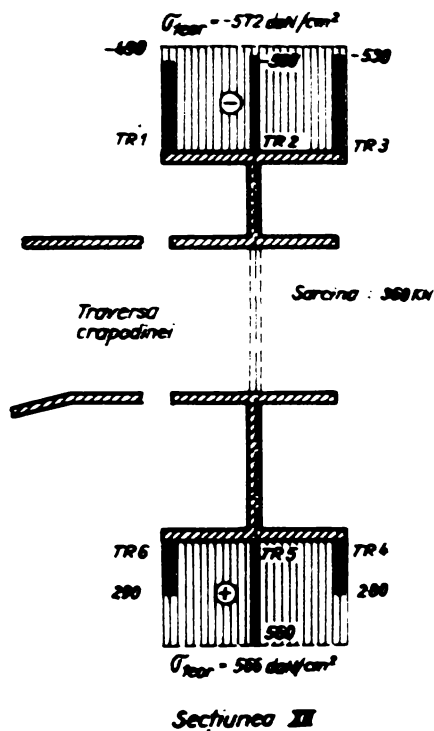


Fig. 6.4

Repartiția tensiunilor pe secțiunea XII-XII - teoretic și experimental - sarcina 360 kN

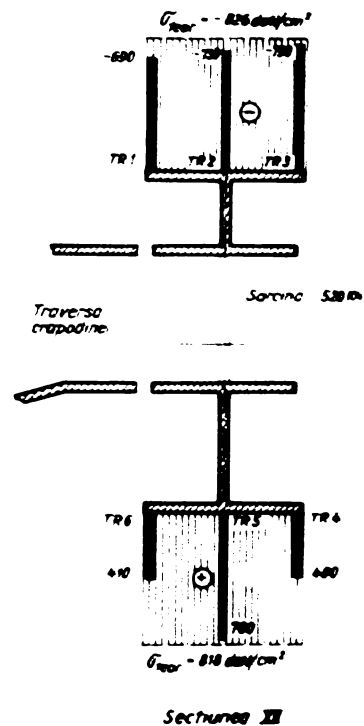


Fig. 6.5

Repartiția tensiunilor pe secțiunea XII-XII - teoretic și experimental - sarcina 520 kN

Confruntarea rezultatelor calculului de rezistența efectuat pe un model care conservă principalele caracteristici ale structurii, cu valorile tensiunilor determinate experimental, conduce la următoarele concluzii :

1. Deși, din necesități de calcul, s-au acceptat multe ipoteze, rezultatele teoretice, în secțiunile cele mai caracteristice, sînt destul de apropiate de cele experimentale, ceea ce confirmă corectitudinea metodologiei utilizate și valabilitatea ipotezelor.

2. Valorile calculate ale tensiunilor sînt în general mai mari decît cele experimentale ; se poate considera că această circumstanță se datorește în principal următorilor factori :

- în calculele teoretice nu s-a luat în considerare efectul favorabil al unor elemente de consolidare (aripi, nervuri) și al rigidizărilor la îmbinarea dintre lonjeron și traversa crapodinei ;

- rigiditățile modelului de calcul, la aproximarea prin valori constante pe porțiuni, au fost subevaluate prin considerarea mediei ; funcția treaptă de aproximare trebuie să circumscrie legea poligonală a variației reale .

3. În secțiunea XII-XII se evidențiază o neuniformitate mare a tensiunii pe lățimea tălpii lonjeronului, în deosebi în partea inferioară, explicabilă numai prin interacțiunea dintre lonjeron și traversa crapodinei și eventualele inexactități de montaj. Aceasta ar explica și faptul că valorile experimentale obținute de O.R.E. sînt mai mici decît toate celelalte rezultate teoretice și experimentale.

Este de subliniat faptul că nivelul tensiunilor calculate atrage atenția - încă din această fază - asupra unor secțiuni mai solicitate și pune deci în prim plan, pentru controlul boghiului, zonele ce merită să fie examinate în vederea depistării unor eventuale fisurări.

6.1.3. Inercarea statică a cadrelor de bicicletă. În cadrul lucrărilor efectuate de autor [38], [39], [40], [133], [134], [136], [137], [486] s-au studiat comparativ tensiunile din patru cadre de biciclete de fabricație românească (simbolizate S și F) și străină (simbolizate L și D) sub acțiunea unor sarcini statice și dinamice. Cu această ocazie s-au examinat critic prescripțiile din standarde și normele interne de fabricație în privința încercărilor statice, care prezintă elemente contradictorii și cerințe prea severe față de capacitatea de rezistență reală a cadrelor și s-a evidențiat necesitatea încercărilor de control sub acțiunea sarcinilor dinamice, care pot indica secțiunile de minimă rezistență la acțiunea șocurilor, secțiuni care diferă în general de acelea la care au apărut tensiunile maxime în cadrul încercărilor statice.

Încercările statice au cuprins două etape :

a) Încercarea cadrului cu furca din față montată, neîntărită, articulată în axa roții din spate și simplu rezemat în axa furcii din

față, forța de încărcare, variabilă continuu sau în trepte, fiind aplicată prin intermediul unei grinzi suplimentare, de mare rigiditate, simplu rezemată în partea superioară a cadrului (fig.6.6).

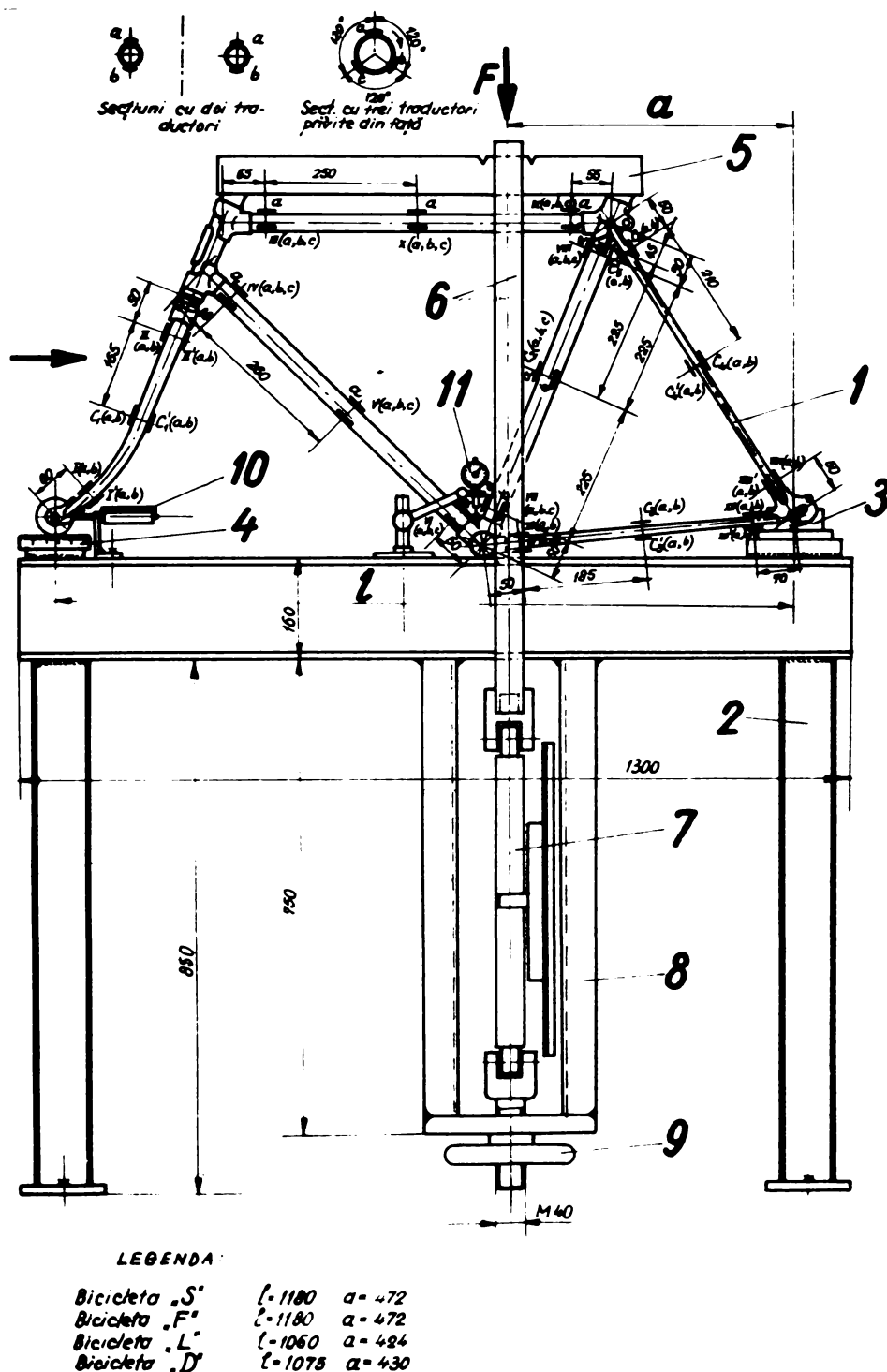


Fig.6.6

Schema dispozitivului pentru încercarea cadrelor de bicicletă la solicitări statice și amplasarea traductorilor pe bicicleta tip „S”

tor, este prezentat în fig.6.6. Cadrul de bicicletă 1, rezemat pe batiul 2, este articulată în 3 și simplu rezemat pe placa orizontală 4. La partea superioară, pe grinda de încărcare 5, de asemenea simplu rezemată, este fixată prin intermediul unui cuștit, furca de

b) Încercarea cadrului fără furcă, fixat în locașul furcii din față, cu forța de încărcare aplicată în axa roții din spate. Această încercare, prevăzută obligatoriu în normele de control a fabricației, nu a adus indicații suplimentare asupra stării de tensiune reale din barele cadrului, ci a evidențiat în primul rând rezistența și rigiditatea elementelor componente ale locașului furcii.

Măsurarea tensiunilor s-a făcut cu ajutorul traductorilor rezistivi (tip 2359/11 350-20,  $R = 344 \Omega$ ,  $k = 2,18...2,20$ ) fiind explorate câte 18 secțiuni, măsurînd - în medie - câte 50 de puncte.

Dispozitivul pentru încercări, proiectat și realizat de au-

tracțiune 6 de care este prins articulat dinamometrul cu ceas comparator 7. Producerea forței se realizează prin intermediul unui șurub M40 și a roții 9. Cu ajutorul comparatorului 10 se măsoară deplasarea pe orizontală  $\delta_h$  a punctului de rezemare a furcii din față, iar cu comparatorul 11 se măsoară deplasarea pe verticală a axului pedalier. Pentru măsurarea forțelor s-a folosit un dinamometru eliptic sistem Rejtő cu scara de 500 daN.

Dispozitivul a fost astfel conceput încît prin sistemul de reglaj 3 să se realizeze o distanță variabilă între punctele de rezemare funcție de lungimea „l” a bicicletei și distanța „a” a punctului de aplicare a forței de încărcare F. Distanța „a” este normalizată și reprezintă poziția cea mai probabilă a centrului de greutate al conducătorului bicicletei.

Tensiunile determinate experimental au fost trecute în tabelele 6.2 și 6.3.

Din analiza tensiunilor, la bicicleta "S" - de exemplu - se constată că valorile maxime s-au obținut în secțiunea  $C_1$  din furcă. Aici, pentru încărcarea de 170 daN, tensiunea a variat de la -1589 daN/cm<sup>2</sup> în fibrele supuse la compresiune (TR  $C_1/a$ ) la 1651 daN/cm<sup>2</sup> în fibrele supuse la întindere (TR  $C_1/b$ ). La barele triunghiului central tensiunile au fost considerabil mai mici, valoarea maximă fiind de -515 daN/cm<sup>2</sup> (TR IV/a), deci aproximativ 31 % din sollicitarea apărută în furcă. Se remarcă însă că datorită construcției static nedeterminate, barele sistemului suferă deformații imprevizibile la o analiză calitativă globală, axele lor deformată avînd în general puncte de inflexiune. Barele din spate ale cadrului sînt și mai puțin sollicitate, tensiunea maximă fiind de -269 daN/cm<sup>2</sup> (TR XIII/a), adică aprox. 16 % din tensiunea maximă măsurată de traductorul  $C_1/a$  în furcă.

O analiză comparativă a tensiunilor apărute în biciclete de același tip arată că ele sînt mai mari la bicicletele "L" și "D" în medie cu 6...20 % și relativ mai uniform repartizate crescînd comparativ mai mult tensiunile din barele cadrului central cele din furcă fiind apropiate ca valoare.

Este utilă comparația tensiunilor calculate cu cele determinate experimental. O parte din rezultate s-au prezentat centralizat în fig. 6.7 în care se reprezintă repartiția tensiunilor referitoare numai la fibrele superioare (desenate punctat pe conturul structurii) pentru două moduri de încărcare.

Deoarece în lucrare [133] prelucrarea rezultatelor s-a fă-

**Taboulul 6.2**

ELEMENTUL DIN CADRUL STUDIAT	Tipul de bicicletă Prin dispoziția sărilor	BICICLETA TIP "S"			BICICLETA TIP "L"		
		70	120	170	70	120	170
<p><i>Furca</i></p>	I/a	-604	-711	-999	-	-	-
	I'/a	-395	-679	-837	-	-	-
	I/b	383	684	988	-	-	-
	I'/b	375	692	988	-	-	-
	C/a	-639	-1132	-1589	-677	-1223	-1680
	C'/a	-661	-1190	-1634	-716	-1208	-1690
	C/b	655	1152	1612	591	1049	1478
	C'/b	640	1170	1649	552	1003	1410
	II/a	-368	-698	-939	-439	-718	-1110
	II'/a	-394	-722	-1030	-451	-710	-1110
	II/b	193	345	502	259	483	692
	II'/b	207	377	547	301	612	855
	III/a	-146	-225	-357	-350	-620	-871
	III'/a	112	243	380	276	490	718
	III/b	50	78	120	276	490	718
<p><i>Bare orientată superioră a triunghiului central</i></p>	IV/a	-171	-278	-387	-147	-254	-318
	IV'/a	-171	-278	-387	-147	-254	-318
	IV/b	52	98	144	44	86	122
	IV'/b	52	98	144	44	86	122
	V/a	115	200	286	128	217	307
	V'/a	115	200	286	128	217	307
	V/b	-110	-190	-269	-120	-195	-266
	V'/b	-110	-190	-269	-120	-195	-266
	VI/a	-209	-371	-515	-269	-426	-600
	VI'/a	166	302	416	242	446	625
	VI/b	131	232	326	242	446	625
	VI'/b	131	232	326	242	446	625
	VII/a	-125	-215	-302	-158	-216	-330
	VII'/a	139	238	325	192	280	424
	VII/b	117	212	294	155	258	357
VII'/b	136	240	340	155	258	357	
VIII/a	-52	-84	-119	-98	-153	-219	
VIII'/a	68	115	159	99	181	219	
<p><i>Bare transversală a cadului</i></p>	IX/a	-69	-115	-161	-51	-88	-125
	IX'/a	65	111	161	53	88	122
	IX/b	35	64	89	80	149	196
	IX'/b	35	64	89	80	149	196
	X/a	-56	-98	-130	-62	-91	-133
	X'/a	46	75	113	37	68	102
	X/b	39	64	91	95	164	215
	X'/b	39	64	91	95	164	215
	XI/a	-134	-247	-317	-95	-164	-215
	XI'/a	96	171	228	99	181	219
	XI/b	107	192	268	99	181	219
	XI'/b	107	192	268	99	181	219
	XII/a	-116	-190	-269	-195	-335	-437
	XII'/a	94	159	222	193	330	436
	XII/b	-71	-123	-179	-153	-247	-322
XII'/b	-71	-123	-179	-153	-247	-322	
XIII/a	-55	-88	-124	-64	-104	-150	
XIII'/a	64	104	152	64	104	150	
XIII/b	-59	-102	-147	-41	-73	-104	
XIII'/b	44	66	98	41	73	104	
XIV/a	-103	-176	-244	-137	-225	-300	
XIV'/a	118	196	273	140	221	290	
XIV/b	55	83	124	45	75	124	
XIV'/b	55	83	124	45	75	124	
XV/a	-63	-110	-151	-71	-128	-186	
XV'/a	69	116	162	71	128	186	
XV/b	44	71	104	44	71	104	
XV'/b	44	71	104	44	71	104	
XVI/a	-31	-49	-67	-31	-49	-67	
XVI'/a	31	49	67	31	49	67	
XVI/b	60	98	140	60	98	140	
XVI'/b	60	98	140	60	98	140	
XVII/a	-78	-131	-178	-51	-86	-124	
XVII'/a	78	131	178	51	86	124	
XVII/b	67	104	144	67	104	144	
XVII'/b	67	104	144	67	104	144	

Observație: La bicicleta tip "L" inductorii "b" rotari și simi dispusi diametral cu inductorii "a"

**Taboulul 6.3**

ELEMENTUL DIN CADRUL STUDIAT	Tipul de bicicletă Prin dispoziția sărilor	BICICLETA TIP "F"			BICICLETA TIP "D"		
		70	120	170	70	120	170
<p><i>Furca</i></p>	I/a	-371	-629	-914	-400	-705	-1057
	I'/a	-371	-626	-929	-420	-710	-1074
	I/b	379	669	962	430	738	1078
	I'/b	372	640	951	411	700	998
	C/a	-650	-1081	-1560	-679	-1189	-1674
	C'/a	-661	-1086	-1604	-719	-1226	-1755
	C/b	375	659	981	676	1153	1666
	C'/b	640	1119	1662	688	1194	1730
	II/a	-368	-635	-935	-677	-1180	-1674
	II'/a	-356	-634	-934	-679	-1181	-1674
	II/b	252	436	673	673	1121	1630
	II'/b	242	385	673	529	926	1336
	III/a	-39	-75	-114	-75	-128	-186
	III'/a	-71	-104	-166	-145	-245	-361
	III/b	-01	-185	-289	-248	-431	-589
III'/b	-38	-65	-99	-95	-161	-219	
IV/a	-151	-252	-360	-269	-477	-698	
IV'/a	68	112	151	93	165	215	
IV/b	29	55	89	50	91	118	
IV'/b	93	151	223	180	301	456	
V/a	45	77	112	86	144	209	
V'/a	95	163	260	136	246	330	
V/b	143	254	381	145	263	357	
V'/b	78	133	196	-	-	-	
VI/a	-377	-664	-905	-661	-1023	-1424	
VI'/a	436	761	1043	549	1073	1424	
VI/b	-124	-219	-305	-143	-261	-357	
VI'/b	36	65	94	57	106	138	
VII/a	-99	-173	-233	-168	-282	-410	
VII'/a	-88	-163	-216	-201	-346	-502	
VII/b	117	213	284	269	450	676	
VII'/b	128	209	305	288	488	689	
VIII/a	-80	-138	-185	-184	-297	-408	
VIII'/a	-38	-71	-98	-	-	-	
VIII/b	84	149	198	168	286	386	
VIII'/b	73	129	159	93	169	223	
IX/a	-194	-324	-480	-	-	-	
IX'/a	194	324	480	-	-	-	
IX/b	119	200	277	-	-	-	
IX'/b	103	179	246	-	-	-	

**INSTITUTUL POLITEHNIC  
TIMIȘOARA  
BIBLIOTECA CENTRALĂ**

cut printr-o simplă unire a mediilor, care a avut drept efect obținerea unei variații din linii frânte a tensiunilor pe grinzi de secțiune constantă încărcate numai la capete, s-a considerat necesar să se facă o analiză statistică completă a datelor experimentale, cău-

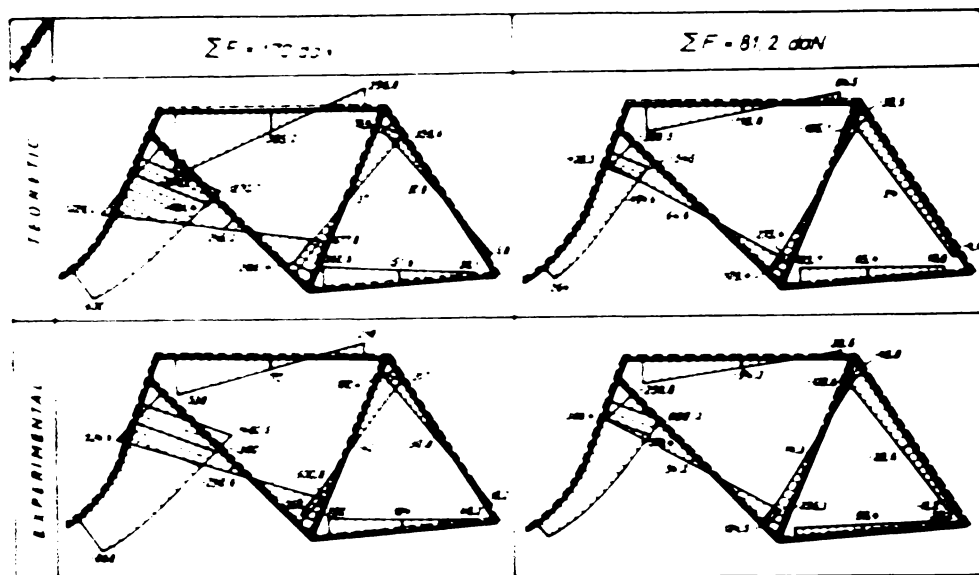


Fig. 6.7

Repartiția teoretică și experimentală a tensiunilor

mentului încovoietor ( $\sigma(x) = M_1(x)/W_z$ ). Forța axială fiind constantă are numai efectul unei translații [137].

Formulele de calcul pentru estimările coeficienților drepte de regresie, în cazul în care fiecărei valori a variabilei  $x$  îi corespunde un sistem de valori pentru variabila  $\sigma$ , se obțin utilizând metoda celor mai mici pătrate :

$$a = \frac{N \sum_{i=1}^k (x_i \sum_{j=1}^{n_i} \sigma_{ij}) - (\sum_{i=1}^k n_i x_i) (\sum_{i=1}^k \sum_{j=1}^{n_i} \sigma_{ij})}{N \sum_{i=1}^k n_i x_i^2 - (\sum_{i=1}^k n_i x_i)^2} \quad (6.1)$$

$$b = \frac{\sum_{i=1}^k \sum_{j=1}^{n_i} \sigma_{ij}}{\sum_{i=1}^k n_i}$$

Deoarece tensiunile  $\sigma_{ij}$  au atât valori pozitive cât și negative, pentru diverse valori ale lui  $x$ , s-a făcut o translație a axei orizontale de mărime  $\sigma_0 = 800 \text{ daN/cm}^2$  de care se va ține seama la stabilirea finală a ecuației drepte de regresie.

Pentru ilustrarea metodei de calcul și a modului în care au

tînd o dreaptă de regresie  $\sigma = f(x)$  față de care valorile măsurate ale tensiunilor au cea mai mică abatere (în ansamblu) Acest mod de interpretare a rezultatelor conduce la stabilirea unei legi de variație raționale a tensiunilor în lungul grinzii corelate cu legea corespunzătoare a mo-



foșt obținute diagramele de variație ale tensiunilor, în tabelul 6.4 se prezintă organizarea detaliată a prelucrării valorilor exper-

**Tabelul 6.4**

ORGANIZAREA CALCULOR PENTRU STABILIREA ECUAȚIEI DREPTEI DE REGRESIE (bara EF)

$x_i$ [mm]	$\sigma_{ij}$ [daN/cm <sup>2</sup> ]	$n_i$	$\sum_{j=1}^{n_i} \sigma_{ij}$	$\sum_{j=1}^{n_i} \sigma_{ij}^2$	$(\sum_{j=1}^{n_i} \sigma_{ij})^2$	$\frac{(\sum_{j=1}^{n_i} \sigma_{ij})^2}{n_i}$	$\sum_{j=1}^{n_i} \sigma_{ij} \cdot \frac{(\sum_{j=1}^{n_i} \sigma_{ij})}{n_i}$	$f_i$	$x_i \sum_{j=1}^{n_i} \sigma_{ij}$	$n_i x_i$	$x_i^2$	$n_i x_i^2$
1	2	3	4	5	6	7	8	9	10	11	12	13
55	$\sigma_{11}=238; \sigma_{12}=240; \sigma_{13}=262$ $\sigma_{14}=285; \sigma_{15}=290; \sigma_{16}=305$ $\sigma_{17}=345; \sigma_{18}=365; \sigma_{19}=383$	9	2713	840177	7360369	817819	22358	8	149215	495	3025	27225
180	$\sigma_{21}=405; \sigma_{22}=413; \sigma_{23}=434$ $\sigma_{24}=438; \sigma_{25}=445; \sigma_{26}=452$ $\sigma_{27}=480; \sigma_{28}=485; \sigma_{29}=488$	9	4040	1820892	16321600	1813511	7381	8	727200	1620	32400	291600
305	$\sigma_{31}=530; \sigma_{32}=535; \sigma_{33}=550$ $\sigma_{34}=560; \sigma_{35}=572; \sigma_{36}=585$ $\sigma_{37}=590; \sigma_{38}=598; \sigma_{39}=604$	9	5124	2923154	26255376	2917264	5890	8	1562820	2745	93025	837225
560	$\sigma_{41}=1018; \sigma_{42}=1025; \sigma_{43}=1025$ $\sigma_{44}=1032; \sigma_{45}=1045; \sigma_{46}=1066$ $\sigma_{47}=1070; \sigma_{48}=1085; \sigma_{49}=1090$	9	9456	9941204	89415936	9935104	6100	8	5295360	5040	313600	2822400
1700	—	36	21333	15525427	139353281	15483698	41729	32	7734595	9900	442050	3970450

$\sum_{i=1}^n x_i$        $\sum_{i=1}^n n_i$        $\sum_{i=1}^n \sum_{j=1}^{n_i} \sigma_{ij}$        $\sum_{i=1}^n (\sum_{j=1}^{n_i} \sigma_{ij})^2$        $\sum_{i=1}^n \frac{(\sum_{j=1}^{n_i} \sigma_{ij})^2}{n_i}$        $\sum_{i=1}^n \sum_{j=1}^{n_i} \sigma_{ij} \cdot \frac{(\sum_{j=1}^{n_i} \sigma_{ij})}{n_i}$        $\sum_{i=1}^n f_i$        $\sum_{i=1}^n n_i x_i$        $\sum_{i=1}^n x_i^2$

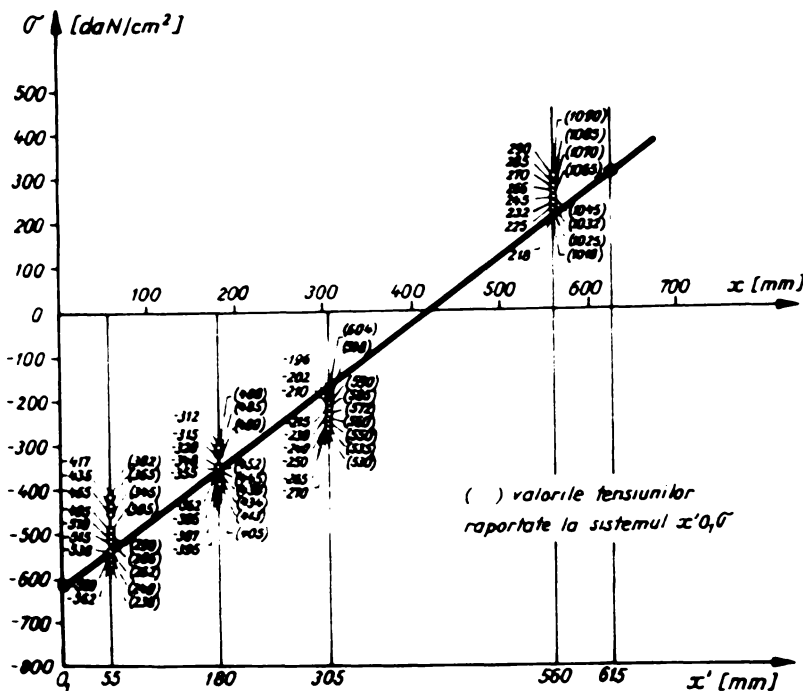
rimentale pentru bara EF, într-o formă ușor programabilă pe calculator, iar în tabelul 6.5, ordinograma corespunzătoare unui astfel de program.

Pe baza acestor rezultate s-a obținut :

$$a = 1,48 \quad ; \quad b = 592,58$$

Ecuția dreptei de regresie empirice devine atunci

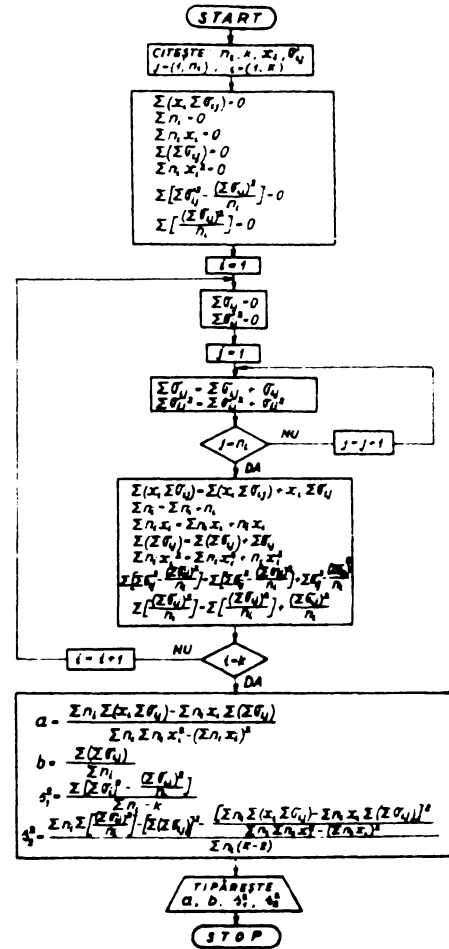
$$\sigma = a(x - \bar{x}) + b = 1,48(x - 275) + 592,58 = 1,48x + 185,58$$



**Fig.6.8**

Dreapta de regresie a repartiției tensiunilor experimentale pe bara EF a structurii

**Tabelul 6.5**



Revenind la sistemul inițial de axe, ecuația finală va fi :

$$\sigma = 1,48x - 614,42 \quad (6.2)$$

care este reprezentată în fig. 6.8.

S-a procedat în mod analog și pentru celelalte bare ale structurii și diagramele finale sînt reprezentate - parțial - în fig.6.7.

O analiză mai atentă a valorilor experimentale ale tensiunilor măsurate pe bara EF (v.fig.6.8) evidențiază următoarele aspecte :

- în primul rând o împrăștiere relativ mare a rezultatelor din aceeași secțiune, care pentru  $x = 55$  mm atinge o valoare maximă de 25,8 %. Aceasta se datorește faptului că măsurătorile au fost efectuate la diferite intervale de timp și indică o comportare înconstanță a materialului de tensometrie folosit ;

- în al doilea rând, alinierea punctelor față de dreapta de regresie prezintă o dispersie mare, iar în zona valorilor  $x > 300$  mm sugerează o modificare de pantă. Aceasta presupune că pe această porțiune a barei, care se execută prin roluire și sudare, a apărut o modificare de rigiditate. Altfel nu se păstrează concordanța între variația teoretică a tensiunilor în lungul barei și imaginea sugerată de rezultatele experimentale.

Cu ajutorul valorilor calculate în tabelul 6.4 se pot stabili și parametri de dispersie, deosebit de utili pentru o apreciere statistică de ansamblu și comparativă a distribuției tensiunilor. s-au determinat astfel :

- dispersia  $s_1^2$  care caracterizează împrăștierea în interiorul sistemului

$$s_1^2 = \frac{\sum_{i=1}^k \left[ \sum_{j=1}^{n_i} \sigma_{ij}^2 - \frac{\left( \sum_{j=1}^{n_i} \sigma_{ij} \right)^2}{n_i} \right]}{\sum_{i=1}^k n_i - k} \approx 1304,03 \quad (6.3)$$

- dispersia  $s_2^2$  care caracterizează variația valorilor în jurul liniei de regresie empirice

$$s_2^2 = \frac{N \sum_{i=1}^k \frac{\left( \sum_{j=1}^{n_i} \sigma_{ij} \right)^2}{n_i} - \left( \sum_{i=1}^k \sum_{j=1}^{n_i} \sigma_{ij} \right)^2 - \frac{\left[ N \sum_{i=1}^k x_i \sum_{j=1}^{n_i} \sigma_{ij} - \left( \sum_{i=1}^k n_i x_i \right) \left( \sum_{i=1}^k \sum_{j=1}^{n_i} \sigma_{ij} \right) \right]^2}{N \sum_{i=1}^k n_i x_i^2 - \left( \sum_{i=1}^k n_i x_i \right)^2}}{N(k-2)} \approx 31871 \quad (6.4)$$

Toate aceste valori dau o imagine completă asupra repartiției tensiunilor pe bara EF (respectiv pe structură) corelată cu cîmpurile lor de dispersie.

Din analiza efectuată se desprind câteva concluzii utile :

a) Compararea tensiunilor determinate pe cale teoretică și măsurată experimental arată o bună corespondență între valorile obținute pe elementele conturilor închise ale structurii și o dife-

rență sensibilă pe furca din față mai ales în zona de îmbinare a acesteia cu cadrul propriu zis. În această zonă se poate considera că forma constructivă a furcii și tehnologia de îmbinare prin brazare, constituie elemente de concentrare a tensiunilor, de care trebuie să se țină seama în calculele de proiectare. Pentru aceasta se determină un coeficient teoretic de concentrare a tensiunilor care are valorile :

$$\alpha_{\sigma} = \frac{\sigma_{\max}}{\sigma_n} = \frac{1621}{1290,7} \approx 1,28 \quad (\text{pentru fibra a)}$$

$$\alpha_{\sigma} = \frac{1630}{1209,3} \approx 1,35 \quad (\text{pentru fibra b)}$$

Se recomandă deci introducerea în calculele statice, la aceste tipuri de îmbinare, a unui coeficient de concentrare de 1,35.

b) Un efect de concentrare se observă și la nodul furcii din spate (secțiunile XII, XIII) poate chiar mult mai puternic decât cel analizat. Rezultatele obținute nu sînt însă suficient de concludente datorită valorilor mici calculate și măsurate care sînt însoțite de obicei de erori foarte mari. Valorile acestui coeficient nu sînt însă esențiale, deoarece solicitarea în această zonă este mică, iar dimensiunile - constructiv - nu pot fi reduse sub o anumită limită.

c) Se atestă necesitatea prezentării rezultatelor experimentale sub forma dreptelor de regresie pentru a obține o concordanță de formă cu variația teoretică a tensiunilor.

## 6.2. Concepții noi și instalații originale pentru încercarea la durabilitate a structurilor de rezistență

Rezolvarea problemelor de durabilitate și de încercare la solicitări dinamice a necesitat conceperea și executarea de instalații noi care să permită reproducerea în laborator a unor spectre de excitație cît mai apropiate de cele reale, insistîndu-se în special pe găsirea unei modelări permițînd păstrarea caracterului aleator al solicitărilor. Rezultatele sînt cuprinse în lucrările [37], [39], [41], [134], [483], [484], [486], din care se vor reda elementele esențiale.

6.2.1. Tensiuni dinamice în cadrul boghiului Y25-Cg. Pentru a putea face comparația cu valorile calculate obținute în cap.5, se redau o parte din rezultatele lucrării [512]. Măsurătorile dinamice au fost făcute pe un boghiu experimental montat la un vagon auto-descrescător încărcat la capacitatea nominală, atașat la un tren

transcontainer, care s-a deplasat pe distanța București-Arad. S-a utilizat o instalație de tensometrie electrică pentru încercări dinamice "TELEC" compusă din 15 punți tensometrice "NOR", un oscilograf cu 18 canale "EN 18" și un grup de alimentare. Rezultatele sînt prezentate în tabelul 6.6 care centralizează valorile statice și dinamice ale tensiunilor măsurate în timpul încercărilor în mers. În coloana 1 sînt trecute valorile componentelor statice, măsurate pe stand sub forța de 360 kN, echivalentă cu reacțiunea cutiei vagonului încărcat pe boghiu. Pe baza diagramelor înregistrate s-au luat în considerație și s-au centralizat două tipuri de tensiuni dinamice :

- valori care apar mai frecvent și care sînt de fapt cele ce se consideră în calculul clasic de oboseală,
- valori extreme, maxime și minime, care apar cu o frecvență mult mai mică decît celelalte.

Se redau deasemenea în coloanele 7 și 8 coeficienții de asimetrie pentru fiecare punct măsurat și rezistențele admisibile corespunzătoare acestor coeficienți, conform O.Ș.E. Analiza rezultatelor arată că în nici un punct măsurat nu s-au înregistrat depășiri de rezistențe admisibile.

Se menționează că în cursul măsurărilor dinamice s-au înregistrat cîteva vîrfuri de solicitare, datorită unor neregularități locale însemnate ale căii. Acestea au un evident caracter accidental și aprecierea siguranței relative la asemenea situații rare se face prin raportarea la limita de curgere. Cel mai important vîrf s-a înregistrat la TR 16 pe distanța Păuliș-Arad unde valoarea maximă atinsă a fost de  $1230 \text{ daN/cm}^2$ , care cumulată cu componenta statică de  $710 \text{ daN/cm}^2$  nu a depășit totuși limita de curgere  $\sigma_0 = 2500 \text{ daN/cm}^2$ .

Comparația tensiunilor măsurate în regim dinamic cu cele calculate (v. cap.5) conduce la următoarele concluzii :

- calculele efectuate sînt acoperitoare, deoarece în determinarea forțelor exterioare s-au considerat valorile extreme ale diversilor factori de influență, iar rigiditățile s-au apreciat prin valori medii pe porțiuni ; de altfel diferențele dintre valorile extreme și valorile calculate nu depășesc 15 %, ceea ce este un rezultat deosebit de pozitiv,

- tensiunile experimentale includ atît valorile provenite din forțele de inerție date de regimul de frinare-pornire, schimbare de viteză, înscriere în curbă, cît și cele produse de neregularitățile căii de rulare. Aceste ultime tensiuni nu pît fi puse în evidență de

**Tabelul 6.6. Rezultatele experimentale obținute la încercarea dinamică a boghiului tip Y25-Cs. Tensiuni în [daN/cm<sup>2</sup>]**

Tra- duc- tor	Static 360 KN	DINAMIC 100 Km/h			V A L O R I T O T A L E					
		Frecv.	Max.	Min.	FRECVENTE		R	$\sigma_a$ [daN/cm <sup>2</sup> ]	EXTREME	
					Max.	Min.			Max.	Min.
0	1	2	3	4	5	6	7	8	9	10
1	-490	±60	180	230	-430	-550	+0,78	1570	-310	-720
2	-500	±90	180	490	-410	-590	+0,69	1560	-320	-990
3	-530	±120	220	220	-410	-650	+0,63	1550	-310	-750
4	280	±60	150	120	340	220	+0,65	1560	430	160
5	540									
6	290	±100	+240	-150	390	190	+0,49	1540	530	140
7	-540	±30	+60	-120	-510	-570	+0,89	1580	-480	-660
8	-490	±250	+800	-670	-240	-740	+0,320	1520	310	-1130
9	-190	±180	+370	-300	-10	-370	+0,03	1490	180	-490
10	-280	±100	+250	-270	-180	-380	+0,47	1440	-30	-550
11	290	±210	+750	-750	500	80	+0,16	1510	1030	-460
12	610	±120	+460	-280	730	490	+0,67	1560	1070	330
13	40	±120	+210	-210	160	-80	-0,50	1220	250	-170
14	-760	±120	+300	-300	-640	-880	+0,73	1560	-460	-1060
15	-530	±120	+250	-400	-410	-650	+0,63	1550	-280	-930
16	710	±220	+520	-520	930	490	+0,53	1540	1230	190
17	730	±230	400	-400	930	500	+0,54	1540	1130	330
18	570	±150	+450	-300	720	420	+0,58	1540	520	270
19	730	±300	+500	-500	1030	430	+0,42	1530	1230	230
20	280	±30	+120	-60	310	250	+0,81	1510	400	220
21	300	±30	+60	-120	330	270	+0,82	1580	360	180
22	520	±120	+180	-180	640	400	+0,63	1550	700	340
23	530	±60	+140	-140	470	590	+0,80	1570	670	390
24	-40	±250	+550	-650	210	-290	-0,72	1160	510	-690
25	-210									
31	-510	±150	+330	-450	-360	-660	+0,55	1540	-350	-740
33	-530	±60	+180	-210	-470	-590	+0,80	1570		
36	-290	±120	+150	-270	-170	-410	+0,41	1530	-140	-580
37	360	±120	+220	-270	480	240	+0,50	1540	580	90
38	-510	±100	+270	-250	-410	-610	0,67	1560	-240	-760

calculule teoretice, fie datorită necunoașterii spectrului de excitație fie datorită dificultăților de apreciere a influenței acestui spectru asupra stării de deformație și tensiune a structurii de rezistență a boghiului. Deci din acest punct de vedere, calculul condus acoperitor este corect,

- de altfel și experimental s-a verificat repartiția neuniformă a tensiunilor pe structură, respectiv a coeficientului dinamic, care a fost prins în calculul teoretic al tensiunilor maxime sub formă globală. Această rezervă de rezistență este mai puțin justificată, însă necunoașterea microprofilului căii de rulare impune calea generală urmată,

- în cercetările experimentale nu s-au evidențiat valorile tensiunilor tangențiale pentru care calculule teoretice au arătat, în anumite zone, valori destul de mari ; aceste zone în mod normal trebuie să constituie obiective pentru investigația experimentală deoarece în asemenea secțiuni se poate amorsa procesul de fisurare.

**6.2.2. Standuri originale pentru încercarea structurilor de rezistență la solicitări variabile.** Deoarece predicția durabilității obținută prin calcul sau în condiții de laborator utilizând surse de excitație deterministe sau modele diverse conduce - în cazul structurilor hiperstatice - la diferențe mari față de rezultatele obținute în exploatare, soluția unanim acceptată pe plan mondial este de a încerca toate construcțiile în mărime naturală și în condiții reale de funcționare, ceea ce nu întotdeauna este realizabil și economic. În acest sens în literatura de specialitate [2],[5],[54],[63],[156],[174],[212],[217],[218],[219],[220],[224],[279],[328],[347],[387],[411],[453] se găsesc multe mese vibrante și pulsatoare aeriabile, hidraulice sau mecanice, destinate încercării de autovehicule, care funcționează la amplitudine constantă sau pe bază de program. Aceste metode prezintă dezavantajul că pentru încercările ce se efectuează în teren necesită un echipament mobil greu de realizat și adaptat iar la încercările de laborator condițiile realizate se îndepărtează mult de condițiile reale în care lucrează vehiculul încercat.

În această ordine de idei s-a formulat și s-a rezolvat problema realizării unui nou stand de încercare pe care să se poată simula în laborator perturbațiile aleatoare care apar în condițiile reale de exploatare.

**6.2.2.1. Standul cu bandă rulantă [37].** Problema în formula-

[37] BOLEANTU L.; DOBRE I.: Metodă pentru încercarea vehiculelor rutiere. Brevet de invenție Nr.75008/6.I.1973 OSIM-București

rea de mai sus necesită rezolvarea a două aspecte fundamentale : soluția constructivă a căii de rulare și realizarea mecanică a sursei de excitație care să asigure caracterul aleator al acesteia.

Standul de probă proiectat și construit în acest scop este prezentat schematic în fig.6.9. El are avantajul că permite o modelare mecanică directă a oricărui profil de drum cu posibilități de

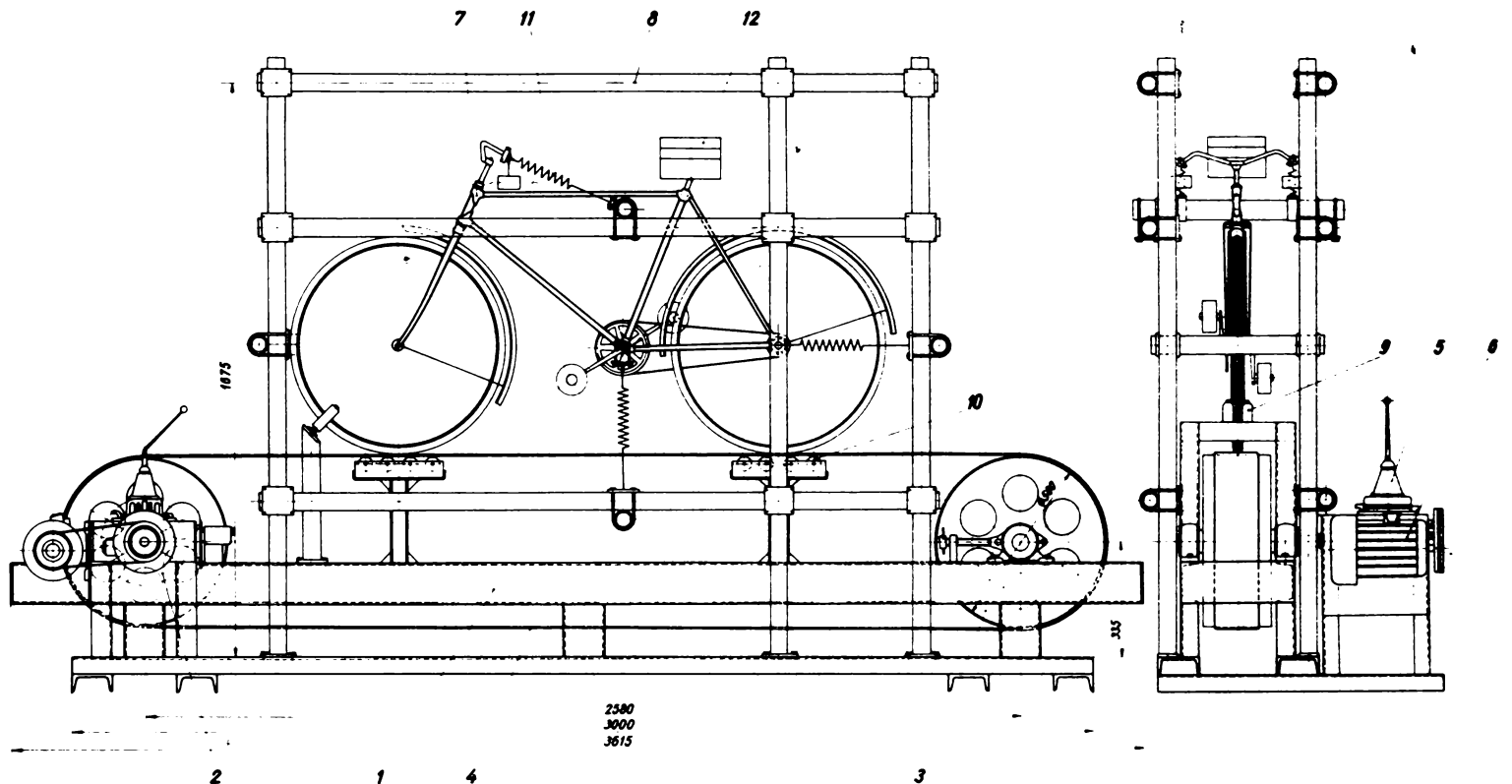


Fig.6.9

Stand de probă cu o singură pistă pentru încercarea la vibrații și durabilitate a bicicletelor și motocicletelor sub acțiunea solicitărilor aleatoare

variație în domenii largi a parametrilor statistici și a legilor de distribuție acceptate sau determinate pentru elementele caracteristice ale profilului. Standul este format dintr-un șasiu 1 realizat din profile U12 sudate, pe care se află montat la unul din capete un tambur de antrenare 2 iar la celălalt capăt un tambur de reglaj 3 pentru întinderea și ghidarea unei benzi de rulare 4 realizată din cauciuc pînzat. Mecanismul de acționare a tamburului de antrenare 2 este format în principal dintr-o cutie de viteze 5 cuplată cu un motor electric 6. Vehiculul 7 (de exemplu bicicleta) este susținut pe banda de rulare 4 de către un cadru 8, realizat din țevi. Pentru ghidarea roților vehiculului pe bandă sînt montate niște suporturi 9 prevăzute cu role de ghidare pe rulmenți. Asigurarea rigidității necesare a benzii de rulare - în zonele de contact ale roților vehiculului - se realizează cu două trenuri de role 10 montate sub banda

de rulare. In acest mod se obține o rigiditate a sistemului de rezemare comparabilă cu rigiditatea drumului real. Arcurile elicoidale 11 asigură o fixare elastică în spațiu, iar greutatea 12 reproduce modul de încărcare al structurii. Prin intermediul cutiei de viteze 5 și a unui sistem de transmisie cu curele trapezoidale se pot obține șase viteze diferite de deplasare a benzii transportoare, ceea ce permite echimbarea spectrului de vibrații și de solicitări, creând posibilitatea obținerii unui domeniu larg de încercare. Standul permite, în funcție de cerințele cercetării efectuate, să se aleagă o lungime corespunzătoare de bandă, care să asigure o selecție cu un grad de semnificație ridicat.

Intr-o altă variantă constructivă realizată pentru vehicule cu patru roți, standul de încercare este prevăzut cu două benzi de rulare asemănătoare, funcționând în paralel.

Metoda experimentală, conform invenției [37], constă în montarea pe banda transportoare a unor corpuri prismatice din lemn sau cauciuc care să modeleze denivelările drumurilor, reproducând o formă convențională de drum statistic echivalentă cu forma reală constituită, printr-un fenomen de acțiune reciprocă - odată cu mișcarea benzii - sursa de excitație pentru structura de rezistență încărcată care urmează să fie încercată. Problema esențială este legată de alegerea acestor denivelări de pe bandă care trebuie să reproducă caracterul profund aleator al formelor reale de drumuri. In acest scop corpurile prismatice fixate pe bandă sînt caracterizate prin cinci parametri  $h, \alpha, \beta, l, d$ , semnificația notațiilor fiind evidentă (fig.6.10). În general domeniul de variație al acestor parametri este cunoscut, însă fixarea valorilor lor concrete în domeniu trebuie astfel făcută încît să se asigure caracterul aleator al

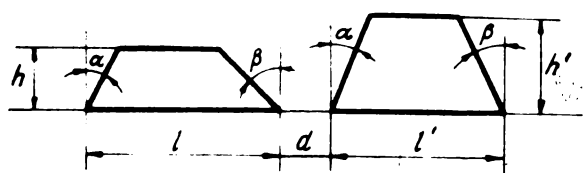


Fig.6.10

Corpuri prismatice de denivelare și parametrii geometrici caracteristici

selecției. Pentru a avea certitudinea că valorile selectate sînt absolut întîmplătoare se va considera un șir de numere aleatoare  $(x_n)_{n \in \mathbb{N}^*}$  uniform distribuite pe segmentul  $[0,1]$  și cu ajutorul unei translații de forma

$$y_n = a + (b - a)x_n, \quad n \in \mathbb{N}^* \quad (6.5)$$

unde  $a, b$  sînt limitele domeniului de existență ale parametrului studiat, se va obține un nou șir de numere aleatoare  $(y_n)_{n \in \mathbb{N}^*}$  de data aceasta aparținînd însă domeniului  $[a,b]$ . Se vor căuta asemenea șiruri pentru fiecare dintre cei cinci parametri amintiți, obținînd selecții de mărimi ale căror valori aleatorii



sînt certe datorită procedurii de construcție.

Este evident însă că apariția acestor valori în domeniile lor de definiție este determinată de o anumită lege de distribuție care nu poate fi stabilită decît experimental. Este de presupus însă că această distribuție pentru drumuri foarte lungi este normală. De aceea, admitînd o distribuție asimetrică (binomială, Rayleigh etc.) există posibilitatea de a justifica încercarea cu o bandă de lungime finită, pe baza teoremei limită centrale a lui Leapunov.

Astfel, fie distribuția din fig.6.11, asimetrică, de tip Rayleigh, care reprezintă distribuția unuia dintre parametrii stu-

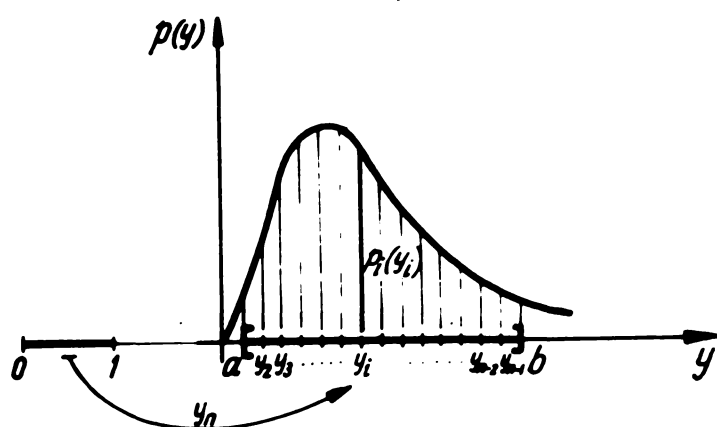


Fig.6.11

Distribuția asimetrică a parametrilor și ilustrarea realizării șirurilor de valori aleatoare ale acestora

diatzi - de exemplu înălțimea "h" a corpului prismatic. Se poate stabili probabilitatea de apariție a unei anumite valori în câmpul de variație [a,b] :

$$F_i(h_i) = \frac{2 \cdot h_i}{\sigma^2} \exp\left(-\frac{h_i^2}{\sigma^2}\right) \quad (6.6)$$

Problema următoare este legată de asigurarea unui caracter, de asemenea aleator, pentru mulțimea combinațiilor posibile ale valorilor acestor parametri. Soluția în acest caz s-a obținut imaginînd

un ansamblu de cinci urne în care fiecare valoare a parametrului dată de relația (6.5) s-a introdus de un număr de ori proporțional cu probabilitatea rezultată din legea de distribuție (6.6) făcînd extracții după schema urnei Bernoulli. Se obține în final o distribuție polinomială multidimensională de forma :

$$P(y) = \prod_{j=1}^5 \frac{2 \cdot y_j}{\sigma_j^2} e^{-\frac{y_j^2}{\sigma_j^2}} \quad (6.7)$$

justificată de faptul că cei cinci parametri sînt independenți, care în esență poate reprezenta o descriere a funcției aleatoare de excitație.

6.2.2.2. Stand de încercare la rezonanță [484]. Pentru a stu-

[484] BOLEANTU L., DOBRE I., BALOGH I.: Stand pentru încercarea la rezonanță a structurilor de rezistență. Dosar O.S.I.M. 83913/14.XI.1975

dia variația durabilității în funcție de spectrul de excitație și posibilitățile de obținere a unui regim sinusoidal echivalent s-a proiectat și realizat un stand pentru încercări la rezonanță [484], [39] care permite aplicarea unei forțe sinusoidale cu un domeniu foarte larg de reglare a pulsației pentru a se putea aduce structura aflată în oscilație la rezonanță. Aceasta permite pe de o parte realizarea unor solicitări care variază sinusoidal în timp, iar pe de altă parte o creștere considerabilă a acestor solicitări pentru puteri mici ale sursei de excitație.

O vedere de ansamblu a standului realizat, cu evidențierea construcției metalice este prezentată în fig.6.12.

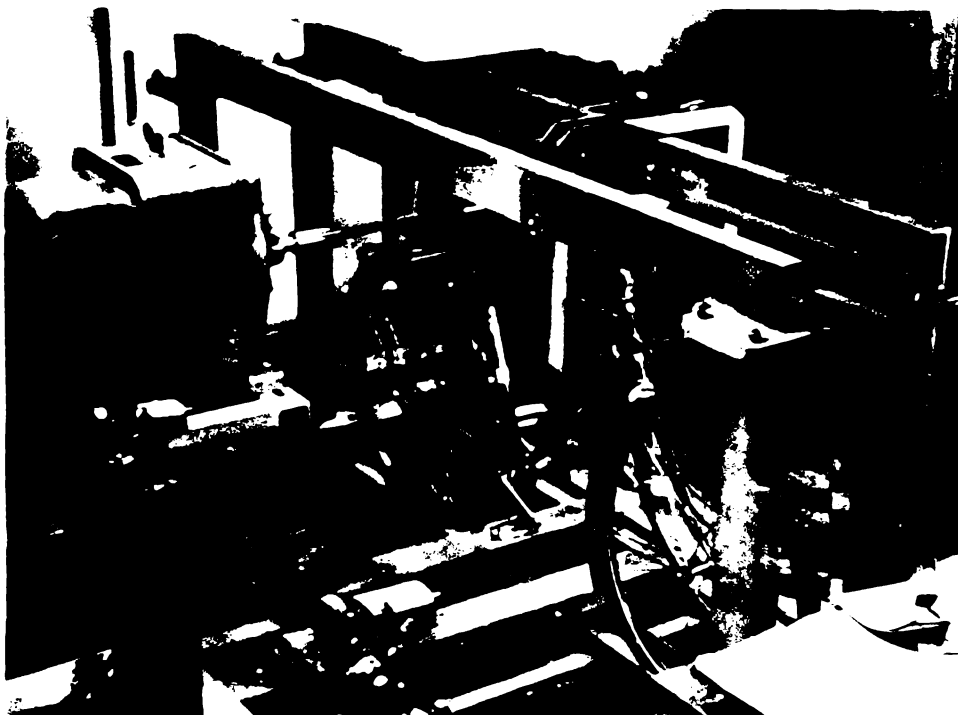


Fig.6.12

Partea metalică pentru susținere și reglaj, formată din profile sudate, permite atât încercarea bicicletei cu roți cât și încercarea cadrului propriu zis, articulat în axa roții din față. Forța dinamică de excitație variabilă în timp sinusoidal, cu amplitudinea funcție de pulsație, se obține de la un vibrator inertțial cu două mase excentrice

Vedere de ansamblu a standului pentru încercări la rezonanță

care este montat pe bara transversală rigidă fixată în partea superioară a cadrului.

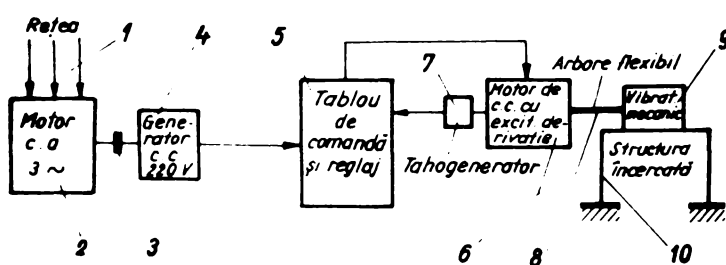


Fig.6.13

Schema structurală a standului pentru încercări la rezonanță este prezentată în fig. 6.13. Esențial în construcția standului este sistemul de comandă electrică pentru reglajul și menținerea constantă a turației prezentat în fig.6.14 care se compune din următoarele părți principale :

- Un grup Ward-Leonard, format dintr-un motor asincron trifazat de 14 k. la 1450 rot/min (3 x 380 V) care antrenează un genera-

tor de c.c. cu excitație în derivație de 12 kW la 220 V.

- Un panou central de comandă care conține întreaga parte electrică și electronică format în principal din : contactoarele pentru instalația de forță  $C_1, C_2, C_3, C_4, C_5$ , împreună cu echipamentul de control și de protecție al instalației de forță ; instalația pentru menținerea constantă a turației, tahometrul pentru controlul turației (0...6 V), reostatele  $R_1$  și  $R_2$ , un micromotor de c.a. de 80 W/220 V ; contactoarele  $C_6$  și  $C_7$  ; transformatoarele Tr 1, Tr 2, Tr 3, Tr 4 ; butoane pornire-oprire a instalației, lămpi de semnalizare.

- Un motor electric de c.c. (M2), tot cu excitație în derivație, de 5 kW/220 V cu turație reglabilă între 300...1300 rot/min, cuplat cu tahogeneratorul pentru controlul turației (0...6 V).

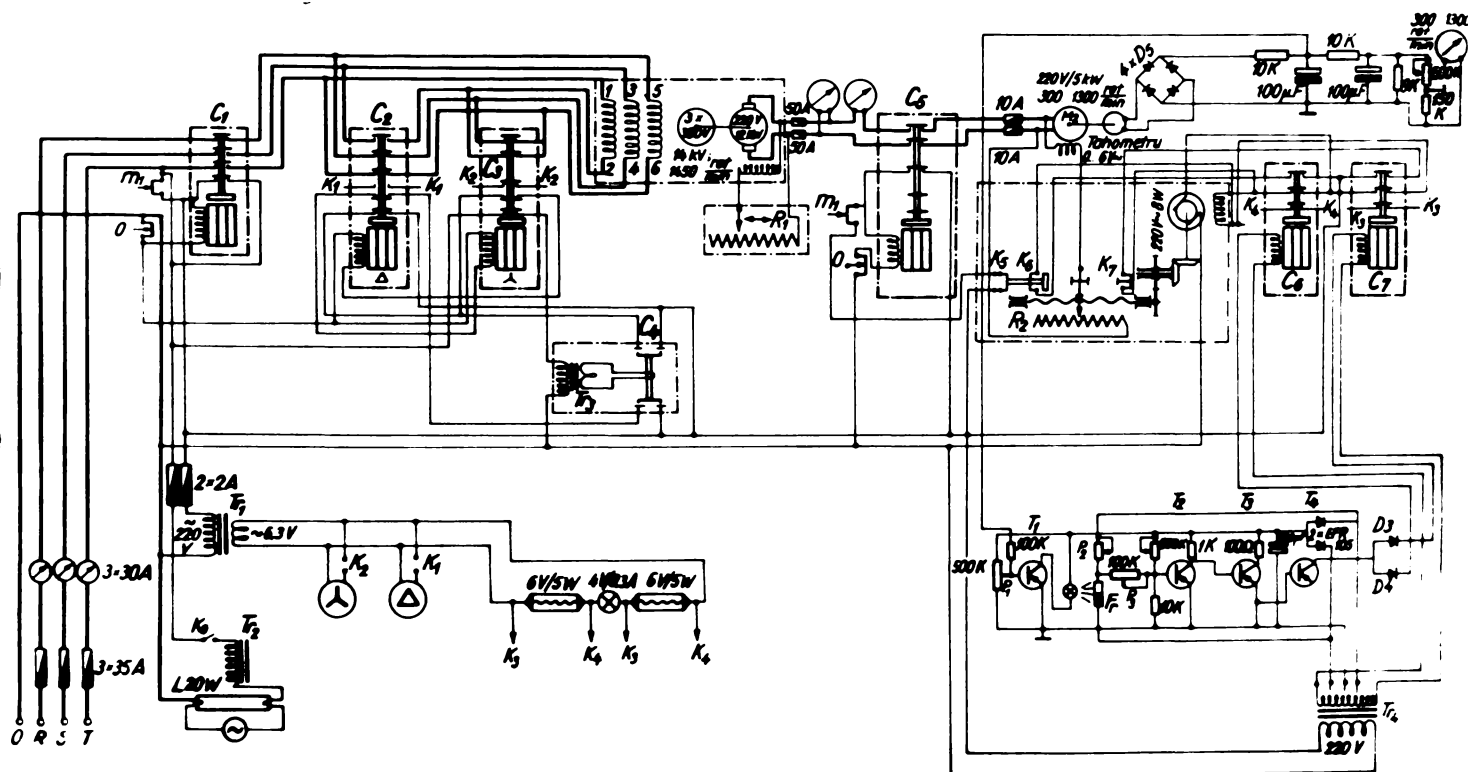


Fig.6.14

Schema electrică - de comandă și reglaj - a standului pentru încercări în rezonanță

Funcționarea este următoarea : instalația se conectează la rețeaua trifazată de 3 x 380 V prin apăsarea butonului de pornire  $n_1$  al contactorului  $C_1$  prin care se alimentează grupul ard-Leonard printr-un sistem clasic de pornire automatizată stea-triunghi, format din contactoarele  $C_2, C_3, C_4$  și transformatorul Tr 3. După această manevră se stabilește tensiunea de 220 V la generatorul grupului cu ajutorul reostatului  $R_1$ .

Pornirea propriu-zisă a vibratorului inerțial pentru produ-

carea forței variabile care este cuplat cu motorul  $M_2$  printr-un arbore elastic, se face cu ajutorul contactorului  $C_5$  - butonul  $n_2$ , turația motorului  $M_2$  fiind indicată de un aparat montat pe panoul central. Reglarea și menținerea constantă a turației motorului  $M_2$  care este parametrul esențial de funcționare a instalației deoarece amplitudinea forței de excitație ( $m_0 r \omega^2$ ) este proporțională cu pătratul pulsației, este realizată cu ajutorul unui sistem electronic compus din : tranzistoarele  $T_1, T_2, T_3, T_4$ , fotorezistența  $F_r$ , un bec cu incandescență montat în circuitul de colector al tranzistorului  $T_1$ , diodele EFR 105, potențioetrele de  $500 \text{ K}\Omega$  și  $100 \text{ k}\Omega$  alte rezistențe și condensatorul de  $500 \mu\text{F}$ .

Funcționarea aparaturii electronice se bazează pe defazarea în plus sau în minus a tensiunii de comandă a tranzistorului  $T_2$  față de tensiunea aplicată pe diodele EFR 105. Când există coincidență de fază între aceste două tensiuni, asigurată prin circuitul de comandă al tranzistorului  $T_2$ , contactoarele  $C_6$  și  $C_7$  stau în repaus, servomotorul reostatului  $R_2$  nu modifică turația motorului  $M_2$  astfel că generatorul tahometric furnizează o tensiune constantă și întreg sistemul electronic este în echilibru comandat de tensiunea tahometrului prin potențioetrul de  $500 \text{ K}\Omega$ , tranzistorul  $T_1$  și becul cu incandescență care luminează fotorezistența  $F_r$ . Când intervine o modificare de turație, tahogeneratorul își modifică tensiunea, fotorezistența prin  $T_1$  va fi iluminată mai puternic sau mai slab astfel încât în circuitul format din  $F_r$  și cele două potențioetre de  $100 \text{ K}\Omega$  această modificare de iluminare apare sub forma unui defazaj în plus sau în minus față de tensiunea aplicată pe diodele EFR 105. După felul defazajului unul din contactoarele  $C_6$  și  $C_7$  corectează turația în sensul menținerii ei constante, pînă cînd cele două tensiuni sînt readuse în fază. Contactoarele  $C_6$  și  $C_7$  pun în mișcare servomotorul de 8 W care execută o manevră mecanică acționînd asupra cursorului reostatului  $R_2$  montat în circuitul de excitație al motorului  $M_2$ .

Reglarea inițială a turației se face cu potențioetrul de  $100 \text{ K}\Omega$  în serie cu  $F_r$ . Se bazează tot pe defazarea tensiunii de comanda care apoi este echilibrată de tensiunea furnizată de tahogenerator.

Pentru limitarea cursei cursorului reostatului  $R_2$  sînt prevăzute contactoarele  $K_6$  și  $K_7$ . Este asigurată întotdeauna pornirea motorului  $M_2$  de la turația minimă după care ea se poate modifica pînă la valoarea maximă.

6.2.2.3. O nouă propunere. Dosarul OSIM 83911 [483] prezintă o propunere îmbunătățită a unui stand pentru încercarea la vibrații și durabilitate a structurilor de vehicule, care comparativ cu [37] și [484] aduce următoarele noutăți :

- ansamblul rozelor de sprijin rigid 10, este fixat printr-un sistem hidraulic cu comandă aleatoare care asigură oscilațiile lente ale structurii reproducând denivelările cu lungime de undă mare;

- metoda de alegere a parametrilor corpurilor prismatice de denivelare (v.fig.6.10) se bazează pe ideea asigurării aceleiași funcții de autocorelație ca și a drumurilor reale, deși evident datele statistice sînt mult mai puține.

Combinarea celor două sisteme de elemente aleatoare - viteza benzilor de rulare și parametrii corpurilor prismatice - asigură stohasticitatea procesului de excitație și corespondența statistică cu calea de rulare modelată.

6.2.3. Tensiuni dinamice în cadre de biciclete [39]. În mod obișnuit bicicletele - în timpul utilizării lor - se află sub acțiunea sarcinilor dinamice produse de forțele de inerție date de masa ansamblului bicicletă și conducător în perioada de demaraj și mai ales de frînare și de șocurile care apar datorită variației brusce de accelerație la trecerea peste obstacole. Cunoașterea stării de tensiune în aceste situații de solicitare este deci obligatorie pentru aprecierea capacității de rezistență a bicicletei în condiții reale de funcționare. Modul de aplicare a forțelor, existența elementelor elastice (pneurilor) cu caracteristică neliniară, fac ca repartiția de tensiune în cadru să fie alta decît aceea determinată la solicitările statice și deci și secțiunile periculoase să fie altele. Pentru cunoașterea acestor secțiuni s-au făcut determinări de deformații și tensiuni în două cazuri de solicitări dinamice :

a) Solicitarea dinamică la frînare cu o decelerație în jurul valorii de  $5 \text{ m}^2/\text{s}$  la o viteză de 15 Km/h.

---

[483] DOBRE I.; Stand și metodă pentru încercarea la vibrații și durabilitate a structurilor de vehicule. Dosar OSIM 83911/14.XI.1975

[39] BOLEANTU L.; DOBRE I.; DUMITRU I.: Studiul durabilității bicicletelor fabricate de uzina "6 Martie" Zărnești la solicitări variabile. Protocol, beneficiar Uzina 6 Martie-Zărnești, Brașov, 1972, 73 pag.

b) Solicitarea dinamică la trecerea peste un obstacol cu înălțimea de 150 mm, tot la viteza  $v = 15 \text{ Km/h}$ .

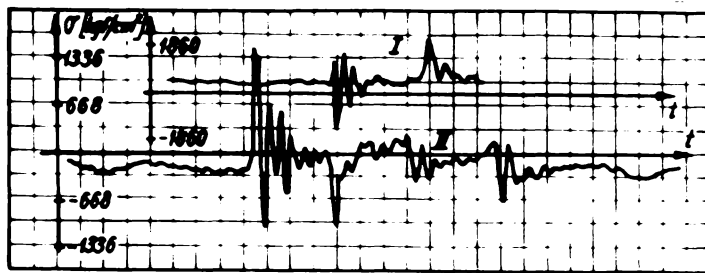
S-au făcut deasemenea încercări de durabilitate atât la rezonanță cît și pe standul cu bandă.

6.2.3.1. Solicitări dinamice la frinare. Determinarea vitezei și accelerației în timpul frînării s-a făcut prin cronometrare și prin stabilirea distanței de frinare corespunzător decelerației impuse.

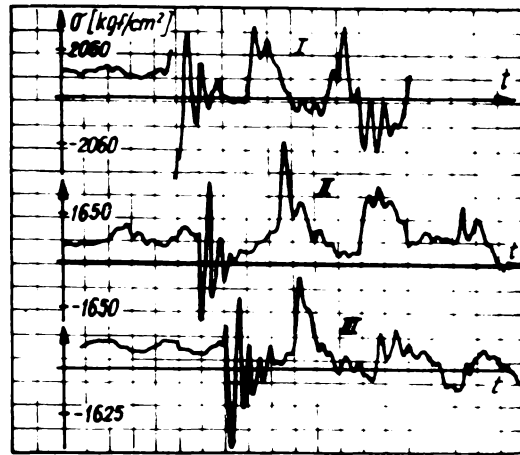
Rezultatele obținute sînt centralizate în tabelul 6.7 pentru ambele tipuri de solicitări dinamice. Se observă că la bicicleta tip "L" nu s-au măsurat decît indicațiile TR  $C_1/b$  deoarece la trecerea peste obstacol au apărut deformații permanente mari ale unor bare din cadru ; analog la bicicleta tip "D". În figurile 6.15 și 6.16 se reprezintă o parte din diagramele de variație a tensiunilor măsurate pentru ambele regimuri de solicitări dinamice din care s-au preluat rezultatele prezentate în tabelul 6.7.

Tabelul 6.7. Valoșile medii ale tensiunilor măsurate la încercări dinamice

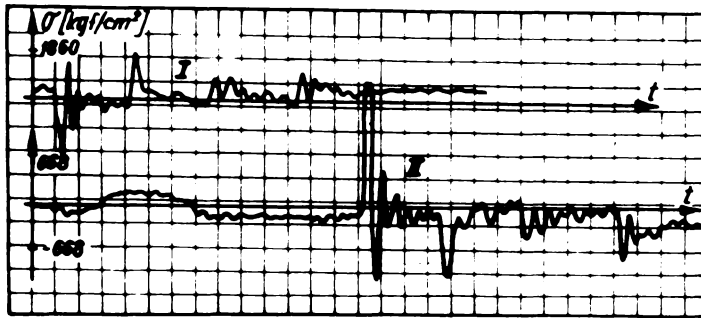
Tipul de bicicletă	Traduc-torul TR	Încercarea de frinare			Încercarea de trecere peste obstacol		
		Facto-rul de scară k [ $\frac{\text{daN/cm}^2}{\text{mm}}$ ]	Tensiunea maximă de		Facto-rul de scară k [ $\frac{\text{daN/cm}^2}{\text{mm}}$ ]	Tensiunea maximă de	
			Tracțiune [ $\frac{\text{daN}}{\text{cm}^2}$ ]	Compre-siune [ $\frac{\text{daN}}{\text{cm}^2}$ ]		Tracțiune [ $\frac{\text{daN}}{\text{cm}^2}$ ]	Compre-siune [ $\frac{\text{daN}}{\text{cm}^2}$ ]
G	$C_1/b$	74,4	2093	-	186	2008	-1295
	II/b	37,2	856	-129	186	1853	-2407
	III/a	33,4	138	-518	66,8	1505	-1095
	IV/a	33,4	236	-646	66,8	1970	-1346
L	$C_1/b$	82,8	1450	-1148	206	3530	-3710
F	$C_1/b$	66	1258	-545	165	3825	-3080
	VI/b	33	898	-	66	1825	-
	IX/a	66	-	-2000	66	-	-2680
	III/a	33	616	-231	66	1518	-550
D	$C_1/b$	65	1278	-341	162,5	2993	-2787
	VI/b	32,5	1115	-103	-	-	-
	IX/a	65	368	-2770	-	-	-
	III/a	16,5	156	-66	-	-	-



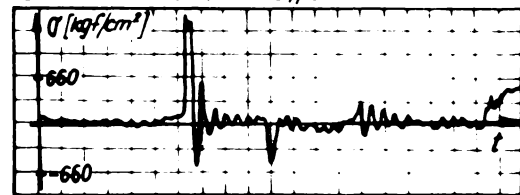
Curba I: Tranductor C<sub>1</sub>/b - .S"  
Curba II: Tranductor III/a - .S"



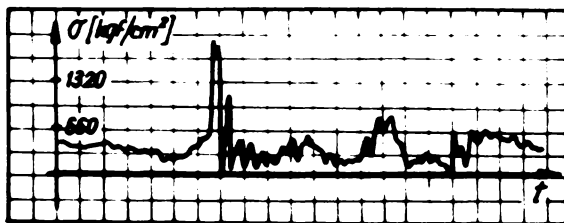
Curba I: Tranductor C<sub>1</sub>/b - .L"  
Curba II: Tranductor C<sub>1</sub>/b - .F"  
Curba III: Tranductor C<sub>1</sub>/b - .D"



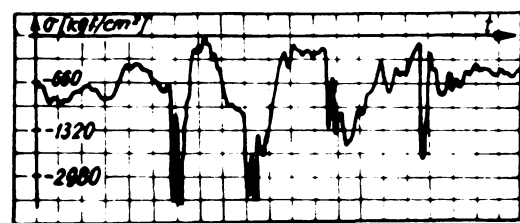
Curba I: Tranductor II/b - .S"  
Curba II: Tranductor III/a - .S"



Tranductor III/a - .S"



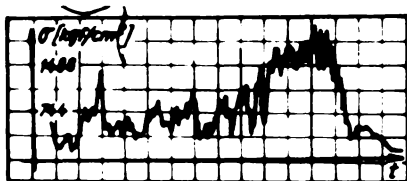
Tranductor II/d - .F"



Tranductor IX/a - .F"

Fig.6.15

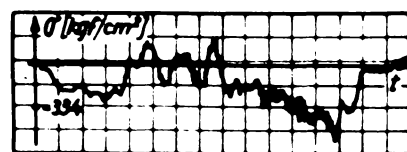
Diagramele de variație a tensiunilor măsurate în timpul trecerii peste obstacol (șoc)



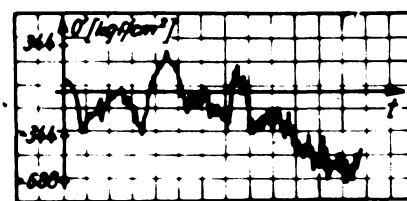
Tranductor C<sub>1</sub>/b - .S"



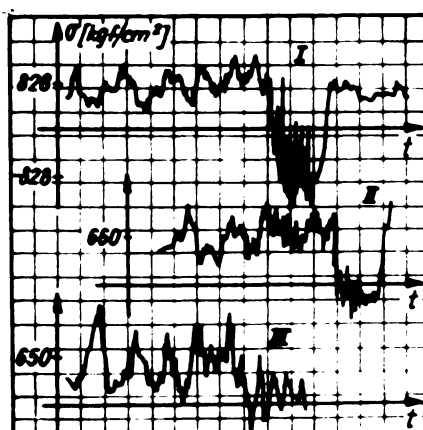
Tranductor II/b - .S"



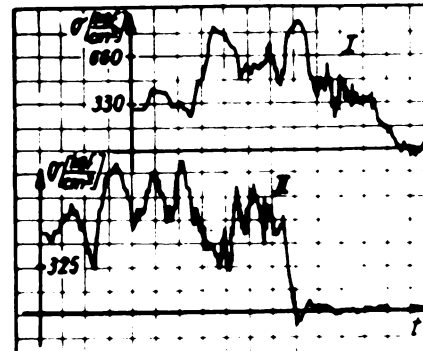
Tranductor III/a - .S"



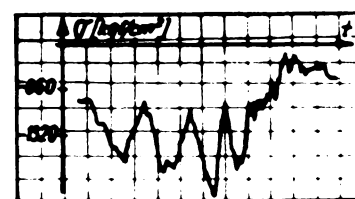
Tranductor IX/a - .S"



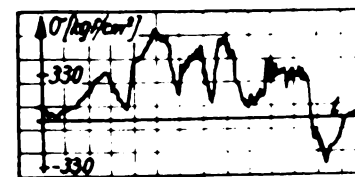
Curba I: Tranductor C<sub>1</sub>/b - .L"  
Curba II: Tranductor C<sub>1</sub>/b - .F"  
Curba III: Tranductor C<sub>1</sub>/b - .D"



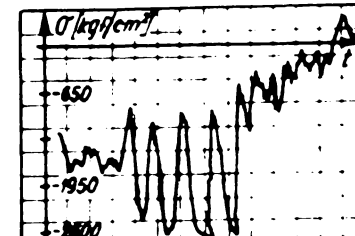
Curba I: Tranductor II/d - .F"  
Curba II: Tranductor II/d - .D"



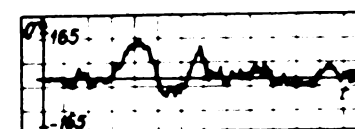
Tranductor IX/a - .F"



Tranductor III/a - .F"



Tranductor IX/a - .D"



Tranductor III/a - .D"

Fig.6.16

Diagramele de variație a tensiunilor măsurate în timpul procesului de frînare

Se remarcă pentru toate tipurile de biciclete că tensiunile care apar în barele cadrului sînt mai mici decît tensiunile din furcă cu 12...58 % însă în orice caz procentual mai mari decît tensiunile măsurate la solicitări statice. La tipurile "F" și "D", tensiunile din furcă sînt mai mici decît la "S" și "L" în schimb apar tensiuni cu mult mai mari în secțiunea IX/a aflată la 185 mm de axul pedaliier pe bara înclinată din spate, pe care sînt fixate cele două bare transversale aproape paralele. Raportul dintre tensiunea din furcă ( $C_1/b$ ) și tensiunea din această secțiune (IX/a) este de 1,1 la solicitări statice pe cînd la solicitări dinamice este de 0,62 ; se verifică și se subliniază redistribuirea tensiunilor maxime în cazul solicitărilor dinamice.

6.2.3.2. Solicitări dinamice la trecerea peste obstacole. Solicitarea s-a produs prin trecerea bicicletei cu conducător peste un obstacol cu înălțimea de 150 mm și panta de  $90^\circ$  la viteza de 15 Km/h. Obstacolul a fost realizat din profile U cu lungimea de 2 m.

Experiența a arătat însă că bicicletele tip "L" și "D" nu au rezistat acestor încercări ; la bicicleta tip "L" în barele cadrului central, în zona secțiunilor III și IV au apărut deformații plastice mari printr-un fenomen evident de pierdere de stabilitate. La bicicleta tip "D" au apărut deformații permanente în furcă, astfel încît încercările au fost oprite.

Analiza rezultatelor din tabelul 6.7 indică valori foarte mari pentru tensiuni și redistribuirea tensiunilor maxime în cadru, crescînd considerabil valorile lor în secțiunile III, IV și IX, devenind comparabile cu cele din furcă față sau chiar mai mari. Deci concluziile trase numai pe baza încercărilor statice nu sînt suficient de concludente și trebuie corelate cu rezultatele încercărilor dinamice.

Faptul că la încercarea dinamică de trecere peste obstacol la două dintre biciclete au apărut deformații plastice mari subliniază necesitatea unei metodologii care să redea criteriile de încercare mai apropiate de funcționarea reală.

6.2.3.3. Încercări de durabilitate în cazul solicitărilor sinusoidale. Primul grup de încercări s-a făcut cu bicicleta montată cu roți pentru o presiune constantă în pneuri : spate,  $p_s = 2,1$  [daN/cm<sup>2</sup>], față,  $p_f = 1,9$  [daN/cm<sup>2</sup>], pentru înregistrarea variației în timp a deformațiilor utilizîndu-se un Visicorder. Echilibrarea inițială a traductorilor s-a făcut cu dispozitivul de producere a for-



țelor de inerție montat pe bara transversală auxiliară, reprezentând încărcarea statică inițială  $G_1 = 38$  [daN], la care s-a adăugat forța dinamică produsă de vibratorul mecanic. S-au făcut înregistrări la două frecvențe : o frecvență corespunzătoare turației de 420 rot/min ( $f_n = \frac{420}{60} = 7$  Hz) la care s-a produs rezonanța ; o frecvență mai ridicată corespunzătoare turației de 500 rot/min ( $f = \frac{500}{60} = 8,35$  Hz) în afara domeniului de rezonanță. Măsurarea și înregistrarea deplasărilor s-a făcut printr-un sistem mecanic adaptat de autor, care a permis evidențierea regimului de rezonanță.

Rezultatele sînt prezentate în tabelul 6.8.

**Tabelul 6.8. Tensiuni obținute la încercarea pe standul de rezonanță**

1	Tensiunea normală $\sigma$ [daN/cm <sup>2</sup> ]					
	Încercarea I-a $f_n = 7$ Hz Sarcina statică $G_1 = 38$ [daN]		Încercarea II-a $f_n = 8,35$ Hz Sarcina statică $G_1 = 38$ [daN]		Încercarea III-a $f_n = 6,5$ Hz Sarcina statică $G_1 = 62,5$ [daN]	
	max.poz.	max.neg.	max.poz.	max.neg.	max.poz.	max.neg.
2	3	4	5	6	7	
IV-a	296	-412	99	-116	135	-135
S <sub>2</sub> a	304	-455	116	-107	195	-150
S <sub>1</sub> ' b	540	-308	179	-125	345	-390
C <sub>3</sub> ' b	16	-54	4	-22	30	-30
C <sub>1</sub> ' b	830	-495	224	-188	450	-480
VII-a	89	-134	22	-54	30	-45

Se observă că cele mai mari tensiuni se obțin în furca din față în zona TR C<sub>1</sub> (la încercarea I-a) iar starea de tensiune se micșorează considerabil cînd se depășește frecvența de rezonanță (încercarea II-a). În cadrul primei încercări, pentru starea de tensiune prezentată în tabelul 6.8 bicicleta a fost supusă la un număr de  $N_1 = 11,9972 \cdot 10^6$  cicluri, fără să se observe apariția vreunei defecțiuni. S-a încercat atunci să se mărească încărcarea statică, deoarece sarcina dinamică avea valoarea optimă care se putea obține de la vibratorul mecanic utilizat. Astfel, în cadrul celei de-a III-a încercări, pentru o

sarcină statică de 62,5 daN, frecvența de rezonanță a scăzut ( $f_n = 6,5$  Hz) iar starea de tensiune dinamică a fost efectuată pînă la  $N_3 = 2,75 \cdot 10^6$  cicluri, fără să apară deasemenea vreo defecțiune.

Deoarece nu s-a dispus de un alt vibrator cu o putere mai mare, iar efectul de amortizare al pneurilor nu a permis o creștere a solicitărilor, s-a trecut la o încercare directă a cadrului fără roți, simplu rezemat, încercat în același mod.

În acest caz frecvența de rezonanță a fost  $f_n = 11,8$  Hz și nu s-au măsurat decît doi traductori pentru o sarcină statică  $G_1 = 38$  daN, obținîndu-se următoarele rezultate :

$$\text{TR } C_{1b} : \sigma_{\max} = 960 \text{ daN/cm}^2 ; \sigma_{\min} = -840 \text{ daN/cm}^2$$

$$\text{TR } S_2a : \sigma_{\max} = 420 \text{ daN/cm}^2 ; \sigma_{\min} = -475 \text{ daN/cm}^2$$

În aceste condiții de solicitare, primul cadru încercat s-a rupt la  $N_4 = 0,825 \cdot 10^6$  cicluri, deci sub o limită acceptabilă de durabilitate. Interesant a fost faptul că ruperea s-a produs la furca din spate în zona de trecere a axei roții deși măsurătorile făcute pe barele care concură în acest mod au arătat valori foarte mici pentru tensiuni. Se consideră că în această zonă apare un puternic efect de concentrare care poate să conducă la rupere ; pentru a verifica aceasta s-a încercat un alt cadru în aceleași condiții care s-a rupt în aceeași secțiune la  $N_5 = 1,114 \cdot 10^6$  cicluri.

Se poate trage concluzia că aceasta poate deveni o secțiune periculoasă la o solicitare mai îndelungată și atît în procesul de proiectare cît și în execuție trebuie să i se acorde o atenție deosebită. Se consideră deasemenea că astfel de încercări, care în cazul existenței unei surse de turație reglabilă se pot efectua cu ușurință, trebuie făcute pe prototip și periodic prin sondaj, pentru a depista și alte secțiuni slabe ale structurii care nu pot fi evidențiate în cazul altor tipuri de încercări și eventualele abateri de la procesul tehnologic.

6.2.3.4. Incercări de durabilitate la solicitări nestacionare. [134]. Cercetarea experimentală a început cu o investigație de ansamblu a solicitărilor din cadru, prin măsurarea tensiunilor dinamice (componenta variabilă,  $\sigma_v$ , echipamentul de măsură fiind echilibrat pentru încărcarea statică dată) în diverse condiții de excitație ;

[134] DOBRE I.: Solicitări dinamice la cadre de biciclete realizate din țevă prin brazare. În : Lucrările simpozionului "Rezistența îmbinărilor sudate" Iași, 27-29 sept.1973, vol.II, pag. 100...110

s-a urmărit stabilirea condițiilor de încercare și domeniul maxim de variație al parametrilor astfel încât să se reproducă, în funcție de modul de încărcare, un spectru de solicitare care să permită o funcționare de lungă durată. Această cercetare a fost necesară deoarece experiențele au arătat că în cazul încărcării mecanice directe cu greutatea montate pe șea, coarne și pedale însumând aceeași greutate ca și în cazul încărcării naturale, pentru denivelări relativ mici care se întâlnesc în exploatare, funcție de presiunea în pneuri și viteză pot să apară distrugerii brusce fie prin pierderea de stabilitate a fircii din față fie prin distrugerea obezii roții din față etc. Pentru aceste s-au aplicat pe structură 40 de traductori rezistivi și s-au făcut măsurători de tensiuni dinamice pentru două viteze de deplasare ale benzii ( $v_1 = 10 \text{ km/h}$  și  $v_2 = 20 \text{ km/h}$ ) și pentru două înălțimi ale corpului prismatic de denivelare ( $h_1 = 10 \text{ mm}$  și  $h_2 = 30 \text{ mm}$ ). Valorile maxime ale tensiunilor pozitive și negative, stabilite ca medii pe 10 cicluri de solicitare sînt reprezentate comparativ în fig.6.17 și 6.18 (v.Anexa 3). Se remarcă diferența mare de solicitare a diferitelor elemente ale structurii, elementul cel mai solicitat fiind furca din față (secțiunile I, S<sub>1</sub>, C<sub>1</sub>, II) și cel mai puțin solicitat, furca din spate (secțiunile XI, C<sub>3</sub>, XII, XIII, C<sub>4</sub>, C<sub>5</sub>).

Raportul tensiunilor din cele două elemente ajunge pînă la 10, de aceea în continuare secțiunile explorate au fost reduse la un număr de cinci. Această constatare poate conduce la două soluții economice avantajoase : sau creșterea capacității de rezistență a fircii - față prin modificarea formei și dimensiunilor și în final creșterea capacității portante a întregului ansamblu sau micșorarea celorlalte elemente pentru uniformizarea stării de tensiune

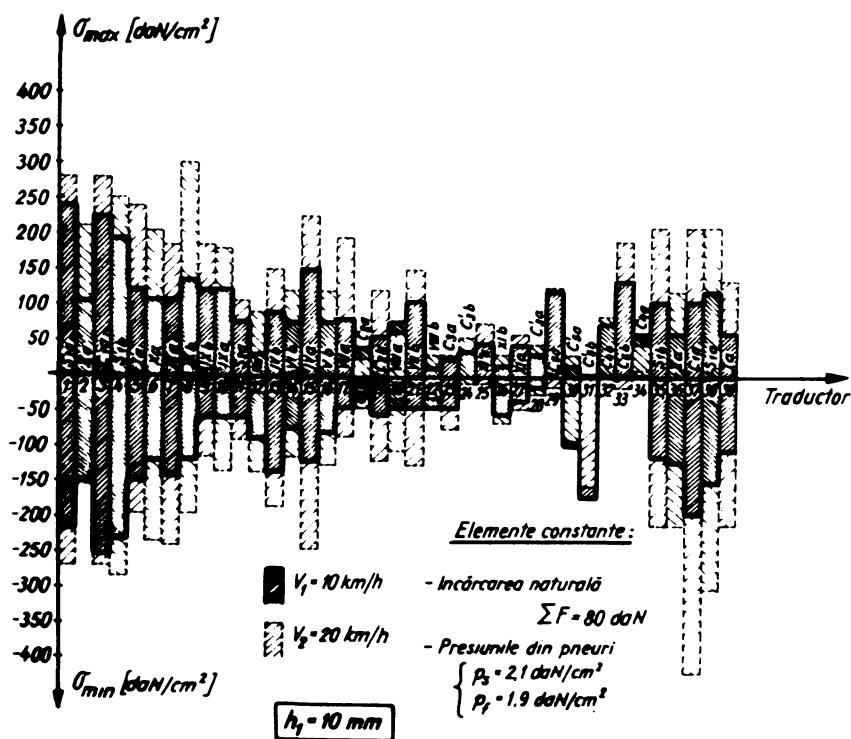


Fig.6.17

Repartiția comparativă a tensiunilor dinamice experimentale pentru  $h_1 = 10 \text{ mm}$  și o solicitare rațională a structurii.

Al doilea grup de încercări a cuprins stabilirea influenței

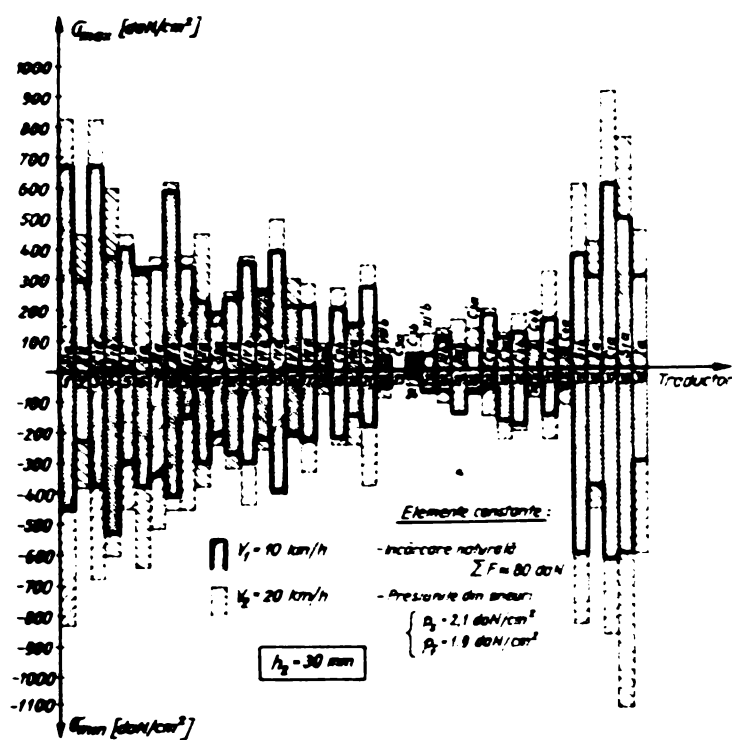


Fig. 6.18

Repartiția comparativă a tensiunilor dinamice experimentale pentru  $h_2 = 30 \text{ mm}$

Rețetare similară în cazul bicicletei încărcată cu un conducător (încărcare denumită "naturală",  $\Sigma F = 80 \text{ daN}$ ) (v. tab. 6.9) cu banda fără denivelări, a arătat că tensiunile nu cresc cu mult față de primele, unele chiar micșorându-se.

Tabelul 6.9. Influența mișcărilor neregulate inițiale ale benzii

$$p_s = 2,1 \text{ daN/cm}^2 ; p_f = 1,9 \text{ daN/cm}^2$$

Tra- duc- tor		Tensiunea normală $\sigma$ [daN/cm <sup>2</sup> ]					
		$v_1 = 10 \text{ Km/h}$		$v_2 = 20 \text{ Km/h}$		$v_3 = 40 \text{ Km/h}$	
		max. poz.	max. neg.	max. poz.	max. neg.	max. poz.	max. neg.
Bicicleta neîn- cărcată	S <sub>1</sub> 'a	97,5	-82,5	180	-180	300	-300
	II' <sub>1</sub> 'a	60	-45	105	-90	210	-150
	C <sub>1</sub> 'a	90	-90	180	-180	450	-330
	S <sub>1</sub> 'b	60	-75	125	-150	240	-240
	I' <sub>1</sub> 'a	60	-45	120	-120	240	-240
Încărcare natu- rală $\Sigma F = 80 \text{ daN}$	S <sub>1</sub> 'a	105	-120	138	-133	-	-
	II' <sub>1</sub> 'a	60	-30	75	-38	-	-
	C <sub>1</sub> 'a	120	-75	195	-82	-	-
	S <sub>1</sub> 'b	90	-75	112	-120	-	-
	I' <sub>1</sub> 'b	90	-60	75	-90	-	-

asupra stării de tensiune din ca-  
dru, a mișcărilor neregulate ini-  
țiale ale benzii în cazul bicicletei  
neîncărcate. Rezultatele sînt  
centralizate în tabelul 6.9 iar o  
parte din înregistrări sînt prezen-  
tate în Anexa 4 în care sînt reda-  
te - pentru exemplificare - cîteva  
din cele peste 800 de înregistrări  
care au fost făcute în cadrul mă-  
surătorilor dinamice. Se observă  
din analiza valorilor obținute că  
la viteze mari pot să apară tensi-  
uni destul de însemnate ca rezul-  
tat al modului de fixare și al mi-  
șcărilor neregulate ale ben-  
zii care cresc ca influență în ca-  
zul bicicletei neîncărcate. O cer-

S-au studiat separat influența diferiților parametri ai corpului prismatic ( $h$ ,  $l$ ,  $\alpha$ ) precum și a presiunii din pneuri asupra repartiției stării de tensiune pe structura pentru a se putea stabili domeniile maxime în care pot varia aceste elemente și valorile

corespunzătoare ale coeficientului dinamic. Din mulțimea rezultatelor experimentale obținute se prezintă în continuare câteva diagrame comparative care să illustreze concluziile la care s-a ajuns.

În fig.6.19 se analizează influența înălțimii  $h$  a corpului prismatic, măsurată de TR S<sub>1</sub>a și IIa pentru două viteze de deplasare ale benzii transportoare, la presiuni constante în pneuri, pentru încărcarea naturală.

Se remarcă o creștere mai accentuată a maximelor negative odată cu creșterea înălțimii corpului prismatic, care este și mai pronunțată la viteze mai mari. Această creștere nu este liniară ci are o ușoară scădere de pantă spre înălțimile mari, probabil datorită unei redistribuiri a sarcinii în momentul șocului și a unei amortizări mai mari în domeniu. În orice caz la înălțimi de 40 mm s-au produs tensiuni foarte mari, iar în cazul unei încălzări de simulare a sarcinii prin încărcare directă cu greutateți au apărut zone de curgere în furca din față.

Figura 6.20 reprezintă tensiunile dinamice măsurate de TR S<sub>1</sub>a pentru diverse lungimi  $l$  ale corpului prismatic, pentru două viteze de deplasare ale benzii, în aceleași condiții de încărcare și presiune în pneuri, pentru patru înălțimi de denivelare (v. Anexa 4 și 5). În general se poate trage concluzia că în domeniul de lungimi cercetat influența acestora asupra stării de tensiune este mică. Ea crește însă odată cu înălțimea corpului prismatic și cu viteza, datorită schimbării modului de vibrație. La lungimi mari, după șocul inițial, roata rămâne în contact cu corpul

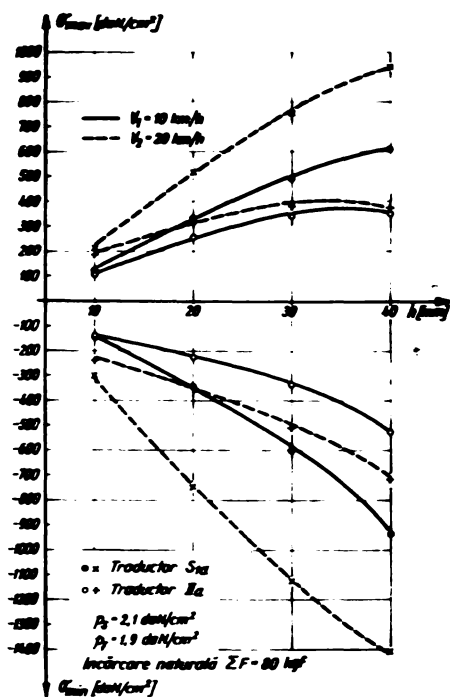


Fig.6.19

Variația tensiunii dinamice ( $\sigma_v$ ) cu înălțimea corpului prismatic ( $h$ ) pentru două viteze de deplasare ale benzii

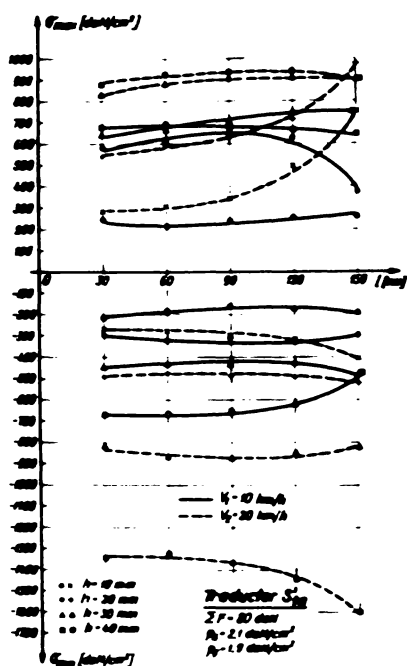


Fig.6.20

Influența lungimii  $l$  a corpului prismatic asupra tensiunilor dinamice din cadru

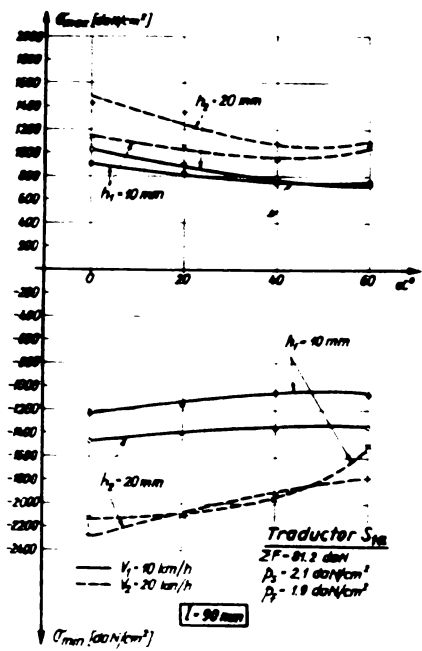


Fig. 6.21

Variația tensiunilor dinamice în funcție de unghiul de atac  $\alpha$  al corpului prismatic

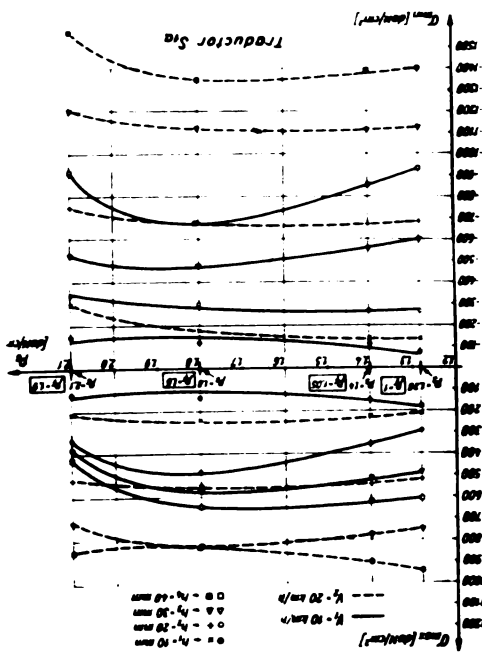


Fig. 6.22

Influența presiunii din pneuri asupra tensiunilor dinamice din cadru, pentru  $S_{1a}$

și presiunea la roata din față ( $p_f$ ) în așa fel încît raportul lor să se schimbe în limite relativ mici. În lucrarea [136]. În aceeași ordine de idei se observă că în jurul presiunilor  $p_g = 1,8 \text{ daN/cm}^2$  și  $p_f = 1,6 \text{ daN/cm}^2$  tensiunile pozitive prezintă un maxim, starea de sollicitare fiind cea mai avantajoasă privind condițiile optime de funcționare.

Trecerea de la încărcarea naturală la o încărcare echivalentă prin aplicarea unor greutăți direct pe cadru a necesitat un studiu separat pentru a se putea stabili încărcarea care să permită o funcționare de cât mai lungă durată, deci obținerea unui spectru de

prismatic și după aceea se produce șocul de cădere, acest regim fiind însă aproape amortizat pînă la producerea șocului următor. În general, la o creștere a lungimii corpului prismatic de 5 ori, tensiunile cresc cu valori cuprinse între 5...30 %, o creștere mai mare înregistrînd maximele negative.

În fig. 6.21 se ilustrează influența unghiului de atac, remarcînd o scădere continuă cu creșterea acestuia - dar neliniară - a tensiunilor, mai pronunțată la viteze mai mari. Pentru încercări mai apropiate de realitate sînt indicate unghiuri între  $30^\circ \dots 50^\circ$ .

Pentru studierea influenței presiunii din pneuri s-au făcut încercări variînd simultan atît presiunea la roata din spate ( $p_g$ ) cît și presiunea la roata din față ( $p_f$ ) în

asă fel încît raportul lor să se schimbe în limite relativ mici. În fig. 6.22 (v. Anexa 6) s-au reprezentat valorile măsurate ale tensiunilor dinamice în funcție de presiunea  $p_g$  la diverse viteze și înălțimi. Comportarea structurii se schimbă la aceeași presiune odată cu înălțimea corpului prismatic. În orice caz se remarcă o scădere pronunțată la presiuni mai mari a tensiunilor maxime pozitive și creșterea tensiunilor de compresiune. Aceasta poate avea drept efect o distrugere printr-un fenomen de pierdere de stabilitate semnalat de noi în lucrarea [136].

În aceeași ordine de idei se observă că în jurul presiunilor  $p_g = 1,8 \text{ daN/cm}^2$  și  $p_f = 1,6 \text{ daN/cm}^2$  tensiunile pozitive prezintă un maxim, starea de sollicitare fiind cea mai avantajoasă privind condițiile optime de funcționare.

tensiuni sînt mai apropiat de cazul încărcării naturale. Rezultatele sînt centralizate în tabelul 6.10. Încercările au arătat ca în aceste condiții, modul al doilea de încărcare, pentru care sarcina totală ( $\sum F = 81,2 \text{ daN}$ ) este aproximativ egală cu încărcarea naturală ( $\sum F = 80 \text{ daN}$ ), constituie o solicitare foarte dură pentru structură în care apar tensiuni cu 60...85 % mai mari.

O parte din rezultatele finale privind tensiunile și coeficienții dinamici sînt centralizate în tabelul 6.11 pentru șapte traductori - cei mai reprezentativi - primii trei fiind de pe furca din față. Aici s-a notat prin :

$\sigma_s \text{ daN/cm}^2$  - tensiunea statică determinată din măsurătorile experimentale de deformații în fibre corespunzătoare a sau b din secțiunea analizată, pentru încărcarea naturală ( $\sum F = 80 \text{ daN}$ ),

$\sigma_v \text{ daN/cm}^2$  - componenta variabilă a tensiunii dinamice, măsurată experimental, pentru încărcarea naturală, la două înălțimi ale corpului prismatic ( $h_1 = 10 \text{ mm}$  și  $h_2 = 30 \text{ mm}$ ) și pentru două viteze de deplasare ale benzii ( $v_1 = 10 \text{ Km/h}$  și  $v_2 = 20 \text{ Km/h}$ ). Acestea sînt de fapt tensiunile suplimentare care apar în regimul de ners, deoarece echilibrarea punții s-a făcut cu structura încărcată cu sarcina statică. În aceste condiții coeficientul dinamic este :

$$\psi = \frac{\sigma_d}{\sigma_s} = \frac{\sigma_s + \sigma_v}{\sigma_s} = 1 + \frac{\sigma_v}{\sigma_s} \quad (6.8)$$

Coeficientul dinamic care ilustrează o proprietate cu caracter local a răspunsului structurii la solicitări dinamice, are valori foarte diferite pe elementele acesteia. Astfel, în funcție de condițiile de încărcare (de excitație) în furca din față variază de la 1,19...4,01, în barele triunghiului central de la 1,38...4,14 iar în furca din spate de la 1,00...3,00. În această situație se recomandă ca în calculele de proiectare să se lucreze cu valori diferențiate ale coeficientului dinamic, care pot să fie valorile maxime determinate mai sus, considerînd regimul în care au fost determinate, destul de sever. Se recomandă deasemenea ca în cazul încercărilor dinamice de control cu încărcare directă, să nu se depășească înălțimi de 30 mm, sarcini totale de 60 daN și viteze de 30 Km/h. Acestea sînt elemente care pot fi normalizate pentru un control al stării de tensiune dinamice, la asimilarea unor produse noi sau modificarea tehnologiei de execuție la produsele existente.

Cîteva tatonări privind durabilitatea în condițiile unor în-

**Tabelul 6.10. Studiul influenței modului de încălzire a benzii asupra stării de tensiune din cadrul, la aceeași presiune în pneuri și pentru diverse depivelări. Presiunea dia pneuri:  $P_g = 1,8 \text{ daN/cm}^2$ ;  $P_f = 1,6 \text{ daN/cm}^2$**

Dimensiunile corpului prismatic [mm]		Tensiunea nominală $\sigma$ [daN/cm <sup>2</sup> ]													
		MODUL DE ÎNCĂLCIRE													
Traductor TR	2	Modul I Încălzire naturală ( $\Sigma F = 80 \text{ daN}$ )		Modul II $F_1 = 49 \text{ daN}$ , $F_2 = 9,8 \text{ daN}$		Modul III $F_1 = 50 \text{ daN}$ , $F_2 = 10 \text{ daN}$		Modul IV $F_1 = 50 \text{ daN}$ , $F_2 = 10 \text{ daN}$		Modul V $F_1 = 50 \text{ daN}$ , $F_2 = 10 \text{ daN}$		Modul VI $F_1 = 50 \text{ daN}$ , $F_2 = 10 \text{ daN}$		Modul VII $F_1 = 50 \text{ daN}$ , $F_2 = 10 \text{ daN}$	
		$V_1 = 10 \text{ km/h}$	$V_2 = 20 \text{ km/h}$	$V_1 = 10 \text{ km/h}$	$V_2 = 20 \text{ km/h}$	$V_1 = 10 \text{ km/h}$	$V_2 = 20 \text{ km/h}$	$V_1 = 10 \text{ km/h}$	$V_2 = 20 \text{ km/h}$	$V_1 = 10 \text{ km/h}$	$V_2 = 20 \text{ km/h}$	$V_1 = 10 \text{ km/h}$	$V_2 = 20 \text{ km/h}$	$V_1 = 10 \text{ km/h}$	$V_2 = 20 \text{ km/h}$
		max. poz. (+)	max. neg. (-)	max. poz. (+)	max. neg. (-)	max. poz. (+)	max. neg. (-)	max. poz. (+)	max. neg. (-)	max. poz. (+)	max. neg. (-)	max. poz. (+)	max. neg. (-)	max. poz. (+)	max. neg. (-)
1	3	135	-120	675	-450	940	-790	10	-790	330	-375	450	-600	11	-375
	4	90	-90	390	-300	525	-450	10	-450	275	-255	380	-305	11	-255
	5	195	-90	790	-675	975	-975	10	-975	375	-487	547	-875	11	-487
	6	105	-75	450	-300	487	-548	10	-548	300	-300	375	-375	11	-300
	7	45	-150	450	-487	750	-675	10	-675	450	-173	525	-248	11	-173
	8														
	9														
	10														
	11														
	12														
	13														
	14														



**Tabelul 6.10 (continuare)**

1	2	3	4	5	6	7	8	9	10	11	12	13	14
	S <sub>1a</sub>	510	-300	540	-495	825	-1050	930	-1320	450	-615	780	-825
$h = 20$	I a	300	-150	435	-270	480	-780	525	-750	420	-355	475	-410
$l = 30$	C <sub>1a</sub>	510	-345	570	-480	1020	-1350	1200	-1800	525	-675	940	-825
	II a	300	-180	390	-330	570	-810	450	-1050	487	-300	525	-675
	S <sub>1b</sub>	240	-450	405	-540	1200	-915	1200	-1050	712	-172	940	-375
	S <sub>1a</sub>	480	-480	825	-1120	1050	-1725	1200	-2550	775	-1150	925	-1570
$h = 30$	I a	300	-270	350	-750	600	-1080	750	-1680	505	-435	625	-580
$l = 30$	C <sub>1a</sub>	495	-525	825	-900	1125	-1950	1500	-2550	1005	-1355	1105	-1600
	II a	300	-300	350	-395	600	-1050	825	-1200	535	-475	605	-875
	S <sub>1b</sub>	330	-495	787	-750	1350	-1200	1800	-1200	970	-405	1255	-605
	S <sub>1a</sub>	637	-675	825	-1350	1250	-2120	1250	-2950	990	-1525	1155	-1650
$h = 40$	I a	450	-375	637	-900	750	-1250	700	-2000	655	-575	805	-605
$l = 30$	C <sub>1a</sub>	798	-450	825	-1050	1250	-2000	1450	-4000	1150	-1425	1275	-2400
	II a	375	-300	375	-525	625	-1250	1000	-1450	505	-575	875	-1125
	S <sub>1b</sub>	450	-525	900	-600	1250	-1250	3000	-1500	1055	-975	2150	-1100

**Observație :** Rezultatele încercărilor cu  $h = 40$  mm, modul II și III de încărcare, nu sînt concludente, deoarece în furec au apărut deformații plastice mari, care au făcut ca distanța între centrele oelor două axe ale roților, care a fost un element de control, să crească cu 8...12 mm.

**Tabelul 6.11. Tensiuni si coeficienti dinamici in cadrul tip Tohan ("S")**

Traductor		Elemente rezultante		S <sub>1</sub>	C <sub>1</sub>	II	III	IV	XI	C <sub>4</sub>	
		a	b	a	b	a	b	a	b	a	b
$\sigma_s$ [daN/cm <sup>2</sup> ]		a	-375	-450	-525	280	-235	105	-67		
		b	337	432	555	-210	241	-67	-45		
$\sigma_v$ [daN/cm <sup>2</sup> ]	$h_1 = 10$ [mm]	V <sub>1</sub>	a	120 -150	105 -195	60 -120	105 -144	150 -120	45 -38	60 0	
			b	105 -114	110 -175	105 -150	135 -120	87 -132	15 -52	65 0	
		V <sub>2</sub>	a	210 -300	210 -420	120 -120	186 -240	225 -248	60 -45	95 -7	
			b	210 -210	245 -310	210 -150	300 -195	150 -187	30 -67	82 0	
	$h_2 = 30$ [mm]	V <sub>1</sub>	a	487 -600	600 -615	300 -375	338 -338	390 -390	75 -142	90 -30	
			b	375 -600	725 -600	345 -225	390 -412	360 -300	112 -67	75 -30	
		V <sub>2</sub>	a	75 -1125	900 -862	412 -450	375 -510	495 -390	165 -135	120 -114	
			b	600 -825	1010 -975	450 -375	635 -450	375 -435	135 -105	90 -90	
	Coeficienti dinamici $\psi$	$h_1 = 10$ [mm]	V <sub>1</sub>	a	1,40	1,44	1,23	1,38	1,51	1,43	1,00
				b	1,31	1,26	1,19	1,57	1,36	1,78	1,00
			V <sub>2</sub>	a	1,80	1,94	1,23	1,67	2,05	1,57	1,12
				b	1,62	1,57	1,38	1,93	1,62	2,00	1,00
$h_2 = 30$ [mm]		V <sub>1</sub>	a	2,59	2,37	1,72	2,21	2,66	1,71	1,45	
			b	2,11	2,68	1,62	2,96	2,50	2,00	1,67	
		V <sub>2</sub>	a	4,01	2,92	1,86	2,34	2,66	2,57	2,70	
			b	2,78	3,34	1,81	3,14	2,56	2,57	3,00	

cercări de lungă durată cu solicitări nestaționare, s-au efectuat păstrându-se constante următoarele elemente : încărcarea directă cu  $F_1 = 20 \text{ daN}$  și  $F_2 = 10 \text{ daN}$  (modul III), viteza de deplasare a benzii  $V_1 = 10 \text{ km/h}$  și presiunile din pneuri :  $p_s = 1,8 \text{ daN/cm}^2$ ,  $p_f = 1,6 \text{ daN/cm}^2$ .

În aceste condiții o primă bicicletă s-a încercat cu două corpuri prismatice montate pe bandă, avînd  $h = 10 \text{ mm}$ ,  $\alpha = 60^\circ$ ,  $l = 90 \text{ mm}$ .

Dacă se consideră valorile extreme ale tensiunilor pe parcursul unei rotații a benzii :  $\sigma_{\max} = 600 \text{ daN/cm}^2$ ,  $\sigma_{\min} = -1050 \text{ daN/cm}^2$  se pot asimila acestea cu un ciclu cu coeficientul de asimetrie  $R = -1,75$ . În acest caz ruperea s-a produs după  $N_1 = 1,328 \cdot 10^6$  "cicluri". Analizînd însă mai amănunțit diagrama înregistrată a variației în timp a tensiunilor se mai pot considera și alte "cicluri" suplimentare, de exemplu :  $\sigma_{\max} = 525 \text{ daN/cm}^2$ ,  $\sigma_{\min} = -375 \text{ daN/cm}^2$  (cu  $R' = -0,715$ ) ;  $\sigma_{\max} = 525 \text{ daN/cm}^2$ ,  $\sigma_{\min} = -525 \text{ daN/cm}^2$  (cu  $R'' = -1$ ) etc. astfel încît s-ar putea vorbi despre un bloc de solicitare repetat de  $N_1$  ori pînă la rupere.

O a doua bicicletă s-a încercat păstrînd aceleași elemente constante (încărcare, viteză, presiune) și modificînd dimensiunile corpurilor prismatice montate pe bandă  $h = 20 \text{ mm}$ ,  $\alpha = 40^\circ$ ,  $l = 90 \text{ mm}$ . Din spectrul de tensiuni se scot elementele blocului :

$$\sigma_{\max} = 900 \text{ daN/cm}^2, \quad \sigma_{\min} = -1050 \text{ daN/cm}^2 \quad (R = -1,17) ;$$

$$\sigma'_{\max} = 750 \text{ daN/cm}^2, \quad \sigma'_{\min} = -450 \text{ daN/cm}^2 \quad (R' = -0,6) ;$$

$$\sigma''_{\max} = 600 \text{ daN/cm}^2, \quad \sigma''_{\min} = -375 \text{ daN/cm}^2 \quad (R'' = -0,625).$$

Ruperea s-a produs în aceeași secțiune după  $N_2 = 0,171 \cdot 10^6$  blocuri repetitive.

Deși condițiile de încercare nu au fost prea severe, durabilitatea determinată experimental este nesatisfăcătoare.

### 6.3. Confruntări finale teoretice și experimentale

6.3.1. Calculul analitic al funcției de autocorelație. În scopul evidențierii metodei propuse de autor și aplicării acestora la verificările de durabilitate, este necesară exprimarea analitică a funcției de autocorelație a spectrului de tensiuni indicat de transductorul din secțiunea cea mai solicitată. Se admite pentru aceasta o formă generalizată de tipul

$$K_X(\tau) = D_X \cdot e^{-\alpha|\tau|} (\cos \beta\tau + \frac{\alpha}{\beta} \sin \beta|\tau|) \quad (6.9)$$

Dacă funcția experimentală are forma din fig. 2.8 atunci pentru  $\tau > 0$  se obține :

$$\left. \begin{aligned} \tau = \tau_0 &\Rightarrow \cos \alpha \tau_0 + \frac{\alpha}{\beta} \sin \beta \tau_0 = 0 \\ \tau = \frac{\tau_0}{2} &\Rightarrow \cos \alpha \frac{\tau_0}{2} + \frac{\alpha}{\beta} \sin \beta \frac{\tau_0}{2} = \frac{K_x(\frac{\tau_0}{2})}{K_x(0)} e^{\alpha \frac{\tau_0}{2}} \end{aligned} \right\} \quad (6.10)$$

Problema revine la a găsi un algoritm pentru rezolvarea sistemului trigonometric transcendent (6.10). Se poate proceda astfel :

$$\left. \begin{aligned} 2 \frac{\alpha}{\beta} \sin \beta \frac{\tau_0}{2} \cdot \cos \beta \frac{\tau_0}{2} &= -\cos \alpha \tau_0 \\ \frac{\alpha}{\beta} \sin \beta \frac{\tau_0}{2} &= \frac{K_x(\frac{\tau_0}{2}) \cdot e^{\alpha \frac{\tau_0}{2}} - K_x(0) \cos \alpha \frac{\tau_0}{2}}{K_x(0)} \end{aligned} \right\} \quad (6.11)$$

Se împart cele două ecuații și se obține :

$$\cos \beta \frac{\tau_0}{2} = \frac{K_x(0) \cos \alpha \tau_0}{2 \left[ K_x(0) \cos \alpha \frac{\tau_0}{2} - K_x(\frac{\tau_0}{2}) \cdot e^{\alpha \frac{\tau_0}{2}} \right]} \quad (6.12)$$

Sistemul (6.11) devine

$$\left\{ \begin{aligned} \beta &= \frac{2}{\tau_0} \arccos \frac{K_x(0) \cos \alpha \tau_0}{2 \left[ K_x(0) \cos \alpha \frac{\tau_0}{2} - K_x(\frac{\tau_0}{2}) \cdot e^{\alpha \frac{\tau_0}{2}} \right]} = \frac{2}{\tau_0} \arccos R(\alpha) \\ \beta \cos \alpha \tau_0 + \alpha \sin \beta \tau_0 &= 0 \\ \frac{2}{\tau_0} \arccos R(\alpha) \cdot \cos \alpha \tau_0 + \alpha \sqrt{1 - \cos^2 [2 \arccos R(\alpha)]} &= 0 \\ \beta &= \frac{2}{\tau_0} \arccos R(\alpha) \end{aligned} \right. \quad (6.13)$$

Dar :

$$\begin{aligned} \cos [2 \arccos R(\alpha)] &= 2 \cos^2 [\arccos R(\alpha)] - 1 = 2 R^2(\alpha) - 1 \\ 1 - \cos^2 [2 \arccos R(\alpha)] &= 1 - [2 R^2(\alpha) - 1]^2 = 4 R^2(\alpha) [1 - R^2(\alpha)] \end{aligned}$$

Sistemul devine

$$\left\{ \begin{aligned} \beta &= \frac{2}{\tau_0} \arccos R(\alpha) \\ \frac{2}{\tau_0} \cos \alpha \tau_0 \cdot \arccos R(\alpha) + 2 \alpha |R(\alpha)| \sqrt{1 - R^2(\alpha)} &= 0 \end{aligned} \right.$$

sau cu o notație evidentă :

$$\left. \begin{aligned} \beta &= \frac{2}{\tau_0} \arccos R(\alpha) \\ f(\alpha) &= 0 \end{aligned} \right\} \quad (6.14)$$

Pentru ușurința rezolvării pe calculator se poate da o exprimare prin tangentă :

Din

$$\cos \beta \frac{\tau_c}{2} = R(\alpha) \Rightarrow \sin \beta \frac{\tau_c}{2} = \sqrt{1 - R^2(\alpha)}$$

și  $\operatorname{tg} \beta \frac{\tau_c}{2} = \frac{\sqrt{1 - R^2(\alpha)}}{R(\alpha)} \Rightarrow \beta$

Deci 
$$\begin{cases} \beta = \frac{2}{\tau_c} \operatorname{arc} \operatorname{tg} \frac{\sqrt{1 - R^2(\alpha)}}{R(\alpha)} \\ \beta \cos \alpha \tau_c + \alpha \sin \beta \tau_c = 0 \end{cases} \quad (6.15)$$

Dașă se notează

$$f(\alpha) = \frac{2}{\tau_c} \operatorname{arc} \operatorname{tg} \frac{\sqrt{1 - R^2(\alpha)}}{R(\alpha)} \cos \alpha \tau_c + 2\alpha |R(\alpha)| \sqrt{1 - R^2(\alpha)} \quad (6.16)$$

problema revine la a găsi soluțiile sistemului :

$$\begin{cases} \beta = \frac{2}{\tau_c} \operatorname{arc} \operatorname{tg} \frac{\sqrt{1 - R^2(\alpha)}}{R(\alpha)} \\ f(\alpha) = 0 \end{cases} \quad (6.17)$$

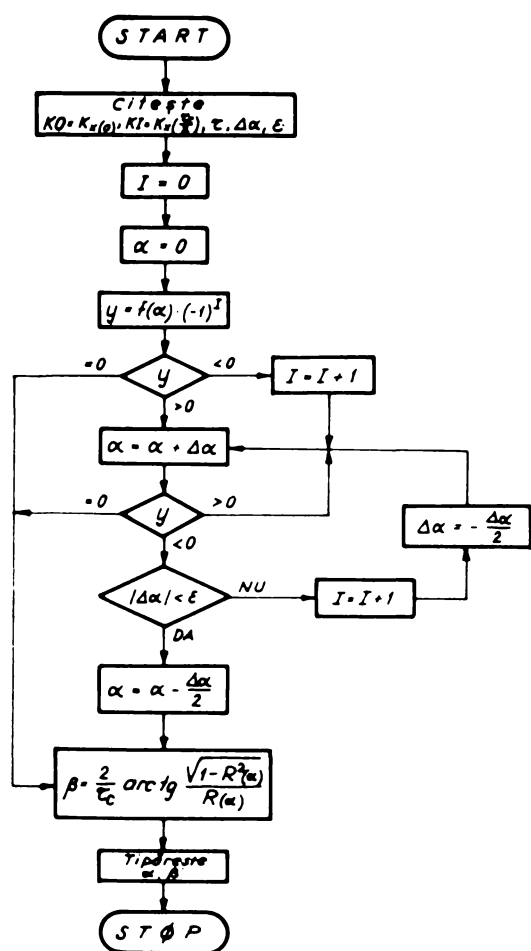


Fig. 6.23

Evident că nu se poate calcula decât o soluție prin aproximații căutând valoarea lui  $\alpha$  pentru care  $f(\alpha) = 0$  ; schema logică și programul pentru această soluționare sînt redată în fig.6.23 și tabelul 6.12 [510].

**6.3.2. Aplicarea calculului de durabilitate propus de autor.** Conform elementelor prezentate în cap.5, pentru aplicarea noii metode de calcul a durabilității, sînt necesare cunoașterea funcției de autocorelație a spectrului de tensiune, problemă rezolvată în paragraful precedent și expresiile analitice pentru C.W. și C.F. a materialului sau a piesei, care vor fi stabilite în continuare.

**6.3.2.1. Curbe de durabilitate și suprasolicitare pentru țevi din oțel moa-**

[510] DOBRE I.: Caracteristici numerice privind analiza sistemelor elastice supuse excitațiilor stohastice staționare. In lucrările "Cel de-al II-lea Simpozion de Mecanisme și Transmisii Mecanice" (M.T.M.) Reșița 1976, p.1476...1480

Tabelul 6.12. Programul în limbaj FORTRAN pentru rezolvarea sistemului (6.10)  
cu o metodologie (6.12)

•  
 JOB TRANSA:PN:P266,PN:DOBRE.COND:(126,LT)  
 FORTRAN COMPIL STARTED  
 FORTRAN 00.00

TRANS 16/10/76 11.02:23

```

1 1 C
2 2 C
3 3 C
4 4 C
5 5 C
6 6 C
7 7 C
8 8 C
9 9 C
10 10 C
11 11 C
12 12 C
13 13 C
14 14 C
15 15 C
16 16 C
17 17 C
18 18 C
19 19 C
20 20 C
21 21 C
22 22 C
23 23 C
24 24 C
25 25 C
26 26 C
27 27 C
28 28 C
29 29 C
30 30 C
31 31 C
32 32 C
33 33 C
34 34 C
35 35 C
36 36 C
37 37 C
38 38 C
39 39 C
40 40 C

      REZOLVAREA UNUI SISTEM TRANSCENDENT
1  REAL KO,KI,TAU,DALF,DALF,DALF,BETA,TAU,R,EPS
2  R(DALF,TAU,KO,KI)=((KO+COS(ALF+TAU))/(2.0+(KO+COS(ALF+0.5*TAU))-KI+EX
3  F(DALF,TAU,A.I))
4  *)*SQRT((1-A**2)+((1**T))
5  READ(105,1)KO,KI,TAU,NALF,EPS
6  FORMAT(5F10.5)
7  WRITE(108,1)KO,KI,TAU,DALF,EPS
8  I=0
9  ALF=0
10 X=ALF,TAU,KO,KI)
11 Y=ALF,TAU,X,I)
12 WRITE(108,1)I,ALF,DALF,X,Y
13 IF(Y) 2,3.4
14 IF(Y) 2,3.4
15 I=I+1
16 GO TO 4
17 ALF=ALF+DALF
18 WRITE(108,1)Y
19 WRITE(108,1)DALF,DALF
20 X=ALF,TAU,KO,KI)
21 Y=ALF,TAU,X,I)
22 WRITE(108,1)X,Y
23 Y=ALF,TAU,X,I)
24 WRITE(108,1)ALF,Y
25 ENRMT(1H,AF12.5)
26 ENRMT(1H,AF12.5)
27 IF(Y) 5,3.4
28 IF(Y) 5,3.4
29 I=I+1
30 DAI=-DALF)
31 GO TO 4
32 ALF=ALF-(0.5*DALF)
33 SQRT(1-X**2)/X)
34 WRITE(108,7)ALF,PFTA
35 ENRMT(108,7)ALF,PFTA
36 ENRMT(108,7)ALF,PFTA
37 ENRMT(108,7)ALF,PFTA
38 ENRMT(108,7)ALF,PFTA
39 ENRMT(108,7)ALF,PFTA
40 ENRMT(108,7)ALF,PFTA
  
```

FORTRAN 00.00

TRANS 16/10/76 11.02:23

le, sudate,  $\varnothing 26 \times 1$ . In lucrarea [486] s-au prezentat metodologia construirii curbelor de durabilitate și rezultatele obținute la încercarea la oboseală a unor țevi cu pereți subțiri  $\varnothing 26 \times 1$ , din oțel moale, confecționate prin sudură. Pentru aceasta s-a construit o mașină de încovoiere rotativă reprezentată schematic în fig.6.24,

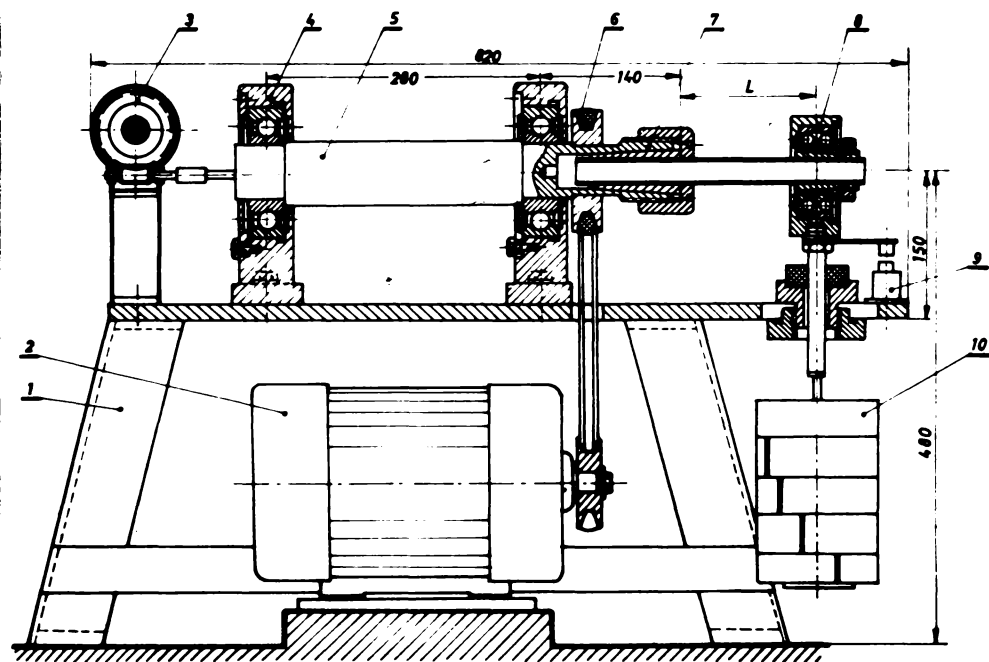


Fig.6.24

Schema mașinii construite pentru încercarea la oboseală a țevilor sudate  $\varnothing 26 \times 1$

o strângere uniformă fără efecte de concentrare. Încercarea s-a făcut pînă la  $N_0 = 10^7$  cicluri.

la care partea dificilă a constat în realizarea unui sistem de fixare a epruvetei astfel încît să nu apară excentricități sau concentrații de tensiuni care să conducă la ruperea probei în bucăți. S-au confecționat în acest scop niște bușe elastice 7 cu o rază de racordare interioară foarte mare, realizînd

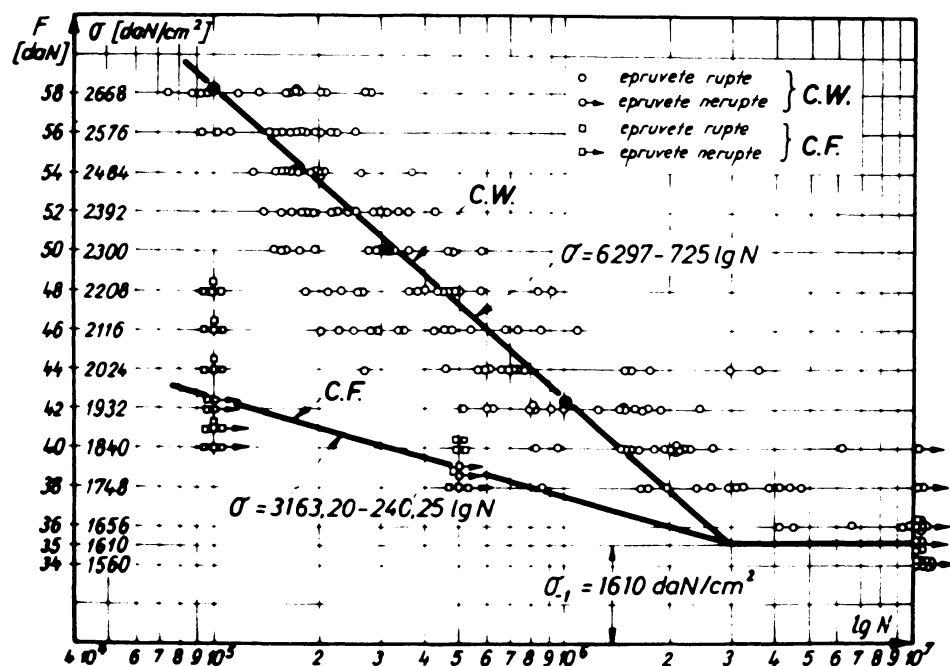


Fig.6.25

Reprezentarea în coordonate semilogaritmice a curbei Wöhler (C.W.) și a curbei French (C.F.) pentru țevi din oțel moale,  $\varnothing 26 \times 1$

Rezultatele obținute prezentate în totalu în anexele 7 și 8 sînt reprezentate într-un sistem de axe semilogaritmice în fig. 6.25 din care se poate observa și cîmpul de dispersie. În zona durabilităților limitate, acceptînd o distribuție normală a rezultatelor, s-a apropiat curba Wöhler cu o dreaptă care a fost găsită printr-o prelucrare statistică pe baza

teoriei corelației. Formulele de calcul pentru estimațiile coeficienților dreptei de regresie :

$$\lg \bar{N} = a(\bar{\sigma} - \bar{\sigma}) + b \quad (6.18)$$

sunt prezentate în § 6.1.3 (vezi relațiile (6.1), (6.3), (6.4)) astfel încât să poată fi ușor programate pe calculator.

S-a obținut în final ecuația curbei de durabilitate (C.F.)

$$\bar{\sigma} = 6297 - 725 \lg \bar{N} \quad (6.19)$$

cu dispersiile

$$s_1^2 = 0,752 \quad \text{și} \quad s_2^2 = 3,441$$

și rezistența la oboseală

$$\bar{\sigma}_{-1} = 1610 \text{ daN/cm}^2.$$

Pentru asemenea mărci de oțel locale literatura indică o rezistență la oboseală la ciclu simetric de încovoiere :

$$\bar{\sigma}_{-1} = 1850 \text{ daN/cm}^2$$

Rezultă deci că realizarea din asemenea sortimente de oțel a unor țevi prin sudură, reduce durabilitatea cu 13 %.

Pentru determinarea curbei French s-au făcut încercări clasice la presolicitarile  $N_1^* = 10^5$  cicluri și  $N_2^* = 5 \cdot 10^5$  cicluri ; după degradarea produsu la diverse nivele de tensiuni s-a continuat încercarea la nivelul  $\bar{\sigma}_{-1}$ . Pe baza rezultatelor din anexa 8 s-a trasat C.F. din fig.6.25 de ecuație :

$$\bar{\sigma} = 3163,20 - 240,25 \lg N \quad (6.20)$$

Urmand metodologia prezentată în cap.4, se acceptă pentru pies.

$$\bar{\sigma}_{-1kfc} = \frac{\bar{\sigma}_{-1}}{(k)_D} = \frac{1610}{1,45} = 1110 \text{ daN/cm}^2 \quad (6.21)$$

Cu această valoare se găsesc noile curbe modificate de ecuație

$$\begin{aligned} \text{C.F.} & : \quad \bar{\sigma} = 6297 - 802,34 \lg N_p \\ \text{C.F.} & : \quad \bar{\sigma} = 3163,20 - 317,6 \lg N_p \end{aligned} \quad (6.22)$$

Din analiza spectrului de tensiuni din furcă, utilizind metoda din § 6.3.1, s-a obținut

$$\begin{aligned} \alpha [0] & = 184,6 \text{ daN/cm}^2 & \alpha & = 0,42 & [1/s] \\ 2 \beta & = 525066,53 & \beta & = 0,57 & [1/s] \end{aligned} \quad (6.23)$$

și deci funcția de autocorelație :



$$K_{\sigma}(\tau) = 262533,26 \cdot e^{-0,42\tau} (\cos 0,57\tau + \frac{0,42}{0,57} \sin 0,57\tau) \quad (6.24)$$

S-a calculat constanta :

$$K = \frac{\sqrt{\alpha^2 + \beta^2}}{2\pi} = 0,112743 \quad (6.25)$$

cu ajutorul căreia se poate determina numărul mediu de cicluri care depășesc un anumit nivel de referință  $\sigma_1^0$

$$\bar{N}_{\sigma_i^0} = \bar{n}_{\sigma_i^0} T_e = K \cdot T_e \cdot \exp\left[-\frac{(\sigma_i^0 - \bar{\mu}[\sigma])^2}{2 \cdot D_{\sigma}}\right] \quad (6.26)$$

Pentru aproximarea lui  $T_e$ , în condiții de durabilitate nelimitată, presupunând că structura lucrează 20 de ani câte 10 ore pe zi, se obține

$$T_e = 2,628 \cdot 10^8 \text{ [s]}.$$

Durabilitatea se apreciază cu formule de tipul (4.84). Calculele detaliate sînt prezentate în tabelul 6.13 din care rezultă

$$D = \sum_i \delta_i = 1,21362 .$$

În adevăr experiența a confirmat că în condițiile date de solicitare, traduse printr-un spectru de tensiuni caracterizat prin (6.23) și (6.24), bicicleta încercată a avut o durabilitate limitată. Ea a funcționat la viteza de 30 km/h timp de 18 zile, după care s-a rupt furca din față. Acceptînd o variație a tensiunii, echivalentă cu 10 cicluri pentru un metru de parcurs, bicicleta s-a rupt după  $1,296 \cdot 10^8$  cicluri sub valoarea limită acceptată de  $2,628 \cdot 10^8$  cicluri.

#### 6.4. Observații finale și concluzii

În cadrul investigației experimentale care a constituit obiectul acestui capitol, efectuată atât pentru cunoașterea stării de tensiune în diverse condiții de solicitare și a durabilității structurilor cercetate cît și pentru verificarea ipotezelor și metodelor teoretice de calcul prezentate în cuprinsul lucrării, s-au obținut următoarele rezultate mai deosebite :

1. În primul rînd proiectarea și construcția unei serii de standuri și mașini noi, adecvate scopurilor urmărite, cum sînt :

a) standul pentru încercarea la solicitări statice a cadrelor de biciclete, cu încărcare progresivă și posibilități multiple de măsurare ;

b) standul cu bandă rulantă, cu o singură pistă, utilizat

**Tabolu 6.13**

**Prealotia durabilitatii dupa metodologia autorului**

№. ord.	$\sigma_i$ [daN/cm <sup>2</sup> ]	$18 N_{1W}$	$N_{1W}$	$18 N_{1P}$	$N_{1P}$	$\sigma_i - M[\sigma]$	$B = \frac{(\sigma_i - M[\sigma])^2}{2D\sigma}$	$10g A = -a \lg e$	A	$\bar{N}_{\sigma_i} = K \frac{1}{A} T e \times 10^{-6}$	$\delta_i = \frac{(N_{\sigma_i} - \bar{N}_{\sigma_i}) - N_{iF}}{N_{iW}}$
1	2	3	4	5	6	7	8	9	10	11	12
1	1600	5,85412	7,14700.10 <sup>5</sup>	4,92191	8,35433.10 <sup>4</sup>	1415,40	3,81543	1,65700	45,39400	0,65268	0,81032
2	1550	5,91644	8,24980.10 <sup>5</sup>	5,07934	1,20045.10 <sup>5</sup>	1365,40	3,55063	1,54200	34,83384	0,85055	0,09434
3	1500	5,97876	9,52275.10 <sup>5</sup>	5,23677	1,72492.10 <sup>5</sup>	1315,40	3,29534	1,43113	26,98562	1,09791	0,07862
4	1450	6,04107	1,09918.10 <sup>6</sup>	5,39420	2,47856.10 <sup>5</sup>	1265,40	3,04958	1,32440	21,10572	1,40379	0,05278
5	1400	6,10339	1,26879.10 <sup>6</sup>	5,55164	3,56158.10 <sup>5</sup>	1215,40	2,81335	1,22180	16,66482	1,77287	0,01412
6	1350	6,16572	1,46460.10 <sup>6</sup>	5,70907	5,11800.10 <sup>5</sup>	1165,40	2,58663	1,12334	13,28438	2,23028	-
7	1300	6,22803	1,69056.10 <sup>6</sup>	5,86650	7,35367.10 <sup>5</sup>	1115,40	2,36944	1,02902	10,69100	2,77130	0,15264
8	1275	6,25919	1,81762.10 <sup>6</sup>	5,94521	8,81500.10 <sup>5</sup>	1090,40	2,26442	0,98341	9,62520	3,07816	-
9	1250	6,29035	1,95124.10 <sup>6</sup>	6,02393	1,05667.10 <sup>6</sup>	1065,40	2,16177	0,93883	8,68620	3,41092	-
10	1225	6,32151	2,09657.10 <sup>6</sup>	6,10264	1,26660.10 <sup>6</sup>	1040,40	2,06161	0,89529	7,85760	3,77061	-
11	1200	6,35267	2,25253.10 <sup>6</sup>	6,18136	1,51831.10 <sup>6</sup>	1015,40	1,96363	0,85278	7,12500	4,15831	-
12	1175	6,38383	2,42020.10 <sup>6</sup>	6,26008	1,82100.10 <sup>6</sup>	990,40	1,86812	0,81130	6,47586	4,57525	-
13	1150	6,41499	2,60030.10 <sup>6</sup>	6,34678	2,22220.10 <sup>6</sup>	965,40	1,77500	0,77086	5,90013	5,02160	0,04080

pentru încercarea la vibrații și durabilitate a bicicletelor în condiții de solicitări aleatoare ; metoda nouă și posibilitatea de generalizare la încercarea structurilor de rezistență a tuturor tipurilor de vehicule, au condus la brevetarea sistemului ;

c) standul pentru încercări la rezonanță, aflat în curs de omologare ca invenție, care prezintă noutăți privind reglarea și menținerea constantă a turației în zona de rezonanță ;

d) mașina pentru încercarea la oboseală prin încovoiere rotativă a țevilor din oțel moale, executate prin sudură, utilizate în construcția cadrelor de biciclete.

2. Măsurătorile efectuate au evidențiat o bună concordanță între rezultatele teoretice și valorile experimentale, care nu a depășit 20 %, ceea ce pentru structuri hiperstatice cu secțiuni având forme complexe, neregulate, și în special în condiții de verificare de durabilitate se consideră corespunzătoare. S-a verificat astfel valabilitatea ipotezelor de calcul adoptate și corectitudinea metodologiei utilizate.

3. S-a conturat ideea că în cazul grinzilor cu rigidități variabile, funcția treaptă de aproximare prin valori constante pe porțiuni a momentelor de inerție, trebuie să circumscrie legea poligoană a variației reale.

4. Calculul static, efectuat în condiții cât mai riguroase, determină suficient de exact nivelul tensiunilor și atrage atenția - încă din faza de proiect sau prototip - asupra secțiunilor celor mai solicitate care trebuie să constituie preocuparea investigației experimentale.

5. S-a evidențiat apariția, în zonele de îmbinare a grinzilor componente ale cadrelor a unui efect de concentrare a tensiunilor, de care trebuie să se țină seama încă din faza de proiectare.

6. Se atestă necesitatea prezentării rezultatelor experimentale sub forma dreptelor de regresie, pentru a se obține concordanța de formă cu variația teoretică a tensiunilor, în lungul elementelor de rezistență.

7. S-a dat o metodă și un program original pentru calculul funcției de autocorelație a unui spectru de tensiuni în condițiile aproximării acesteia cu o funcție armonică amortizată, caracteristică proceselor stohastice diferențiabile.

8. Predicția de durabilitate după metoda preconizată de autor a confirmat - pentru cadrele de biciclete - comportarea reală în condițiile spectrului de excitație adoptat.

## SINTEZA PRINCIPALELOR CONTRIBUTII

Tema abordată a necesitat din partea autorului rezolvarea unor probleme inedite atât sub aspect teoretic cât și experimental, care s-au constituit drept contribuții. Dintre acestea se sintetizează cele mai ilustrative :

1. Plecând de la ideea că o structură de rezistență poate fi considerată ca un filtru pentru procesul de excitație se demonstrează în mod constant că din cunoașterea funcției de autocorelație se pot deduce toate elementele necesare studiilor de dinamică și durabilitate în condițiile teoriei corelaționale a proceselor ergodice. În acest context :

a. se prezintă un program pentru prelucrarea funcțiilor eșanțion în vederea obținerii funcției de autocorelație, cu validarea statistică a procedurii ;

b. se dă o metodă pentru rezolvarea pe calculator a unui sistem transcendent în scopul aproximării analitice a funcției de autocorelație cu o funcție armonică amortizată caracteristică proceselor stohastice diferentiabile ;

c. pentru aprecierea dispersiei răspunsului unui oscilator liniar la o excitație aleatoare staționară se obțin o serie de relații noi (2.116), (2.133), (2.137), (2.139), (2.145), prin tratarea în complex a transformatorilor Fourier, care permit o caracterizare statistică completă a problemei.

2. S-au studiat într-un context destul de general, principalele mișcări oscilatorii ale structurii de rezistență a unui vehicul, modelată de un sistem cu trei grade de libertate generalizat prin considerarea a  $2n$  puncte de suspensie. Cercetarea s-a condus în special în domeniul frecvenței, pornind de la densitatea spectrală de putere, atât pentru deplasările generalizate ale structurii, cât și

pentru viteze și accelerații.

3. Pe parcursul rezolvării problemelor precedente, s-au obținut forme analitice complete, noi, pentru funcțiile de transfer ale structurii (3.31), (3.32), (3.36), pentru caracteristicile de amplitudine și fază ale celor trei tipuri de mișcări fundamentale (3.44), (3.45), (3.49), (3.53), pentru viteze (3.57), (3.58) și pentru accelerații (3.63), (3.64). Acestea răspund la toate necesitățile de calcul privind aprecierea statistică a răspunsului structurii, pentru care se pot determina densitățile spectrale de putere, funcțiile de autocorelație, dispersiile, abaterile medii pătratice, atât pentru amplitudini cât și pentru viteze și accelerații.

4. Caracterizând, într-o formă generală, stadiul actual al cercetărilor în domeniul teoriei degradărilor cumulative, s-au sistematizat elementele fundamentale care constituie singurele rezultate certe obținute pînă în prezent. S-a arătat astfel că mulțimea teoriilor formale, liniare sau neliniare, nu aduc o îmbunătățire consistentă a teoriei clasice a lui Miner.

5. S-a formulat o nouă teorie de degradare, ținînd cont de faptul că suprasolicitățile din spectru care sînt sub curba French nu influențează durabilitatea elementului de rezistență. Ca măsură a degradării s-a acceptat un raport modificat al "ciclurilor", iar legea de însumare s-a menținut liniară.

6. Pentru predicția de durabilitate a unei structuri, s-a conceput o metodologie secvențială bazată pe cunoașterea funcției de autocorelație a spectrului de tensiuni, cu ajutorul căreia - în cadrul ipotezei normalității procesului - se poate determina numărul mediu al depășirilor unui anumit nivel de referință, ceea ce permite transpunerea acestui spectru în "cicluri echivalente". Rezultatele experimentale obținute pe un cadru de bicicletă, au confirmat valabilitatea ipotezelor și metodologiei propuse.

**7. Studiul stărilor de tensiune la solicitări statice, în diverse condiții de încărcare, pe modele care au păstrat caracteristicile esențiale ale structurilor examinate : hiperstaticitatea maximă, caracterul spațial și rigiditatea variabilă, au evidențiat câteva elemente noi utile în calculele de proiectare :**

**a. utilizarea unui model static determinat, în formă de H pentru boghiul Y25-Cs, folosit datorită simplității, conduce la tensiuni care pot să difere cu mai mult de  $\pm 10\%$  față de cele determinate în ipoteza structurii static nedeterminate ; de aceea un astfel de model deși acoperitor în multe secțiuni, nu este economic;**

**b. rigidizările prin traversele frontale și lonjeroanele mici reduc solicitările în traversa crapodinei - elementul cel mai solicitat al cadrului - cu 8...12 %, efect care nu poate fi neglijat și care ar putea fi utilizat în scopul unei uniformizări a stării de tensiune din cadru;**

**c. pentru structurile de tipul cadrelor de biciclete, cu bare scurte solicitate complex, s-a demonstrat necesitatea considerării forțelor axiale atât în calculul coeficienților de influență cit și la stabilirea stării finale de eforturi, abaterile putând să ajungă până la 30 %;**

**d. pe baza confruntării cu rezultatele experimentale, s-a conturat ideea că în cazul grinzilor cu rigidități variabile, funcția treaptă de aproximare prin valori constante pe porțiuni a momentelor de inerție, trebuie să circumscrie legea poligonală a variației reale;**

**e. tratarea unitară pe același sistem de bază a tuturor variantelor, indiferent de posibilitățile de simetrizare, permite mecanizarea procesului de calcul și comparația rapidă a rezultatelor pentru reducerea la minimum a numărului de zone supuse investigației experimentale.**

8. Circumscripție tendinței moderne de încercare a construcțiilor în mărime naturală și în condiții reale de funcționare, s-au proiectat și realizat o serie de standuri și mașini noi, răspunzând metodei de investigație brevetată de autor, cu ajutorul cărora s-au validat ipotezele și metodele teoretice de calcul prezentate în cuprinsul lucrării. Aceste instalații sînt :

a. un stand cu bandă rulantă, pe care se modelează după o schemă probabilistă o cale de rulare, cu viteză reglabilă, utilizat pentru încercarea la vibrații și durabilitate a bicicletelor în condiții de solicitări aleatoare. Metoda nouă și posibilitatea de generalizare pe încercarea structurilor de rezistență a tuturor tipurilor de vehicule, au condus la brevetarea sistemului:

b. standul pentru încercări la rezonanță, aflat în curs de omologare ca invenție, care prezintă noutăți în schema electrică privind reglarea și menținerea constantă a turației în zona de rezonanță;

c. o instalație pentru încercarea la solicitări statice a cadrelor de bicicletă, prevăzută cu un sistem de încălzire progresivă și cu posibilități multiple de măsurare a deformațiilor și deplasărilor;

d. o mașină pentru încercarea la oboseală prin încoțelare rotativă a țevilor din oțel moale cu pereți subțiri, executate prin sudură, utilizate în construcția cadrelor de biciclete.

9. Rezultatele experimentale coroborate cu calculele teoretice au evidențiat apariția în zonele de îmbinare a grinzilor componente ale cadrelor a unui efect de concentrare a tensiunilor de care ar trebui să se țină seama încă din faza de proiectare.

10. Interpretarea statistică a rezultatelor experimentale a atestat necesitatea prezentării acestora sub forma dreptelor de regresie, deoarece numai așa se poate obține o concordanță de formă cu variația teoretică a tensiunilor în lungul elementelor de rezistență.





## BIBLIOGRAFIA

1. AAGAARD O.H.; BROCH T.J.: Tems d'intégration des onregistreurs de niveau. Technical Review, Brüel et Kjaer, Nr.4, 1967, p.17-29 (Edition Française)
2. ADACHI E.: Analiza vibrațiilor elastice ale caroseriei de autoturism prin încovoiere și torsiune. Din Bulletin of the J.S.M.I., Japonia, 13, Nr.66, dec.1970, p.1403-1418 (In : "Proiectarea modernă a mașinilor", I.D.T., D.S.Nr.10/1971, p.731-756)
3. AFONJUSKIN V.V. ș.a.: Ustroistvo dlia neprerivnoi registratii nakoplennoi plasticeskoi deformații v processe ustalastnih ispitanii. Zavodskaja Laboratoriia, vol.35 Nr.2, 1969, p.247-248
4. ALLEN P.N.: Reporters' Introductions of Papers in London. Session 5 : Metallurgical Aspects of Fatigue. In Proceedings of the International Conference on Fatigue of Metals, London 1956, p.27-31
5. ANDREW S.; MACAULAY E.A.: Analysis of stresses in service for the Specification of Endurance Tests
6. ANDRAEV G.A.: Ustalostnaia dolgovecinosti pri sluciaih nagrukah s razlicnim spektrom, Izvestia vusov, Mașinostroenie, Nr.3, 1968, p.59-65
7. ANDRONOV A.F.: Automatizarea procesului de proiectare a caroseriilor pentru autoturisme. Din : "Avtomobilnaia promișlennosti", U.R.S.S., 37, Nr.2, febr.1971, p.17-19 (In : "Proiectarea modernă a mașinilor", I.D.T., D.S., Nr.6/1971, p.410-415)
8. ARIARATHNAM S.T.: Random vibrations of non-linear suspensions, Journal Mechanical Engineering Science, Vol.2, Nr.3, 1960, p.195-201
9. ARIE E.; IORDACHE-DAMIAN N.: Determinarea caracteristicilor dinamice frecvență-putere a unui sistem electroenergetic din comportarea sa la perturbații statistice. Metode și algoritme de calcul. St.cerc.energ.electr. Tom 14, Nr.4, p.951-968, București 1964
10. ARNOLD R.R.; HILL C.H.; NICHOLS V.A.: Inițiere în prelucrarea datelor (traducere din literatura americană). Literatura tehnică, București 1969
11. ARSAC J.: Transformation de Fourier et théorie des distributions. Paris, Dunod 1961
12. ATKINSON R.J.: The fatigue of aircraft structures. In : Metal Fatigue. Edited by J.V.Pope, London 1959, p.366-375
13. AYRE S.R.: Răspunsul tranzitoriu produs de funcții impuls și de funcții treaptă. In C.F.Marris, C.Creus Securi și vibrații, Ed.teh.București, 1968, vol.1, cap.8, p.266-323

14. BAILLY H.W.: Usefulness and role of repeated strain testing as an aid to engineering design and practice. In : Proceedings of the International Conference on Fatigue of Metals, London, 1956, p.201-205
15. BALDWIN T. : Significance of the fatigue of metals to railways. In : Proceedings of the International Conference on Fatigue of Metals, London, 1956, p.695-703
16. BARBERIAN, STERLING K.: Notes on spectral theory. N.Y.London, 1966
17. BARROIS W.: The philosophy of fatigue tests on large dimension aircraft structures. In : Full-Scale Fatigue Testing of Aircraft Structures. Proceedings of the symposium held in Amsterdam, June 1959. Edited by F.J.Plantema; J.Schijve. Pergamon press, London 1961, p.239-253
18. BARTLETT S.K.: Vvedenie v teoriu sluciainih professov (traducere din limba engleză). Izd.inostrannoii literaturii, Moskva, 1958
19. BASTENAIRE F.: Aspects probabilistes et statistiques de la rupture par fatigue. Rev.franc.méc. 1971, Nr.37, p.25-36
20. BASS J.: Les fonctions pseudoaleatoires. Paris 1962. (Mémorial des sciences mathématiques. Fascicule 153)
21. BAUS R.: La simulation en laboratoire des sollicitations réelles. Références Schenck : p.2936. Tire a part de Alumni, XXVII, décembre 1967, Université de Liège, Faculté des Sciences Appliquées, Cours de Constructions du Génie Civil, Nr.128
22. BAUMGARTL E.: Cercetări comparative de oboseală pe epruvete simple de roți dințate. A IV-a conferință de sudură și încercări de metale, Timișoara, 12-15 oct.1962, caietul II/2, p.49-56
23. BELES A.A.; IPKIN M.D.: Elemente de seismologie inginerască. Editura tehnică, București 1962
24. BENDAT Dj.: Osnovi teorii sluciainih smov i eio primenenia. (Perevod s angliscovo). Izdatelstvo "Nauka", Moskva 1965
25. BENNETT J.A.: The distinction between initiation and propagation of a fatigue crack. In : Proceedings of the International Conference on Fatigue of Metals, London 1956, p.548-550
26. BENNETT J.A.: The effect of a fatigue crack on the fatigue strength of an aluminum alloy. Materials Res.and Standards, Bd.5/1965 R5, p.235-239
27. BERNATH A.; SAFTA V.: Acupra metodelor de încercare cu încălzire progresivă. Studii și cercetări tehnice (Acad.R.S.R.), v.9, Nr.3-4, 1962
28. BERNATH A.; HAJDU I.; SAFTA V.: Studiul comportării la oboseală a oțelurilor carbon de calitate prin încercări cu încălzire progresivă după metoda Prot. Studii și cercetări, științe tehnice (Acad.R.S.R.), v.9, Nr.3-4, 1962
29. BERNATH A.; HAJDU I.; SAFTA V.: Contribuții la determinarea rezistenței la oboseala prin metoda încălzirilor progresive. A IV-a Conferință de sudură și încercări de metale, Timișoara, 12-15 oct.1962, caietul II/2, p.57-73

30. BERNATH A.; HOROVITZ B.; SOS L.: Asupra rezistenței la oboseală a unor sertimente de oțeluri aliate de în bună calitate. A V-a Conferință de sudură și încercări de metale, Timișoara, 1966, p.635-655
31. BERNATH A.; IOVITIU E.: Referat general asupra lucrărilor subsecției II/2 "Încercarea metalelor la oboseală". A IV-a Conferință de sudură și încercări de metale, Timișoara, 12-15 oct.1962, caietul II/2, p.11-27
32. BESUKLADOV W.F.; CHUVIKOVSKY G.S.; CHUVIKOVSKY W.S.; SHEVANDIN E.M.: Fatigue of shipbuilding steels and the strength of ship structures. In : Proceedings of the International Conference on Fatigue of Metals, London 1956, p.733-739
33. BLACKMAN R.B.; TUKLY J.W.: The measurement of power spectra, from the point of view of communications engineering. Bell System Technical Journal, 37, 1958, p.185-282 ; 485-569
34. BLATHERWICK A.A.; VISTE N.D.: Distrugerea cumulativă sub tensiuni de oboseală biaxiale. Din : Materials Research and Standards, S.U.A., 7, Nr.8, aug.1967, p.331-335. (In : "Diagnosticarea rușii prin oboseală a pieselor metalice", Culegere de traduceri, I.D.T., București 1970 p.107-117)
35. BOGDANOFF L.J.; KOZIN F.: Moments of the Output of Linear Random Systems. The Journal of the Acoustical Society of America, vol.34, Nr.8, Aug.1962, p.1063-1066
36. BOISSON C. ș.a.: Studiul teoretic și experimental privitor la vibrațiile de încovoiere, libere, ale sistemelor unidimensionale, așezate pe rezanțe elastice. Din : Mécanique, matériaux, électricité, Franța, Nr.254, febr. 1971, p.33-38. (Documentare selectivă, I.D.T. Mecanică Nr.12/1971, p.938-953)
37. BOLEANTU L.; DOBRE I.: Metodă pentru încercarea vehiculelor rutiere. Brevet de invenție. Nr.75008/6.01.1973 OGDN București
38. BOLEANTU L.; DOBRE I.: Determinarea eforturilor specifice la patru tipuri de biciclete sub acțiunea sarcinilor statice și dinamice. Protocol, beneficiar Uzina "6 Martie" Zărnești Brașov, 1967, 137 pag.
39. BOLEANTU L.; DOBRE I.; DUMITRU I.: Studiul durabilității bicicletelor fabricate de uzina "6 Martie"- Zărnești, la sollicitări variabile. Protocol întocmit pentru Uzina "6 Martie" Zărnești, Brașov, 1972, 73 pag.
40. BOLEANTU L.; DOBRE I.; DUMITRU I.: Calculul de rezistență al cadrelor de bicicletă. Protocol, beneficiar Uzina "6 Martie" Zărnești, Brașov, 1974, 220 pag.
41. BOLEANTU L.; DOBRE I.: Studiul durabilității terpedourilor fabricate de uzina "6 Martie"- Zărnești, la sollicitări variabile și proiectarea unui stand de probă în acest scop. Protocol, beneficiar uzina "6 Martie" - Zărnești Brașov, 1972, 62 pag.

INSTITUTUL POLITEHNIC  
TIMIȘOARA

42. BOLEANȚU L.; DOBRE I.; NEGUT N.; IEREMICIU T.; JUNG E.;  
DUMITRU I.: Calculul de rezistență al boghiului Y 25-Cs  
Protocol, beneficiar : Uzina de vagoane Arad, 1972,  
343 pag.
43. BOLEANȚU L.; DOBRE I.; NEGUT N.; IEREMICIU T.; JUNG L.;  
DUMITRU I.: Studiul stării de tensiune din cadrul unui bo-  
ghiu Y 25-Cs la regim de frinare în aliniament. Lucrările  
conferinței : "Construcții, tehnologii și procedee tehnolo-  
gice noi în domeniul materialului rulant tractat", Arad  
10 noiembrie 1972, p.44-59
44. BOLEANȚU L.; DOBRE I.; NEGUT N.; IEREMICIU T.; JUNG L.;  
DUMITRU I.: Eforturi și tensiuni la înscrierea în curbă,  
în elementele unui boghiu Y 25-Cs. Lucrările conferinței :  
"Construcții, tehnologii și procedee tehnologice noi în  
domeniul materialului rulant tractat", Arad 10 noiembrie  
1972, p.59-72
45. BOLEANȚU L.; DOBRE I.; NEGUT N.; IEREMICIU T.: Calculul de re-  
sistență al unui cadru de boghiu pentru vagoane de marfă.  
Calculul încălzirilor. Revista căilor ferate române, Anul  
III(60), Nr.1(768) ianuarie 1973, p.26-36
46. BOLEANȚU L.; DOBRE I.; IEREMICIU T.; DUMITRU I.; NEGUT N.;  
JUNG E.: Ipoteze fundamentale la calculul de rezistență al  
unui cadru de boghiu pentru vagoane de marfă. Caracteris-  
tici geometrice. Diagrame de eforturi pentru sistemul de  
bază. Revista căilor ferate române, Anul III(60), Nr.10  
(777), oct.1973, pag.586-598
47. BOLEANȚU L.; DOBRE I.; JUNG E.; IEREMICIU T.; NEGUT N.;  
DUMITRU I.: Stabilirea coeficienților de influență și a  
termenilor liberi din ecuațiile canonice pentru calculul de  
rezistență al boghiului Y 25-Cs. Revista căilor ferate ro-  
mâne, Anul III(60), Nr.12(779), dec.1973, p.705-713
48. BOLEANȚU L.; DOBRE I.; DUMITRU I.; JUNG E.; IEREMICIU T.;  
NEGUT N.: Diagrame finale de eforturi. Calculul tensiuni-  
lor. Revista transporturilor și telecomunicațiilor, Nr.5,  
1974, p.258-264
49. BOLEANȚU L.; DOBRE I.; NEGUT N.; IEREMICIU T.; JUNG E.;  
DUMITRU I.: Stări de tensiune într-un cadru de boghiu. Bu-  
letinul științific și tehnic al I.P.T., Seria mecanică,  
Tom 18(32), fasc.1/1973, p.7-27
50. BOLEANȚU L.; DOBRE I.; IEREMICIU T.; DUMITRU I.; NEGUT N.;  
JUNG E.: Studiul comparativ în tensiuni a două metode de  
calcul al unui cadru de boghiu. În : Buletinul științific  
și tehnic al I.P.T. Seria mecanică, Tom 18(32), fasc.2/1973  
p.123-137
51. BOLEANȚU L.; DOBRE I.; NEGUT N.; IEREMICIU T.; DUMITRU I.;  
JUNG E.: Cercetări privind starea de tensiune din cadrul  
unui boghiu pentru vagoane de marfă. Lucrare prezentată la  
sesiunea jubiliară a I.P.Traian Vuia, Timișoara, iunie 1974
52. BOLEANȚU L.; FISCHER M.; BABU T.: Unele particularități ale  
încercărilor de rezistență pe modele din elemente cu dimen-  
siuni mici. Studii și cercetări metalurgice, tom 12,  
Nr.1/1967, p.145-163, Ed.Academiei R.S.R.

53. BOLOTIN V.V.: Statisticheskie metody v stroitelnoi mehanike. G.I.L.S.A.S.M.- Moskva 1961
54. BROCH T.J.: Essais en vibrations. Les raisons et les moyens. Technical Review, Brüel et Kjaer. Nr.3, 1967 (Edition Francaise)
55. BROCH T.J. Effets de la fonction de distribution des crêtes sur la fatigue sous sollicitations aléatoires. Technical Review, Brüel et Kjaer, Random load fatigue, Nr.1, 1968, p.3-33
56. BROCH T.J.: Sur les détériorations dues aux vibrations. Tech. Review, Brüel et Kjaer, Nr.4, 1968, p.3-21 (Edition Francaise)
57. BUCH L.A.: Unele cercetări privind probleme mecanice de ebo-seală. A IV-a conferință de sudură și încercări de me-tale, Timișoara, 12-15 oct.1962, caietul II/2, p.91-99
58. BUCH A.: Nekotore issledovania voprosov mehanicheskoi ustalosti. Iz : "Voprosi mehanicheskoi ustalosti" pod redak-tiei S.V.Serensena. Izdatelstvo "Mashinostroeniia" Moskva, 1964, p.370-379
59. BUCH A.: The estimation of fatigue strength of steels by correlation formulas. Materialprüfung, vol.8, Nr.9/1966 p.325-330
60. BUCH A.: Investigation of sensibility to cyclical over-loading of normalized steels and their welded joints. Application of a new cumulative damage concept. Mate-rialprüfung, vol.11, Nr.9, 1969, p.297-302
61. BUGA M. ș.a.: Studiul teoretic și experimental asupra repartizării eforturilor unitare în cadrul boghiului pe trei osii al vagoanelor de marfă de 80 tone.uletinul Insti-tutului politehnic Iași, 1963
62. BUGA M.: Contribuții la determinarea solicitărilor în pasi-ul boghiului de vagon. Teză de doctorat (rezumat), Bucu-rești 1972
63. BUGLOV G...: Ispitaniia na ustalost i oțenka eksploataciionnoi dolgovecinosti avtomobilnih poluosel. Iz : "Mehaničeskaiia ustalost v statističeskom aspekte", p.97-111. Izdatelstvo "Nauka" Moskva 1969
64. BUHARIN A.N.; ZVIAGHIN A.A.; SMIRIN M.: Ostanovlenie kor-reliacionnoi zavisimosti mežu krutiščoini momentami poluosel i karoannove vala. Iz : "Mehaničeskaiia ustalost v statističeskom aspekte", p.142-149. Izdatelstvo "Nauka" Moskva 1969
65. BURAY-MIHALLY L.: Bestimmung der Dauerschwingfestigkeit von Aluminiumlegierungen nach Locati-Verfahren. Material-prüfung, vol.11, Nr.4, April 1969, p.115-119
66. BURTON H.H.: Reporters' Introductions of papers in London. Session 7 : Engineering and Industrial Significance of Fatigue. General Service, Automobiles and Specific Components. In : Proceedings of the International Conference on Fatigue of Metals, London 1956, p.36-42

67. BUT G.: Metodi polucecia vibrații. In : S.Kreodell : Slu-  
cainie kolobania, Izd. "Mir", Moskva 1967, Glava 9,  
p.262-329
68. BUZDUGAN Gh.: Aspecte actuale ale studiului solicitărilor  
variabile. In lucrările conaștuirii: "Calculul la soli-  
cități variabile în construcții de mașini și tehnologia  
modernă pentru îmbunătățirea rezistenței la oboseală",  
București, Litografia învățământului, 1955
69. BUZDUGAN Gh.: Spre o standardizare a terminologiei în calcu-  
lul de rezistență la solicitări variabile. Standardiza-  
rea, Nr.10, 1955
70. BUZDUGAN Gh.: Studiul rezistenței la oboseală și aplicațiile  
sale în construcția de mașini. Metalurgia, Nr.6/1955
71. BUZDUGAN Gh.: Determinarea rezistenței admisibile în cons-  
trucția de mașini. Metalurgia, Nr.12/1959
72. BUZDUGAN Gh.: Calculul de rezistență la solicitări variabile.  
Ediția II-a, Editura tehnică, București, 1963
73. BUZDUGAN Gh. ș.a.: Studii experimentale de tenso-metrie și vi-  
brații asupra unor grinzi rulante suspendate. A V-a Cons-  
fătuire de sudură și încercări de metale, Timișoara  
p.287-293
74. BUZDUGAN Gh.: O nouă metodă pentru calculul coeficientului de  
siguranță la solicitări variabile prin cicluri asimetrice.  
Studii și cercetări de mecanică aplicată, Nr.4, 1963
75. BUZDUGAN Gh.; FELCU L.; RADES M.: Probleme actuale ale calcu-  
lului de oboseală în rezistența materialelor. Sinteză do-  
cumentară, I.D.T., București, 1972
- 76.\* CARTRIGHT D.L.; KYLILL L.J.: The rolling and pitching of a  
ship at sea. Trans.Instn.Nav.Arch. 99, 1957, p.100-135  
(AMR 10-1957-Rev.4239)
77. CAUGHEY T.K.: Response of a non-linear string to random loading.  
J.Appl.Mech., vol.26, series E., Nr.3, Sept.1959, p.341-344
78. CAUGHEY T.K.: Response of van der Pol's oscillator to random  
excitation. J.Appl.Mech., vol.26, series E, Nr.3, Sept.  
1959, p.345-348
79. CAUGHEY T.K.: Random excitation of a loaded nonlinear string.  
J.Appl.Mech., (27), 1960, series E, p.575-578
80. CAUGHEY T.K.: Random excitation of a system with bilinear  
hysteresis. J.Appl.Mech., vol.27, series E. Nr.4, Dec.1960,  
p.649-652
81. CAUGHEY T.K.: Equivalent Linearization Techniques. The Journal  
of the Acoustical Society of America, vol.35, Nr.11, Nov.  
1963, p.1706-1711
82. CAZAUD R.: Fatigue failure and service experience with parti-  
cular reference to the shape of the part. In : Proceedings  
of the International Conference on Fatigue of Metals,  
London 1956, p.581-584
83. CAZAUD R.; DORSEY G.; RABBI P.: Fatigue tests at ambient and  
higher temperature in case of medium and very low numbers  
of cycles. In : Vorträge des III Kongr. über Materialpr.  
I sektion für mechanische technol. Budapest, 1-5 sept.1964  
p.359-384

84. CEDOLIN L.: Utilizarea calculatorului numeric la analiza experimentală a vibrațiilor unui sistem mecanic. *Dia : L'Elettrotecnica, Italia, 74, nr.12, dec.1970, p.2373-2435 (Documentare selectivă, I.D.T., Mecanică, Nr.5 1971, p.365-377)*
85. CHRISTENSEN R.H.: Fatigue cracking, fatigue damage and their detection. In : *Metal Fatigue*. Edited by George Sines J.L.Waisman. London 1959, p.376-412
86. CHODOROWSKI W.T.: Fatigue strength in shear of an alloy steel with particular reference to the effect of mean stress and directional properties. In : *Proceedings of the International Conference on Fatigue of Metals*, London 1956, p.122-131
87. CIOCLOV D.: Un nou criteriu pentru aprecierea degradării cumulative în procesul de oboseală a metalelor. *Studii și cercetări de metalurgie, tom 13, Nr.2, 1968, p.315-338*
88. CIOCLOV D.: Fatigue damage under repeated loadings with a discontinuous variation of the stress amplitudes. *Revue Roumaine des Sciences Techniques, Série de métallurgie, tom 14, Nr.2, 1969, p.137-148*
89. CIOCLOV D.: Degradarea cumulativă a metalelor prin solicitări repetate. Stadiul actual al cercetărilor. Partea I-a. *Studii și cercetări de metalurgie, tomul 15, Nr.2, p.231-248*
90. CIOCLOV D.: Curbele de durabilitate isoprobabilă la încercările cu solicitări repetate. *Studii și cercetări de metalurgie, tom.15, Nr.1, 1970*
91. CIOCLOV D.: Degradarea cumulativă a oțelurilor prin solicitări repetate cu amplitudini variabile. *Rezumatul tezei de doctorat, Timișoara 1971*
92. CIUCU Gh.: Elemente de teoria probabilităților și statistica matematică. Editura didactică și pedagogică, București, 1963
93. CIUCU Gh.; CRAIU V.: Teoria estimăției și verificarea ipotezelor statistice. Editura didactică și pedagogică, București, 1968
94. CIUCU Gh.; CRAIU V.: Introducere în teoria probabilităților și statistica matematică. Editura didactică și pedagogică București, 1971
95. CORTEN H.T.; DOLAN T.J.: Cumulative fatigue damage. In : *Proceedings of the International Conference on Fatigue of Metals*, London 1956, p.235-246
96. CORTELL G.A.: Lessons to be learnt from failures in service. In : *Proceedings of the International Conference on Fatigue of Metals*, London 1956, p.563-569
97. COX H.L.: Reproducibility of results in fatigue testing. In : *Metal Fatigue*. Edited by J.A.Pope, London 1959, p.323-338
98. COX H.L.: Stress concentration in relation to fatigue. In : *Proceedings of the International Conference on Fatigue of Metals*, London 1956, p.212-221
99. GRANDALL H.S.: Random vibration. In : *"Applied Mechanics Reviews" vol.12, Nr.11, Nov.1959, p.739-742*

100. CRANDALL H.S.: Relation between strain and velocity in resonant vibration. The Journal of the Acoustical Society of America, vol.34, Nr.12, dec.1962, p.1960-1966
101. CRANDALL H.S.: Random vibration of systems with nonlinear restoring forces. Trudi mejdunarodnovo simpoziuma po nelineinim kolebaniam. T.1, Kiev, Izdatelstvo Acad.Nauk SSSR, 1963
102. CRANDALL H.S.; CHANDIRAMANI K.L.; COOK R.G.: Some First-Passage Problems in Random Vibration. Transaction of the ASME, Sept.1966, Journal of Applied Mechanics, p.532-538
103. CRANDALL H.S.; McCALLEY B.R.: Metode numerice de studiu. In : C.M.Harris; C.E.Crede : Securi și vibrații. Editura tehnică București, 1968, vol.II, cap.28, p.244-286
104. CRANDALL H.S.: First-Crossing Probabilities of the Linear Oscillator. J.Sound Vib.(1970) 12(3), p.285-299
105. CRANDALL H.S.: The Role of Damping in Vibration Theory. J. Sound Vib.(1970) 11(1), p.3-18
106. CRANDALL H.S.: On the Use of Slowness Diagrams to Represent Wave Reflections. The Journal of the Acoustical Society of America, vol.47, Nr.5, (Part.2) May 1970, p.1338-1342
107. CRANDALL H.S.; KURZWEIL L.G.; NIGAM A.K.: On the Measurement of Poisson's Ratio for Modeling Clay. Experimental Mechanics, Sept.1971, p.1-6
108. CRANDALL H.S.; ROBERT L.: On the Coupling Loss Factor in Statistical Energy Analysis. The Journal of the Acoustical Society of America, vol.49, Nr.1 (Part.2) Jan.1971, p.352-356
109. CRANDALL H.S.: Dynamic Response of Systems with Structural Damping. This research was supported by the USAF through AFOSR of the ARDC under Contract Nr.AF 49 (638)-564
110. CRANDALL H.S.: Some heuristic procedures for analyzing random vibration of nonlinear oscillators
111. CRICHLAW J.W.: The ultimate strength of damaged structure - analysis methods with correlating test data. In : Full-Scale Fatigue Testing of Aircraft Structures. Proceedings of the Symposium held in Amsterdam, June 1959. Edited by F.J.Plantema ; J.Schijve. Pergamon press, London 1961, p.149-209
112. CRSTICI B.: Matematici speciale. Editura institutului politehnic "Traian Vuia" Timișoara, 1971
113. CUCULESCU I.: Procese Markov și funcții excesive. Editura Academiei R.S.R., București, 1968
114. CURTIS J.A.: Metode de analiză a rezultatelor măsurării vibrațiilor. In : C.M.Harris; C.E.Crede : Securi și vibrații. Editura tehnică București, 1968, vol.II, cap.22, p.21-48
115. CUTHBERTSON J.W.: The fatigue testing of bearings. In : Metal Fatigue. Edited by J.A.Pope, London 1959, p.339-347
116. DADIKO R.S.; DRAICIK : Vagonostroenie, Moscova, Masghis 1954
117. DAVENPORT B.V.; RUT L.V.: Vvedenie v teoriu slucainim signalov i suhov. (Perevod s angliscovo). Izd.Inostrannei literaturi, Moscova 1960



118. DAVIES R.B.; MANN J.Y.; KEMSLAY D.S.: Hardness changes during fatigue tests on copper. In : Proceedings of the International Conference on Fatigue of Metals, London 1956, p.551-556
119. De LEERIS H.: The fatigue testing of components. A means of revealing the danger point in pieces or structures. In : Proceedings of the International Conference on Fatigue of Metals, London 1956, p.118-121
120. DELBESQUE R.: Observații asupra oboselii oțelurilor. Din : "Construction métallique", Franța, 7, nr.4, 1970, p.9-16 (Documentare selectivă, I.D.T., Rezistența materialelor Nr.3/1971 p.231-245)
121. DENGEL D.: Vergleich einiger Auswertungsverfahren für dynamische Festigkeitsuntersuchungen mit Konstantor und mit steigender, Belastung an Stahl in verschiedenen Wärmebehandlungszuständen. Materialprüfung, vol.10, Nr.11, Nov.1968, p.365-370
122. DENGEL D.: Einige grundlegende Gesichtspunkte für die Planung und Auswertung von Dauerschwingversuchen. Materialprüfung, vol.13, Nr.5, 1971, p.145-151
123. DENIS H.S.; PIERSON W.J.: On the motions of ships in confused seas. Trans.Soc.Nav.Arch.Marine Engrs., 61, 1953, p.280-332 (AMR 7 - 1954 - Rev.1636)
124. DERBARLEDIKER D.A.: Opredelenie gabaritnih razmerov telescopiceskih amortizatorov. In : "Avtomobilnaia precizionnost" Nr.8, 1958, p.19-21
125. DEUTSCH I.; COIA I.; GRADINARU Al.; NLAUTU T.: Determinarea stărilor de solicitare ale longeroanelor ramii autovehiculului SR-131 cu ajutorul tensometriei. A V-a conferință de sudură și încercări de metale, Timișoara, p.63-74
126. DIEDERICH F...: The dynamic response of a large airplane to continuous random atmospheric disturbances. J.Aere.Sci. 23, 1956, p.917-930
127. DINCA F.; TUCOȘIU C.: Vibrații nolineare și aleatoare. Ed. Academiei R.S.R., București 1969
128. DINCA F.; SIRLETIANU T.: Asupra unei probleme extreme în dinamica autovehiculelor. A III-a Conferință pentru combaterea zgomotului și vibrațiilor, București 21-24 mai 1969, p.15-22
129. DINCA F.: Vibrațiile aleatoare ale sistemelor mecanice. Din : Buletinul științific al Institutului de construcții - București, Anul XIV, Nr.1-2/1971, p.97-109
130. DIXON J.R. ș.a.: Tensiunile în piese și subansamble, o nouă și largă analiză tehnică aplicabilă la metoda elementelor finite. Din : Transaction of the Inst.of Engineers and Shipbuilders in Scotland, Anglia, 14, Nr.30, 1970/1971, p.79-120 (In : "Proiectarea modernă a mașinilor", I.D.T., D.S.Nr.10/1971, p.695-712)
131. DMITRIENKO S.S.; STARIKOV V.M.; ILENICI I.N.; TEBERIANIKOV V.Ia.: Koefițienti variații raspredelenii amplitud napriajeni pri širokopolosnih slusainih prežesah nagrujenia detalei mašin. Vestnik mašinostroenia, Nr.10, 1972, p.10-12

132. DRAGAN I.P.: *Modeli signalov v lineinih sistemah*. Izd. "Naukova dumka" Kiev, 1972
133. DOBRE I.; DUMITRU I.: *Analiza teoretică și experimentală a stării de tensiune dintr-un cadru de bicicletă la sollicitări statice*. In : *Lucrările simpozionului "Rezistența îmbinărilor sudate"* Iași, 27-29 sept.1973, vol.II, p.26-28
134. DOBRE I.: *Sollicitări dinamice la cadre de biciclete realizate din țevă prin brazare*. In : *Lucrările simpozionului "Rezistența îmbinărilor sudate"* Iași, 27-29 sept.1973, vol.II p.100-110
135. DOBRE I.; BABIU P.; BORDANESCU I.: *Analiza statistică a măsurătorilor de rugozitate*. *Revista transporturilor*, 12, Nr.7 Iulie 1965, p.273-277
136. DOBRE I.; BOLLANTU L.: *Stări de tensiune în cadre de biciclete. Comunicările conferinței de sudură și încercări de metale privind probleme ale realizării și controlului sudurilor*. Timișoara, 6-8 sept.1971, p.175-192
137. DOBRE I.; DUMITRU I.: *Analiza sollicitărilor statice într-un cadru de bicicletă*. *Buletinul științific și tehnic IPT*, Tom 19(33) fasc.2/1974, Seria mecanică, p.161-171
138. DOLAN J.T.: *Basic concepts of fatigue damage in metals*. In : *Metal Fatigue*. Edited by George Sinos ; J.L.Waisman, London 1959, p.39-67
139. DOLAN J.T.: *Reporters' Introductions of Papers in New York. Session C-2 : Cumulative Damage, Statistical Aspect, Repeated Strain Cycling, Effect of Frequency*. In : *Proceedings of the International Conference on Fatigue of Metals*, London 1956, p.63-64
140. DUB Dj.L.: *Verolastnostnâie proteșsi*. Moskva 1956
141. DUCKWORTH W.L.; WALTER G.H.: *Fatigue of plain bearings*. In : *Proceedings of the International Conference on Fatigue of Metals*, London 1956, p.585-592
142. DUPUIS H.; BROICHER A.H.: *Servo-hydraulischer Schwingtisch zur Simulierung von Fahrzeugschwingungen und von stochastischen Abläufen für arbeitsmedizinische Probleme*. In : *"ATZ Automobiltechnische Zeitschrift"* 68. Jahrgang, Nummer 2/1966 (Sehenek-Druckschrift P 2590)
143. DINKIN T.B.; SUK VICI A.A.: *Teoreni i zadaci o proteșsah* Markova, Moskva 1967
- 144.\* EINSTEIN A.: *The theory of the brownian movement*, Dover Publications, 1956
145. EDIN J.: *Factorii care intervin în alegerea unui nivel de fiabilitate*. Din : *"Entretien et Travaux Neufs"*, 21, Nr.202, ian.1969, p.2-6 (Documentare selectivă, I.D.T., Intretinerea și repararea mașinilor, Nr.2/1970, p.140-147)
146. ELLIS J.H.: *Experimental Confirmation of Ride Theory*
147. FRIDMAN A.C.: *Response of beams and plates to random loads*. *J.Appl.Mech.* 24, 1957, p.46-52
148. FURER A.: *Design of screw fastenings subject to repeated stresses*. In : *Proceedings of the International Conference on Fatigue of Metals*, London, 1956, p.290-300

149. ENKLER A.: Berechnung von Schweißverbindungen bei wiederholter Beanspruchung. In : "Schweißtechnik", vol.40, Verlag : Deutscher Verlag für Schweißtechnik, (DVS) GMBH, Düneldorf (Schenk-Druckschrift P 2980)
150. ENGELHARDT E.B.; MILLS D.K.; SCHNEIDER K.: Securi și vibrații la vehicule rutiere și feroviare. Partea I, Vehicule rutiere. In : C.M.Harris; C.M.Crede : Securi și vibrații Editura tehnică București, 1969, vol.III, cap.45, p.321-341
151. FILLKAMP K.: Untersuchungen über die Zahnfuß - Tragfähigkeit gehärteter Stirnräder. Bericht aus dem Laboratorium für Werkzeugmaschinen und Betriebslehre der RW Aachen. In : "Industrie-Anzeiger" Nr.59, vom 23 Juli 1965 (Schenk-Druckschrift P 2979)
152. FINN R J.A.: Crack propagation in steel specimens. In : Metal Fatigue. Edited by J.R.Pope, London 1959, p.147-157
153. FERRARI R.M.; MILLIGAN I.G.; RICE M.R.; MASTON H.R. Some considerations relating to the safety of "Fail-Safe" wing structures. In : Full-Scale Fatigue Testing of Aircraft Structures. Proceedings of the symposium held in Amsterdam, June 1959. Edited by F.J.Plantema, J.Schijve. Pergamon press, London, 1961, p.417-426
154. FRUSTEL H.: Radlast-Änderungen bei Drehgestell Fahrzeugen In : Glasers Annalen Nr.8, 1955
155. FILATOV M.Ia.: Soprotilivlenie ustalosti pri slojnoi forme tika izmeneniia napriazhenii. Zavodskaja Laboratorija, vol.34, Nr.3, 1968, p.331-336
156. FILATOV B.I. ș.a.: Masina dia programafu ispitaniu obrastov na ustalosti oșenimi napruzkami. Zavodskaja Laboratorija, vol.35, Nr.12, 1969, p.1504-1506
157. FINDLEY W.W.; COLEMAN J.J.; HANLEY B.O.: Theory for combined bending and torsion fatigue with data for SAE 4340 steel. In : Proceedings of the International Conference on Fatigue of Metals, London 1956, p.150-157
158. FRESIN B.S.: Primenenie gipotes sumirovaniia ustalostnih povreždenii k uskorennoi oșenke ustalostnoi dolgovečnosti. Zavodskaja Laboratorija, vol.34, Nr.3, 1968, p.336-340
159. FREUDENTHAL M.A.: Reporters' Introductions of papers in New York. Session A-II Basic Studies. In : Proceedings of the International Conference on Fatigue of Metals, London, 1956, p.53-54
160. FREUDENTHAL A.M.: Cumulative damage under random loading. In : Proceedings of the International Conference on Fatigue of Metals, London 1956, p.257-261
161. FREUDENTHAL A.M.; GUMBEL E.J.: Distribution functions for the prediction of fatigue life and fatigue strength. In : Proceedings of the International Conference on Fatigue of Metals, London 1956, p.262-271
162. FRITH P.R.: Influența incluziunilor și a repartiției carbonilor asupra comportării la oboseală a oțelurilor elaborate în diferite moduri. Din : revue de Metallurgie, France, 64, Nr.6, iun.1967, p.531-548 (In : "Diagnosticarea rupe-

- rii prin oboseală a pieselor metalice", Culegere de traduceri, I.D.T., București, 1970, p.76-94
163. FRITH P.H.: Fatigue of wrought high tensile alloy steels. In: Proceedings of the International Conference on Fatigue of Metals, London, 1956, p.462-499
164. FRYE A.W.: Izolarea cu arsuri de cauciuc. In : C.M.Harris; C.E.Crede : Socuri și vibrații. Editura tehnică București 1968, vol.II, cap.35, p.575-602
165. FURNISS P.G.: Influence of plastic deformation on notch sensitivity in fatigue. In. Proceedings of the International Conference on Fatigue of Metals, London 1956, p.171-183
166. FURST N.D.; WILLIAMS C.E.: Studies in the formation and propagation of cracks in fatigue specimens. In : Proceedings of the International Conference on Fatigue of Metals, London, 1956, p.520-526
167. FÜRSTER F.: Analyse der zerstörenden Werkstoffprüfung mit zerstörungsfreien elektromagnetischen Verfahren. Verfolgung des Risswachstums beim Dauerschwingversuch. Materialprüfung, vol.12, Nr.5, Mai 1970, p.149-156
168. FURSYTH P.J.L.: The basic mechanism of fatigue and its dependence on the initial state of a material. In : Proceedings of the International Conference on Fatigue of Metals, London 1956, p.535-537
169. FUCHS H.O.: A set of fatigue failure criteria. Trans.ASME(D) J.Basic Engug. Bd.87/1965, #2, p.333-343
170. FUCHS H.O.: Techniques of surface stressing to avoid fatigue. In : Metal Fatigue. Edited by George Sines; J.L.Waisman. London 1959, p.197-231
171. FURSTENBERG H.: Stationary Processes and Prediction Theory. London 1960
172. GADD B.R.: Fatigue in aero-engines. In : Proceedings of the International Conference on Fatigue of Metals, London, 1956, p.658-671
173. GAIGINSCHI E. ș.a.: Cercetări privitoare la mecanismul fizic al deformății plastice la metale sub acțiunea sarcinilor variabile. A IV-a conferință de sudură și încercări de metale, Timișoara, 12-15 Oct.1962, caietul II/2, p.101-108
174. GALPERIN M.Ia.: O rasseiani dolgovecnosti stali pri ispitaniiah do bazi  $10^6$  tiklov. Zavodskaya laboratoria, vol. 33, Nr.9/1967, p.1123-1125
175. GALPERIN Ia.M.: O rasseiani kharakteristik vneslivosti po naznialu obrazovaniia treshin i oboznatelnomu razrusheniiu iz : "Mehaničeskaja ustalosti v statističeskom aspekte" p.52-68. Izdatelstvo "Nauka" Moskva 1969
176. GALPERIN Ia.M.; KOGALY P.V.: Parametri funkții raspredeleniia predelov vneslivosti obrazov i legkih splavov. Iz : "Mehaničeskaja ustalosti v statističeskom aspekte" p.36-40. Izdatelstvo "Nauka" Moskva 1969
177. GAGLIARDI G.H.: Sisteme dinamice cu stare inițială aleatorie. Din : Journal of Engineering Mathematics, Olanda, 5, nr.3, iul.1971, p.171-178 (Documentare selectivă, I.D.T., Mecanica Nr.12/1971, p.987-998)

178. GARF M.E. g.a.: O metodike opredelenia niznei graniči povrejdajuschih napriajenii spektra. Zavodskaja Laboratorija vol.33, nr.3/1967, p.349-352
179. GASPARIAN S.A. g.a.: Issledovanie ostatočnyh deformacji v professe ispitani na vnoslivosti obrastov pri slojno-napriajennom sostojanii. Zavodskaja Laboratorija, vol.33 Nr.11,1967, p.1432-1434
180. GASPARIAN S.A.: K voprosu statističeskoj obrabotki rezultatov ustaločnyh ispitani. Izvestia vuzov - Mašinostroenie, Nr.11/1968, p.36-40
181. GASPARIAN S.A.: O nakoplenii ostatočnyh deformacji obrastov pri nestacionarnyh režimah nagruženia. Zavodskaja Laboratorija, vol.34, Nr.12, 1968, p.1504-1506
182. GASSMANN H. g.a.: Beziehungen zwischen Dehnungswechselversuchen bei konstanter Längs- und Querdehnung. Materialprüfung, vol.11, Nr.12, 1969, p.416-419
183. GASSNER E.: Betriebsfestigkeit. Eine Bemessungsgrundlage f.Konstruktionsteile mit statistisch wechselnden Betriebsbeanspruchungen. In : Konstruktion, vol.6, 1954, Nr.3, p.97-104
184. GASSNER E.: Effect of variable load and cumulative damage on fatigue in vehicle and airplane structures. In : Proceeding of the International Conference on Fatigue of Metals, London 1956, p.304-309
185. GASSNER E.; SCHÜTZ W.: The significance on constant load amplitude tests for the fatigue evaluation of aircraft structures. In : Full-Scale Fatigue Testing of Aircraft Structures. Proceedings of the symposium held in Amsterdam June 1959, Edited by F.J.Plantema, J.Schijve. Pergamon Press, London, 1961, p.14-40
186. GASSNER E.: Zur Aussagefähigkeit von Ein- und Mehrstufen - Schwingversuchen (Teil I) Materialprüfung, Bd.2 (1960), Nr.4, S 121/128
187. GASSNER E.; SVANIGON O.: Einfluss von Störschwingungen aus die Ermüdungsfestigkeit. In : "Stahl und Eisen", 1962, Nr.5, p.276
188. GASSNER E.; GRIESE W.F.; HAIBACH L.: Tragbare Spannungen und Lebensdauer einer Schweißverbindung aus Stahl St 37 bei verschiedenen Formen des Beanspruchungskollektivs. Schenck-Druckschrift P 2984. "Archiv für das Eisenhüttenwesen" 35 Jahrgang, Heft 3, März 1964, p.255-267
189. GASSNER E.; JACOBY G.: Betriebsfestigkeits - Versuche zur Ermittlung zulässiger Entwurfspannungen für die Flügelunterseite eines Transportflugzeugs. Luftfahrttechnik - Raumfahrttechnik, Band 9, Heft 1, Januar 1964, Seite 6-19
190. GASSNER E.: Betriebsfestigkeit gekerbter Stahl und Aluminium stäbe unter betriebsähnlichen und betriebsgleichen Belastungsfolgen. Materialprüfung, vol.11, Nr.11/1969, p.373-378
191. GIBSON E.J.: Systeme automate nonliniare. Traducere din limba engleză - B.U.A. editura tehnică București, 1967
192. GILLENQFT L.: Die bestimmung einiges charakteristischen punkte der Wöhler kurve. In : Vorträge des III Kongresses über

materialprüfung, I sektion für mechanische technologie.  
Budapest 1-5 sept.1964, p.5-26

193. GHEHMAN I.I.; SKOROHOD A.B.: Vvedenie v teoriu sluciainih professorov. Moskva 1965
194. GHILBO E.P.: O videlenii signala iz evo nelineinove preobrazovaniia na fone sluciainih pomeh. Iz "Dinamica i preciznosti mašin" Trudī L.P.I.Nr.252/1965, p.127-132
195. GIRAULT M.: Initiation aux processus aléatoires. Le processus de Poisson, files d'attente, pannes de machines. Dunod, Paris, 1959
196. GÖBEL E.F.: Comportarea organelor de mașini la solicitarea dinamică de oboseală. Din : "Schweizer Maschinenmarkt", 71 nr.32, aug.1971, p.62-65 (Documentare selectivă, I.D.T. Rezistența materialelor, Nr.2/1972, p.191-196)
197. GOLUBEV A.A.: Nakoplenie ustalostnih povrejdienī v stali 20K pri programnom nagruženii. Iz : "Mehaničeskaja ustalosti b statističeskoi aspekt", p.92-96. Izdatelstvo "Nauka" Moskva 1969
198. GOPKINS G.: Dinamiceskie neprughie deformatīi metallov (Perevod o angliškevo). Izdatelstvo "MIR" Moskva 1964
199. GOTHAN K.V.: Definișea pe bază experimentală a fenomenului de oboseală la materialele termoplastice. Din : "Plastics Polymers", S.U.A., nr.130, aug.1969, p.309-319 (Documentare selectivă, I.D.T., Utilizarea materialelor plastice Nr.1/1970, p.5-23)
200. GOUGH J.H.: The Changing Nature of the Fatigue Problem. In : Proceedings of the International Conference on Fatigue of Metals, London, 1956, p.7-13
201. GOUGH J.H.: Reporters' Introductions of Papers in London. Session 6 : Basic Aspects of Fatigue. In : Proceedings of the International Conference on Fatigue of Metals, London 1956, p.31-35
202. GREBENIK V.M.: Opređalenie parametrov harakterizujuščih ugli naklona krivih ustalosti dlia stali, Izvestia vuzov-Mašinostroenie, Nr.3, 1969, p.58-63
203. GREBENIK V.M.: Ustalostnaja preciznost i dolgovecnost metal-lurghičeskogo oborudovaniia. Moskva 1969
204. GREENSPAN R.L.: Incercarea unei populații esențien pentru descoperirea distribuției Rayleigh. Din : "IEEE Transactions on Communication Technology" S.U.A., COM 19, nr.1, febr.1971, p.99-100 (Documentare selectivă, I.D.T. Cibernetică, Nr.6/1971, p.425-428)
205. GRIGORIU M.: Studiul vibrațiilor grinzilor cu săbrele cu configurație oarecare la acțiunea unor forțe variabile în timp în domeniul elastoplastic. Studii și cercetări de mecanică aplicată, Tom.31, Nr.4, 1972, p.809-821
206. GROVER H.J.; GORDON S.A.; JACKSON L.R.: Fatigue of metals and structures. Thames and Hudson, London 1956
207. GROVER H.J.: Allowance for stress concentration in design to prevent fatigue. In : Proceedings of the International Conference on Fatigue of Metals, London 1956, p.83-89

208. GROVER H.J.: Estimation of fatigue life of welded riveted, and belted structures. In : *Metal Fatigue*. Edited by George Sines ; J.L.Waisman. London 1959, p.307-324
209. GRUBISIC V.: Verfahren zur optimalen Bemessung von Fahrzeugg-rädern. Teil I und II. Bericht Nr.FB-86 (1970). Labora-torium für Betriebsfestigkeit, Darmstadt
210. GUINS G.S.: Securi și vibrații de vehicule rutiere și fere-viare. Partea II-a, Vehicule feroviare. In : C.M.Harris ; C.F.Crede : Securi și vibrații, vol.3. Editura tehnicii București, 1969, cap.45, p.342-361
211. GURNEY T.R.: Influența eforturilor remanente și a eforturi-lor medii asupra rezistenței la oboseală a probelor cu suduri longitudinale în unghi fără solicitare. Din : "Journal of the Mechanical Engineering Science" Anglia, 12, Nr.6, dec.1970, p.381-390 (documentare selectivă, I.D.T., Rezistența materialelor, Nr.4/1971, p.316-336)
212. HAAS T.: Fatigue Tests and Aircraft Life valuation. *Aircraft Engineering*, October 1955, p.1-4 (Schenck Print 4 P 2164/1-4)
213. HAAS T.: Simulated Service Life Testing. In : "The Engineer" November 14 and 21, 1958
214. HAAS T.: Spectrum fatigue tests on typical wing joints. In: "Materialprüfung" Bd.2 (1960) Nr.1, S 1/7 (Schenck-Druckschrift P 2357)
215. HAAS T.: Belastungstatistik als Bemessungsgrundlage für Tragwerk - und mechanische Konstruktionen. In : "Engineers' Digest, March, April and May 1962 (Schenck-Druckschrift P 2696)
216. HAAS T.: Loading Statistics as a Basis of Structural and Mechanical Design. In : "Engineers' Digest" March, April and May 1962
217. HAAS T.; KRILSKORTE H.: Critical comparison of modern fatigue testing machines with regard to requirements and design. Symposium of developments in materials testing machine design, Manchester 7-10th September 1965. Published by the Institution of Mechanical Engineers, London 1965
218. HAAS T.: Impératifs d'essai et machines d'essais de fatigue. Référence Schenck, P.2883, Messen und Prüfen, Août 1966, p.199-207
219. HAAS T.: Test Requirements and Machines for Fatigue Testing. In : "Engineer's Digest", December 1966 (Abstract from German original in Messen und Prüfen, August 1966, p.199-207)(Schenck-Ref.Nr.2992)
220. HAAS T.: Prüfanforderungen und Maschinen der Dauerschwing-prüftechnik. In : "Messen und Prüfen" Nr.4/August 1966 (Schenck Druckschrift P 2694)
221. HAJDUK J.: Determinarea rapidă a parametrilor de oboseală. In : *Maschinenmarkt, R.F.G.*, vol.76, Nr.103, dec.1970, p.2360-2363

222. HANKE M.; FROMIR M.: Zur Berechnung der Betriebsfestigkeit nach der Schaden-Akkumulationshypothese von Corten-Dolan. Materialprüfung, 11, Nr.6/1969, p.189-196
223. HARDRATH F.H.: Current trends in fatigue tests of aircraft. In : Full-Scale Fatigue Testing of Aircraft Structures. Proceedings of the symposium held in Amsterdam, June 1959. Edited by F.J.Plantema, J.Schijve. Pergamon press, London 1961, p.1-13
224. HARRIS M.C.; CLARKE E.C.: Securi și vibrații (traducere din limba engleză. S.U.A.) La. tehnică, București, 1968, vol.I: Bazele teoretice. Măsurători ; vol.II : Analiza rezultatelor măsurătorilor. Încercări. Metoda de combatere a șocurilor și vibrațiilor vol.III : Securi și vibrații la mașini, vehicule și construcții.
225. HARTMANN L.C.: Effect of unintentional stress raisers on the fatigue strength of structural components. In : Proceedings of the International Conference on Fatigue of Metals, London, 1956, p.195-200
226. HARTMANN L.C.; HOWELL F.M.: Laboratory Fatigue Testing of Materials. In : Metal Fatigue. Edited by George Sines ; J.L.Waisman, London 1959, p.89-111
227. HAVAS I.: Zug/Druck-Wechselversuche mit Konstanter Amplitude der wahren Verformung bei niedrigen Lastspielzahlen. Materialprüfung, vol.8, Nr.9, Sept.1966, p.321-324
228. HAVAS I.: Über den Zusammenhang zwischen Brucharbeit und Lastspielzahl im dehnungskontrollierten Dauerschwingversuch. Materialprüfung, vol.10, Nr.5/1968, p.151-154
229. HAVNER S.K.: Mathematical Theories of Material Behavior. In : "Madayag F.A.: Metal fatigue: theory and design", New York 1969, p.14-65
230. HAZANOV I.I.: Zakon raspredelenia dolgovesinosti pri ustalostnih ispitaniiah krupnogabaritnih detalai. Vestnik mašinstroenia, Nr.11/1968, p.9-10
231. HEAD A.K.; HOCKE F.W.: Random noise fatigue testing. In : Proceedings of the International Conference on Fatigue of Metals, London 1956, p.301-303
232. HERLESCU T.: Contribuție la analiza erorilor privind determinarea rezistenței la oboseală cu mașini de încercare rotativă. A V-a Consfătuire de sudură și încercări de metale, Timișoara, p.567-575
233. HERLESCU T.: Despre regimul real de solicitare la o mașină pentru încercarea la oboseală prin încercare rotativă cu șocuri adiționale. A V-a Consfătuire de sudură și încercări de metale, Timișoara, p.554-565
234. HERRBACH H.: Der Laborversuch als Grundlage für die Betriebs-sicherheit von Fahrzeugen. Automobil-Industrie, Heft 2/67
235. HENN G.: Ispitania na ustalosti svarnih uzlov konstrukcii mostov. Iz : "Voprosi mehaniceskoi ustalosti" pod redakciiei S.V.Serensena. Izdatelstvo "Mašinstroenie" Moskva 1964, p.331-345
236. HILJAB W.A.: A statistical appraisal of the Prob method for determination of fatigue endurance limit. J. of Appl.Mech., vol.24, Nr.2, p.214-218, 1957



237. HELLER R.A.; FREUDENTHAL A.M.: New methods in fatigue testing under randomized load sequences. In : Vorträge des III Kongresses über Materialprüfung, I Sektion für mechanische Technologie. Budapest 1-5 sept. 1964, p.49-60
238. HELMPEL M.: Gegenwärtiger Stand der Kenntnisse über die Betriebsfestigkeit von Stählen. In : "Stahl und Eisen", vol.84, 1964, Nr.8, p.485-
239. HODKIN K.R.: Hydraulic Vibrators in Automobile Testing With Special Reference to the Rootes Suspension Parameter Rig.
240. HORNING R. ș.a.: Statische Methoden bei der Lebensdauerprüfung - Aufnahme und Verarbeitung von Belastungskollektiven. Materialprüfung, vol.13, Nr.2, Febr.1971, p.53-60
- 241.<sup>x</sup> HOUSNER G.W.: Calculating the response of an oscillator to arbitrary ground motion. Bull. Seism. Soc. Amer., 31, 1941, p.143-149
242. HOUSNER G.W.: Vibrațiile structurilor sub efectul unor seisme. Partea I-a, Cutremururile. In : C.M.Harris ; C.E.Crede : Socuri și vibrații. Editura tehnică București, 1969, vol.III, cap.50, p.546-580
243. HUSTON B.W.: Comparison of constant level and randomized-step tests of full-scale structures as indicators of fatigue-critical components. In : Full-Scale Fatigue Testing of Aircraft Structures. Proceedings of the symposium held in Amsterdam, June 1959, Edited by F.J. Plantema ; J.Schijve. Pergamon Press, London 1961, p.133-148
244. HVILLUM J.J.: Prévision de défaillances mécaniques par analyse des vibrations. Technical Review, Erüel et Kjaer, Nr.2/1967, p.3-13 (Edition Française)
245. HÜTTNER vol.V, B - Verkehrstechnik 20 Auflage, Berlin, Verlag von Wilhelm Ernst John, 1955
246. IOSIFESCU M.; MIHOȘ Gh.; TEODORESCU N.: Teoria probabilităților și statistica matematică. Editura tehnică, București, 1966
247. IOSIFESCU M.; TAUTU P.: Procese stohastice și aplicații în biologie și medicină. Editura Acad.R.S.R., București, 1968
248. ITO K.: Verolatnostnii procesi (Perevod s Iapenskovo) Izdatelstvo Inostrannoi literatury Moskva 1960
249. IVANOVA S.V.: Ustaloestnoe razrușenie metallov. Metallurgizdat. Moskva 1963
250. IVANOVA S.V.; RAGOZIN Yu.I.; VOROBYOV N.A.: On the relations of fracture of metals under static and repeated load. Second conference on dimensioning - Budapest, 5-10 Oct.1965, p.1-17
251. IVANOVA S.V. ș.a.: Uskorenii metod postroeniia linii Frenca s primeneniem energeticeskih kriteriev ustalosti Zavodskaja laboratorija, vol.32, Nr.2, 1966, p.225-228

252. IWAN W.D.; LUTES L.D.: Response of the Bilinear Hysteretic System to Stationary Random Excitation. The Journal of the Acoustical Society of America, vol.43, Nr.3, 1968, p.545-552
253. JACKSON J.S.: Hydrogen occlusion and its effect on the fatigue properties of plain carbon spring steels. In : Proceedings of the International Conference on Fatigue of Metals, London, 1956, p.500-505
254. JAEGER C.J.; NIMSTEAD H.G.: Introducere în teoria transformării Laplace, cu aplicații în tehnică (Traducere din l. engleză), București, Editura tehnică, 1971
255. JANSSEN A.R.; LAMBERT F.R.: Numerical Calculation of Some Response Statistics for a Linear Oscillator under Impulsive-Noise Excitation. The Journal of the Acoustical Society of America, vol.41, Nr.4, 1967, p.827-835
- 256.<sup>x</sup> JASPER N.H.: Statistical distribution patterns of ocean waves and of wave induced ship stresses and motions with engineering applications. Trans.Soc.Nav.Arch.Marine Engrs. 64,1956 p.375-432 (AMR 12 - 1959 - Rev.569)
257. JENSEN O.J.: A Survey of Methods for Measuring Correlation Functions. DISA - Information No.10 October 1970, p.10-14
258. JOHNSON G.L.: The statistical treatment of fatigue experiments. Elsevier Publishing Company, Amsterdam, 1964
259. JUK B.J.: O primeneniie metodov Prot 1 Locati. Zavodskajaia Laboratoriia, vol.36, Nr.1/1970, p.87-89
- 260.<sup>x</sup> KAC M.; SLEDHNE J.F.: On the theory of noise in radio receivers with square law detectors. J.Appl.Phys.18, 1947, p.383-397
261. KAGAN V.A. ș.a.: Ustanovka dlia ispitania obrastov na maloșiklovuiu ustalosti pri izghibe s vrașheniem. Zavodskajaia Laboratoriia, vol.34, Nr.12, 1968, p.1255-1256
262. KARASEV A.N.: Despre rezistența la obosire sub acțiunea apei a oțelului de arcuri calitatea 55 C 2. In : "Buletinul construcțiilor de mașini" Nr.5/mai 1952 (trad.din l.rusă)
263. KARNOPP D.; SCHARTON D.T.: Plastic Deformation in Random Vibration. The Journal of the Acoustical Society of America, vol.39, Nr.6, 1966, p.1154-1161
264. KARNOPP D.; BROWN N.R.: Random Vibration of Multidegree - of - Freedom Hysteretic Structures. The Journal of the Acoustical Society of America, vol.42, Nr.1, 1967, p.54-59
265. KATKOVNIK B.Ia.; POLUEKTOV R.A.: Sintez discretnih sistem upravlenia pri ucete dinamiceskih ogranicoeni, vizvannih obektom In : "Dinamica i proeinosti mașin" Trudf L.P.I. Nr.252/1965, p.133-139
266. KAUFMAN S.; LAPINSKI W.L.; MCGAA C.R.: Response of a Single - Degree - of - Freedom Isolator to a Random Disturbance. The Journal of the Acoustical Society of America, vol.33, Nr.8, August 1961, p.1108-1112
267. KAUGI T.K.: Nestacionarnie slučaiinfe profeșsi. In : S.Krendell Slučaiinfe kolebania, Izd."Mir", Moskva 1967, Glava 3, p.79-97

268. KELLER W.M.; MAGRE G.M.: Fatigue in railroad equipment. In Proceedings of the International Conference on Fatigue of Metals, London 1956, p.677-679
269. KERNOP D.: Osnovî teorii sluciainih kolebanii. In : S.Krendell : Sluciainie kolebania, Izd. "Mir", Moskva 1967, Glava 1, p.11-45
270. KIMELMAN D.N.: Calculul organelor de maşini supuse la solicitări variabile. Editura tehnică Bucureşti, 1951
271. KIRIN V.V. ş.a.: Regulator amplitudii alia ustalostnih ispitani pri programnom izmenenii nagruzki. Zavodskaja Laboratoriia, vol.35, Nr.10/1969, p.1259-1260
272. KOGAEV P.V.: Vliianie koncentraţii napriajenii i masşabno-vo factora na soprotivlenie ustalosti v statisticeskom aspekte. In : "Voprosi mehaniceskoi ustalosti pod redakcii S.V.Serensena. Izdatelstvo "Maşinostroenia" Moskva 1964, p.67-100
273. KOGAEV P.V.: Modelirovanie proţessa ustalosti metallov metodom Monte-Carlo. Zavodskaja Laboratoriia, vol.34, Nr. 7/1968, p.828-832
274. KOGAEV P.V.: Opređenje rasciotnih karakteristik vnoslivosti detalei maşin. Iz : "Mehaničeskaja ustalosti v statisticeskom aspekte" p.12-27. Izdatelstvo "Nauka", Moskva 1969
275. KOITER W.T.: Airworthiness requirements on fatigue strength. In : Full-Scale Fatigue Testing of Aircraft Structures. Proceedings of the symposium held in Amsterdam, June 1959 Edited by F.J.Plantema ; J.Schijve. Pergamon press, London 1961, p.383-392
276. KORCINSKI I.L.: Rezistenţa materialelor de construcţii la încercări dinamice. Documentare selectivă, I.D.T., Probleme actuale de rezistenţa materialelor, vol.II/1971, p.5-18
277. KORDONSKII, H.B. ş.a.: Forsirovanie ispitania na ustalostnuiu dolgovecinosti metodom "dolamivania". Zavodskaja Laboratoriia vol.33, Nr.3/1967, p.321-331
278. KORRSKOV V.I.: Uciot asimetrii nestacionarnogo negluženia pri rascete na vnoslivosti. Vestnik maşinostroenia, Nr. 7/1969, p.13-17
279. KORN A.G.: Simularea şi măsurarea proceselor aleatoare. Traducere din limba engleză - S.U.A. Editura tehnică, Bucureşti, 1969
280. KOGANDA S.: Asupra posibilităţii de cercetare a fenomenelor de erozeală. (Cercetări microscopice şi măsurări ale microasperităţilor pe suprafeţele epruvetelor). A IV-a conferinţă de sudură şi încercări de metale, Timişoara 12-15 oct.1962, caietul II/2, p.109-127
281. KOGANDA S.: Nekoterie priznaki ustalosti metallov i metode ih obnarujdenia. Iz : "Voprosi mehaniceskoi ustalosti" pod redakcii S.V.Serensena. Izdatelstvo "Maşinostroenia" Moskva 1964, p.266

282. KOWALLWSKI J.: On the relation between fatigue lives under random loading and under corresponding program loading. In : Full-Scale Fatigue Testing of Aircraft Structures. Proceedings of the symposium held in Amsterdam, June 1959 Edited by F.J.Plantema ; J.Schijve. Pergamon press, London 1961, p.60-75
283. KRASOVSKII A.A.: Reçenie uravnenia Fokkera - Planka - Kolmogoroda metodom riadov. Dokladi Akademii Nauk SSSR 1972, TOM 205, Nr.8, p.550-552
284. KREISKORTE H.: Die Bedeutung des Dauerschwingversuches für die Dimensionierung von Blechkonstruktionen. Din "Blech", Oktober 1962, Nr.10, p.1-6
285. KREISKORTE H.: Simulierung regelloser Wegund Belastungsabläufe durch servo-hydraulische Schwingungserreger. V.D.I.-Berichte Nr.88, 1965, S 77/82 (Schenck-Druckschrift P 2526)
286. KREISKORTE H.; HAAS T.: Programmgesteuerte Schwingprüfmaschinen Mitteilungen, Carl Schenck Maschinenfabrik, Heft 12/1967
287. KRENDALL S.: Sluciainie kolebania (Perevod s angliakovo) Izdatelstvo "Mir", Moskva 1967
288. KRENDALL S.: Izmerenie karakteristik stacionarnih sluciainih professov. In : S.Krendall : Sluciainie kolebania, Izd. "Mir", Moskva 1967, Glava 2, p.46-78
289. KRENDALL S.: Kolebania nelineinih sistem pri sluciainih vosdeistviah. In : S.Krendall : Sluciainie kolebania, Izd. "Mir", Moskva 1967, Glava 4, p.98-116
290. KUDRIAVTEV I.V.; SAVERIN M.M.; RIABENKOV A.V.: Metode pentru mărirea rezistenței superficiale a organelor de mașini. București, Editura tehnică, 1952
291. KUDRIAVTEV I.V.: The influence on internal stresses on the fatigue endurance of steel. In : Proceedings of the International Conference on Fatigue of Metals, London 1956, p.317-325
292. KUDRIAVTEV I.V.; BELKIN Ia.M.: Vliianie poverhnostnogo naklepa na soprotivlenie ustalostikrupnih valov iz legirovannoi stali. Iz : "Voprosi mehaniceskoi ustalosti" pod pedacției S.V.Serensena. Izdatelstvo "Mașinostroenie" Moskva 1964, p.285-298
293. KUDRIAVTEV I.V. ș.a.: O peresekaiușcihsia krivih ustalosti. Zavodskaja Laboratoriia, vol.34, Nr.4/1968, p.459-465
294. KUDRIAVTEV I.V.: Ob efecte masștaba pri malotiklovoi ustalosti materialov. Zavodskaja Laboratoriia, vol.36, Nr.3, 1970, p.331-334
295. KUHN P.: Reporters' Introductions of Papers in New York. Session P-1 : Engineering and Industrial Significance of Fatigue Aircraft Structures. In : Proceedings of the International Conference on Fatigue of Metals. London 1956, p.79-81
296. LANGSATH B.R.; LAMBERT F.R.: Influence of Bandwidth on Some Nonlinear Transformation of a Gaussian Random Process
297. LANCULESCU S.: Evaluarea pericolului de avarie a sistemelor mecanice supuse la vibrații aleatoare. Studii și cercetări de mecanică aplicată, Tom 31, Nr.4, 1972, p.781-807

298. LAZAN B.J.: Damping and resonant fatigue behaviour of materials. In : Proceedings of the International Conference on Fatigue of Metals, London 1956, p.90-101
- 299.<sup>x</sup> VAN LEAR A.; UHLENBECK G.B.: Brownian motion of strings and elastic rods. Physical Review, 38, 1583-1598 (1931)
300. LEVE L.H.: Cumulative damage theories. In : "Madaya, F.A.: Metal fatigue : theory and design" New York, 1969, p.170-203
301. LIEPMANN H.: On the application of statistical concepts to the buffeting problem. J.Aero.Sci.19, 1952, p.793-800
302. LIEPMANN H.: Extension of the statistical approach to buffeting and gust response of wings of finite span. J.Aero.Sci.22, 1955, p.197-200
303. LIGHTHILL M.J.: On sound generated aerodynamically. I. General theory Proc.Roy.Soc.Lond.(A) 211, 1952, p.554-587 ; II. Turbulence as a source of sound, Proc.Roy.Soc.Lond. (A) 222, 1954, p.1-32
- 304.<sup>x</sup> LIN C.C.: On the motion of a pendulum in turbulent flow. Quart,Appl.Math.1, 43-48 /1943
305. LIPKA J.; LOBZONSKI J.: Effect of permanent distortion on fatigue at spots of accumulated stress. In : Vorträge des III.Kongresses über materialprüfung, I sektion für mechanische technologie.Budapest 1-5 sept.1964,p.213-226
306. LIPP W.: Zuverlässigere Lebensdauangaben durch bessere Vermischung der Lasten im 8-Stufen-Programmversuch. Materialprüfung, vol.12, Nr.11, 1970, p.381-382
307. LYON R.H.: Propagation of correlation functions in continuous media. J.Acoust.Soc.Amer., 28, 1956, p.76-79
308. LYON R.H.: On the Vibration Statistics of a Randomly Excited Hard-Spring Oscillator. The Journal of the Acoustical Society of America, vol.32, Nr.6, June 1960, p.716-719
309. LOCATI L.; SARZOTTI G.: Fatigue ratio as design evaluation of aircraft structures. In : Full-Scale Fatigue Testing of Aircraft Structures. Proceedings of the Symposium held in Amsterdam, June 1959. Edited by F.J. Alantema, J. Schijve. Pergamon press, London 1961, p.345-363
310. LOMAS T.W.; WARD J.O.; RAIT J.R.; COLBROOK E.: The influence of frequency of vibration on the endurance limit of ferrous alloys at speeds up to 15000 cycles per minute using a pneumatic resonance system. In : Proceedings of the International Conference on Fatigue of Metals, London 1956, p.373-385
- 311.<sup>x</sup> LONGUET M.S.- HIGGINS : On the statistical distribution of the heights of sea waves. J.Marine Research, 11, 1952, p.245-266 (A.M.R.6 - 1953 - Rev.3273)
312. LOVE R.J.: Fatigue in automobiles. In : Proceedings of the International Conference on Fatigue of Metals, London 1956, p.570-580
313. LUNDBERG K.O.: The quantitative statistical approach to the aircraft fatigue problem. In : Full-Scale Fatigue Testing of Aircraft Structures. Proceedings of the symposium held

in Amsterdam, June 1959. Edited by F.J.Plantema ; J. Schijve. Pergamon press, London 1961, p.393-412

314. MADAYAG A.F.: Metal Fatigue : Theory and Design, John Wiley and Sons Inc., New York, 1969
315. MADAYAG A.F.: Causes and Recognition of Fatigue Failures. In : "Madayag A.F.: Metal fatigue : theory and design" New York, 1969, p.1-13
316. MAENNIG W.W.: Berechnung der Schwingfestigkeitswerte von Stahl mit Hilfe einer arctan - Transformation nach R. Müller. Materialprüfung, vol.10, Nr.6, 1968, p.191-196
317. MAENNIG W.W.: Bemerkungen zur Beurteilung des Dauerschwingfestigkeitsverhaltens von Stahl und einige Untersuchungen zur Bestimmung des Dauerfestigkeitsbereichs. Materialprüfung, vol.12, Nr.4, April 1970, p.124-131
318. MAGRATH A.H.; HOGLERS R.O.; GRIMES K.C.: Securi și vibrații la avioane și rachete. In : C.M.Harris ; C.E.Crede : Securi și vibrații. Editura tehnică București, 1969, vol.III p.399-460
319. MAIDANIK G.: Use of Delta Function for the Correlations of Pressure Fields. The Journal of the Acoustical Society of America, vol.33, Nr.11, Nov.1961, p.1598-1606
320. MAINS R.M.: Minimizing Damage from Random Vibration. The Journal of the Acoustical Society of America, vol.30, Nr. 12, Dec.1958, p.1127-1130
321. MARIAN J.: Interpretation of fatigue strengths for combined stresses. In : Proceedings of the International Conference on Fatigue of Metals, London 1956, p.184-194
322. MATOLCSI M.: Eine neue methode zur darstellung der ergebnisse von dauerversuchen und zur ermittelung der ermüdungsgrenze In : Vorträge des III.Kongresses über materialprüfung, I sektion für mechanische technologie. Budapest, 1-5 sept. 1964, p.227-242
323. MATOLCSY M.: Praktische Durchführung der wahrscheinlichkeitstheoretischen Auswertung von Dauerschwingversuchen, Materialprüfung, vol.9, Nr.6, 1967, p.213-217
324. MATOLCSY M.: Service strength of fatigue-cracked plate structures. Materialprüfung, vol.10, Nr.12, 1968, p.404-410
325. MATOLCSY M.: Logarithmic rule of fatigue life scatters. Materialprüfung, 11, Nr.6/1969, p.196-200
326. MATOLCSY M.: Development and present-day state of the fatigue damage theories. Acta technica, Academiae Scientiarum Hungaricae, Tomus 72, Fasciculi 3-4, p.347-375, Budapesta 1972
327. McCLINTOCK F.A.: The statistical theory of size and shape effects in fatigue. J. of Appl. Mech., vol.22, Nr.3, sept. 1955, p.421-426
328. McCLINTOCK F.A.: A criterion for minimum scatter in fatigue testing. J. of Appl. Mech., vol.22, Nr.3, sept.1955, p.427-431
329. McCLINTOCK F.A.: The statistical planning and interpretation of fatigue tests. In : Metal Fatigue. Edited by George Sines ; J.L.Weisman. London 1959, p.112-141

330. MEDELI V.B.: Proiectivovanie mehanicescoi ciasti elektro-podvijnovo sostava. Moscova, Transjeldoržuzat, 1963
331. MEDVEDEV S.F.: Tseliceskaia procinosti metallov. Maghiz Moskva 1961
332. MEISNER A.B.; BELCISOV N.V.; KOCALV P.V.: Veroiatnosti ustalostnovo povrejdienia rami telejki locomotiva. Iz : "Mehaniceskaja ustalosti v statisticeskom aspekte p.135-141. Izdatelstvo "Nauka" Moskva 1969
333. MIHAILA N.: Introducere în teoria probabilităților și statistica matematică. Ed.Didactica și pedagogică, București 1965
334. MIHOC Gh.; FIRIȘCU D.: Statistică matematică. Editura didactică și pedagogică, București, 1966
335. MIHOC Gh.; CIUCU G.; CRAIU V.: Teoria probabilităților și statistica matematică. Editura didactică și pedagogică București, 1970
336. MIHOC Gh.; CRAIU M.: Inferența statistică pentru variabile dependente. Editura Academiei R.S.R., București, 1972
337. MILES W.J.; THOMSON T.W.: Metode statistice în studiul vibrațiilor. In : C.M.Harris ; C...Crede : Socuri și vibrații, Editura tehnică București, 1968, vol.1, Cap.11, p.394-413
338. MILES W.J.: On structural fatigue under random loading. J.Aero. Sci.21, 1954, p.753-762
339. MINER M.A.: Estimation of fatigue life with particular emphasis on cumulative damage. In : Metal Fatigue. Edited by George Sines ; J.L.Waisman. London 1959, p.278-289
- 340.\* MINER M.A.: Cumulative damage in fatigue. Journal of Applied Mechanics, vol.12, Sept.1945, p.159-164
341. MOCANU D.R.; BUGA M.; BURADA C.; BARTLE M.: Calcule de rezistență. Probleme speciale din domeniul feroviar. Centrul de documentare și publicații tehnice E.T., 1971
342. MORROW C.T.: Averaging time and data reduction time for random vibration spectra. J.Acoust. Soc.Amer. 30, 1958, p.456-461 , 572-578
343. MÜLLER R.: Eine approximative Bestimmung des Scherfeldes. Materialprüfung, vol.7, Nr.1, 1965, p.6-11
344. MUNTĂNANU I.I.: Calculul structurilor spațiale în formulare matriceală. Editura Facla, Timișoara, 1973
345. MUNTĂNANU G.: Calculul tracțiunii trenurilor și frâne automate. Editura didactică și pedagogică, București, 1964
346. NADASAN St.; BERNATH A.; IOVITIU E.; SAFTA V.: Contribuții la determinarea rezistenței la oboseală la șelurile nealiate fabricate în R.P.R. A IV-a consfătuire de sudură și încercări de metale, Timișoara, 12-15 oct.1962, caietul II/2, p.139-150
347. NADASAN St.; HOROVITZ B.; BERNATH A.; SAFTA V.: Oboseala metalelor. Editura tehnică, București, 1962
348. NADASAN St.: Rezistența materialelor, vol.IV. Introducere în noile calcule de rezistență. Ed.did.și ped.București,1963

349. NADASAN St.: Aspecte din dezvoltarea cercetarilor din Republica Populară Română asupra rupei prin oboseală și a rupei fragile. A V-a consfătuire de sudură și încercări de metale, Timișoara, p.5-22
350. NADASAN St. ș.a.: Mărirea rezistenței la oboseală prin acoperiri electrolitice cu un aliaj Ni-Fe. A IV-a consfătuire de sudură și încercări de metale, Timișoara, 12-15 oct. 1962, caietul II/2, p.151-159
351. NADASAN St.: Isledovanie ustalosti stalei v Rumînscoi Narodnoi Respublike. Iz : "Voprosi mehaniceskoi ustalosti" pod redakției S.V.Serensena. Izdatelstvo "Mașinostroenie" Moskva 1964, p.315-330
352. NEWMAN A.P.: The fatigue testing of welded structures. In : Metal Fatigue. Edited by J.A.Pope, London 1959, p.348-365
353. NIKOLSKII L.N.: Particularitățile calculului la durabilitate a construcțiilor cu amortizoare. Din : "Vestnik mașinostroeniia", 49, nr.11, nov.1969, p.9-12 (Documentare selectivă, I.D.T., Proiectarea modernă a mașinilor, Nr.4 1970, p.264-274)
354. O'BRIEN A.J.: Simulation of discrete stochastic loads. Unicity Report No.R-54, September, 1969, University of New South Wales, Kensington, N.S.W.Australia
355. ODING I.A.; IVANOVA V.S.: Fatigue of metals under contact friction. In : Proceedings of the International Conference on Fatigue of Metals, London 1956, p.408-413
356. ODING I.A.; IVANOVA V.S.: Mehanizma zarojdenia trescin ustalosti v metallah i osobennosti ih razvitiia. Iz : "Voprosi mehaniceskoi ustalosti: pod redakției S.V.Serensena. Izdatelstvo "Mașinostroenie" Moskva 1964, p.239-265
357. ONICESCU O.; MIHOC Gh.; IONESCU TULCEA T.C.: Calculul probabilităților și aplicații. Editura Academiei R.S.R., București 1956
358. ONICESCU O.: Principiile teoriei probabilităților. Editura Academiei R.S.R., București, 1969
359. PALMGREN A. : Die Lebensdauer von Kugellagern. Zeitschrift V.D.I. Bd.68 (22 März 1924) p.339-341
360. PALMOV V.A.: Tonkie pliti pod deistviem širokopolosnoi sluciainoi nagruzki. In : "Dinamica i procinosti mașin" Trudî L.P.I. No.252, 1965, p.97-106
361. PANTAZOPOL D.; GHEORGHE DUMITRU : O metodă grafo-analitică de determinare a diagramei Weibull-Alan-Plait în cazul unei împrăstieri mari a datelor experimentale. St.cercet. mec.apl., tom 31, Nr.2, 1972, p.443-450
362. PARILOVSKII G.I.: Spectralnaia plotnostî paspredelenia nerovnostei mikroprofilia dorog i kolebania avtomobilnaia. In : "Avtomobilnaia promișlennosti" Nr.10, 1961, p.25-29
363. PARRY J.S.C.: Further results of fatigue under triaxial stress. In : Proceedings of the International Conference on Fatigue of Metals, London 1956, p.132-137
364. PEMBERTON N.H.: Reporters' Introductions of Papers in London. Session 9 : Engineering and Industrial Significance of Fatigue. Railways, Marine Engines, Welding. In : Proceed



- dings of the International Conference on Fatigue of Metals, London 1956, p.47-52
365. PERVOZVANSKII A.A.: Oțenki efekta linearizații normalnîm slucianîm signalon. In : "Dinamika i procinosti mašin? Trudi L.P.I. No.252/1965, p.147-152
366. PETERSON R.E.; FELLOW B.S.: A method of estimating the fatigue strength of a member having a small ellipsoidal cavity. In : Proceedings of the International Conference on Fatigue of Metals, London 1956, p.110-117
367. PETERSON R.D.: Fatigue cracks and fracture surface - mechanics of development and visual appearance. In : Metal Fatigue. Edited by George Sines ; J.L.Waisman. London 1959, p.68-86
368. PEVZNER Ia.M.; TИHONOV A.A.: Issledovanie statisticeskih svoistv microprofilia osnovnih tipov avtomobilnih dorog. Avtomobilnaia promišlennosti, Nr.1, 1964, p.15-18
369. PENG-CHUN WANG : Metode numerice și matriciale în mecanica construcțiilor, cu aplicații la calculatoare (Traducere din l.engleză), Editura tehnică, București, 1970
370. FISARMKO S.G.; TROCENKO T.V.; GRIAZNOV A.B.: Ustalosti i statisticeskaia procinosti hrupkih metalokeramiceskih materialov. Iz : "Voprosi mehaniceskoj ustalosti" pod redakției S.V.Serensona. Izdatelstvo "Mašinostroenie" Moskva 1964, p.23-45
371. FISARMKO G.S., ș.a.: Ob ispitanii na vnoslivosti predvaritelinuiu rastianutih obrazțov, Zavodskaaia Laboratoria, vol.32, Nr.6, 1966, p.738-739
372. POCITENNII K.B.: O rasseianii dolgovecinosti pri ustalostah ispitaniah. Iz : "Mehaniceskaaia ustalosti v statisticeskom aspekte", p.150-159. Izdatelstvo "Nauka" Moskva 1969
373. POKLEKOWSKI G.; SCHNEIDER W.: Ermittlung der statistischen Gesetzmässigkeit auftretender Betriebsbeanspruchungen. In : Stahl und Eisen, vol.81, 1964, Nr.9, p.542-
374. POXEY G.: Distrugerea prin oboseală a metalelor. Din : R.F.M. Revue française de mécanique, Franța, Nr.27, 1968, p.43-47 (In : "Diagnosticarea ruperii prin oboseală a pieselor metalice", Culegeri de traduceri, I.D.T., București 1970, p.118-124)
375. POPA St.; HILONI C.: Incercarea automobilelor. Editura tehnică, București, 1964
376. POPE J.A.: Theory of fatigue failure. In : Metal Fatigue. Edited by J.A.Pope, London 1959, p.3-23
377. POPE J.A.: Criteria of failure under complex stresses. In : Metal Fatigue. Edited by J.A.Pope, London 1959, p.24-54
378. POPE J.A.: Stress concentration factors. In : Metal Fatigue. Edited by J.A.Pope, London 1959, p.55-80
379. POPE J.A.: Residual stresses and their effect on fatigue. In: Metal Fatigue, Edited by J.A.Pope, London 1959, p.81-102
380. POPE J.A.: Cumulative damage in fatigue. In : Metal Fatigue. Edited by J.A.Pope, London 1959, p.103-112

381. POPE J.A.; BLOOMER N.T.: Statistics as applied to fatigue testing. In : Metal Fatigue. Edited by J.A.Pope, London 1959, p.113-134
382. POPINCEANU G.N.; MERTICARU V.: Contributions au calcul des assemblages soudés aux sollicitations statiques et à la fatigue, simples et composées, fondées sur des recherches expérimentales. Buletinul Institutului politehnic din Iași Serie nouă, Tom.XIV (XVIII), Fasc.3-4, 1968, p.515-525
383. POPOV A.A., ș.a.: Studiul rezistenței cadrului boghiurilor vagoanelor de marfă și căile de reducere a greutății sale. (Traducere din l.rusă), București, Editura căilor ferate, 1958
384. POREBSKI T.: Influence of the various shapes of stress spectra on fatigue strength of materials. Proc. of the Second Conference on Dimensioning and Strength Calculations
385. RABEL P.: Application des méthodes statistiques aux essais de fatigue. "Rev. franc. méc." 1971, Nr.37, p.37-46
386. RANCU N.; TOVISSI L.: Statistică matematică cu aplicații în producție. Editura Academiei R.S.R. București 1963
387. RAPIN P.: Une application à l'automobile de la technique des vibrations aléatoires. Revue Française de Mécanique, 1963, Nr.7 și 8, p.27-34
388. RAPIN P.: Comportement d'un véhicule automobile soumis à des excitations aléatoires. Mémoire présenté le 14 avril 1965, au Symposium IUTAM "Récents Progrès de la Mécanique des Vibrations Linéaires" p.51-58
389. RAGER H.W.: Fatigue analysis and measurement of random loading. In : "Madayag F.A.: Metal fatigue : theory and design", New York, 1969, p.247-288
390. RATIU M.: Încercări la oboseală sub presiune de contact alternantă. Cercetări metalurgice, vol.7, 1965
391. RATIU M.: Despre degradarea suprafețelor sub acțiunea unei presiuni de contact alternante. A V-a conferință de sudură și încercări de metale, Timișoara, 1965, p.621-634
392. RATIU M.: Influența rigidității îmbinărilor sudate asupra spectrului solicitărilor. A VI-a conferință de sudură și încercări de metale, Timișoara, 1969, p.67-86
393. RAUTU S.; BANUT V.: Direcții de cercetare în proiectarea optimă a structurilor de rezistență. Studii și cercetări de mecanică aplicată, tom 31, Nr.2, 1972, p.451-472
394. RBTI P.: Hegesztett motorkerékpárszerkezetek vizsgálata dinamikus igénybevételkel. Gép 1959, 11, évf. 1.sz. p.29-33
395. RBTI P.: Caracterul și influența dispersiei rezultatelor experimentale asupra construcției curbei Wöhler. A. IV-a conferință de sudură și încercări de metale, Timișoara, 12-15 oct.1962, caietul II/2, p.161-182
396. RBTI P.: Motorkerékpárvázak laboratóriumi és országúti vizsgálatai során szerzett tapasztalatok. Járművek, Mezőgazdasági Gépek 11. évfolyam, 1964, 1.szám, p.17-22

397. RICE O.S.: Mathematical Analysis of Random Noise. Bell System Technical Journal 23 : 282-332 (1944) . 24 : 46-156 (1945)
398. ROBSON J.D.; ROBERTS J.W.: A Theoretical Basis for the Practical Simulation of Random Motions. Journal Mechanical Engineering Science, vol.7, Nr.3, 1965, p.246-251
399. ROBSON J.D.: Basic theory of profile excitation. Sept.1967 - manuscris -
400. ROBSON J.D.: Deductions from the spectra of vehicle response due to road profile excitation. J.Sound Vib. (1968) 7 (2) p.156-158
401. ROBSON J.D.: Response of a vibratory system to imposed-displacement excitation. Int.J.mech.Sci.Pergamon Press, 1969 vol.11, p.519-524
402. ROBSON J.D.: Deductions from profile-excited random vibration response. Proceedings of the twelfth international congress of applied mechanics. Stanford University, August 1968, p.350-355 (Edited by M.Hetényi and N.C.Vincenti, N.Y. 1969)
403. ROBSON J.D.: The random vibration response of a system having many degrees of freedom. The Aeronautical Quarterly
404. ROMANOV M.F.: Vliavlenie scriftih periodicnosti v prisutstvi korrelirovannih shumov. In : "Dinamika i procinosti mašin" Trudî L.P.I. No.252/1965, p.140-
405. ROTKOP L.L.: Statisticeskija metodî issledovanie na elektromnih modeliah. "Energhia"- Moskva, 1967
406. ROZANOV A.Iu.: Staționarnie slucainîe procesi. Gosudarstvennoe izdatelstvo fizico-matematicescoi literaturî, Moskva, 1963
407. SACCHI G.: Formularea variațională a greutatei minime a structurilor. Din : "Journal de Mécanique" Franța, 10, nr.1, mar.1971, p.5-11 (Documentare selectiva, I.D.T., Mecanica Nr.12/1971, p.1026-1033)
408. SANDOR L.A.,ș.a.: Vagoni. Construcția, teoria i rasciet. Moscova, Transportizdatelstvo, 1966
409. SAVANT J.C.: Calculul sistemelor automate. (Bazele proiectării sistemelor de reglare automată). Traducere din I. engleza (S.U.A.) Editura tehnica, București, 1967
410. SCHACHTER S.: Aplicații ale calculului de obosală la fiabilitatea de previziune. Din : "Revue Française de Mécanique" Franța, nr.34, Trim.III, 1970, p.9-14 (Documentare selectivă, I.D.T., Rezistența materialelor Nr.2/1971, p.157-167)
411. SCHIJVE J.: The endurance under program-fatigue testing. In: Full-Scale Fatigue Testing of Aircraft Structures. Proceedings of the symposium held in Amsterdam, June 1959. Edited by F.J.Plantema ; J.Schijve. Pergamon press.London 1961, p.41-60
412. SCHUETTE H.L.: Reporters' Introductions of Papers in New York. Session C-1 : Cumulative Damage, Statistical Aspect, Repeated Strain Cycling, Effect of Frequency. In : Proceedings of the International Conference on Fatigue of Metals, London 1956, p.61-63

413. SCHWEER W.: Beanspruchungskollektive als Bemessungsgrundlage für Hüttenwerkskrane. In : "Stahl und Eisen" Nr.3, vol.84, 1964 p.138-
414. SELIHOV F.A.; HLEBNIKOVA G.I.: Metodika statističeskei očenki poroga čuvstvitelnosti ustalostnoi doligovečivosti. Iz : "Mehaničeskaja ustalosti v statističeskom aspekte" p.41-51 Izdatelstvo "Nauka" Moskva 1969
415. SENIK V.Ia.: Statističeskaja obrabotka rezultatov ustalostnih ispitani pri ograničenoj baze. Zavodskaja Laboratorija, vol.33, Nr.3/1967, p.336-339
416. SERENSEN S.W.: On the endurance of cast iron and steel under repeated loading of varying amplitude. In : Proceedings of the International Conference on Fatigue of Metals, London 1956, p.310-316
417. SERENSEN S.W.; ZOGAEV P.V.; SNEIDEROVICI M.R.: Nesuščaja sposobnost i pascioti detalei mašin na procinosti. Glava IV: Procinosti i osnovi pasciota pri nestacionarnih peremennih napriajeniah. Izd. vtoroe, Mašghiz, Moskva 1963, p.208-224
418. SERENSEN S.W.: Nakoplenie ustalostnovo povreždenia pri nestacionarnoi napriajennosti. Iz : "Voprosi mehaničeskei ustalosti" pod redakcijei S.V.Serensena. Izdatelstvo "Mašinstroenie" Moskva 1964, p.139-166
419. SERENSEN S.W.; KOGAEV P.V.: Veroiatnostnie metodi rassciota na procinosti pri peremennih nagryzkah. Iz : "Mehaničeskaja ustalosti v statističeskom aspekte" p.117-134. Izdatelstvo "Nauka" Moskva 1969
420. SERENSEN S.W.: O statističeskom aspekte procinosti pri peremennih napriajeniah. Iz : "Mehaničeskaja ustalosti v statističeskom aspekte" p.3-11. Izdatelstvo "Nauka" Moskva 1969
421. SILAEV A.A.: Spektralnaia teorija podressorivania transportnih mašin. Mašghiz, Moskva 1963, 167 p.
422. SINES G.; WAISMAN J.L.: Metal Fatigue. Mc Graw-Hill Book Company, Londra, New York, 1959
423. SINES G.; WAISMAN J.L.: The problem of metal fatigue. In : Metal Fatigue, Edited by Georges Sines ; J.L.Waisman, London 1959, p.3-6
424. SLOBODIANUK V.Ia.: Metod i ustroistvo dlia proizvedenia neprovivnogo spectra nagruzok. Zavodskaja Laboratorija, vol.33 Nr.1/1967, p.85-88
425. SKITS I.T.; SMITH A.D.; LAMBERT F.R.: Crest and Extremal Statistics of a Square-Law-Derived Random Process. The Journal of the Acoustical Society of America, vol.34, Nr. 12, Dec.1962, p.1859-1864
426. SORENSEN A.: A general theory of fatigue damage accumulation. Journal of Basic Engineering, Trans.A.S.M.E. Series D., vol.91, Nr.1, 1969, p.1-14
427. STAVL G.: Beitrag zur Schnittkraftermittlung für symmetrische Drehgestell- und Starr-Rahmen. In : Glasers Annalen, Nr.6 si Nr.11/1964
428. STEPNOV M.N., s.a.: K voprosu o forsirovanii ustalostnih ispitani legkih splavov. Zavodskaja Laboratorija, vol.33, Nr.3/1967, p.331-335

429. STEPNOV M.N., s.a.: O primenenii metoda Prot k ispitaniiam legkih splavov na ustalosti. Zavodskaya Laboratoriya, vol.33, Nr.7, 1967, p.868-870
430. STEPNOV M.N.; SUHMIN A.Iu.: O primenenii uskorenykh metodov Prot i ENomoto dlia otenki karakteristik ustalosti legkih splavov i ih rasseianiia. Iz: "Mehaničeskaya ustalosti v statističeskom aspekte", p.81-91. Izdatelstvo "Nauka" Moskva 1969
431. STEPANOVICI G.Iu.; POJARITKII N.L.; OSNOKOV A.V.; HRALOV B.Iu.; BURDASOV I.L.: K metodike opredelenia nagruzocnykh rejimov detaloi avtomobilia. Iz: "Mehaničeskaya ustalosti v statističeskom aspekte", p.160-169. Izdatelstvo "Nauka", Moskva 1969
432. STUART D.R.: Introducere în analiza Fourier, cu aplicații în tehnică (traducere din l. engleză). Editura tehnica București 1971
433. SVESNIKOV A.A.: Prikladnie metody teorii sluciainih functii. Sudprom GIZ, Leningrad, 1961
434. SASIN M.Ia.; BUZULV Iu.A.: O povrejdenii metalla na raznykh stadiiah ustalostnogo processa. Zavodsk. Laboratoriya, Nr.1 (40) 1974, p.86-88
435. SKOLNIK L.M.K.: Skorosti rosta trescin i jivucesti metalla "Metallurgia", 1975
- 436<sup>x</sup>) TAYLOR G.I.: Diffusion by continuous movements. Proc.Lond. Math. Soc.(2), 20, 196-212/1920
437. TAYLOR J.: Fatigue loading actions on transport aircraft. In: "Proceedings of the International Conference on Fatigue of Metals", London 1956, p.050-057
438. TAYLOR J.: Fatigue loads and their effect on aircraft structures. In: Metal Fatigue. Edited by J.A.Pope, London 1959, p.308-320
439. THOMSON W.T.; BARTON M.V.: The response of mechanical systems to random excitation. J.of Appl.Mech., vol.24, Nr.3, 1957 p.248-251
440. TRUFIKOV I.V.: Ustalosti i hrupkoe razrušenie svarnykh soedinenii. Iz: "Voprosi mehaničeskoj ustalosti" pod redakciei G.V.Serensena. Izdatelstvo "Mašinstroenie" Moskva 1964, p.46-56
441. UJIK V.G.: Hrupkoe razrušenie pri peremennykh nagruzkah. Iz: "Voprosi mehaničeskoj ustalosti" pod redakciei G.V.Serensena. Izdatelstvo "Mašinstroenie" Moskva 1964, p.7-22
442. UMANSKII Ia.S., s.a.: Zavisimosti ustalostnoi procinosti ot poverhnostnogo uprocinenia metallov. Metallovedenie, Nr.3, 1970, p.29-31
443. URSS C.: Dinamica materialului rulant ce cale ferată. Editura I.P.T., 1967
444. USHER Th.: Average Control for Sinusoidal and Random Vibration Testing. The Journal of the Acoustical Society of America, vol.41, Nr.4/1967, p.840-84

445. UZHIX G.V.: Mechanical aspect of size effect on fatigue of metals. In : Proceedings of the International Conference on Fatigue of Metals, London 1956, p.222-225
446. VAGANOV D.n.: Statisticeskie i deterministskie zakonomernosti ustalosti i vozmojnost ih modelirovania. Iz : "Voprosi mehaniceskoi ustalosti" pod redakciei C.V.Serensena Izdatelstvo "apinostroenie" Moskva 1964, p.101-138
447. VALLAT P.: "Caravelle complete structure fatigue tests development and analysis. In : Full-scale Fatigue Testing of Aircraft Structures. Proceedings of the symposium held in Amsterdam, June 1959. Edited by F.J.Plantema ; J. Schijve, Pergamon press, London, 1961, p.278-310
448. VAN R.F.F.: Securi și vibrații la nave. In : C.M.Harris; C.L. Crede : Securi și vibrații. Editura tehnica, București, 1969, cap.40, p.382-398
449. V. DEMYER L.: Kolebania avtomobilii i avigatelia (L.A. DEMYER : Schwingungen des Kraftfahrzeuges und der motoren) Avtotransizdat, Moskva, 1959, 142 pag.
450. VIGNES R.: Izmerenia, tehniceskii ustoviiia i metodi ispitanii. In : S.Srendell : Sluciainie kolebania. Izd. "Mir" Moskva 1967, Glava 8, p.211-261
451. VINOUCUROV L.V.: Vagoane (traducere din l.rusă). Editura tehnică a transporturilor, București, 1951
452. VOLKOV D.S.: Statisticeskaia teoria procinosti. Mashiz, Moskva 1960
453. VORONTOVA N.I.; M. LEFANT S.B.; LUNEV I.S.; OENOKOV V.A.; STEFANOVICI Iu.G.: Tenzometrirovanie detalei avtomobilii. Moskva, Mashiz, 1962
454. MADAYAG A.F.; BROUWERHUIJ P.: Very high-speed fatigue testing. In : Proceedings of the International Conference on Fatigue of Metals, London 1956, p.361-369
455. WICK R.: The fatigue problem in welded construction. In : Proceedings of the International Conference on Fatigue of Metals, London 1956, p.704-712
456. WHIPMAN J.G.: Fatigue properties of welds. In : Metal Fatigue Edited by J.A.Pope, London 1959, p.295-307
- 457<sup>x</sup>) WIENER N.: Generalized harmonic analysis. Acta Math.55, 117-258/1930
458. WICK ORRIS G.J.: The fatigue testing of aircraft structures. In : Full-scale Fatigue Testing of Aircraft Structures. Proceedings of the symposium held in Amsterdam, June 1959. Edited by F.J.Plantema ; J.Schijve. Pergamon press.London, 1961, p.210-232
459. WOOD W.A.: Failure of metals under cyclic strain. In : Proceedings of the International Conference on Fatigue of Metals, London 1956, p.531-534
460. ZADLER L.; NAGHIZINI J.: An extension of Wiener's Theory of Prediction, Journ. of Appl.Physics, vol.21, 1950
461. YAN Ch.S.: Interpretation of fatigue data. In : Metal Fatigue. Theory and Design, edited by Madayag A.F., John Wiley and Sons Inc., New York 1969, p.107-139

462. YEN Ch.S.: Fatigue statistical analysis. In : "Madayag F.A.: Metal fatigue: theory and design" New York, 1969, p.140-169
463. YOKOBORI T.: Unified Engineering Theory of Metal Fatigue. The Technology Reports of the Tohoku University, vol.27 (1963), Nr.2, March, p.143-163
464. YOKOBORI T.; MASATAKE N.: Fatigue Crack Propagation in the High Hardened Steel. Reports of the Research Institute for Strength and Fracture of Materials. Tohoku University vol.2, Nr.2, December 1966, p.29-44
465. YOKOBORI T.; MASAHIRO I.: Effect of Elastic-Plastic Stress Distribution near the Crack Tip on the Nucleation Theory of Fatigue Crack Propagation. The Research Institute for Strength and Fracture of Materials. Tohoku University, vol.4, Nr.2, December 1968, p.45-53
466. YOKOBORI T.; ASAMICHI K.; MASAHIRO I.: A criterion for Unstable Elastic-Plastic Fracture Based on Energy Balance Considerations. The Research Institute for Strength and Fracture of Materials. Tohoku University, vol.4, Nr.1, October 1968, p.1-10
467. YOKOBORI T.; NANSU M.; FUKUCHI N.: On the initiation and propagation of fatigue crack. Proc. 3rd. Conference on Dimensioning, Budapest 1968, p.321-332
468. YOKOBORI T.; KAWAGISHI M.; YOSHIMURA T.: Kinetic aspects of fatigue crack propagation. Proceedings of the Second International Conference on Fracture. Brighton, April 1969, p.803-811
469. YOUNG L.: Fatigue analyses. In : "Madayag F.A.: Metal fatigue theory and design" New York, 1969, p.339-370
470. x x x : The Institution of Mechanical Engineers. The American Society of Mechanical Engineers. Proceedings of the International Conference on Fatigue of Metals. London Sept.1956, New York, Nov.1956
471. x x x : The Weibull distribution function for fatigue life. Materials research et standards, May 1962, p.405-411
472. x x x : Norme pentru calculul de rezistență și proiectarea părții mecanice a vagoanelor noi și modernizate pentru calea ferată cu ecartament de 1524 mm, elaborate de Institutul unional de cercetări științifice căi ferate, Moscova 1966
473. x x x : Regulament de exploatare tehnică C.F.R.
474. x x x : Standardisation de wagons. Report B.12/14/P Utrecht, Protocol C.R.M. 1967

**Lucrările notate cu x) nu au fost cercetate de autor.**

COMPLETARE - BIBLIOGRAFIE

Necesități de prezentare a unor noțiuni generale ale tezei precum și publicarea ulterioară redactării a unor luări de către autor, au impus completarea formei inițiale a bibliografiei, redată în continuare.

475. NICOLAENCO A.N.: Veroliatnostie metodî dinamiceskovo rassciota masinostroitelnih konstrukcii. Izdatelstvo "Masinostroenie", Moskva, 1967
476. IFRIM M.: Analiza dinamică a structurilor și inginerie seismică. Editura did. și ped. București, 1973
477. IFRIM M.; DOBRESCU Al.: Aplicații în analiza dinamică a structurilor și inginerie seismică. Edit. did. și ped. București, 1974
478. BOLOTIN V.V.: Primenenie metodov teorii veroliatnostei i teorii nadejdosti v rassciotah seorujenii. Moskva, 1971
479. PUGACIEV V.S.: Teoria slucaiaih funkciî. F.M., Moskva, 1962
480. BOLANTU L.; DOBRE I.: Analiza statistică a spectrelor de solicitări ale mașinilor de ridicat și transportat. Lucrare prezentată la sesiunea științifică a I.P.T. din 26-28 oct. 1974
481. DOBRE I.: Aproximarea funcțiilor de autocorelație întâlnite în dinamica vehiculelor. Lucrare prezentată la sesiunea științifică a I.P.T. din 26-28 oct. 1974
482. DOBRE I.: Metode statistice în studiul vibrațiilor. Referat pentru doctorat, 1972, 130 pag. Biblioteca catedrei de Mecanică și rezistența materialelor.
483. DOBRE I.: Stand și metodă pentru încercarea la vibrații și durabilitate a structurilor de vehicule. Dosar OGIM 83911/14. I. 1975
484. BOLANTU L.; DOBRE I.; BALOGH I.: Stand pentru încercarea la rezonanță a structurilor de rezistență. Dosar OGIM 83913/14. II. 1975
485. DOBRE I.; DOBRE S.: Wahrscheinlichkeitsanalyse betreffend die Überschreitungen der bezugsniveaus bei aleatorischen beanspruchungen. Publicată în lucrările "Sesiunii științifice jubiliare" a Școlii superioare tehnice din BRNO-R.S. Cehoslovacia, 9-13 iunie 1975, p.1-4
486. DOBRE I.: Untersuchungen über die dauerhaltbarkeit von dünnwandigen geschweissten röhren aus weichstahl. Publicată în lucrările "Sesiunii științifice jubiliare" a Școlii superioare tehnice din BRNO-R.S. Cehoslovacia, 9-13 iunie 1975, p.1-4
487. DOBRE I.: Contributions to the study of the variance of the linear oscillator response when excited by an ergodic and stationary random process. Buletinul I.P.T., Seria matematică, Tom 20(34), Fasc.1/1975, p.27-28



488. DOBRI I.: Caracteristici statistice ale răspunsului sistemelor oscilante la excitații aleatoare. Lucrările conferinței "Vibrații în construcția de mașini" Timișoara 31.X.1975, vol.II, p.147-156
489. DOBRI I.: Asupra mișcărilor oscilatorii ale unui șasiu de vehicul redus la un model cu trei grade de libertate. Lucrările conferinței "Vibrații în construcția de mașini", Timișoara 31.X.1975, vol.II, p.157-166
490. RAUTU S.; BANUT V.: Statica construcțiilor. Editura did. și pedagogică, București, 1973
491. RADU AGENT : Sisteme reticulare nedeterminate. Editura tehnică, București, 1970
492. GHEORGHIU ALEX.: Statica construcțiilor, vol.II. Structuri static nedeterminate. Editura tehnică, București, 1965
493. GHEORGHIU ALEX.: Concepții moderne în calculul structurilor. Editura tehnică, București, 1975
494. SILAS GH.: Mecanică. Vibrații mecanice. Editura did. și pedagogică, București, 1968
495. SILAS GH.; RADOI M.; BRENDU L.; KLEPP H.; HEGEDŪS A.: Culegere de probleme de vibrații mecanice. Editura tehnică, București, vol.I/1967 ; vol.II/1973
496. SILAS GH.; BRENDU L.: Metoda de aproximare pentru studiul vibrațiilor tranzitorii în sisteme liniare. Lucrările conferinței "Vibrații în construcția de mașini" Timișoara, 1975, Partea II-a, p.439-442
497. GROMANU I.: Studiul dinamicii unor agregate cu legături elastice neliniare și raport de transmisie variabil. Lucrările conferinței "Vibrații în construcția de mașini" Timișoara, 1975, Partea I-a, p.221-226
498. CIOCILOV D.: Rezistența și fiabilitatea la solicitări variabile. Editura Facla, 1975
499. SPATARU AL.: Teoria transmisiunii informației. Semnale și perturbări. Editura tehnică, București, 1966
500. SEBASTIAN L.: Automatica. Editura did. și pedagogică, București, 1973
501. LAMING D.J.H.; BERTIN R.G.: Sluciainie proťessi v zadaciakh avtomaticeskovo upravleniia, I.L., Moskva 1958
502. MANGLROI D.I.; CHIRIACESCU S.T.: Reprezentarea intrare-statiesire în teoria vibrațiilor sistemelor liniare. Lucrările conferinței "Vibrații în construcția de mașini" Timișoara, 1975, Partea II-a, p.279-286
503. BUZDUGAN GH.; FLTCU L.; RADUS M.: Vibrațiile sistemelor mecanice. Editura Academiei R.S.R., București, 1975
504. OLARIU V.: Vibrațiile neliniare cu 9 grade de libertate ale autovehiculelor. Lucrările conferinței "Vibrații în construcția de mașini" Timișoara, 1975, Partea II-a, p.311-314
505. DEUTSCH I.; OLARIU V.; TOFAN M.: Influența vibrațiilor caroseriei asupra reacțiunilor dinamice ale autovehiculelor la deplasarea în curbă. Lucrările conferinței "Vibrații în construcția de mașini", Timișoara, 1975, Partea I-a, p.141-146

1. BOLLANTU L.; DOBRE I.; DIMITRIU A.: Etude de parantrea statistiques des caractéristiques mécaniques aux charges d'acier pour béton au profile variable. Studii și cercetări de metalurgie, Editura Academiei, 1969
2. BOLLANTU L.; DOBRE I.: Die Wahrscheinlichkeitsberechnung des Laststufenfaktors in der untersuchung der statischen Festigkeitswerte von stählen. Publicata în lucrările sesiunii științifice jubiliare a Școlii superioare tehnice din R.S.Ceșoslovacia, p.1-12
3. DOBRE I.: New elements concerning the response of oscillator systems subjected to random excitations in the correlation theory. In curs de publicare la Suletinul I.S.S.S.
4. MITRACIU M.: Modelarea transmisiei de autovehicule pentru determinarea funcțiilor de transfer al influenței perturbărilor aleatoare din partea drumului și perturbărilor determinate din partea motorului asupra sollicitărilor din transmisie. Lucrările conferinței "Vibrații în construcția de mașini", Sibiu, 1975, p.295-304
5. DOBRE I.: Caracteristicii numerice privind analiza sistemelor elastice supuse excitațiilor stohastice staționare. În lucrările : "Cel de-al II-lea Simpozion de Mecanisme și Transmisii Mecanice" (M.T.M.) Reșița 1976, p.1475-1480
6. DOBRE I.: Considerații noi privind degradarea cumulativă a metalelor sub acțiunea sarcinilor variabile.  
ASIT Brașov 1976
7. HALCHINI C.; BURLACU C.: Încercarea electrotensometrică a boghiului Y25-Cs. Protocol elaborat de Institutul de studii și cercetări transporturi pentru G.U.C.V.Arăd, în 1972
8. DOBRE I.: Statistica spectrelor de deformații măsurate prin tensometrie. În pregătire pentru "Conferința de tensometrie" Iași 1977

**Anexa Nr.1** Valorile numerice ale înălțimilor microprofilurilor  
 căilor de rulare (drumurilor) studiate, care au stat  
 la baza determinării funcțiilor de autocorelație

**Tabelul A.1.1. : Profilul Nr.1 (n = 301)**

Nr. ort.	x (cm)	Nr. ort.	x (cm)	Nr. ort.	x (cm)	Nr. ort.	x (cm)	Nr. ort.	x (cm)
1.	3,15	46.	21,72	91.	25,72	136.	27,14	181.	33,14
2.	3,57	47.	22,84	92.	25,68	137.	27,38	182.	34,00
3.	3,76	48.	23,66	93.	25,14	138.	27,50	183.	33,75
4.	4,00	49.	24,52	94.	24,75	139.	27,30	184.	33,00
5.	4,49	50.	25,08	95.	24,12	140.	26,80	185.	31,20
6.	4,86	51.	25,72	96.	23,43	141.	25,72	186.	30,00
7.	5,51	52.	26,11	97.	23,05	142.	25,00	187.	27,48
8.	6,12	53.	26,40	98.	22,60	143.	24,00	188.	25,00
9.	6,50	54.	26,56	99.	22,21	144.	23,21	189.	22,48
10.	6,86	55.	26,56	100.	21,81	145.	22,58	190.	20,50
11.	7,14	56.	26,57	101.	21,43	146.	22,00	191.	19,43
12.	7,56	57.	26,50	102.	20,84	147.	21,12	192.	19,31
13.	7,85	58.	26,60	103.	20,21	148.	20,48	193.	19,30
14.	8,24	59.	26,60	104.	19,76	149.	19,66	194.	19,68
15.	8,42	60.	26,55	105.	19,12	150.	18,98	195.	20,98
16.	8,57	61.	26,57	106.	18,57	151.	18,57	196.	23,72
17.	9,12	62.	26,75	107.	18,30	152.	18,69	197.	25,68
18.	9,50	63.	27,00	108.	18,25	153.	18,75	198.	27,32
19.	9,72	64.	27,42	109.	18,72	154.	19,12	199.	28,78
20.	9,84	65.	27,86	110.	19,71	155.	19,50	200.	30,52
21.	10,00	66.	28,57	111.	22,86	156.	20,00	201.	31,43
22.	10,36	67.	29,21	112.	23,91	157.	20,75	202.	32,04
23.	10,70	68.	29,62	113.	25,02	158.	21,24	203.	32,00
24.	11,22	69.	29,78	114.	25,47	159.	21,62	204.	31,76
25.	11,68	70.	30,00	115.	25,60	160.	22,08	205.	31,00
26.	12,57	71.	30,00	116.	25,72	161.	22,56	206.	30,00
27.	13,12	72.	30,00	117.	25,48	162.	22,40	207.	25,00
28.	13,88	73.	30,00	118.	24,72	163.	21,92	208.	22,30
29.	14,75	74.	29,81	119.	23,68	164.	21,36	209.	21,52
30.	15,38	75.	29,00	120.	22,50	165.	20,66	210.	24,20
31.	15,72	76.	27,94	121.	21,14	166.	20,00	211.	36,28
32.	16,02	77.	26,09	122.	20,62	167.	19,62	212.	39,48
33.	15,92	78.	25,31	123.	20,00	168.	19,14	213.	42,56
34.	15,90	79.	24,82	124.	19,38	169.	18,64	214.	44,82
35.	15,82	80.	24,30	125.	18,87	170.	18,52	215.	46,20
36.	15,72	81.	23,72	126.	18,57	171.	18,57	216.	47,14
37.	15,70	82.	23,60	127.	19,12	172.	19,18	217.	46,82
38.	15,75	83.	23,51	128.	20,56	173.	20,14	218.	45,77
39.	15,75	84.	23,55	129.	22,31	174.	21,20	219.	44,00
40.	15,90	85.	23,82	130.	23,48	175.	22,64	220.	40,68
41.	16,00	86.	24,29	131.	24,29	176.	24,29	221.	38,00
42.	16,52	87.	24,53	132.	24,88	177.	25,42	222.	35,12
43.	17,46	88.	25,00	133.	25,62	178.	27,25	223.	32,50
44.	18,50	89.	25,42	134.	26,00	179.	28,86	224.	31,00
45.	20,25	90.	25,67	135.	26,75	180.	31,35	225.	30,28

Nr. crt.	x (cm)	Nr. crt.	x (cm)	Nr. crt.	x (cm)	Nr. crt.	x (cm)	Nr. crt.	x (cm)
226.	30,00	241.	38,56	256.	49,43	271.	42,86	286.	44,28
227.	30,00	242.	38,08	257.	49,82	272.	43,18	287.	43,36
228.	30,96	243.	37,82	258.	50,00	273.	43,66	288.	42,18
229.	33,12	244.	37,64	259.	49,86	274.	44,00	289.	40,89
230.	36,92	245.	38,00	260.	49,62	275.	44,48	290.	39,22
231.	40,86	246.	38,57	261.	49,43	276.	44,86	291.	38,57
232.	42,74	247.	39,50	262.	48,72	277.	45,06	292.	38,62
233.	44,00	248.	40,72	263.	47,91	278.	45,42	293.	38,57
234.	45,00	249.	42,00	264.	46,95	279.	45,50	294.	38,60
235.	45,64	250.	43,61	265.	45,80	280.	45,62	295.	38,60
236.	46,00	251.	44,86	266.	44,86	281.	45,71	296.	38,57
237.	45,72	252.	45,80	267.	44,18	282.	45,60	297.	38,57
238.	45,00	253.	46,98	268.	43,65	283.	45,48	298.	38,50
239.	43,00	254.	47,86	269.	43,38	284.	45,00	299.	38,52
240.	40,26	255.	48,68	270.	43,08	285.	44,67	300.	38,57
								301.	38,57

Tabelul A.1.2. : Profilul Nr.II (n = 401)

Nr. crt.	x (cm)	Nr. crt.	x (cm)	Nr. crt.	x (cm)	Nr. crt.	x (cm)	Nr. crt.	x (cm)
1.	8,16	32.	10,78	63.	12,58	94.	22,83	125.	32,11
2.	8,16	33.	10,84	64.	12,41	95.	23,51	126.	31,82
3.	8,14	34.	10,91	65.	12,02	96.	24,54	127.	31,44
4.	8,16	35.	10,98	66.	11,80	97.	25,00	128.	30,85
5.	8,16	36.	11,07	67.	11,38	98.	25,78	129.	30,54
6.	8,16	37.	11,24	68.	10,94	99.	26,53	130.	30,25
7.	8,52	38.	11,48	69.	10,67	100.	26,74	131.	30,00
8.	8,79	39.	11,64	70.	10,51	101.	26,36	132.	30,00
9.	9,00	40.	11,96	71.	10,34	102.	26,00	133.	30,00
10.	9,27	41.	12,16	72.	10,18	103.	25,42	134.	30,00
11.	9,62	42.	11,93	73.	10,06	104.	25,12	135.	30,00
12.	10,12	43.	11,74	74.	10,02	105.	24,85	136.	30,00
13.	10,75	44.	11,51	75.	10,00	106.	24,54	137.	30,13
14.	11,34	45.	11,38	76.	9,98	107.	24,38	138.	30,42
15.	11,78	46.	11,07	77.	10,01	108.	24,16	139.	30,78
16.	12,16	47.	11,05	78.	10,07	109.	24,06	140.	31,05
17.	12,54	48.	11,08	79.	10,42	110.	24,02	141.	31,46
18.	12,66	49.	11,27	80.	10,74	111.	23,81	142.	31,37
19.	12,75	50.	11,54	81.	11,80	112.	24,00	143.	31,03
20.	12,64	51.	11,80	82.	12,32	113.	24,28	144.	30,75
21.	12,53	52.	12,29	83.	13,04	114.	24,86	145.	30,18
22.	12,49	53.	12,84	84.	13,75	115.	25,72	146.	30,00
23.	12,18	54.	13,58	85.	14,86	116.	27,45	147.	30,00
24.	11,78	55.	14,47	86.	15,44	117.	28,00	148.	30,00
25.	11,46	56.	14,71	87.	16,00	118.	28,67	149.	30,00
26.	11,07	57.	14,92	88.	16,85	119.	29,58	150.	30,00
27.	11,00	58.	14,95	89.	17,68	120.	31,14	151.	30,00
28.	10,94	59.	14,74	90.	18,87	121.	32,91	152.	30,21
29.	10,87	60.	14,21	91.	19,81	122.	32,85	153.	30,48
30.	10,75	61.	13,62	92.	20,52	123.	32,52	154.	30,79
31.	10,71	62.	13,30	93.	21,54	124.	32,35	155.	31,57

Nr. ort.	x (cm)	Nr. ort.	x (cm)	Nr. ort.	x (cm)	Nr. ort.	x (cm)	Nr. ort.	x (cm)
156.	32,91	205.	33,11	254.	35,85	303.	29,11	352.	30,00
157.	33,21	206.	33,28	255.	35,53	304.	27,42	353.	30,08
158.	33,12	207.	33,70	256.	35,10	305.	26,18	354.	30,15
159.	32,77	208.	34,27	257.	34,72	306.	25,63	355.	30,41
160.	32,00	209.	35,81	258.	34,56	307.	25,39	356.	30,73
161.	30,73	210.	37,72	259.	34,67	308.	24,76	357.	30,81
162.	30,48	211.	38,37	260.	34,75	309.	24,48	358.	31,00
163.	30,11	212.	38,31	261.	35,10	310.	24,29	359.	31,12
164.	30,00	213.	38,17	262.	35,32	311.	23,45	360.	31,41
165.	30,27	214.	37,78	263.	35,47	312.	23,07	361.	31,82
166.	30,73	215.	37,49	264.	35,71	313.	22,85	362.	32,25
167.	31,05	216.	37,28	265.	35,68	314.	22,67	363.	32,51
168.	31,67	217.	36,84	266.	35,82	315.	22,70	364.	32,76
169.	32,45	218.	36,62	267.	35,94	316.	22,72	365.	33,24
170.	33,03	219.	36,37	268.	35,96	317.	22,49	366.	34,00
171.	33,64	220.	35,96	269.	36,01	318.	22,02	367.	34,31
172.	33,57	221.	35,82	270.	36,18	319.	21,59	368.	34,58
173.	33,51	222.	35,61	271.	36,55	320.	21,32	369.	34,86
174.	33,49	223.	35,53	272.	36,61	321.	21,26	370.	35,27
175.	33,41	224.	35,50	273.	36,82	322.	21,50	371.	35,82
176.	33,28	225.	35,48	274.	37,03	323.	21,94	372.	35,97
177.	33,00	226.	35,46	275.	37,16	324.	22,87	373.	36,12
178.	32,92	227.	35,40	276.	37,64	325.	23,71	374.	36,48
179.	32,87	228.	35,38	277.	37,85	326.	25,23	375.	36,71
180.	32,87	229.	35,42	278.	38,24	327.	27,53	376.	37,28
181.	32,91	230.	35,44	279.	38,51	328.	28,97	377.	37,50
182.	32,98	231.	35,46	280.	38,86	329.	29,48	378.	38,23
183.	33,07	232.	35,54	281.	39,10	330.	28,82	379.	38,81
184.	33,35	233.	36,00	282.	38,83	331.	28,18	380.	39,64
185.	33,46	234.	36,71	283.	38,69	332.	27,54	381.	40,92
186.	33,64	235.	37,58	284.	38,49	333.	27,00	382.	41,48
187.	34,12	236.	38,01	285.	38,26	334.	26,50	383.	42,08
188.	34,48	237.	38,00	286.	38,01	335.	25,96	384.	42,07
189.	34,87	238.	37,78	287.	37,95	336.	25,63	385.	43,09
190.	35,29	239.	37,26	288.	37,81	337.	25,38	386.	43,83
191.	35,82	240.	36,81	289.	37,69	338.	25,11	387.	44,21
192.	35,68	241.	36,55	290.	37,65	339.	25,00	388.	45,03
193.	35,57	242.	36,68	291.	37,64	340.	24,96	389.	46,50
194.	35,00	243.	36,94	292.	37,68	341.	24,90	390.	48,26
195.	34,42	244.	37,48	293.	37,75	342.	25,00	391.	51,48
196.	33,64	245.	37,69	294.	37,82	343.	25,07	392.	52,07
197.	33,50	246.	38,01	295.	37,91	344.	25,26	393.	52,91
198.	33,18	247.	38,14	296.	38,01	345.	25,52	394.	53,55
199.	33,02	248.	38,22	297.	38,11	346.	25,62	395.	54,00
200.	33,00	249.	37,96	298.	38,17	347.	26,84	396.	54,39
201.	32,91	250.	37,57	299.	38,00	348.	27,91	397.	54,49
202.	33,00	251.	37,28	300.	37,53	349.	29,38	398.	54,47
203.	33,04	252.	36,82	301.	36,92	350.	29,95	399.	54,44
204.	33,05	253.	36,37	302.	35,28	351.	30,00	400.	54,41
								401.	54,39

Labelul A.1.3.: Profilul Nr.III (n = 761)

Nr. ort.	x (cm)	Nr. ort.	x (cm)	Nr. ort.	x (cm)	Nr. ort.	x (cm)	Nr. ort.	x (cm)
1.	60,02	54.	42,56	107.	25,42	160.	30,00	213.	25,02
2.	58,67	55.	41,50	108.	25,25	161.	29,44	214.	25,24
3.	57,36	56.	40,00	109.	25,11	162.	29,00	215.	25,52
4.	56,00	57.	38,76	110.	25,36	163.	28,22	216.	25,80
5.	55,24	58.	37,14	111.	25,44	164.	27,39	217.	26,11
6.	54,56	59.	35,42	112.	26,03	165.	27,48	218.	26,75
7.	54,22	60.	34,08	113.	27,42	166.	27,26	219.	27,28
8.	53,58	61.	33,45	114.	28,87	167.	26,77	220.	28,00
9.	53,00	62.	33,86	115.	30,36	168.	26,47	221.	29,08
10.	52,86	63.	35,28	116.	31,99	169.	26,02	222.	29,57
11.	52,74	64.	36,14	117.	32,58	170.	25,75	223.	30,42
12.	52,41	65.	37,00	118.	33,36	171.	25,44	224.	31,17
13.	51,96	66.	37,45	119.	34,00	172.	24,40	225.	32,11
14.	51,57	67.	37,92	120.	34,67	173.	25,36	226.	33,45
15.	51,32	68.	38,28	121.	34,90	174.	25,36	227.	34,67
16.	50,92	69.	38,30	122.	35,51	175.	25,40	228.	35,78
17.	50,77	70.	38,20	123.	36,28	176.	25,44	229.	36,82
18.	50,64	71.	38,18	124.	37,11	177.	25,53	230.	38,41
19.	50,75	72.	37,82	125.	38,69	178.	25,68	231.	40,00
20.	50,89	73.	37,68	126.	40,00	179.	25,96	232.	41,06
21.	50,92	74.	37,43	127.	40,38	180.	26,04	233.	42,68
22.	51,02	75.	37,21	128.	40,36	181.	26,17	234.	43,74
23.	51,05	76.	37,09	129.	40,25	182.	27,00	235.	44,12
24.	51,00	77.	36,42	130.	40,12	183.	27,52	236.	44,37
25.	51,00	78.	35,57	131.	40,00	184.	28,14	237.	44,08
26.	50,92	79.	34,85	132.	40,00	185.	29,06	238.	43,50
27.	50,72	80.	33,76	133.	40,00	186.	30,17	239.	42,42
28.	50,54	81.	32,72	134.	40,00	187.	30,84	240.	41,10
29.	50,38	82.	31,55	135.	40,00	188.	31,57	241.	40,00
30.	50,06	83.	30,00	136.	40,00	189.	32,18	242.	37,89
31.	49,83	84.	28,67	137.	39,77	190.	32,61	243.	34,92
32.	49,28	85.	27,25	138.	39,45	191.	32,72	244.	31,67
33.	48,77	86.	26,17	139.	39,00	192.	32,06	245.	28,92
34.	48,21	87.	26,14	140.	38,47	193.	30,47	246.	27,26
35.	47,53	88.	26,00	141.	38,18	194.	28,94	247.	27,00
36.	46,92	89.	26,00	142.	38,12	195.	27,62	248.	27,12
37.	46,12	90.	26,12	143.	38,04	196.	26,53	249.	34,11
38.	45,68	91.	26,17	144.	38,00	197.	25,18	250.	36,52
39.	45,32	92.	27,00	145.	38,00	198.	23,06	251.	38,82
40.	44,88	93.	28,88	146.	37,82	199.	21,32	252.	38,46
41.	44,37	94.	33,54	147.	37,71	200.	20,47	253.	38,75
42.	44,32	95.	35,61	148.	37,49	201.	19,98	254.	39,00
43.	44,40	96.	36,36	149.	37,04	202.	20,04	255.	39,18
44.	44,35	97.	36,18	150.	36,75	203.	20,30	256.	39,27
45.	44,37	98.	35,00	151.	36,36	204.	20,64	257.	39,02
46.	44,37	99.	33,48	152.	35,42	205.	21,08	258.	38,86
47.	44,37	100.	31,76	153.	34,75	206.	21,80	259.	38,37
48.	44,35	101.	29,81	154.	33,96	207.	22,16	260.	37,12
49.	44,30	102.	28,94	155.	33,12	208.	22,78	261.	36,36
50.	44,32	103.	27,65	156.	32,72	209.	23,44	262.	34,68
51.	44,37	104.	26,89	157.	32,02	210.	23,82	263.	33,04
52.	44,00	105.	26,23	158.	31,47	211.	24,35	264.	31,11
53.	43,32	106.	25,44	159.	30,77	212.	24,68	265.	29,89

Nr. ort.	x (cm)	Nr. ort.	x (cm)	Nr. ort.	x (cm)	Nr. ort.	x (cm)	Nr. ort.	x (cm)
266.	29,08	319.	49,89	372.	52,46	425.	63,89	478.	74,23
267.	27,67	320.	51,27	373.	51,84	426.	65,12	479.	73,56
268.	24,32	321.	53,83	374.	51,48	427.	65,68	480.	73,00
269.	21,92	322.	55,72	375.	51,05	428.	66,33	481.	72,76
270.	19,78	323.	57,00	376.	50,92	429.	67,02	482.	72,70
271.	18,89	324.	57,85	377.	51,63	430.	68,00	483.	72,64
272.	17,68	325.	58,84	378.	53,78	431.	69,12	484.	72,61
273.	16,56	326.	59,66	379.	58,12	432.	69,93	485.	72,69
274.	15,74	327.	59,87	380.	58,75	433.	70,84	486.	72,76
275.	15,00	328.	60,48	381.	59,00	434.	72,04	487.	72,78
276.	14,52	329.	61,37	382.	58,96	435.	73,35	488.	72,84
277.	15,00	330.	62,00	383.	58,57	436.	75,67	489.	72,96
278.	16,48	331.	62,57	384.	57,47	437.	76,69	490.	72,91
279.	19,56	332.	63,00	385.	56,14	438.	78,00	491.	72,78
280.	23,12	333.	63,52	386.	54,56	439.	79,11	492.	72,31
281.	25,80	334.	64,00	387.	52,77	440.	79,87	493.	71,75
282.	26,52	335.	64,76	388.	49,63	441.	80,77	494.	70,63
283.	27,26	336.	65,48	389.	46,81	442.	81,25	495.	69,92
284.	27,84	337.	65,92	390.	43,72	443.	81,92	496.	69,85
285.	28,50	338.	67,08	391.	40,00	444.	82,57	497.	69,77
286.	29,08	339.	68,75	392.	40,00	445.	82,97	498.	69,62
287.	29,42	340.	70,00	393.	40,00	446.	83,68	499.	69,54
288.	29,71	341.	72,76	394.	39,84	447.	83,85	500.	69,36
289.	30,18	342.	72,67	395.	39,80	448.	84,42	501.	69,12
290.	30,84	343.	72,54	396.	40,00	449.	84,78	502.	68,04
291.	31,63	344.	72,50	397.	40,51	450.	85,22	503.	67,38
292.	32,14	345.	72,47	398.	40,87	451.	85,50	504.	65,84
293.	32,95	346.	72,40	399.	41,38	452.	85,46	505.	64,35
294.	33,57	347.	72,48	400.	42,39	453.	85,38	506.	63,66
295.	34,28	348.	72,50	401.	42,91	454.	85,07	507.	63,21
296.	34,90	349.	72,54	402.	43,25	455.	84,32	508.	63,02
297.	35,32	350.	72,68	403.	43,77	456.	84,04	509.	62,78
298.	35,73	351.	72,76	404.	44,25	457.	83,76	510.	62,27
299.	36,02	352.	73,04	405.	44,58	458.	83,64	511.	61,84
300.	36,25	353.	73,42	406.	45,10	459.	83,71	512.	60,79
301.	36,36	354.	73,78	407.	45,49	460.	85,70	513.	59,95
302.	36,65	355.	74,00	408.	46,03	461.	83,68	514.	57,86
303.	37,00	356.	74,22	409.	46,84	462.	83,54	515.	56,48
304.	37,58	357.	73,46	410.	47,72	463.	83,50	516.	55,65
305.	38,04	358.	71,38	411.	49,10	464.	83,48	517.	55,31
306.	40,00	359.	69,54	412.	49,74	465.	83,37	518.	54,72
307.	40,61	360.	67,90	413.	50,60	466.	83,32	519.	53,69
308.	41,24	361.	66,94	414.	51,79	467.	82,78	520.	51,89
309.	42,11	362.	66,21	415.	52,68	468.	82,44	521.	50,92
310.	42,71	363.	65,58	416.	53,83	469.	81,92	522.	50,07
311.	43,64	364.	64,88	417.	55,02	470.	81,31	523.	49,53
312.	43,92	365.	64,35	418.	56,13	471.	80,77	524.	48,57
313.	45,00	366.	63,66	419.	57,05	472.	79,32	525.	47,49
314.	45,86	367.	62,87	420.	58,23	473.	77,65	526.	46,55
315.	46,51	368.	61,45	421.	60,02	474.	76,81	527.	45,89
316.	47,28	369.	57,92	422.	60,76	475.	75,93	528.	45,01
317.	47,82	370.	54,00	423.	61,49	476.	75,31	529.	44,52
318.	48,76	371.	52,74	424.	62,73	477.	74,68	530.	43,98

Nr. art.	x (cm)	Nr. art.	x (cm)	Nr. art.	x (cm)	Nr. art.	x (cm)	Nr. art.	x (cm)
531.	43,64	577.	11,54	623.	36,48	669.	23,38	715.	22,47
532.	43,58	578.	10,02	624.	36,82	670.	24,46	716.	21,80
533.	43,52	579.	8,84	625.	37,02	671.	25,44	717.	21,24
534.	43,44	580.	7,98	626.	37,09	672.	25,53	718.	20,46
535.	43,37	581.	7,24	627.	36,51	673.	25,82	719.	19,72
536.	43,28	582.	6,47	628.	35,78	674.	26,04	720.	18,87
537.	43,03	583.	5,79	629.	34,75	675.	26,35	721.	18,16
538.	42,73	584.	4,87	630.	33,28	676.	26,17	722.	18,04
539.	42,00	585.	4,21	631.	31,99	677.	26,17	723.	17,79
540.	41,28	586.	3,60	632.	23,54	678.	26,00	724.	17,63
541.	40,00	588.	2,72	633.	18,22	679.	25,81	725.	17,52
542.	36,43	588.	1,84	634.	16,65	680.	25,59	726.	17,43
543.	34,38	589.	1,03	635.	15,56	681.	25,44	727.	17,25
544.	32,51	590.	0,38	636.	15,25	682.	25,61	728.	17,12
545.	30,76	591.	0,04	637.	15,51	683.	25,96	729.	17,00
546.	29,08	592.	0,67	638.	16,37	684.	26,39	730.	17,02
547.	28,11	593.	2,36	639.	17,49	685.	26,72	731.	17,07
548.	27,52	594.	7,53	640.	19,82	686.	27,26	732.	17,50
549.	27,52	595.	25,47	641.	21,07	687.	28,06	733.	17,87
550.	27,64	596.	26,53	642.	21,53	688.	29,00	734.	18,58
551.	28,35	597.	27,74	643.	21,39	689.	29,71	735.	19,53
552.	29,12	598.	28,35	644.	22,24	690.	30,15	736.	21,07
553.	29,48	599.	28,54	645.	22,48	691.	30,90	737.	21,94
554.	29,70	600.	28,87	646.	22,53	692.	31,52	738.	23,18
555.	29,78	601.	29,08	647.	22,79	693.	32,28	739.	24,00
556.	29,81	602.	29,00	648.	23,00	694.	33,14	740.	24,58
557.	29,56	603.	28,74	649.	23,11	695.	33,87	741.	24,71
558.	28,92	604.	27,50	650.	23,37	696.	34,54	742.	24,68
559.	27,84	605.	26,74	651.	23,62	697.	34,79	743.	24,41
560.	26,78	606.	26,17	652.	23,84	698.	35,27	744.	23,87
561.	25,80	607.	25,48	653.	23,82	699.	35,51	745.	22,91
562.	25,14	608.	24,56	654.	23,61	700.	35,58	746.	21,80
563.	24,48	609.	23,68	655.	23,96	701.	35,63	747.	20,74
564.	23,76	610.	23,02	656.	24,08	702.	35,33	748.	19,95
565.	22,94	611.	22,53	657.	24,00	703.	33,67	749.	19,00
566.	22,53	612.	22,84	658.	23,65	704.	24,38	750.	18,24
567.	21,56	613.	23,73	659.	23,04	705.	22,47	751.	17,80
568.	20,52	614.	25,11	660.	22,21	706.	21,80	752.	16,79
569.	19,63	615.	26,49	661.	21,80	707.	21,56	753.	16,27
570.	18,72	616.	28,35	662.	21,52	708.	21,48	754.	15,75
571.	18,16	617.	30,58	663.	21,52	709.	21,89	755.	15,24
572.	17,38	618.	31,74	664.	21,51	710.	23,12	756.	14,88
573.	16,49	619.	32,89	665.	21,57	711.	25,80	757.	14,87
574.	15,37	620.	34,21	666.	21,80	712.	25,54	758.	14,65
575.	14,32	621.	35,27	667.	22,04	713.	24,38	759.	14,58
576.	13,43	622.	35,65	668.	22,57	714.	23,06	760.	14,54
								761.	14,52

Tabelul A.1.4.: Profilul Nr.IV

Nr. art.	x (cm)	Nr. art.	x (cm)	Nr. art.	x (cm)	Nr. art.	x (cm)	Nr. art.	x (cm)
1.	40,00	3.	37,82	5.	35,93	7.	34,00	9.	32,71
2.	38,75	4.	36,68	6.	34,86	8.	33,36	10.	32,12

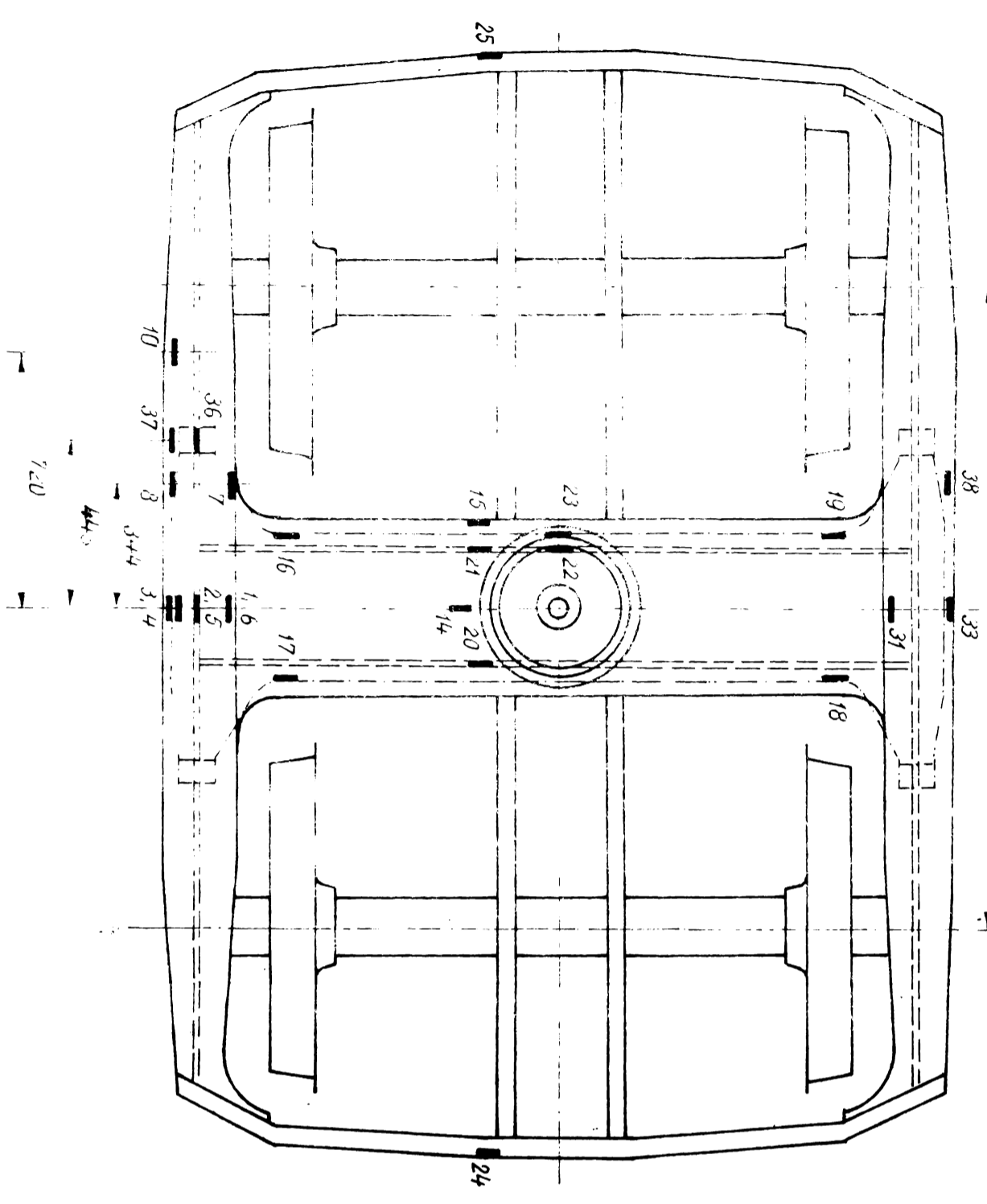
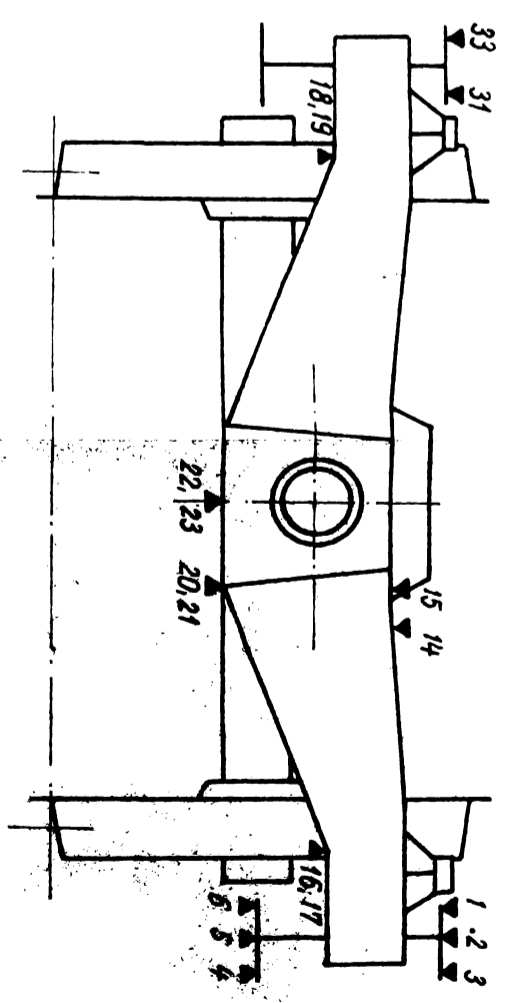
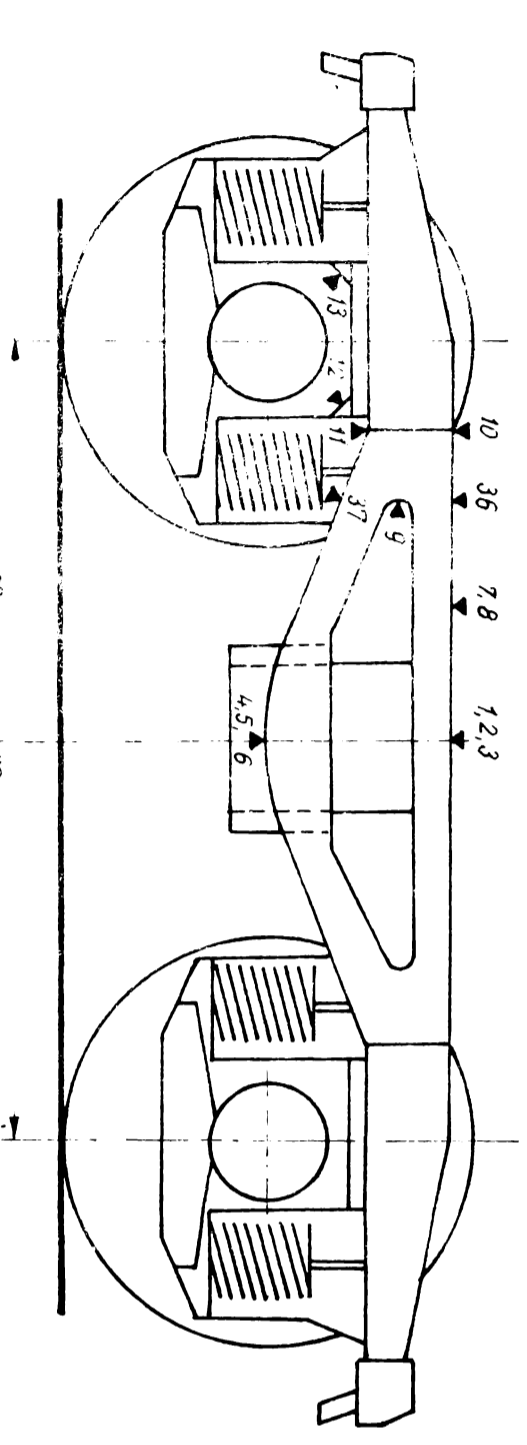


Nr. ort.	x (cm)	Nr. ort.	x (cm)	Nr. ort.	x (cm)	Nr. ort.	x (cm)	Nr. ort.	x (cm)
11.	31,43	64.	39,26	117.	45,02	170.	36,72	223.	64,04
12.	30,82	65.	39,74	118.	44,71	171.	36,57	224.	64,78
13.	30,08	66.	40,00	119.	44,38	172.	36,50	225.	65,37
14.	29,77	67.	40,22	120.	44,11	173.	36,22	226.	65,71
15.	28,91	68.	40,84	121.	44,00	174.	36,04	227.	66,11
16.	28,57	69.	42,35	122.	44,31	175.	35,81	228.	66,23
17.	27,95	70.	44,27	123.	44,68	176.	35,43	229.	66,48
18.	27,24	71.	45,71	124.	44,96	177.	35,38	230.	66,04
19.	26,68	72.	45,82	125.	45,20	178.	35,00	231.	65,71
20.	26,04	73.	45,94	126.	45,71	179.	34,36	232.	65,12
21.	25,72	74.	46,00	127.	46,57	180.	33,71	233.	64,48
22.	25,48	75.	45,83	128.	47,51	181.	33,14	234.	64,00
23.	25,36	76.	45,71	129.	48,36	182.	33,12	235.	63,50
24.	25,28	77.	45,71	130.	48,68	183.	33,27	236.	62,86
25.	25,18	78.	45,71	131.	49,14	184.	33,42	237.	62,18
26.	25,14	79.	45,86	132.	49,02	185.	33,55	238.	61,60
27.	25,14	80.	45,62	133.	49,00	186.	33,72	239.	61,00
28.	25,20	81.	45,71	134.	48,68	187.	33,84	240.	60,34
29.	25,28	82.	45,84	135.	48,32	188.	34,02	241.	60,00
30.	25,18	83.	46,08	136.	48,00	189.	31,12	242.	60,00
31.	25,14	84.	46,39	137.	47,48	190.	34,21	243.	59,83
32.	25,10	85.	46,57	138.	47,00	191.	34,29	244.	59,94
33.	25,10	86.	46,86	139.	46,67	192.	34,38	245.	60,00
34.	25,02	87.	47,48	140.	46,18	193.	34,49	246.	60,00
35.	25,08	88.	47,82	141.	45,75	194.	34,62	247.	60,00
36.	25,15	89.	48,74	142.	45,12	195.	34,75	248.	60,00
37.	25,36	90.	49,38	143.	44,59	196.	34,86	249.	60,00
38.	25,48	91.	49,71	144.	44,26	197.	34,98	250.	60,00
39.	25,52	92.	49,58	145.	43,48	198.	35,07	251.	60,00
40.	25,64	93.	49,42	146.	42,86	199.	31,14	252.	60,52
41.	25,72	94.	49,26	147.	42,38	200.	35,27	253.	60,84
42.	25,81	95.	48,92	148.	41,50	201.	35,43	254.	61,00
43.	25,97	96.	48,57	149.	40,76	202.	35,91	255.	55,33
44.	26,00	97.	48,00	150.	40,28	203.	36,84	256.	48,00
45.	26,14	98.	47,32	151.	40,00	204.	37,66	257.	42,54
46.	26,29	99.	46,64	152.	40,00	205.	38,58	258.	34,82
47.	26,67	100.	46,00	153.	40,00	206.	40,00	259.	30,00
48.	26,89	101.	45,71	154.	40,00	207.	41,04	260.	27,14
49.	27,38	102.	45,78	155.	40,00	208.	42,36	261.	25,72
50.	27,86	103.	45,84	156.	40,00	209.	43,68	262.	23,68
51.	28,57	104.	45,98	157.	39,89	210.	44,92	263.	21,14
52.	29,02	105.	46,06	158.	39,76	211.	46,28	264.	19,04
53.	29,94	106.	46,28	159.	39,50	212.	47,53	265.	18,00
54.	30,52	107.	46,57	160.	39,18	213.	49,84	266.	17,14
55.	31,14	108.	47,00	161.	38,86	214.	51,63	267.	17,38
56.	31,43	109.	47,62	162.	38,64	215.	52,75	268.	17,79
57.	32,26	110.	48,41	163.	38,17	216.	54,28	269.	18,82
58.	33,08	111.	48,57	164.	37,82	217.	56,75	270.	20,65
59.	34,00	112.	48,46	165.	37,50	218.	57,68	271.	26,86
60.	35,48	113.	48,06	166.	37,14	219.	59,02	272.	29,02
61.	37,14	114.	47,49	167.	37,02	220.	60,84	273.	31,56
62.	37,89	115.	46,58	168.	37,00	221.	62,86	274.	33,84
63.	38,75	116.	45,71	169.	36,84	222.	63,14	275.	36,00

Nr. ort.	x (cm)	Nr. ort.	x (cm)	Nr. ort.	x (cm)	Nr. ort.	x (cm)	Nr. ort.	x (cm)
276.	40,00	329.	62,52	382.	69,28	435.	55,81	488.	57,08
277.	41,78	330.	62,67	383.	69,84	436.	55,43	489.	57,61
278.	44,52	331.	62,86	384.	70,51	437.	54,71	490.	57,92
279.	45,94	332.	63,42	385.	71,14	438.	53,66	491.	58,28
280.	47,02	333.	64,88	386.	71,43	439.	52,48	492.	58,11
281.	48,57	334.	66,51	387.	71,92	440.	51,59	493.	57,87
282.	48,91	335.	67,91	388.	72,68	441.	51,43	494.	57,28
283.	49,75	336.	69,71	389.	73,45	442.	51,57	495.	56,82
284.	50,42	337.	70,58	390.	73,84	443.	52,02	496.	56,57
285.	50,86	338.	71,12	391.	74,28	444.	52,61	497.	56,48
286.	51,43	339.	71,61	392.	74,11	445.	53,24	498.	56,42
287.	51,79	340.	71,82	393.	73,89	446.	54,28	499.	56,53
288.	52,36	341.	72,00	394.	73,26	447.	55,21	500.	56,87
289.	52,68	342.	71,87	395.	71,67	448.	56,00	501.	57,14
290.	53,16	343.	71,48	396.	69,14	449.	56,84	502.	57,50
291.	53,71	344.	70,84	397.	68,38	450.	57,69	503.	57,90
292.	54,66	345.	69,89	398.	67,52	451.	58,28	504.	58,53
293.	56,02	346.	69,14	399.	66,91	452.	58,71	505.	59,14
294.	58,88	347.	68,62	400.	66,54	453.	59,00	506.	60,00
295.	61,04	348.	68,16	401.	66,28	454.	59,52	507.	60,48
296.	62,28	349.	67,85	402.	66,01	455.	59,75	508.	60,77
297.	62,67	350.	67,66	403.	65,94	456.	60,00	509.	61,26
298.	62,54	351.	67,43	404.	66,03	457.	60,52	510.	61,81
299.	62,00	352.	67,38	405.	66,11	458.	61,18	511.	62,28
300.	60,00	353.	67,26	406.	66,28	459.	62,00	512.	63,85
301.	57,14	354.	67,12	407.	66,55	460.	62,54	513.	64,77
302.	55,53	355.	67,26	408.	66,89	461.	62,86	514.	65,48
303.	54,81	356.	67,43	409.	67,90	462.	62,97	515.	65,92
304.	54,38	357.	67,56	410.	68,00	463.	63,06	516.	65,71
305.	54,12	358.	67,84	411.	68,57	464.	63,25	517.	64,78
306.	54,28	359.	68,02	412.	68,59	465.	63,38	518.	63,51
307.	54,48	360.	68,34	413.	68,64	466.	63,43	519.	61,26
308.	54,85	361.	68,57	414.	68,60	467.	63,54	520.	59,32
309.	55,24	362.	68,37	415.	68,59	468.	64,07	521.	57,14
310.	56,02	363.	67,53	416.	68,57	469.	64,71	522.	54,83
311.	57,14	364.	66,51	417.	68,06	470.	65,12	523.	53,12
312.	58,39	365.	65,12	418.	67,75	471.	65,71	524.	51,24
313.	59,54	366.	60,00	419.	67,42	472.	66,32	525.	49,11
314.	60,38	367.	53,21	420.	66,81	473.	66,84	526.	45,71
315.	60,96	368.	49,53	421.	66,28	474.	67,48	527.	42,68
316.	61,71	369.	47,92	422.	65,78	475.	67,72	528.	35,00
317.	62,43	370.	46,87	423.	65,00	476.	68,00	529.	29,72
318.	63,24	371.	46,28	424.	64,46	477.	68,39	530.	27,14
319.	64,11	372.	46,53	425.	63,92	478.	68,54	531.	25,72
320.	65,18	373.	47,82	426.	63,43	479.	61,00	532.	25,48
321.	65,71	374.	52,51	427.	62,18	480.	55,31	533.	25,36
322.	65,65	375.	56,64	428.	60,72	481.	54,28	534.	25,52
323.	65,32	376.	60,58	429.	58,96	482.	54,32	535.	25,84
324.	64,48	377.	62,36	430.	57,76	483.	54,68	536.	27,43
325.	63,62	378.	64,88	431.	57,14	484.	55,01	537.	28,12
326.	62,86	379.	66,47	432.	56,61	485.	55,44	538.	30,00
327.	62,67	380.	67,53	433.	56,42	486.	56,00	539.	33,86
328.	62,54	381.	68,57	434.	56,04	487.	56,52	540.	36,54

Nr. ort.	x (cm)	Nr. ort.	x (cm)	Nr. ort.	x (cm)	Nr. ort.	x (cm)	Nr. ort.	x (cm)
541.	40,00	557.	48,12	573.	24,96	589.	8,48	605.	30,06
542.	42,58	558.	45,83	574.	23,34	590.	8,11	606.	29,14
543.	47,20	559.	42,46	575.	21,45	591.	8,00	607.	27,18
544.	50,53	560.	40,28	576.	20,00	592.	8,39	608.	25,02
545.	56,50	561.	38,86	577.	19,48	593.	9,25	609.	23,48
546.	60,00	562.	37,02	578.	19,00	594.	11,00	610.	21,56
547.	62,57	563.	35,48	579.	18,51	595.	15,17	611.	20,00
548.	64,82	564.	33,87	580.	17,86	596.	20,00	612.	19,81
549.	65,12	565.	32,54	581.	17,14	597.	23,54	613.	19,24
550.	65,02	566.	31,43	582.	15,72	598.	26,72	614.	18,70
551.	64,57	567.	30,50	583.	14,10	599.	29,58	615.	18,45
552.	53,31	568.	29,92	584.	12,50	600.	31,84	616.	18,29
553.	60,87	569.	29,48	585.	11,57	601.	32,57	617.	17,87
554.	55,49	570.	28,78	586.	10,86	602.	32,64	618.	17,04
555.	52,86	571.	28,00	587.	10,02	603.	32,04	619.	16,25
556.	51,43	572.	26,52	588.	9,24	604.	31,12	620.	15,00
								621.	14,29





**BOGHIUL Y-25-CS**  
**SCHEMA DE AMPLASARE A TRADUCTO-**  
**RILOR PENTRU MĂSURAREA TENSIUNILOR**  
**STATICE ȘI DINAMICE**

Anexa 2



**Anexa Nr.3** Analiza stării de tensiune din cadru, în cazul unui singur corp prismatic montat pe bandă, pentru bicicleta cu înăiereare naturală ( $\sum F = 80 \text{ daN}$ ). Presiunile din picuri  
 $p_s = 2,1 \frac{\text{daN}}{\text{cm}^2}$  ;  $p_f = 1,9 \frac{\text{daN}}{\text{cm}^2}$

TRADUCTOR	Tensiunea normală $\sigma$ [ $\frac{\text{daN}}{\text{cm}^2}$ ]							
	$h = 10 \text{ mm} ; l = 30 \text{ mm}$				$h = 30 \text{ mm} ; l = 30 \text{ mm}$			
	$v_1 = 10 \text{ Km/h}$		$v_2 = 20 \text{ Km/h}$		$v_1 = 10 \text{ Km/h}$		$v_2 = 20 \text{ Km/h}$	
	max. POS.	max. NEG.	max. POS.	max. NEG.	max. POS.	max. NEG.	max. POS.	max. NEG.
1	2	3	4	5	6	7	8	9
S <sub>1a</sub>	240	-218	278	-270	675	-450	825	-825
II <sub>1a</sub>	10	-105	210	-150	300	-225	450	-375
C <sub>1a</sub>	225	-225	278	-270	675	-375	825	-675
S <sub>1b</sub>	195	-233	248	-285	375	-525	600	-600
I <sub>1a</sub>	135	-150	240	-195	412	-300	450	-450
X a	105	-120	210	-234	338	-375	315	-637
IIIa	105	-144	186	-240	338	-338	375	-510
IIIb	135	-120	300	-195	590	-412	615	-450
IXb	120	-60	186	-114	338	-150	375	-450
IXa	120	-60	180	-135	225	-300	450	-375
S <sub>2a</sub>	75	-60	105	-90	187	-210	150	-240
VIa	30	-90	90	-135	240	-270	255	-315
IVb	87	-132	150	-187	360	-300	375	-435
VIb	75	-75	120	-113	255	-225	270	-255
IVa	150	-120	225	-248	390	-390	495	-390
V b	75	-82	120	-127	210	-204	300	-210
VIIa	82	-45	195	-82	210	-225	285	-330
C <sub>2a</sub>	38	-15	23	-45	66	-45	90	-75
C <sub>2b</sub>	60	-60	120	-120	204	-216	270	-240
VIIIa	75	-45	60	-105	150	-147	150	-240
VIIb	105	-45	150	-127	270	-180	345	-375
VIIIb	7	-45	27	-30	45	-60	75	-90
C <sub>3a</sub>	23	-45	23	-75	-	-	-	-
C <sub>3b</sub>	38	-	52	-8	45	-23	60	-45
XI <sub>1b</sub>	45	-	75	-8	52	-67	120	-75
XI b	15	-52	30	-67	112	-67	135	-105
XI a	45	-38	60	-45	75	-142	165	-135

1	2	3	4	5	6	7	8	9
C <sub>3a</sub>	30	-15	45	-23	67	-75	135	-60
C <sub>5a</sub>	120	0	120	-15	180	-60	195	-150
C <sub>5a</sub>	15	-97	30	-90	105	-165	120	-225
C <sub>5b</sub>	0	-172	0	-157	120	-180	180	-195
C <sub>4b</sub>	75	0	22	0	75	-30	90	-90
C <sub>5b</sub>	135	0	195	-15	165	-150	315	-225
C <sub>4a</sub>	60	0	45	7	60	-30	60	-114
S <sub>1b</sub>	105	-114	210	-210	375	-600	600	-825
II a	60	-120	120	-210	300	-375	412	-450
C <sub>1a</sub>	105	-195	210	-420	600	-615	900	-862
S <sub>1a</sub>	120	-150	210	-300	487	-600	750	-1125
I a	60	-105	135	-210	300	-300	450	-600



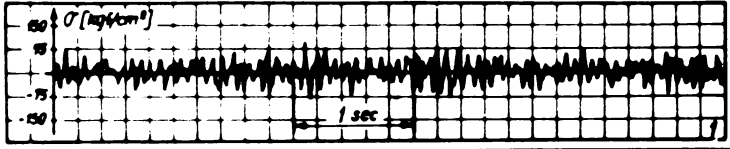
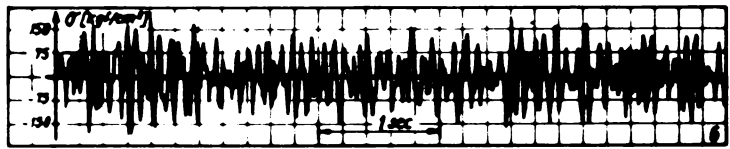
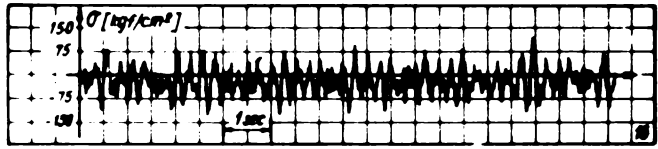

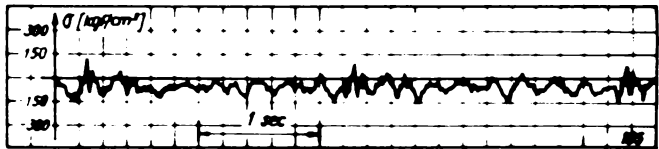
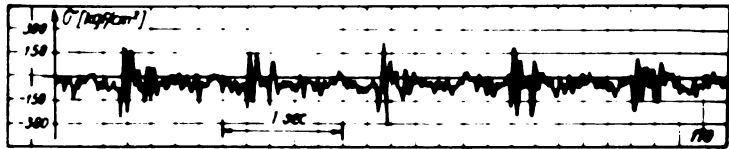

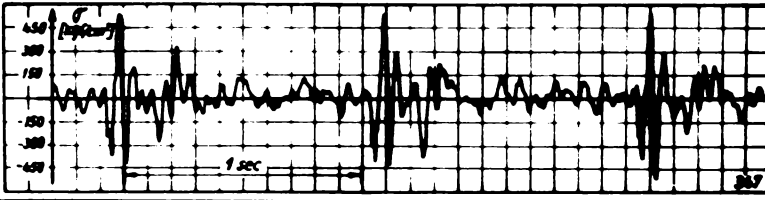


## INCERCARI DINAMICE

$$\rho_s = 2.1 \text{ kgf/cm}^2 ; \rho_f = 1.9 \text{ kgf/cm}^2$$

CONDITII DE INCERCARE		TRADUCTOR $C_{1a}$		
INCERCAREA DE MERS IN GOL	BICICLETA NEINCARCATA	$V_1$		
		$V_2$		
	INCARCARE NATURALA $\Sigma F = 80 \text{ kgf}$	$V_1$		
		$V_2$		
INCERCAREA CU UN SINGUR CORP PRISMATIC PE BANDA INCARCARE NATURALA $\Sigma F = 80 \text{ kgf}$	$l = 30 \text{ mm}$	$h = 10 \text{ mm}$	$V_1$	
		$h = 10 \text{ mm}$	$V_2$	
	$h = 20 \text{ mm}$	$V_1$		
		$V_2$		
	$h = 30 \text{ mm}$	$V_1$		
		$V_2$		

## INCERCARI DINAMICE

$p_s = 2.1 \text{ kgf/cm}^2$  ;  $p_f = 1.9 \text{ kgf/cm}^2$

CONDIȚII DE INCERCARE			TRADUCTOR <i>Sia</i>	
INCERCAREA DE MERS IN GOL	BICICLETA NEINCARCATA	$V_1$		
		$V_2$		
	INCARCARE NATURALA $\Sigma F = 80 \text{ kgf}$	$V_1$		
		$V_2$		
INCERCAREA CU UN SINGUR CORP PRISMATIC PE BANDA INCARCARE NATURALA $\Sigma F = 80 \text{ kgf}$	$l = 30 \text{ mm}$	$h = 10 \text{ mm}$	$V_1$	
		$V_2$		
	$h = 20 \text{ mm}$	$V_1$		
		$V_2$		
	$h = 30 \text{ mm}$	$V_1$		
		$V_2$		

Anexa nr.4 (continuare)

INCERCARI DINAMICE

$p_s = 2,1 \text{ kgf/cm}^2$  ;  $p_f = 1,9 \text{ kgf/cm}^2$

CONDITII DE INCERCARE			TRADUCTOR $C_{1a}$	
INCERCAREA CU UN SINGUR CORP PRISMATIC PE BANDA INCARCAREA NATURALA $\Sigma F = 80 \text{ kgf}$	$l = 30 \text{ mm}$	$h = 40 \text{ mm}$	$V_1$	
			$V_2$	
	$l = 150 \text{ mm}$	$h = 10 \text{ mm}$	$V_1$	
			$V_2$	
		$h = 20 \text{ mm}$	$V_1$	
			$V_2$	
		$h = 30 \text{ mm}$	$V_1$	
			$V_2$	

INCERCARI DINAMICE

$p_s = 2,1 \text{ kgf/cm}^2$  ;  $p_f = 1,9 \text{ kgf/cm}^2$

CONDITII DE INCERCARE			TRADUCTOR S1a	
INCERCAREA CU UN SINGUR CORP PRISMATIC PE BANDA INCARCAREA NATURALA $\Sigma F = 80 \text{ kgf}$	$l = 30 \text{ mm}$	$h = 40 \text{ mm}$	$V_1$	
			$V_2$	
	$l = 150 \text{ mm}$	$h = 10 \text{ mm}$	$V_1$	
			$V_2$	
		$h = 20 \text{ mm}$	$V_1$	
			$V_2$	
		$h = 30 \text{ mm}$	$V_1$	
			$V_2$	

**ANEXA Nr.5** Studiul influenței lungimii corpului prismatic ( $l$ ), pentru diverse înălțimi ( $h$ ), asupra stării de tensiune din cadrul. Bicicleta cu încălzire naturală ( $\Sigma F = 80 \text{ daN}$ )  
 Presiunea din pneuri :  $P_g = 2,1 \text{ daN/cm}^2$  ;  $P_f = 1,9 \text{ daN/cm}^2$

		T e n s i u n e a n o r m a l ă $\sigma$ [daN/cm <sup>2</sup> ]												
		T R A D U C T O R I :												
Lun- gimea corp- ului prism- atic $l$ [mm]	Inăl- țimea corp- ului prism- atic $h$ [mm]	Viteza de de- plasa- re a benzini $v$ [km/h]	Cl <sub>a</sub>			Cl <sub>b</sub>			Cl <sub>c</sub>			Cl <sub>d</sub>		
			max. pos.(+)	max. neg.(-)	max. pos.(+)	max. neg.(-)	max. pos.(+)	max. neg.(-)	max. pos.(+)	max. neg.(-)	max. pos.(+)	max. neg.(-)	max. pos.(+)	max. neg.(-)
1	2	3	4	5	6	7	8	9	10	11	12	13		
	10	10	240	-218	105	-150	225	-235	195	-233	135	-150		
	20	20	278	-270	210	-150	278	-270	248	-285	240	-195		
	30	10	510	-300	300	-180	510	-345	240	-450	300	-150		
	40	20	540	-425	390	-330	570	-480	405	-540	435	-270		
	10	10	675	-450	300	-225	675	-375	375	-525	412	-300		
	20	20	825	-825	450	-375	825	-675	600	-600	450	-450		
	30	10	637	-675	375	-300	798	-450	450	-525	450	-375		
	40	20	825	-1350	375	-525	825	-1050	900	-600	637	-900		
	10	10	255	-195	435	-90	248	-202	135	-218	180	-105		
	20	20	750	-412	375	-263	750	-450	347	-450	412	-150		
	30	10	375	-300	225	-225	375	-300	225	-375	225	-187		
	40	20	975	-525	450	-375	975	-562	375	-675	525	-375		
	10	10	750	-487	300	-225	675	-390	300	-540	375	-225		
	20	20	900	-825	525	-450	975	-660	675	-765	525	-600		
	30	10	645	-480	300	-390	675	-630	330	-600	420	-330		
	40	20	900	-1800	525	-750	870	-1350	1050	-750	525	-1230		
	10	10	375	-300	225	-225	375	-300	225	-375	225	-187		
	20	20	975	-525	450	-375	975	-562	375	-675	525	-375		
	30	10	750	-487	300	-225	675	-390	300	-540	375	-225		
	40	20	900	-825	525	-450	975	-660	675	-765	525	-600		
	10	10	645	-480	300	-390	675	-630	330	-600	420	-330		
	20	20	900	-1800	525	-750	870	-1350	1050	-750	525	-1230		

**Figura II.6** Studiul influenței presiunii din partea supra stării de tensiune din cadrul, pentru bicicleta cu încălzire naturală ( $\Sigma F = 80 \text{ daN}$ )

Dimensiunile corpului prismatic [mm]		Tensiunea normală $\sigma$ [daN/cm <sup>2</sup> ]													
		P <sub>g</sub> = 2,1 daN/cm <sup>2</sup> P <sub>f</sub> = 1,9 daN/cm <sup>2</sup>		P <sub>g</sub> = 1,8 daN/cm <sup>2</sup> P <sub>f</sub> = 1,5 daN/cm <sup>2</sup>		P <sub>g</sub> = 1,28 daN/cm <sup>2</sup> P <sub>f</sub> = 1 daN/cm <sup>2</sup>		V <sub>1</sub> = 10 km/h		V <sub>2</sub> = 20 km/h		V <sub>1</sub> = 10 km/h		V <sub>2</sub> = 20 km/h	
		MAX. POS. (+)	MAX. NEG. (-)	MAX. POS. (+)	MAX. NEG. (-)	MAX. POS. (+)	MAX. NEG. (-)	MAX. POS. (+)	MAX. NEG. (-)	MAX. POS. (+)	MAX. NEG. (-)	MAX. POS. (+)	MAX. NEG. (-)	MAX. POS. (+)	MAX. NEG. (-)
1	2	3	4	5	6	7	8	9	10	11	12	13	14		
	S <sub>1b</sub>	105	-114	210	-210	45	-150	120	-330	75	-165	105	-195		
	II <sub>2</sub>	60	-120	120	-210	105	-75	150	-150	105	-45	150	-135		
	C <sub>1a</sub>	105	-195	210	-420	195	-90	300	-210	225	-75	240	-225		
	S <sub>1a</sub>	120	-150	210	-300	135	-120	240	-180	180	-75	210	-135		
	I <sub>2</sub>	60	105	135	-210	90	-90	135	-120	75	-75	75	-135		
	S <sub>1b</sub>	375	-600	600	-825	330	-495	787	-750	300	-450	1050	-600		
	II <sub>2</sub>	300	-375	412	-450	300	-300	350	-385	187	-225	375	-450		
	C <sub>1a</sub>	600	-615	900	-862	495	-525	825	-900	450	-375	750	-1200		
	S <sub>1a</sub>	-487	-600	750	-1125	480	-480	825	-1120	375	-525	712	-1200		
	I <sub>2</sub>	300	-300	450	-600	300	-270	350	-750	225	-337	375	-900		

**ANEXA Nr.7** Rezultate experimentale obtinute la încercarea la oboseală a tevilor sudate, din oțel moale, cu pereți subțiri  $\phi$  26 x 1 [mm]

Nr. crt.	$\sigma = 1560$ [daN/cm <sup>2</sup> ]		$\sigma = 1748$ [daN/cm <sup>2</sup> ]		Nr. crt.	$\sigma = 1656$ [daN/cm <sup>2</sup> ]		$\sigma = 1840$ [daN/cm <sup>2</sup> ]		Nr. crt.	$\sigma = 1932$ [daN/cm <sup>2</sup> ]	
	N [daN/cm <sup>2</sup> ]	log N	N [daN/cm <sup>2</sup> ]	log N		N [daN/cm <sup>2</sup> ]	log N	N [daN/cm <sup>2</sup> ]	log N			
1.	1,09260.10 <sup>7</sup>	7,03842	1,02858.10 <sup>7</sup>	7,01223	1.	9,9993.10 <sup>6</sup>	6,99998	1,02858.10 <sup>7</sup>	7,01223	1.	2,6970.10 <sup>6</sup>	6,43088
2.	1,18544.10 <sup>7</sup>	7,07386	1,5549.10 <sup>6</sup>	6,19172	2.	1,01327.10 <sup>7</sup>	7,00573	1,5549.10 <sup>6</sup>	6,19172	2.	1,0828.10 <sup>7</sup>	7,03455
3.	1,17065.10 <sup>7</sup>	7,06836	8,620.10 <sup>5</sup>	5,93551	3.	1,07915.10 <sup>7</sup>	7,03314	8,620.10 <sup>5</sup>	5,93551	3.	2,1291.10 <sup>6</sup>	6,32819
4.	1,09904.10 <sup>7</sup>	7,03112	-	-	4.	4,1251.10 <sup>6</sup>	6,61544	-	-	4.	2,0267.10 <sup>6</sup>	6,30679
5.	1,20422.10 <sup>7</sup>	7,07070	9,9993.10 <sup>6</sup>	6,99998	5.	1,18697.10 <sup>7</sup>	7,07444	2,7866.10 <sup>6</sup>	6,44508	5.	1,9502.10 <sup>6</sup>	6,29008
6.	1,14913.10 <sup>7</sup>	7,05036	1,01327.10 <sup>7</sup>	7,00573	6.	1,02575.10 <sup>7</sup>	7,01104	1,3162.10 <sup>6</sup>	6,11929	6.	6,2351.10 <sup>6</sup>	6,79485
7.	1,1475.10 <sup>7</sup>	7,05975	1,07915.10 <sup>7</sup>	7,03314	7.	4,5340.10 <sup>6</sup>	6,65648	1,08975.10 <sup>7</sup>	7,03733	7.	1,1327.10 <sup>6</sup>	6,05412
8.	1,05836.10 <sup>7</sup>	7,02469	4,1251.10 <sup>6</sup>	6,61544	8.	1,00194.10 <sup>7</sup>	7,00079	3,2443.10 <sup>6</sup>	6,51112	8.	9,408.10 <sup>5</sup>	5,97350
9.	1,1248.10 <sup>7</sup>	7,04106	1,18697.10 <sup>7</sup>	7,07444	9.	1,0109.10 <sup>7</sup>	7,00475	4,4541.10 <sup>6</sup>	6,64877	9.	2,2316.10 <sup>6</sup>	6,34861
10.	1,0765.10 <sup>7</sup>	7,02201	1,02575.10 <sup>7</sup>	7,01104	10.	1,20701.10 <sup>7</sup>	7,08171	3,8493.10 <sup>6</sup>	6,58539	10.	1,6432.10 <sup>6</sup>	6,21569
Nr. crt.	$\sigma = 1610$ [daN/cm <sup>2</sup> ]		$\sigma = 1610$ [daN/cm <sup>2</sup> ]		Nr. crt.	$\sigma = 1610$ [daN/cm <sup>2</sup> ]		$\sigma = 1610$ [daN/cm <sup>2</sup> ]		Nr. crt.	$\sigma = 1610$ [daN/cm <sup>2</sup> ]	
	N [daN/cm <sup>2</sup> ]	log N	N [daN/cm <sup>2</sup> ]	log N		N [daN/cm <sup>2</sup> ]	log N	N [daN/cm <sup>2</sup> ]	log N		N [daN/cm <sup>2</sup> ]	log N
1.	1,08829.10 <sup>7</sup>	7,03675	1,00194.10 <sup>7</sup>	7,00079	1.	1,08829.10 <sup>7</sup>	7,03675	1,00194.10 <sup>7</sup>	7,00079	1.	2,4742.10 <sup>6</sup>	6,39344
2.	1,22982.10 <sup>7</sup>	7,08984	1,0109.10 <sup>7</sup>	7,00475	2.	1,22387.10 <sup>7</sup>	7,08771	1,0109.10 <sup>7</sup>	7,00475	2.	5,022.10 <sup>5</sup>	5,70086
3.	1,10254.10 <sup>7</sup>	7,04199	1,20701.10 <sup>7</sup>	7,08171	3.	6,7063.10 <sup>6</sup>	6,82658	1,20701.10 <sup>7</sup>	7,08171	3.	1,2144.10 <sup>6</sup>	6,08436
4.	1,14797.10 <sup>7</sup>	7,05994	1,22387.10 <sup>7</sup>	7,08771	4.	1,08966.10 <sup>7</sup>	7,03731	1,22387.10 <sup>7</sup>	7,08771	4.	1,0287.10 <sup>6</sup>	6,00229
5.	1,10440.10 <sup>7</sup>	7,04313	1,08966.10 <sup>7</sup>	7,03731	5.	1,09252.10 <sup>7</sup>	7,03842	1,08966.10 <sup>7</sup>	7,03731	5.	1,5268.10 <sup>6</sup>	6,18378
6.	1,10413.10 <sup>7</sup>	7,04301	1,09252.10 <sup>7</sup>	7,03842	6.	9,8702.10 <sup>6</sup>	6,99432	1,09252.10 <sup>7</sup>	7,03842			
7.	1,08184.10 <sup>7</sup>	7,03415	9,8702.10 <sup>6</sup>	6,99432	7.	7,4965.10 <sup>6</sup>	6,87489	9,8702.10 <sup>6</sup>	6,99432			
			7,4965.10 <sup>6</sup>	6,87489								
			1,16125.10 <sup>6</sup>	6,20750								

**Annex N1.7 (continue)**

6.	1,0327.10 <sup>6</sup>	6,01397	11.	7,171.10 <sup>5</sup>	5,85558	16.	8,557.10 <sup>5</sup>	5,93232	2.	1,549.10 <sup>5</sup>	5,19005
7.	8,295.10 <sup>5</sup>	5,91882	12.	6,145.10 <sup>5</sup>	5,78852	NI. $\sigma = 2208$ [daN/cm <sup>2</sup> ] ort.			3.	2,959.10 <sup>5</sup>	5,47114
8.	1,8013.10 <sup>6</sup>	6,25558	13.	7,625.10 <sup>5</sup>	5,88224	N [ololum] log N			4.	3,052.10 <sup>5</sup>	5,48458
9.	5,154.10 <sup>5</sup>	5,71214	14.	5,748.10 <sup>5</sup>	5,75952	1.	8,397.10 <sup>5</sup>	5,92412	5.	3,303.10 <sup>5</sup>	5,51891
10.	1,3928.10 <sup>6</sup>	6,14389	15.	5,944.10 <sup>5</sup>	5,77408	2.	5,851.10 <sup>5</sup>	5,76723	6.	3,177.10 <sup>5</sup>	5,50202
11.	8,303.10 <sup>5</sup>	5,91924	16.	6,9711.10 <sup>5</sup>	5,84331	3.	4,446.10 <sup>5</sup>	5,64717	7.	2,798.10 <sup>5</sup>	5,44685
12.	6,213.10 <sup>5</sup>	5,79330	NI. $\sigma = 2116$ [daN/cm <sup>2</sup> ] ort.			4.	4,940.10 <sup>5</sup>	5,69373	8.	1,236.10 <sup>5</sup>	5,09202
13.	1,0045.10 <sup>6</sup>	6,00195	N [ololum] log N			5.	2,137.10 <sup>5</sup>	5,32980	9.	1,088.10 <sup>5</sup>	5,03663
14.	1,2576.10 <sup>6</sup>	6,09954	1.	4,782.10 <sup>5</sup>	5,67961	6.	2,3527.10 <sup>6</sup>		10.	1,201.10 <sup>5</sup>	5,07954
15.	1,4785.10 <sup>6</sup>	6,16982	2.	5,485.10 <sup>5</sup>	5,73918	7.	4,967.10 <sup>5</sup>	5,69609	11.	1,186.10 <sup>5</sup>	5,07408
16.	9,2175.10 <sup>5</sup>	5,96462	3.	4,609.10 <sup>5</sup>	5,66361	8.	4,531.10 <sup>5</sup>	5,65619	12.	3,618.10 <sup>5</sup>	5,55847
NI. $\sigma = 2024$ [daN/cm <sup>2</sup> ] ort.			4.	2,804.10 <sup>5</sup>	5,44778	9.	4,577.10 <sup>5</sup>	5,66058	13.	1,842.10 <sup>5</sup>	5,26529
N [ololum] log N			5.	7,324.10 <sup>5</sup>	5,86475	10.	9,120.10 <sup>5</sup>	5,95999	14.	5,024.10 <sup>5</sup>	5,76522
1.	1,1472.10 <sup>6</sup>	6,05964	6.	3,401.10 <sup>5</sup>	5,53161	11.	1,64.10 <sup>5</sup>	5,21464	15.	4,931.10 <sup>5</sup>	5,69294
2.	4,664.10 <sup>5</sup>	5,66876	7.	3,485.10 <sup>5</sup>	5,54220	12.	4,075.10 <sup>5</sup>	5,61013	16.	4,76.10 <sup>5</sup>	5,67761
3.	1,0789.10 <sup>6</sup>	6,03298	8.	3,515.10 <sup>5</sup>	5,54593	13.	3,876.10 <sup>5</sup>	5,58838	NI. $\sigma = 2392$ [daN/cm <sup>2</sup> ] ort.		
4.	3,0323.10 <sup>6</sup>	6,48177	9.	4,328.10 <sup>5</sup>	5,63629	14.	2,670.10 <sup>5</sup>	5,42651	N [ololum] log N		
5.	6,719.10 <sup>5</sup>	5,82730	10.	2,292.10 <sup>5</sup>	5,36021	15.	2,611.10 <sup>5</sup>	5,41681	1.	2,544.10 <sup>5</sup>	5,40552
6.	3,6127.10 <sup>6</sup>	6,55784	11.	2,856.10 <sup>5</sup>	5,45576	16.	3,647.10 <sup>5</sup>	5,56194	2.	3,59.10 <sup>5</sup>	5,55509
7.	2,726.10 <sup>5</sup>	5,43553	12.	2,347.10 <sup>5</sup>	5,38863	NI. $\sigma = 2300$ [daN/cm <sup>2</sup> ] ort.			3.	2,99.10 <sup>5</sup>	5,47567
8.	1,5589.10 <sup>6</sup>	6,19283	13.	2,002.10 <sup>5</sup>	5,30146	N [ololum] log N			4.	2,263.10 <sup>5</sup>	5,35468
9.	7,426.10 <sup>5</sup>	5,87075	14.	1,0987.10 <sup>6</sup>	6,04088	1.	3,17.10 <sup>5</sup>	5,50106	5.	3,026.10 <sup>5</sup>	5,48087
10.	7,407.10 <sup>5</sup>	5,86964	15.	6,877.10 <sup>5</sup>	5,83740	6.	4,268.10 <sup>5</sup>	5,63022	6.	4,268.10 <sup>5</sup>	5,63022



**APRYA No.7 (continue)**

7.	1,824.10 <sup>5</sup>	5,26102	5,67.10 <sup>5</sup>	5,75358	3.	2,542.10 <sup>5</sup>	5,40518	1.	2,843.10 <sup>5</sup>	5,45378
8.	3,409.10 <sup>5</sup>	5,53263	3,74.10 <sup>5</sup>	5,57287	4.	1,157.10 <sup>5</sup>	5,06333	2.	2,78.10 <sup>5</sup>	5,44404
9.	1,598.10 <sup>5</sup>	5,20358	1,1445.10 <sup>5</sup>	5,15987	5.	1,377.10 <sup>5</sup>	5,13893	3.	1,312.10 <sup>5</sup>	5,11793
10.	2,422.10 <sup>5</sup>	5,38417	1,6386.10 <sup>6</sup>		6.	1,672.10 <sup>5</sup>	5,22324	4.	1,573.10 <sup>5</sup>	5,19673
11.	2,234.10 <sup>5</sup>	5,34908	2,689.10 <sup>5</sup>	5,42959	7.	1,409.10 <sup>5</sup>	5,14891	5.	1,309.10 <sup>5</sup>	5,11694
12.	1,152.10 <sup>5</sup>	5,06145	1,923.10 <sup>5</sup>	5,28398	8.	2,213.10 <sup>5</sup>	5,34498	6.	1,515.10 <sup>5</sup>	5,18041
13.	1,68.10 <sup>5</sup>	5,22531	1,015.10 <sup>5</sup>	5,00647	9.	1,180.10 <sup>5</sup>	5,07188	7.	2,135.10 <sup>5</sup>	5,32940
14.	1,42.10 <sup>5</sup>	5,15229	2,180.10 <sup>5</sup>	5,33846	10.	1,963.10 <sup>5</sup>	5,29292	8.	2,065.10 <sup>5</sup>	5,31492
15.	1,845.10 <sup>5</sup>	5,26600	1,173.10 <sup>5</sup>	5,06930	11.	2,04.10 <sup>5</sup>	5,30963	9.	1,372.10 <sup>5</sup>	5,13735
16.	2,875.10 <sup>5</sup>	5,45864	1,335.10 <sup>5</sup>	5,12548	12.	1,542.10 <sup>5</sup>	5,18808	10.	1,534.10 <sup>5</sup>	5,18696
NR.	$\sigma = 2484$	$\log N$			13.	1,044.10 <sup>5</sup>	5,01870	11.	7,55.10 <sup>4</sup>	4,87795
NR.	$\sigma = 2484$	$\log N$			14.	9,21.10 <sup>4</sup>	4,96384	12.	9,66.10 <sup>4</sup>	4,98498
	$N$ [edolur]	$\log N$	$N$ [edolur]	$\log N$	15.	1,12.10 <sup>5</sup>	5,04922	13.	8,81.10 <sup>4</sup>	4,94498
1.	1,498.10 <sup>5</sup>	5,17551	$\sigma = 2576$ [dan/cm <sup>2</sup> ]		16.	1,475.10 <sup>5</sup>	5,16879	14.	9,25.10 <sup>4</sup>	4,96614
2.	2,088.10 <sup>6</sup>		$N$ [edolur]	$\log N$	NR.	$\sigma = 2668$ [dan/cm <sup>2</sup> ]		15.	1,194.10 <sup>5</sup>	5,97700
3.	1,353.10 <sup>5</sup>	5,13130	1.	2,197.10 <sup>5</sup>	5,34183			16.	1,37.10 <sup>5</sup>	5,13672
4.	2,023.10 <sup>5</sup>	5,30600	2.	1,165.10 <sup>5</sup>	5,06633					

**Anexa Nr.8** Date experimentale pentru construcția curbei French, la încercarea de oboseală a țevilor sudate din oțel moale cu pereți subțiri,  $\varnothing$  26 x 1 [mm]

PRESOLICITARE $N^* = 10^5$ cicluri			PRESOLICITARE $N^* = 5 \cdot 10^5$ cicluri		
$\sigma$ [daN/cm <sup>2</sup> ]	Nr. epruv.	N [cicluri]	$\sigma$ [daN/cm <sup>2</sup> ]	Nr. epruv.	N [cicluri]
2208	1	$4,3824 \cdot 10^5$	1840	1	$3,74221 \cdot 10^6$
	2	$3,6670 \cdot 10^5$		2	$5,42155 \cdot 10^6$
	3	$5,1121 \cdot 10^5$		3	$4,11462 \cdot 10^6$
	4	$1,4378 \cdot 10^5$		4	$6,10543 \cdot 10^6$
2116	1	$0,5465 \cdot 10^6$	1794	1	$1,02156 \cdot 10^7$
	2	$0,9667 \cdot 10^6$		2	$1,00047 \cdot 10^7$
	3	$1,1023 \cdot 10^6$		3	$8,47565 \cdot 10^6$
	4	$0,8431 \cdot 10^6$			
2024	1	$2,3661 \cdot 10^6$	1748	1	$1,10085 \cdot 10^7$
	2	$1,3404 \cdot 10^6$		2	$1,00246 \cdot 10^7$
	3	$0,4403 \cdot 10^6$		3	$1,00614 \cdot 10^7$
	4	$0,7439 \cdot 10^6$			
1932	1	$6,2304 \cdot 10^6$			
	2	$8,64572 \cdot 10^6$			
	3	$1,01424 \cdot 10^7$			
	4	$1,14266 \cdot 10^7$			
1886	1	$9,6215 \cdot 10^6$			
	2	$1,04425 \cdot 10^7$			
	3	$1,20032 \cdot 10^7$			
	4	$1,00864 \cdot 10^7$			
1840	1	$1,11516 \cdot 10^7$			
	2	$1,00435 \cdot 10^7$			
	3	$1,02762 \cdot 10^7$			

Obs. Numărul de cicluri, N, corespunde unei solicitări ciclice simetrice cu o tensiune maximă egală cu

$$\sigma_{-1} = 1610 \text{ daN/cm}^2$$

după ce proba a fost degradată cu presolicitarea ( $N^*, \sigma$ )

## C U P R I N S

### Introducere

#### PARTEA ÎNȚIA. CONSIDERAȚII ȘI CONTRIBUȚII TEORETICE

#### Cap.1 Problematika proiectării structurilor de rezistență hiperstatice ale vehiculelor în regim dinamic

1.1. Formularea problematicei .....	1
1.1.1. Considerații privind calculul static .....	1
1.1.2. Evaluarea sarcinilor dinamice .....	2
1.1.3. Optimizarea structurilor de rezistență ....	4
1.1.4. Calculul programat al structurilor .....	5
1.2. Probleme generale ale vibrațiilor aleatoare și implicațiile lor .....	6
1.2.1. Istoricul teoriei generale .....	7
1.2.2. Surse de excitații aleatoare .....	10
1.2.3. Răspunsul sistemelor oscilante la excitații aleatoare .....	11
1.2.4. Fisurări și ruperi datorită vibrațiilor aleatoare .....	12
1.2.5. Probleme de proiectare și încercare .....	13
1.3. Cercetări similare în țara noastră .....	14

#### Cap.2 Contribuții privind caracterizarea statistică a proceselor stohastice de excitație și/sau de răspuns ale sistemelor vibratorii mecanice

2.1. Teoria corelațională a proceselor stohastice .....	16
2.1.1. Noțiunea de proces stohastic .....	16
2.1.2. Caracterizarea proceselor stohastice .....	17
2.2. Criterii de staționaritate .....	20
2.3. Ipoteza ergodică și media pe ansamblu .....	22
2.4. Analiza în domeniul frecvențelor .....	23
2.5. Caracteristicile dinamice generale ale unui sistem mecanic vibrator .....	24
2.5.1. Reprezentarea generalizată a sistemelor mecanice vibratorii .....	24
2.5.2. Funcția pondere .....	24
2.5.3. Funcția de transfer .....	25
2.5.4. Caracteristica de frecvență .....	26

<b>2.6. Contribuții la caracterizarea numerică a funcției de autocorelație .....</b>	<b>26</b>
<b>2.6.1. Program FORTRAN pentru calcularea funcției de autocorelație .....</b>	<b>26</b>
<b>2.6.1.1. Intocmirea programului și rezultate numerice .....</b>	<b>28</b>
<b>2.6.2. Aproximarea analitică a funcțiilor de autocorelație întinse în dinamica vehiculelor și calculul densității spectrale ....</b>	<b>32</b>
<b>2.6.2.1. Funcții de autocorelație tipice triunghiulare .....</b>	<b>33</b>
<b>2.6.2.2. Combinații de funcții cosinusoidale ...</b>	<b>33</b>
<b>2.6.2.3. Aproximarea prin combinații liniare de funcții exponențiale .....</b>	<b>34</b>
<b>2.6.2.4. Funcții de autocorelație de forma oscilației armonice amortizate .....</b>	<b>36</b>
<b>2.6.2.5. Procese stohastice diferentiabile .....</b>	<b>37</b>
<b>2.6.2.6. Aproximarea cu exponențiale pătratice..</b>	<b>37</b>
<b>2.7. Contribuții la analiza sistemelor oscilante cu un grad de libertate supuse perturbațiilor stohastice .....</b>	<b>38</b>
<b>2.7.1. Ipoteze. Ecuația diferențială a mișcării ..</b>	<b>38</b>
<b>2.7.2. Calculul funcției pondere sau reacției la impuls a sistemului .....</b>	<b>39</b>
<b>2.7.3. Coeficientul complex de transfer (caracteristica de frecvență a sistemului) .....</b>	<b>41</b>
<b>2.7.4. Calculul caracteristicilor probabilistice ale răspunsului sistemului .....</b>	<b>42</b>
<b>2.7.4.1. Determinarea așteptării matematice a sistemului .....</b>	<b>42</b>
<b>2.7.4.2. Determinarea funcției de autocorelație a răspunsului .....</b>	<b>42</b>
<b>2.7.4.3. Determinarea densității spectrale a răspunsului .....</b>	<b>42</b>
<b>2.7.4.4. Calculul dispersiei răspunsului .....</b>	<b>43</b>
<b>2.7.4.4.1. Cazul funcțiilor de autocorelație tipice triunghiulare .....</b>	<b>43</b>
<b>2.7.4.4.2. Cazul funcțiilor de autocorelație sub formă de combinații de funcții cosinusoidale .....</b>	<b>49</b>

2.7.4.4.3. Cazul aproximării funcțiilor de autocorelație ale excitației prin combinații liniare de funcții exponențiale .....	51
2.7.4.4.4. Cazul aproximării printr-o funcție cosinusoidală amortizată .....	52
2.7.4.4.5. Cazul unei aproximații valabile pentru procesele stohastice diferențiabile .....	53
2.8. Observații și concluzii .....	55
<b>Cap.3 Contribuții la studiul și analiza vibrațiilor caroseriilor de vehicule, excitate de procese stohastice staționare și ergodice</b>	
3.1. Modele mecanice pentru studiul vibrațiilor la vehicule .....	57
3.2. Ecuațiile diferențiale ale micilor oscilații pentru modelul cu trei grade de libertate .....	60
3.3. Funcții de transfer .....	67
3.3.1. Funcțiile de transfer pentru oscilațiile verticale și unghiulare longitudinale ....	67
3.3.2. Funcția de transfer pentru oscilațiile unghiulare transversale .....	70
3.4. Caracteristici de amplitudine și fază .....	70
3.4.1. Cazul oscilațiilor verticale și unghiulare longitudinale .....	71
3.4.2. Cazul oscilațiilor unghiulare transversale	75
3.5. Considerații privind viteza și accelerația sistemului .....	75
3.5.1. Caracteristicile de frecvență a vitezei proceselor de oscilație .....	76
3.5.1.1. Oscilații verticale .....	76
3.5.1.2. Oscilații unghiulare longitudinale și transversale .....	76
3.5.2. Caracteristica de frecvență a accelerației proceselor de oscilație .....	77
3.5.2.1. Oscilații verticale .....	77
3.5.2.2. Oscilații unghiulare longitudinale și transversale .....	78
3.6. Densități spectrale de putere și caracteristici statistice .....	78

3.7.	Observații și concluzii .....	81
Cap.4	Contribuții privind calculul de durabilitate și fenomenul de cumulare a degradărilor la sollicitări aleatoare	
4.1.	Stadiul actual al problemei .....	83
4.2.	Principalele teorii de degradare a metalelor în procesul de sollicitare variabilă .....	87
4.2.1.	Teorii formale .....	87
4.2.1.1.	Teoria lui Grover .....	91
4.2.1.2.	Teoria lui Marco-Starkey .....	91
4.2.1.3.	Teoria lui Shanley .....	93
4.2.1.4.	Teoria Corten-Dolan .....	93
4.2.1.5.	Teoria Freudenthal-Heller .....	95
4.2.1.6.	Teoria lui Serensen .....	96
4.2.1.7.	Alte teorii (Nisihara și Yamada, Henry, Gratts, Manson) .....	96
4.2.1.8.	Corecții statistice .....	98
4.2.1.9.	Concluzii privind teoriile formale..	100
4.2.2.	Teorii fizice .....	101
4.2.3.	Teorii probabilistice .....	103
4.3.	Analiza probabilistică a depășirii nivelelor de referință în cazul spectrelor aleatoare .....	105
4.4.	O nouă teorie de degradare cu considerarea influenței suprasolicitărilor .....	108
4.4.1.	Suprasolicitări. Curbe French .....	108
4.4.2.	Curbe de oboseală .....	110
4.4.3.	Bazele și metodologia noului criteriu ..	110
4.4.4.	Aplicații la calculul de durabilitate al structurilor .....	114
4.5.	Concluzii .....	116

PARTEA A DOUA. APLICATII SI CONTRIBUTII EXPERIMENTALE.  
METODICA SI INTERPRETARE

Cap.5	Analiza stărilor de tensiune din structurile de rezistență ale boghiului tip Y25-Cs și bicicletei tip Tohan	
5.1.	Elemente inițiale de calcul .....	118
5.1.1.	Introducere .....	118
5.1.2.	Date constructive .....	119
5.1.3.	Ipoteze de lucru .....	119

5.2. Calculul forțelor exterioare pentru diverse regimuri de funcționare .....	120
<u>Cazul A</u> : boghiul Y25-Cs .....	120
5.2.1. Sarcina statică verticală .....	121
5.2.2. Inscrierea dinamică a boghiului în curbă .....	121
5.2.2.1. Inscrierea în curbă de rază $R_0=150$ m .....	122
5.2.2.2. Inscrierea în curba de rază $R_0=800$ m .....	124
5.2.3. Calculul suprasarcinilor dinamice la mersul în curbă .....	124
5.2.4. Forțele care apar în procesul frînării ..	125
5.2.4.1. Forțe provenite de la instalația de frinare .....	125
5.2.4.2. Forțe provenite de la inerția maselor în mișcare .....	126
5.2.5. Sarcina antisimetrică .....	128
5.2.6. Suprasarcina dinamică verticală .....	128
<u>Cazul B</u> : Cadrul de bicicletă tip Tohan .....	128
5.3. Calculul caracteristicilor geometrice ale secțiunilor transversale .....	129
5.4. Calculul de rezistență .....	131
5.4.1. Observații generale. Metodica .....	131
5.4.2. <u>Cazul A</u> : boghiul Y25-Cs .....	133
5.4.2.1. Convenții .....	133
5.4.2.2. Eforturile produse de sarcinile unitate și de forțele exterioare date ..	133
5.4.2.3. Eforturi finale .....	135
5.4.2.4. Tensiuni .....	139
5.4.2.5. Studiul comparativ în tensiuni pentru două modele de calcul .....	141
5.4.3. <u>Cazul B</u> : cadrul bicicletei tip Tohan ...	143
5.5. Observații finale și concluzii .....	145
<b>Cap.6 Măsurători și verificări experimentale statice și dinamice</b>	
6.1. Ceroetări experimentale la solicitări statice. Compararea tensiunilor .....	147
6.1.1. Caracteristici de material .....	147
6.1.2. Incercarea statică a boghiului Y25-Cs ...	148
6.1.3. Incercarea statică a cadrelor de bicicletă .....	151

<b>6.2. Concepții noi și instalații originale pentru încercarea la durabilitate a structurilor de rezistență..</b>	<b>157</b>
6.2.1. Tensiuni dinamice în cadrul boghiului	
Y25-Cs .....	157
6.2.2. Standuri originale pentru încercarea structurilor de rezistență la solicitări variabile..	159
6.2.2.1. Standul cu bandă .....	159
6.2.2.2. Stand de încercare la rezonanță .....	162
6.2.2.3. O nouă propunere .....	166
6.2.3. Tensiuni dinamice în cadre de biciclete .....	166
6.2.3.1. Solicitări dinamice la frînare .....	167
6.2.3.2. Solicitări dinamice la trecerea peste obstacole .....	168
6.2.3.3. Încercări de durabilitate în cazul solicitărilor sinusoidale .....	168
6.2.3.4. Încercări de durabilitate la solicitări nestaționare .....	170
<b>6.3. Confruntări finale teoretice și experimentale .....</b>	<b>176</b>
6.3.1. Calculul analitic al funcției de autocorelație .....	176
6.3.2. Aplicarea calculului de durabilitate propus de autor .....	178
6.3.2.1. Curbe de durabilitate și suprasolicitare pentru țevi din oțel neale.....	178
<b>Sintesa principalelor contribuții .....</b>	<b>185</b>

**Bibliografie**

**Anexe**